

A. V. DUMANSCHI

# COLOIZII

EDITORIA DE STAT

A. V. DUMANSCHI

# COLOIZII

In românește de  
Ing. L. BĂRLĂDEANU



EDITURA DE STAT

1949

А. В. ДУМАНСКИЙ  
УЧЕНИЕ О КОЛЛОНДАХ  
ИЗДАНИЕ ТРЕТЬЕ

# CUPRINSUL

	<u>Pag.</u>
I. Obiectul chimiei coloizilor, dezvoltarea și însemnatatea ei pentru celelalte discipline științifice și în tehnică . . . . .	9
1. Obiectul chimiei coloizilor . . . . .	9
2. Dispersiunea . . . . .	11
3. Relația între gradul de dispersiune și însușirile sistemului . . . . .	14
4. Importanța chimiei coloidale . . . . .	19
II. Sisteme monodisperse. . . . .	22
1. Noțiuni despre dispersiunea sistemelor . . . . .	22
2. Sedimentarea sub influența forței gravitației. Formula lui Stockes . . . . .	22
3. Metoda centrifugării . . . . .	27
4. Greutatea moleculară . . . . .	30
III. Sisteme polidisperse. . . . .	34
1. Analiza sistemelor polidisperse . . . . .	34
2. Metoda sedimentării . . . . .	39
3. Metoda determinării presiunii hidrostatice . . . . .	43
IV. Structura particulei coloidale. . . . .	47
1. Starea amorfă și starea cristalină . . . . .	47
2. Analiza roentgenografică . . . . .	48
3. Determinarea dispersiunii . . . . .	53
4 Electronografia . . . . .	55
V. Proprietăți optice. . . . .	57
1. Refracția luminii . . . . .	57
2. Opalescența . . . . .	59
3. Fenomenul lui Tyndall . . . . .	62
4. Absorbția luminii (colorația) . . . . .	67

	<u>Pag.</u>
<b>VI. Ultra- și electronomicroscopia.</b>	71
1. Ultramicroscopul . . . . .	71
2. Supermicroscopul electronic . . . . .	79
<b>VII. Viscositatea. . . . .</b>	82
1. Noțiuni despre viscozitate . . . . .	82
2. Viscozitatea soluțiilor . . . . .	88
<b>VIII. Forma particulelor</b>	91
<b>IX. Mișcarea browniană.</b>	98
1. Noțiuni despre mișcarea browniană . . . . .	98
2. Teoria mișcării browniene . . . . .	100
3. Cercetarea experimentală a mișcării browniene . . . . .	106
4. Experiențele lui Perrin . . . . .	108
Δ 5. Flucluația . . . . .	111
<b>X. Proprietățile soluțiilor, considerate ca soluții moleculare.</b>	113
1. Difuziunea . . . . .	113
2. Presiunea osmotică . . . . .	119
3. Presiunea de vapozi . . . . .	120
<b>XI. Tensiunea superficială și energia superficială. . . . .</b>	122
1. Dispersiunea . . . . .	122
2. Tensiunea superficială . . . . .	123
3. Energia superficială . . . . .	126
4. Influența temperaturii . . . . .	127
5. Curbura suprafeței . . . . .	129
6. Ecuația lui Thompson . . . . .	131
7. Tensiunea superficială la limita între două lichide . . . . .	133
8. Tensiunea superficială la limita unui corp solid . . . . .	135
9. Metodele de determinare a tensiunii superficiale . . . . .	137
<b>XII. Tensiunea superficială și energia superficială a soluțiilor.</b>	
<b>Adsorbția. . . . .</b>	141
1. Tensiunea superficială . . . . .	141
2. Isotermia lui Gibbs . . . . .	145
3. Structura stratului de adsorbție . . . . .	151
4. Pelicula superficială . . . . .	157
5. Structura polară a moleculelor . . . . .	162
6. Isoferma lui Langmuir . . . . .	165
7. Proprietățile peliculei superficiale . . . . .	166
<b>XIII. Emulsiiile</b>	168
1. Noțiuni despre emulsiile . . . . .	168
2. Emulsionarea . . . . .	169

	Pag.
3. Emulgatorii și importanța lor . . . . .	171
4. Tipurile de emulsiile . . . . .	172
5. Emulgatorii coloidali . . . . .	175
6. Câteva înșușiri ale emulsiilor . . . . .	176
7. Emulsiile concentrate . . . . .	178
8. Legile emulsionării . . . . .	179
9. Distrugerea emulsiilor . . . . .	181
<b>XIV. Spumele . . . . .</b>	<b>183</b>
1. Formarea spumelor . . . . .	183
2. Stabilizatorii de spume . . . . .	185
3. Rezistența spumei . . . . .	186
4. Colorația spumelor . . . . .	189
<b>XV. Fenomene de adsorbție la limita solid-lichid și solid-gaz.</b>	<b>190</b>
1. Isoterma lui Freundlich . . . . .	190
2. Isoterma lui Langmuir . . . . .	195
3. Adsorbția și forțele rețelui cristaline . . . . .	196
4. Activarea . . . . .	199
5. Influența solventului . . . . .	200
6. Adsorbția electrofililor . . . . .	201
7. Adsorbția mai multor substanțe . . . . .	204
8. Adsorbția activată . . . . .	204
9. Influența temperaturii . . . . .	205
10. Tensiunea superficială a corpurilor solide . . . . .	206
11. Adsorbția gazelor . . . . .	207
12. Condensarea capilară . . . . .	210
<b>XVI. Umectarea . . . . .</b>	<b>212</b>
1. Suprafețe liofile și liofobe . . . . .	212
2. Căldura de umectare . . . . .	216
3. Flotația . . . . .	218
<b>XVII. Sarcina electrică la limita între două faze.</b>	<b>221</b>
1. Potențialul electrodinamic . . . . .	221
2. Stratul dublu al lui Helmholtz . . . . .	221
3. Potențialul electrocinetic . . . . .	223
4. Potențialele $\sigma$ și $\xi$ . . . . .	226
5. Electroosmoza . . . . .	227
6. Potențialul de curgere . . . . .	233
7. Electroforeza . . . . .	235
8. Sarcina electrică a solilor . . . . .	239
9. Înșușirile potențialului $\zeta$ . . . . .	240

	<u>Pag.</u>
<b>XVIII. Suspensiile . . . . .</b>	. . . . . 246
1. Stratul de adsorbție . . . . .	. . . . . 246
2. Sarcina electrică și stabilitatea . . . . .	. . . . . 248
3. Dispersiunea . . . . .	. . . . . 251
4. Adsorbția de schimb . . . . .	. . . . . 253
<b>XIX. Fumuri, prafuri și cețuri. . . . .</b>	. . . . . 256
1. Aerosolurile . . . . .	. . . . . 256
2. Structura și însușirile sistemelor aerodisperse . . . . .	. . . . . 259
<b>XX. Coagularea. . . . .</b>	. . . . . 264
1. Coagularea și sedimentarea . . . . .	. . . . . 264
2. Procesul coagulării. Teoria lui Smoluchovschi . . . . .	. . . . . 265
3. Coagularea lentă . . . . .	. . . . . 271
4. Regula lui Schulze-Hardy . . . . .	. . . . . 273
5. Sistemele polidisperse . . . . .	. . . . . 276
6. Gelatinarea la coagulare . . . . .	. . . . . 278
7. Coagularea hidrosolurilor cu neelectroliți . . . . .	. . . . . 280
8. Coagularea ortocinetică . . . . .	. . . . . 281
9. Factorii care influențează coagularea . . . . .	. . . . . 284
<b>XXI. Fenomenele observate la coagularea solurilor EOFobe cu electrolizi . . . . .</b>	. . . . . 290
1. Acomodarea solurilor . . . . .	. . . . . 290
2. Sarcina electrică a particulei	. . . . . 291
3. Hidratarea ionilor coagulanți	. . . . . 294
4. Antagonismul . . . . .	. . . . . 296
5. Efectul termic . . . . .	. . . . . 298
6. Schimbarea semnului sarcinii solurilor . . . . .	. . . . . 298
7. Discordanța între datele experimentale și teoria adsorbției a lui Ferundlich . . . . .	. . . . . 299
8. Reacțiile chimice ale particulelor coloidale . . . . .	. . . . . 301
9. Importanța coeficientului de activitate a soluției . . . . .	. . . . . 303
<b>XXII. Obținerea sistemelor disperse în medii lichide prin metoda peptizării . . . . .</b>	. . . . . 305
1. Noțiuni despre metodele de obținere a liosolurilor . . . . .	. . . . . 305
2. Formele peptizării . . . . .	. . . . . 305
3. Regula precipitatului . . . . .	. . . . . 311
4. Viteza de peptizare . . . . .	. . . . . 313
5. Analiza fizico-chimică a peptizării . . . . .	. . . . . 315
6. Solurile, ca electrolizi . . . . .	. . . . . 321
<b>XXIII. Obținerea sistemelor disperse prin metode care sunt în legătură cu variația gradului de dispersiune. . . . .</b>	. . . . . 324
1. Metoda dispersării . . . . .	. . . . . 324

	Pag.
2. Metoda de condensare . . . . .	327
3. Metodele chimice . . . . .	332
4. Teoria lui Weimann . . . . .	342
5. Influența polarizației dielectrice a mediului asupra stabilității solurilor . . . . .	344
6. Coloizii de protecție . . . . .	349
<b>XXIV. Metode pentru purificarea solurilor . . . . .</b>	<b>354</b>
1. Dializa și ultrafiltrarea. . . . .	354
2. Electrodializa . . . . .	359
<b>XXV. Influența reciprocă a solurilor . . . . .</b>	<b>361</b>
<b>XXVI. Analiza capilară. . . . .</b>	<b>365</b>
<b>XXVII. Sisteme coloidale liofile. . . . .</b>	<b>368</b>
1. Noțiuni despre coloizii liofili . . . . .	368
2. Formarea și obținerea compușilor macromoleculari coloidali . . . . .	370
3. Analiza roentgenografică . . . . .	374
4. Structura moleculei proteinei . . . . .	378
5. Disolvarea coloizilor liofili . . . . .	382
6. Viscositatea . . . . .	383
7. Difuziunea și presiunea osmotică . . . . .	387
8. Sarcina particulelor . . . . .	391
9. Salifierea . . . . .	394
10. Peptizarea . . . . .	397
11. Solurile liofile ca electrolitii . . . . .	398
12. Starea isolectrică . . . . .	399
13. Echilibrul lui Donnan . . . . .	403
14. Solvatarea (liofilia) . . . . .	407
15. Tensiunea superficială . . . . .	411
16. Activitatea optică . . . . .	414
<b>XXVIII. Starea de gel și proprietățile ei. . . . .</b>	<b>418</b>
1. Trecerea în starea de gel . . . . .	418
2. Structura gelurilor . . . . .	421
3. Uscarea și hidratarea sistemelor geliforme . . . . .	425
4. Imbibarea . . . . .	430
5. Viteza de imbibare . . . . .	431
6. Căldura de imbibare . . . . .	434
7. Presiunea de imbibare . . . . .	435
8. Influența electrolitilor și pH-ului mediului asupra imbibării . . . . .	437

	<u>Pag.</u>
9. Înfluența structurii polare	440
10. Procesul uscării gelurilor . . . . .	441
11. Variația formei la îmbibare și uscare .	442
12. Schema procesului de îmbibare .	444
13. Sinereza . . . . .	446
<b>XXIX. Lichidul legat adsorbtiv în sistemele coloidale . . . . .</b>	<b>448</b>
1. Variația proprietăților mediului de dispersiune la suprafața particulei disperse . . . . .	448
2. Strucitura sferei apoase . . . . .	450
3. Apa legată și hidrofilia . . . . .	453
<b>XXX. Sistemele geliforme ca medii. . . . .</b>	<b>457</b>
1. Geluri și soluri . . . . .	457
2. Înelele lui Liesegang . . . . .	459

# I. OBIECTUL CHIMIEI COLOIZILOR, DESVOLTAREA SI INSEMNAȚATEA EI PENTRU CELELALTE DISCIPLINE ȘTIINȚIFICE SI IN TEHNICĂ

## 1. OBIECTUL CHIMIEI COLOIZILOR

Încă alchimiștilor le era cunoscut faptul, că în anumite condiții se pot obține sisteme, analoage soluțiilor, din substanțe practice insolubile în lichidul dat. Astfel, se cunoșteau soluții apoase, absolut clare și intens colorate, de aur, sulf, etc. Apoi se cunoșteau suspensiile și emulsiile multor substanțe, suspensiile și emulsiile care erau foarte stabile, care nu precipitau și care și ele se asemănau prin însușirile lor cu soluțiile.

Intr-o serie de lucrări din sec. al XVIII-lea se pot găsi puncte de vedere juste cu privire la asemenea soluții de compuși anorganici. Astfel, în anul 1774, Marquet scria că tincturile de aur, care se întrebucințau în medicină, reprezentă aur divizat atât de fin, încât el pare că s'a transformat în lichid. M. Faraday considera, în anul 1857, soluția de aur metalic ca o suspensie foarte dispersă.

Incepând din anul 1861, cu cercetarea acestor soluții s'a ocupat Graham. Determinând viteza de difuziune și difuziunea prin membrană, Graham a arătat că substanțele care difuzează ușor sunt aceleia care cristalizează ușor, în timp ce acele substanțe care difuzează încet și nu străbat membranele animale, nu cristalizează. Prin metoda difuziunii prin membrane (dializă), a fost studiată sistematic o serie de soluții și substanțele care le compuneau au fost împărțite în două clase: acele care difuzează ușor, nu sunt reținute de dializor și cristalizează au fost denumite cristaloizi iar substanțele care difuzează încet, sunt separabile prin dializă, nu cristalizează și se separă sub forma unei mase amorfe (cloioase), au fost denumite coloizi.

Soluțiile de aur, de sulf, de albastru de Berlin și de acid silicic, ca și un mare număr de substanțe organice (caseina, cleul, amidonul și. a.) au fost trecute la coloizi.

Graham explică diferența însușirilor acestor două clase de substanțe prin mărimea moleculelor — molecule foarte mari la coloizi și molecule de dimensiuni mult mai mici, care trec ușor prin porii diaлизorului — la cristaloizi.

Din exemplele citate reiese că însușirile coloidale sunt în legătură, fie cu un grad foarte înaintat de diviziune artificială — dispersiunea substanței, construită din molecule de formă obișnuită — fie cu structura macromoleculară a substanțelor proteinale, cauciucul, amidonul și.a., care sunt coloidale prin însăși structura lor.

După cum au arătat cercetările ulterioare, substanțele practic insolubile (metalele, oxizii metalelor grele și.a.) dau în lichide la un grad înaintat de diviziune, sisteme care în aparență sunt analoage cu soluțiile, dar care se deosebesc de acestea prin stabilitatea lor redusă și prin variabilitatea lor cu timpul.

Asemenea soluții au fost denumite de Graham — soluri. Solurile pot fi obținute în diferite lichide, din diverse substanțe puternic disperse, insolubile în aceste lichide. Acest lucru a fost menționat în anul 1905 de D. I. Mendeleev, iar mai târziu de Svedberg (în anul 1907). Astfel, clorura de sodiu dă în apă o soluție adevărată, iar în alcool absolut se poate obține din ea un sol — Na Cl.

Pentru a arăta în ce solvent — mediu de dispersiune se află substanța dispersată coloidal — faza dispersă — s'a propus să se pună înaintea cuvântului „sol” denumirea mediului. Astfel, soluția apoasă coloidală de hidroxid de fier se numește hidrosolul de hidroxid de fier (de la cuvântul grecesc hidro — apă); denumirea de eterosolul de aur arată că e vorba de o soluție eterică de aur metalic și.a. m. d.

Inafara de lichide, ca medii de dispersiune mai pot servi gazele și solidele. Cunoscutele aerosoli ale metalelor sunt particule puternic disperse de metale în aer. Sticlele colorate reprezintă de multe ori un sol al unui metal într'un mediu de dispersiune solid — sticla.

Ca fază dispersă pot fi nu numai solidele, dar și gazele și lichidele.

Din ceea ce expuse, rezultă că una din problemele cu care se ocupă chimia coloizilor este studiul proprietăților unei substanțe disperse într'un mediu oarecare. Mai bine zis, nu se studiază substanțe coloidale, ci **sisteme coloidale**, compuse dintr-o fază dispersă și un mediu de dispersiune și din cel puțin doi compoziți (substanța, din care se compune fază dispersă și substanța, din care se compune mediul de dispersiune).

În aceasta rezidă diferența intre chimia coloizilor și chimia organică și anorganică, al căror obiect este studiul proprietăților substanțelor.

Așadar de sistemele coloidale lichide se cunosc și gelurile. Acestea sunt sisteme asemănătoare gelatinei, de ex. gelul de acid silicic, de hidroxid de fier. Sistemele coloidale sub formă de geluri se compun deasemenea din două faze: fază dispersă, ale cărei particule nu se găsesc într-o stare liberă de suspensie, ca la soluri, ci sunt legate între ele, și mediul de dispersiune care umple toate golarile între particulele imobile.

În afară de tipurile de sisteme coloidale cercetate mai sus, se cunosc multe substanțe care reprezintă soluri naturale și geluri, fără să fi fost supuse niciunui fel de diviziune prealabilă. Din această grupă fac parte proteinele, amidonul, dextrina, cauciucul, esterii celulozei și mulți alți compuși. Caracteristica generală a acestor substanțe este structura lor complexă, macromoleculară. Aceste substanțe au greutăți moleculare atât de mari, încât acestea pot fi numai cu greu determinate prin metodele obișnuite ale chimiei fizice (caborirea presiunii de vapozi a soluțiilor, crioscopia, ebiloscopia).

Compușii macromoleculari nu necesită o dispersiune prealabilă. Ei trec singuri în soluție, care la anumite concentrații posedă proprietățile soluțiilor sau gelurilor și care, pierzând solventul, formează o masă cu aspect amorf, necristalin.

În rezumat se poate spune că:

1. Obiectul chimiei coloizilor este studiul sistemelor: a) de soluții — soluri și b) sistemelor care posedă insușirile solidelor — geluri.

2. Solurile pot fi formate, fie din particule disperse de diverse substanțe insolubile într-un mediu dat, fie prin disolvarea directă a compușilor macromoleculari cu moleculă foarte mare.

## 2. DISPERSIUNEA

Structura complexă a particulelor coloidale și volumul lor mare permit să se vorbească despre suprafața de separație între particule și mediul. În consecință, scărurile și gelurile reprezintă sisteme heterogene, cu o mare suprafață de separație, pe care forțele de suprafață pot efectua un travaliu, adică pe suprafață de separație se manifestă o energie, denumită **energia superficială**. Prezența energiei superficiale la particulele coloidale este una din insușirile particolare ale sistemelor coloidale.

Mărimea energiei superficiale depinde de forța superficială și de mărimea suprafeței.

Să presupunem că avem  $V \text{ cm}^3$  de substanță într-o porțiune a cărei suprafață este,  $S \text{ cm}^2$ . E clar că divizând porțiunea în particule mici, vom mări suprafața totală, fără să modificăm volumul substanței, și cu cât vor fi mai mici particulele, cu atât mai mare va fi mărimea totală a suprafeței  $S$ . Totuși, suprafața totală nu depinde numai de gradul de mărunțire — dispersiune — ci de cantitatea de substanță luată și de forma geometrică a particulelor. Pentru a se elimina influența cantității de substanță luată, se determină suprafața specifică  $S_o$ , care este egală cu suprafața totală, împărțită la  $V$  — volumul substanței luate:

$$S_o = \frac{S}{V} \quad (1)$$

sau, cu alte cuvinte, se determină mărimea suprafeței, corespunzătoare la  $1 \text{ cm}^3$  de substanță.

Pentru o particulă de formă cubică (muchia cubului =  $1 \text{ cm}$ ) vom avea :

$$S_o = 6$$

Pentru o particulă sferică având volumul de  $1 \text{ cm}^3$ , suprafața specifică va fi egală cu :

$$S_o = 4,86.$$

In acest din urmă caz, diametrul sferei este egal cu  $1,24 \text{ cm}$ .

Dacă un cub, care are volumul de  $1 \text{ cm}^3$  se sparge în cuburi cu muchia  $a = \frac{1}{\sqrt[3]{v}}$  cm, atunci se obțin  $v^3$  cuburi, a căror suprafață specifică este :

$$S_o = 6 \left( \frac{1}{\sqrt[3]{v}} \right)^2 v^3 = 6 v = \frac{6}{a}$$

Un calcul analog se poate face și pentru o sferă cu volumul de  $1 \text{ cm}^3$ . La divizarea ei în particule, fiecare particulă se consideră ca fiind o sferă cu diametrul  $a$  și vom obține o suprafață specifică egală cu

$$S_o = \frac{4,86}{a}$$

Aceste rezultate pot fi generalizate și pentru sistemele disperse, formate din particule de orice formă geometrică :

$$S_o = \frac{S}{V} = K \frac{1}{a},$$

în care  $K$  este un coeficient, care depinde de forma geometrică a particulei, iar  $a$  --- dimensiunea particulei.

Din ecuațiile de mai sus rezultă că, la divizarea particulei, suprafața specifică  $S_o$  crește direct proporțional cu mărimea  $\frac{1}{a}$

Wo. Ostwald a propus ca raportul  $\frac{S}{V}$  să fie denumit **grad de dispersiune** al sistemului. Totuși, e mai justă să se socotă ca grad de dispersiune să fie invers proporțională cu mărimea particulei, adică

$$\Delta = \frac{1}{a}.$$

Astfel, **gradul de dispersiune** al sistemului (în cele ce urmează vom spune pe scurt „dispersiunea“) este o mărime invers proporțională cu mărimea particulei, măsurată în centimetri. Nomiunea de „dimensiune a particulei“ are un sens bine definit numai pentru sferă. În acest caz ea va coîncide cu diametrul. În cazul particulelor care au o formă oarecare, mărimea acestui parametru va depinde de direcția după care se măsoară. O asemenea particulă poate fi assimilată cu o sferă, dar această particulă sferică arbitrară trebuie să efectueze un travaiu identic cu travaiul particulei reale. În acest caz, diametrul particulei sferice arbitrară se numește **diametru echivalent**.

E clar că atunci când forma particulei diferă mult de forma sferică, diametrul echivalent va depinde de metoda lui de determinare.

Dimensiunea particulei se determină ușor, cercetând de pildă, iuțeala de sedimentare a particulei în lichid: iuțeala de sedimentare a unei particule sferice depinde de raza particulei, de greutatea ei și de viscozitatea mediului. Pentru o substanță dată, dispersată în lichid, iuțeala de sedimentare a particulelor sferice e cu atât mai mică, cu cât e mai mare gradul de dispersiune. În cazul unei particule neregulate, de pildă de formă lămelată, iuțeala de sedimentare depinde și de modul cum cade particula: pe lat sau pe muchie. În primul caz, iuțeala de sedimentare va fi mai mică și diametrul echivalent calculat va fi mai mic decât în cazul al doilea.

Pe baza noțiunilor despre dispersiune se poate spune că, în general, energia superficială a unui sistem dispers variază proporțional cu dispersiunea. În cazul particulelor de aceeași formă și când forma e pe cât posibil de simplă, mărimea particulei și dispersiunea sunt invers proportionale. Notiunea de dispersiune ne dă posibilitatea de a clasifica, pe baza acestui criteriu, o serie de sisteme în ordinea crescândă a dispersiunii lor.

Dispersiunea atomică și moleculară va fi de ordinul  $10^8$  dat fiind că dimensiunea moleculei  $a = 10^{-8}$  cm. Dispersiunea cuprinsă între limitele dela  $10^5$  până la  $10^3$  face parte din dispersiunea microscopică, fiindcă particulele la care mărimea parametrului transversal e de ordinul  $a = 10^{-5}$  până la  $10^{-3}$  cm. se disting ușor la microscop. Domeniul de dispersiune cuprins între limitele dela  $10^7$  până la  $10^5$  face parte din dispersiunea coloidală.

Considerând sistemele din acest punct de vedere, nu se face o diferențiere netă între dispersiunea microscopică și cea moleculară și astfel devine posibilă studia variația proprietăților sistemelor în funcție de dispersiunea parțijilor lor componente.

Adaptarea în știință a termenului de „grad de dispersiune“, a permis să se studieze și să se coordoneze sistematic, din acest punct de vedere, un număr foarte mare de sisteme foarte diferite, care până atunci păreau că nu pot fi comparate (soluri, suspensii, turbureți, roce, aliaje, materiale poroase și a.).

### 3. RELAȚIA INTRE GRADUL DE DISPERSIUNE ȘI INSUȘIRILE SISTEMULUI

Odată cu schimbarea gradului de dispersiune  $\Delta$  se schimbă și proprietățile sistemului; pentru anumite intervale de dispersiune sunt caracteristice anumite însușiri ale materiei, corespunzătoare gradului de dispersiune considerat.

Să studiem câteva exemple.

Reprezentând grafic (fig. 1) variația mărimii  $\sigma$  a tensiunii superficiale a unei particule cu creșterea dispersiunii, vom obține curba 1, care arată că la un grad mic de dispersiune a sistemului tensiunea superficială e constantă, scăzând la o dispersiune mare și dispărând complet în cazul particulelor dispersate molecular.

In mod analog se poate reprezenta variația energiei superficiale a unui sistem dispers, egală cu  $A_o = S_o \sigma$ . In acest caz energia superficială (curba 2) crește la început cu creșterea dispersiunii, atât timp cât tensiunea superficială rămâne constantă, iar când gradul de dispersiune se apropie de cel molecular — ea scade brusc. De aici rezultă clar că energia superficială specifică atinge

un maximum în sisteme coloidale, ceea ce este foarte caracteristic pentru aceste sisteme. Această dependență a fost găsită de autor<sup>1)</sup> în anul 1913.

Mai târziu, Wo. Ostwald,<sup>2)</sup> a arătat că o serie de însușiri ale coloizilor sunt funcțiuni ale dispersiunii. Variația acestor proprietăți decurge fie monoton, (numai crescând sau numai descrecând) sau are un maximum sau un minimum, corespunzător unui anumit grad de dispersiune. Foarte des, aceste maxime și minime corespund unui grad de dispersiune coloidal.

Colorația hidrosolurilor metalice depinde de gradul de dispersiune: hidrosolurile coloidale de argint capătă pe măsura micșorării dimensiunii particulelor, colorații albastru-închis (indigo), violete, roșii și galbene, în timp ce ionii de argint în soluție sunt incolori. Hidrosolul de aur e și el de diverse culori, în funcție de mărimea particulelor: solurile roșii sunt puternic disperse, solurile albaste au particule de dimensiuni mai mari.

Colorația (la iluminare) a solurilor de aur are un maxim la un grad mediu de dispersiune coloidală (fig. 2).

Capacitatea de acoperire a coloranților depinde deasemenea de gradul de dispersiune<sup>3)</sup>.

Toate exemplele citate fac parte din soluțiile coloidale, dar din particule disperse coloidal

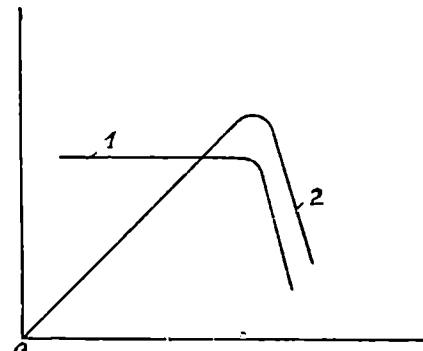


Fig. 1. – Relația între energia superficială și gradul de dispersiune.  
1. Cura variației tensiunii superficiale.  
2. Cura variației energiei superficiale.

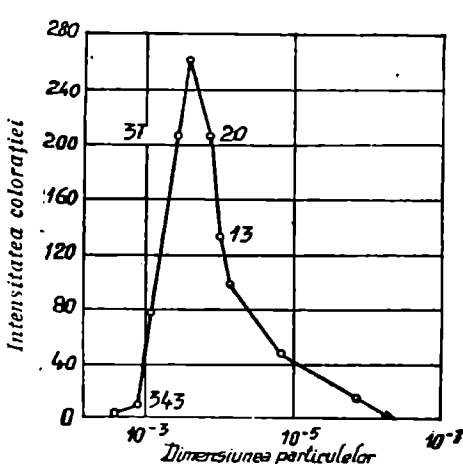


Fig. 2. – Intensitatea colorației aurului în funcție de gradul de dispersiune.

1) A. Durnanschi, Despre soluțiile coloidale, 8, Chiev, 1913.

2) Wo. Ostwald, Știință despre coloizi, electrotehnica și cataliza heterogenă (traducere), 16-38, L. 1932.

3) F. Hebler, K. Z. 41, (1927); R. Hebler u. H. Novack, K. Beih 13, 61 (1920).

se formează nu numai soluții lichide, ci și unele corpuri solide, ca de pildă aliajele.

Aliajul este un sistem complex de dispersiune, care se compune din grăunți cristalini de diferite mărimi. Se știe că rezistența aliajelor depinde de dispersiunea componentilor lui. Există un grad de dispersiune optim, la care aliajul posedă proprietăți optime — de ex. duritatea. În fig. 3 este reprezentată diagrama durității materialului, obținut din praf de carbon cu diferite grade de dispersiune. Duritatea maximă corespunde unei dispersiuni de  $10^6$  (dimensiunea particulei =  $10^{-6}$  cm.) adică domeniului coloidal.

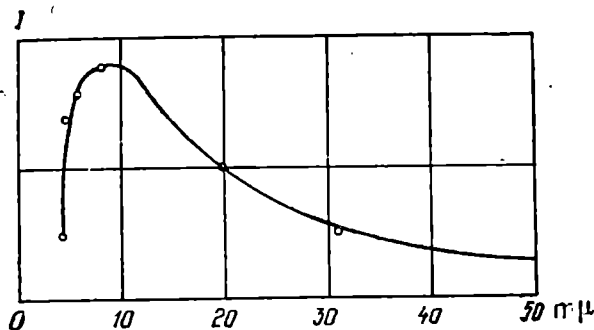


Fig. 3. — Variația durității materialului obținut din praf de cărbune în funcție de gradul de dispersiune al materialului.

Este interesantă cercetarea efectuată de Clark și Aborn<sup>1)</sup> asupra dependenței dintre activitatea unui catalizator de platini și gradul lui de dispersiune. Un catalizator heterogen influențează viteza de reacție prin suprafața sa; s-ar părea că mărirea gradului de dispersiune ar trebui să influențeze necondiționat viteza reacției chimice. Totuși, experiențele au arătat că, în realitatea iuțea de reacție este limitată de o dimensiune optimă a particulelor. Si acest fapt este un exemplu, care ne arată că există o relație între gradul de dispersiune și proprietățile sistemului<sup>2)</sup>.

Din cele expuse, rezultă că, privind coloidul ca o substanță care se găsește la un anumit grad de dispersiune, vom obține un indiciu, nu întâmplător, ci complet real, asupra valoarei maxime sau minime a diferitelor lui proprietăți. Acesta este motivul pentru care se vorbește despre dispersiunea coloidală, ca despre o stare caracterizată printr-o serie de proprietăți, care se eviden-

1) F. K. Mayer, Realișări în chimie (traducere) 2.569 (1933).

2) P. D. Dancov JFH. 4, 330 (1933); Taylor a. Rideal, catalysis in Theory and Practice, 383, L., 1926.

țiază mult mai slab sau lipsesc complet la sisteme cu un grad de disperziune diferit.

Unui alt grad de disperziune îi vor corespunde și alte proprietăți.

Sistemele cu disperziune coloidală se află la limita între disperziunea moleculară și sistemele cu un grad mare de disperziune. O asemenea poziție determină și explică pe deplin formarea sistemelor dispersate coloidal la trecerea sistemelor omogene (dispersate molecular) în sisteme heterogene, lucru care se observă foarte bine la trecerea din starea gazoasă în starea lichidă sau la disolvarea a două lichide nemiscibile, adică în momentul când sistemul omogen (gazul sau lichidul) se descompune în două faze, despărțite printr-o suprafață de separație (gaz-lichid, lichid-lichid). În apropierea temperaturii critice, la trecerea unui gaz în lichid (înainte de apariția meniscului), se obține un strat intermediar, care ieșe în evidență nu numai printr'o viscozitate mare, dar și prin însușiri elastice<sup>1)</sup>. Este deosemenea cunoscut, că la temperatura critică se observă o turbureală care indică prezența unui sistem dispersat coloidal<sup>2)</sup>.

In exemplul fenol-apă, la temperatura critică de disolvare se poate observa nu numai o emulsie albă-lăptoașă, care se obține ușor la temperaturi joase, dar și o opalescență deosebită, caracteristică sistemelor coloidale — galbenă, în lumina care o străbate și albastră, în lumina reflectată; particulele acestui sistem sunt foarte mici, invizibile la microscop<sup>3)</sup>. Wo. Ostwald<sup>4)</sup> a atras atenția asupra formării sistemelor coloidale în punctul critic.

La disolvarea cristalelor, când sistemul heterogen cristalelichid trece într'un sistem omogen-soluție, au fost observate la ultramicroscop particule coloidale care dispar repede. Același lucru s'a observat și în procesul invers — cristalizarea. Aceasta înseamnă, că și în acest punct de trecere apare, ca stare intermedieră, un sistem dispersat coloidal.

Foarte des, începătorii, aplicând principiul disperziunii și cercetând proprietățile substanței în funcție de gradul ei de disperziune, fac o greșală care constă în faptul că ei nu cercetează îndeajuns care este gradul de disperziune al sistemului care se studiază. Astfel, cercetând starea coloidală, se studiază proprietățile obișnuite ale moleculelor care compun substanța, uitând că pe noi ne interesează nu proprietățile chimice obișnuite, caracteristice

1) P. Hein, Z. Phys. Ch. 86, 385 (1914).

2) A. Einstein, Ann. Phys., 33, 1275 (1910); M. Smoluchovschi, Ann. Phys. 25, 205 (1908).

3) Ch. Füchtenbauer Z. Phys. Ch. 48, 552 (1904).

4) Wo. Ostwald K. Z., 1, 331 (1907), 63, 61 (1933).

moleculelor, ci însușirile corespunzătoare dispersiunii coloidale a substanței.

De aceea, cercetând o substanță în stare coloidală, trebuie îndreptată atenția asupra particularităților inerente dispersiunii coloidale. Nu trebuie uitat, însă, că în afară de aceasta, aici se vor studia și însușirile fizice și chimice obișnuite, inerente structurii moleculare a substanței.

În sistemele coloidale, gradul de dispersiune are aceeași importanță ca și greutatea moleculară în chimie: ca și greutatea moleculară, care, cu toată importanța ei în chimie nu poate determina toate însușirile substanței, așa și gradul de dispersiune al sistemelor coloidale nu poate determina toate însușirile sistemelor.

În cele ce urmează vom avea de-a-face în special cu sisteme disperse, compuse dintr-o substanță dispersată, care se găsește într'un mediu oarecare (solid, lichid sau gazos). Să convenim a denumi fază măruntă — fază dispersă, iar mediul în care se află — mediu de dispersiune. În tab. 1 e indicată clasificarea (după Freundlich) a sistemelor disperse. (În tabelă nu sunt menționate fumurile, căci ele reprezintă un sistem mai complex — un amestec de ceată și praf).

Tabelă 1

### CLASIFICAREA SISTEMELOR DISPERSE (După Freundlich)

Mediul de dispersiune	Faza dispersă	Denumirea sistemului
gaz . . . . .	lichid . . . . .	ceată, aerosoli.
gaz . . . . .	solid . . . . .	praf, aerosoli.
lichid . . . . .	gaz . . . . .	spume, emulsiile gazoase.
lichid . . . . .	lichid . . . . .	emulsiile, liosoli.
solid . . . . .	gaz . . . . .	spume solide, corpuri poroase.
solid . . . . .	lichid . . . . .	emulsiile solide, în parte liogeluri.
solid . . . . .	solid . . . . .	plrosoli, suspensiile, solide, allaje.

S'au cercetat mai sus cazurile, în care fază dispersă e despărțită în particule separate, a căror formă se apropie de forma sferei echivalente. Dar se poate imagina că substanța să se disperseze unidimensional, de ex. în direcția lățimii și grosimii, în timp ce în lungime ea păstrează dimensiunile inițiale. Un asemenea caz are loc când o porțiune de substanță se desface în fire. Firul este un sistem puțin dispersat în direcția lungimii și mult

dispersat în celelalte două direcții. Astfel de sisteme disperse sunt foarte multe la număr, exemplul cel mai răspândit este fibra, întrebuiuștată în industria textilă. Mai este posibil încă un caz de dispersiune unidimensională, când dispersiunea se face numai într-o singură direcție, obținându-se astfel plăci, pelicule. Făcând, de ex., un balon de săpun, noi dispersăm unidimensional soluția de săpun, transformând-o în peliculă.

Suprafața specifică se determină în aceste cazuri printr'un parametru care corespunde gradului maxim de dispersie și se raportează la unitatea de volum a fazei. Astfel, pentru fire, pe care ni le vom închipui în formă de cilindru de rază  $r$  și de lungime  $l$  vom avea :

$$S_o = \frac{2\pi rl}{\pi r^2 l} = \frac{2}{r}$$

Iar pentru pelicule :

$$S_o = \frac{2lp + 2lh + 2ph}{lph} = 2 \frac{lp + lh + ph}{lph}$$

în care  $l$  e lungimea,  $p$  lățimea și  $h$  grosimea peliculei.

Având în vedere că dispersiunea se face în direcția  $h$ , mărimea  $h$  va fi foarte mică în comparație cu mărimile  $l$  și  $p$ . De aceea, mărimile  $lh$  și  $ph$  se pot neglijă față de mărimea  $lp$ ; atunci :

$$S_o = \frac{2lp}{lph} = \frac{2}{h}.$$

Pornind dela noțiunea de dispersiune unidimensională, spumele se pot considera (și aceasta este mai just) ca un lichid dispersat în gaz sub formă de peliculă, iar nu ca un gaz dispersat în lichid, aşa cum este indicat în tabloul 1.

#### 4. IMPORTANȚA CHIMIEI COLOIDALE

Acum 50 de ani, când a inceput să apară noțiunea despre o nouă disciplină științifică — chimia coloidală, care pentru mulți era pe atunci de neîntelus, D. I. Mendeleev, în cartea sa intitulată „Principiile chimiei“, arată că problemele puse de această știință trebuie considerate ca probleme importante și primordiale ale științelor naturale, ele fiind de mare importanță pentru toată fizica și chimia.

D. I. Mendeleev scria, că, dat fiind faptul că părțile cele mai importante ale organismului sunt constituite din coloizi, se poate

consideră că multe laturi ale fenomenelor specifice care caracterizează organismul se vor lămuri odată cu dezvoltarea cunoștințelor despre coloizi.

In acest fel a prevăzut însemnatatea științei care se naștea, mintea luminată a cercetătorului naturii D. I. Mendelev, în timp ce mulți alții nu puteau înțelege importanța ei.

Intr'adevăr, studiul sistemelor disperse a avut o influență hotărîtoare asupra lămuririi definitive a unei probleme atât de generale ca stabilirea teoriei cinetice a materiei.

Mișcarea cinetică a moleculelor putea și numai prevăzută pe baza unei serii de fenomene și de considerente teoretice, dar această mișcare nu a putut să fie observată direct.

Chimia coloidală a dat ultramicroscopul, care a permis vederea particulelor, nu cu mult mai mari decât moleculele mari și observarea mișcării lor cinetice — aşa zisa mișcare browniană, în soluri. Studiul acestei mișcări a arătat că ea este analogă cu mișcarea moleculară. Prin observarea ei a fost verificată valoarea constantei  $N$ , numărul lui Avogadro.

Inventarea supermicroscopului electronic a permis o pătrundere și mai adâncă în lumea moleculelor și chiar și observarea configurației moleculelor proteinelor.

Sistemele disperse posedă o mare suprafață de separație, cu o mare rezervă de energie superficială: a fost îndreptată o mare atenție către acest domeniu uitat al fizicei. Chimia coloidală a prețins un studiu detaliat al fenomenelor de adsorbție. Studiul energiei superficiale și al fenomenului de adsorbție, strâns legat de aceasta, s'a transformat în domenii mari, de sine stătătoare ale fizicei și chimiei. Lucrările importante ale lui Gibbs, Freundlich, Langmuir, Silov, Fajans, au apropiat fenomenele de adsorbție de fenomenele chimice.

Inafara de metodele ultramicroscopiei, chimia coloidală a dat și alte metode noi, care au avut o mare importanță pentru dezvoltarea celorlalte științe. Astfel, metoda ultracentrifugării a permis rezolvarea problemei referitoare la greutatea moleculară a proteinelor, la configurația moleculelor lor, lucru pe care nu-l puteau face metodele clasice ale chimiei fizice.

Chimia coloizilor are o importanță foarte mare în dezvoltarea științelor biologice, chiar prin însuși faptul că lichidele și țesuturile care compun organismul sunt sisteme coloidele. Procesele cele mai complexe, care sunt în legătură cu viața organismelor, descurg în sisteme coloidele.

Meteorologia studiază ceteurile, norii, prafurile atmosferei ca aerosisteme disperse.

Geologii, având de-a-face cu un sistem dispers — rocele — au recunoscut încă de pe timpul lui van Bemmelen (1880) că este necesar de a se studia din punctul de vedere al chimiei coloidale, fenomenele care au loc în roce și acest studiu a însemnat un mare pas înainte în dezvoltarea științei solurilor (K. Gedreuz).

Însușirile mineralelor, ale materialelor de construcții și ale aliajelor se studiază din punct de vedere al disperșiunii.

Agronomia și medicina, având de-a-face în primul rând cu substanțe coloidale, utilizează actualmente, într-o mare măsură, studiile despre soluri și geluri.

Tehnica se interesează des de sistemele coloidale și, în general, de sistemele disperse.

La prelucrarea tehnologică se pot confi diverselor materiale, prin schimbarea gradului de disperșiune, însușirile dorite, ca de ex.: cauciucului, pielei, celulozei și a. a.

Schimbarea gradului de disperșiune folosește deasemenea și la prepararea emulsiilor tehnice, a spumeelor, a suspensiilor.

Când în produse se găsesc sisteme coloidale nedorite, acestea trebuie îndepărtaate. Aceasta se face de pildă la rafinarea sucurilor din industria zahărului, la distrugerea emulsiilor din țăci, la curățarea de praf a gazelor din cuptoarele metalurgice și a. a.

Chimia coloidală găsește aplicații în tehnologia industriei alimentare, a cauciucului, a pielăriei, ca și la fabricarea lacurilor și coloranțiilor, a ceramicei și a. a.

Meritul chimiei coloidale constă în faptul că a atrăs atenția asupra variației proprietăților substanțelor în funcție de disperșiunea lor și a arătat că sistemele cu un grad de disperșiune mai mic decât cel molecular și mai mare decât cel microscopic, posedă însușiri deosebite; lucrul acesta n'a fost observat înainte de către fizicieni și chimici.

Wo. Ostwald<sup>1)</sup> a împreunat într'un mod foarte fericit toate aceste structuri ale gradului de disperșiune coloidal sub denumirea de metastructuri.

---

1) Wo. Ostwald, K. Beih. 42, 109, (1935) : traducere, Succesele chimiei 5, 687 (1936).

## II. SISTEME MONODISPERSE

### 1. NOTIUNI DESPRE DISPERSIUNEA SISTEMELOR

Având în vedere mărimea particulelor, sistemele disperse pot fi împărțite în următoarele categorii :

1. Suspensii și emulsii (pentru liosisteme): prafuli și cete (pentru aerosisteme), care au particule cu un diametru mai mare de  $0,2 \mu$
2. Lio și aerosoluri, care au particule cu diametrul cuprins între  $0,2$  și  $0,001 \mu$
3. Moleculele cristaloizilor în soluțiile adevărate, a căror particule au un diametru cuprins între  $0,1$  și  $1 m\mu$ .

Există multe metode de determinare a dispersiunii. Cea mai răspândită este metoda bazată pe cercetarea iușelii de deplasare a unei particule sub influența unei forțe oarecare constante, ca de pildă: forța centrifugă sau a atracției universale. O serie de metode se bazează pe cercetarea fenomenelor optice și electronice (ultramicroscopia, electronoscopia), pe cercetarea fenomenelor cinetice, pe ultrafiltrare, etc.

La studiul dispersiunii nu trebuie uitat că fază dispersă poate fi formată fie din particule de aceeași mărime — sisteme monodisperse, fie din particule de diferite mărimi — sistem polidispers. Ultimul se întâlnește mult mai des.

### 2. SEDIMENTAREA SUB INFLUENȚA FORȚEI GRAVITATEI. FORMULA LUI STOCKES

Ne vom opri în primul rând asupra metodelor bazate pe aplicarea formulei lui Stockes unor particule care se află într-un mediu vâscos și care se găsesc sub influența unei forțe, îndreptate într-o direcție anumită.

O particulă sferică de rază  $r$  care sedimentează sub acțiunea forței de gravitație cu accelerația  $g$  e supusă unei forțe motrice.

$$f_1 = \frac{4}{3} \pi r^3 (\delta_K - \delta) g, \quad (2)$$

în care  $\delta_K$  = densitatea particulei coloidale și  $\delta$  = densitatea mediului de disperziune.

Având în vedere că mișcarea particulei se produce într'un mediu vâscos (de viscozitate  $\eta$ ), forța de frecare  $f_2$ , egală după Stockes cu

$$f_2 = 6 \pi \eta r u \quad (3)$$

se va opune forței de atracție. Iuțeala de sedimentare  $u$  care crește cu timpul, va produce o creștere a forței de frecare  $f_2$  (care se opune mișcării), forța de gravitate  $f_1$ , rămânând constantă. În momentul când cele două forțe se vor egala, va avea loc egalitatea:

$$\begin{aligned} f_1 = f_2 &= \frac{4}{3} \pi r^3 (\delta_K - \delta) g = 6 \pi \eta r u; \\ 2 r^2 (\delta_K - \delta) g &= 9 \eta u \end{aligned} \quad (4)$$

După ce forțele se vor egala, particula va sedimenta cu o iuțeală constantă  $u$  până când va atinge fundul vasului.

Egalitatea (3), dedusă de Stockes, împreună cu egalitatea (2) permite determinarea razei particulei sferice în funcție de viteza de sedimentare  $u$ . Într'adevăr, din ecuația (4) vom avea :

$$r = \sqrt{\frac{u}{2g}} \cdot \sqrt{\frac{u \eta}{\delta_K - \delta}}, \quad (5)$$

sau înlocuind pe  $g$  cu 981,

$$r = 0,06773 \sqrt{\frac{u \eta}{\delta_K - \delta}} \quad (5a)$$

Ecuația lui Stockes a fost dedusă pentru cazul unor sfere atât de mari, încât lichidul, în comparație cu ele, putea fi considerat ca un mediu continuu. Reinhartum (1910) și J. Perrin (1910) au arătat că această ecuație poate fi aplicată și în cazul sferelor de dimensiuni ce ne interesează.

Legea lui Stockes pretinde ca particulele să aibă formă sferică; totuși majoritatea sistemelor noastre disperse nu satisfac această cerință esențială. Dacă emulsiile au particule sferice, atunci la suspensii e greu să ne așteptăm la forme absolut sferice. De pildă, argilele au particule în formă de lamele.

Particulele solurilor au o formă foarte variabilă : ea variază între forma sferică și forma de bastonașe. Apoi s'a mai obseruat că particulele pot avea nu numai o structură continuă, ci și spongiosă ; aceasta s'a observat mai ales la particulele secundare, adică la acelea care s'au format prin unirea a două particule primare, cu structură continuă.

În consecință, determinarea razei după formula lui Stokes (5) nu dă o valoare reală, ci o rază efectivă oarecare a unei particule de aceeași masă de substanță, care se deplasează cu aceeași iuțegală. O asemenea rază se numește rază echivalentă ; trebuie reținut că în multe cazuri, avem de-a face tocmai cu această mărime.

Sub acțiunea gravitației, particulele mărunte sedimentează foarte încet (tab. 2 și 3), ceea ce arată că această metodă poate fi aplicată numai în cazul particulelor mari.

Tabel 2

**Sedimentarea particulelor metalice în apă**  
 $\delta_K = 10$ ;  $\eta = 0,015$

$r$	$u$	$v_u = \tau_o$
$10^{-3}$ cm = 10 $\mu$	$1,706 \cdot 10^{-1}$ cm/sec.	5,86 sec.
$10^{-4}$ " = 1 $\mu$	$1,706 \cdot 10^{-3}$ "	9,8 min.
$10^{-5}$ " = 100 m $\mu$	$1,706 \cdot 10^{-5}$ "	16 ore
$10^{-6}$ " = 10 m $\mu$	$1,706 \cdot 10^{-7}$ "	68 zile
$10^{-7}$ " = 1 m $\mu$	$1,706 \cdot 10^{-9}$ "	19 ani

Tabel 3

**Sedimentarea particulelor minerale în apă**  
 $\delta_K = 2,7$ ;  $\eta = 0,015$

$r$	$u$	$v_u = \tau_o$
$10^{-3}$ cm = 10 $\mu$	$3,223 \cdot 10^{-2}$ = cm/sec,	31,03 sec.
$10^{-4}$ " = 1 $\mu$	$3,223 \cdot 10^{-4}$ = "	51,7 min.
$10^{-5}$ " = 100 m $\mu$	$3,223 \cdot 10^{-6}$ = "	86,2 ore
$10^{-6}$ " = 10 m $\mu$	$3,223 \cdot 10^{-8}$ = "	359 zile
$10^{-7}$ " = 1 m $\mu$	$3,223 \cdot 10^{-10}$ = "	100 ani

În aceste tabele se dă mărimea  $\frac{1}{u} = \tau_o$ , care indică în ce timp

o particulă de rază dată se va cufunda la o adâncime de 1 cm. Acest timp se numește **timpul de sedimentare**. Din valorile indicate reiese că, în cazul particulelor grele ( $\delta_K = 10$ ) practic nu se pot determina prin metoda sedimentării (folosind gravitația) particule cu raza mai mică de 50 m $\mu$ , iar în cazul particulelor ușoare se pot determina particule cu raza egală cu cca 100 m $\mu$ . La particulele cu greutatea specifică mică, de pildă, ca cea a substanțelor organice (cca 1,5) determinarea devine și mai grea.

Se poate determina viteza de sedimentare a unei particule separate în funcție de mărimea ei, observând mișcarea particulei la microscop sau ultramicroscop. Asemenea cercetări au fost efectuate de Svedberg și Estrup<sup>1)</sup> asupra mercurului, dispersat electric în apă și asupra unor emulsii.

Pentru determinarea vitezei de sedimentare se poate observa mișcarea nu numai a unei singure particule, ci a întregii masă, cecace de multe ori e mult mai ușor, căci în acest caz observarea nu necesită întrebunțarea microscopului sau a ultramicroscopului, ci se poate face cu ochiul liber. Dacă avem de-a-face cu sisteme monodisperse, atunci toate particulele sedimentează sub formă de coloană continuă, cu aceeași iuțeală, lăsând la suprafață mediul de dispersiune liber.

Să cercetăm în ce mod descurge fenomenul de sedimentare. Să presupunem că într'un cilindru (fig. 4) se găsește un sol (suspensie), a cărui înălțime e egală cu  $H$ . După un timp oarecare  $\tau$  din cauza sedimentării particulelor, se formează deasupra solului care sedimentează un strat transparent de mediu de dispersiune, liber de particule, având înălțimea  $h$ .

Cunoscând  $h$  și  $\tau$ , vom găsi iuțeala de sedimentare  $u = \frac{h}{\tau}$ ; înlocuind pe  $u$  în formula (5), vom afla raza  $r$ .

Prin această metodă, J. Perrin<sup>2)</sup> a determinat (1908-1910) gradul de dispersiune al unei soluții de cauciuc.

Autorul a determinat cu această metodă dispersiunea hidrosoluției  $As_2S_3$ ; experiența a durat 1534 zile (de la 6.XII.1911 până la 19.II.1916) iar viteza de sedimentare rămânea tot timpul con-

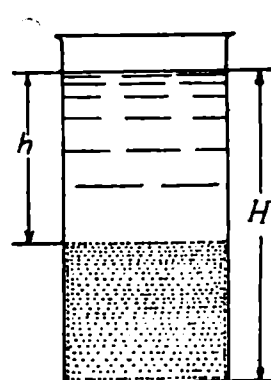


Fig. 4. — Sedimentarea particulelor unei suspensii.

1) Th. Svedberg și K. Estrup, K. Z. 9,259 (1911).

2) J. Perrin, K. Beih., 1, 221 (1910).

stantă, egală cu 0,030 cm. pe zi<sup>1)</sup>). Această experiență arată că solurile pot păstra mult timp gradul lor de dispersiune invariabil.

Aplicând formula lui Stokes, trebuie reținut că în unele cauzuri se observă abateri, și anume:

1. Particulele situate în apropierea pereților sedimentează neregulat; această sedimentare neregulată se observă (după Lorenz) la distanțe de ordinul câtorva zeci de microni;

2. Particulele care se depun sub formă de strat gros (nor) sedimentează, după cum a arătat Smoluchovschi, cu o iuțeală diferită de iuțeala de sedimentare a unei particule izolate, care cade liber.

În loc de a determina viteza de sedimentare se poate determina viteza de formare a stratului de substanță ce sedimentează pe fundul vasului. Să presupunem că turnăm într'un cilindru un sol (o suspensie) până la o înălțime  $H$  de fund (vezi fig. 4) și, fie cantitatea de fază dispersă cuprinsă în acest volum, egală cu  $A$ . Sub influența forței de gravitație, particulele se vor depune la fund cu o iuțeală constantă  $u$ . Dacă vom nota cu  $p$  cantitatea de substanță care s'a depus la fund într'un timp  $\tau$ , atunci, în fiecare unitate de timp, sedimentul se va mări cu o cantitate constantă egală cu

$$\frac{dp}{d\tau} \text{ gr}$$

Viteza de formare a sedimentului  $\frac{dp}{d\tau}$  este direct proporțională cu viteza de sedimentare  $u$ , cu cantitatea de substanță dispersată  $A$  și invers proporțională cu înălțimea coloanei  $H$ , adică

$$\frac{dp}{d\tau} = k \frac{Au}{H} \text{ sau } dp = k \frac{Au}{H} d\tau$$

Integrând, vom obține cantitatea de sediment care s'a depus la fund într'un timp  $\tau$  egală cu

$$p = k \frac{Au}{H} \tau \quad (6)$$

E ușor de dovedit că  $k = 1$ . Pentru aceasta vom considera cazul când particulele cele mai de sus se vor depune la fund. Aceasta se va întâmpla într'un interval de timp

1) A. Dumanschi, K. Z., 26, 98 (1925).

$$\tau_1 = \frac{H}{u}$$

E clar că atunci când  $\tau = \tau_1$

$$\frac{dp}{d\tau} = 0 \text{ și } p = A$$

Inlocuind valorile lui  $p$  și  $\tau_1$  în ecuația (6) vom avea

$$A = k \frac{Au}{H} \cdot \frac{H}{u}, \text{ de unde } k = 1.$$

Determinând din ecuația (4) valoarea  $u$  și înlocuind-o în (6), vom avea :

$$p = \frac{2}{9} \cdot \frac{A}{H} \cdot \frac{\delta_K - \delta}{\eta} \cdot gr^2 \tau \quad (7)$$

dе unde se poate determina ușor  $r$ , cunoscând cantitatea de substanță  $p$ , care s'a sedimentat într'un timp  $\tau$

$$r = \sqrt{\frac{9p}{2g\tau}} \cdot \sqrt{\frac{H\eta}{A(\delta_K - \delta)}} = 0,0677 \cdot \sqrt{\frac{H\eta}{A(\delta_K - \delta)}} \cdot \frac{p}{\tau} \quad (7a)$$

### 3. METODA CENTRIFUGĂRII

Dat fiind faptul că sedimentarea sub acțiunea forței de gravitație se face încet, ceeace rezultă clar din tab. 2 și 3, și că din această cauză nu se aplică decât la particule relativ mari, autorul a propus încă din anul 1912<sup>1)</sup> utilizarea centrifugei.

Mai târziu, Svedberg<sup>2)</sup> a construit (1923) aşa numita ultracentrifugă, care a permis determinarea mărimei particulelor coloidale cu un mare grad de dispersiune.

Construcția centrifugei lui Svedberg a permis să se fotografieze automat, în anumite momente cuva cu solul conținut în ea și să se observe pe fotografie iuțeala de sedimentare a particulelor coloidale. Din fig. 5 se vede cum sedimentează particulele colorate de aur ; stratul incolor și transparent al mediului de dispersiune e nehașurat. Înălțimea, variabilă cu timpul a acestui strat transparent, permite, ca și în cazul precedent, calcularea razei particulei care sedimentează.

1) Dumanschi, K. Z. 12, 6 (1913); Disertație, Chiev, 1913.

2) Th. Svedberg, Chimia coloizilor (traducere) M. 1930.

Prima centrifugă a lui Svedberg a permis determinarea particulelor de aur până la  $20 \text{ m} \mu$ ; a doua, mai perfectionată, denumită ultracentrifugă, a permis să se lucreze cu particule de  $2 \text{ m} \mu$ . Actualmente s-au cercetat cu ajutorul ultracentrifugei, hidrosolurile proteinelor<sup>1)</sup> și s'a determinat atât dimensiunea particulei, cât și greutatea moleculară a proteinelor și a sărurilor acizilor macromoleculari (săpunurilor<sup>2)</sup>.

Ultracentrifuga dă o accelerare de 100.000 ori mai mare decât accelerarea gravitației terestre. În anul 1934, Svedberg a

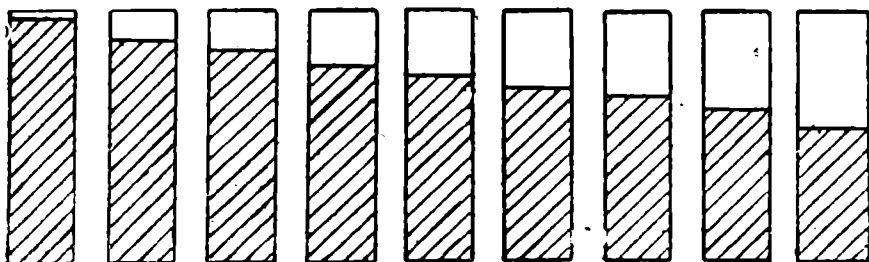


Fig. 5. — Sedimentarea consecutivă a solului de aur într'o cuvă.

construit o ultracentrifugă care dă o accelerare egală cu 900.000 g. Pentru ca să ne putem face o idee de câte ori micșorează ultracentrifuga timpul de sedimentare  $\tau = \frac{1}{u}$ , vom determina din formula (4) mărimea  $u$ . Vom avea :

$$u = \frac{2}{9} \cdot \frac{r^2}{\eta} g (\delta_K - \delta) \quad (8)$$

Inlocuind pe  $g$  cu valoarea  $100.000 \text{ g} = 9.800.000$  vom găsi pentru mărimea  $u$  valoarea :

$$u_1 = \frac{2}{9} \cdot \frac{r^2}{\eta} (\delta_K - \delta) \cdot 9.800.000 ;$$

de unde

$$\tau_1 = \frac{1}{u_1} = 0,00001 \cdot \frac{1}{u} \text{ sau } \tau_1 = \tau \cdot 10^{-5}$$

1) Th. Svedberg, J. Phys. et Radium, VII, 2, 227 (1931). Ch. Rev. 14, 1 (1934).

2) W. J. Mc Bain a Laing, M. E. Mc Bain, Proc. Roy. Soc. London (A) 139, 26 (1933).

In tabelele 2 și 3 este indicat că duratele de sedimentare pentru particulele de 1 m<sup>μ</sup> la  $\delta_K = 10$ , sunt de 19 ani, iar la  $\delta_K = 2,7$  — de 100 ani. Prin întrebunțarea ultracentrifugei, timpul se micșorează de 100.000 ori. În afară de aceasta, construcția ultracentrifugei este de așa natură încât ea poate suporta o rotație îndelungată și uniformă; cuvele cu soluții se află la o temperatură constantă și există și un dispozitiv pentru fotografierea automată.

Deducerea formulei de care s'a folosit Svedberg e deosebită bazată pe aplicarea formulei lui Stokes. Această formulă s-ar obține ușor din ecuația (2), prin înlocuirea accelerării gravitației  $g$  cu accelerarea centrifugală. Totuși, nu ne putem limita la aceasta, căci distanța  $x$  a particulei care sedimentează, de axa de rotație  $y$  și  $z$ , este o mărime variabilă (fig. 6). Din acest motiv, în acest caz, formulă se deduce altfel.

Să presupunem că o particulă sferică de rază  $r$  se mișcă sub acțiunea forței centrifuge, egală cu :

$$f_1 = \frac{4}{3} \pi r^3 (\delta_K - \delta) \omega^2 x$$

unde  $\omega$  = viteza unghiulară. Iuțeala de mișcare a particulei este determinată de mărimea  $\frac{dx}{d\tau}$ ; în consecință, forța de frecare va fi egală cu :

$$f_2 = 6 \pi \eta r \frac{dx}{d\tau} \quad (9)$$

Egalând  $f_1$  cu  $f_2$  vom determina  $\frac{dx}{d\tau}$ .

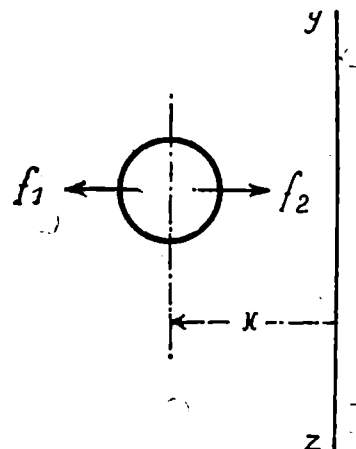


Fig. 6. — Schema mișării unei particule sferice sub acțiunea forței centrifuge.

$$\frac{dx}{d\tau} = \frac{2}{9} \cdot \frac{r^2 (\delta_K - \delta)}{\eta} \omega^2 x$$

sau

$$\frac{dx}{x} = \frac{2}{9} \cdot \frac{r^2 (\delta_K - \delta)}{\eta} \cdot \omega^2 d\tau \quad (10)$$

Ecuația (10) e complet analoagă cu ecuația (8). Integrând între limitele  $x_1$  (poziția particulei față de axa de rotație la începutul experienței) și  $x_2$  (poziția după intervalul de timp  $\tau$ ), vom avea :

$$\ln \frac{x_2}{x_1} = \frac{2}{9} r^2 (\delta_K - \delta) \frac{\omega^2}{\eta} \tau$$

De aici se poate determina raza particulei :

$$r = \sqrt{\frac{9}{2} \frac{\eta}{(\delta_K - \delta) \omega^2 \tau} \cdot \ln \frac{x_2}{x_1}} = \frac{3,2193}{\omega} \sqrt{\frac{\eta}{(\delta_K - \delta) \tau} \cdot \lg \frac{x_2}{x_1}} \quad (11)$$

Dată viteza unghiulară se poate trece la numărul de rotații  $n$ , înlocuind valoarea  $\omega = 2\pi n$  în ecuația (11) :

$$r = \frac{3,2193}{2\pi n} \sqrt{\frac{\eta}{(\delta_K - \delta) \tau}} \cdot \sqrt{\lg \frac{x_2}{x_1}}. \quad (11 \text{ a})$$

#### 4. GREUTATEA MOLECULARĂ

Folosind ultracentrifuga, se poate determina greutatea micellară și greutatea moleculară a compușilor macromoleculari. Ea va trebui să fie egală cu greutatea unei particule, înmulțite cu  $N = 6,06 \cdot 10^{23}$  (numărul lui Avogadro).

Pentru a deduce formula greutății moleculare  $M$ , să găsim forța  $f$ , cu care o moleculă-gram de coloid se mișcă în mediul de dispersiune sub acțiunea forței centrifuge. Această forță este egală cu :

$$f = M\omega^2 x - A,$$

unde  $x$  este distanța particulei de axa de rotație,  $A$  — pierderea în greutate, datorită deslocuirii unui volum de lichid prin cufundarea a  $N$  particule de substanță în mediul de dispersiune, mărimea  $A$  fiind egală cu  $MV\delta\omega^2x$ , unde  $V$  e volumul specific al substanței (volumul ocupat de 1 g. de particule) și  $\delta$  densitatea mediului.

De unde

$$f = M(1 - V\delta)\omega^2 x$$

Forța  $f$  trebuie să învingă forța de frecare, care conform ecuației (9) este egală cu

$$f_1 = 6\pi\eta r N \frac{dx}{d\tau}$$

unde  $r$  e raza particulei.

Dar, după cum va fi arătat ulterior (formula 54), are loc următoarea relație:

$$6\pi\eta r N = \frac{RT}{D}$$

unde  $R$  e constanta gazelor,  $T$  temperatura absolută și  $D$  constanta de difuziune.

De unde

$$f_1 = \frac{RT}{D} \cdot \frac{dx}{d\tau}$$

Știind că  $f_1 = f$  vom avea

$$M(1 - V\delta) \omega^2 x = \frac{RT}{D} \cdot \frac{dx}{d\tau}$$

Integrând, vom obține:

$$M(1 - V\delta) \omega^2 \int_0^\tau d\tau = \frac{RT}{D} \int_{x_1}^{x^2} \frac{dx}{x}$$

De aici se poate calcula valoarea greutății moleculare:

$$M = \frac{RT}{D(1 - V\delta)} \frac{1}{\omega^2 \tau} \ln \frac{x_2}{x_1} \quad . \quad (12)$$

Constanta de difuziune se determină printr'o experiență separată.

La particulele foarte mici, apropiate prin mărimea lor de moleculele mari (de ex. proteinele), trebuie luată în considerare încă o forță — forță de difuziune — care se opune sedimentării particulelor. Svedberg a dat modul de calcul și pentru acest caz.

Incepând din anul 1930 Svedberg și colaboratorii săi au întreprins cu ajutorul ultracentrifugei cercetarea greutăților moleculare ale proteinelor și celulozei și au obținut valori mult mai probabile, decât cele ce au fost date de metodele fizico-chimice anterioare. În tab. 4 se indică unele din valorile găsite <sup>1)</sup>.

---

1) Th. Svedberg u. K. O. Pedersen, Die Ultrazentrifuge, Theorie, Konstruktion und Ergebnisse (1940).

Tabela .

**Greutățile moleculare ale unor compuși macromoleculari  
(după Svedberg)**

Substanță	Solventul	Greutatea moleculară
acetil celuloza . . . . .	acetona	$5 \cdot 10^4 - 25 \cdot 10^4$
nitroceluloza . . . . .	"	$10 \cdot 10^4 - 16 \cdot 10^4$
metilceluloza . . . . .	apa	$14 \cdot 10^5 - 38 \cdot 10^5$
celuloza . . . . .	soluție amoniacală de cupru	$2 \cdot 10^6 - 3 \cdot 10^6$
polistirol . . . . .	cloroform	$3 \cdot 10^4 - 27 \cdot 10^4$
policloropren . . . . .	clorură de butil	$18 \cdot 10^4$
" . . . . .	cloroform	$10 - 10^4$
cauciuc . . . . .	eter, benzen	$4 \cdot 10^5$
amidon . . . . .	soluție apoasă saturată de $ZnCl_2$	$3 \cdot 10^6$
pectina din mere, pere, prune	apa	$25 \cdot 10^3 - 35 \cdot 10^3$
pectina din portocale . . .	idem	$40 \cdot 10^3 - 50 \cdot 10^3$
caseina, după Hammersten . .	" (pH = 6,8)	$375256 \pm 11.000$
gaseina, după Van Slyke . .	" (pH = 0,8)	$7 \cdot 10^4 \pm 10 \cdot 10^4$
elobulina . . . . .	" (pH = 5,5)	$138 \cdot 10^3$
excelsina . . . . .	" (pH = 4,2)	$212.000 \pm 5000.$

In tab. 5 sunt indicate greutățile moleculare și razele moleculelor unor proteine.

Tabela 5

**Greutățile moleculare și razele moleculelor substanțelor albuminoase**

Substanță	Originea	Greutatea moleculară	Raza moleculei în $\mu$
proteina . . . . .	păr	35.000	2,18
albumina din ou . . . .	ouă de găină	34.500	2,17
hemoglobina . . . . .	sânge de cal	68.000	moleculele nu sunt sferice
serum-albumina . . . .	idem	67.500	idem
serum-glóbulina . . . .	idem	103.800	molecule asimetrice
amandina . . . . .	migdale	208.000	3,94
edestina . . . . .	idem	208.000	3,94
legumina . . . . .	vica	208.000	3,96
hemocianina . . . . .	idem	2.000.000	12,0

Una din dificultățile de construcție ale ultracentrifugei cu turăție mare a fost întărirarea frecării pieselor ce se rotesc și

a posibilității lor de încălzire. Aceasta limitează mărirea ulterioară a turăriei.

In anul 1925, savanții francezi Henriot și Huguenard au dat principii noi pentru obținerea vitezelor mari de rotație, fără întrebunțarea lagărelor, care necesită ungere. Ei au arătat că rotorul centrifugei poate fi rotit cu mare viteză într'un vârtej de aer, obținut prin introducerea aerului comprimat în spațiul în care se găsește rotorul. Vârtejul obținut ridică rotorul, care astfel se găsea suspendat într'un curent de gaz și îl rotea cu o viteză enormă. In anul 1930 s'a construit pe acest principiu o ultracentrifugă, care dă 360.000 ture pe minut.

Inlocuind aerul cu hidrogen comprimat s'a reușit (1934) să se aducă viteza de rotație până la 1.200.000 ture pe minut.

Asemenea centrifuge au permis determinarea greutății moleculare nu numai a substanțelor coloidale și macromoleculare în soluție, dar și a unor substanțe mult mai simple ca glicolul, clorura de sodiu și de litiu.

După cum vedem, întrebunțarea ultracentrifugei permite determinarea greutăților moleculare în limite extrem de mari, începând dela moleculele gigantice ale virusurilor, a căror greutate moleculară atinge 15-20 milioane, până la moleculele mici de clorură de litiu.

### III. SISTEME POLIDISPERSE

#### 1. ANALIZA SISTEMELOR POLIDISPERSE

După cum s'a arătat mai sus, sistemele coloidale sunt foarte rareori monodisperse. Majoritatea suspensiilor, emulsiilor și soluțiilor, atât artificiale, cât și a celor ce se găsesc în natură, sunt polidisperse.

Dacă unui asemenea sistem polidispers i se va aplica o forță oarecare constantă (gravitația, forța centrifugă), atunci grupele de particule cu aceeași rază se vor depune cu aceeași iuțeală dar cel mai repede se vor depune grupele cu particule mari și mai incet — grupele cu particule mici. S-ar părea că sistemul se descompune într-o serie de sisteme monodisperse, care sedimentează după legile care ne sunt cunoscute. Din acest motiv, orice sistem polidispers poate fi considerat ca un amestec de mai multe sisteme monodisperse, cu particule care au o rază anumită. Asemenea sisteme monodisperse componente se numesc fracțiuni.

Analiza polidispersă permite analizarea sistemelor polidisperse și determinarea cantității fiecărei fracțiuni care intră în compoziția sistemului. În esență, analiza polidispersă constă din următoarele :

Să presupunem că greutatea fazei disperse a sistemului (greutatea suspensiei) este egală cu  $A$  și că ea se compune din greutățile fracțiunilor componente  $F_1, F_2, F_3, \dots$  de raze  $r_1, r_2, r_3, \dots$

Atunci se poate scrie :

$$A = F_1 + F_2 + F_3 + \dots \quad (13)$$

sau în procente:

$$100 = F_1 \% + F_2 \% + F_3 \% + \dots$$

E mai comod de a se lua fracțiuni cu particule care să nu aibă o rază anumită, ci una cuprinsă în limitele de dispersiune între  $r_1$  și  $r_2$  alegând  $r_2 - r_1 = \Delta r$ , conform cu cerințele practice între limitele mai înguste sau mai largi. Este foarte comod de a reprezenta polidispersiunea în mod grafic. În acest caz (fig. 7)

se iau pe axa absciselor razele particulelor fracțiunii, iar pe axa ordonatelor greutatea fiecărei fracțiuni, divizată prin  $\Delta r$ :

$$\frac{F}{\Delta r} = F(r). \quad (14)$$

Atunci cantitatea fiecărei fracțiuni, formată din particule cu raze cuprinse între  $r_1$  și  $r_2$  (după cum se vede din fig. 7) va fi reprezentată printr'o suprafață hașurată, egală cu:

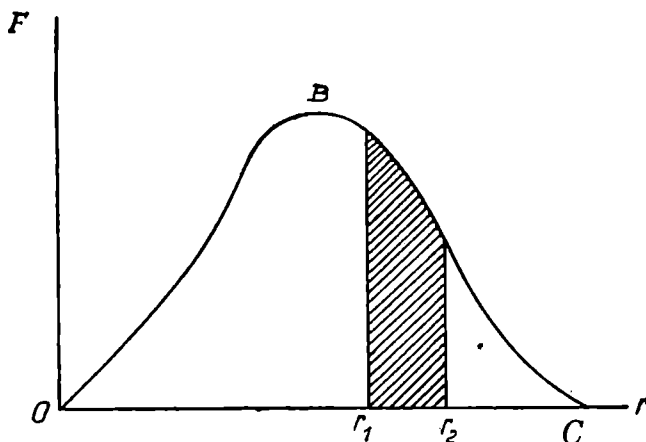


Fig. 7. – Curba de repartiție.

$$F(r) \Delta r = \frac{F}{\Delta r} \Delta r = F$$

Intreaga suprafață OBC este egală cu greutatea fazelor disperse  $A$ , sau, dacă se calculează în procente, atunci suprafața OBC = 100%. Curba OBC se numește curbă de repartiție, care caracterizează polidispersiunea sistemului  $r$ .

Pentru a determina felul funcționării  $F(r)$  și deci forma curbei de repartiție, se pot folosi diverse metode. Să cercetăm unele din ele, bazate pe aplicarea formulei lui Stokes.

Svedberg și Oden au cercetat foarte amănunțit aceste metode, atât teoretic cât și experimental.

Considerațiile teoretice se reduc, pe scurt, la următoarele:

Intr'un vas cilindric se găsește un sistem polidispers, care conține  $A$  grame de fază dispersă într'un mediul lichid. Sub acțiunea gravitației, fiecare din fracțiunile componente va sedimenta și se va depune la fundul vasului, conform ecuației (7) și anume :

$$p = \frac{2}{9} \cdot \frac{F}{H} \cdot \tau \frac{\delta_K - \delta}{\eta} gr^2$$

Cum pentru un sistem dat mărimile  $\delta_K$ ,  $\delta$ ,  $\eta$  și  $g$  sunt mărimi constante, atunci notând

$$\frac{2}{9} \cdot \frac{\delta_K - \delta}{\eta} \cdot g = C,$$

vom avea pentru cantitatea de substanță depusă, formula :

$$p = \frac{FCr^2 \tau}{H} \quad (15)$$

iar pentru viteza de sedimentare :

$$\frac{dp}{d\tau} = \frac{FCr^2}{H} \quad (15a)$$

Din formulele (15) și (15a) se vede că atât timp cât durează sedimentarea fracțiunii, mărimea  $p$ , egală cu cantitatea de substanță depusă a fracțiunii, va fi variabilă și va depinde de rază : aceasta are loc în cazul când timpul  $\tau$  nu e suficient pentru sedimentarea completă a fracțiunii, adică atunci când

$$\tau < \frac{H}{u} \quad (16)$$

Pe baza ecuației (8), pe care o vom scrie sub forma

$$u = Cr^2$$

vom obține o altă expresie pentru această condiție :

$$\tau < \frac{H}{Cr^2} \text{ sau } r < \sqrt{\frac{H}{C\tau}} \quad (16a)$$

Când însă timpul  $\tau$  va deveni atât de mare, încât fracțiunea cea mai puțin dispersată se va aduna toată pe fund, ceea ce are loc în cazul când

$$\tau \geq \frac{H}{u}; \tau \geq \frac{H}{Cr^2}; r \geq \sqrt{\frac{H}{C\tau}} \quad (17)$$

atunci mărimea  $p$  devine constantă. Aceasta este ușor de observat, dacă vom înlocui valoarea

$$\tau = \frac{H}{u} = \frac{H}{Cr^2}$$

în ecuația (15); atunci

$$p = \frac{FCr^2}{H} \tau = \frac{FCr^2}{H} \cdot \frac{H}{Cr^2},$$

deci

$$p = F$$

O mărire ulterioară a valorii  $\tau$  nu mai influențează asupra variației mărimii  $p$ , care a atins deja limita  $p=F$  și nu mai poate crește. E clar că dacă  $p$  devine constant, atunci

$$\frac{dp}{d\tau} = 0$$

Astfel, condițiile pentru sedimentarea completă a fracțiunii celei mai mari sunt:

$$\left. \begin{array}{l} p = F, \\ \frac{dp}{d\tau} = 0, \end{array} \right\} \quad (18)$$

unde  $F$  e cantitatea de substanță conținută în întreaga fază sedimentată. Cum însă sistemul se compune din mai multe fracțiuni

$$F_1 + F_2 + F_3 + \dots = A$$

cu particule de raze  $r_1, r_2, r_3\dots$ , pentru fiecare fracțiune care sedimentează se poate scrie ecuația (15). Dacă vom nota cu  $P\tau$ , cantitatea de substanță, ce s'a depus la fund în timpul  $\tau$  atunci viteză cu care substanța se va aduna la fund va fi:

$$\frac{dP\tau}{d\tau} = \frac{dp_1}{d\tau} + \frac{dp_2}{d\tau} + \dots + \frac{dp_n}{d\tau} = \Sigma \frac{dp}{d\tau}, \quad (19)$$

unde, conform condițiilor (16) și (17) și ecuațiilor (18) și (19) în expresia vitezelor  $\Sigma \frac{dp}{d\tau}$  au intrat ca componente fracțiunile în sedimentare, care satisfac condițiile (16) și (16a).

Cantitatea de substanță  $P\tau$ , depusă la fund în intervalul de timp conform ecuației (15) va fi exprimată în modul următor:

$$\begin{aligned} P\tau = p_1 + p_2 + p_3 + \dots + pk + \dots + p_n &= \frac{C\tau}{H} F_1 r_1^2 + \\ &+ \frac{C\tau}{H} F_2 r_2^2 + \dots + \frac{C\tau}{H} F_k r_k^2 + \dots + \frac{C\tau}{H} F_n r_n^2 \end{aligned} \quad (20)$$

Dacă pentru particulele unei fracțiuni oarecare  $F_k$  va fi îndeplinită condiția  $r \geq \sqrt{\frac{H}{C\tau}}$ , atunci membrul corespunzător al expresiei (20) va căpăta o valoare constantă și nu va depinde de timp, adică

$$\begin{aligned} P_\tau &= \frac{C\tau}{H} F_1 r_1^2 + \frac{C\tau}{H} F_2 r_2^2 + \dots + F_k + \dots F_n = \\ &= \frac{C\tau}{H} F_1 r_1^2 + \frac{C\tau}{H} F_2 r_2^2 + \dots + S, \end{aligned} \quad (21)$$

sau:

$$P_\tau = \tau \Sigma \frac{dp}{d\tau} + S$$

Din ecuația (21) se vede că fracțiunile  $F_k$  și  $F_n$ , cu razele cele mai mari, egale, și mai mari decât  $r_K$  s-au depus complet la fund și au devenit mărimea constante, intrând în suma  $S$ , fracțiunile cu raze mai mici decât  $r_K$  s-au depus numai parțial. Funcția dată de ecuația (20) o vom denumi funcție de sedimentare, iar curba prin care se poate reprezenta această funcție în coordinate  $\rho$  și  $\tau$  o vom denumi curba de sedimentare.

Funcțiunea de sedimentare nu depinde probabil de înălțimea  $H$  a lichidului introdus în cilindru și nici de concentrația lui.

Raționamentele indicate mai sus arată că, observând sedimentarea particulelor, putem să ne facem o idee despre fracțiunile componente.

Introducând în ecuația vitezelor (19) cu anumite intervale de timp  $\tau_1, \tau_2, \dots$ , vom observa că fiecărei valori a lui  $\tau$  ii va corespunde o sedimentare completă a fracțiunii cu particule de

raze  $r_1, r_2, \dots$ , conform condiției:  $r_1 = \sqrt{\frac{H}{C\tau_1}}$  și a.m.d.

Din expresia vitezei generale de sedimentare  $\Sigma \frac{dp}{d\tau}$  se vor elimina consecutiv expresiile pentru vitezele de sedimentare  $\frac{dp_k}{d\tau} = 0, \frac{dp_n}{d\tau} = 0 \dots$  ale fracțiunilor separate  $F_k$  și  $F_n$ , de raze  $r_k \dots r_n$ . În ecuația care exprimă cantitatea de sediment (21), va începe, la rândul său, să crească partea constantă  $S$ , în care trec fracțiunile sedimentate complete.

Nu ne vom opri aici asupra rezolvării matematice complete a ecuațiilor (19) și (21)<sup>1)</sup>.

Sedimentarea particulelor poate fi observată prin diverse metode<sup>2)</sup>: se poate măsura, de pildă, variația concentrației la o anumită adâncime în diferite momente de timp, sau se poate măsura simultan concentrația la diferite adâncimi.

Apoi se poate măsura variația presiunii hidrostatice, produsă de coloana de suspensie, care sedimentează și se determină cantitatea de sediment ce se formează.

Să analizăm ambele metode:

1) Determinarea cantității de sediment, ce se adună la fund în anumite intervale de timp;

2) Determinarea presiunii hidrostatice a coloanei de suspensie, ce sedimentează.

Rezolvarea ecuațiilor se face, pentru simplificare, prin metoda grafică.

## 2. METODA SEDIMENTĂRII

Suspensia de cercetat se introduce într'un cilindru (fig. 8); în apropierea fundului cilindrului, la înălțimea  $H$  de fund, se află talerul unei balanțe.

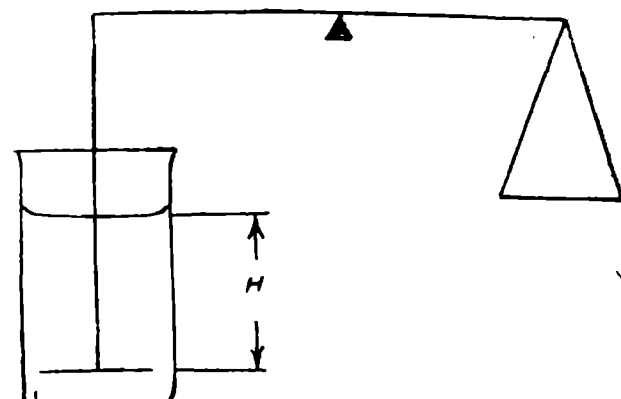


Fig. 8. — Schema balantei lui Oden.

Suspensia, care se găsește în vas, sedimentând, se adună pe taler. Pentru a menține balanța în echilibru pe toată durata ex-

1) Pentru completare, vezi A. V. Dumanschi, Metoda de determinare a dispersiunii solurilor, emulsiori și suspensiilor. Nota Institutului agricol Vonorej, 11 (1928); I. Alexander Colloid Chemistry I, 861 N. Y. 1926, articolul lui Sv. Oden.

2) F. V. Hahn, Anașza dispersiunii (traducere), 1940; H. Gessner, Die Schlammanalyse, Leipzig, 1931.

perientei, se adaugă din când în când, pe celălalt tăler, greutăți.

Se notează momentul inițial, la care se introduce suspensia în cilindru. Apoi, înscriind intervalele de timp scurte se notează greutățile puse pe tăler pentru menținerea balanței în echilibru.

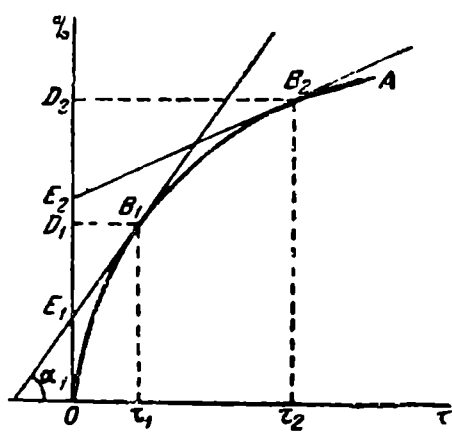


Fig. 9. — Curba de sedimentare.

Timpul și greutățile corespunzătoare se introduc în diagramă, punând în ordonată greutățile echivalente cu cantitatea de suspensie sedimentată, iar în abscisa timpul corespunzător cantităților notate de sediment.

Se obține curba de sedimentare OA (fig. 9).

E mai comod de a exprima cantitatea de substanță sedimentată în procente, egalând întreaga cantitate de substanță depusă  $A = 100$ .

Să analizăm curba de sedimentare obținută.

Din cele spuse mai sus, se știe că după scurgerea timpului  $\tau_1$  dela începutul reacției, toată fracțiunea cu razele  $r_1 \geq \sqrt{\frac{H}{C\tau}}$ , conform condiției (17), s'a depus complet la fund. Să ducem în punctul  $B_1$  tangenta  $B_1E_1$  și să notăm cu  $E_1$  punctul de intersecție cu axa ordonatelor; din același punct  $B_1$  să ducem o perpendiculă  $B_1D_1$  pe aceeași axă. Atunci, după cum rezultă din figură,  $OD_1 = P_1$ , care corespunde cu  $S_1$  — adică, cantitatea de substanță continută în fracțiunea  $F_1$  ce s'a sedimentat în întregime și ale cărei particule au raza

$$r_1 \geq \sqrt{\frac{H}{C\tau_1}}$$

și cantității de fracțiuni, care sedimentează cu raza particulelor

$$r_1 < \sqrt{\frac{H}{C\tau_i}}$$

Astfel, cantitatea totală de substanță sedimentată

$$P_1 = F_1 + \sum \frac{dp}{d\tau} \cdot \tau_1.$$

Din diagramă se determină ușor valoarea  $\frac{dp}{d\tau} \cdot \tau_1$ , din triunghiul  $D_1 E_1 B_1$ , știind că  $\frac{dp}{d\tau}$  este egal cu panta tangentei  $E_1 B_1$   $\frac{dp}{d\tau} = \operatorname{tg} \alpha_1$ ; de unde:

$$D_1 E_1 = D_1 B_1 \operatorname{tg} \alpha_1 = \Sigma \frac{dp}{d\tau} \cdot \tau_1$$

Cantitatea totală de sediment este egală cu segmentul  $OD_1$ , din care  $D_1 E_1$  revine fracțiunilor în sedimentare; cantitatea fracțiunilor ce s-au depus complet în limitele cuprinse între particulele cele mai mari ( $r_{\max}$ ) și particulele de rază  $r_1$  e figurată prin segmentul

$$OE_1 = OD_1 - D_1 E_1 = F_1.$$

În acest mod am determinat fracțiunea între limitele dela razele foarte mari până la  $r_1$  prin segmentul  $OE_1 = F_1$  (în procente).

Să considerăm acum următorul moment de timp  $\tau_2$  și să facem aceeași construcție. În mod analog obținem pe curbă punctul  $B_2$  și tangentă  $B_2 E_2$ . Atunci segmentul

$$OD_2 = P_2 = S_2 + \Sigma \frac{dp}{d\tau} \cdot \tau_2,$$

și segmentul

$$D_2 E_2 = D_2 B_2 \cdot \operatorname{tg} \alpha_2 = \Sigma \frac{dp}{d\tau} \cdot \tau_2$$

Partea de fracțiune sedimentată în întregime este egală cu

$$OD_2 - D_2 E_2 = OE_2 = F_1 + F_2 = S_2$$

dar

$$F_2 = S_2 - F_1$$

de unde

$$E_2 E_1 = OE_2 - OE_1 = F_2.$$

Astfel, segmentul  $E_2E_1$  va da în procente partea de fracțiune cu raza particulelor dela  $r_1$  la  $r_2$ .

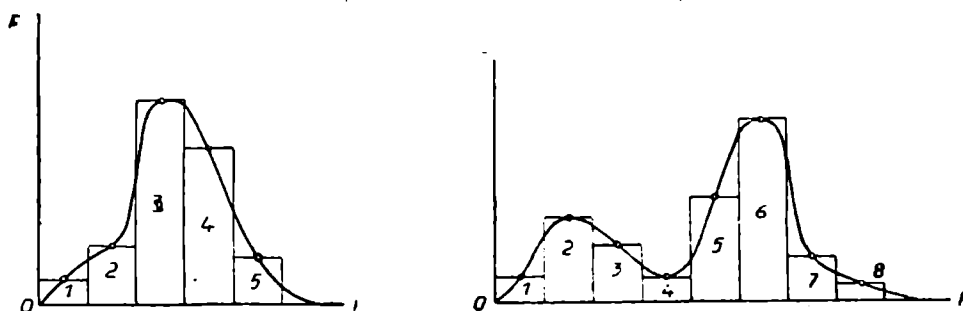
Analizând în acest fel toate punctele curbei de sedimentare, vom determina cantitatea de substanță în fiecare din fracțiunile componente.

După ce se determină cantitatea tuturor fracțiunilor între limitele lor se calculează valoarea  $F(r) = \frac{F}{\Delta r}$  și se alcătuiește tabela (6):

Tabel 6

Calcularea valorii  $F(r)$ 

Raza	Partea de fracțiune		$F(r)$
	în grame	în %	
$r_{max} - r_1$	$F_1$	$F'_1 \% = \dot{O}E$	$\frac{F'_1}{r_{max} - r_1}$
$r_1 - r_2$	$F_2$	$F'_2 \% = E_1 E_2$	$\frac{F'_2}{r_1 - r_2}$
$r_2 - r_3$	$F_3$	$F'_3 \% = E_2 E_3$	$\frac{F'_3}{r_2 - r_3}$
• • • •	• • •	• • • • • • • • 100 %	• • • •

Fig. 10. Tipuri de curbe de repartiție:  
A — cu un maxim, B — cu două maxime

Pentru exemplificare, pe baza datelor indicate în tab. 6 se construiesc curbele de repartiție, luând pe axa ordonatelor  $F(r)$

iar pe axa absciselor valorile  $r$ , sau, pentru micșorarea dimensiunii diagramei, valorile  $\lg r$ .

Pe diagramă se obține o curbă scarificată (fig. 10), formată din dreptunghiurile 1, 2, 3... ale căror suprafețe sunt egale cu cantitatea de substanță a fracțiunilor în limitele razelor particulelor :

$$r_{max} = r_1, r_1 = r_2, r_2 = r_3 \dots$$

Unind mijloacele părților superioare ale treptelor, obținem o curbă continuă. Curba de repartiție are deobicei un maxim, iar câteodată mai multe maxime.

S. Oden a construit o balanță care trasează automat curba de sedimentare. Analizând curba obținută, se obține curba de repartiție.

În ultimul timp N. A. Figurovschi<sup>1)</sup> a construit o balanță foarte simplă cu resort; această balanță permite să se facă determinări cu destulă exactitate.

### 3. METODA DETERMINĂRII PRESIUNII HIDROSTATICE

În tubul gros 1 al unor vase comunicante (fig. 11) se introduce o suspensie; în tubul subțire 2, se găsește un solvent. Tubul subțire servește drept manometru, care determină presiunea hi-

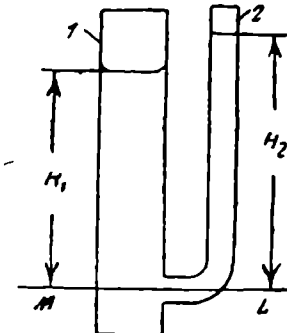


Fig. 11. Schema sedimentometrului.  
1. Tubul gros; 2. tubul subțire manometric.

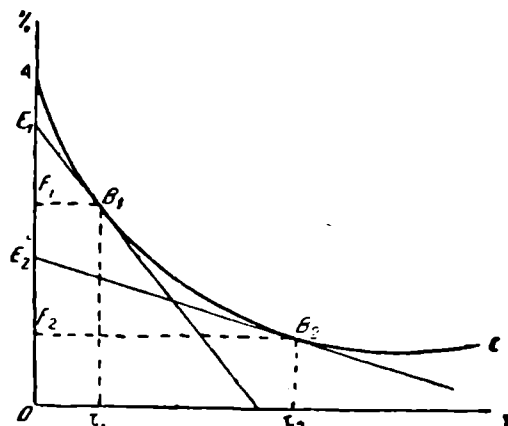


Fig. 12. Curba de sedimentare

drostatică în locul de legătură între tuburile 1 și 2. Dat fiind faptul că în lichid se găsesc particule în suspensie, a căror greutate

1) N. A. Figurovschi, Metodele actuale de analiză prin sedimentare a suspensiilor și emulsiilor, 1939, Moscova.

specifică e mai mare decât a lichidului, densitatea soluției va fi mai mare decât densitatea mediului de dispersiune, [vezi ecuația (22) de mai jos] și înălțimea lichidului în cotul 2 va fi mai mare decât în cotul 1; diferența  $H_2 - H_1 = h$  determină cantitatea de substanță dispersată.

Pe măsura sedimentării, lichidul din cotul 1 devine mai ușor, nivelul lichidului în tubul manometric 2 scade și mărimea  $H_2 - H_1 = h$  tinde către 0.

Mărimea  $H_1$  poate fi considerată practic constantă, tubul al doilea fiind foarte ingust în comparație cu primul. Notând înălțimea lichidului în tubul manometric 2 la diferite timpuri și introducând într'un sistem de coordonate timpul  $\tau$  și mărimea  $h$ , vom reprezenta în mod grafic dependența funcțională între cantitatea fazei disperse, rămasă în tubul 1 și timpul  $\tau$ , adică vom obține curba de sedimentare sub altă formă. În fig. 12 e reprezentată o asemenea curbă  $AC$ .

Analiza curbei de repartiție se face în același mod ca și în cazul precedent.

Nu este greu de găsit relația între mărimea  $h$  și cantitatea de substanță sedimentată.

Se știe că dacă avem două vase comunicante (vezi fig. 11) și că dacă într'unul din ele (2) se toarnă un lichid cu densitate  $\delta$  (în cazul nostru mediul de dispersiune), iar în celălalt (1) un lichid cu densitate  $\delta_s$  (în cazul nostru suspensie), se stabilește următoarea relație între înălțimile nivelelor:

$$H_2 : H_1 = \delta_s : \delta = \text{constantă} \quad (22)$$

unde  $H_2$  este înălțimea coloanei de lichid în manometru,  $H_1$  = înălțimea coloanei de suspensie.

Proportia (22) poate fi scrisă sub forma următoare:

$$\frac{H_2 - H_1}{H_1} = \frac{\delta_s - \delta}{\delta},$$

sau

$$H_2 - H_1 = \frac{\delta_s - \delta}{\delta} \cdot H_1$$

Dar înălțimea lichidului  $H_1$  în cotul 1, este o mărime constantă. La rândul său  $\frac{\delta_s - \delta}{\delta}$  este proporțional cu cantitatea de substanță în suspensie [ecuația (30)]. De unde

$$H_2 - H_1 = h = K_p \quad (23)$$

adică diferența înălțimilor  $h$  este proporțională cu cantitatea de substanță în suspensie din cotul 1. Dacă vom lua pe axa ordonatelor mărimea  $h$ , iar pe axa absciselor timpul, vom obține diagrama reprezentată în fig. 12.

Punctul A = 100% se determină prin mărimea  $h_2$  în momentul initial al experienței și marchează prezența tuturor fracțiunilor sistemului, adică 100% substanță dispersă. După timpul  $\tau_1$ , o parte din substanță se depune și cantitatea de suspensie rămasă va fi exprimată conform condițiilor (16) și (16a), prin ordonata  $AF_1$ . Segmentul  $AF_1$  (în procente) corespunde cantității de substanță depusă atât a fracțiunilor care au sedimentat complet sub linia  $LM$  (vezi fig. 11), cât și a celor care se găsesc încă în cotul 1, deasupra acestei linii. Să ducem în punctul  $B_1$  (fig. 12), tangenta  $E_1B_1$  și să însemnăm punctul de intersecție cu  $E_1$ ; atunci  $F_1E_1 = \frac{dp}{d\tau} \cdot \tau_1$ , ceea ce reprezintă cantitatea de substanță depusă a fracțiunii, care se află încă în sedimentare. Astfel, cantitatea de substanță a fracțiunii sedimentate va fi egală cu:

$$AE_1 = AF_1 - \frac{dp}{d\tau} \cdot \tau_1 = F_1;$$

$AE_1$  exprimă (în procente) cantitatea în greutate a fracțiunii, ale cărei particule au razele cuprinse între  $r_{max}$  și  $r_1$ , când  $r_1 = \sqrt{\frac{H}{C\tau_1}}$ .

Să considerăm momentul  $\tau_2$  și să efectuăm aceeași construcție. Vom obține punctul  $B_2$ , prin care ducem tangenta la curbă, până la intersecția ei cu ordonata în punctul  $E_2$ . Segmentul  $AE_2$  reprezintă în procente cantitatea de substanță a fracțiunilor sedimentate complet, cuprinse între două limite: dela  $r_{max}$  la  $r_1$  și dela  $r_1$  la  $r_2$ .

Cum segmentul  $AE_1$  reprezintă cantitatea de substanță a fracțiunii complect sedimentată în momentul  $\tau_1$ , cu particule cuprinse între limitele dela  $r_{max}$  la  $r_1$ , iar segmentul  $AE_2$  — fracțiunea cu particulele cuprinse între limitele dela  $r_{max}$  la  $r_2$ , segmentul

$$E_1E_2 = AE_2 - AE_1 = F_2$$

va da mărimea fracțiunii cu razele cuprinse între  $r_1$  și  $r_2$ . Continuând să procedăm în acest mod, vom obține cantitatea fiecareia din fracțiunile componente.

Bazându-se pe principiul expus, G. Wiegner<sup>1)</sup> (1918) a construit un aparat pentru analiza de dispersiune a rocelor, argilelor, și a.

Metodele descrise au o mare importanță practică pentru determinarea dispersiunii pulberilor. Cu aceste metode se studiază dispersiunea rocelor, argilelor, cretei, grafitului și a.

Toate aceste aparate, bazate pe sedimentarea sub acțiunea gravitației, permit să se analizeze numai sistemele disperse cu particule relativ mari — suspensiile. Svedberg a propus întrebunțarea ultracentrifugei pentru analiza sistemelor polidisperse. În acest caz se pot analiza și sistemele cu un grad înalt de dispersiune.

La folosirea sedimentometrelor trebuie avut în vedere, că concentrația suspensiei trebuie să fie mică, căci, în primul rând, ecuația lui Stokes se aplică unei sfere în cădere liberă, iar în al doilea rând, sedimentarea trebuie să fie atât de înceată, încât să nu se observe în lichid nicio mișcare turbulentă.

Foarte des, în timpul lucrului cu sedimentometrele, aceste condiții nu se iau în seamă și se obțin valori care corespund foarte puțin realității.

---

1) G. Wiegner, Landw. Versuchsstat ; 91, 41 (1918).

## IV. STRUCTURA PARTICULEI COLOIDALE

### I. STAREA AMORFĂ ȘI STAREA CRISTALINĂ

In decursul unei perioade destul de îndelungate, structura particulelor coloidale a fost considerată amorfă, iar noțiunile de coloid și amorf se socoteau sinonime. Știm că această părere a fost susținută și de Graham.

In anul 1906, P. Weimann a exprimat părerea că, în general, nu există materie amorfă; materia are întotdeauna o strucțură cristalină, dar câteodată cristalele sunt atât de mici, încât structura pare amorfă. Mai târziu, el subliniază net că studiul materiei amorfe este, în general, o inducere în eroare<sup>1)</sup>. Un sir de fapte confirmă acest punct de vedere. Multe însușiri ale solurilor metalice vorbesc pentru structura cristalină a particulelor coloidale metalice.

Drept o ilustrare foarte bună a structurii cristaline a particulelor coloidale de aur, poate servi aşa numita **metodă germinativă**, de obținere a solurilor de aur, elaborată de Zsigmondy<sup>2)</sup>.

Această metodă constă în aceea, că la început se pregătește aşa numita soluție de germani, reducând soluția de  $\text{Au Cl}_3$  cu o soluție de fosfor în eter; prin aceasta se obțin particule extrem de mărunte de metal. Dacă unei asemenea soluții de germani îi se mai adaugă  $\text{AuCl}_3$  și reductor, atunci moleculele de aur, care se obțin acum prin reducere, grație solubilității lor extrem de mici în apă, formează instantaneu o soluție suprasaturată, din care aurul cristalizează pe germanii aflători în soluție; se obține un sol care conține un număr de particule egal cu numărul germanilor din soluția de germani. În funcție de cantitatea de  $\text{AuCl}_3$  adăugată soluției de germani, se pot pregăti particule cu un grad de dispersiune diferit, desvoltând particule de dimensiuni mai mari sau mai mici. Din aceasta se vede că particulele germinative, extrem de mărunte, cu dimensiunea de cca 1 mp

1) P. P. Weimann, JRFH O. 38, 268 (1906) Japan J. Ch. 3 Nr. 1 (1926) Die Allgemeinheit des Kolloidzustandes, 2 Aufl. 1925.

2) R. Zsigmondy u. P. A. Thissen. Das kolloidale Gold. 1925.

sunt cristaline; sunt deasemenea cristaline și particulele mai mari, obținute prin depunerea aurului metalic pe germeni.

În mod analog se poate dovedi structura cristalină a argintului și a altor metale. Totuși, punctul de vedere al lui Weimann a necesitat un control ulterior și dovedirea structurii cristaline a materiei coloidale. O mare importanță în rezolvarea acestei probleme a avut-o analiza roentgenografică, care a căpătat o largă răspândire, în urma lucrărilor lui Laue<sup>1)</sup> și Bregg<sup>2)</sup>.

Razele Roentgen sunt analoge razelor de lumină, dar lungimea lor de undă e de 1.000-10.000 ori mai mică. Grație unei lungimi atât de mici a undelor, acestora le sunt caracteristice difracția și interferența prin rețea cristalină, a cărei distanță între noduri este de ordinul lungimii de undă ( $10^{-8}$  cm.).

## 2. ANALIZA ROENTGENOGRAFICĂ

Să presupunem că  $MM'$  este o placă metalică (fig. 13), pe care cade un fascicol  $S$  de raze Roentgen monocromatice.

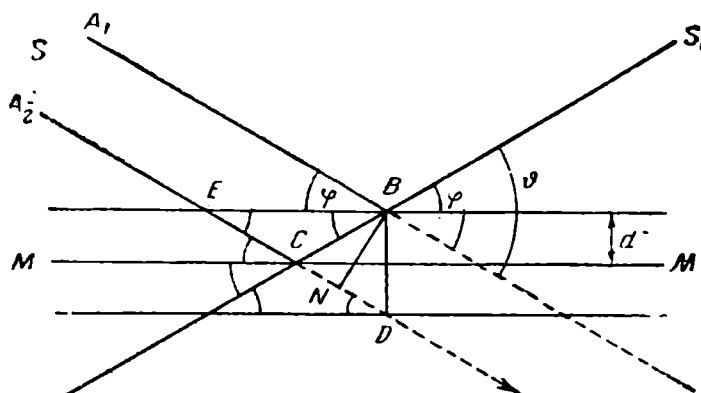


Fig. 13. Reflecția fasciculu de raze Roentgen pe suprafața rețelei cristaline.

Liniile paralele reprezintă o serie de rețele plane care formează rețea spațială a cristalului nostru. Să notăm distanța între rețelele plane cu  $d$ ; atunci fascicul monocromatic de raze Roentgen cu lungime de undă  $\lambda$ , care cade pe placă sub un unghi  $\varphi$  va fi reflectat de fiecare rețea plană. Razele reflectate,

1) M. von Laue, Sitzungsber. München, 303 (1912).

2) W. H. și W. L. Bregg, Razele Roentgen și structura cristalelor (traducere), M. L. 1929; W. Bregg, Introducere în analiza cristalelor (traducere) M. L. 1930.

combinându-se, vor da un fascicol total de reflecție  $S_1$ . Diferența de drum a razeilor  $A_1$  și  $A_2$ , care au ajuns după reflecție în punctul  $B$  va fi egală, după cum se vede din figură, cu  $BC - CN$ .

$$\text{Dacă } BC - CN = n\lambda = ND$$

unde  $n$  = număr întreg de unde,  $\lambda$  = lungimea de unde, atunci în direcția  $S_1$  se va produce o întărire a luminii cu condiția că

$$n\lambda = 2d \cdot \sin \varphi = ND \quad (24)$$

In aceste condiții se produce mărirea intensității razei reflectate. La cele mai mici variații ale lui  $d$ ,  $d$  și  $\varphi$  condiția nu se mai menține și nu se mai observă reflecție<sup>1)</sup>.

Este ușor de obținut o ecuație pentru reflecția de ordinul 1, 2, etc., dacă se ia  $n = 1, 2, 3$ , etc.; unghiurile de reflecție vor fi respectiv  $\varphi_1, \varphi_2, \varphi_3$ , etc. Odată cu creșterea ordinului de reflecție, intensitatea reflecției va scădea repede. În locul unghiului  $\varphi$  se poate măsura unghiul  $\theta$  format de raza incidentă cu cea reflectată. E clar că

$$\theta = 2\varphi$$

Să luăm o placă cristalină  $AB$  (fig. 14), pe care cade o rază Roentgen monocromatică  $S$ . Conform celor precedente, ea se va reflecta sub un unghi  $\theta$ . Să începem să rotim placă  $AB$  în jurul razei considerată ca axă, păstrând invariabilă inclinarea plăcii față de direcția razei  $S$ . Atunci raza reflectată  $S_1$  va trasa pe ecranul  $E_1$  situat perpendicular pe raza  $S$ , o circumferință, reprezentată punctat pe figură.

Să presupunem că avem în locul unui cristal, situat într-o direcție anumită, mai multe cristale mici; atunci toate cristalele mici, care au întâmplător același unghi de înclinare  $\varphi$  față de raza incidentă, vor reflecta după un același unghi  $\theta$ .

Cum sunt foarte multe cristale, multe dintre ele se vor găsi în pozițiile ocupate consecutiv de placă în rotație; grație acestui fapt, lumina reflectată de praful cristalin va da pe ecran aceeași circumferință. Dacă sub unghiul  $\varphi$  a avut loc o reflecție de ordinul I, atunci sub unghiul  $\varphi_1$  se va observa o reflecție mai slabă,

1) Deducerea formulei (24) e dată în cursurile de chimie fizică. A. I. Brădschi, vol. I, pag. 156; A. V. Racovschi, pag. 207 (1939).

de ordinul II, etc. Este destul de ușor să observăm razele reflectate pe ecran. Dacă pe acesta se situează o placă fotografică, atunci, după developare, vom vedea o serie de cercuri intunecate concentrice.

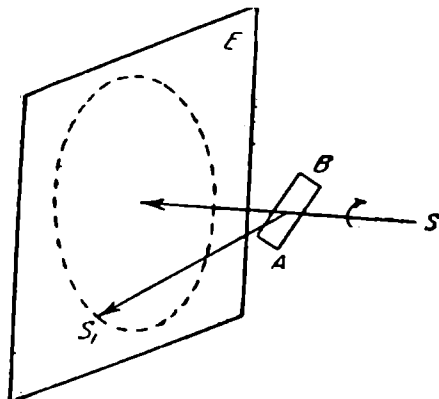


Fig. 14. Reflecția unui fascicol de raze Roentgen pe un cristal în rotație.

cercuri concentrice, care vor corespunde seriei de rețele plane cu distanțe  $d_2$ . Când distanțele  $d_2$  sunt foarte mici, intensitatea luminii este deosebit de mică, și în acest caz nu vom obține nicio imagine pe ecran. Reflecțiile pe rețelele plane dau, însumate, o idee despre rețea spațială, corespunzătoare unui anumit sistem cristalografic.

Metoda descrisă este foarte comodă. Aici, cristalele nu trebuie orientate într'un anumit fel. În masa de cristale mărunte, situate desordonat, în drumul razei se va găsi întotdeauna o cantitate suficientă de cristale, orientate sub un unghi anumit, care vor reflecta razele și vor da o roentgenogramă (fig. 16), după care se va putea determina sistemul cristalografic al prafului cristalin.

Dacă punctul de întâlnire al razei incidente S cu cristalul se ia ca centru și se construiește în jurul lui un ecran în formă de cilindru EE (fig. 17), atunci pe suprafața interioară a cilindrului se obține o imagine a razeilor reflectate sub forma liniilor aa, bb, etc. corespunzătoare fostelor cercuri concentrice.

Plasând în cilindru o placă fotografică, după expunere și developare vom obține o roentgenogramă reprezentată în fig. 18.

Măsurând distanța de la centru la fâșii (linii) se poate rezolva problema sistemului cristalografic al substanței în formă de praf.

Metoda lui M. Laue dă roentgenograme de alt tip, care se compun din pete intunecoase, dispuse simetric.

Am studiat până acum reflecția razeelor pe o serie de rețele plane, paralele, situate la o distanță  $d$  una de alta; dar prin aceleași puncte se pot duce și alte rețele plane paralele, situate unele de altele, de data aceasta la o distanță  $d_2$  (fig. 15) și pe aceste rețele plane se poate reflecta raza și să dea imagini de ordinul I, II etc.

Aceste imagini se vor plasa în cercuri concentrice pe ecranul nostru. Astfel, vom obține pe placă fotografică o serie de

Scherrer și Debye<sup>1)</sup> au aplicat această metodă a fărâmelor cristaline, orientate desordonat, pentru obținerea roentgenogramelor substanțelor în stare coloidală; coloidul, în formă de praf

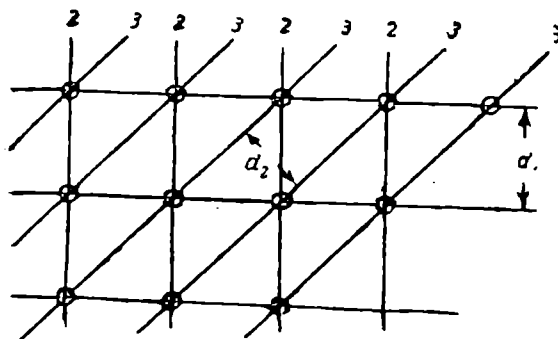


Fig. 15. Rețeaua cristalină.

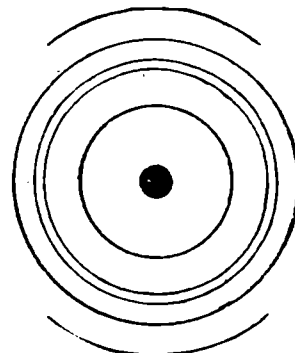


Fig. 16. Schema roentgenogramei.

sau de sol concentrat, se introducea în camerele cilindrice și se lumina cu raze Roentgen monocromatice.

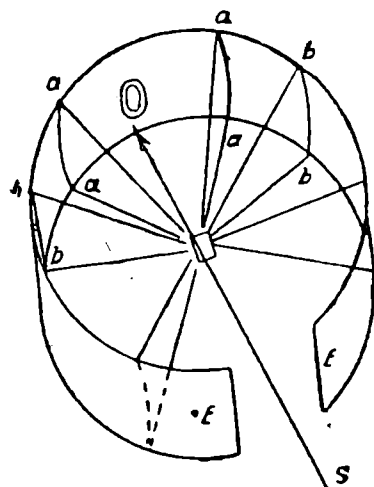


Fig. 17. Drumul razelor în camera lui Debye.

Cu această metodă au fost studiați mulți coloizi și a fost găsită structura lor cristalină, analoagă cu structura unei bucăți masive din această substanță. De ex., particulele de aur sunt cristaline. Sistemul căruia aparțin cristalele lor este acelaș ca și al unei bucăți de metal (cubic). Din coloizii net cristalini, fac parte și alte soluri metalice (*Ag*, *Cu*, *Bi*).

Cercetări roentgenografice serioase au fost efectuate de Gutbier<sup>2)</sup> și elevii săi; ei au cercetat hidrosolurile acizilor stanic și titanic și au ajuns la concluzia că asemenea acizi nu există, ci

1) P. Debye u. P. Scherrer, Phys. Z. 17, 277 (1916); R. Zsigmondy, Kolloidchemie, 3 Aufl. 387; F. K. Mayer. Realizările chimiei, 2, 551 (1933); A. C. Trapeznicov. Bazele roentgenografiei, M. 1933.

2) A. Gutbier și colab. Ber. 50, 1232 (1926); Z. anorg. Chemie. 162, 87 (1927).

există numai anhidridele  $Sn O_2$  și  $Ti O_2$ . Preparate proaspăt obținute aveau structura amorfă, și numai cu timpul au dat roentgenogrammele corespunzătoare oxizilor metalici  $Sn O_2$  și  $Ti O_2$ .

O asemenea variație a sistemului cu timpul, se numește **imbătrânire**. Forster<sup>1)</sup> a confirmat structura cristalină a gelului de  $Sn O_2$ . Conform cercetărilor lui Böhm<sup>2)</sup> particulele de  $Al_2 O_3$  și  $Fe_2 O_3$  sunt deasemenea cristaline, iar soluții obținut după Krum constă din diferite feluri de miceli, din care o parte dă un spectru slab al bauxitei  $Al(OH)$  iar majoritatea e amorfă și nu dă spectru liniar. Oxidul de fier dă, în stare coloidală, o roentgenogramă analoagă cu a goetitului. În hidrosolii de  $CeO_2$ ,  $ZrO_2$  și  $Th O_2$  particulele nu dă roentgenogramme, deci sunt amorse<sup>3)</sup>.

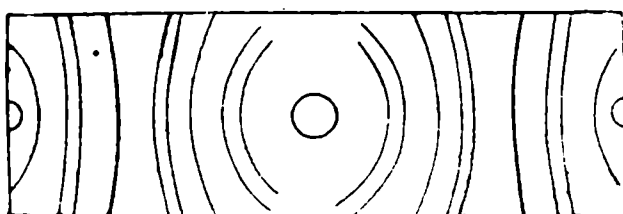


Fig. 18. Schema roentgenogramei după Debye  
(Debyc-gramă)

Probabil că aici există o relație între vitezele a două procese, care decurg simultan: procesul agregării particulei coloidale și procesul construcției rețelei cristaline. La o viteză mare a primului proces și o viteză mică a celui de-al doilea, sistemul rămâne mult timp în stare amorfă. La o relație inversă a vitezelor se observă numai structura cristalină. De aceea, particulele soluțiilor obținute din soluții diluate, la temperaturi obișnuite, când viteză de reacție e mică, sunt deobicei cristaline [de ex.  $Sc(OH)_3$ ,  $Be(OH)_3$ ,  $Er(OH)_3$ ,  $La(OH)_3$ ,  $Nd(OH)_3$ ,  $Fe(OH)_3$ ]. Gelurile hidroxizilor care se obțin cu viteză mare la concentrațiile mari ale soluțiilor, sunt deobicei amorse; de ex.: gelurile de argilă, fier, scandiu, beriliu, erbiu, neodim.

Încălzirea favorizează formarea agregatelor cristaline, iar temperaturile joase favorizează formarea agregatelor amorse.

Haber<sup>3)</sup> arată că există o anumită regularitate la obținerea

1) R. Forster, Phys. Z. 28, 151 (1927).

2) I. Boehm, Z. anorg. Chemie, 149, 203 (1927) K. Z. 42, 276 (1927).

3) F. Haber, Ber. 55, 1717 (1922); J. Boehm u. H. Niemann, Z. anorg. Chemie 132, 1 (1923).

solurilor și gelurilor de structură amorfă sau cristalină. Moleculele care au o structură net dipolică dau, de preferință, particule cu structură cristalină atât în soluri cât și în geluri, de ex.  $HgS$ ,  $ZnS$ ,  $CdS$ , halogenurile de argint, și. a.

Moleculele hidroxizilor polivalenți, pe căre ni le putem inclui ca multipolare, nu se orientează atât de repede, căci în jurul lor se formează un câmp de forțe destul de uniform. Aceasta favorizează formarea solurilor și gelurilor cu particule de structură amorfă.

Claritatea benzilor spectrului Roentgen depinde de: a) mărimea cristalelor (cristalele foarte mici dă benzii sterse, cristalele mai mari — benzii nete); b) de numărul de ordine al elementului din care e compusă particula (intensitatea e cu atât mai mare, cu cât e mai mare numărul de ordine). De exemplu: pentru obținerea spectrului roentgenografic al sistemelor disperse de compuși organici (numărul de ordine  $C=6$  și  $O=8$ ) sunt necesare concentrații până la 50%, în timp ce pentru solurile de  $AgCl$  (numărul de ordine al  $Ag=47$ ),  $HgS$  (numărul de ordine al  $Hg=80$ ) și. a., e necesară o concentrație foarte mică pentru obținerea acestorași efecte.

### 3. DETERMINAREA DISPERSIUNII

Debye a studiat dependența gradului de lărgire a liniilor spectrului de mărimea cristalului.

Distanța între rețelele plane cristaline se exprimă printr-o mărime de ordinul  $10^{-8}$  cm. De aceea, la o dispersiune a cristalului de  $10^6$  sau  $10^5$  (dispersiune, care corespunde domeniului coloidal) în el se vor găsi încă atât de multe rețele plane, încât reflecția și difracția razelor pe rețele vor da linii nete, cu un maxim pronunțat.

La o mărire continuă a dispersiunii, claritatea benzilor se micșorează, benzile devin foarte difuze, iar la o dispersiune, care se apropie de  $10^8$ , ele se confundă cu fondul înconjurător. Asemenea benzii difuze corespund structurii amorfă.

Debye a dat următoarea relație între dimensiunea particulei  $a$  și lățimea  $B$  a liniei spectrului. Lățimea se determină prin distanța între două puncte, situate simetric față de maximul intensității liniei spectrului, unde intensitatea e egală cu jumătatea maximului:

$$B = 0,940 \cdot \frac{\lambda}{a} \cdot \frac{\lambda}{\cos \theta} \quad (25)$$

unde  $\lambda$  = lungimea de undă a razei Roentgen monocromatică.

Pe baza relației (25), și cunoscând din experiență valorile  $B$  și  $\theta$  se calculează mărimea cristalului  $a$ , egală cu :

$$a = 0,940 \cdot \frac{\lambda}{B} \cdot \sec \frac{\theta}{2}$$

Astfel, cercetarea roentgenogramei hidrosolului de aur, obținut de Zsigmondy, a arătat că cristalele de aur aparțin sistemului cubic; dimensiunea lor este egală cu  $1,86 \text{ } \mu\text{m}$ .

O asemenea particulă conține numai 380 atomi de aur. Determinarea presiunii osmotice a acestui sol a dat dimensiunea particulelor egală cu  $1,6 \text{ } \mu\text{m}$  de unde se vede că particula de aur în sol constă dintr'un singur cristal. O asemenea coincidență nu se obține la soluri, care conțin particule secundare și de ordine superioare. În acest caz, analiza roentgenografică va da dimensiuni mult mai mici decât metoda de sedimentare.

Sistemele coloidale sunt deobicei sisteme în desechilibru. În ele se petrec procese de îmbătrânire, legate de fenomenele de cristalizare, fără o schimbare a gradului de dispersiune. Câteodată are loc procesul de îmbătrânire, iar creșterea cristalelor decurge altfel; în urma acestui fapt, mărimea  $a$  crește și particulele solului devin mai mari. O asemenea mărire a particulelor solului de aur a fost observată de Kruyt<sup>1)</sup>. Solul proaspăt preparat era compus din cristale cu dimensiuni de cca  $5 \text{ } \mu\text{m}$ , iar după o ședere de 60-70 ore, ele s-au mărit până la  $10,0-10,8 \text{ } \mu\text{m}$ . Cercetarea unui asemenea sol, care a stat 70 ore, prin metoda sedimentării a arătat că mărimea particulelor a crescut până la 70 și  $100 \text{ } \mu\text{m}$ . Faptul că valorile obținute prin aceste două metode nu coincid, arată că în timp ce metoda roentgenografică dă dimensiunile cristalelor separate, metoda de sedimentare determină dimensiunea aggregatelor.

Prin această metodă se studiază actualmente dispersiunea grăunților metalici, care alcătuiesc aliajele metalice. S'a găsit de ex. că mărimea particulelor de martensită este de ordinul  $1-20 \text{ } \mu\text{m}$ . Asemenea cercetări au o mare importanță practică pentru metalografie.

M. Laue<sup>2)</sup> a găsit și el pentru roentgenogramele lui, o metodă de determinare a mărimii cristalelor.

Astfel, vedem că în stare coloidală substanța are deobicei

1) H. R. Kruyt și J. G. Vogel, K. Beih, 52, 87 (1940).

2) M. Laue, Z. Krist, 64, 115 (1926).

o structură cristalină, care nu se deosebește mult de structura pe care o are această substanță în stare net cristalină. Într-o serie de cazuri s'a observat formarea de materie amorfă, care însă nu este stabilă și care cu timpul, de multe ori foarte încet, capătă structură cristalină.

Analiza roentgenografică s'a arătat a fi un mijloc foarte bun de cercetare a structurii materiei și a căpătat o mare aplicare într-o serie de probleme practice<sup>1)</sup>.

De pildă, cimentul Portland e amorf, dar după priză, roentgenograma arată o structură net cristalină<sup>2)</sup>. De aceea, procesul de priză al cimentului e considerat ca un proces chimico-coloidal.

#### 4. ELECTRONOGRAFIA

În anul 1924, de Broglie a pus bazele mecanicei ondulatorii. El a exprimat ideea că fiecare particulă în mișcare, de masă  $m$  posedă însușiri ondulatorii. Mișcarea ei poate fi reprezentată sub forma unei unde de lungime  $\lambda$ , care se propagă cu viteza  $u$ :

$$\lambda = \frac{h}{mu}.$$

unde  $h = 6,55 - 10^{-27}$  (cifra lui Plank).

Cunoscând masa electronului  $m = 8,98 \cdot 10^{-28}$  și dependența vitezei electronului de tensiunea în tuburile de descărcare, nu e greu de arătat, că utilizând tuburile obișnuite de descărcare până la  $10^4$  volți, se pot obține unde cu lungimi de cca  $0,5 \text{ \AA}$  ceea ce corespunde lungimilor razelor Roentgen. Iar de aici decurge, că o consecință, că fluxul electronic trebuie să se reflecteze pe rețeaua cristalină și să dea o difracție analoagă cu cea a razelor Roentgen.

T. Thomson (1928) a arătat experimental veracitatea acestor presupuneri și a obținut fotografiiile unui fascicol de electroni de pe straturi de metale analoage cu roentgenogramelor lui Debye și Scherrer.

1) A. C. Trapeznicov, Bazele roentgenografiei, M. 1933; D. Eggert și E. Schibold, Tehnica roentgenografică și încercarea materialelor (traducere). L. 1933 : J. Trillat, Realizările fizicei 13, 612 (1933).

2) Weber, Zement, 12 (1926).

Ulterior, electronografia<sup>1)</sup> s'a desvoltat și s'a răspândit repede, prezentând o serie de avantajii : necesită un timp scurt de expunere, dă fasciole net monocromatice și necesită putere (electrică) mai mică pentru aparatură.

Diferența între roentgenogramă și electronogramă constă în aceea că difracția razelor Roentgen are loc într'un volum mare de cristal, dând o imagine asupra structurii lui spațiale ; difracția electronilor se produce numai în straturi subțiri și de aceea ea este foarte importantă pentru cercetarea straturilor superficiale.

---

1) Z. G. Pinsker, Realizărie chimiei, II, 63 (1942) vezi lucrările din K. Z. 69, ed. III-a (1933) dedicate roentgeno și electronografiei sistemelor coloidale.

## V. PROPRIETĂȚI OPTICE

Studiul proprietăților optice ale sistemelor coloidale ne permite să ne dăm seama de influența dispersiunii asupra însușirilor materiei. În afară de aceasta, proprietățile optice ale sistemelor dispersate coloidal au o extrem de mare importanță teoretică și practică.

### 1. REFRACTIA LUMINII

La trecerea luminii printr'un sistem dispers se observă trei fenomene: refracția, difuziunea și absorbția luminii.

Dacă dimensiunea particulei este cu mult mai mică decât lungimea undei de lumină, atunci lumina se refractă absolut normal și sistemul posedă indici de refracție determinați; în acest caz pentru soluri se aplică formula lui Landoldt pentru soluțiile moleculare:

$$R_s = R(1 - c_1) + R_K^{c_1} \quad (26)$$

unde  $R_K$ ,  $R$  și  $R_s$  sunt respectiv valorile refracției solului, solventului și a substanței disolvate, iar  $c_1$  — cantitatea în grame de substanță coloidală, la  $1 - c_1$  grame solvent.

Refracția este o mărime caracteristică a unei substanțe date, conform experiențelor lui Gladstone și Dahl,

$$R = \frac{n - 1}{\delta}$$

unde  $n$  = indicele de refracție, iar  $\delta$  = densitatea substanței.

L. Lorenz (Copenhaga) și G. A. Lorenz (Leyda) au dedus teoretic o altă formulă pentru refracție.

$$R = \frac{n^2 - 1}{n^2 + 2} \cdot \frac{1}{\delta}$$

<sup>1</sup> Formula Lorenz e mai precisă. Dar având în vedere că formula lui Gladstone e mult mai simplă și că valorile obținute

coincid cu datele experimentale, vom folosi în cazul nostru această formulă. Înlocuind în ecuația (26) mărimile  $R$ , vom obține :

$$\frac{ns - 1}{\delta_s} = \frac{n - 1}{\delta} \left( 1 - c_1 \right) + \frac{n_K - 1}{\delta_K} \cdot c_1 \quad (27)$$

unde  $ns$  — indicele de refracție al solului;  $n$  — al solventului,  $n_K$  — al substanței coloidale,  $\delta_s$  — densitatea solului (soluției),  $\delta$  — cea a solventului, și  $\delta_K$  — a substanței coloidale. Deobicei, concentrația se exprimă în grame de substanță, care se găsește într'un  $\text{cm}^3$  de soluție. Să notăm această concentrație cu  $c$ . E clar, că cele două concentrații sunt legate între ele prin relația :

$$c_1 = \frac{c}{\delta_s}$$

Înlocuind în ecuația (27) valoarea  $c_1$  cu valoarea  $c$  obținem:

$$ns - 1 = \frac{n - 1}{\delta} \left( \delta_s - c \right) + \frac{n_K - 1}{\delta_K} \cdot c \quad (28)$$

O serie de cercetători au observat că indicele de refracție al solurilor variază liniar în funcție de concentrație. Aceasta se explică prin faptul că în soluțiile coloidale, contractarea e foarte mică. Solurile se formează din faza dispersă și mediul de dispersiune aproape fără schimbare de volum.

Pe baza aceasta, P. Holodnai<sup>1)</sup> (1903) a propus formula :

$$\delta_s = \delta + c - \frac{c\delta}{\delta_K}$$

sau

$$\delta_s = \delta + c \cdot \frac{\delta_K - \delta}{\delta_K} \quad (30)$$

care exprimă relația liniară între  $c$  și  $\delta_s$ .

Folosind această formulă, P. Holodnai a determinat densitatea  $\text{Ag}$  și  $\text{Se}$  coloidali, A. Dumanschi — densitatea  $\text{SiO}_2$ , iar S. Oden — a sulfului. Toți au confirmat exactitatea formulei. Aceeași formulă a fost propusă în 1909 de J. Perrin.

Dacă vom determina din ecuația (29) valoarea  $(\delta_s - c)$  (pentru sisteme cu dispersiunea apropiată de cea moleculară, formula

1) P. Holodnai, J.R.F.H.O. 36, II, 385 (1903); 38, II, 427 (1906); A. Dumanschi și B. Pucicovschi, J.R.F.H.O. 61, 1301 (1929); A. Dumanschi și B. Tarasov 49, 186, (1917).

nu e aplicabilă) și o vom înlocui în ecuația (28), atunci vom obține formula propusă de Dumanschi<sup>1)</sup>:

$$n_s = n + c \frac{n_K - n}{\delta_K} \quad (31)$$

care arată relația liniară între concentrație și indicele de refracție.

Formuła (31), propusă în anul 1915 de Dumanschi și Tarasov<sup>2)</sup> a fost mai târziu dedusă din nou de Wiegner<sup>3)</sup> și în anul 1931 controlată de Ermolenco<sup>4)</sup>. În tabela 7 sunt indicate datele care arată cât de satisfăcător coincid valorile  $n_K$ , calculate după formula (31) cu cele observate direct.

E clar că formula (31) e aplicabilă numai în acele cazuri în care e aplicabilă și formula (30).

*Tabela 7*  
**Indicii de refracție**  
(după datele lui A. Dumanschi, B. Tarasov și B. Pucicovschi)

Substanță	$n_K$ (calculat)	$n_K$ (experimental)
caseina . . . . .	1,50	1,57
gumă arabică . . . . .	1,54	1,49
albumină din ou . . .	1,53	1,57
dextrina . . . . .	1,54	1,56
gelatină . . . . .	1,54	1,54
taninul . . . . .	1,66	1,67

Marea asemănare a valorilor indicilor de refracție la o serie de substanțe organice permite determinarea directă, cu ajutorul refractometrului, a concentrației de substanță uscată într'una sau alta din soluțiile complexe care se întâlnesc în practică.

## 2. OPalescență

Dacă o rază de lumină trece printr'un sistem dispers, atunci, incepând dela un anumit grad de dispersiune și dacă există o dife-

1) A. Dumanschi și B. C. Tarasov, Notele Institutului Agricol, Voronej 1 (1915).

2) A. Dumanschi și B. C. Tarasov, Notele Institutului Agricol, Voronej 1 (1925).

3) G. Wiegner, K. Z. 20, 7 (1917).

4) N. F. Ermolenco, J. O. H., I, 21 (1931).

rență între indicele de refracție al mediului și cel al fazei disperse, se observă o difuzare laterală a luminii, putându-se astfel observa fascicolul de lumină care trece prin mediu sub formă unei benzi opalescente. La o mărire ulterioară a gradului de disperziune, difuziunea luminii crește, atinge un maxim și începe să scadă, ajungând la o valoare foarte mică, când gradul de disperziune al sistemului devine molecular.

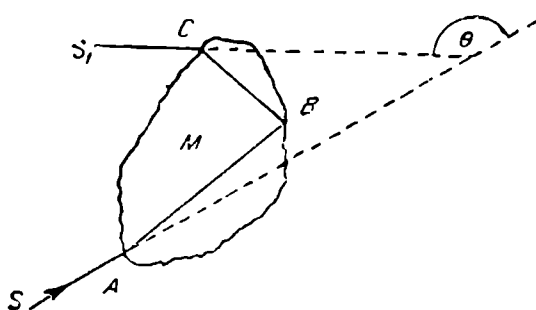


Fig. 19. — Difuziunea luminii de particulele suspensiei.

Sistemele care dau difuziune se numesc **medii opalescente** (optic neomogene), iar cele care nu dau opalescență se numesc **medii optic goale** (omogene).

Opalescența se explică prin difuziunea razei de lumină, ceea ce poate avea loc din diverse motive, în funcție de gradul de disperziune.

Dacă particulele sunt mai mari decât lungimea undei de lumină, atunci difuziunea luminii se datoră următoarelor cauze: 1) refracției, 2) reflecției luminii de către particule și 3) reflecției totale interioare.

Din figura 19 se poate vedea cum se produce devierea razei de lumină la difuziune; această figură reprezintă o difuziune însumată, datorată refracției și reflecției totale interioare. Săgeata S arată direcția razei, care a suferit la întâlnirea cu particula M o refracție în punctul A, o reflecție totală în punctul B și încă o refracție în C. Ca rezultat a avut loc o deviere a razei cu un unghi  $\theta$ .

Razele de lumină, difuzate de particula, se imbrăștie în toate direcțiile, se întâlnesc cu particulele vecine și sunt din nou difuzate. Cercetarea fenomenului de difuziune a luminii pentru diferite mărimi de particule a fost făcută de Blumer<sup>1)</sup> și Pocrov-schi<sup>2)</sup>. În tab. 8 sunt indicate datele care caracterizează probabilitatea difuziunii luminii.

1) H. Blumer, Z. Phys., 32, 119 (1925); 38, 304 (1926).

2) G. Pocrov-schi și alii, Z. Phys., 35, 633 (1926); 43, 769 (1927).

Tabela 8

Probabilitatea difuziunii luminii <sup>1)</sup>

Difuziunea la	Substanță (în pulberi)			
	mica	praf de sticlă	cretă	talc
reflecție . . . . .	1	1	1	1
refracție . . . . .	0	1	1	1
reflecție totală internă . . .	0	0,5	0,5	0,5
difracție . . . . .	0	1	0	0

Din această tabelă se vede că probabilitatea difuziunii de către pulberi este aceeași la reflecție ca și la refracție; probabilitatea difuziunii la reflecție totală este de două ori mai mică. E interesant de relevat că mica dă numai o singură difuzare la reflecție, ceea ce se explică prin forma de plăci a particulelor. De aici rezultă, că cercetarea difuziunii luminii ne poate da un indiciu asupra formei particulelor disperse. Lumina difuză este parțial polarizată <sup>2)</sup>.

Dacă considerăm două medii opalescente, cu particule de aceeași formă și aceleasi dimensiuni, dar de diferite concentrații, atunci intensitatea luminii difuze (opalescenței) va fi direct proporțională cu concentrația, dacă concentrația nu variază prea mult. Pe acest principiu, se bazează construcția aparatelor, numite nefelometre, care permit compararea opalescenței a două medii și determinarea raportului concentrațiilor a două suspensii. Vom cita ca exemplu nefelometrul lui Kleiman (fig. 20). Aparatul se bazează pe următoarele: Eprubeta 1 cu mediul opalescent de cercetat se placează în spatele ecranului 2, prevăzut cu o deschidere, în a cărei parte superioară este fixată

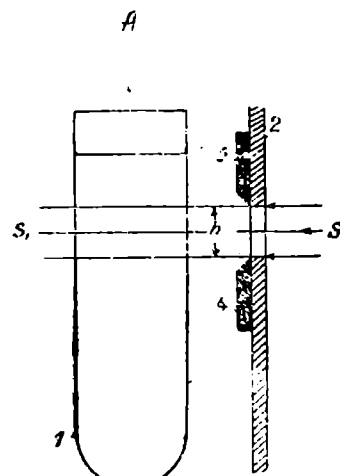


Fig. 20.

1) G. Pocrovscchi, K. Z. 45, I (1928).

2) Vezi de ex. G. Pocrovscchi, Z. Phys., 41, 493 (1927).

o placă imobilă 3, iar în partea inferioară — o placă mobilă 4, care poate fi ridicată și coborâtă printr-o cremalieră.

Datorită mobilității plăcii 4, se poate obține o deschidere mai mare sau mai mică. În fața deschiderii se plasează o sursă de lumină S, care trimite un fascicol de raze SS<sub>1</sub> care luminează mediul din eprubeta 1. Intensitatea lumenozității soluției opalescente de grosime  $h$  se observă din punctul A. Gradul acestei intensități se compară cu intensitatea lumenozității unei soluții opalescente, pregătite dinainte și care se găsește într-o eprubetă asemănătoare situată (alături de eprubeta 1) în fața deschiderii de lajime  $h_1$  luminată de aceeași sursă de lumină. Valorile  $h$  și  $h_1$ , se schimbă cu ajutorul cremalierelor, până când, observând din punctul A, vom obține aceeași intensitate a celor două opalescențe; atunci

$$h : h_1 = c : x$$

unde  $h$  = lajimea deschiderii din fața soluției opalescente de concentrație necunoscută și  $h_1$  = lajimea deschiderii din fața soluției de concentrație cunoscută  $c$ .

Cu nefelometrul e foarte ușor de determinat cantități mici de substanțe, care se obțin lesne sub formă de opalescențe uniforme. Actualmente, această metodă se răspândește din ce în ce mai mult <sup>1)</sup>.

### 3. FENOMENUL LUI TYNDALL

Difuziunea luminii are loc și atunci când particulele sunt mai mici decât lungimea undei luminoase, dar cauza fenomenei lui e alta. În cazul de față nu există reflecție sau refracție în adevaratul sens al cuvântului, ci are loc difracția luminii, care întâlnescă în drumul său particule coloidale. Fenomenul de difuziune a luminii, obținut în acest caz, poartă numele de fenomenul lui Tyndall, în onoarea renumitului fizician Tyndall, care l-a descoperit în anul 1869. Acest fenomen a fost observat pentru prima dată de Faraday în anul 1857. Teoria fenomenului a fost dată mai târziu de Rayleigh.

Fenomenul lui Tyndall se observă ușor în felul următor: într-o cameră întunecoasă se toarnă într-o cuvă I (fig. 21) cu pereti plani paraleli, apă distilată curată, lipsită de praf; în fața cuvei, la o distanță oarecare, se plasează o lampă cu arc voltaic,

1) J. H. Joe, Analiza chimică fotometrică, vol. II, Nefelometria (traducere) 1936.

cu un condensator 2, care trimite un fascicol puternic de lumină în cuvă. Trecând prin apă, raza nu dă o bandă luminoasă — un con de lumină, ceea ce înseamnă că avem de a face cu un **mediu optic gol**.

Dacă acestei ape i se adaugă o cantitate mică de soluție alcoolică de ceară sau cauciuc cu scopul de a obține un sol, atunci raza care trece va deveni vizibilă — se va obține un con luminos cu luminiscentă albăstruie — **conul lui Tyndall**.

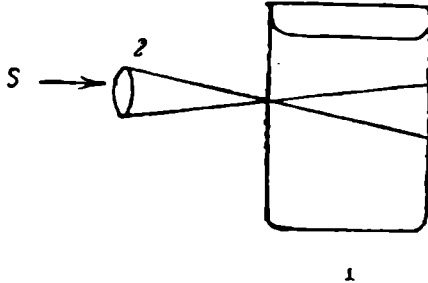


Fig. 21. — Observarea fenomenei lui lui Tyndall.  
1. cuva; 2. condensatorul.

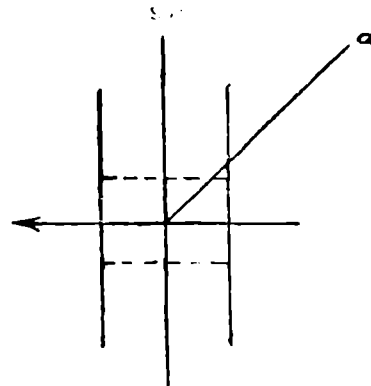


Fig. 22. — Fenomenul lui Tyndall.

Dacă asupra unei particule sferice de volum  $v$  se îndreaptă o rază albă polarizată linear, de intensitate  $I_0$  și de lungime de undă  $\lambda$ , atunci intensitatea  $I$  a luminii difuze, observabile în direcția care formează cu raza incidentă unghiul  $\alpha$  (fig. 22) va fi exprimată prin următoarea ecuație:

$$I = K I_0 \frac{v^2}{\lambda^4 x^2} \left( \frac{n_1^2 - n_2^2}{n_1^2 + 2n_2^2} \right)^2 \sin^2 \alpha \quad (32)$$

unde  $n_1$  = indicele de refracție al particulei disperse,

$n_2$  = indicele de refracție al mediului,

$K$  = coeficient numeric,

$x$  = distanța particulei de observator.

Când  $\alpha = 90^\circ$  (adică perpendicular pe raza incidentă) intensitatea e egală cu :

$$I = K I_0 \frac{v^2}{\lambda^4 x^2} \left( \frac{n_1^2 - n_2^2}{n_1^2 + 2n_2^2} \right)^2 \quad (33)$$

Valoarea difuziunii totale a luminii de către particula se obține din ecuația (32), integrând-o după suprafața sferei de rază  $x$ .

Dacă într'o unitate de volum se găsește nu una, ci  $v$  particule, atunci la  $x = 1$  valoarea disuziunii totale a sistemului este egală cu :

$$H^2 = K_1 I_0 - \frac{\gamma v^2}{\lambda^4} \left( \frac{n_1^2 - n_2^2}{n_1^2 - 2n_2^2} \right)^2 \quad (34)$$

Pe baza acestei **ecuații a lui Rayleigh**, dedusă pentru cazul particulelor neconducătoare (dielectrice) se pot trage următoarele concluzii : Cantitatea de lumină difuzată crește repede cu micșorarea dispersiunii (proporțional cu  $v^2$  sau cu  $\lambda^6$ ) ; apoi, dacă lumină incidentă este albă, atunci în fascicolul de lumină dispersată se vor găsi mai cu seamă raze de lungimi de undă mai mici (în dependență invers proporțională de  $\lambda^4$ ). De aceea conul lui Tyndall al solurilor incolore are o colorație albăstruie, iar lumină care trece, o colorație galben roșiatică, de ex. la hidrosolul cerii. În cazul când fenomenul Tyndall provine dela o rază monocromatică, atunci lumină difuzată va avea aceeași lungime de undă ca și lumină incidentă.

Prin aceasta, fenomenul lui Tyndall se deosebește de lumina de fluorescență, a cărei lungime de undă este întotdeauna mai mare decât a luminii incidente.

Dependența lui  $H$  de  $v$  și  $\nu$  permite de a se determina cu ajutorul dispersiunii luminii, atât concentrația fazei disperse (numărul de particule e proporțional cu concentrația), cât și volumul particulei, adică dispersiunea ei (Meklenburg<sup>1</sup>). În afară de aceasta, efectul Tyndall este cu atât mai intens, cu cât e mai mare diferența între indicii de refracție  $n_1$  și  $n_2$ . De ex., efectul la solul de albumină este mult mai mic decât la solul de  $As_2S_3$  de aceeași concentrație și dispersiune (Freundlich).

Înfluența inegalității indicilor de refracție asupra valorii opalescenței unui sistem dispers, poate fi foarte bine observată pe emulsiile sunt deobicei foarte opalescente, dar dacă lichidul se alege în aşa fel, încât să existe o egalitate între indicil de refracție, atunci se obține o emulsie complet c'ară, neopalescentă. O astfel de emulsie dă, de pildă, glicerina în tetrachlorură de carbon, în prezența oleatului de calciu<sup>2</sup>).

Acum e clar de ce hidrosolii combinațiilor anorganice dau un efect Tyndall net, pe când la combinațiile organice cu același grad de dispersiune, acest efect e mult mai puțin clar.

1) W. Meklenburg, K. Z. 16, 97 (1915).

2) Holms, Ghid de laborator pentru lucrări de chimie coloidală (traducere) 103, L. 1930.

Aceasta înseamnă că o simplă comparație a clarității luminii difuze nu poate fi un indiciu pentru mărimea gradului de dispersiune.

O serie de autori (Meklenburg, Kamerling-Onnes și alții) au construit aparatе care permit să se compare intensitatea efectului Tyndall  $H$  cu intensitatea luminii incidente  $I_0$ :

$$H = K_2 I_0 \frac{\nu v^2}{\lambda^4} \quad (34 \text{ a})$$

Aceste aparatе au fost denumite tindalometre<sup>1)</sup>; ele permit să ne dăm seama despre dispersiunea sistemului.

Toate comparațiile descrise se pot face la sistemele monodisperse. La sistemele polidisperse, prezența chiar a unui mic număr de particule cu dispersiune mică (cu  $v$  mare) poate de-natura complet rezultatele observației, prin faptul că lumina puternică difuzată de un număr mic de particule mari va absorbi complet lumina slabă a celor mici și din observație se va putea trage o concluzie falsă asupra dispersiunii sistemului.

Dacă lumina incidentă nu e polarizată, atunci se face polarizarea razei difuzate. Cantitatea de lumină polarizată la difuziune, depinde în acest caz de unghiul  $\alpha$ , sub care se observă fenomenul și de mărimea particulelor. La particule mici, sferice, lumina, a cărei direcție la difuziune este perpendiculară pe direcția razei incidente, este total polarizată, iar planul oscilațiilor razei polarizate este strict perpendicular pe planul în care se găsește raza incidentă și raza difuzată, care merge spre observator, adică perpendicular pe planul figurii. La toate celelalte valori ale unghiului  $\alpha$ , cantitatea de lumină polarizată e mai mică. La creșterea mărimi  $v$  a particulei, cantitatea de lumină polarizată se micșorează, iar în direcție perpendiculară o parte din lumină rămâne nepolarizată.

De aceea, studiind gradul de polarizare al luminii difuze putem să ne facem o imagine despre dispersiunea sistemului (G. Pocrovski<sup>2)</sup>, Mie<sup>3)</sup>, Herzog<sup>4)</sup>.

Pe baza teoriei electromagnetice a luminii, Mie a dat o formulă pentru difuziunea luminii, aplicabilă la particule de orice dimensiuni. Ecuația lui Mie se deosebește de ecuația lui Rayleigh prin prezența unor membri auxiliari, care la  $r = 50 \text{ m} \mu$  și

1) Ann. Phys. 43, 1145 (1913); Z. Anorg. Chemie 74, 239 (1912); K. Z. 14, 172, 15, 149 (1914); 16, 97 (1915).

2) G. Pocrovski, Z. Phys. (1926-1928).

3) G. Mie, Ann. Phys. 25, 377 (1908).

4) R. Herzog u. B. Lange, Ber. 62, 2628 (1929).

mai puțin, capătă valori atât de mici, încât ele se pot neglijă și atunci ecuația lui Mie se transformă în ecuația lui Rayleigh.

Conform experiențelor lui Meklenburg, formula teoretică a lui Rayleigh e aplicabilă la particulele a căror rază nu trece de  $47 \text{ m} \mu$ .

Theorell<sup>1)</sup> a micșorat, în lucrările sale, această limită până la  $20-30 \text{ m} \mu$ . Pentru particulele mai mari decât dimensiunile indicate se observă abateri dela formula lui Rayleigh, iar la scăderea dispersiunii, intensitatea luminii difuzate  $I$ , începe să varieze, nu invers proporțional cu puterea a patra a lui  $\lambda$ , ci cu o putere mai mică. De ex., pentru particulele cu  $r > 47 \text{ m} \mu$  se obțin mai întâi valori invers proporționale cu  $\lambda^3$ , apoi cu  $\lambda^2$ , și în sfârșit cu  $\lambda$ . Când particulele devin într'atât de mari, încât raza de lumină se reflectă pe suprafața lor, atunci indicele  $\lambda$  devine egal cu zero și formula lui Rayleigh nu se mai poate aplica. În acest caz, difuziunea luminii provine din cauzele arătate mai sus.

Ecuația a fost dedusă pentru particulele sferice. Pentru particulele de altă formă se obțin relații mai complicate.

Formula lui Rayleigh se referă la soluri incolore, ale căror particule nu conduc curentul electric. Fenomenul va fi mai complicat, când e vorba de particulele metalice. Acest caz a fost studiat de Mie, Müller<sup>2)</sup> și Gans. Complicarea fenomenului o constituie faptul că, în conformitate cu formula lui Rayleigh, variația intensității luminii difuze trebuie să scadă treptat odată cu scăderea volumului particulelor (dispersiunii), în timp ce pentru solurile metalice intensitatea trece printr'un maxim net (vezi fig. 2).

Fenomenul lui Tyndall trebuie să se manifeste și în sistemele cu dispersie moleculară. Astfel, Rayleigh<sup>3)</sup> explică culoarea albastră a cerului prin difuziunea Tyndall a luminii solare de către moleculele aerului. Există o serie de încercări de a determina efectul Tyndall la soluțiile compușilor macromoleculari.

Gans<sup>4)</sup> a cercetat efectul Tyndall la soluțiile de zahăr, în care caz raza difuză a fost complet polarizată, ceea ce era de așteptat la un asemenea grad de dispersiune. E posibil ca și înseși moleculele de apă să dea acest efect, în special dacă se folosesc luminiile ultraviolete<sup>5)</sup>.

1) T. Theorell, K. Z. 53, 322 (1930); 54, 150 (1931); L. I. Smirnov, J. Col. 1, 80 (1935).

2) E. Müller, Ann. Phys. (4), 35, 500 (1911).

3) Rayleigh, Phil. Mag. 47, 375 (1899).

4) R. Gans, Phys. Z. 24, 65 (1923).

5) H. Schade u. H. Lohfert, K. Z. 51, 65 (1930).

N. N. Andreev<sup>1)</sup> a folosit fotoelementul pentru a face determinări tindalmetrice.

Acest aparat e ușor de folosit când are loc efectul Tyndall și când difuziunea se produce din cauza reflecției pe suprafață.

In primul caz, fenomenul se produce conform formulei  $I = K \nu v^2$ , iar în al doilea caz — conform formulei  $I = K_1 \nu S$ , unde  $S$  = suprafața particulei.

Analizând constantele  $K = \frac{I}{\nu v^2}$  și  $K_1 = \frac{I}{\nu S}$  găsim, că pentru particule mici (mai mici decât lungimea de undă) constanta este  $K$ , iar pentru particule mai mari decât lungimea de undă, constanta e  $K_1$ .

Găsind valoarea  $I$  și folosind formula (34a) se poate determina disperziunea sistemului.

#### 4. ABSORBȚIA LUMINII (COLORAȚIA)

Solurile au colorații diferite, iar foarte des această culoare nu este caracteristică pentru substanța care intră în sistemul dispers, ci este în funcție de gradul de dispersiune. De ex., hidrosolurile de aur puternic dispersate, care se compun din particule primare, au o coloare roșie-rubinie, cele formate din particule secundare și de grad superior, au o colorație violetă sau indigo; tot indigo sunt și solurile puternic dispersate de sulf. Solurile de argint au o colorație roșie și verde. Intensitatea colorației solurilor este foarte mare și adesea întrece intensitatea colorației coloranților cristalini. Intensitatea colorației depinde de disperziunea particulelor. Mie și Svedberg au studiat maximul de colorație pentru aur la un grad mediu de disperziune coloidală (vezi fig. 2).

Dependența dintre colorație și gradul de disperziune se vede foarte bine la pelicule subțiri, care sunt sisteme cu un grad de disperziune unidimensional. Acest fenomen se observă la peliculele de uleiuri, întinse pe suprafața apei, care pelicule apar colorate în toate culorile, la peliculele baloanelor de săpun și la colorația oțelului călit, din cauza formării pe suprafața acestuia a unor straturi foarte subțiri de oxizi. Este ușor de făcut o experiență care să arate că, colorația peliculei depinde de grosimea ei. Pentru aceasta se cufundă un inel de sărmă într-o soluție de săpun, și, plasându-l în aşa fel încât lichidul să se poată scurge,

1) N. Andreev, J.R.F.H.O. 62, 2091 (1930); K. Z. 43, 14 (1927); 52, 184 (1930). J. O. H. I, 817 (1931).

se obține pe inel o peliculă care se subțiază treptat în direcția de jos în sus, pe măsură ce lichidul se scurge. Observând pelicula, se poate vedea că, colorația se schimbă treptat; ea capătă culori foarte vii, iar la o peliculă foarte subțire de cca 6  $\mu\mu$  — devine complet neagră. Asemenea colorații sunt ușor de observat la peliculele baloanelor de săpun. Colorația depinde de diferența razelor reflectate de pe suprafața exterioară și interioară a peliculei. Un alt exemplu sunt emulsiile colorate, în lichide absolut incolore, care se pot colora în toate culorile spectrului, emulSIONÂND, de pildă, glicerina în acetat de amil cu nitroceluloză în prezența benzenului. Variind cantitatea de benzen, se pot varia colorațiile emulsiei<sup>1)</sup>. Avem de-a-făce aici cu cazul unui sistem puțin dispersat. Colorația se obține din cauza unei diferențe convenabile între indicele de refracție al fazei disperse și cel al mediului. Un sistem colorat analog, se poate obține și pentru un mediu lichid și o fază dispersă solidă și colorată (sticla).

Lumina care trece prin sol este absorbită din următoarele cauze: 1) ca o urmare a absorbției, care poate fi selectivă; în acest caz solul sau suspensia sunt colorate în lumina care le străbate; 2) din cauza difuziunii luminii, din motivele indicate mai sus; în acest caz, solul e colorat în lumină reflectată și colorația e diferită de aceea pe care o are în lumina care-l străbate.

Absorbția luminii, datorată primei cauze se supune legii lui Lambert Beer, exprimată prin formula:

$$I = I_0 \cdot e^{-kx} \quad (35)$$

unde  $x$  = grosimea stratului absorbant de lichid și  $e = 2,718$ . Formula a fost dedusă pornind dela considerentul că fiecare strat de soluție, de grosime  $dx$  absoarbe o parte din lumină, care pătrunde în el, egală cu  $\frac{dI}{I}$ . Să aplicăm legea lui Beer soluțiilor moleculare. Formula poate fi întrucâtva schimbată, introducând concentrația  $c$  a substanței disolvate:

$$I = I_0 \cdot e^{-kxc} \quad (35a)$$

unde  $k$  este coeficientul de absorbție a luminii pentru o anumită lungime de undă.

Pentru a cerceta absorbția luminii, raza albă se trece printr'un mediu colorat, obținându-se un spectru de absorbție și se cercetează intensitatea  $I$  a razelor de diverse lungimi de undă.

1) H. Holms a Cameron, J. Am. Ch. Soc. 44, 71 (1922); H. Holms, Ghid de laborator (traducere) 106, f930.

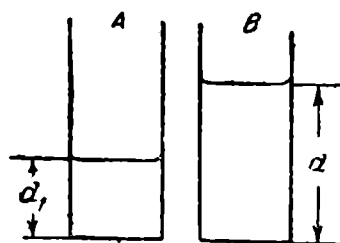
Asemenea determinări se fac cu spectrografe sau cu spectrofotometre<sup>1)</sup>.

Pentru comparații mai simple de soluții la fel colorate servesc fotometrele, de ex. fotometrul de tip Dubeaux. Prințipiu construcției fotometrului se bazează pe măsurarea înălțimilor a două straturi de soluție colorată, care trebuie să fie astfel aleasă, încât dacă vom privi în lungul înălțimii straturilor A și B (fig. 23) ecranul luminos I—I, să putem observa o colorație de egală intensitate. Atunci, în baza ecuației (35a) vom obține relația  $cd = c_1 d_1$ , care permite determinarea concentrației căutate  $c$  a soluției.

Legea lui Lambert-Beer a fost dedusă pentru soluțiile obișnuite; pentru a putea fi aplicată la soluri<sup>2)</sup> trebuia dovedit că constanta  $k$  nu depinde nici de concentrația  $c$ , nici de grosimea stratului. Cercetarea influenței concentrației a arătat că legea nu poate fi aplicată solurilor metalice cu particule mari, cu care a lucrat Scarpa<sup>3)</sup>; solurile foarte disperse ale metalelor, cu care a lucrat Svedberg<sup>4)</sup> se supun legii absorției și constanta  $k$  nu depinde de diluție.

La cercetarea hidrosolurilor nemetalice s-au observat abateri dela legea lui Lambert-Beer la variații mari ale concentrațiilor. După Theorell<sup>5)</sup>, grosimea stratului absorbant poate să varieze considerabil, legea rămânând valabilă. Studiul influenței concentrației (diluției) a arătat că în această direcție, trebuie multă atenție căci la diferențe considerabile de concentrații ale soluțiilor comparabile (soli) proporționalitatea nu se mai menține. Abaterile sunt deosebit de mari la gelatine și la soluri analoage.

Având în vedere, că la luminarea solurilor incolore are loc fenomenul Tyndall și că o parte din lumină se dispersează, trebuie



I  
Fig. 23. — Schema colorimetrului (fotometrului) Dubeaux I-I ecran.

1) P. Rona, Lucrări practice de chimie fizică (trad.) 1930; D. Iou, Colorimetria (trad.), 1935; F. Weigert, Metode optice în chimie (trad.), 10-255 (1933).

2) Wo. Ostwald, Licht und Farbe, 312-340 (1924).

3) O. Scarpa, K. Z. suppl. II, 50 (1908).

4) Th. Svedberg, Arkiv. Kem.; 3 Nr. 20 (1909); 4, Nr. 12 (1911); Z. phys. Ch. 66, 758 (1909).

5) Theorell, K. Z. 53, 322 (1930).

să ne aşteptăm ca o cantitate corespunzătoare de lumină să fie absorbită. De aceea Tyndall sfătuiește ca, la determinarea concentrației cu spectrofotometrul, la concentrații mici ale solului, să se folosească de preferință raze cu lungimi de undă mici, iar la concentrații mari, din cauza marii lor puteri de absorbție — partea roșie a spectrului.

Având în vedere că la iluminarea cu lumină albă, așa cum rezultă din formula lui Rayleigh, se dispersează raze cu lungime de undă mică, solurile incolore și albe dău prin transparență o colorație portocalie, care nu este o colorație proprie a substanței scăului, ci provine din difuziunea luminii. O asemenea colorație se observă bine la cețuri și fumuri; fumul albăstrui indică o dispersiune mare.

Pornind dela aceasta, Theorell, combinând ecuațiile lui Rayleigh și ecuația (35), ajunge la următoarea relație:

$$I = I_0 \cdot e^{-k \frac{\nu v^2 d}{\lambda^4}} \quad (36)$$

Ecuația (36) dă relația între intensitatea luminii incidente și a luminii care a traversat mediul, în funcție de numărul  $\nu$  a particulelor coloidale din sol (adică concentrația), în funcție de volumul lor  $v$ , de grosimea stratului de sol  $d$  și de lungimea de undă  $\lambda$  a luminii disperseate. După cum lumina, dispersată de un scl incolor are o colorație anumită, tot așa și raza albă, care a trecut prin sol, devine și ea colorată și în lumina care a traversat mediul, solul pare colorat. Ne este deja cunoscut că indicele lungimii de undă rămâne egal cu patru zămai la un anumit grad de dispersiune. Când însă dimensiunea particulelor trece de  $20-30 m\mu$ , indicele scade la 3,2 și în sine la 0. Folosind acest fapt, Theorell<sup>1)</sup> a dat o metodă de determinare a dispersiunii solurilor incolore, cercetând absorbția luminii. La început, curba de absorbție urcă, atinge un maxim, iar la o mărire ulterioară a dimensiunii particulelor, coboară.

<sup>1)</sup> T. Theorell, K. Z. 53, 322 (1930); 54, 58 (1931); L. B. Smirnov, Bul. științ. inst. chim. col. Nr. 1, 79 (1934).

## VI. ULTRA- ȘI ELECTRONOMICROSCOPIA

### 1. ULTRAMICROSCOPUL

Conform cercetărilor lui Rayleigh, la fenomenul Tyndall lumina este dispersată de fiecare particulă. Astfel, fiecare particulă este un centru luminos, iar intensitatea luminii difuzate, este direct proporțională cu  $v^2$  sau  $r^6$ .

Dacă deasupra conului luminos al lui Tyndall s-ar plasa un microscop, cu ajutorul căruia să se poată distinge particulele separate, care se găsesc la o oarecare distanță una de alta, atunci, în câmpul de vedere al microscopului, vom vedea puncte luminoase.

Microscopul construit în acest fel poartă denumirea de **ultramicroscop**.

Ultramicroscopul se deosebește de cel obișnuit prin aceea că la microscopul obișnuit obiectul se luminează fie de jos (observație în lumina incidentă), fie de sus (observație în lumenă reflectată).

La observația cu ultramicroscopul, luminarea obiectului se face lateral, iar pe fondul negru, neluminat, se văd particulele care sunt luminoase datorită luminii difuzate.

In fig. 24 este arătată direcția fascicoului de iluminare S, emis de lampa cu arc, poziția microscopului 1, a căruia axă optică este dispusă perpendicular pe direcția razei S și poziția cuvei 2, cu pereți paraleli, umplută cu sol.

Ultramicroscopul a fost construit în anul 1903 de Siedentopf

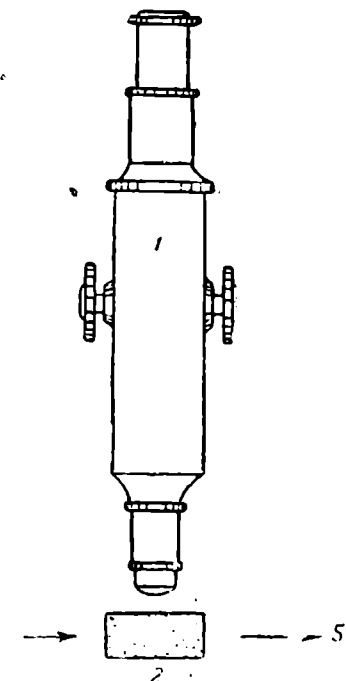


Fig. 24. — Observarea obiectului la microscop, la o iluminare laterală.

1. microscop; 2. cuva.

și Zsigmondy<sup>1)</sup>. El poartă denumirea de **ultramicroscop cu fantă** și are următoarea construcție (fig. 25). O lampă puternică cu arc 3, care se găsește într'o cutie metalică, trimite prin fanta 4, un fascicol de lumină pe lentila 5. Aceasta din urmă dă imaginea craterului cărbunelui în fanta 6, de secțiune dreptunghiulară. Secțiunea dreptunghiulară a fantei 6, puternic luminată, este proiec-

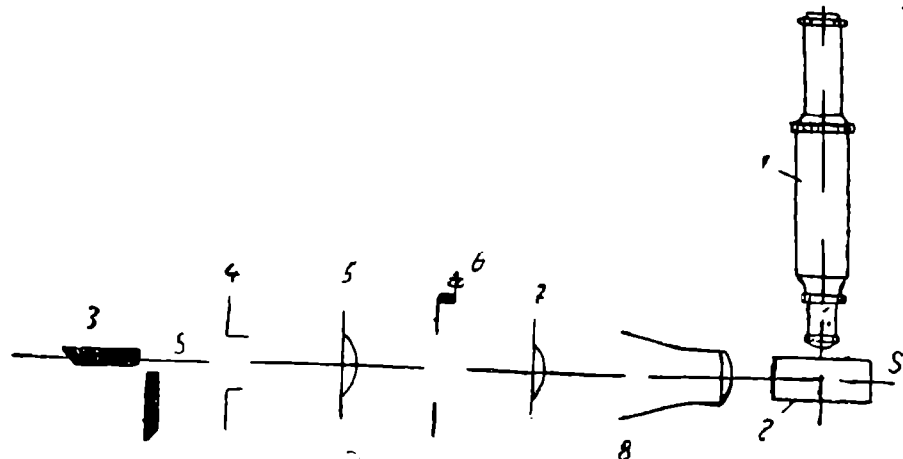


Fig. 25. Schema ultramicroscopului cu fantă,  
1. Microscopul; 2. cuva; 3. lampa cu arc; 4. fantă; 5, 7 și 8 lentile; 6. fantă

tată cu ajutorul lentilelor 7 și 8 sub forma unei raze fine a secțiunii dreptunghiulare în cuva 2, în care se introduce solul de cercetat. (La ultramicroscopapele de construcție recentă, lentila 7 lipsește). Particulele solului, luminate de o rază puternică de lumină, dau fenomenul Tyndall și fiecare particulă devine centru luminos. De cuva 2 este legat microscopul 1, cu ajutorul căruia se observă particulele luminoase.

In fig 26 se arată imaginea unui sol observat cu ultramicroscopul cu fantă ; ea reprezintă un con, în care se văd particule luminoase.

Particulele mici dau foarte puțină lumină dispersă ; ele nu sunt vizibile separat și numai în număr mare dau un câmp luminos comun. Asemenea particule se numesc **amicroni**; deobicei ele sunt mai mici de  $2 \text{ m}\mu$ . Particulele mai mari

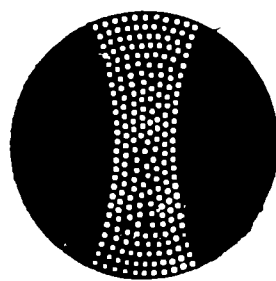


Fig. 26.— Imaginea unui sol, observat cu ultramicroscopul cu fantă.

1) H. Siedentopf u. R. Zsigmondy. Ann. Phys. (4), 10, 1 (1903).

de 2 m  $\mu$  și care se văd bine la ultramicroscop, se numesc **sub-microni**.

In soluri, particulele nu se găsesc în repaus, ci se mișcă energetic; această mișcare poartă denumirea de mișcare browniană.

Particulele care se observă la ultramicroscop, sunt deobicei colorate. De multe ori unul și același sol are particule de diferite culori. Colorația diferită a particulelor e în legătură în primul rând, cu dispersiunea lor.

Cu ajutorul ultramicroscopului cu fână se poate determina mărimea particulelor. Pentru aceasta, se delimitizează în lichidul din cuva 2 (vezi fig. 25) luminat cu lumină laterală, un volum determinat  $w$ , în care se numără cantitatea de particule  $v$ . Atunci volumul unei particule va fi :

$$v = \frac{w c}{\nu \delta_K} \quad (37)$$

unde  $c$  = concentrația,  $\delta_K$  = densitatea substanței. Cunoscându-se forma geometrică a particulelor, se poate determina dimensiunile lor. Pentru o particulă sferică, vom determina raza în felul următor :

$$v = \frac{w c}{\nu \delta_K} = \frac{4}{3} \pi r^3$$

$$r = \sqrt[3]{\frac{3 w c}{4 \pi \nu \delta_K}} \quad (38)$$

Vom presupune că particulele sunt sferice, ceea ce este aproape de realitate; totuși se cunosc cazuri de existență a particulelor care au și alte forme, de ex.: forma de elipsă, forma unui elipsoid de rotație, de bastonașe, de plăci.

In tehnica număratului particulelor este foarte importantă măsurarea volumului delimitat pentru număratul particulelor (volumul de calcul).

Pentru aceasta servește construcția specială a fantei optice. Pe discul 1 (fig. 27), prevăzut la mijloc cu o deschidere, e fixată imobil o placă 2, iar deasupra ei, o placă mobilă 3, legată prin șurubul micrometric 4. Rotind șurubul micrometric, se poate deplasa placă 3 în sus și în jos, lăsând sau îngustând distanța  $h$  între plăciile 2 și 3. Lateral, este fixată placă 6 și placă mobilă 7, legată prin șurubul micrometric 5, care permite apropierea și depăr-

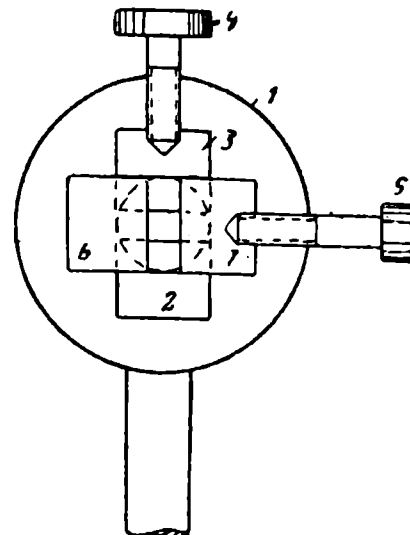


Fig. 27. – Schema construcției fantei optice.

1. disc; 2 și 6. plăci fixe; 3 și 7. plăci mobile; 4, 5. șuruburi micrometrice.

tarea plăcii 7 de placă 6, variind astfel lățimea deschiderii. Cu ajutorul sistemului optic, în câmpul de vedere al microscopului se obține un fascicol de lumină dreptunghiulară (fig. 28). Lățimea fasciculu lui de lumină  $l_1$  și adâncimea  $h_1$  se găsesc în următoarea relație :

$$\frac{h_1}{l_1} = \frac{h}{l}$$

Lățimea  $l_1$  se vede la microscop sub forma unei benzi luminoase și poate fi măsurată în centimetri cu ajutorul micrometrului ocular (o riglă situată în ocular). Adâncimea se măsoară rotind discul fantei optice în jurul axei (care este și axă optică) cu  $90^\circ$ . La o astfel de rotație cu  $90^\circ$ , adâncimea  $h_1$  devine lățime pentru fascicul de lumină de secțiune dreptunghiulară (fig. 28) și se poate măsura ușor cu ajutorul același micrometru ocular. Măsurând în acest fel adâncimea, fanta se rotește înapoi cu  $90^\circ$  în jurul axei și lățimea măsurată a razei devine adâncime. Acum, în ocularul microscopului se introduce o diafragmă, care are o deschidere circulară al microscopului, delimitată observat la microscop, va mai mică decât adâncimea cîmpului de vedere al microscopului, pentru ca toate particulele care se găsesc în volumul de calcul să fie văzute la fel de clar.

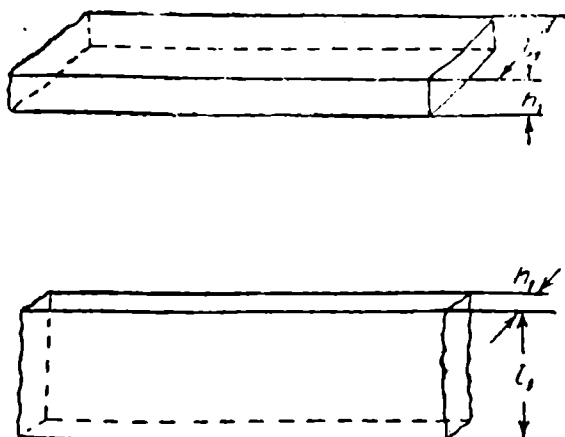
Fig. 28. – Secțiunea fasciculu lui de lumină în cîmpu lui ultramicroscopului.

pătrată, care, proiectându-se în câmpul de vedere tează o anumită suprafață  $q \text{ cm}^2$ . Atunci volumul fi egal cu  $h_1 = w \text{ cm}^3$ . Adâncimea  $h_1$  trebuie să fie mai mică decât adâncimea cîmpului de vedere al microscopului, pentru ca toate particulele care se

găsesc în volumul de calcul să fie văzute la fel de clar.

După ce s'au numărat particulele cuprinse în volumul de calcul, se fac calculele ulterioare după formula (38).

O numărătoare mai mult sau mai puțin precisă a particulelor, este posibilă la solurile monodisperse sau la cele polidisperse, la care nu există diferențe prea mari între dimensiunile particulelor. În toate celelalte cazuri nu se va obține o dimensiune reală a particulelor, ci una medie. Când însă diferența între dispersiunea particulelor separate este considerabilă, atunci ochiul nostru observă, deobicei, numai particulele mai mari, foarte luminoase și omite particulele mici, puțin luminoase, ceea ce duce la erori mari. În acest caz, noi nu suntem în stare de a determina nici măcar mărimea medie a particulelor. Metoda numărătorii nu este aplicabilă, când în sol există simultan submicroni și amicroni,



căci aceştia din urmă nu pot fi numărați din cauza slabiei lor luminozității.

Pentru o determinare precisă a numărului de particule (la un sol aproximativ monodispers) este necesar de a se face numărători în diferite porțiuni ale solului, pentru care scop cuva se construеște în aşa fel, încăt să fie comod de a deplasa lichidul. O astfel de cuvă a fost propusă de Biltz. (fig. 29).

Un tub pătrat de sticlă, şlefuit — 1, înnegrit în partea centrală, are două ferestre cu de cuart: una la partea superioară, deasupra căreia se află obiectivul microscopului 2, și cealaltă lateral, prin care pătrunde raza de lumină. La una din părțile tubului este sudată o pâlnie 3, în care se toarnă solul, iar de partea cealaltă — un tub înndoit 4, cu o clemă. Cuva se fixează cu un dispozitiv special de obiectivul microscopului; între obiectiv și ferestruică se introduce o picătură de imersiune apoasă. Apoi se toarnă solul în pâlnia 3, se desface clema, și solul umple tot tubul. Acum putem face observații ultramicroscopice asupra lichidului, care se găsește la microscop. Deschizând clema, se pot introduce la microscop noi porțiuni de sol pentru cercetare.

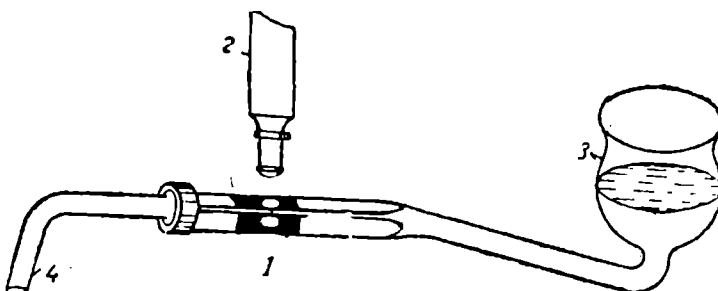


Fig. 29. — Cuvă lui Biltz.  
1. Tub şlefuit; 2. Microscop; 3. Cuvă; 4. Tub înndoit.

Perrin a arătat că la numărătoare se poate diminua eroarea la mai puțin de 1%, făcând mii de numărători și luând media lor. La o sută de numărători, eroarea atinge 5%.

Inafară de numărătoarea directă a particulelor, cu ochiul, se poate măsura cu ajutorul micrometrului ocular distanța medie între două particule vecine și de aici se poate determina numărul mediu de particule într'un  $\text{cm}^3$ . Fie distanța medie (obținută din mai multe determinări) egală cu  $l$ , atunci o particulă se va găsi într'un volum  $l^3$ . De unde, într'un  $\text{cm}^3$  se vor găsi  $n = \frac{1}{l^3}$  particule.

## A. V. DUMANSCHI

Lucrări ultramicroscopice mari au fost efectuate de Zsigmondy, Perrin și Svedberg, iar mai târziu de Wiegner<sup>1)</sup>.

Cu ajutorul ultramicroscopului se pot observa nu numai particulele dintr'un mediu lichid sau gazos, ci și dintr'unul solid. Pentru aceasta, în locul cuvei se pun bucătele șlefuite de corp solid. În acest fel au fost cercetate sticlele colorate a căror colorație depindea de substanțe puternic dispersate. De ex. colorația roșie depinde de prezența particulelor coloidale de aur sau cupru.

Inafara de ultramicroscopul clasic cu lantă, există și aşa numitul **ultramicroscop cu imersiune** al lui Zsigmondy<sup>2)</sup>. Acest sistem dă o iluminare foarte puternica, ceea ce permite vederea particulelor separate de  $2 \text{ m}\mu$ , în timp ce ultramicroscopul obișnuit face vizibile numai particulele de  $5 \text{ m}\mu$ .

Inafara de tipurile de microscope expuse mai sus, au mai fost construite și **condensoare**. Construcția lor constă în aceea că lumina este reflectată de oglinda de iluminare a microscopului și pătrunde într'un sistem optic special, deasupra căruia se află lichidul de cercetat. Sistemul optic al condensorului este astfel construit încât raza de lumină, trecând prin el, traversează sistemul în direcție laterală, dă efectul Tyndall, fără să pătrundă el însuși în obiectivul microscopului.

Primul ultramicroscop — condesor a fost construit de savanți francezi Cotton și Mouton<sup>3)</sup> în acelaș an (1903) în care a fost inventat și ultramicroscopul cu lantă.

Condensorul lui Cotton și Mouton reprezintă o bucată de stică, șlefuită în formă de paralelipiped (2, fig. 30). Un fascicol puternic de lumină cade pe muchia oblică CD a paralelipipedului, situat pe măsuța microscopului și suferă o reflexie totală pe muchia înșericată BD a paralelipipedului. Raza reflectată intră în picătura de lichid acoperită cu sticlă și, fiind supusă pe sticlă unei reflexii totale, la granița cu aerul trece din nou în lichid. Se produce o iluminare laterală a lichidului și a particulelor coloidale care se găsesc în el. Deasupra se plasează microscopul 1, prin care se și observă particulele luminoase. Aparatul e foarte simplu și ne poate lămuri asupra principiului de construcție al condensorului.

Ca exemplu de condesor perfecționat, vom descrie **condensorul cardioïd**, al lui Sieđentopf. Acest condensor (fig. 31) se com-

1) G. Wiegner u. W. Russel, K. Z. 52, 1, 189 (1930).

2) R. Zsigmondy u. W. Bachmann, K. Z. 14, 281 (1914).

3) A. Cotton et H. Mouton, C. r. 136, 1657 (1903); A. Cotton et H. Mouton, *Les ultramicroscopes et les objets ultramicroscopiques*, Paris 1906.

pune din două sticle optice 1 și 2. Suprafața sticlelor este o **cardioidă**, adică o suprafață de rotație, a cărei secțiune meridiană este o curbă **cardioidă**.

Raza, trecând prin deschiderea inelară a diafragmei 3, situată

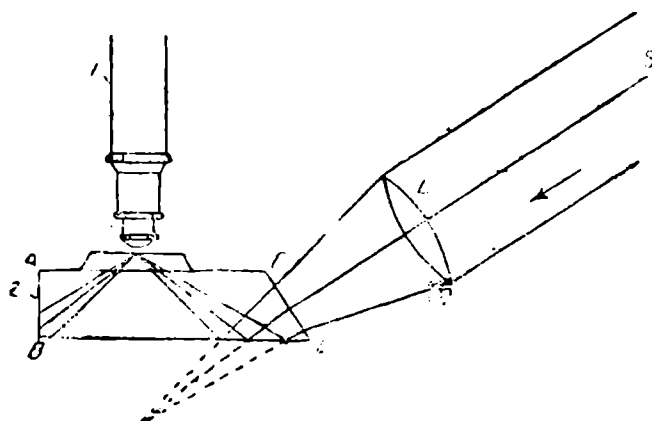


Fig. 30. — Paralelipipedul lui Cotton și Mouton.  
1. microscopul; 2. paralelipipedul.

la partea inferioară, pătrunde în sticla optică 1, unde suferă o reflecție totală și intră în sticla optică 2. Aici, raza suferă o reflecție totală, trece prin lichidul 4, pe care-l luminează lateral. Trecând mai departe, raza ajunge la suprafața sticlei acoperitoare unde suferă din nou o reflecție totală și se întoarce în sticla optică 2, apoi în sticla 1 și ieșe din condensor. S-au ales sticle cu suprafață cardioidă pentru ca la reflecțiile repetate ale razei pe această suprafață să nu se producă pierderi de lumină — prin ieșirea razelor prin părțile laterale — și astfel, pentru luminarea obiectului se folosește toată lumină care a intrat în cardioidă.

Pentru a înțelege ce este cardioidă să cercetăm următoarea construcție geometrică (fig. 32). Pe cercul închis A, lăsani să se rostogolească cercul B, de aceeași rază ca și primul și notăm drumul pe care-l parcurge punctul C de pe cercul în rostogolire.

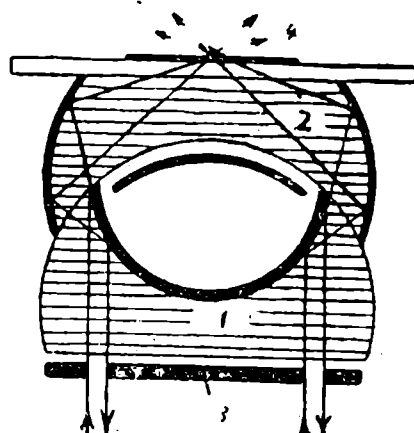


Fig. 31. — Condensorul cardioid al lui Siedentopf.  
1, 2 sticle optice; 3 diafragma;  
4 stratul de lichid.

Se obține o curbă în formă de inimă C D E F C, care se numește **cardioïdă**. Dacă vom roti cardioïda în jurul axei C A E, vom obține o suprafață, identică cu forma ce se dă sticlelor condensorului **cardioïd**.

La partea superioară a condensorului cardioïd se plasează o cameră de cuarț specială, în care se introduce o picătură de lichid de cercetat, care se acoperă cu o placă, deasemenea de cuarț.

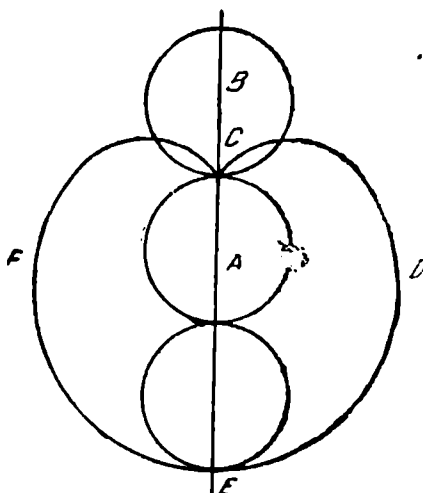


Fig. 32. — Cardioïda.

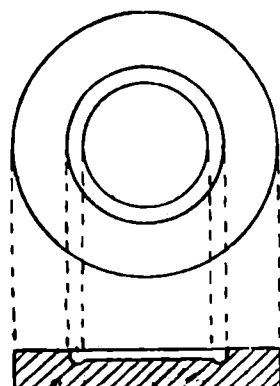


Fig. 33. — Cameră de cuarț pentru condensorul cardioïd.

Între condensor și camera de cuarț se introduce o picătură de apă. Camera de cuarț reprezintă o placă rotundă de cuarț (fig. 33) cu un jghiab circular. Planul plăcii, limitat de jghiab, are o suprafață perfect şlefuită, care se găsește cu  $1\text{ }\mu$  mai jos decât marginea plăcii și astfel, la închiderea cu placa de acoperire, grosimea stratului de lichid este de  $1\text{ }\mu$ .

Pentru ușurință, placa se înșurubează într-o armătură specială și se plasează pe masa microscopului, care are în loc de luminator, un condensor cardioïd. Iluminarea se face cu o mică lampă cu arc cu condensor, a cărei lumină se îndreaptă pe oglinda microscopului, de unde, reflectându-se, ea pătrunde în condensorul cardioïd.

Există multe sisteme de condensori, propuse de diferiți autori. Ușurința utilizării lor constă în aceea că acești condensori nu necesită un sistem optic complicat de iluminare, aşa cum este nevoie la ultramicroscopul cu fantă, și nu necesită o mare putere a luminii. Numărătoarea particulelor se face prin diafragmele oculare, după cum a fost indicat mai sus. În condensorul cardioïd, adâncimea se determină prin șifrul camerei de cuarț. La

alte condensoare, la care adâncimea e necunoscută, numărătoarea particulelor se efectuează, determinând distanța  $l$  între particulele învecinate, iar apoi se determină numărul particulelor dintr'un centimetru cub după formula :

$$n = \frac{1}{l^3}$$

Vizibilitatea la microscop depinde de puterea sursei de iluminare. Din acest motiv au fost construite aparate pentru folosirea luminii solare. Complexitatea și utilizarea limitată a acestei surse de lumină, n'au permis unor asemenea ultramicroscopie de a intra în uzu laboratoarelor.

In anul 1938 a fost propusă pentru iluminare lampa cu mercur la presiune înaltă, care dă o intensitate de lumină egală cu cca solară. La folosirea unei asemenea lămpi, intensitatea luminii particulelor se mărește într'atât de mult, încât se pot efectua fotografii instantanee cu o expunere de  $1/5$  până la  $1/20$  secundă <sup>1)</sup>.

O altă încercare de a mări intensitatea luminii difuze, constă în utilizarea surselor de iluminare cu mică lungime de undă (vezi formula 34). Pentru aceasta se folosea lumina ultravioletă <sup>2)</sup>.

Este interesant de menționat că principiul observării la microscop prin iluminarea laterală pe fond închis, a fost cunoscut <sup>3)</sup> cu 50 de ani înainte de descoperirea lui Zsigmondy — Siedentopf. Tot atunci se știa că la iluminare laterală se pot vedea obiecte care nu pot fi observate la microscopul obișnuit.

## 2. SUPERMICROSCOPUL ELECTRONIC

Spre deosebire de ultramicroscop, supermicroscopul electronic este bazat pe principiul microscopului obișnuit. În el se obține o imagine reală și mărită a obiectului, ca rezultat al luminării obiectului cu un fascicol de electroni mobili.

Pe baza teoriei microscopului, dată de Abbe și Helmholtz, capacitatea de mărire a microscopului crește cu scăderea lungimii de undă. Astfel, lungimea limită vizibilă la iluminarea cu cele mai scurte raze vizibile (violete) este egală cu cca.  $4 \cdot 10^{-5}$  cm. și nu e mai mică de  $1,5 \cdot 10^{-5}$  cm.

1) K. Hoffmann, K. Z. 83, 9 (1938).

2) P. P. Weimann, K. Z. 2, 175 (1907).

3) H. Siedentopf, Z. wiss. Mikroskopie, 24, 382 (1908).

Lungimea undelor electronice este determinată de viteza electronilor, care depinde de tensiunea  $V$  în tubul catodic :

$$\lambda = \frac{h}{mu} = \frac{h}{\sqrt{2meV}}$$

unde  $h = 6,55 \cdot 10^{-27}$ ,  $m = 9,04 \cdot 10^{-28}$ ,  $g$  și  $e = 4,774 \cdot 10^{-10}$  unități electro-statice.

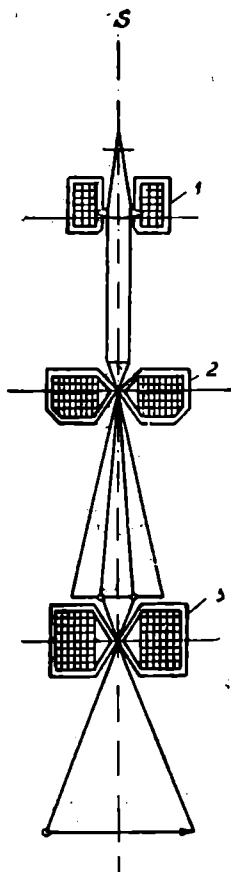


Fig. 34. — Schema supermicroscopului electronic.

1, 2, 3, bobine electromagnetice.



Fig. 35. — Fotografia preparațului de sol de argint.

Mărind tensiunea  $V$  (până la  $10^4$  v) obținem o undă fazică de  $5 \cdot 10^{-8}$  cm. prin a cărei iluminare vor fi vizibile conturele particulelor de aproximativ aceeași dimensiune de  $5 \cdot 10^{-8}$  cm., adică de dimensiunea moleculelor mari.

Un asemenea microscop (fig. 34) a fost construit în anul 1934 de Ruska, Borries și Ardenne<sup>1)</sup>.

Drept lentile servesc puternice bobine electro-magnetice 1-3. Prima bobină condensează fascicolul de electroni și îl trimite pe obiectiv. Aici fluxul suferă o difracție și ajunge la a doua bobină cu curent — **obiectivul magnetic**. Trecând prin al doilea câmp de forțe, razele electronice converg, dând prima imagine reală a obiectivului. Mergând mai departe, fluxul ajunge în câmpul de forțe al celei de-a treia lentile magnetice și dă o imagine mărită și reală pe placa fotografică. Ceva mai târziu s'a dat construcția unui microscop cu lentile electrostatice<sup>2)</sup>.

Vom menționa că la aceste microscope se obțin măriri foarte mari, de 15.000, 75.000 și chiar 500.000 ori. În fig. 35 este reprezentată fotografia unui preparat de sol de argint (dimensiunea particulelor este de 15-30  $m\mu$ ), obținut la o mărire de 95.000 ori. Pe fotografie se vede bine forma particulelor coloide.

La studiul compușilor macromoleculari se pot observa și moleculele separate. De ex. la cercetarea cauciucului<sup>3)</sup>, s-au observat fibre lungi cu noduri dispuse pe ele. S'a mai observat și o altă imagine și anume că moleculele lungi formează rețele foarte ramificate cu ochiuri incalcite. Aceasta confirmă presupunerea relativă la structura filiformă a moleculelor multor compuși înalt polimeri. Există cercetări și asupra altor substanțe, de ex. albuminele.

---

1) E. Ruska, Z. Phys. 87, 580 (1934); B. v. Borries u. E. Ruska, Wiss. Veröff. Siemens Werken, 17, 91 (1938); M. Ardenne, Z. Phys. 115, 339 (1940); B. V. Ilin, Succesele chimiei, 9, 522 (1940); H. O. Müller u. E. Ruska, K. Z. 95, 21 (1941).

2) H. Mahl, Naturwiss., 27, 417 (1939); Z. Techn. Phys. 20, 316 (1939); K. Z. 91, 105 (1940).

3) India Rubber J. 9/IX (1944).

## VII. VISCOZITATEA

### 1. NOTIUNI DESPRE VISCOZITATE

Viscozitatea solurilor are o mare importanță în chimia coloidelor, în special la studiul sistemelor coloidale ale compușilor macromoleculari.

Graham a întrebuințat metoda viscozimetrică de cercetare a sistemelor coloidale încă în anul 1864. Rezolvarea teoretică a dependenței viscozității de concentrația soluțiilor, a fost dată de Einstein<sup>1)</sup> abia în anii 1906-1911.

Studiul viscozității a jucat un mare rol la stabilirea naturii sistemelor coloidale și anume la determinarea volumului ocupat de particulele disperse, la stabilirea relației lor cu mediul de dispersiune, a caracterului formei lor geometrice și a procesului de învechire a soluțiilor.

In fig. 36 este indicată schema procesului de frecare interioară a lichidului. Când straturile de lichid M și N, care sunt în atingere, se mișcă paralel cu planul AB (planul delimitării lor geometrice) cu viteze diferite, între ele se naște o forță de acțiune reciprocă. Aceasta încetinește mersul stratului ce se deplasează repede și accelează mersul celui ce se deplasează încet. Această forță de frecare este direct proporțională cu mărimea suprafeței de contact S și cu variația  $du$  a vitezei de deplasare a straturilor în funcție de distanța  $dx$  de planul de deli-

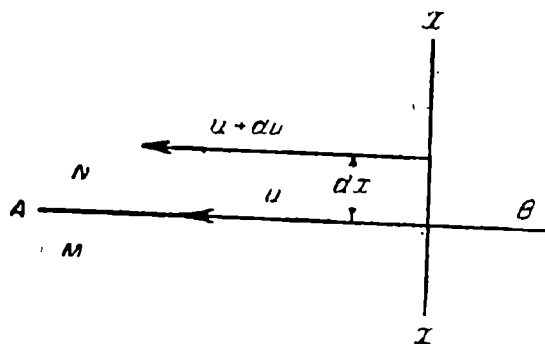


Fig. 36. — Schema procesului de frecare interioară a lichidului.

1) A. Einstein, Ann. Phys. (4) 19, (1906); 34, 591 (1911).

mitare AB, deci este proporțională cu derivată  $\frac{du}{dx}$ . În consecință

$$f = \eta S \frac{du}{dx}, \quad (39)$$

unde  $\eta$  este coeficientul de viscozitate sau coeficientul de **încercare inferioară**. Forța  $f$  se exprimă în dyne pe  $\text{cm}^2$  de suprafață de frecare. Pe baza ecuației (39) nu este greu de formulat semnificația coeficientului  $\eta$ ; el este egal cu forța (în dyne) la o mărime a suprafeței de frecare  $S = 1 \text{ cm}^2$ , atunci când pe distanță de 1 cm viteza variază cu un centimetru pe secundă ( $\frac{du}{dx} = 1$ ).

Binham a propus ca unitatea de viscozitate să fie denumită în cinstea lui Poiseuille — poise.

Ne putem închipui lichidul în mișcare ca fiind format dintr-un sir de straturi de grosime  $dx$ , care se deplasează cu viteză diferite. Dacă lichidul se mișcă pe un corp solid atunci după cum arată experiența, frecarea exterioară între lichid și suprafața corpului solid, este foarte mare. Aceasta înseamnă că stratul superficial al lichidului parcă s-ar fi lipit de suprafața solidului și că nu există **alunecare** între două faze. Stratul următor, care se găsește la o distanță  $dx$  de stratul lipit, imobil, se deplasează cu viteză  $du$ ; următorul după el — cu viteză  $2 du$  și a. m. d. Astfel s-ar părea că lichidul în mișcare se descompune într'un sir de straturi de grosime  $dx$ , care se îreacă unul de altul și determină valoarea frecării interioare. De aceea, o asemenea frecare interioară se numește **laminară** (stratificată).

Pentru cazul fricțiunii laminare interne, Poiseuille a dat în anul 1842 o formулă care dă relația între mărimea volumului  $Q$  al lichidului, care curge printr'un tub cu lungimea de 1 cm și cu raza  $r$  cm și timpul de scurgere  $\tau$  sub presiunea  $P$ :

$$Q = \frac{\pi P r^4}{8 \eta l} \cdot \tau \quad (40)$$

Cu ajutorul formulei (40) și cunoscând  $Q, P, r$  și  $\tau$ , se poate determina frecarea internă a lichidului:

$$\eta = \frac{\pi P r^4}{8 Q l} \cdot \tau$$

Multe sisteme lichide se supun ecuației lui Poiseuille la orice presiuni  $P$ , oricât de mici; pentru aceste sisteme există, în

acest fel, o relație direct proporțională între viteza de scurgere  $\frac{Q}{\tau}$  și  $P$ .

Curgerea unor soluri nu începe însă decât după atingerea valorii limită a presiunii (punctul A pe fig. 37). În realitate nu există o trecere atât de bruscă în punctul A, ci se produce o variație treptată a vitezei în funcție de presiune, aşa cum este reprezentat prin linia punctată pe fig. 37. În acest caz, mărimea  $\eta$  variază în funcție de  $P$ .

Binham (1922) denumește curgerea, care ascultă de legea lui Poiseuille — curgere viscoasă, iar curgerea care se face cu variația valorii  $\eta$  — curgere plastică, indicând că sistemele de tipul II posedă însușirile corporilor solide.

Plasticitatea solurilor se explică prin faptul că particulele coloidului disolvat, imprăștiindu-se în lichid și atingându-se una de alta, dau o structură mecanică mai mult sau mai puțin aspră; de aceea o asemenea viscozitate se numește structurală.

Determinarea coeficientului de viscozitate  $\eta$  (coeficient absolut) este legată de multe dificultăți. Deobicei se determină viscozitatea relativă egală cu raportul între coeficientul de viscozitate  $\eta$  al lichidului de cercetat și coeficientul de viscozitate al unui lichid bine studiat — de ex. apei;  $\eta_0$  pentru apă este egal cu 1.009 centipoise.

Aparatul cel mai răspândit pentru determinarea viscozității este viscozimetrul lui Ostwald, care este un tub în formă de U (fig. 38). Brațul I este un tub capilar; el are o umflătură sferică 2, delimitată prin două semne  $ab$  și  $cd$  și care trece în capilarul 3, sudat de tubul gros, înalt 4, care are o umflătură sferică 5. În tubul 4, se introduce un volum determinat de lichid de cercetat, după care lichidul se aspiră în tubul 1, deasupra semnului  $ab$ . Lăsând lichidul să curgă liber sub acțiunea forței gravitației, se notează cu un cronometru timpul de scurgere  $\tau_s$  al volumului de lichid, cuprins în umflătura sferică 2 între semnele  $ab$  și  $cd$ . Apoi aparatul se umple prin tubul 4 cu aceeași volum de apă și se determină timpul de scurgere  $\tau$ . Densitatea lichidului se determină cu picnometrul.

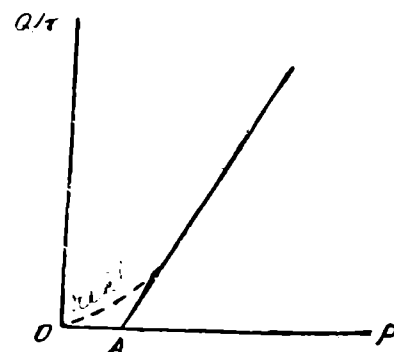


Fig. 37. — Relația între viteza de scurgere  $Q/\tau$  și presiune, la curgerea plastică a lichidului.

Determinarea viscozității relative se face după următoarea ecuație :

$$\frac{\eta}{\eta_0} = \frac{\delta_s \tau_s}{\delta \tau} \quad (41)$$

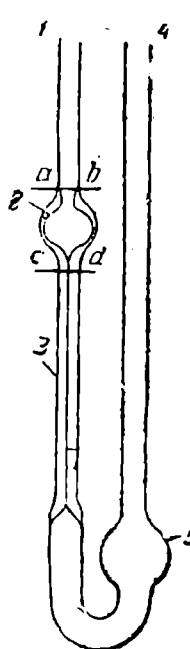


Fig. 38. — Schema viscozimetrului Ostwald.  
1. brat îngust; 2,  
5. umflături sferice;  
3. capilar;  
4. brat larg.

unde  $\delta_s$  — densitatea solului,  $\tau_s$  — timpul de scurgere a solului,  $\delta$  — densitatea apei,  $\tau$  — timp de scurgere a apei.

Această ecuație se deduce ușor din formula lui Poiseuille. Volumele identice  $Q$  a două lichide se scurg din capilare de aceeași lungime și de aceeași rază, sub presiunile  $P_0$  și  $P_s$ . Pe această bază se poate scrie :

$$Q = \frac{\pi P_0 r^4}{8 \eta_0 l} \cdot \tau = \frac{\pi P_s r^4}{8 \eta l} \cdot \tau_s$$

Simplificând, vom avea :

$$\frac{P_0 \tau}{\eta_0} = \frac{P_s \tau_s}{\eta}$$

sau

$$\frac{\eta}{\eta_0} = \frac{P_s \tau_s}{P_0 \tau} \quad (42)$$

Expresia (42) reprezintă o ecuație pentru viscozimetrul Ubbelode. Deoarece în viscozimetrul Ostwald presiunea sub care se face scurgerea se determină prin greutatea lichidului, atunci :

$$P_0 = v \delta \text{ și } P_s = v \delta_s$$

Inlocuind valorile  $P_0$  și  $P_s$  în ecuația (42), obținem ecuația (41).

În timpul din urmă a căpătat o mare răspândire viscozimetrul lui Ubbelode, construit în mod analog, care diferă însă de cel precedent prin faptul că curgerea lichidului nu este condiționată de greutatea lui ci de depresiunea atmosferică  $P_s$  și  $P_0$  [ecuația (42)].

Deoarece viscozitatea depinde de temperatură, determinările se fac în termostat.

In tab. 9 sunt date viscozitățile câtorva lichide, iar în tab. 10 variația viscozității apei și a alcoolului etilic în funcție de temperatură.

Tabel 9

## Viscozitatea unor substanțe

Substanță	Viscozitatea în centipoise	Temperatura în grade C
acetonă . . . . .	0,326	19,02
sulfură de carbon . . .	0,367	19,94
cloroform . . . . .	0,563	20
alcool metilic . . . . .	0,593	20
benzen . . . . .	0,647	20
apă . . . . .	1,009	20
alcool etilic . . . . .	1,716	20

Tabel 10

## Viscozitatea apei și a alcoolului etilic, în funcție de temperatură

Temperatura în grade C	Viscozitatea în centipoise	
	apă	alcool etilic
0	1,7938	1,790
10	1,3097	1,752
20	1,0087	1,716
30	0,8004	1,681
40	0,6536	1,647

Din datele indicate în tab. 10, se vede că, în general, viscozitatea lichidelor scade cu creșterea temperaturii.

În afară de viscozimetrul Ostwald, pe care l-am descris, există un mare număr de alte tipuri de viscozimetre <sup>1)</sup>, a căror construcție e bazată nu numai pe principiul curgerii lichidelor prin capilare, ci și pe alte principii.

Una din metodele cele mai răspândite de determinare a viscozității a fost introdusă de Couette în anul 1890. Schema viscozimetrului lui Couette este dată în fig. 39.

In spațiul inelar dintre doi cilindri verticali, coaxiali 1 și 2, se introduce lichidul de cercetat până la nivelul  $l$ . Cilindrul exte-

1) E. Hatschek, Viscozitatea lichidelor (trad.) M. 1935.

rior, de rază  $R_2$  se pune în încare cu o viteză unghiulară constantă  $\omega$ . Din cauza viscozității, lichidul se pune în mișcare și antrenează după sine cilindrul interior  $R_1$ , suspendat de firul 3.

El se rotește și răsucrește firul, până când se va opri, după ce s'a rotit cu un oarecare unghi  $\theta$ .

Atunci, după Poynting și Thomson<sup>1)</sup>, se poate scrie:

$$\eta = \frac{N\theta}{K\omega}$$

unde  $N$  este o constantă pentru firul dat, care se determină din experiență, iar  $K$ — constanta aparatului, egală cu:

$$K = 4NI \frac{R_1^2 R_2^2}{R_2^2 - R_1^2}$$

Fig. 39.—Schema viscozimetrului lui Couette,  
1, 2. cilindri; 3. fir.

Cunoscând viteza unghiulară de rotație  $\omega$  a cilindrului exterior și unghiul  $\theta$  de răsucire a firului, putem determina mărimea  $\eta$ .

Să poată determina viscozitatea relativă într'un mod analog cu cel descris pentru viscozimetruul Ostwald:

$$\frac{\eta}{\eta_0} = \frac{\theta \cdot \omega}{\theta_0 \cdot \omega_1}$$

sau atunci când  $\omega = \omega_1$

$$\frac{\eta}{\eta_0} = \frac{\theta}{\theta_0}$$

Metoda cilindrilor coaxiali este importantă prin aceea că se pot cerceta cu ajutorul ei sisteme cu o gamă mare de viscozități, ceea ce nu este posibil la viscozimetrele capilare.

La viteze mari, curgerea laminară se distrugă în lichid, se formează vârtejuri și formula lui Poiseuille devine inaplicabilă. În acest caz avem o mișcare turbulentă a lichidului.

1) E. Hatschek, Viscozitatea lichidelor, 41 (1935); Poynting a. Thomson, Properties of Matter, 1902.

## 2. VISCOZITATEA SOLURILOR

Viscozitatea soluțiilor de neselectolit este deobicei mai mare decât viscozitatea solventului: la soluții se poate întâlni nu numai o mărire a viscozității, dar și o micșorare a ei (sărurile de amoniu, de potasiu). La soluri se cunoaște numai o mărire a viscozității odată cu mărarea concentrației lazei disperse.

Einstein, bazându-se pe legile hidrodinamicei, a dat pentru solurile formate din particule sferice, nedeformabile, formula relației între coeficientul de viscozitate  $\eta$  al solului și mărimea părții de volum  $\varphi$  al sistemului, ocupat de faza dispersă; mărimea aceasta este independentă, dar numeric ea este egală cu volumul total de particule dintr-un  $\text{cm}^3$  de sol. **Formula lui Einstein** este :

$$\eta = \eta_0 (1 + 2,5 \varphi) \quad (44)$$

unde  $\eta_0$  = viscozitatea mediului.

Însemnând cu  $\varphi_0$  volumul specific al substanței disperse, iar cu  $c$  concentrația, vom avea :

$$\varphi = c\varphi_0 = \frac{c}{\delta_K}$$

de unde

$$\eta = \eta_0 (1 + 2,5 \varphi_0 c) = \eta_0 (1 + 2,5 \frac{c}{\delta_K})$$

sau

$$\frac{\eta}{\eta_0} = 1 + 2,5 c\varphi_0 = 1 + 2,5 \frac{c}{\delta_K} \quad (45)$$

Formula lui Einstein se poate aplica numai la concentrații mici, când particulele nu se influențează una pe cealaltă și în cazul unei curgeri laminare.

Conform acestei formule, valoarea frecării interioare nu depinde de dimensiunea particulelor. Aceasta a fost confirmat prin experiențele Tăcute asupra suspensiilor de cauciuc<sup>1</sup>), care se compun din particule sferice cu diametrul de  $0,3$ — $0,4 \mu$  și asupra suspensiilor de sticlă cu particulele de sticlă<sup>2</sup>) cu dimensiunea de  $50$  și  $200 \mu$ .

S-au făcut totuși o serie de cercetări, care arată o depen-

1) M. Bancelin, C. r. 152, 1582 (1911).

2) G. Broughton a. C. Windenbank, Ind. Eng. Chem. 30, 407 (1928).

dență netă a raportului  $\frac{\eta}{\eta_0}$  de gradul de dispersiune. Astfel, Oden<sup>1)</sup> a arătat că solurile mai disperse de sulf ( $r=10 \text{ m}\mu$ ) au o frecare interioară mai mare decât cele mai puțin dispersate ( $r=100 \text{ m}\mu$ ). Cercetarea suspensiilor monodisperse de cuarț cu diferite grade de dispersiune (dela 0,8 până la  $14,7 \mu$ ) a arătat o dependență analagă<sup>2)</sup>.

O asemenea abatere a fost explicată prin formarea pe suprafața particulelor a unui înveliș apoi rezistent, care se mișcă solidar cu particulele. Dimensiunile acestui înveliș față de dimensiunea particulei, sunt mai mari pentru particulele mai mici, decât pentru cele mai mari. Oden a determinat grosimea sferei apoase ca fiind de  $0,8 \text{ m}\mu$ .

Pe baza cercetării frecării interne, A. V. Dumanschi (1911), E. Hatschek (1912), Kruyt (1922) și o serie de alii autori, au ajuns la concluzia existenței unei sfere de lichid — liosferă — alături de particula dispersă, și legată solidar cu ea. Astfel, particula coloidă nu este o simplă particulă dispersă, care există înfără mediului de dispersiune, ci un sistem complex, compus dintr'un nucleu — particula dispersă — înconjurat cu un înveliș format din mediul de dispersiune. După propunerea lui Duclaux, un asemenea sistem se numește micel. În funcție de materia particulei disperse și cea a mediului de dispersiune, liosfera are diferite dimensiuni și rezistențe. Când forțele de atracție (intermoleculară) sunt mari, se obține o liosferă stabilă, de dimensiuni considerabile. Astfel de sisteme se numesc liofile. De ex. particulele hidrosolului de hidroxid de fier sunt mai hidrofile decât cele de  $\text{As}_2\text{S}_3$ . S'a stabilit că particulele formate din molecule polare sunt liofile față de lichide polare.

Pe baza celor expuse, ecuația (44) poate fi scrisă sub forma :

$$\left| \frac{\eta}{\eta_0} = 1 + 2,5(\varphi_0 + v)c \right.$$

unde  $v$  = volumul liosferei.

O asemenea legătură a lichidului de particulă, se numește solvatare. Solurile, compuse din particule complexe, cu structură poroasă și formate din mai multe particule primare, rețin lichidul nu numai prin forțele de atracție, dar și prin forma lor geometrică. De aceea, folosind formula lui Einstein la determinarea solvatării unor asemenea soluri, se obțin valori mărite.

1) Sv. Oden, ova Act. Reg. Soc. Sci. Upsala (4), 3. Nr. 4 (1913).

2) A. Buzagh u. E. Erenji, K. Z. 91, 279 (1940).

Un exemplu foarte caracteristic despre influența hidrofiliei, asupra viscozității, este hidrosolul de bioxid de ceriu, care are viscozitate mare și care se gelifică la adăugarea unei mici cantități de electrolit. La încălzirea până la  $100^{\circ}$  el pierde marea lui viscozitate, iar apoi, din cauza adăugirii de electrolit, nu dă un gel bogat în apă, ci un precipitat fin, puțin voluminos. Aceasta este în legătură cu faptul că, la temperatură ridicată, solul devine hidrofob și pierde capacitatea de a lăga prin solvatare o mare cantitate de apă.

La concentrații mari, ecuația (44) nu se mai poate aplica cu bune rezultate. Fikentscher și Mark<sup>1)</sup> au dat pentru acest caz formula

$$\left[ \frac{\eta}{\eta_0} = 1 + 2,5 \cdot \frac{\varphi}{1-\varphi} \right] \quad (45a)$$

Frecarea internă a lichidelor pure scade cu creșterea temperaturii:  $\eta$  scade și la soluții.

Totuși, la soluțiile de electrolizi, coeficientul de temperatură este mai mic decât la apă; de aceea viscozitatea relativă a soluțiilor apoase, scade cu urcarea temperaturii. Pentru soluțiile de neelectrolizi (zahăr) se observă o relație inversă.

La soluri, coeficientul de temperatură al viscozității este — în limitele erorilor de măsurare — aproape acelaș ca și al mediului, numai în unele cazuri — (la solul de sulf) se observă o mică diferență.

De aceea la solul de sulf  $\frac{\eta}{\eta_0}$  crește întrucâtva cu temperatura.

La solurile coloizilor, care reprezintă compuși macromoleculari există, atât pentru  $\eta$  cât și pentru  $\frac{\eta}{\eta_0}$  un coeficient pozitiv de temperatură mare.

După cum s'a mai arătat, sistemele coloidale nu sunt stabile — ele îmbătrânesc. Prin aceasta, materia particulei poate să treacă din starea amorfă în starea cristalină ceeace influențează solvatarea. Variația solvatării provoacă o coborîre a viscozității. Asupra variației viscozității mai influențează și agregarea particulelor primare în particule secundare și mai complexe, ceeace duce la creșterea puternică a lui  $\eta$  și  $\frac{\eta}{\eta_0}$ . Acesta este un fenomen foarte caracteristic. De aceea studiul viscozității are o mare importanță la cercetarea variațiilor care se petrec în soluri.

1) H. Fikentscher u. H. Mark, K. Z. 49, 135 (1929).

### VIII. FORMA PARTICULELOR

Studiind dimensiunile particulelor coloidale, noi consideram particula sferică, sau, dacă forma ei se deosebea de cea a unei sfere, o asimilăm, după acțiunea efectuată, cu o particulă sferică echivalentă. În afară de aceasta, în toate cazurile să presupus că particula se compune exclusiv din materie dispersată<sup>1)</sup>. În capitolul de față vom cerceta atât forma exterioară a particulei, cât și structura ei internă. La particulele coloidale se întâmplă ca, sau tot spațiul să fie umplut cu substanță, care le compune, în stare solidă sau lichidă, sau ele au interspații, umplute cu mediu de disperziune.

Pentru ca să ne facem o imagine mai clară asupra diferenței între structura acestor două tipuri de particule, reprezentăm figura 40.

În primul caz avem particule construite mai simplu („particule primare”). Din ele se poate obține prin agregare o structură mai complexă („particule secundare”). Aceste particule complexe amintesc bucăți foarte dispersate de substanță gelatinoasă sau împreunări de cristale.

Particulele sferice se pot forma dintr-o materie solidă sau gazoasă. Din materia solidă ele se pot forma numai în cazul când în solid nu există o orientare anumită a moleculelor (stare amorfă).

Particule de formă sferică se găsesc la emulsiile (de uleiuri, de hidrocarburi), la băsicile mici de gaze, în suspensiile de rășini

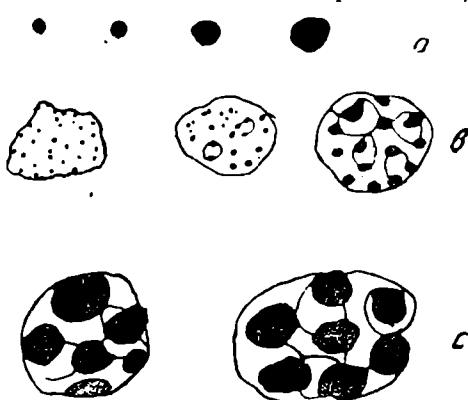


Fig. 40. — Tipuri de particule.  
a—particule primare de disperziune  
diferită. b și c—particule secundare.

1) H. Freundlich, Fortschritte der Kolloidchemie, 66 (1926); Usp. exp. biologie, 3, 29 (1929).

(cauciuc) câteodată la particule de metale, de oxizi sau hidrați. În celealte cazuri particulele primare solide au o structură mai mult sau mai puțin cristalină, care face ca particula să nu fie sferică. Abaterea dela forma sferică poate fi considerabilă. Astfel, Zsigmondy<sup>1)</sup> a observat particulele filiforme de săpun cu lungimi p. l. 100  $\mu$ . Hidrosolurile de antracen și fenantren, constau din amicroni în formă de foițe subțiri; hidrosolii antrachinonei au particule cristaline filiforme<sup>2)</sup>.

Totuși, nu numai particulele cu structură cristalină pot avea forme neregulate, dar și particulele amorfă, construite din molecule foarte lungi, pot avea forme care se deosebesc foarte mult de cea a unei sfere<sup>3)</sup>.

Particulele filiforme, în formă de pelicule și, în general, particulele cu formă neregulată, joacă un mare rol în construcția țesuturilor organismelor vii<sup>4)</sup>.

Să cercetăm acum cum poate fi determinată forma particulei coloidale. Acestei chestiuni i-au fost dedicate multe lucrări, aparținând școalei lui H. Freundlich.

Observarea ultramicroscopică directă nu poate da o imagine despre forma reală a particulei coloidale, căci în ultramicroscop noi nu observăm decât locul unde se produce fenomenul de difracție. Indirect, totuși, cu ajutorul ultramicroscopului, putem să ne facem o imagine și despre formă. Intensitatea luminii difracțate de o particulă în formă de bastonaș este mai mare, când ea este luminată de o rază de lumină care cade perpendicular pe lungimea ei. Observând la ultramicroscop o asemenea particulă, căre se găsește în planul câmpului de vedere, vom obține dela ea o cantitate maximă de lumină, în cazul când ea se va plasa perpendicular pe raza incidentă și o cantitate minimă de lumină, când ea se va plasa de-a-lungul razei incidente. Cantitatea minimă de lumină disuzată se observă și în acel caz, când particula în formă de bastonaș se plasează perpendicular pe câmpul de vedere al microscopului.

Astfel, dacă solul este compus din particule în formă de bastonașe, dispuse în spațiu într'un mod neregulat, atunci aceste particule, cu toate că au dimensiuni identice, se vor vedea ca niște puncte cu luminozități diferite. Cum particulele se găsesc în sol în mișcare browniană, ele vor schimba încontinuu orientarea lor

1) R. Zsigmondy u. W. Bachmann, K. Z. 11, 150 (1912).

2) N. Weimarn, K. Z. 54, 296 (1931).

3) H. Staudinger, Usp. chim. (trad.) 3, 761 (1924).

4) F. Fischer, K. Z. 61, 265 (1932); R. O. Herzog K. Z. 61, 280 (1932).

față de raza de iluminare și față de planul câmpului de vedere și, uitându-ne în ultramicroscop, vom observa când stingerea, când aprinderea particulelor — **licărirea**.

O licărire analoagă vor da și particulele în formă de plăci. Astfel, particulele sferice emis lumină continuă, iar cele nesferice dău licărire. Fenomenul de licărire poate fi observat atât la microscopul cu fantă, cât și la condensor. În cazul din urmă, fenomenul poate fi observat mult mai bine, dacă lumina se îndreaptă pe particulele coloidale din partea dorită. Zsegvari<sup>1)</sup> a construit pentru aceasta o diafragmă specială, care se fixează de jos la condensorul cardioïd. Acest dispozitiv poartă denumirea de **diafragmă azimutală**.

Cerând licărirea cu ajutorul diafragmei azimutale, a fost stabilită forma nesferică a hidrosolurilor de hidrat de aluminiu și de fier, de acid stanic, oxid de cupru, albastru de Berlin, benzopurpurină, chrisofenină, săpun.

Particulele în formă de bastonașe dău o cantitate maximă de lumină (licări), atunci când sunt dispuse perpendicular pe raza incidentă și se găsesc în planul câmpului vizual. Alte două poziții: 1) perpendicular pe rază și 2) paralel cu rază, fac particula cel mai puțin vizibilă. Particulele în formă de plăci au nu una, ci două poziții de vizibilitate maximă și anume, când placa e dispusă: 1) în planul câmpului vizual și 2) perpendicular pe raza incidentă; particula în formă de placă e cel mai puțin vizibilă, când este dispusă 1) perpendicular pe câmpul vizual și 2) de-a-lungul razei incidente.

Diesselhorst și Freundlich<sup>2)</sup> au construit pentru observarea licăririi o cuvă specială, cu ajutorul căreia se puteau deosebi particulele în formă de bastonașe de cele în formă de plăci, folosind fenomenul de licărire.

Cu ajutorul fumului de tutun se poate ușor demonstra fenomenul de licărire la ultramicroscop.

Intr'un șiroi curgător, particulele sferice nu se orientează; particulele de formă neregulată, antrenate de fluxul de lichid și având o viteză întrețâță mai mică decât fluxul, se dispun cu axele lor mari în lungul fluxului. Acest lucru se observă deosebit de bine la particulele în formă de bastonașe. O asemenea dispozitie orientată, conseră solului în curgere o serie de însușiri speciale; de ex. suspensiile formate din particule microscopice în formă de bastonașe sau plăci, prezintă un fenomen foarte carac-

1) A. Zsegvari, Phys. Z. 24, 91 (1923); Z. phys. Ch. 112, 277, 295 (1924).

2) H. Diesselhorst u. H. Freundlich, Phys Z. 17, 177 (1916).

teristic de șiroaie mătăsoase luminoase. Acest fenomen se observă dacă într'o eprubetă sau într'un pahar se toarnă sau se amestecă o asemenea suspensie; atunci, particulele se dispun cu axele lor lungi de-a-lungul șiroaielor de lichid obținut. La iluminare laterală particulele orientate din șiroaie reflectă sau disperzează puternic lumina, numai în cazul când ele sunt dispuse într'o direcție perpendiculară pe raza incidentă; atunci șiroaiele devin vizibile și asemănătoare unor fire de mătase strălucitoare. Acest fenomen poate fi ușor observat la suspensiile cristalelor de iodură de plumb, obținute prin răcirea unei soluții calde, saturată (atât timp cât cristalele nu se împreunează în fulgi mari) și la solul (cu particule mari) al acidului wolframic, la praful de talc, grafit, caolin, la suspensiile hidroxizilor de aluminiu și de fier, la sulfitul de bariu și a.

La trecerea dela particulele de o anumită formă la particule de altă formă, se schimbă într'un mod foarte caracteristic proprietățile lor optice. Wiener<sup>1)</sup> a arătat, că particulele în formă de bastonașe sau plăci, care au indicele de refracție mai mare sau mai mic decât indicele de refracție al mediului și sunt orientate în lichid paralel cu axa lor, comunică mediului o dublă refracție a razei, analoagă unei plăci, tăiată dintr'un cristal monoax paralel cu axa lui, deși structura lor nu este cristalină.

Dubla refracție este negativă la particulele în formă de plăci și pozitivă la particulele în formă de bastonașe, cu condiția ca amândouă substanțele să fie transparente. Dacă însă colorația mediului este diferită de cea a fazei disperse, atunci dubla refracție se poate observa și atunci când indicii de refracție sunt egali<sup>2)</sup>. Si mai ușor se observă acest fenomen, dacă forma alungită a particulelor solului este o consecință a structurii lui cristaline și dacă cristalul apareține unui sistem care arată o dublă refracție a luminii<sup>3)</sup>.

Dubla refracție se observă ușor dacă particula se orientează între doi nicoli încrucișați 1 și 2 (fig. 41) în direcția arătată în fig. 41 prin săgeată.

Atunci, câmpul intunecat al nicolilor încrucișați devine luminos din cauza dublei refracții. Orientarea se poate obține, după cum s'a arătat mai sus, observând curgerea șiroiului de sol. Dacă

1) O. Wiener, Phys. Z. 5, 334 (1904).

1) O. Wiener, K. Beih. Ambrogn Festschrift, 189 (1926).

3) H. Disselhorst, H. Freundlich u. A. Leonard, Elster-Geitel Festschrift 453 (1915); H. Disselhorst u. H. Freundlich, Phys. Z. 16, 422 (1915); H. Freundlich, Z. Elektroch., 22, 27 (1916).

mișcarea șiroiului se oprește, atunci, din cauza mișcării browniene, orientarea se distrugе și câmpul devine întunecos.

Este foarte comod de a observa fenomenul de luminare a câmpului întunecos al nicolilor incrucișați, la microscopul polarizor. Orientarea în șiroi se poate obține prin inclinarea sticlei obiectivului, pe care se găsește o picătură de sol de pentaoxid de vanadiu.

Zocher<sup>1)</sup> a construit un **polariscop** special, care permite observarea dublei refracții la lichidele în curgere. Cercetările teoretice ale dublei refracții într'un șiroi curgător de sol, ca și apăratura precisă pentru observații cantitative, au fost date de Haller<sup>2)</sup> și Snellman<sup>3)</sup>. Orientarea micelilor și efectul optic, care e în legătură cu această orientare, depind de duritatea micelilor și de mișcarea browniană, care distrugе orientarea. În mod analog se orientează moleculele lungi ale compușilor macromoleculari, care prin aceasta, adesea se formează ușor (se alungesc). Particulele pot fi orientate și în câmpul electric și magnetic.

Încă în anul 1902, Majorano a observat că solurile de hidroxid de fier devin birefringente în câmpul magnetic. Acest fenomen se explică prin faptul că particulele în formă de plăci ale hidroxidului de fier (mai corect  $\text{FeO} \cdot \text{OH}$ ) se orientează în câmpul de forțe magnetice.

Noi știm că lumina produsă de efectul lui Tyndall este polarizată. Pornind dela presupunerile teoretice ale lui Gans<sup>4)</sup>, Lange<sup>5)</sup> a dat o metodă care permite ca pe baza stării de polarizație a luminii difuzate să se tragă concluzii asupra formei particulelor, atât ale solurilor, cât și ale gelurilor. Lucrul constă în accea că particulele sferice sau cu dimensiuni mai mici decât lungimea de undă, difuzează lumină complet polarizată, pe când particulele nesferice sau mai mari decât lungimea de undă, dau lumină numai parțial polarizată.

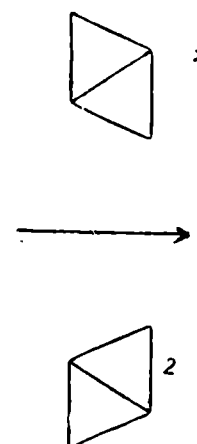


Fig. 41. Schema aparatului pentru observarea dublei refracții.  
1, 2.—nicoli.

1) H. Zocher, Z. Phys. Ch. 98, 293 (1921); K. Z. 37, 336 (1925).

2) W. Haller, K. Z. 61, 26 (1932).

3) O. Snellman u. Y. Björstahl, K. Beih., 52, 403, 467 (1941).

4) R. Gans, Ann. Phys. (4) 65, 97 (1921); Z. Phys. 17, 353, (1923), 29, 231 (1924).

5) O. Lange, Z. Phys. Ch. 132, 1 (1928).

Cercetând raportul între mărimea intensității luminii nepolarizate  $I_2$  și cantitatea totală de lumină  $I_1$  difuzată de particule, se calculează depolarizarea egală cu :

$$\theta = \frac{I_2}{I_1 - I_2} ,$$

Pentru particule mici, sferice  $\theta=0$ , pentru particule mici, dar nesferice  $\theta > 0$ ; mărimea  $\theta$  servește pentru a măsura abaterea formei particulei dela forma sferică. Condiția  $\theta > 0$  se observă la particulele de toate formele, la o dimensiune mai mare decât lungimea undei de lumină.

Abaterea formei particulelor dela forma sferică, se poate constata, observând fenomenul de dicroism (Diessehorst. Freundlich).

Absorbția luminii în cristalele birefringente depinde de direcția oscilațiilor și de lungimea de undă. De aceea, culoarea razelor care au trecut prin cristal în direcții diferite nu este aceeași. Astfel, cristalul pare colorat diferit, în funcție de direcția în care se privește prin el. Acest fenomen de colorație diferită se numește **dicroism**.

Dacă particulele lunguițe, orientate paralel cu axele lor lungi posedă insușirile unui cristal uniax, această analogie poate fi extinsă mai departe și se poate arăta că asemenea sisteme posedă dicroism. Wiener<sup>1)</sup> a arătat că sistemele compuse anisotrop din elemente isotrope, prezintă fenomenul de dicroism.

Fenomenul de dicroism se observă la trecerea luminii printr'un strat de sol în curgere, când colorația se schimbă în funcție de unghiul între raza incidentă și direcția curgerii sărioului. Observații amănunțite au fost efectuate de Zocher<sup>2)</sup>.

Solurile cu particule nesferice, foarte alungite, sunt capabile de a forma ușor particule secundare, cu structură foarte complicată. Fapt este că, particulele în formă de bastonașe ale unor soluri, disponându-se paralel cu axele lor, dau agregate tactoide.

Solurile care posedă o asemenea însușire au fost denumite de Freundlich și Zocher<sup>3)</sup>, **tactosoli** (de ex., soli de  $V_2O_5$ ).

Cu timpul, tactoizii, fiind agregate relativ mari, se adună în apropierea fundului vasului, din care cauză aici concentrația

1) O. Wiener, K. Beih, *Ambron Festschrift*, 189 (1926).

2) H. Zocher, *Naturwiss.*, 13, 1015 (1925).

3) H. Zocher și K. Jacobson, K. Beih, 28, 167 (1929).

solului se mărește. Tactoizii separați sunt anisotropi și dau la microscopul polarizor o cruce neagră.

Inafară de solul de  $V_2O_5$ , mai formează tactosoli, multe materii colorante, de ex. benzopurpurina, chrisofenina, albastrul de anilină.

Formațiunile din particule de formă alungită iau parte foarte activă la constituția ţesuturilor organismelor vii, <sup>1)</sup> ceeace trebuie avut în vedere la studiul structurii ţesuturilor organismelor.

---

1) H. Freundlich, Usp. chim. (trad.) 7, 768 (1938).

## IX. MIŞCAREA BROWNIANĂ

### 1. NOȚIUNI DESPRE MIŞCAREA BROWNIANĂ

O observare câf de fugitivă a lio-sau aero-solului la ultramicroscop, arată că particulele se găsesc în mișcare continuă. Particulele se mișcă înainte și înapoi, se opresc pentru o clipă și încep din nou mișcarea lor foarte complicată în zig-zag. Atunci când particulele sunt destul de mari, mișcarea lor de înaintare

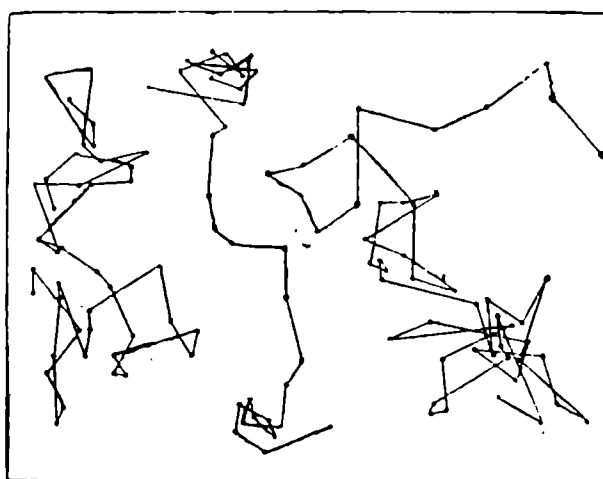


Fig. 42. — Drumurile a trei particule coloidale care se găsesc în mișcare browniană.

este mică și se pare că particulele tremură. Această mișcare are o oarecare asemănare cu mișcarea unui roi de mușculițe printre razele soarelui care apune. O asemenea mișcare, caracteristică, pentru particulele mici (începând aproximativ dela  $4 \mu$ ) care se găsesc într'un mediu lichid sau gazos, se numește mișcare browniană, după numele botanistului Brown, care a observat pentru prima dată în anii 1827—1828, că particulele microscopice mici posedă o mișcare proprie.

Particulele coloidale care se găsesc în mișcare browniană, parcurg un drum destul de complicat (fig. 42).

Această mișcare a particulelor nu se oprește cu timpul. Cauzele acestei mișcări nu sunt curenții de convecțiune sau de difuziune, direcția razei de lumină sau în general surse externe de energie. Această mișcare s'a observat nu numai într'un mediu lichid, căr și într'un mediu gazos. Astfel, în anul 1881, Bodașevschi a observat mișcarea browniană la particulele de fum și ceată.

Wiener (1860) și Carbonell (1874) iar mai târziu Ramsay, considerau drept cauză a acestei mișcări, mișcarea moleculelor lichidului, condiționată de energia lor cinetică. řocurile moleculelor au și fost considerate drept cauza mișcării particulelor mici<sup>1)</sup>. Negeli n'a fost de acord cu o asemenea explicație (1879). El arăta că moleculele trebuie să împingă particula din toate părțile și de aceea, ea fiind ciocnită simultan și din toate părțile, n'ar trebui să se miște. Smoluchovschi a arătat că părerea lui Negeli nu este justă și că řocurile neregulate ale moleculelor lichidului înconjurător pot provoca o asemenea mișcare a particulelor.

Mișcarea browniană poate fi demonstrată foarte sugestiv pe scândura lui Halton (fig. 43). O asemenea scândură putem să construim ușor noi însine.

Intr'o scândură de lemn, lată de 50 cm și înaltă de 110 cm se bat în șicană cuie de oțel, lungi de 5 cm. și groase de 1 cm, la distanța de 3 cm. unul de altul. În partea de jos, scândura e prevăzută cu un jghiab. Se ia o bilă cu diametrul de 2,5 cm, preferabil de fildeș, se poate lăua însă și dintr'un alt material dur și elastic. Scândura se pună aproape vertical, și din mijlocul primului rând de cuie se dă drumul bilei cu mâna. Bila, căzând sub acțiunea forței gravitației, se loveste de cuiele de oțel, este respinsă și parcurge un drum lung și șerpuț, până când va cădea în jghiab. Drumul bilei, nu numai că amintește mișcarea browniană, dar se supune legii lui

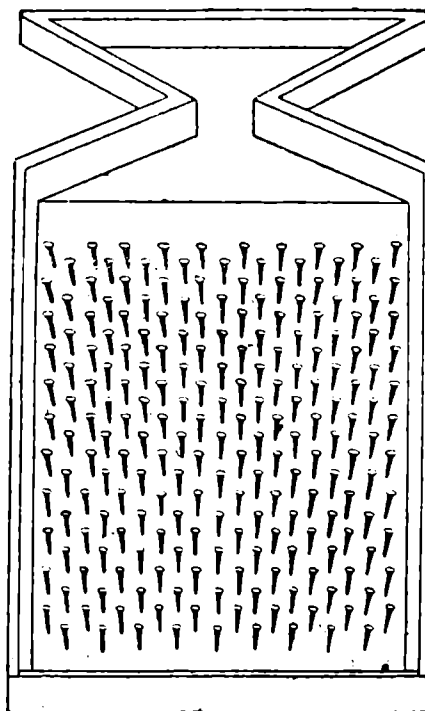


Fig. 43. — Scândura lui Halton.

1) R. Fürth, K. Z. 42, 197 (1927).

Einstein pentru mișcarea browniană: pătratul deplasării medii (atât a particulei cât și a bilei) este direct proporțional cu durata mișcării, după cum vom vedea mai departe [(formula 55)].

Prezentarea matematică a legilor mișcării browniene, a fost făcută de Einstein <sup>1)</sup> și Smoluchovschi <sup>2)</sup>, independent unul de altul; cercetările experimentale au fost efectuate de Zsigmondy, Perrin <sup>3)</sup> și Svedberg <sup>4)</sup>.

Cercetările clasice ale lui Einstein, Smoluchovschi, Svedberg și Perrin, stau la baza tuturor lucrărilor ulterioare, referitoare la mișcarea browniană și la fenomenele în legătură cu dânsa.

Ca urmare a lucrărilor acestor savanți, a devenit clar că mișcarea browniană se supune legilor de mișcare a moleculelor, condiționată de energia lor cinetică; viteza ei este însă considerabil mai mică decât a mișcării moleculare pentru motivul că particulele coloidale sunt deobicei de zeci de mii de ori și câteodată de milioane de ori mai mari decât moleculele obișnuite.

## 2. TEORIA MIȘCĂRII BRÖWNIENE

Primii cercetători ai mișcării brōwniene, care au vrut să coreleze cu teoria cinetică a gazelor și soluțiilor, au întâmpinat mari greutăți la determinarea traiectoriei și vitezei de deplasare a particulei coloidale. În anul 1900, Exner <sup>5)</sup> s'a străduit să determine direct drumul particulelor în mișcare ale unei emulsii de cauciuc în apă. Urmărind deplasarea unei particule cu dimensiunea de  $0,4 \mu$ , el a găsit pentru viteza de deplasare a particulei o valoare egală cu  $0,0004 \text{ cm pe secundă}$ . Folosind formula:

$$u = u_0 \sqrt{\frac{M_0}{M}}$$

unde  $u_0$  = viteza particulei coloidale de greutate moleculară  $M_0$  și viteza moleculei de greutate moleculară  $M$  nu este greu de calculat viteza moleculei cu dimensiunea de  $0,4 \mu$ . Greutatea particulei sferice de cauciuc este egală cu :

1) A. Einstein, Ann. Phys. (4) 17, 549 (1905); 19, 371 (1906).

2) M. Smoluchovschi, Ann. Phys. (4) 21, 756 (1906); 25, 205 (1908).

Cuiegeră de articole sub redacția lui B. I. Davădov, Mișcarea browniană, A. Einstein și N. Smoluchovschi, ONTI 1935.

3) J. Perrin, Ann. chim. et phys. (8) 18, 1 (1909); K. Beih. 1, 221 (1910).

4) Th. Svedberg, Nova Acta Reg. Soc. Upsalensis (4), 2, Nr. 1. 134 (1907).

5) F. Exner, Ann. Phys. (4), 2, 842 (1900).

$$\frac{4}{3} \pi \cdot (0,2)^3 \cdot 10^{-12} \cdot 1,2$$

unde 1,2=densitatea cauciucului. De aici, greutatea ei moleculară arbitrară, este egală cu

$$\frac{4}{3} \pi \cdot 0,008 \cdot 6,06 \cdot 10^{11} = 2,8 \cdot 10^{10}$$

Dacă vom luat drept etalon de comparație moleculea de apă cu  $M=18$ , având viteza  $u=150$  m/sec, atunci viteza particulei de cauciuc va fi egală cu 0,4 cm/sec. După cum se vede, valoarea obținută din formulă diferă mult de viteza obținută de Exner. Asemenea diferență între vitezele obținute nu depinde de faptul că aceste considerații cinetice nu sunt aplicabile solurilor ci pentru că nu este posibil a urmări mișcarea complexă a particulei coloidale, care își schimbă drumul de zeci de milioane de ori în răstimp de o secundă.

Einstein și Smoluchovschi au reușit să arate că există o altă valoare, ușor de măsurat, care este în legătură cu mișcarea cinetică a particulei — aşa numita **deplasare medie**. Este greu

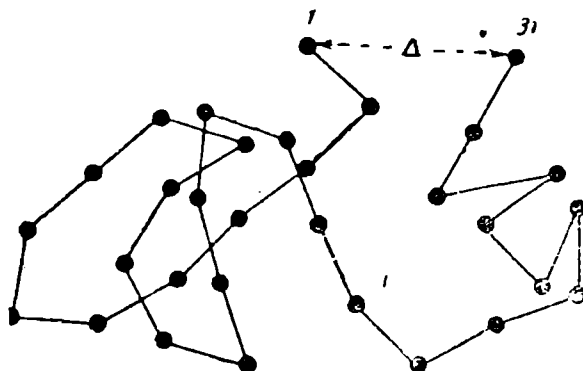


Fig. 44. — Traiectoria particulei și deplasarea.  
1–31. Pozițiile consecutive ale particulei.

de cercetat întreg drumul parcurs de particula, dar se poate determina deplasarea particulei într'un timp  $\tau$ .

In fig. 44 se arată cum particula se mișcă consecutiv pe traiectoria ei frântă și se deplasează în decursul timpului  $\tau$  din poziția I-a în poziția 31 cu un fragment  $\Delta$ . Deplasările  $\Delta$ , observate în unul și același interval de timp  $\tau$ , diferă foarte mult una de alta. Dacă însă se fac foarte multe observații și se

ia valoarea medie pe care o vom nota cu  $\Delta$ , ea va determina complet mișcarea browniană.

Mărimea  $\Delta$  este ușor de observat din experiență și cunoșcând-o, se poate determina, după cum au arătat Einstein și Smoluchovschi, atât viteza mișcării browniene, cât și dimensiunea particulei în mișcare.

Să deducem formula fundamentală a teoriei mișcării browniene (după Einstein<sup>1)</sup>).

Să ne imaginăm că am tăiat dintr'o soluție diluată un cilindru cu diametrul secțiunii transversale, egal cu unitatea (fig. 45). Fie concentrația soluției în unitatea de volum în porțiunea A a cilindrului egală cu  $c$  moli, iar în porțiunea B — cu  $c_1$  moli, când  $c > c_1$ ; fie presiunile osmotice, corespunzătoare concentrațiilor  $p$  și  $p_1$ .

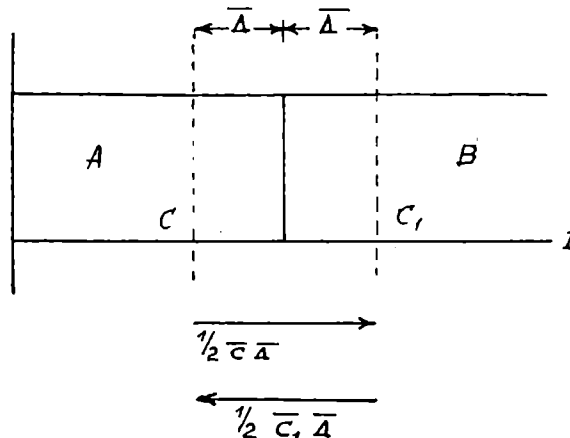


Fig. 45. — Deducerea formulei fundamentale  
a teoriei mișcării browniene, după Einstein.

Cum însă particulele se găsesc într'o continuă mișcare, atunci, în decursul unui oarecare mic interval de timp, particula se va deplasa în medie pe axa  $x$  (fig. 45) cu distanța  $\bar{\Delta}$ . Această deplasare poate fi după semn, pozitivă sau negativă. Să presupunem că vor fi tot atâtea deplasări pozitive cât și negative (aceasta și are loc în realitate, la un număr mare de deplasări) și că, în afară de aceasta, ele sunt toate egale ca mărime. Astfel, jumătate din particule, care se află la distanța  $\bar{\Delta}$  de limita dintre părțile A și B ale cilindrului, vor trece dela stânga la dreapta

1) A. Einstein, Z. Elektroch. 14, 235 (1908).

și vor transporta cu ele  $\frac{1}{2}c_1 \Delta$  moli de substanță. Din aceleasi considerente vor trece dela dreapta la stânga  $\frac{1}{2}c_1 \Delta$ , moli de substanță, și în rezultat, vor trece din A în B:

$$S = \frac{1}{2} \Delta (c - c_1) \quad (46)$$

Dar

$$\frac{c - c_1}{\Delta} = - \frac{dc}{dx};$$

se pune semnul minus înaintea raportului  $\frac{dc}{dx}$ , fiindcă la creșterea lui  $x$ , mărimea  $c$  scade.

De unde

$$c - c_1 = - \frac{dc}{dx} \cdot \Delta \quad (47)$$

Inlocuind acum (47) în (46), vom avea

$$S = - \frac{1}{2} \Delta^2 \cdot \frac{dc}{dx} \quad (48)$$

După formula lui Fick pentru difuziune, avem :

$$S = - D q \cdot \frac{dc}{dx} \tau \quad (49)$$

unde  $S$  = cantitatea de substanță, transportată prin difuziune în timpul  $\tau$  prin secțiunea transversală  $q$  și  $D$  = constantă de difuziune.

Egalând  $S$  din ecuațiile (48) și (49) și înănd seamă că  $q = 1$ , obținem relația între valoarea deplasării medii și constanta de difuziune :

$$\Delta = \sqrt{2 D \tau} \quad (50)$$

Pentru a obține relația între constanta de difuziune  $D$  și raza particulei  $r$ , să ne închipuim, că în porțiunile A și B ale cilindrului (fig. 46), corespunzător concentrațiilor  $c$  și  $c_1$  vor fi presiunile osmotice  $p$  și  $p_1$ . Să considerăm ca origină a coordinateelor secțiunea OO; atunci poziția secțiunii  $a$  se determină

prin coordonata  $x$ . Să delimităm un volum infinit mic  $abb'a'$ , atunci poziția secțiunii  $a'b'$  va fi determinată de coordonată  $x + dx$ .

Asupra volumului  $a b b' a'$  acționează din partea A presiunea osmotică  $p$  iar din partea B, presiunea osmotică  $p_1$ . Din această cauză volumul  $a b b' a'$  se va găsi sub acțiunea forței  $p - p_1$ . Pe unitatea de volum, acțiunea acestei forțe va fi egală cu  $\frac{p - p_1}{dx}$  sau

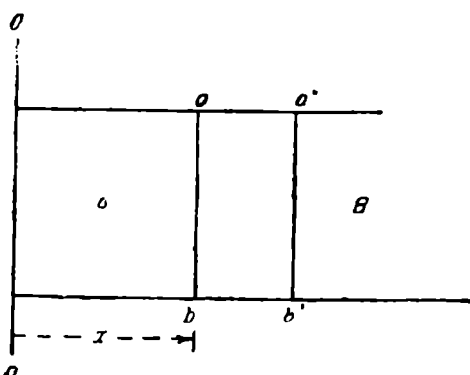


Fig. 46. — Deducerea relației între constanta de difuziune și raza particulei.

$$-\frac{p_1 - p}{dx} = F$$

Fie diferența concentrațiilor în A și B foarte mică; atunci :

$$-\frac{p_1 - p}{dx} = -\frac{dp}{dx} = F \quad (51)$$

Din ecuația lui Clapeyron avem :

$$p = RT \cdot c;$$

Diferențiind această expresie, obținem :

$$dp = RT dc.$$

Inlocuind în ecuația (51) valoarea găsită pentru  $dp$ , avem :

$$F = -RT \frac{dc}{dx}.$$

Să calculăm cu ce forță  $f$  se mișcă o particulă de substanță disolvată. Dacă într'o moleculă-gram se găsesc  $N$  particule, atunci asupra unei particule acționează forță

$$f = \frac{F}{cN} = -\frac{RT}{cN} \cdot \frac{dc}{dx} \quad (52)$$

Particula sferică de rază  $r$ , mișcându-se într'un lichid viscos, învinge forță de frecare, egală, după ecuația lui Stockes [vezi (3)] cu :

$$f_1 = 6\pi\eta r u$$

Deoarece viteza particulei este constantă la o temperatură dată, particula se mișcă fără accelerare și, în consecință,  $f = f_1$ .

Inlocuind valoarea  $f_1$  în (52) vom avea :

$$6\pi\eta r u = - \frac{R T}{c N} \cdot \frac{d c}{d x}$$

de unde

$$u c = - \frac{R T}{6\pi\eta r N} \cdot \frac{d c}{d x} \quad (53)$$

Inlocuind aici  $uc = S$  din ecuația lui Fick (49) cu condiția ca  $\tau = 1$  și  $q = 1$ , vom obține :

$$D = \frac{R T}{N} \cdot \frac{1}{6\pi\eta r} \quad (54)$$

Inlocuind valoarea  $D$  în formula (50), obținem expresia pentru deplasarea medie  $\bar{\Delta}$  a particulei în intervalul de timp  $\tau$  :

$$\bar{\Delta} = \sqrt{\frac{2 R T}{N} \cdot \frac{1}{6\pi\eta r} \cdot \tau} \quad (55)$$

In formula (55), expresia  $6\pi\eta r$ , conform formulei lui Stockes, este egală cu forța de frecare, suferită de particula, iar expresia  $6\pi\eta N r$  este egală cu forța de frecare pe care o învinge molecula-gram. De unde, însemnând cu  $f$  forța de frecare ce revine unei particule, iar cu  $F$  — forța de frecare, ce revine unei molecule-gram, vom avea :

$$\bar{\Delta} = \sqrt{\frac{R T}{N} \cdot \frac{2}{f} \cdot \tau} \quad (56)$$

$$\bar{\Delta} = \sqrt{\frac{2 R T}{F} \cdot \tau}$$

Știind că constanta gazelor  $R = 8,319 \cdot 10^7$  și că numărul lui Avogadro  $N = 6,06 \cdot 10^{23}$ , vom avea :

$$\frac{R}{3\pi N} = 1,456 \cdot 10^{-17}$$

adică

$$\bar{\Delta} = 3,82 \cdot 10^{-9} \sqrt{\frac{T}{\eta r} \cdot \tau}$$

La aplicarea formulei lui Smoluchovschi-Einstein, trebuie reținut că mărimea  $\bar{\Delta}$  nu reprezintă drumul parcurs de particula

în timpul  $\tau$  căci în acest caz ar exista o proporționalitate directă între aceste mărimi (viteza particulei e constantă), ci, conform formulei (55),  $\bar{\Delta}$  este direct proporțional cu rădăcina pătrată a timpului. Fapt este că  $\bar{\Delta}$  nu reprezintă lungimea drumului serpentuit, complex parcurs de particula (vezi fig. 44), ci deplasarea particulei în spațiu, după un oarecare interval de timp: de ex., distanța între punctele 1 și 31. Fiecare deplasare  $\bar{\Delta}$  poate, în general, să difere foarte mult, deși  $\bar{\Delta}$  va fi constant. Totuși, valoarea medie a lui  $\bar{\Delta}$  obținută din mai multe observații, variază direct proporțional cu  $\sqrt{\tau}$ .

Studiul deplasării  $\bar{\Delta}$  la mișcarea browniană poate folosi pentru determinarea razei particulei, iar de aici — pentru determinarea gradului de dispersiune a sistemului; pentru aceasta trebuie rezolvată ecuația (55) în raport cu

$$r = \frac{RT}{N} \cdot \frac{1}{3\pi\eta} \cdot \frac{\tau}{\bar{\Delta}^2} = 1,456 \cdot 10^{-17} \frac{T}{\eta} \cdot \frac{\tau}{\bar{\Delta}^2}$$

Formula (55) este aplicabilă particulelor de diferite grade de dispersiune; în cazul dispersiunii coloidale și inferioare, forța de frecare  $f = 6\pi\eta r$ , se determină după formula lui Stockes: la un grad de dispersiune mai mare formula lui Stockes devine neaplicabilă și valorile  $f$  și  $F$  trebuie determinate prin alte metode.

### 3. CERCETAREA EXPERIMENTALĂ A MIȘCĂRII BROWNIEANE

Primele încercări de a studia mișcarea browniană au fost nereușite, căci cercetătorii s-au străduit să determine drumul real al particulei, și, bineînțeles, nu puteau urmări toate inflexiunile lui. O asemenea încercare a făcut-o în anul 1900 Exner, urmărind la microscop drumul unei particule de cauciuc în apă și desenându-l cu ajutorul instrumentelor de desen. Determinări, pe care se putea pune bază au fost făcute, după ce, în anul 1905 a devenit cunoscută formula (55). O serie de autori au studiat fenomenul mișcării browniene. Astfel, în anul 1907 a apărut lucrarea lui Chaudesaing, iar mai târziu a lui Perrin (1910) asupra cercetărilor suspensiilor de cauciuc.

Soddy a folosit pentru determinarea lui  $\bar{\Delta}$  fotografierea, la intervale de 0,1 sec. El a cercetat variația mărimii  $\bar{\Delta}$  în funcție de temperatură și a arătat că

$$\bar{\Delta} = \sqrt{\frac{T}{\eta}} \cdot \text{const};$$

Aceasta confirmă expresia (55). V. Henry a folosit cinematografiea la intervale de 1/20 sec. la o mărire de 600 ori. A fost studiată mișcarea browniană a particulelor cu dimensiunea de cca 1  $\mu$ .

Un număr mare de lucrări pentru studierea mișcării browniene au fost efectuate de Svedberg și elevii lui; ei au dovedit experimental justitatea cercetărilor teoretice ale lui Smoluchovschi și Einstein.

Datele din tab. 11, luate din experiențele lui Svedberg<sup>1)</sup>, arată cât de apropiate sunt valorile observate ale lui  $\bar{\Delta}$  de cele teoretice

Tabela 11

Valorile mărimii  $\bar{\Delta}$ 

Timpul în sec.	$\bar{\Delta}$ în $\mu$	
	observat	calculat
1	4,3	4,1
2	5,8	5,8
3	6,6	7,6
4	8,3	8,2

A fost studiată la ultramicroscop mișcarea particulelor soluției de aur cu raza de 22 m  $\mu$ . După formula lui Einstein (55), considerând  $N=6 \cdot 10^{23}$  a fost calculată valoarea  $\bar{\Delta}$  pentru particule de această rază.

La deducerea formulei (55) particulele coloidale s-au presupus sferice, ceeace nu se observă întotdeauna în realitate. Pentru particulele nesferice se obține o abatere, ceeace s'a observat la studiul mișcării particulelor mari de aur.

In cazul micelilor lungi, expresia (54) pentru  $D$ , capătă întrucâtva altă formă. Burgers<sup>2)</sup> dă pentru cazul particulelor solide cilindrice:

$$D = \frac{3 R T}{\pi N \eta l^3} \cdot \left( \ln \frac{l}{d} - 0,11 \right) \quad (57)$$

unde  $l$  = lungimea,  $d$  = diametrul cilindrului.

Pentru particule având formă unui elipsoid alungit de rotație,

$$D = \frac{3 RT}{8\pi N \eta a^3} \cdot \left[ \ln \frac{2a}{b} - 0,50 \right] \quad (58)$$

unde  $a$  și  $b$  sunt axele elipsoidului,  $a$  fiind  $> b$ .

1) Th. Svedberg, K. Z. 7, 1, (1910).

2) J. W. Burgers, Second Report on Viscosity, Amsterdam 113 (1938)

Inafara de miscarea rectilinie, particulele mai posedă și o miscare de rotație, care este inherentă și moleculelor gazoase. Conform teoriei cinetice, cantitatea energiei de rotație a particulelor este, în medie, egală cu cantitatea energiei cinetice a mișcării de înaintare. Einstein<sup>1)</sup> dă pentru valoarea unghiului de rotație, următoarea formulă:

$$\omega = \sqrt{\frac{RT}{N} \cdot \frac{1}{4\pi\eta r^3}} \cdot \sqrt{\tau} \quad (59)$$

unde  $\omega$  este unghiul cu care s'a rotit particula în timpul  $\tau$ .

Perrin<sup>2)</sup> a controlat experimental aplicabilitatea acestei formule la particule mari sféricale ale emulsiei de cauciuc. Pentru particulele sféricice cu  $2r=13\text{ }\mu$ , unghiul de rotație, a fost găsit egal cu  $14^\circ$ , într-o perioadă de timp de un minut, iar formula (59) dă  $14,5^\circ$ , deci se obține o bună concordanță.

#### 4. EXPERIENȚELE LUI PERRIN

Lucrările lui Maxwell, Gibbs, Boltzmann, Langevin, au stabilit că, în medie, există o egalitate a rezervei de energie cinetică,

atât a moleculelor, cât și a complexelor lor, care se găsesc în stare de echilibru termic. De aici rezultă că și particulele coloidale, găsindu-se printre moleculele în mișcare ale lichidului sau gazului, vor avea aceeași energie cinetică  $W$ .

Să presupunem că solul este supus acțiunii unei forțe constante, de ex. forței gravitației terestre. Sub acțiunea acestei forțe, particulele sedimentând, se vor concentra la fund, dar în același timp, particulele posedând energie cinetică, vor tinde să se împărtășie în întreg volumul și să se opună concentrației arătate. La urma

urmei, sistemul ajunge într-o stare de echilibru.

Perrin<sup>3)</sup> a găsit relația între variația numărului de particule cu înălțimea  $h$  sub acțiunea forței gravitației.

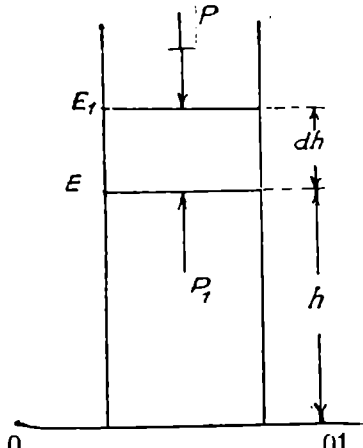


Fig. 47. – Schema experienței lui Perrin.

1) A. Einstein, Ann. Phys. (4) 19, 371 (1906).

2) J. Perrin, Phys Z. 11, 470 (1910).

3) J. Perrin, Phys Z. 11, 461 (1911); Ann. chim. et phys. (8) 18, 5. (1909).

Să presupunem, că într'un cilindru vertical (fig. 47) cu secțiunea transversală egală cu unitatea, se găsește un sol. Asupra acestui sol acționează de sus în jos forța gravitației și particulele s'au dispus pe înălțimea acestui cilindru aşa cum o necesită starea de echilibru. Să determinăm condițiile acestui echilibru. Să plasăm la înălțimea  $h$  un piston  $E$ , iar la înălțimea  $h+dh$ , un al doilea piston  $E_1$ . Ambele pistoane sunt permeabile pentru solvent și impermeabile pentru particule. Deoarece echilibrul a fost stabilit, poziția celor două pistoane nu va influența asupra stării sistemului.

Dacă la înălțimea  $h$  se găsesc într'o unitate de volum  $v$  particule, atunci la înălțimea  $h+dh$  se vor găsi  $v-dv$  particule și presiunea osmotică în locurile determinate prin poziția secțiunilor  $E$  și  $E_1$  va fi:

$$P = \frac{2}{3} v W \text{ și } P_1 = \frac{2}{3} (v - dv) W.$$

Astfel, particulele cuprinse între pistoanele  $E$  și  $E_1$  vor fi menținute de forță

$$P_1 - P = -\frac{2}{3} W \cdot dv.$$

Particulele, cuprinse în volumul  $E-E_1$  cu înălțimea  $dh$ , prezintă asupra pistonului cu o forță

$$df = v\varphi (\delta_K - \delta)g \cdot dh$$

unde  $\varphi$  = volumul particulei,  $\delta_K$  și  $\delta$  densitatea materiei particulei și  $g$  = accelerația gravitației. Având în vedere că sistemul se află în echilibru, atunci

$$(P_1 - P) = df$$

sau

$$v\varphi g (\delta_K - \delta) \cdot dh = -\frac{2}{3} W \cdot dv \quad (60)$$

Integrând expresia (60) între limitele înălțimilor dela 0 la  $h$ , vom avea

$$\frac{2}{3} W \int_{v}^{v_0} \frac{\delta v}{v} = \varphi (\delta_K - \delta) g \int_{0}^{h} dh \quad (61)$$

sau

$$\frac{2}{3} W \ln \frac{v_0}{v} = \pi (\delta_K - \delta) gh$$

Inlocuind valoarea  $\varphi = \frac{4}{3} \pi r^3$  și înlocuind logaritmul natural cu cel zecimal, vom avea :

$$2,303 W \lg \frac{v_0}{v} = 2 \pi (\delta_K - \delta) r^3 gh \quad (62)$$

Inlocuind, în fine, din ecuația lui Clapeyron expresia

$$W = \frac{3}{2} \frac{RT}{N}$$

în expresia (62), vom obține:

$$2,303 \cdot \frac{RT}{N} \cdot \lg \frac{v_0}{v} = \frac{4}{3} \pi r^3 (\delta_K - \delta) \cdot gh \quad (63)$$

Cu ajutorul acestei expresii (63) se poate determina constanta  $N$ , dacă se cunosc toate celelalte valori.

Perrin a efectuat determinările corespunzătoare ale numărului de particule  $v$  și  $v_0$  la înălțimea  $h$  și  $h_0$ , și a calculat valoarea

$$N = 70,05 \cdot 10^{22}$$

care concordă îndeaproape cu alte determinări.

Particulele sistemului dispers în stare de echilibru se distribue în vas după concentrație descrescândă în direcția de jos în sus, dela fund. La fundul vasului se formează un fel de atmosferă din particule. Folosind formula (63), nu este greu de calculat înălțimea  $h$ , presupunând o valoare determinată pentru  $\frac{v_0}{v}$ . Pentru cazul  $\frac{v_0}{v} = 10$  obținem următoarele valori pentru particulele de rază  $10 \text{ m}\mu$  :

$$\delta_K - \delta = 10, \quad \delta_K - \delta = 2, \quad \delta_K - \delta = 0,5,$$

$$h = 0,77 \text{ cm}; \quad h = 3,85 \text{ cm}; \quad h = 15,4 \text{ cm};$$

adică înălțimea acestei atmosfere este cu atât mai mare, cu cât particulele sunt mai ușoare. Mișcarea browniană nu permite particulelor să se depună la fund și contribue prin aceasta la stabilitatea soluției, dar pentru ca să fie atinsă o asemenea stare

de echilibru, e nevoie de un mare interval de timp. Din tab. 2 și 3 dela pag. 25 se știe că particulele de dimensiune dată la  $\delta_K - \xi = 9$  se depun cu 1 cm în decurs de 68 zile, iar la  $\delta_K - \xi = 1,7$  — în decurs de 359 zile. De aici vedem că viscozitatea mediului și mișcarea browniană contribue la stabilitatea solurilor (suspen- siei); la un grad mic de dispersiune, rolul principal îl joacă viscozitatea mediului, iar la soluri foarte disperse — mișcarea browniană.

## 5. FLUCTUAȚIA

In capitolul consacrat ultramicroscopiei, s'a indicat că pentru determinarea exactă a numărului de particule în unitatea de volum este necesar un mare număr de observații, dat fiind că calculele singulare în micile volume microscopice ale solurilor diluate dau valori care diferă una de alta.

Vom lua ca exemplu o serie de determinări din lucrările lui Svedberg<sup>1)</sup> asupra hidrosolului de aur:

1 1 2 3 1 2 0 0 3 3 1 4 2 2 3 4 5 2 1 3 4 1 1 0 4 etc.

Un asemenea fenomen de repartiție nerregulată a particulelor în mișcare într'un volum la o aceeași temperatură, este inherent gazelor; el este cunoscut sub numele de fluctuație<sup>2)</sup> și s'a observat la mișcarea browniană. Studiind fenomenul fluctuației la soluri, Svedberg a arătat că solurilor diluate li se pot aplica formulele lui Boyle-Mariotte și Van der Waals<sup>3)</sup>.

După legea a II-a a termodinamicei, într'un gaz, care se găsește în echilibru termic, particulele trebuie să fie repartizate uniform, ceea ce nu se observă în realitate. La volume microscopice, această condiție nu este îndeplinită; astfel, legea a II-a a termodinamicei nu este aplicabilă volumelor microscopice, care conțin un număr mic de particule. Fenomenul fluctuației a impus să se facă la observațiile ultramicroscopice un mare număr de numărațori și să se calculeze din ele valoarea medie a numărului de particule, care se obține cu o precizie cu atât mai mare, cu cât au fost mai multe numărațorile făcute.

Mișcarea browniană a fost studiată actualmente atât teoretic, cât și experimental. Ea s'a arătat a fi un caz particular al mișcării cinetice a gazelor; asemănător cu moleculele, care

1) Th. Svedberg, Die Existenz der Moleküle, Leipzig 148, (1912).

2) M. Smoluchovski, Ann. Phys. (4), 25, 205 (1908).

3) Th. Svedberg, K. Z. 9, 219 (1911); Z. Phys. Ch. 73, 547 (1910).

posedă o mișcare termică proprie, aggregatele mari de molecule — particulele coloidale — se găsesc într-o mișcare identică.

Energia cinetică este adevărată atât pentru moleculele obișnuite, cât și pentru particulele coloidale. Diferența dintre ele se reduce numai la faptul că particulele coloidale sunt cu mult mai mari. Pentru particulele coloidale, mărimea  $F$  poate fi calculată după legea lui Stockes, iar pentru soluțiile moleculare un asemenea calcul poate fi efectuat, pornind dela legea lui Nernst <sup>1)</sup> propusă de el pentru fenomenul disuziunii.

---

1) Vezi, de ex. Eggert, Manual de chimie fizică, 228. L. 1931.

## X. PROPRIETĂȚILE SOLURILOR, CONSIDERATE CA SOLUȚIUNI MOLECULARE

Studiul mișcării browniene a arătat că o particulă coloidală se comportă în sol, din punct de vedere cinetic, analog cu o moleculă foarte mare; deci aceea solurile trebuie să posede înșușirile unor soluții adevărate. În capitolul de față se vor cerceta fenomenul disuziunii și presiunea osmotică a solurilor.

### 1. DIFUZIUNEA

În cap. IX s'a dat formula lui Einstein (54) pentru constanta de difuziune  $D$ . Știind că  $R=8,319 \cdot 10^7$  ergi,  $N=6,06 \cdot 10^{23}$  la  $T=293^\circ$  și  $\eta=0,01$ , vom avea :

$$D = 2,13 \cdot 10^{-13} \frac{1}{r} \text{ cm}^2/\text{sec} \quad (64)$$

De aici rezultă că constanta de difuziune  $D$  are pentru soluri de diferite raze  $r$  următoarele valori :

$$D=0,213 \cdot 10^{-7} \text{ (la } r=100 \text{ m}\mu\text{)}; D=0,213 \cdot 10^{-6} \text{ (la } r=10 \text{ m}\mu\text{)};$$

$$D=0,213 \cdot 10^{-5} \text{ (la } r=1 \text{ m}\mu\text{)}; D=0,57 \cdot 10^{-5} \text{ (glucoza) și}$$

$$D=0,98 \cdot 10^{-5} \text{ (ureea)}$$

Valorile indicate ale constantei  $D$  arată cum aceasta crește treptat în funcție de mărirea gradului de dispersiune, apropiindu-se de constanta de difuziune a substanțelor disolvate obișnuit (glucoza și ureea).

Ecuația (64) se poate scrie sub forma următoare :

$$D \cdot r = 2,13 \cdot 10^{-13},$$

de unde se vede că ecuația dată reprezintă o hiperbolă.

În domeniul particulelor cu raze mici, adică la o dispersiune moleculară când dimensiunea este egală numai cu  $0,2-0,3 \text{ m}\mu$  mărirea razei particulei cu o câtivare oarecare, de pildă cu  $0,1 \text{ m}\mu$

dă o variație foarte vizibilă a mărimii  $D$  — de ex. cu  $\frac{1}{4} - \frac{1}{3}$

din valoarea ei. Aceasta rezultă din faptul că parametrul transversal al moleculelor este de numai  $0,2-0,3 \text{ m}\mu$ . Din acest motiv, în domeniul molecular mărimea  $D$  permite o măsurare exactă a dimensiunilor moleculare. Lucrurile stau altfel în domeniul dispersiunii mici, unde mărimea particulelor este mult mai mare. Dacă vom lua, de exemplu, o particulă cu diametrul de  $10 \text{ m}\mu$ , atunci, în acest caz, variația mărimii particulei cu  $0,1 \text{ m}\mu$  va schimba mărimea  $D$  abia cu  $0,01$  din valoarea ei. Astfel, folosind variația lui  $D$ , se poate urmări exact variația greutății moleculare, dar despre mărimea dimensiunii particulei coloicale obișnuite se poate juudeca numai aproximativ. Numai în domeniul intermediar, în aşa numitul domeniu **semi-coloidal**, unde particulele au dimensiuni care nu trec de  $1$  sau  $2 \text{ m}\mu$ , variația dispersiunii particulei influențează considerabil valoarea constantei de difuziune. Se poate afirma, că în domeniul molecular este lese de urmărit dimensiunile particulelor (moleculelor) studiind fenomenul de difuziune; în domeniul coloidal, pe măsura micșorării gradului de dispersiune, această metodă devine din ce în ce mai puțin precisă și pentru determinarea mărimii particulelor coloidale trebuie să recurgem la alte metode.

Ca o consecință a faptului că această constantă  $D$  este destul de mare la solurile liofile, ea poate fi determinată direct, aplicând formula lui Fick (49), fără a folosi pentru aceasta considerentele ultramicroscopice [formula (54)].

Svedberg <sup>1)</sup>, folosind metoda propusă de Scheffer <sup>2)</sup> pentru cristaloizi și pornind dela formula (49), a determinat constanta de difuziune a solurilor foarte disperse de aur ( $r = 1,3 \text{ m}\mu$ ) și a obținut o concordanță foarte bună cu valoarea obținută ultramicroscopic [după formula (54)].

Metoda constă în următoarele: într-un vas cilindric se introduc patru volume de lichid (de ex. cale  $10 \text{ cm}^3$ ), din care volumul de jos reprezintă soluția inițială (solul), iar cele trei volume superioare — solventul. Toți se lasă pentru câtva timp în repaus la o temperatură constantă, iar după aceea se scot aceleași patru volume în așa fel, ca lichidele să nu se amestecă și se determină la fiecare din ele cantitatea de substanță difuzată; concentrația ei se determină în raport cu concentrația inițială, considerată ca fiind 10.000. După ce s'a determinat concentrația relativă în straturi, se folosesc tabelele Kawaiki, în care se găsesc valorile relative ale concentrațiilor și

1) Th. Svedberg, Die Existenz der Moleküle, 78, Leipzig, 1917.

2) J. Scheffer, Z. phys Ch. 2, 390 (1888); A. Dumanschi, Zap. Voronej S. h. Ins., 11 (1928): Metode de determinare a dispersiunii.

ale exoresiei  $\frac{h}{4D\tau}$  pe baza formulei lui Fick ( $h$ =înălțimea stratului de echid de volum dat și  $\tau$  — durata experienței).

Pentru găsirea concentrației straturilor se întrebunțează analiza chimică obișnuită sau se face determinarea unei constante fizice oarecare, de ex., intensitatea colorării (cu colorimetru), indicele de refracție (cu refractometru sau interferometru), rotația unghiului planului de polarizare la substanțele optic active, intensitatea fenomenului Tyndall, densitatea soluției, conductibilitatea electrică, concentrația ionilor, fluorescența la lumină ultravioletă, etc.

Este foarte practică metoda propusă de Fürth<sup>1)</sup> pentru determinarea difuziunii soluțiilor colorate, care permite să se obțină în decurs de 10—20 minute datele necesare pentru calcularea constantei de difuziune cu o precizie de 3—6%. Determinarea difuziunii după această metodă se reduce la următoarele: Pe sticla — obiectiv 1 (fig. 48) se lipesc cadrul 2, tăiat dintr-o placă de ebonită (poate și și de sticlă) cu grosime de aproximativ 1 mm. Volumul obținut al cuvetei se împarte în două părți — partea dreaptă (A și B) și partea stângă (C) printr-o placă subțire de celuloïd 4, lipită cu muchia ei de sticla 1. În tăietura ramei 2 se introduce o placă subțire de

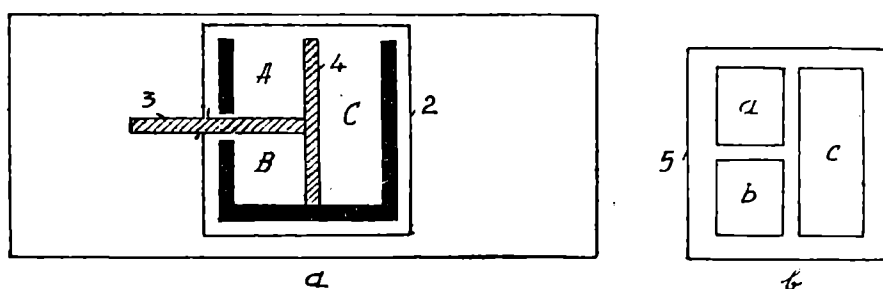


Fig. 48. — Cuva Fürth cu sticla de acoperire.

1. sticla-obiectiv; 2. cadru; 3, 4. placi subțiri de celuloïd; 5. stică de acoperire.

celuloïd 3, care împartea stângă în două: A și B. Placa 3 se poate introduce și scoate din această tăietură. Pe sticla de acoperire 5, ale cărei dimensiuni sunt egale cu ale ramei 2 se lipesc cu balsam de Canada, trei sticile dreptunghihulare a, b și c. La fixarea sticlei de acoperire, sticla trebuie să pătrundă în partea A, sticla b în partea B și sticla c în partea C. Apoi ungând rama 2 și muchia plăcii 4 cu balsam de Canada se lipesc sticla 5 pe ramă. Interspațiu vertical între sticlele a, b și c va fixa placa 4, iar interspațiu orizontal între sticlele a și b va fi direcțrice pentru placa mobilă 3, formându-se astfel o cuvetă îngustă, cu lățimea de 1 mm.

Experiența se conduce în ordinea următoare: La început se umple partea stângă inferioară a cuvetei D cu soluție colorată de cercetat, de o concentrație oarecare  $c_0$  (concentrația nu trebuie determinată), se introduce placa 3 și deasupra se toarnă solventul. Apoi se diluează de câteva ori soluția inițială până la o concentrație  $c$ , diluția  $v = \frac{c_0}{c}$  luându-se egală cu patru sau mai mult și soluția diluată se toarnă în compartimentul B. Apoi totul se plasează pe măsuță unui microscop situat orizontal, care mărește de aproximativ 40 de ori. Drept ocular se folosește un micrometru ocular cu o diafragmă

1) R. Fürth, Phys. Z., 27, 7, 719 (1925); K. Z. 41, 300, 304 (1927).

fixată sub forma unei fante înguste, deplasabilă în direcție verticală printr'un șurub micrometric; poziția fâșiei se determină cu diviziunea micrometrului. Prin fanta diafragmei se văd simultan părțile A și B ale cuvetei.

La început se plasează fanta diafragmei în aşa fel, încât să se vadă prin ea placă 3, apoi aceasta din urmă se scoate și se notează momentul începerii difuziunii. După un timp oarecare, fanta se deplasează în sus, până în poziția în care ambele jumătăți ale fantei, împărțită prin placă 4 vor apărea la fel colorate. Se notează timpul  $\tau$  și distanța  $x$  de la fosta poziție a placii 3. Pentru o precizie mai mare, determinarea se face de câteva ori. Se obțin următoarele mărimi:  $x \rightarrow$  distanța la care a difuzat soluția cu concentrația inițială, până la concentrația  $c = \frac{c_0}{\nu}$  în  $\tau$  secunde.

Calculurile se fac după următoarele formule:

$$\begin{aligned} D_4 &= 1,099 \frac{x^2}{\tau} & D_5 &= 1,7061 \frac{x^2}{\tau} \\ D_8 &= 0,3792 \frac{x^2}{\tau} & D_{10} &= 0,3046 \frac{x^2}{\tau} \end{aligned} \quad (65)$$

unde  $D$  cu indicii 4, 5, 8 și 10 reprezintă constanta de difuziune, calculată la diluții de 4, 5, 8 și 10 ori.

Mărimea  $x$  se citește pe micrometrul ocular și se exprimă în centimetri, iar timpul  $\tau$  se măsoară cu cronometrul în secunde.

$D$  depinde de concentrații și devine constant numai la concentrații mici ale soluției (soluri).

Bazându-se pe același principiu, Wo. Ostwald<sup>1)</sup> a construit un aparat întrucâtva mai simplu.

Folosindu-se metoda lui Fürth au fost determinate constantele de difuziune ale coloranților și pe baza acestora a fost calculată raza micelilor<sup>2)</sup> lor (Tab. 12).

Tabelă 12

### Constantele de difuziune și razele micelilor

(După Nistler<sup>3)</sup>)

Denumirea colo- rantului	$r$ în $\text{m}\mu$	$D \cdot 10^6$	Denumirea colorantului	$r$ în $\text{m}\mu$	$D \cdot 10^6$
albăstru de Berlin	11,4	0,176	albastru de metilen	1,3	1,47
albastru bazic	7,5	0,318	roșu neutral . . .	0,7	2,7
albastru de metilen (după 5 zile) .	4,8	0,42	metil violet . . .	0,6	3,2
roșu de Congo . .	1,8	1,1	safranina . . . .	0,6	3,42
rubiniu de Congo .	1,7	1,2			

1) Wo. Ostwald u. A. Quast, K. Z. 48, 83 (1929).

2) N. S. Scheinker, J. F. H. 8, 774 (1936).

3) A. Nistler, K. Beih., 31, 1 (1930).

R. Zuber<sup>1)</sup> a elaborat o metodă, analoagă metodei lui Fürtb pentru solurile incolore. Variația concentrației stratului care difuzează se determină cu ajutorul indicelui de refracție.

Svedberg<sup>2)</sup> a propus determinarea concentrației  $c$  la diferențe înălțimi ale unei coloane de lichid, în care se produce difuziunea de jos în sus și calcularea lui  $D$  după formula :

$$D = 0,1086 \frac{x_1^2 - x_2^2}{\tau \lg \frac{c_1}{c_2}} \quad (66)$$

unde  $x_1$  și  $x_2$  sunt distanțele straturilor de poziția inițială a stratului de soluție care difuzează iar  $c_1$  și  $c_2$  concentrația în aceste straturi după timpul  $\tau$  dela începutul difuziunii.

In tab. 13 sunt date valorile constantei  $D$  pentru câteva soluri hidrofile

Tabelă 13

**Coefficientul de difuziune pentru unele soluri hidrofile  
(după Herzog<sup>3)</sup>)**

Denumirea substanței	Temp. °C	$D \frac{\text{cm}^2}{\text{sec}} \cdot 10^7$	Denumirea substanței	Temp. °C	$D \frac{\text{cm}^2}{\text{sec}} \cdot 10^7$
Invertina . . . .	18	3,3	dextrina . . . .	9–10	7,6
Albumina de ou .	18	5,9	rafinoza . . . .	18	35,5
Pepsina . . . .	18	7,0	glucoza . . . .	18	57

La determinarea constantei de difuziune a soluțiilor coloidale intervine următoarea particularitate a lor, care lipsește la soluțiile obișnuite — polidispersiunea. Valorile constantei de difuziune vor fi numai valori medii. Pentru a obține o constantă de difuziune, corespunzătoare unui grad de dispersiune dat, este necesară o prealabilă cercetare minuțioasă a solului dat, pentru a ne convinge de monodispersiunea lui.

Pe de altă parte, cercetând procesul difuziunii solurilor

1) R. Zuber, Z. Phys. 79, 280 (1930).

2) Th. Svedberg, Chimiya coloizilor (traducere), 68, M., 1930.

3) R.P. Herzog, Z. Elektroch. 16, 1003 (1903); K. Z. 2, I, 3, 83 (1908).

polidisperse sau ale unor soluții de compuși macromoleculari, se poate efectua o analiză polidispersă a amestecului<sup>1</sup>).

Plecând dela formula lui Einstein (54), Herzog deduce relația între coeficientul de difuziune și greutatea moleculară, presupunând că particula este sferică. Volumul particulei este egal cu  $\frac{4}{3}\pi r^3$ . Cunoscând densitatea particulei  $\delta_K$  și numărul lui Avogadro  $N$ , vom obține pentru greutatea moleculară expresia:

$$M = \frac{4}{3} \pi r^3 \delta_K N$$

sau

$$r = \sqrt[3]{\frac{3}{4} \frac{M}{\pi N \delta_K}}$$

Inlocuind  $r$  în formula (54) avem:

$$D = \frac{RT}{6\pi N \eta} : \sqrt[3]{\frac{3}{4} \cdot \frac{M}{\pi N \delta_K}}$$

de unde

$$\frac{M D^3}{\delta_K} = \frac{R^3 T^3}{162 \pi^2 N^2 \eta^3}$$

Dacă solventul și temperatura sunt constante la toate determinările, atunci la  $T=293$  vom avea :

$$\frac{R^3 T^3}{162 \pi^2 N^2 \eta^3} = 2,52 \cdot 10^{-14} = K$$

adică

$$M D^3 = K \delta_K \quad (67)$$

Dacă  $\delta_K$  al coloizilor de cercetat poate fi considerat constant, ceeace are loc la solurile organice, expresia (67) capătă forma :

$$M D^3 = K_1 \quad (67 \text{ a})$$

Folosind formula (67 a) se poate calcula greutatea moleculară. De ex. pentru albumina de ou se obține  $M=62000$ .

Noi am întâlnit prezența difuziunii la sistemele disperse în experiențele lui Perrin asupra repartiției echilibrată a unei sus-

1) S. E. Harin, Izv. Gos. n. i. in-ta coll. chim. Voronej, N. 1, 68 (1934).

pensiile de cauciuc. Particulele de cauciuc nu s-au putut depune la fund sub acțiunea forței gravitației, ci s-au repartizat la fundul vasului datorită concentrație crescândă. Cu fenomenul de difuziune s'a întâlnit și Svedberg, executând experiențele sale de sedimentare în ultracentrifugă. El a arătat că în acest caz este valabilă legea de repartiție a lui Perrin.

În laboratorul lui Svedberg s'a stabilit că soluțiile obișnuite se repartizează în ultracentrifugă după înălțimi, sedimentând analog particulelor coloidale.

Lamm<sup>1)</sup> a dat o metodă exactă de determinare a variației concentrației cu timpul, observând variația indicelui de refracție al soluției în timpul difuziunii corpului disolvat în solvent. Folosindu-se această metodă refractometrică, s'a determinat vitezele și constantele de difuziune ale unui șir de substanțe. Folosind metoda difuziunii se poate efectua analiza polidispersă a unor sisteme puternic dispersate, la care nu se pot aplica metodele sedimentometrice.

## 2. PRESIUNEA OSMOTICĂ

Priimii cercetători care au determinat presiunea osmotică a solurilor au fost Pfeffer (1877) și Leuneberger (1892). Determinările lor au arătat că greutatea moleculară a particulelor coloidale este foarte mare. Determinările au fost aproximative și în general există un dubiu asupra posibilității de determinare a presiunii osmotice la soluri.

Cercetările teoretice ale lui A. Einstein și M. Smoluchovski asupra mișcării browniene și clasicele lucrări experimentale ale lui J. Perrin și Svedberg au arătat că solurile au presiune osmotică în aceeași măsură ca și soluțiile obișnuite. Valoarea mică a presiunii osmotice, observată la soluri, se explică prin masa foarte mare a particulei coloidale în comparație cu moleculă obișnuită, ceea ce rezultă clar din următoarele: Un sol de aur de 1% având particule de  $1 \text{ m}\mu$  are o presiune osmotică egală cu  $0,00045 \text{ atm}$  sau  $0,34 \text{ mm}$  coloană de mercur. Pentru ca acest sol să indice o presiune osmotică egală cu cea a unei soluții unimolare de cristaloid, ar trebui ca într'un litru de apă să fie disolvate 50000 g de aur, gradul de dispersiune al particulelor lui fiind cel indicat.

---

1) O. Lamm, Nova Acta Reg. Soc. Sci. Upsala (IV), 10, Nr. 6 (1937); K. Z. 91, 10 (1940); A. Polson K. Z. 83, 172; 87, 149 (1939).

Presiunea osmotică se determină din ecuația :

$$P = \frac{R T}{N} \nu$$

unde  $\nu$  = numărul particulelor coloidale în 22,4 l solvent,  $N$  = numărul lui Avogadro,  $R$  = 0,0831 l · atm/gram. mol.

$$P = \frac{0,0831}{6,06 \cdot 10^{23}} \cdot \nu T = 1,37 \cdot 10^{-25} \nu T$$

Deoarece, deobicei, mărimea  $\nu$  este mică, mărimea  $P$  este și ea mică.

Așa se explică de ce adausurile mici de cristaloizi, care se găsesc deobicei în soluri pot să denatureze complet valoarea presiunii osmotice și să facă complet neverosimilă.

Cercetări foarte precise asupra determinării presiunii osmotice a albuminei din ou au fost făcute de Sörensen<sup>1)</sup>. La această albumină s'a observat o presiune destul de mare, egală cu 86 cm coloană de apă la o concentrație de 22,66 grame, la litru. Această valoare a presiunii osmotice este considerabilă. La majoritatea solurilor ea este mult mai mică, iar la unele, extrem de mică.

Determinarea presiunii osmotice a arătat, în special la solurile liofile, că nu se menține proporționalitatea între concentrație și mărimea  $P$ , așa cum ar rezulta din ecuațiile lui Clapeyron și Van der Waals<sup>2)</sup>; se observă o creștere mai rapidă a presiunii.

O mare dificultate la determinarea presiunii osmotice îl constituie faptul că particulele coloidale, după cum vom vedea mai târziu, sunt încărcate electric, din care cauză solurile posedă proprietățile electroliștilor. În afară de aceasta, ionii de electrolili, care există într-o lățime de hidrosoluri, intrând în echilibru cu aceștia, schimbă foarte mult valoarea presiunii osmotice (vezi echilibrul lui Donnan).

### 3. PRESIUNEA DE VAPORI

Presiunea osmotică este legată de micșorarea presiunii de vapozi a solventului prin relația :

$$\frac{\Delta p}{p} = \frac{PM}{RT\delta}$$

1) S. R. L. Sörensen, C. r. trav. lab. Carlsberg, 12 (1915—1917).

2) G. S. Adair și A. Kroepelin, Proc. Roy. Soc. London, 126, 16 (1929). (1929).

unde  $p$  este presiunea de vapori a solventului pur la temperatura  $T$ ,  $\Delta p$  — scăderea presiunii de vapori a solventului după introducerea într'insul a unei oarecare cantități de substanță disolvată,  $P$  — presiunea osmotică produsă de substanță disolvată,  $M$  — greutatea moleculară a solventului,  $\delta$  = densitatea lui și  $R$  — constanta gazelor.

Coborirea temperaturii de congelare sau creșterea temperaturii de fierbere  $\Delta T$ , este legată prin următoarea ecuație de presiunea osmotică :

$$P = \frac{L\delta}{MT} \cdot \Delta T, \quad (68)$$

unde  $L$  este căldura latentă de vaporizare sau de fierbere a solventului și  $T$  — temperatura de fierbere sau de congelare.

Pentru soluțiile apoase, înlocuind valorile numerice  $L$ ,  $\delta$ ,  $M$  și  $T$  vom avea :

pentru ridicarea temperaturii de fierbere

$$P = 59,2 \cdot \Delta T;$$

pentru coborirea temperaturii de congelare

$$P = 12,1 \cdot \Delta T.$$

Valoarea  $\Delta T$  poate fi legată de valoarea greutății moleculare  $m$  a substanței disolvate prin ecuația :

$$m = \frac{C}{\Delta T} \cdot E \quad (69)$$

unde  $E$  este constanta ebulioscopică sau crioscopică a solventului,  $C$  — cantitatea de substanță disolvată în 100 g de solvent.

Pentru apă  $E$  (la fierbere) = 5,1, iar  $E$  (la congelare) = 18,5. Există o serie de măsurători efectuate pentru determinarea greutății moleculare a coloizilor prin metoda crioscopică. Prima lucrare este aceea a lui A. Sabaneev <sup>1)</sup> (1891) iar mai târziu au fost făcute determinări de J. Duclaux <sup>2)</sup> și A. Dumanschi <sup>3)</sup>; ultimul a determinat coborîrea temperaturii de congelare (prin metoda crioscopică) nu față de solventul pur — apă, ci față de ultrafiltrat — lichidul intermicelar (adică solventul împreună cu electrolișii care-l însoțesc).

Această metodă este aplicabilă numai la solurile puternic dispersate, apropiate de soluțiile obișnuite. Valorile obținute variază foarte mult și nu dă rezultate care s-ar putea reproduce, căci adausurile care se găsesc în soluri denaturează determinarea.

1) A. Sabaneev, J. R. F. H. O. 23, 7, 80 (1891).

2) J. Duclaux, C. r. 148, 714 (1909).

3) A. Dumanschi, J. R. F. H. O. 43, 546 (1911).

## XI. TENSIUNEA SUPERFICIALĂ ȘI ENERGIA SUPERFICIALĂ

### 1. DISPERSIUNEA

Se știe că dispersiunea sistemului coloidal se găsește între limitele dela  $10^5$  până la  $10^7$ . De dispersiune este legată mărimea  $S_0$  — suprafața specifică a sistemului; această mărime este considerabilă la sistemele coloidale, ceea ce dă un indiciu asupra marii valori a energiei superficiale a acestor sisteme. Suprafața specifică este egală cu gradul de dispersiune  $\Delta = \frac{1}{a}$  ( $a$  — dimensiunea particulei), înmulțit cu coeficientul, care caracterizează forma geometrică a particulei. De ex. pentru o particulă de formă cubică coeficientul este egal cu 6, pentru o particulă sferică — 4,86. De aceea, ecuațiile pentru suprafața cubului și a sferei au forma :

$$S_{cub} = \frac{6}{a} = 6 \Delta$$

$$S_{sfera} = \frac{4,86}{a} = 4,86 \Delta$$

În tab. 14 sunt indicate datele, care caracterizează suprafața specifică a particulelor disperse care au formă cubică.

Tabela 14

## Suprafața specifică a particulelor disperse care au formă cubică

Dimensiunea cubului	Numărul particulelor $\gamma$	Gradul de dispersiune $\Delta$	Suprafața specifică a particulelor $S_0$ , cm.
1 cm	1	1	6
1 mm	$10^3$	$10$	$6 \cdot 10$
0,1 mm	$10^6$	$10^2$	$6 \cdot 10^2$
0,01 mm	$10^9$	$10^3$	$6 \cdot 10^3$
1 $\mu$	$10^{12}$	$10^4$	$6 \cdot 10^4$
0,1 $\mu$	$10^{15}$	$10^5$	$6 \cdot 10^5$
0,01 $\mu$	$10^{18}$	$10^6$	$6 \cdot 10^6$
1 m $\mu$	$10^{-1}$	$10^7$	$6 \cdot 10^7$

Dacă forma particulei nu este sferică, atunci suprafața particulei va fi cu atât mai mare, cu cât ar fi mai mică asemănarea între forma particulei și cea a unei sfere. Suprafața specifică, adică suprafața tuturor particulelor, obținute dintr'un cm. cub de substanță este egală cu:

$$S_0 = \gamma \cdot S_1$$

unde  $S_1$  este suprafața unei particule, iar  $\gamma$  — numărul de particule, obținute dintr'un cm cub de substanță.

Deoarece, la dispersiune, forma particulei poate varia oricând, trebuie reținut că nu există o relație simplă între dispersiune și suprafața specifică; se poate spune numai că aceste mărimi **variază proporțional**. Proporționalitatea între  $\Delta$  și  $S_0$  există numai în acele cazuri, când forma particulelor nu se schimbă la măruntire.

Mărimea suprafeței superficiale a particulelor coloidale este foarte mare și de aceea fenomenele de suprafață vor avea la un grad de dispersiune coloidal o importanță foarte mare în cadrul celorlalte insușiri ale sistemelor coloidale.

## 2. TENSIUNEA SUPERFICIALĂ

La suprafața de separație a două faze există un strat de molecule, care se deosebește considerabil prin insușirile lui de celelalte straturi ale fazelor limită.

Să presupunem că AB este suprafața de separație între faza lichidă (l) și faza gazoasă (g) (fig. 49).

Moleculele situate în interiorul lichidului suportă o acțiune uniformă din partea moleculelor care o înconjoară; rezultanta acestor forțe moleculare este egală cu zero. Cu totul altă este acțiunea forțelor intermoleculare asupra unei molecule care se găsește la suprafața de separație. În acest caz forțele nu sunt orientate uniform în toate părțile, ci vor fi orientate numai spre interiorul fazei lichide și de-a-lungul suprafeței de separație. Forțele de atracție se pot neglija la faza gazoasă, căci moleculele gazului sunt situate foarte departe una de alta. Un asemenea câmp de forțe pe suprafața lichidului creează o dispoziție specială a moleculelor, care, după cum indică lucrările lui Hardy, Harkins, Langmuir și Adam sunt deobicei orientate, în timp ce moleculele din interiorul lichidului sunt repartizate fără o ordine anumită.

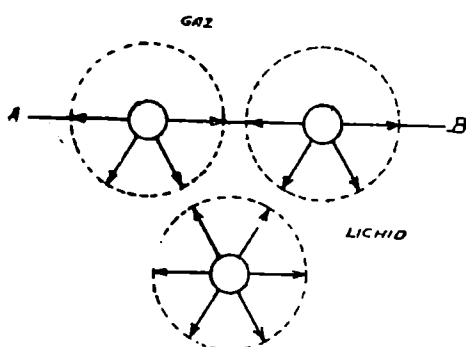


Fig. 49—Schema atracțiilor intermoleculare; circumferințele reprezentate prin linii continue reprezintă situația moleculelor; circumferințele reprezentate prin linii punctate arată sfera de atracție moleculară.

ficial, a cărui adâncime este apropiată de dimensiunea sferei de acțiune a moleculelor.

Rezultanta forțelor care trage molecule spre interiorul lichidului, raportată la un cm pătrat de suprafață și îndreptată perpendicular pe suprafața de separație, dă o presiune normală, egală cu presiunea interioară a lichidului  $P_i$ . Valoarea  $P_i$  se determină din ecuația lui Van der Waals.

$$\left( P + \frac{a}{v^2} \right) (v - b) = RT \quad (70)$$

și este egală cu  $\frac{a}{v^2}$ . Valoarea presiunii interne  $P$  se determină în dyne sau în kilograme pe cm pătrat sau în atmosfere.

Tabelă 15

## Presiunea internă a cătorva lichide

Denumirea substanței	$P_i$ în atm.
apă	11.000
alcool	2.400
eter	1.400

În tab. 15 sunt date valorile presiunilor interne ale cătorva lichide.

Stratul superficial, diferit de toate straturile interioare de lichid, îl vom denumi **peliculă superficială**. Asemănarea lui cu o peliculă elastică este destul de mare, ceea ce se vede bine din următoarea experiență:

Să facem dintr-o soluție de săpun o peliculă pe cadrul de fier ABED, mărginită jos de o sârmă subțire (sau de un pai) DE (fig. 50). Pelicula obținută în acest interval și care constă din două suprafețe superficiale are o tensiune, care tinde să airagă sârma DE spre latura AB a cadrului; pentru a fi menținută în echilibru trebuie să aplicăm la DE o forță  $F$ , care echilibrează tensiunea peliculei, în momentul ruperii ei. În acest moment forța  $F$  va fi egală cu valoarea limită, care determină rezistența peliculei și care caracterizează forța de tensiune superficială.

Dacă vom face lățimea peliculei DE egală cu un cm atunci forța  $F_0 = \frac{1}{2} F$  se va numi tensiune superficială și se măsoară în dyne pe centimetru. Tensiunea superficială  $F_0$  se notează cu litera  $\sigma$ .

Mărimea tensiunii superficiale este diferită la diferite corpuși reprezintă pentru ele o constantă fizică caracteristică. În tabela 16 sunt date valorile tensiunii superficiale  $\sigma$  pentru unele lichide.

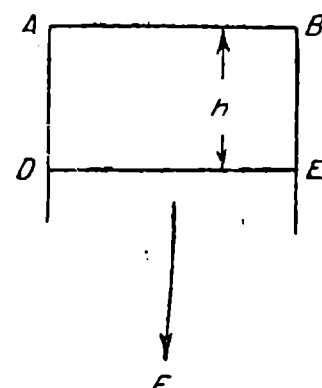


Fig. 50. — Schema formării peliculei superficiale.

Tabelă 16

Tensiunile superficiale ale unor lichide și coeficienții lor de temperatură

Nr.	Substanță	$\sigma$ în dyne/cm	t în °C	$\gamma^1$
1	mercur . . . . .	465	20	- 0,00035
2	plumb . . . . .	442	366	- 0,00029
3	clorură de bariu . . . . .	180	960	— —
4	clorură de sodiu . . . . .	114	801,0	— —
5	apa . . . . .	72,75	20,0	- 0,0020
6	benzen . . . . .	28,88	20,0	- 0,0035
7	octan . . . . .	23,88	0	— —
8	brom . . . . .	38,0	20	— —
9	acid formic . . . . .	37,1	20	— —
10	acid acetic . . . . .	23,5	20	- 0,0038
11	alcool metilic . . . . .	23,0	20	— —
12	alcool etilic . . . . .	22,3	20	- 0,0022
13	eter . . . . .	16,5	20	— —
14	hidrogen . . . . .	2	- 252	— —

Notă: substanțele 1—7 sunt date după Landoldt, substanțele 8—14 sunt date după Freundlich<sup>1)</sup>.

Comparând datele pentru apă, alcool și eter din tabelele 15 și 16 vedem că presiunea internă a lichidului este aproximativ proporțională cu tensiunea lui superficială. Aceasta a fost indicat și de Laplace în anul 1807.

### 3. ENERGIA SUPERFICIALĂ

Să folosim schema noastră (fig. 50) pentru o altă deducție.

Să presupunem că alături de latura AB, egală cu un cm se găsește o soluție de săpun, care umectează latura AB și sârma DE. Cu ajutorul forței  $F$  vom deplasa sârma DE contra acțiunii superficiale cu o distanță de  $h$  cm; atunci forța  $F$  va efectua un travaliu

$$A = Fh = 2 F_0 h = 2 h \sigma$$

considerând  $h = 1$ , avem

$$A_0 = 2 F_0 = \sigma$$

adică tensiunea superficială este egală cu energia care trebuie cheltuită pentru a obține o peliculă, care să ocupe suprafața de 1 cm<sup>2</sup>.

1) H. Freundlich, Kapillarchemie, 3 Aufl. 1923.

Mărimea  $A_0 = \sigma$  exprimă **energia liberă** a unității de suprafață. Dacă mărimea suprafeței este egală cu  $S$ , atunci energia superficială liberă a sistemului va fi egală cu:

$$A = S\sigma \quad (71)$$

Sistemele coloidale au o mare suprafață specifică  $S_0$  (vezi tab. 14). De aici rezultă clar, că sistemele coloidale posedă o energie superficială cu atât mai mare, cu cât este mai mare gradul de disperșiune, care trebuie să fie mai mic decât cel molecular (adică să existe o suprafață fizică de separație). Pentru disperșiunile, cuprinse între limitele dela  $10^5$  până la  $10^7$  energia superficială este egală cu  $6 \cdot 10^5$  până la  $6 \cdot 10^7$ , ceea ce pentru apă dă dela  $4,2 \cdot 10^7$  până la  $4,2 \cdot 10^9$  ergi, sau dela una până la 100 calorii pe cm cub de apă, adusă la un grad de disperșiune cuprins între limitele  $10^5$ — $10^7$ .

**Energia totală** a unității de suprafață este egală cu

$$E = \sigma + q \quad (72)$$

unde  $q$  este cantitatea de căldură absorbită de sistem. Pe baza legii a două a termodinamicei

$$q = -T \frac{d\sigma}{dT}$$

de unde

$$E = \sigma - T \frac{d\sigma}{dT} \quad (73)$$

Energia liberă a sistemului, efectuând un travaliu, tînd să se micșoreze, ceea ce devine posibil din cauza micșorării suprafeței  $S$  [vezi ecuația (71)].

#### 4. INFLUENȚA TEMPERATURII

Valoarea tensiunii superficiale depinde liniar de temperatură, micșorându-se la creșterea temperaturii.

$$\sigma_t = \sigma_0 + \sigma_0 \gamma t \quad (74)$$

unde  $\gamma = -\frac{d\sigma}{dt}$  este coeficientul de temperatură, care are semn

negativ, și care păstrează însușirea unei constante la temperaturi depărtate de punctul critic și variază brusc în apropierea lui, mărimea  $\sigma$  scăde în acest caz foarte repede la 0.

Se obține o singură fază — faza gazoasă. În tab. 16 sunt date valorile lui  $\gamma$ .

In fig. 51 se vede dependența liniară a tensiunii superficiale  $\sigma$  de temperatură.

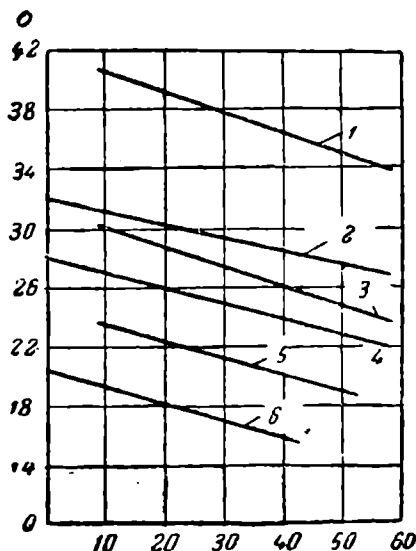


Fig. 51. — Relația între tensiunea superficială și temperatură.

1. bromura de etilică; 2. parafină;  
3. benzira; 4. capronat de etil;  
5. heptan; 6. hexan.

de timp, când sistemul n'a ajuns încă în stare de echilibru.

Mărimea energiei superficiale totale (73) nu depinde de temperatură în acele intervale pentru care este valabilă formula (74).

Pentru lichidele compuse din molecule identice (**lichide neassociate**), valoarea constantă a tensiunii superficiale se stabilește repede, îndată după formarea suprafeței de separație. De ex., pentru benzen sunt suficiente 0,001 sec. Lucrurile stau altfel la lichidele asociate. În acest caz este necesar un oarecare interval de timp, pentru ca sistemul să ajungă în echilibru, cum s'a observat, de ex. la apă (tab. 17):

De aceea se distinge tensiunea superficială **statică**, corespunzătoare stării de echilibru și tensiunea superficială **dinamică**, obținută într'un moment oarecare

într'un moment oarecare încă în stare de echilibru.

Tabela 17

Tensiunea superficială a apăi la  $16^{\circ}$

Timpul în secunde	σ in dyne/cm
0,0000	81,8
0,0007	80,0
0,0040	77,2
0,0080	74,6
$\infty$	73,8

Tabela 18

## Relația între tensiunea superficială și structura moleculei

Denumirea acidului	Greutatea moleculară	$\sigma$ în dyne/cm
formic . . . . . . . . . . . .	46,02	37,48
propionic . . . . . . . . . . . .	74,05	26,57
isovalerianic . . . . . . . . . . .	102,08	25,64
isocapronic . . . . . . . . . . . .	116,10	25,97

Tensiunea superficială depinde de structura moleculei. Această dependență poate fi urmărită în serile omoloage ale compușilor organici. În tab. 18 sunt date ca exemplu câțiva acizi din seria grasă: se vede că la creșterea greutății moleculare, adică a radicalului hidrocarbonat, tensiunea superficială scade.

Relația între tensiunea superficială și structura moleculei a fost dată în anul 1921 de A. I. Bacinschi, iar în 1924 de fizicianul chimist Sugden<sup>1)</sup>.

## 5. CURBURA SUPRAFETEI

Presiunea internă, îndreptată asupra moleculelor superficiale perpendicular pe suprafața lichidului, impiedică trecerea lor de pe suprafață în fază gazoasă: mărimea acestui impediment depinde de forma geometrică a suprafeței de separație: La o suprafață convexă forța de atracție este mai mare decât la una concavă. Aceasta se vede bine din fig. 52. Să presupunem că moleculea  $m$  nu se găsește chiar la suprafață. Să ducem prin  $m$  un plan orizontal  $MN$ . Atunci, moleculele care se găsesc sub acest plan tind să atragă moleculea spre interior, iar moleculele care se găsesc deasupra planului  $MN$  tind să împingă la suprafață. E clar că forța care împinge moleculea la suprafață va fi cu atât mai mare cu cât este mai gros stratul care

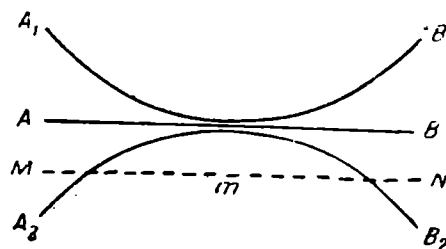


Fig. 52. — Influența nineniscului asupra presiunii normale.

1) Sugden, J. Ch. Soc. 125, 1177 (1924). A. I. Cursanov Usp. chim. 2, 129 (1933).

se află deasupra ei. Se vede din figură, că deasupra moleculei se va găsi un strat mai subțire în cazul unei suprafețe concave  $A_2B_2$  și un strat mai gros, în cazul unei suprafețe convexe  $A_1B_1$ . Probabil că presiunea normală este mai mare la suprafața concavă și mai mică la suprafața convexă, decât pe o suprafață plană. La cercetarea tuturor acestor cazuri trebuie reținut că molecula  $m$  nu trebuie să se găsească foarte aproape de suprafață, căci forțele de atracție intermoleculară acționează la distanțe foarte mici (nu mai mari de  $5 \text{ m}\mu$ ); moleculele care se vor găsi mai departe, nu vor schimba valoarea forței de atracție internă.

Pentru o suprafață sferică a lichidului, a fost dată de Laplace (1807) următoarea relație între presiunea internă  $P_i$  și tensiunea superficială:

$$P_i = K \pm 2 \frac{\sigma}{R}, \quad (75)$$

unde  $K$  este presiunea normală pe suprafața plană a lichidului și  $R$  — raza de curbură a suprafeței sferice a lichidului. Pentru o suprafață concavă raza de curbură este pozitivă:

$$P_i' = K + 2 \frac{\sigma}{R}$$

iar pe suprafața convexă raza de curbură este negativă:

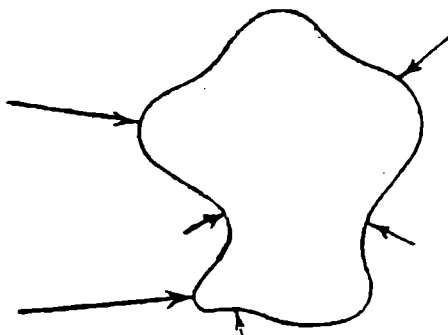


Fig. 53. — Suprafață liberă a lichidului.

$$P_i'' = K - 2 \frac{\sigma}{R}$$

$$\text{atfel } P_i' > P_0 > P_i''$$

unde  $P_0 = K$  la  $R = \infty$  (adică la o suprafață plană).

Nu este greu de arătat ce formă trebuie să aibă lichidul care se găsește numai sub acțiunea forțelor superficiale. Să presupunem că lichidul a ocupat o formă oarecare a suprafeței (fig. 53).

Atunci presiunea normală va fi mai mică la părțile concave ale suprafeței decât la cele convexe și din cauza presiunii neuniforme în diversele puncte, lichidul se va deplasa atât timp cât volumul nu va lua o formă geometrică, la care în fiecare punct al suprafeței se va aplica o forță constantă  $P$ , ceea ce va

ăi posibil când raza de curbură va fi constantă în toate direcțiile suprafetei (la sferă).

Când lichidul se găsește sub acțiunea forței gravitației, picăturile de lichid se turtesc cu atât mai tare, cu cât volumul lor va fi mai mare. Numai picăturile mici au formă sferică, căci în acest caz presiunea internă are preponderență față de forța de gravitație.

## 6. ECUAȚIA LUI THOMSON

Se poate găsi relația între curbura suprafetei și presiunea de vaporii. Să presupunem că avem un lichid, limitat de o suprafață convexă și că pe această suprafață se află molecule  $m$  (fig. 54, dreapta). Partea hașurată a circumferinței de lângă moleculă, reprezintă sferă de acțiune a moleculelor lichidului de dedesubt asupra moleculei  $m$ . Este clar, că moleculele lichidului de dedesubt vor atrage molecula  $m$  mai puțin în cazul unei suprafete

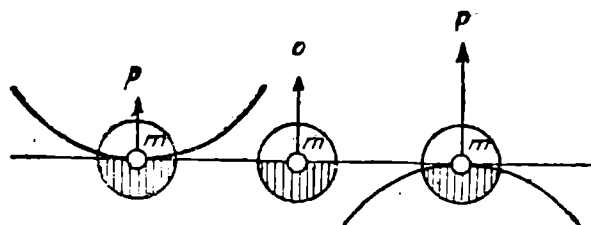


Fig. 54. — Relația între curbura suprafetei lichidului și tensiunea de vaporii.

convexe, decât în cazul unei suprafete concave (fig. 54, stânga) și că deci smulgerea moleculei (evaporarea) de pe suprafață convexă va fi mai ușoară decât de pe o suprafață plană sau concavă.

Astfel, la una și aceeași temperatură, presiunea de vaporii a lichidului se prezintă în ordinea următoare:

$$p_{\text{convex}} > p_{\text{plan}} > p_{\text{concav}}$$

Prin aceasta se explică trecerea picăturilor mici în picături mari la distilarea isotermică.

Thomson<sup>1)</sup> a dat o formulă, care leagă tensiunea superficială  $\sigma$  de presiunea de vaporii  $p$  a lichidului pe o suprafață de lichid cu diferite raze de curbură. Pentru cazul a două picături

1) W. Thomson, Phil. Mag. (4), 42, 448 (1871). Pentru deacurarea formulai (76) vezi de ex. H. Freundlich, Kapillarchemie 1,54 4 Aufl. 1930.

ale unui aceluiaș lichid, care se găsesc la aceeași temperatură s'ă găsit următoarea ecuație:

$$\frac{RT}{M} \ln \frac{p_2}{p_1} = \frac{2\sigma}{\delta} \left( \frac{1}{r_2} - \frac{1}{r_1} \right), \quad (76)$$

unde  $M$  este greutatea moleculară a vaporilor;  $\delta$  — densitatea lichidului. Expresia este pozitivă, când  $r_2 < r_1$ ; atunci  $p_2 > p_1$ , adică picăturile mai mici ( $r_2$ ) au o presiune mai mare. Dacă avem un sistem polidispers, atunci în sistem va începe distilarea isotermică, al cărei rezultat va fi dispariția picăturilor mici și formarea unui mic număr de picături mari.

O variație apreciabilă a presiunii de vapori se poate observa numai la picăturile foarte mici. Astfel, la picăturile de apă cu raze de  $10^{-4}$  cm diferența este aproape imperceptibilă. Presiunea de vapor crește cu  $10\%$  la o rază a picăturii de  $10^{-6}$  cm; la  $r = 10^{-7}$  cm presiunea crește de două ori în comparație cu presiunea pe suprafață plană. De aici se vede, că la un grad de dispersiune coloidal ( $10^6 - 10^7$ ) presiunea vaporilor saturați este mult mai mare, ceeace trebuie să aibă importanță pentru aerosolurile de tipul cețurilor. În acestea trebuie să se producă, din cauza distilării isotermice, o variație a dispersiunii sistemului și anume o micșorare a ei.

Ecuația lui Thomson nu este aplicabilă picăturilor cu rază mai mică de  $10^{-7}$  cm.

Gazul (deasemenea și vaporii) conținut în bula de gaz care se găsește în lichid este supus nu numai presiunii lichidului și presiunii atmosferice care-l înconjoară, dar și tensiunii superficiale, egală, conform ecuației lui Laplace cu  $\frac{2\sigma}{R}$ . Astfel, pentru formarea la fierbere a unei bule de vapori cu raza  $R$ , este indispensabil ca presiunea lor să nu fie mai mică de  $\frac{2\sigma}{R} +$  presiunea exterioară  $H +$  presiunea hidrostatică  $h$ , sub care se află bula; deci presiunea vaporilor în bulă va fi egală cu:

$$H + h + \frac{2\sigma}{R}$$

De aici se vede, că la  $H = 1$  atm (neglijând mărimea  $h$ , care e foarte mică) apa va fierbe nu la  $100^\circ$ , ci ceva mai sus. Astfel, dacă la fierbere se formează bule cu raze de  $10^{-4}$  cm,

presiunea  $\frac{2\sigma}{R}$  va fi egală cu 1,4 atm; dacă am adăuga la aceasta presiunea exterioară de 1 atm., fierberea în bulă ar trebui să se producă la presiunea de 2,4 atm., adică la 126°. Fierbând la 126° apă formează aproape instantaneu o mare cantitate de vapori, care pot face ca apă să se reverse din vas. Acest fenomen se observă de oricine în laborator; chimistul se luptă cu el, introducând în lichid capilare sudate la un capăt. Acest fenomen este foarte periculos pentru cazanele cu aburi. Introducerea corporilor poroase cu aer închis în porii anihilarează supraîncălzirea, aerul dând bule în care formarea vaporilor de lichid (fierberea) se face ușor. Lichidul care se găsește în capilar are o tensiune de vaporii echilibrată — deasupra suprafeței concave (apă în capilar de sticlă) ceva mai mică, iar deasupra suprafeței concave ceva mai mare decât deasupra unei suprafețe plane. Relația între tensiunea de vaporii și raza capilarului se determină prin cunoscuta ecuație a lui Thomson.

Există sisteme disperse care se compun dintr-o masă de capilare; de ex.—rocele, turba, materialele poroase de construcție. În asemenea sisteme poroase, care conțin lichid, se produce distilarea isotermică, la care lichidul (apa), care udă corpul poros va distila dela meniscurile cu raze mai mari pe menisciuri cu raze mai mici, din care cauză se va produce transmutarea lichidului (apei) în sistemul dispers poros. Este clar că o asemenea transmutare este posibilă numai cu condiția ca meniscurile să fie prezente în însuși interiorul sistemului.

## 7. TENSIUNEA SUPERFICIALĂ LA LIMITA INTRE DOUĂ LICHIDE

Am cercetat mai sus cazul tensiunii superficiale la limita lichid-gaz. Un fenomen analog are loc și la limita între două lichide nemiscibile; el se complică întrucâtva prin faptul că, în acest caz avem de-a face nu cu lichide pure, ci cu soluțiile saturate ale primului lichid în al doilea și invers.

Tensiunea superficială la limita lichid-lichid nu se stabilește deodată, pentru motivul că la început trebuie să se formeze două soluții de lichide, saturează unul cu celălalt și abia după aceea se va stabili tensiunea superficială statică. Cunoscând tensiunea superficială a celor două soluții satureate se poate calcula tensiunea

superficială la limita între două faze lichide după regula dată de Antonov<sup>1)</sup>, care se exprimă prin ecuația:

$$\sigma_{AB} = \sigma_A - \sigma_B , \quad (77)$$

unde  $\sigma_A$  este tensiunea superficială a soluției lichidului A saturată cu lichid B,  $\sigma_B$  — tensiunea superficială a soluției saturate de lichid B cu lichidul A.

Datele indicate în tab. 19 arată cât de bine corespunde ecuația lui Antonov cu realitatea.

Tabelă 19

## Tensiunea superficială la limita între două faze lichide

Fazele lichide	t în °C	$\sigma_A$	$\sigma_B$	$\sigma_{AB}$	
				calculat	observat
apă—benzen . . . . .	19	63,2	28,8	34,4	34,4
apă—cloroform . . . . .	18	59,8	26,4	33,4	33,3
apă—eter . . . . .	18	28,1	17,5	10,6	10,6
apă—anilină . . . . .	26	46,4	42,2	4,2	4,3

La urcarea temperaturii, mărimea  $\sigma_{AB}$  scade, iar la temperatura critică de disolvare a lichidelor unul într'altul, devine egală cu zero. Variația tensiunii superficiale cu temperatura, la temperaturi îndepărtate de punctul critic, se supune aceleiași relații liniare, ca și variația tensiunii superficiale la limita lichid-gaz [formula (74)].

La limita lichid-lichid sunt valabile aceleasi legi. Presiunea normală depinde de curbura suprafeței, din care cauză lichidul, care nu se găsește sub influența unei forțe exterioare orientate, de ex. forța gravitației, ia forma unei sfere. Nu este greu de obținut sfere destul de mari de anilină (cu diametrul de 2—3 cm) turnând anilină într'o soluție apoasă de sare de aceeași greutate specifică.

Soluțiilor li se pot aplica legile gazelor. De aceea picăturilor din fază lichidă li se poate aplica ecuația (76); unde mărimile  $p$  vor fi presiunile osmotice ale soluțiilor saturate asupra picăturii

1) G. Antonov, J. Chím. phys. 5, 372 (1907).

lor cu raze  $r_1$  și  $r_2$  în mediul lichid. Cum însă presiunea osmotică este proporțională cu concentrația corpului disolvat, ecuația (76) se poate scrie pentru limita lichid-lichid sub forma următoare:

$$\frac{RT}{M} \cdot \ln \frac{c_2}{c_1} = \frac{2\sigma}{\delta} \left( \frac{1}{r_2} - \frac{1}{r_1} \right), \quad (78)$$

unde  $c_1$  — solubilitatea (concentrația) picăturilor de rază  $r_2$ , iar  $c_2$  — solubilitatea picăturilor de rază  $r_1$ .

## 8. TENSIUNEA SUPERFICIALĂ LA LIMITA UNUI CORP SOLID

Tensiunea superficială are loc și la limita între faza solidă și faza gazoasă sau lichidă. Totuși, analogia cu suprafața lichidului se obține numai în cazul unui solid amorf, căci în multe cazuri starea amorfă poate fi considerată ca fiind starea unui lichid în suprarăcire. Corpurile solide se caracterizează printr-o structură cristalină, care introduce o mare complicație în noțiunea de tensiune superficială la limita fazelor solide. În acest caz trebuie avut în vedere faptul că tensiunea superficială a diferitelor fețe ale cristalului este diferită, în timp ce picătura de lichid constă din molecule. Cristalul în nodurile rețelei cristaline poate fi compus din atomi (ioni) sau radicali.

Ca o urmare a prezenței forțelor rețelei cristaline, cristalul care se găsește în echilibru nu are formă unei sfere, ci a unui poliedru.

Poliedrul cristalin are o formă echilibrată, în cazul când suma energiilor superficiale a tuturor fețelor este minimă:

$$\Sigma S\sigma = \text{min.}$$

Deduçția care se poate trage din egalitatea dată este următoarea: la o creștere liberă a cristalului, cel mai bine se desvoltă fețele, care au o tensiune superficială minimă. (principiul Gibbs-Curie<sup>1</sup>).

Inafara de semnele distinctive indicate, care caracterizează tensiunea superficială, cristalele au și însușiri comune cu însușirile suprafețelor lichide. Una din însușirile analoage cu ale lichidelor este dependența tensiunii de vaporii de mărimea cristalelor; astfel ecuația (76) se poate aplica și la sublimarea isotermică a prafurilor fine de ex. a mentolului, salolului și a.

1) G. V. Vulf, Cristalele, formarea aspectul și structura, 30-36 M. 1917.

2) P. Pavlov, Z. Phys. Ch. 68, 316 (1910); vezi răspunsul lui Meissner Z. anorg. Ch. 110, 169 (1920).

fost deasemenea observată coborîrea temperaturii de topire a pulberilor fine (Küster, Pavlov,<sup>1)</sup> în fine Ostwald<sup>2)</sup> și Hulett<sup>3)</sup>, folosind formula (78) și cercetând solubilitatea pulberilor fine în comparație cu solubilitatea obișnuită a cristalelor mari a determinat tensiunea superficială a gipsului și a sulfatului de bariu. Mai târziu, experiențele au fost repetate<sup>4)</sup> și complectate<sup>5)</sup>, au fost introduse anumite rectificări și calcule și observațiile anterioare s-au confirmat.

Corpurile sub formă de pulberi, cu grăunții având dimensiuni de zecimi de microni, posedă o solubilitate mult mărită. Folosind ecuația (78), se poate calcula tensiunea superficială a corpurilor solide. În tab. 20 sunt indicate datele luate din lucrările autorilor mai sus citați.

Solubilitatea diferită a particulelor sistemelor polidisperse are mare importanță. Din cauza solubilității inegale a particulelor, sistemul polidispers nu este în echilibru. Echilibrul va interveni numai atunci când sistemul polidispers va trece într'unul mai monodispers, ale cărui particule vor avea aceeași solubilitate și care fenomen va fi însoțit de dispariția particulelor mici.

Tabelă 20

**Dependența solubilității și tensiunii superficiale de mărimea particulei**

Sărurile	Parametrul transversal al particulei în $\mu$	Creșterea solubilității în %	$\sigma$ în dyne/cm	$t$ în $^{\circ}\text{C}$
Pb I <sub>2</sub> . . . . .	0,4	2	130	30
Ca SO <sub>4</sub> · 2H <sub>2</sub> O . . . . .	0,2—0,5	4—12	370	30
Ag <sub>2</sub> Cr O <sub>4</sub> . . . . .	0,3	10	575	26
Sr SO <sub>4</sub> . . . . .	0,25	26	1400	30
Ba SO <sub>4</sub> . . . . .	0,7	80	1250	25

1) P. Pavlov, Z. phys. Ch. 65, 1,545 (1900); 74, 562 (1910).

2) W. Ostwald, Z. phys. Ch. 34, 503 (1900).

3) G. Hulett, Z. phys. Ch. 37, 385 (1901); 47, 357 (1904); J. Alexander, Colloid Chemistry 1, 637, N. Y. 1926.

4) W. Jones, Z. Phys. Ch. 82, 448 (1913).

5) M. R. Dundon, J. Am. Ch. Soc. 45, 2479—2658 (1923). G. Glastone, J. Ch. Soc. London, 119/1689 (1922).

Prin marea solubilitate a particulelor puternic disperse se explică o serie de fenomene, ca de ex. solubilitatea considerabilă în acid clorhidric a oxizilor  $\text{Al}_2\text{O}_3$ ,  $\text{ZrO}_2$ ,  $\text{ThO}_2$ , obținere și în același mod, la o măruntire până la  $1\mu$  și complecta insolubilitate a bucățiilor mari<sup>1)</sup>, apoi — recristalizarea pulberilor fine expuse în aer umed<sup>2)</sup>.

## 9. METODELE DE DETERMINARE A TENSIUNII SUPERFICIALE

În prezent, valoarea tensiunii superficiale se determină cel mai des prin următoarele metode:

- a) ascensiune în capilar;
- b) cântărirea picăturilor;
- c) metoda cu „cadru”;
- d) presiunea maximă a bulii de gaz.

Dăm mai jos descrierea acestor metode.

**Metoda ascensiunii în capilar** este bazată pe bine cunoscuta proprietate a lichidului, care udă complet pereții capilarului de rază  $r$ , de a se ridica sub acțiunea forței (fig. 55)

$$f = 2 \pi r \sigma$$

și de a trage după sine o coloană  $h$  de lichid, de densitate  $\delta$ , a cărei greutate este egală (în dyne) cu

$$f_1 = \pi r^2 h \delta g$$

unde  $g$  este accelerația gravitației care trebuie introdusă pentru a exprima forța  $f_1$  în dyne, ca și forța  $f$ . Când  $f$  va fi egal cu  $f_1$  sistemul va fi în echilibru și vom avea

$$\sigma = \frac{rg}{2} h \delta$$

de unde, cunoscând  $r$ ,  $g$ ,  $\delta$  și măsurând  $h$  putem determina mărimea  $\sigma$ .

Ecuatia indicată se poate aplica lichidelor care udă complet pereții capilarului; în celelalte cazuri trebuie să se ia seama de un-

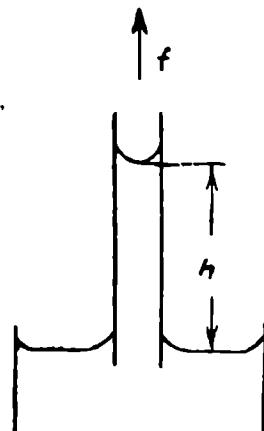


Fig. 55.- Schema ascensiunii capilare a lichidului.

1) Pradzus, Z. phys. Ch. 92, 227 (1917).

2) S. G. Lipsett, F. Johnson și O. Maass, J. Am. Ch. Soc. 49, 925, 1920 (1927).

ghiul de umectare, lucru despre care se va vorbi mai târziu. Prin această metodă se determină tensiunea superficială statică.

**Metoda cântăririi picăturii care se desprinde** se aplică foarte des; ea este bazată pe următorul fapt: dacă printr'un stalagmométru (o pipetă, care are un tub capilar, 1, cu un capăt şlefuit 2, fig. 56) se trece un lichid, atunci acesta, scurgându-se, formează picături, care atingând greutatea limită  $R$ , se vor desprinde. Greutatea picăturii care se desprinde poate fi considerată cu destulă exactitate proporțională cu  $\sigma$  adică:

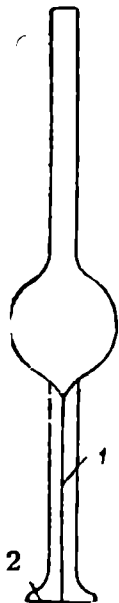


Fig. 56.  
Stalagmométrul.  
1. Tub capilar.  
2. Capăt şlefuit

$$P = K\sigma$$

Volumul  $v$  al lichidului în pipetă este cunoscut. Dacă se numără picăturile  $n$ , formate din acest volum atunci

$$P = \frac{v\delta}{n} g$$

sau

$$K\sigma = \frac{v\delta}{n} g$$

de unde

$$\sigma = \frac{v\delta}{n} \cdot \frac{g}{K}$$

O asemenea pipetă — stalagmometrul — a fost construită de Traube.

Pentru a elibera coeficientul  $\frac{g}{K}$  stalagmometrul se umple cu un lichid cu tensiunea superficială cunoscută  $\sigma_0$ , de ex. cu apă (vezi tab. 21), benzen și se determină numărul de picături  $n_0$  atunci

$$\sigma_0 = \frac{v\delta_0}{n_0} \cdot \frac{g}{K} \quad (81)$$

Impărțind ecuațiile (80) la (81) vom avea :

$$\frac{\sigma}{\sigma_0} = \frac{n_0}{n} \cdot \frac{\delta}{\delta_0}$$

sau

$$\sigma = \sigma_0 \cdot \frac{n_0}{n} \cdot \frac{\delta}{\delta_0} \quad (82)$$

**Metoda cu „cadru“** a fost introdusă în practică de Dunouy<sup>1)</sup>. Un inel de platină suspendat se pune în contact cu suprafața lichidului (fig. 57). Forța  $f$ , care trebuie aplicată firului pentru a desprinde inelul de lichid este egală cu  $\sigma$  înmulțit cu  $l$  — lungimea peliculei cu două fețe, lipită de inel și care se desprinde odată cu el, adică :

$$f = 2l\sigma$$

Lungimea peliculei este egală cu lungimea sărmei inelului (în cm); forța  $f$  se exprimă în dyne.

Prin metoda lui Dunouy a fost determinată tensiunea superficială a multor substanțe.

**Metoda presiunii maxime a bulelor** a fost elaborată de P. A. Rebinder<sup>2)</sup>. Metoda este bazată pe principiul ecuației lui Cantor<sup>3)</sup>.

$$\sigma = \frac{rp}{2} \quad (83)$$

unde  $r$  este raza capilarului,  $p$  = presiunea maximă în dyne pe  $\text{cm}^2$  la care se sparge bula de aer în lichidul care se studiază.

Dacă se ia un lichid cu  $\sigma_0$  cunoscut (vezi tab. 21) și se determină presiunea  $p_0$ , folosind acelaș capilar, vom obține :

$$\sigma_0 = \frac{rp_0}{2} \quad (84)$$

împărțind ecuația (83), la (84) vom avea :

$$\frac{\sigma}{\sigma_0} = \frac{r}{p_0}$$

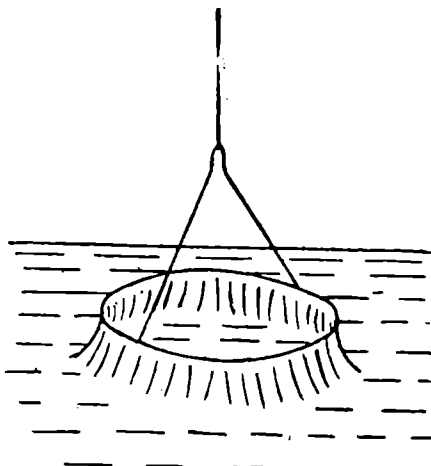


Fig. 57. Ruperea inelului

1) H. Holmes, Ghid de laborator pentru lucrări de chimie coloidală (traducere) M. 1935.

2) S. A. Voznesenschi și P. A. Rebinder, Ghid pentru lucrări de laborator de chimie fizică, 303 (1928).

3) M. Cantor, Ann. Phys. 47, 399 (1892).

sau

$$\sigma = \sigma_0 \cdot \frac{p}{p_0} \quad (85)$$

Astfel, măsurând  $p$  și  $p_0$  în înălțimile coloanelor de lichid în manometru și cunoscând  $\sigma_0$  putem găsi  $\sigma$ .

In loc de aer, se poate sufla în lichid prin capilar picături dintr'un alt lichid și, măsurând presiunea, se poate determina tensiunea superficială la limita lichid — lichid, ceea ce este foarte important de știut, de exemplu la studiul stabilității unei emulsii.

In același mod se poate folosi și stalagmometrul pentru determinarea tensiunii superficiale la limita lichid-lichid.

Prin ultimele trei metode se determină, în general, tensiunea superficială dinamică. Numai în acele cazuri când echilibrul stratului superficial se stabilăște repede, iar detasarea picăturii, înețului sau spargerea bulei se produce incet, valoarea obținută va corespunde tensiunii superficiale statice.

In afară de metodele enumerate mai există și multe altele.

*Tabelă 21*

**Tensiunea superficială a apăi la diferite temperaturi**

$t$ în $^{\circ}\text{C}$	$\sigma$ în dyne/cm	$t$ în $^{\circ}\text{C}$	$\sigma$ în dyne/cm
-5	$76,42 \pm 0,30$	20	$72,75 \pm 0,05$
+0	$75,64 \pm 0,20$	25	$71,97 \pm 0,05$
5	$74,92 \pm 0,10$	30	$71,18 \pm 0,05$
10	$74,22 \pm 0,05$	60	$66,18 \pm 0,05$
15	$73,49 \pm 0,05$	90	$60,75 \pm 0,20$
18	$73,05 \pm 0,05$	100	$58,85 \pm 0,20$

Tabela 21 conține valorile  $\sigma$  pentru apă, necesare la folosirea formulelor (82) și (85).

## XII. TENSIUNEA SUPERFICIALĂ ȘI ENERGIA SUPERFICIALĂ A SOLUȚIILOR. ADSORȚIA

In capitolul precedent s'au cercetat fenomenele superficiale care se petrec la suprafața de separație a substanțelor pure, individuale. In realitate, mediile de dispersiune sunt deobicei soluții de electroliți, de neelectroliți, sau soluții de ambele categorii. Prezența corporilor disolvate îngreunează considerabil fenomenul la suprafața de separație între faze. Capitolul de față este dedicat cercetării unor asemenea sisteme.

### 1. TENSIUNEA SUPERFICIALĂ

Dacă în locul unui lichid pur avem o soluție, în acest caz, la suprafața de separație apare o tensiune superficială  $\sigma$ , care va depinde nu numai de caracterul lichidului luat, ci și de caracterul și concentrația  $c$  a substanței disolvate. Expresia pentru energia liberă va fi analoagă cu (71):

$$A = S\sigma$$

Pentru un lichid pur anumit, mărimea  $A$  putea să varieze numai în funcție de variația mărimi  $S$ . La soluții, energia  $A$  vaiaza și în funcție de concentrația substanței disolvate. În acest caz pot exista trei posibilități:

1) Pe măsura creșterii concentrației substanței disolvate, tensiunea superficială se micșorează.

$$-\frac{d\sigma}{dc} > 0$$

2) Pe măsura micșorării concentrației substanței disolvate, tensiunea superficială se mărește.

$$-\frac{d\sigma}{dc} < 0$$

3) Substanța disolvată nu schimbă tensiunea superficială :

$$-\frac{d\sigma}{dc} = 0$$

Să cercetăm fenomenele legate de variația tensiunii superficiale. Variația tensiunii superficiale se produce din cauza acumulării substanței disolvate în stratul superficial, putându-se observa că această cantitate de substanță din stratul superficial nu este egală cu cantitatea de substanță într'un strat de soluție de aceeași grosime. Un asemenea fenomen se numește **adsorbție**.

Adsorbția poate fi **pozitivă** sau **negativă**, în funcție de faptul dacă în stratul superficial se produce o mărire sau o micșorare a cantității de substanță. Cantitatea de substanță adsorbită se determină după excesul de substanță în stratul superficial, raportat la  $1 \text{ cm}^2$  de suprafață și se notează cu litera  $Q$ . Este evident, că la o adsorbție pozitivă  $Q > 0$  iar la una negativă  $Q < 0$ .

După cum se știe din termodinamică, energia liberă  $A = S\sigma$  trebuie să se micșoreze în cazul unui proces isotermic ceeace la o valoare constantă a suprafeței  $S$  trebuie să ducă la o micșorare a valorii  $\sigma$ , iar aceasta este posibil la creșterea concentrației substanței disolvate. În consecință  $-\frac{d\sigma}{dc} > 0$ , ceeace duce la acumularea substanței în pelicula superficială, adică suntem în cazul unei adsorbții pozitive  $Q > 0$ . Dacă n'ar exista procesul de difuziune, substanța disolvată ar ocupa în întregime pelicula superficială și ar da o tensiune superficială minimă. Totuși, în soluții acționează forțele de difuziune, care tend să creeze o concentrație uniformă în întreaga masă a soluției. Aceste două procese duc, când temperatura este constantă, la **isoterma de adsorbție**.

Prima concluzie care se poate trage din cele expuse este următoarea: substanțele care se adsorb pozitiv, au o valoare mai mică a tensiunii superficiale decât solventul.

Substanțele care coboară tensiunea superficială, produc această acțiune chiar la o concentrație mică și se numesc **tensioactive**; pentru ele are loc următoarea condiție:

$$Q > 0$$

$$\text{și } -\frac{d\sigma}{dc} > 0$$

Pentru apă, care este un solvent cu tensiune superficială mare, foarte multe substanțe vor fi tensioactive, căci valoarea tensiunii lor superficiale este mai mică, decât a apei (vezi tab. 16 și 18 la pag. 126 și 129). De aceea, pentru apă, luată ca solvent, vor fi tensioactive foarte multe substanțe organice ca alcoolii, acizii și a.

In tabela 22 sunt date exemple de variație a tensiunii superficiale a apei în funcție de disolvarea unei substanțe tensioactive.

Tabela 22

**Tensiunea superficială a apei în funcție de prezența substanțelor tensioactive**

Soluțiile	$\sigma$ în dyne/cm	Soluțiile	$\sigma$ în dyne/cm
acetamida . . . . .	71,1	alcool propilic . . . . .	63,3
acid malic . . . . .	70,8	propil-amino . . . . .	62,4
acid formic . . . . .	70,1	acid butiric . . . . .	55,1
acid acetic . . . . .	68,9	acid isobutiric . . . . .	54,1
acetona . . . . .	66,6	acid iso valerianic . . . . .	43,1
acid propionic . . . . .	64,4		

**O b s e r v a t i e.** Tensiunea superficială a apei  $\sigma = 71,6$ ;  $t = 15^\circ$ ; concentrația substanței în soluție 0,125 molii (după Landoldt—Börnstein, 1927).

În fig. 58 cste dată o serie de isoterme  $\sigma = f(c)$  ale soluțiilor apoase de substanțe tensioactive. La cercetarea curbelor se vede că diferite substanțe schimbă diferit tensiunea superficială a soluției la creșterea concentrației lor. Cu cât substanța este mai tensioactivă, cu atât mai brusc coboară isoterma.

B. Șișcovchi<sup>1)</sup> a găsit empiric relația între tensiunea superficială  $\sigma_0$  a solventului, tensiunea superficială  $\sigma$  a soluției și concentrația ei  $c$ , sub forma următoarei ecuații:

$$\frac{\sigma_0 - \sigma}{\sigma_0} = B \ln \left( \frac{c}{A} + 1 \right) \quad (86)$$

sau

$$\frac{\sigma}{\sigma_0} = 1 - B \ln \left( \frac{c}{A} + 1 \right)$$

unde  $A$  și  $B$  sunt constante.

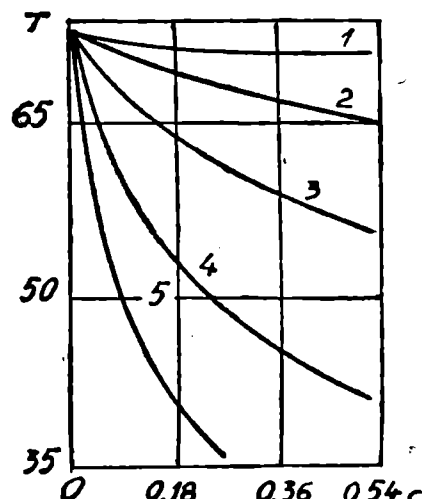


Fig. 58. Isothermele  $\sigma = f(c)$  ale soluțiilor apoase de substanțe tensioactive (acizi).

1. Acid formic; 2. acid acetic; 3. acid propionic; 4. acid butiric; 5. acid isovalerianic.

1) B. Șișcovchi, Z. phys. Ch. 64, 385 (1908).

In cazul când substanța disolvată mărește tensiunea superficială, energia  $A$  trebuie să crească; de aceea procesul acumulării substanței în stratul superficial nu va avea loc dela sine și va fi necesară prezența forțelor de disoluție, pentru ca în stratul superficial să treacă o cantitate oarecare de substanță, care este probabil mai mică, decât cea din straturile interioare. În acest caz avem adsorbție negativă, pentru care

$$Q < 0 \text{ și } -\frac{d\sigma}{dc} < 0$$

Ca exemple de substanțe care dă la suprafața apei adsorbție negativă vom cita multe săruri anorganice.

In tab. 23 sunt indicate date care caracterizează variația tensiunii superficiale a apei la disolvarea sărurilor anorganice.

Tabelă 23

**Influența sărurilor anorganice asupra σ apei  
(Concentrația sărurilor în %)**

NaCl ( $t=18^{\circ}$ )		H <sub>2</sub> SO <sub>4</sub> ( $t=18^{\circ}$ )		Na <sub>2</sub> SO <sub>4</sub> ( $t=18^{\circ}$ )		Na <sub>2</sub> CO <sub>3</sub> ( $t=18^{\circ}$ )	
%	σ	%	σ	%	σ	%	σ
0,00	72,41	0,00	72,82	0,00	72,47	0,00	74,12
7,65	74,80	6,57	72,88	4,91	73,79	6,60	76,52
13,68	76,93	12,70	73,48	12,73	75,52	10,50	76,98

Poate exista și al treilea caz, când substanța disolvată nu schimbă tensiunea superficială. În acest caz, energia  $A$  nu ia parte la proces, adsorbția lipsește și avem :

$$Q = 0 \text{ și } \frac{d\sigma}{dc} = 0$$

Un exemplu de substanță care influențează foarte puțin asupra variației tensiunii superficiale este zahărul, ceea ce se vede din datele indicate în tab. 24.

In cazul unui solvent cu o valoare mică pentru  $\sigma$ , majoritatea substanțelor, care se solvă în el, vor mări tensiunea lui specifică, adică vor fi superficial inactive, sau se vor adsorbi negativ; în apă, aceste substanțe au fost superficial active și s-au adsorbit pozitiv.

Tabelă 24

## Tensiunea superficială a soluțiilor de zahăr (temperatura 18°)

Conținutul de zahăr în soluție (in%)	$\sigma$ în dyne/cm.
0,00	72,28
8,71	72,76
10,73	73,13
23,63	73,47

## 2. ISOTERMA LUI GIBBS

Fizicianul-chimist american Gibbs (1876) a dat pentru isoterma de adsorbție <sup>1)</sup> următoarea ecuație:

$$Q = - \frac{c}{RT} \cdot \frac{d\sigma}{dc}, \quad (87)$$

unde  $c$  este concentrația substanței în moli,  $R = 8,313 \cdot 10^7$  ergi (constanta gazelor) și  $T$  — temperatură absolută, la care desurge procesul.

Ecuația dată determină starea de echilibru a sistemului, care se stabilește după un timp oarecare, măsurat deobicei în fracții de secundă. În unele cazuri, în prezența compușilor macromoleculari (de ex. a săpunului) stabilirea echilibrului durează câteva ore.

Din ecuația lui Gibbs se vede că procesul de adsorbție depinde în primul rând de mărimea  $\frac{d\sigma}{dc}$ , care este măsura pentru capacitatea substanței de a micșora energia superficială liberă.

Rebinder <sup>2)</sup> a propus ca această mărime să fie notată cu  $G$  în onoarea lui Gibbs și să fie denumită activitate superficială.

Ecuația dată a adsorbției este aplicabilă numai cazurilor ideale și soluțiilor diluate. În cazul când soluțiilor nu li se pot aplica ecuațiile gazelor perfecte (soluții concentrate) concentrația  $c$  trebuie înlocuită cu activitatea  $a$  a moleculelor溶解的 <sup>3)</sup>.

1) Deducerea formulei lui Gibbs vezi E. C. Raydin, Chimia fenomenelor superficiale (trad.) 43, M.—L. 1936.

2) R. A. Rebinder, J. R. F. H. O. 56, 530 (1925).

3) G. Lewis și M. Randall, Termodinamica chimică (trad.) L. 1936.

Intre activitate si concentrația obișnuită există relația :

$$a = cf,$$

unde  $a$  este activitatea și  $f$  – coeficientul de activitate, care variază cu concentrația  $c$ .

Pentru soluțiile diluate, care se supun legilor gazelor perfecte :

$$a = c \text{ și } f = 1$$

La aplicarea ecuației lui Gibbs trebuie avut înțotdeauna în vedere că ea dă dependența adsorbției de activitatea, iar nu de concentrația moleculelor.

Pentru a putea folosi ecuația (87) pentru calcularea valorii  $G$ , trebuie să cunoaștem concentrația și micșorarea tensiunii superficiale  $\Delta\sigma$  la o mărire a concentrației soluției cu  $\Delta c$ . Atunci, egalând

$$\frac{\Delta\sigma}{\Delta c} = \frac{d\sigma}{dc} = G$$

și cunoscând pe  $c$ , putem determina  $Q$  în moli. Determinarea valorii activității superficiale se poate face grafic, după următoarea metodă :

Se determină valorile  $\sigma$  pentru diferite concentrări. Se introduc aceste valori în diagramă și se obține o curbă (fig. 59). În punctele curbei  $\sigma = f(c)$ , corespunzătoare concentrărilor  $c_1, c_2, c_3, \dots$  se duc tangente care formează cu axa absciselor unghiurile  $\varphi_1, \varphi_2, \varphi_3, \dots$

Nu este greu de a determina acum

$$G = \frac{d\sigma}{dc} = \operatorname{tg}\varphi,$$

Valorile  $G_1, G_2, G_3, \dots$  corespunzătoare concentrărilor  $c_1, c_2, c_3, \dots$  se înmulțesc cu  $-\frac{c_1}{RT}, -\frac{c_2}{RT}, \dots$  și se obțin valorile  $Q_1, Q_2, Q_3, \dots$  Introducând în diagramă  $Q = f(c)$  vom obține curba isotermei de adsorbție a lui Gibbs (vezi fig. 59).

Isotermia de adsorbție posedă următoarea însușire : la concentrări mari  $Q$  ia o valoare limită  $Q_\infty$  și aceasta arată, că începând de la o concentrație oarecare nu se mai observă o mă-

tire ulterioară a adsorbției, ci se produce **saturația limită a suprafeței adsorbante**. În acest timp  $\frac{d\sigma}{dc} = 0$ . Să prezentăm ecuația (87) sub forma :

$$Q \frac{dc}{c} = - \frac{d\sigma}{RT}.$$

sau

$$Q d \ln c = - \frac{d\sigma}{RT}$$

de unde

$$Q = - \frac{l}{RT} \cdot \frac{d\sigma}{d \ln c} \quad (88)$$

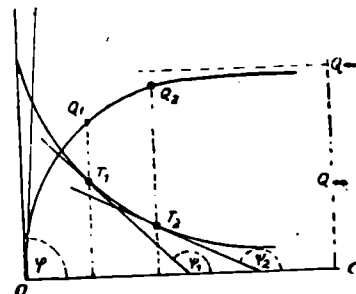


Fig. 59. Isoterma de adsorbție a lui Gibbs  $Q=f(c)$ .

Ecuatia obținută arată că felul în care se exprimă mărimea  $c$  nu are importanță pentru  $Q$ , care este întotdeauna exprimat în molecule-gram, dacă  $R$  se raportă la molecule-gram. Modul în care este exprimată concentrația soluției date este astfel complet indiferent. De aici rezultă concluzia : având o concentrație necunoscută, se poate determina isoterma de adsorbție a substanței luată.

Să scriem ecuația lui Gibbs sub forma :

$$Q = - \frac{n \Delta c}{RT} \cdot \frac{\Delta \sigma}{\Delta c}$$

unde

$$n \Delta c = c$$

de unde

$$Q = - \frac{n}{RT} \cdot \Delta \sigma \quad (89)$$

Să presupunem că avem de cercetat o soluție de concentrație necunoscută ; trebuie găsită isoterma de adsorbție a substanței disolvate. Luăm 1 cm<sup>3</sup> din această soluție și îi adăugăm 9 cm<sup>3</sup> apă, apoi luăm 2 cm<sup>3</sup> de soluție și îi adăugăm la 8 cm<sup>3</sup> apă, 3 cm<sup>3</sup> — 7 cm<sup>3</sup>, 4 cm<sup>3</sup> — 6 cm<sup>3</sup> și.m.d. Vom obține 10 soluții diferite, la care concentrațiile variază cu  $\Delta c$  ; determinăm acum tensiunile lor superficiale. Obținem un sir de valori

$\sigma_1, \sigma_2, \sigma_3, \dots$ . Făcând scăderile  $\sigma_1 - \sigma_2, \sigma_2 - \sigma_3, \dots$  găsim  $\Delta\sigma$ . În cazul nostru  $n = 10$ . Astfel,  $n$  este cunoscut,  $\Delta\sigma$  este deasemenea cunoscut din experiență; de aici, folosind ecuația (89), determinăm mărimea  $Q$  în moli. Determinări după formula (89) au fost făcute de N. Beni<sup>1)</sup> asupra sucului de difuziune obținut din sfecla de zahăr uscată.

La rezolvarea problemelor practice se întâmplă foarte des să avem de a face cu soluțiile unor substanțe necunoscute și de concentrație necunoscută. Prin metoda noastră este ușor de studiat adsorbția acestor substanțe, folosind formula (89) transformată.

Ecuația lui Gibbs a fost supusă unui control experimental direct<sup>2)</sup>. În acest scop s'a suflat încet aer printr'o soluție. Fenomenul de adsorbție există la suprafața fiecărei bule formate, substanța adsorbită în acest fel era transportată de bulă în partea de sus a aparatului, ceeace avea ca rezultat o mărire a concentrației în acest loc. Măsurând diametrul bulelor și numărul lor, se calculează suprafața, iar după creșterea concentrației soluției în partea superioară a aparatului se determină cantitatea de substanță adsorbită pe suprafața bulelor, de unde se calculează valoarea  $Q$ .

Activitatea superficială crește mult în seriiile omoloage ale compușilor organici, ceeace se vede din tabela 25, unde sunt date valorile lui  $G$ .

Tabela 25:

## Activitatea superficială în serie omoloagă a acizilor grași

Acizii	Formula	$G$	$\frac{\Delta\sigma_n + 1}{\Delta\sigma_n}$	$B$	$A$
propionic	$C_2H_5COOH$	85	3,41	0,132	0,1120
<i>n</i> butiric	$C_3H_7COOH$	290	3,41	0,179	0,0510
<i>n</i> valerianic	$C_4H_9COOH$	890	3,07	0,179	0,0146
<i>n</i> capronic	$C_6H_{11}COOH$	2400	2,70	0,179	0,0143
<i>n</i> oenantic	$C_8H_{13}COOH$	7600	3,10	0,258	0,0018

1) A. Dumanschi și N. E. Beni. Zap. sah. prom. Chiev, 13, Nr. 1, 79 (1931).

2) F. G. Donnan a. Backer, Proc. Roy. Soc. L [A], 85, 557 (1911).

Dacă s-ar calcula acum creșterea activității la doi omologi vecini -- ai primului, conținând  $n$  atomi de carbon și ai celui de al doilea, conținând  $n + 1$  atomi de carbon, determinându-se adică valoarea  $\frac{G_{n+1}}{G_n}$ , egală cu  $\frac{\Delta\sigma_n + 1}{\Delta\sigma_n}$  s-ar obține valori care diferă puțin una de alta și care sunt egale în medie cu 3,14; ele sunt situate în coloana 4-a a tabelei 25. De aici rezultă că odată cu creșterea în seria omoloagă a părții hidrocarbonate cu  $\text{CH}_2$ , activitatea crește de 3,14 ori pentru fiecare grupă de  $\text{CH}_2$  adăugată. Această regularitate a fost observată de Duclaux<sup>1)</sup>, iar mai târziu de Traube<sup>2)</sup> și poartă numele de regula lui Traube-Duclaux.

Cresterea activității acizilor în serie omoloagă, influențează curbele  $\sigma = f(c)$  și  $Q = f(c)$ , ceea ce se vede din figurile 58 și 60, unde odată cu creșterea concentrației, scăderea lui  $\sigma$  decurge cel mai încet la acidul formic și cel mai repede la acidul isovalerianic. Celelalte acizi ocupă poziții intermediare și acizii se dispun în următoarele ordine: formic, acetic, propionic, butiric, isovalerianic.

Dintre lichidele obișnuite, cea mai mare tensiune superficială are apă, iar cea mai mică — compușii organici. Tensiuni superficiale deosebit de mici se observă la hidrocarburi.

La amestecarea a două lichide miscibile, unul cu tensiunea superficială mare, iar celălalt având tensiunea superficială mică, tensiunea superficială a amestecului variază în limitele tensiunilor superficiale ale lichidelor luate, iar adăugarea unei mici cantități de substanță tensioactivă (alcool în apă) coboară puțernic mărimea  $\sigma$ . Mărirea ulterioară a concentrației substanței tensioactive produce însă o variație neglijabilă  $\sigma$  a soluției. Do-

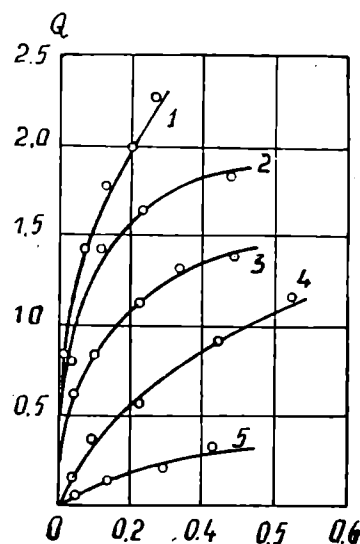


Fig. 60. Isotermele  $Q = f(c)$  pentru seria omoloagă de acizi, 1. Valerianic; 2. butiric; 3. propionic; 4. acetic; 5. formic.

1) J. Duclaux, Ann. chim. phys. (5), 13, 76 (1878).

2) J. Traube, Ber. 17, 2, 94 (1884) Lieb. Ann. 265, 27 (1891).

meniul concentrațiilor, care coboară puternic tensiunea superficială a soluțiilor, se numește **domeniu activ**.

Grăție acestui fapt, în practică se folosește destul de des determinarea tensiunii superficiale în domeniul activ, pentru găsirea cantităților de substanțe organice, dissolvate în soluțiile apoașe<sup>1)</sup>. După cum arată curba, această metodă este foarte precisă la concentrații mici și puțin precisă la concentrații mari.

Dacă luăm însă ca solvent o substanță cu tensiune superficială mică, de exemplu alcoolul, și-i vom adăuga o substanță cu o mare tensiune superficială (apa) se va produce o slabă creștere a lui  $\sigma$  (**domeniu inactiv**).

Cele două capete ale curbei se vor întâlni, dând o curbă comună  $\sigma = f(c)$ .

Dacă pe baza isotermei  $\sigma = f(c)$  vom trasa curba de adsorbție, vom obține în domeniul activ o creștere rapidă a lui  $Q$ , iar în cel neactiv — o coborîre înceată a lui  $Q$ ; împreunăduse, cele două părți dau o curbă în formă de  $S$  — curba de adsorbție la limita lichid-gaz (fig. 61).

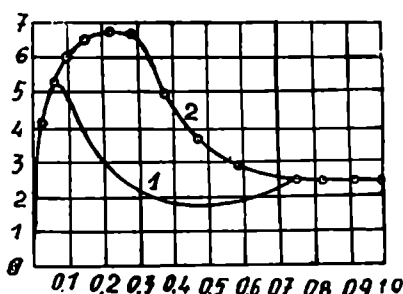


Fig. 61. Isotermele adsorbției unui amestec de apă și alcool.

In acest caz, concentrația și activitatea moleculelor sunt egale. La concentrații mari se observă o divergență puternică. Această divergență poate fi o sursă de erori. Cercetarea adsorbției la sistemul apă-alcool, în toate combinațiile posibile, începând dela apă pură și terminând cu alcoolul pur, arată că isoterma de adsorbție trece printr'un maxim.

Inafara de forma obișnuită a curbei  $\sigma = f(c)$ , indicată în fig. 58, mai pot exista următoarele cazuri:

1. Curba  $\sigma = f(c)$  este o dreaptă (amestecul de benzen și toluen).

1) Metode fizico-chimice moderne de analiză chimică (sub redacția lui S. A. Sucariev) 1, 314 (1932).

2) Schofield și Rideal, Proc. Roy. Soc. L. A. 109, 61 (1925).

Asemenea valori ale adsorbției la suprafața soluțiilor de alcool în apă sunt date de Schofield și Rideal<sup>2)</sup>.

In fig. 61, valoarea  $Q$  se calculează după concentrația (curba 1-a) și după activitatea (curba 2-a) a moleculelor de alcool. Activitatea este determinată după presiunea de vapori a soluțiilor. Vedem că atunci când concentrația alcoolului în apă, sau a apel în alcool, este mică, curbele coincid.

2. Curba  $\sigma = f(c)$  are un minimum (amestecul de toluen și xilen).

3. Curba are un maxim (amestecul de apă și acid sulfuric).

Despre dependența mărimii  $\sigma$  de temperatură, la lichidele pure, s'a discutat mai sus. S'a stabilit o relație liniară între aceste variabile [ecuația (74)]. În cazul soluțiilor nu există o asemenea dependență simplă de temperatură, ci una mult mai complicată<sup>1)</sup>.

Complicarea fenomenului se poate explica prin faptul că aici se suprapun două fenomene: scăderea tensiunii superficiale și scăderea adsorbției la creșterea temperaturii. Scăderea adsorbției poate provoca creșterea tensiunii superficiale odată cu creșterea temperaturii.

### 3. STRUCTURA STRATULUI DE ADSORBȚIE

Cercetând curba de adsorbție (vezi fig. 59), am ajuns la concluzia că  $Q$  tindă către o oarecare valoare limită  $Q_\infty$ .

Aceasta a fost dovedit de Langmuir (1917).

Nu este greu, cunoscând ecuația lui Săscovschi (86) de analizat ecuația lui Gibbs și de calculat valoarea limită  $Q_\infty$ . Pentru aceasta vom diferenția ecuația lui Săscovschi

$$\frac{\sigma_0 - \sigma}{\sigma_0} = B \ln \left( \frac{c}{A} + 1 \right) = B \ln \left( \frac{c + A}{A} \right)$$

și vom obține:

$$-\frac{d\sigma}{\sigma_0} = B d \ln \frac{c + A}{A} \text{ sau } -\frac{d\sigma}{\sigma_0} = B \frac{dc}{c + A} \quad (90)$$

La concentrațiile mari, când  $A > c$ , (de ex. la alcoolul propilic  $A = 0,151$ , la acidul butiric  $A = 0,045$ ), valoarea  $A$  se poate neglijă. Atunci vom avea:

$$-\frac{d\sigma}{\sigma_0} = B \frac{dc}{c} \text{ sau } -\frac{d\sigma}{dc} = B \frac{\sigma_0}{c}.$$

1) P. A. Rebiner, J. P. F. 3, 151 (1924); Z. phys. Ch. 111, 917 (1914). Bloch. Z., 887, 31 (1927).

Înlocuind  $-\frac{d\sigma}{dc}$  în ecuația (87), obținem :

$$Q = \frac{B\sigma_0}{RT}.$$

În ecuația obținută  $R, B, \sigma_0$  și  $T$  sunt mărimi constante; astfel, la o concentrație  $c$  mare,  $Q$  tinde într'adevăr către o valoare limită egală cu

$$Q_\infty = \frac{B\sigma_0}{RT}. \quad (91)$$

Pentru diferite substanțe concentrația  $c$ , la care  $Q = Q_\infty$  este diferită și anume — cu cât  $A$  este mai mic, cu atât concentrația trebuie să fie mai mică. Aceasta se vede din faptul că, pentru deducția noastră trebuie ca  $\frac{c}{A}$  să fie mult mai mare ca unitatea, ceeace este posibil, sau când  $c$  este foarte mare sau  $A$  foarte mic. În tab. 25 sunt date valorile lui  $A$ . Din datele tabelei se vede că într'o serie omoloagă, odată cu creșterea radicalului hidrocarbonat, crește și capacitatea substanței de a satura suprafața la o concentrație mai mică a soluției, adică cu cât  $A$  este mai mic (ceeace este în legătură cu structura moleculei) cu atât substanța se adsoarbe mai puternic și este mai tensioactivă. Valoarea inversă a lui  $A$ ,  $\frac{1}{A} = a$ , se numește activitatea capilară specifică; într'o serie omoloagă ea variază paralel cu variația lui  $G = \frac{d\sigma}{dc}$  — valoarea activității superficiale. Folosind valoarea  $a = \frac{1}{A}$  (tab. 26) se poate formula regula lui Traube-Duclaux în felul următor: raportul constantelor activității capilare a doi membri vecini dintr'o serie omoloagă este o valoare constantă, egală în medie (pentru acizi) cu 3,1.

Tabelă 26

## Activitatea capilară specifică a câtorva acizi

acizii	$a = \frac{1}{A}$	$\frac{a_{n+1}}{a_n}$	acizii	$a = \frac{1}{A}$	$\frac{a_{n+1}}{a_n}$
acetic . . . .	2,84	3,9	valerianic . .	68,5	3,5
propionic . . . .	8,93	3,1	capronic . . . .	233,0	3,4
butiric . . . .	19,6	2,2	oenantic . . . .	555,0	2,4

Spre deosebire de mărimea  $A$  care depinde de structura moleculei, mărimea  $B$  depinde foarte puțin de natura substanței.

B. Șișcovschi a găsit în experiențele sale<sup>1)</sup> că  $B = 0,179$  și înlocuind această valoare în ecuația (91) vom avea:

$$Q_{\infty} = \frac{0,179 \cdot 72}{8,313 \cdot 10^7 \cdot 290} = 5,3 \cdot 10^{-10} \text{ moli/cm}^2.$$

Dacă însă luăm valoarea, determinată din experiențele lui Traube<sup>2)</sup> ( $B = 0,125$  pentru acidul acetic) atunci

$$Q_{\infty} = 3,8 \cdot 10^{-10} \text{ moli/cm}^2$$

Inmulțind  $Q_{\infty}$  cu numărul lui Avogadro  $N = 6,06 \cdot 10^{23}$ , obținem :

$$Q_{\infty} N = 5,3 \cdot 10^{-10} \cdot 6,06 \cdot 10^{23} = 32 \cdot 10^{13},$$

Ceace reprezintă numărul real de molecule, conținute într'un  $\text{cm}^2$ . Se poate determina grosimea aproximativă a stratului de adsorbție saturat, cunoscând  $Q_{\infty}$  și densitatea acidului acetic în stare lichidă (1,05).

Calculul dă pentru această grosime valoarea  $2 \cdot 10^{-8} \text{ cm.}$ ; astfel, stratul de adsorbție saturat este monomolecular, cu molecule dispuse foarte compact. Acest lucru a fost cercetat amănușit de Langmuir. Cum pe suprafața lichidului se găsește un strat monomolecular, nu este greu de calculat pentru stratul saturat suprafață ocupată de o singură molecule. Dacă toate moleculele sunt dispuse în stratul superficial lipite una de alta, atunci suprafață ocupată este egală cu :

$$\frac{1}{Q_{\infty} N} = \frac{1}{32 \cdot 10^{13}} = 31 \cdot 10^{-16} \text{ cm}^2.$$

Se știe că mărimele  $B$  și  $Q_{\infty}$  sunt aceleași pentru toți acizii organici monobazici. În consecință moleculele tuturor acizilor (indiferent de lungimea radicalului hidrocarbonat) ocupă în stratul saturat una și aceeași suprafață, ceace poate avea loc când moleculele acidului este îndreptată cu același radical, comun la toți acizii (în cazul nostru COOH) în direcția suprafeței apoase. Se obține o orientare a moleculelor, anăoagă celei indicate în

1) Dacă ecuația (90) se scrie în logaritmi zecimali și nu naturali, atunci  $B = 0,411$ .

2) J. Traube, Lieb. Ann. 265, 27 (1891).

fig. 62. O asemenea orientare, în care moleculele sunt lipsite de mișcări libere, amintește structura unui corp solid, situat nu în spațiu, ci pe o suprafață. De aici este ușor de dedus că pelicula saturată de adsorbție poate reprezenta un **corp solid bidimensional — o peliculă solidă**.

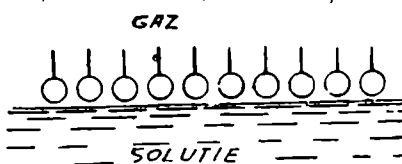


Fig. 62. Orientarea moleculelor în stratul superficial saturat.

covschi (90) sub formă diferențială:

$$-\frac{d\sigma}{dc} = \frac{B\sigma_0}{c+A}$$

și înlocuind  $\frac{d\sigma}{dc}$  în ecuația lui Gibbs (87); obținem :

$$Q = \frac{B\sigma_0}{RT} \cdot \frac{c}{c+A} \quad (92)$$

La concentrații foarte mici valoarea  $c$  se poate neglijă în expresia  $(c + A)$ . În acest caz ecuația (92) ia forma :

$$Q = \frac{c}{RT} \cdot \frac{B\sigma_0}{A}$$

adică, isoterma lui Gibbs dă la concentrații  $c$  mici o relație liniară între  $Q$  și  $c$ , dat fiind că  $R, T, B, A$  și  $\sigma_0$  sunt valori constante și reprezintă în ecuația dreptei  $\operatorname{tg} \varphi$ , unde  $\varphi$  este unghiul de pantă cu axa absciselor. De aceea se poate scrie:

$$Q = c \operatorname{tg} \varphi \text{ și } \operatorname{tg} \varphi = \frac{B\sigma_0}{RT} \cdot \frac{1}{A}.$$

La cercetarea curbei isotermei de adsorbție a lui Gibbs (vezi fig. 59), devine clar că tangenta la curbă în punctul  $O$  trebuie să coincidă cu partea dela început a curbei pentru cazul concentrațiilor mici ; pantă acestei tangente se măsoară prin unghiul  $\varphi$ .

Cu cât substanța este mai capilar activă, cu atât  $\frac{1}{A}$  este mai mare și este mai mare și unghiul  $\varphi$ ; aceasta se vede foarte bine pe curbelor reprezentate în fig. 60, unde se compară capacitatea de adsorbție a acizilor organici.

Vom încerca să determinăm în ce stare se găsesc moleculele într-o peliculă de adsorbție foarte nesaturată și foarte rară. Din ecuația (90) rezultă că la concentrații foarte mici c

$$\frac{d\sigma}{dc} = \text{const.}$$

[vezi ecuația lui Gibbs (87)] și are loc o proporționalitate directă între tensiunea superficială și concentrație. Înțând seamă că la o concentrație inițială  $c=0$  ii corespunde o tensiune superficială  $\sigma_0$  a solventului, atunci :

$$-\frac{d\sigma}{dc} = \frac{\sigma_0 - \sigma}{c} = \text{const} = \frac{F}{c}.$$

Mărimea  $(\sigma_0 - \sigma)$  arată ce forță  $F$  trebuie aplicată unui  $\text{cm}^2$  al stratului superficial pentru a împiedica trecerea moleculelor din stratul de adsorbție în solventul pur. La tensiunea superficială mare a apei  $\sigma_0 > \sigma$ , forța  $F$  trebuie să împărăște substanța pe toată suprafața (fig. 63). Înlocuind în ecuația lui Gibbs (87) valoarea găsită :

$$-\frac{d\sigma}{dc} = \frac{F}{c}$$

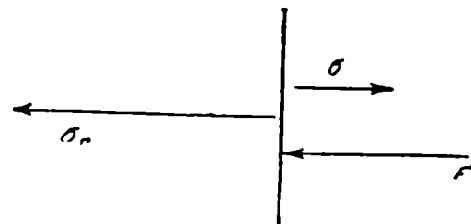
vom avea :

$$Q = \frac{c}{RT} \cdot \frac{F}{c} = \frac{F}{RT},$$

sau

$$F = RT \cdot Q$$

Fig. 63. – Dependența forței  $F$  de diferența tensiunilor superficiale.



Cum  $Q$  se exprimă în  $\text{moli}/\text{cm}^2$ ,  $\frac{1}{Q}$  este egal cu suprafață ocupată de o moleculă-gram. Dacă fiecare moleculă ocupă o suprafață de  $s \text{ cm}^2$ , atunci o moleculă-gram ocupă o suprafață egală cu

$$sN = \frac{1}{Q}.$$

Inlocuind valoarea găsită  $\frac{1}{Q}$  în formula (94) avem

$$F \cdot sN = RT \quad (95)$$

Această ecuație este analoagă ecuației lui Clapeyron pentru gaze. Dacă considerăm că în stratul de adsorbție moleculele se găsesc departe una de alta (strat de adsorbție rărit), asemănător moleculelor gazoase, atunci presiunea  $F$  este presiunea forței superficiale  $F = \Delta\sigma$ , prafată unei molecule-gram.

În cazul unei pelicule de adsorbție saturate, structura ei este analoagă unui **corp solid bidimensional**, când moleculele sunt imobile, și unui **corp lichid bidimensional**, când moleculele sunt mobile. În cazul unei pelicule puternic nesaturate structura ei este analoagă unei soluții **bidimensionale A** sau unui gaz **B** (fig. 64).

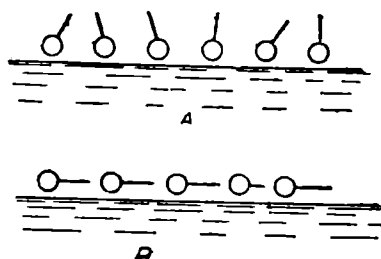


Fig. 64. – Orientarea moleculelor  
dipolice într'un strat  
superficial nesaturat.  
A- soluția bidimensională; B- gaz.

Cercetările prealabile și stabilirea bazelor structurii ei (monomolecularitatea) au fost efectuate de Rayleigh<sup>2)</sup> și Agnes Pockels<sup>3)</sup> (1890-1891) pe peliculele de ulei. Apoi, începând din anul 1904, au apărut pe rând mariile lucrări ale lui Devaux<sup>4)</sup>, Marcellin<sup>5)</sup>; în sfârșit în ultimul timp această problemă a fost minuțios cercetată de Langmuir<sup>6)</sup>, Adam<sup>7)</sup>, Harkins<sup>8)</sup> și alții.

Trillat a obținut o lauegramă pentru pelicula de adsorbție a acidului palmitic pe apă. Lauegrama a arătat o dispoziție orientată a moleculelor, analoagă structurii unui cristal dimer.

Prelucrarea matematică a concepției asupra peliculei superficiale, considerată ca solid bidimensional, gaz sau soluție și concepția însăși o datorăm lui Langmuir<sup>1)</sup>.

1) Langmuir, J. Am. Ch. Soc. 39, 1883 (1917).

2) J. W. Rayleigh, Phil. Mag. (5), 30, 386 (1890); 48, 331 (1899).

3) A. Pockels, Naturwiss. 43, 437 (1891); K. Z. 8, 1 (1932).

4) H. Devaux, K. Z. 58, 129, 260 (1932); Soluții superficiale (trad.)

M. — L. 1936.

5) A. Marcellin, Ann. Phys. 4, 459 (1925).

6) I. Langmuir, Coll. Symp. Monogr. 3, 48 (1925).

7) N. K. Adam, Progr. chimiei (trad.) 2, 565 (1933); K. Z. 57, 125 (1931), The Physics and Chemistry of Surfaces, Oxford, 1930.

8) W. Harkins, J. Alexander, Colloid Chemistry, 1, 192, N. Y. 1926.

#### 4. PELICULA SUPERFICIALĂ

Să cercetăm acum unele experiențe, care dovedesc justitatea presupunerilor teoretice expuse și care permit o înțelegere mai completă a structurii peliculei superficiale.

Se poate dovedi experimental existența forței  $F = \sigma_0 - \sigma$ . Vom cita pentru aceasta experiența lui Devaùx. Dintr-o foaie subțire de aluminiu sau staniu tăiem o placă, a cărei formă să se asemenea cu cea a unei bârți. La mijlocul ei se fixează vertical cu ceară un pui (catarg), iar de acesta un steguleț ușor de hârtie (fig. 65). În unghiul bârcli punem o bucațică de camfor și apucând bârcuța de catarg cu steguleț o punem cu atenție pe suprafața apei într'o ceașcă mare. Barca va începe să se miște îndată în direcția săgeții indicată în figură. Îndoind placă, se poate face ca barca să se rotească în ceașcă. Mișcarea bârclii se produce grație forței  $F$ . Barca se află pe suprafața apei pure cu  $\sigma_0 = 72$ . Bucăticia de camfor (substanță tensioactivă) formează în spatele cărmei un strat de adsorbție cu  $\sigma < \sigma_0$ . De aceea, la cărma bârclii vor fi aplicate în direcții opuse forțele:  $\sigma_0$  — tensiunea superficială a apei pure, pe care se găsește barca și  $\sigma$  — tensiunea superficială a stratului de adsorbție, care se află în spatele cărmei; rezultanta acestei forțe  $F = \sigma_0 - \sigma$  este îndreptată în direcția apei pure și confreră bârclii mișcare. Din acest motiv se produce mișcarea prafului pe apă, la atingerea cu ea a unei picături de acid butiric.

Este ușor de demonstrat formarea stratului de adsorbție și de arătat că proprietățile lui diferă de stratul superficial al lichidului pur. Pe suprafața apei care se găsește într'un cristalizor, se presără uniform praf de licopodiu sau de ta'c. Praful, neumectându-se cu apă, plutește și ocupă toată suprafața. Se udă ușor capătul unei baghete de sticlă cu acid oleic și se atinge cu ea suprafața apei prăfuite din cristalizator. De la locul de atingere praful se imprăștie instantaneu în toate părțile, lăsând o suprafață liberă, ocupată de stratul de adsorbție al acidului oleic pe apă.

Langmuir<sup>1)</sup> a construit un aparat (balanța lui Langmuir), care servește pentru determinarea forței  $F = \sigma_0 - \sigma = \Delta\sigma$ .

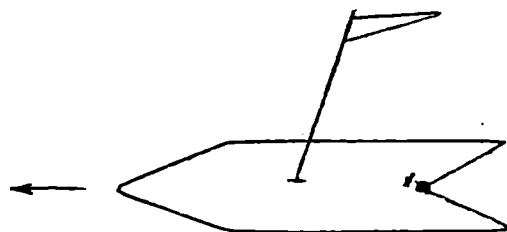


Fig. 65. — Experiența lui Devaùx.  
1. bucata de camfor.

1) I. Langmuir, J. Am. Ch. Soc. 39, 186. (1917). N. Adam, Proc. Roy. Soc. London 101, 452 (1922).

Această balanță (fig. 66) este construită astfel: un recipient drept-unghiular, umplut cu apă, are o scală 1 pentru măsurarea suprafeței apei și o barieră 2, acoperită cu parafină și cufundată în apă. Bariera 2 se poate mișca de-a-lungul băii, schimbându-se astfel mărimea suprafeței. De partea cealaltă a băii se găsește un plutitor 3. El este fixat de rama 4-5, susținută de prisma 6. Această prismă se sprijină liber de un stativ imobil 7. În figura 66 sunt marcate și numerele 8, care indică talerul.

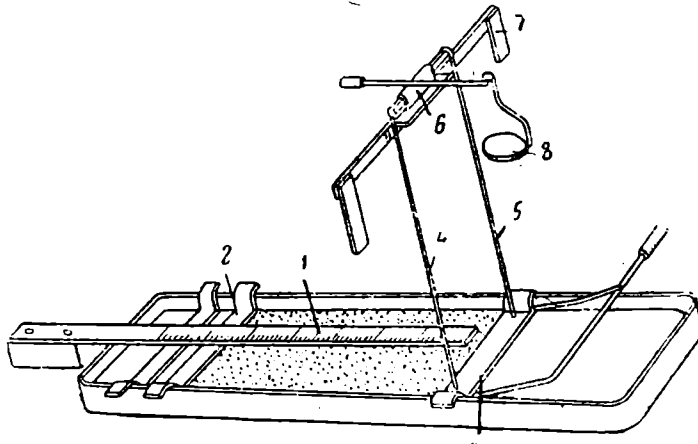


Fig. 66. — Balanță lui Langmuir-Adam.  
1. scală; 2. bariera; 3. plutitor; 4, 5, cadrul;  
7. stativ imobil; 8. taler.

Pe suprafața între barieră și plutitorul 3 se introduce o picătură de substanță greu solubilă în apă, astfel încât să fie complet adsorbită pe suprafață. Atunci tensiunea superficială produce un exces de presiune  $\sigma_0 - \sigma$  asupra plutitorului și acesta se înclină spre apă (la dreapta). Pentru readucerea lui în poziția inițială pe talerul 8, legat de cadrul 4-5 se pune o greutate care corespunde mărimii suprapresiunii  $F$ . Mișcând bariera 2, facem să varieze mărimea suprafeței  $a$  a lechidului și, readucând cu ajutorul greutății plutitorul 3 în poziția inițială determinăm relația între mărimea suprafeței și presiune. Cunoscând cantitatea de substanță introdusă se poate determina  $Q$ , adică numărul de molecule-gram dintr'un  $\text{cm}^2$ , iar de aici și mărimile  $s$  și  $sN$  din ecuație (95).

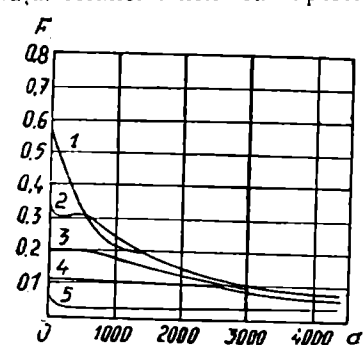


Fig. 67. — Relația între suprafața pe care sunt distribuite moleculele adsorbite și excesul de presiune superficială pentru un sir de acizi.  
1. laurinic; 2. tridecanic; 3. mirisanic; 4. pentadecanic; 5. palmitic.

Balanța lui Langmuir permite să se măreteze cu o precizie de p. 1. 0,5 dyne. N. Adam<sup>1)</sup> a schimbat întrucâtva această balanță și a ajuns până la o precizie de 0,01 dyne.

1) N. K. Adam și F. Jessop, Proc. Roy. Soc. L. (A), 110, 421 (1926); descrierea balanței vezi The Physics and Chemistry of surfaces 35. Oxford, 1930.

In fig. 67 sunt date curbele care caracterizează relația între suprafața  $a$  pe care sunt împrăștiate moleculele adsorbite și tensiunea superficială excedentă  $F = \Delta\sigma$  pentru următorii acizi: laurinic  $C_{11}H_{23}CO_2H$ ; tridecanic  $C_{12}H_{25}CO_2H$ ; miristinic  $C_{14}H_{27}CO_2H$ ; pentadecanic  $C_{14}H_{29}CO_2H$ ; palmitic  $C_{15}H_{31}CO_2H$ . Isoterma presiune  $F$  — suprafață  $a$  are pentru acidul laurinic forma unei hiperbole, aşa cum o și cere ecuația de mai sus (95).

Isofermele celorlalți acizi au o parte hiperbolică numai la diluții foarte mari (când unei molecule îi revine o mare parte din suprafață) și supra-presiuni mici. La micșorarea suprafeței se observă o inflexiune. În acest caz isoterma merge paralel cu axa absciselor, adică ne găsim într-o asemenea situație a sistemului, când se poate varia suprafața ocupată de o moleculă, fără ca la aceasta să se schimbe presiunea gazului bidimensional (vapori), ceea ce corespunde stării vaporilor care satură un spațiu dat. Această presiune constantă a vaporilor bidimensionali comprimat variază în funcție de valoarea greutății moleculare a acizilor (curbele 2, 3, 4 și 5 din fig. 67).

Cum concentrația acizilor pe suprafața  $a$  este constantă, micșorarea valorii  $a$  va corespunde creșterii concentrației și invers; de aceea, curbele reprezentate în fig. 67 dau relația între supratensiune și concentrație în stratul superficial. La concentrații mari, când mărimea presiunii  $F = \Delta\sigma$  nu depinde de mărimea suprafeței  $a$ , are loc un caz analog cazului vaporilor saturati.

Tabelă 27

**Presiunea superficială excesivă și  
greutatea moleculară**

Acidul	Numărul atomilor de hidrocarburi din foi nula radicalului	Presiunea „vaporilor saturati“ a gazului binar, în dyne
Tridecanic . . .	12	0,30
Miristinic . . .	13	0,19
Pentadecanic . .	14	0,11
Palmitic . . . .	15	0,04

Din cercetările indicate se poate vedea că, în realitate, moleculele adsorbite se comportă pe suprafața lichidului, asemănător moleculelor unui gaz sau unor vapori, care umplie spațiu. Asemănător faptului că presiunea vaporilor saturati nu variază cu micșorarea volumului lor, tot asa și în cazul nostru, partea orizontală o curbei indică existența stării de „vapori saturati” la moleculele adsorbite odată cu micșorarea suprafeței  $a$ . Această presiune de vapori saturati este diferită pentru diferiți acizi: ea este cu atât mai mică cu cât este mai lungă catena hidrocarbonată a acidului, după cum se vede din tab. 27.

Pelicula lichidă se poate deosebi de cea solidă după mobilitatea ei. Pelicula lichidă este foarte mobilă; firele de praf presă-

rate pe dânsa se mișcă ușor, ceeace nu se poate spune despre o peliculă solidă. La o mărire a suprafeței, pelicula lichidă se întinde ușor și moleculele ocupă o suprafață mare. Dacă pelicula este solidă, ea se întinde greu și se rupe în bucăți.

Rezistența peliculei de adsorbție<sup>1)</sup> se poate determina cu ajutorul aparatului, a cărui schema este reprezentată în fig. 68. Să aşezăm pe suprafața AB a lichidului un plutitor 1, suspendat de un fir subțire. Fixăm sus firul în centrul unei șaibe cu diviziuni. Rotind șaiba cu un unghi mic, observăm cu ce unghi se rotește plutitorul 1. În cazul unui lichid pur, plutitorul va urma întotdeauna răsucirea firului. La unele soluții e nevoie de o răsucire considerabilă a firului, pentru ca plutitorul să rupă structura stratului de adsorbție, care se asemănă în acest caz cu un corp solid.

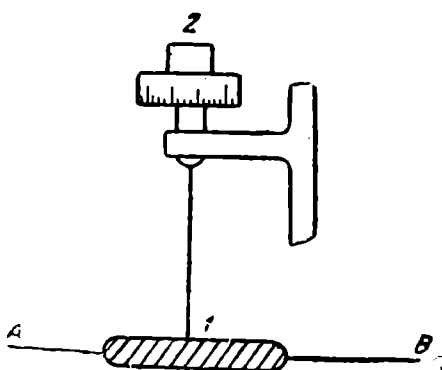


Fig. 68. Schema aparatului pentru determinarea rezistenței peliculei de adsorbție 1. plutitor; 2. șaibă.

cetările roentgenografice ale lui Bragg. La o schimbare a temperaturii, pelicula poate schimba starea ei de agregare, trecând într-o peliculă gazoasă. Aceasta din urmă își schimbă la o variație a temperaturii presiunea sa  $F$ , analog gazelor.

După cum s'a mai spus, la presiuni mari peliculele se obțin în stare solidă și lichidă. Determinând suprafața ocupată de o moleculă, se poate aborda soluționarea problemei referitoare la dispoziția moleculelor și obține o confirmare a punctului de vedere despre orientarea moleculelor. Într-o peliculă comprimată,

1) H. Mouquin și E. K. Rideal. Proc. Roy. Soc. L 114, 690 (1927); Robde, Ann. Phys. (4), 19, 935 (1906); P. A. Rebinder, Lucrările Congresului Mendeleev, Cazan (1928); N. Lubman, J. F. H. 1, 721 (1930); A. E. Bresler și S. E. Bresler, J. F. H. 14, 1604 (1940).

Astfel, în primul caz, peliculele superficiale de adsorbție vor fi lichide, asemănătoare soluțiilor obișnuite, deosebindu-se de acestea numai prin faptul că sunt bidimensionale; în al doilea caz ele se aseamănă cu un corp solid.

Pelicule lichide formează, de ex. acizii enumerați în tab. 27; pelicule solide dau stearinele și saponinele. Structura orientată a peliculei solide amintește ca structură un cristal dimer, lucru care a fost confirmat și de cer-

stratul monomolecular are aspectul reprezentat în fig. 62, radicalii COOH fiind îndreptați spre suprafața apei, iar catenele hidrocarbonate fiind îndreptate în sus. A fost calculată suprafața ocupată de un radical COOH; s'a găsit că ea este egală cu  $25,1 \text{ \AA}^2$ . Comprimându-se în continuare, se obține în unele cazuri o acumulare mai densă a catenelor.

În peliculele lichide, moleculele sunt mai mobile (fig. 64 A) și în sfârșit, în peliculele gazoase, moleculele sunt dispuse la suprafață (fig. 64 B).

În tabela 28 sunt indicate datele care arată ce suprafață ocupă radicalul polar al suprafeței peliculei de adsorbție la o valoare determinată a adsorbției. Aceste date au fost obținute pe baza experiențelor lui N. Adam.

Din datele tab. 28 se vede că mărimele suprafețelor sunt în toate cazurile, afară de ultimele două, foarte apropiate una de alta. La trigliceridă, care are trei grupe polare, moleculele stau întinse pe suprafața apei, iar cei trei radicali hidrocarbonati ai acizilor grași stau perpendicular pe direcția fazei gazoase; suprafața care revine unei molecule comprimată în peliculă este aproximativ egală cu suprafața ocupată de trei catene hidrocarbonate.

*Tabela 28*  
**Suprafața ocupată de radicalul polar al peliculei de adsorbție**

Grupa	Suprafața s în $\text{\AA}^2$	Grupa	Suprafața s în $\text{\AA}^2$
Catena hidrocarbo-năă	20,7	COOH (acid monobasic) . . . . .	25,1
CONH	21,0	CN . . . . .	27,5
$\text{CH}_2 - \text{OH}$ (alcool primar)	21,7	glicol dipalmitat . .	42
fenol	24,0	trigliceridă . . . . .	63

La dipalmitat, avem în mod analog moleculea glicolului, culcată pe suprafață și două catene hidrocarbonate, îndreptate în sus.

Mărimea  $Q_\infty$  depinde foarte puțin de temperatură, iar mărimea  $s$  depinde foarte puțin de caracterul substanței, care formează suprafața de separație<sup>1)</sup>.

La începutul acestui capitol am cunoscut adsorbția negativă, unde nu are loc o concentrare, în pelicula superficială, ci o

1) A. B. Tauban, J. O. H. I, 1049 (1931).

micșorare a concentrației substanțelor disolvate. În acest caz, pelicula tinde să rețină pe suprafața ei moleculele de apă. Harkins<sup>1)</sup> și elevii săi au studiat structura peliculei superficiale a soluțiilor apoase de NaCl și CaCl<sub>2</sub> găsind că ea este formată dintr'un strat monomolecular de apă.

În peliculă, moleculele nu se găsesc în repaus, ci sunt animate de o mișcare foarte energetică, când intrând în peliculă, când ieșind din ea. Timpul de sedere a moleculelor în peliculă se măsoară cu o mărime de ordinul  $10^{-7}$  sec. În acest scurt interval de timp, molecula trebuie să se dispună orientată față de moleculele vecine ale suprafeței, să capete o mișcare oscilatorie și să se desprindă din nou.

În unele cazuri trebuie să se admită existența unor pelicule formate într-un mod mai complex<sup>2)</sup>, constând din mai mult decât un strat de molecule, ceea ce a observat, de ex. Perrin, pe peliculele de săpun<sup>3)</sup>.

Actualmente, fizica și chimia peliculei superficiale sunt bine cunoscute<sup>4)</sup>.

## 5. STRUCTURA POLARĂ A MOLECULELOR

În stratul superficial se observă, după cum știm, o asimetrie a câmpului de forțe. Din cauza acestei particularități a câmpului de forțe are loc orientarea moleculelor. Totuși, trebuie reținut că moleculele care au în jurul lor un câmp de forțe dispus simetric, nu se pot orienta; ele se pot culca și dispune cu orice față a lor pe suprafață.

Pentru orientarea moleculelor este necesar ca însăși moleculele să creeze în jurul lor un câmp de forțe, dispus asymmetric, sau ca această asimetrie să fie provocată de o influență exterioară.

Când avem de-a-fațe cu atomi, care constau dintr'un nucleu încărcat pozitiv și din electroni, care se rotesc repede și a căror orbite se deplasează și ele, se poate considera că nucleul pozitiv este înconjurat cu un strat sferic de electricitate negativă. Când sarcina pozitivă este egală cu cea negativă, sistemul este neutru înspre spațiul exterior și nu creează în jurul său un câmp electric.

1) W. D. Harkins și H. Mc. Langhin, J. Am. Ch. Soc. 47, 2083 (1925); W. D. Harkins și E. C. Gilbert, J. A. Ch. Soc. 48, 604 (1926).

2) J. Perrin, Ann. Phys. (9), 10, 160 (1918); K. Z. 51, 2 (1930).

3) E. Heymann, K. Z. 57, 99 (1931).

4) S. Glastone, loc. cit. în cartealui H. Freundlich. Kappillar Chemie, I, 1930; E. K. Rideal. Chimia fenomenelor superficiale (Trad.) 1936.

Moleculele, care constau dintr'un sir de atomi, pot avea o dispunere diferita a sarcinii electrice; rezultantele forțelor elec-tropozitive și electronegative pot fi aplicate în puncte care să se găsească la o oarecare distanță unul de celălalt. O asemenea moleculă este polară, căci ea are poli — unul cu electricitate pozitivă, iar celălalt cu electricitate negativă — care acționează prin câmpurile lor de forțe asupra spațiului exterior; ea se numește **moleculă heteropolară sau dipol**.

Dipolul se caracterizează prin **momentul său dipolic**, valoarea căruia este egală cu produsul distanței dintre punctele în care se aplică rezultantele și sarcina.

$$\mu = le.$$

Cum mărimea  $l$  se găsește în limitele moleculei care are dimensiuni de ordinul  $10^{-8}$  cm., iar sarcina elementară este egală cu  $5 \cdot 10^{-10}$ , dipolmomentul moleculei heteropolare este egal cu aproximativ  $5 \cdot 10^{-18}$  unități abs.

Când moleculele heteropolare sunt plasate într'un câmp electric, ele se orientează (fig. 69). Se obține **polarizarea orientării** întregii cantități de substanță (gaz, lichid), cuprinsă între electrozi. Aceeași orientare a moleculelor dipolice are loc în câmpul de forțe al stratului superficial.

Noțiunea despre dipoli a fost introdusă de Debye (1912), iar actualmente, o serie de însușiri ale substanțelor lichide și gazeoase sunt cercetate din acest punct de vedere.

Din moleculele nepolare sau, după cum se mai spune — homeopolare — care nu sunt dipoli ( $\mu=0$ ) fac parte de ex. moleculele hidrocarburilor saturate. Din moleculele **heteropolare** — dipolii — fac parte moleculele sărurilor, acizilor, compușilor nitrici, etc.

Nu numai moleculele pot fi polare, ci și radicalii. De ex. sunt homeopoli radicalii hidrocarburilor saturate; sunt polari radicali ca:



In lichidele care sunt constituite din dipoli, moleculele vor

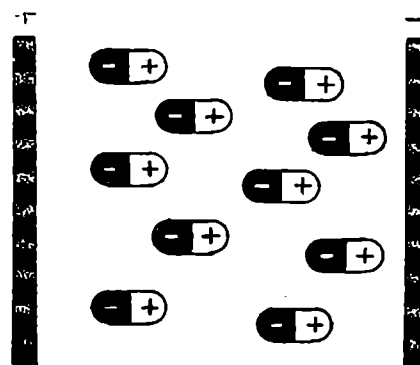


Fig. 69. Orientarea moleculelor heteropolare într'un câmp electric.

ținde să se asocieze, micșorând până la minimum câmpul electric exterior.

In fig. 70 se arată cum decurge asociația dipolilor, cu atin-

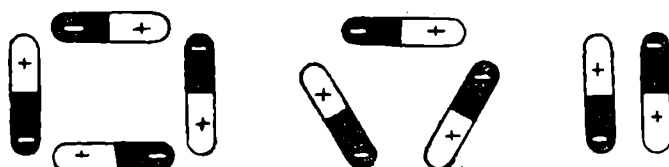


Fig. 70. Asociația dipolilor.

gerea minimului câmpului de forțe. Lichidele cu molecule polare sunt din această cauză adesea asociate: apa, acidul acetic.

La suprafața de asociație a două faze: gaz-lichid, dipolii suprafeței creează un considerabil câmp de forțe asimetrice, care, prin orientare, atrage dipolul, care se apropie de suprafață în faza lichidă. Dacă de suprafață unui lichid polar se va apropia o moleculă cu un radical polar și altul nepolar, la suprafață se va produce orientarea acestei molecule cu capătul polar spre lichidul polar și cu radicalul nepolar înspre mediul gazos sau înspre lichidul nepolar — se va produce fenomenul de adsorbție. Câmpul exterior al moleculelor heteropolare este considerabil mai mare decât al celor homeopolare, din motive care ne sunt acum clare. De aceea, pe suprafață de separație, câmpul de forțe asymmetric al lichidelor polare este mult mai mare decât la lichidele nepolare. Si într'adevăr, tensiunea superficială a primei lichide este mult mai mare decât a celorlalte.

Moleculei unei substanțe tensioactive trebuie să fie construită dintr-o parte polară și una nepolară. La adsorbție, moleculea va intra în suprafața de separație cu radicalul său polar ( $-\text{OH}$ ,  $-\text{COOH}$ , etc.), iar partea nepolară va fi îndreptată spre fază nepolară (gazoasă). Dispunându-se în acest fel, moleculele adsorbite în stratul superficial micșorează asimetria câmpului de forțe, micșorează energia lui și procesul adsorbției pozitive decurge prin el însuși. Tensiunea superficială a soluției se micșorează deasemenea. Acum devine mai clar fenomenul de orientare la adsorbție: este deasemenea clar de ce se formează un strat molecular de molecule adsorbite, moleculele polare adsorbite, micșorând considerabil câmpul de forțe al suprafeței, fac aproape imposibilă o atracție energetică ulterioară.

In fig. 71 se arată cum moleculele de acid butiritic, disolvat în benzen, dispuse desordonat, se orientează la limita de separa-

rație a două faze benzen — apă și se îndreaptă cu radicalii lor polari spre faza polară, iar cu radicalii hidrocarbonați nepolari înspre faza nepolară — benzenul. Moleculele acidului butiric, la disolvarea în apă sau benzen, pierd orientarea lor. Orientarea este împiedicată de mișcarea termică a moleculelor; de aceea fenomenul de adsorbție decurge mai bine la temperaturi joase, decât la temperaturi înalte.

La lichidele polare pure, la suprafața de separație se produce deasemenea orientarea moleculelor: grupa polară se îndreaptă spre interiorul lichidului, iar grupa homeopolară spre exterior (spațiu gol, gaz). Alcoolii, de ex., au grupa OH îndreptată spre interior, iar radicalul hidrocarbonat spre exterior. De aceea se observă apropierea valorii tensiunii superficiale a alcoolilor superioară de cea a hidrocarburilor corespunzătoare. De pildă, tensiunea superficială a hexanului și cea a alcoolului heptilic sunt aproape identice.

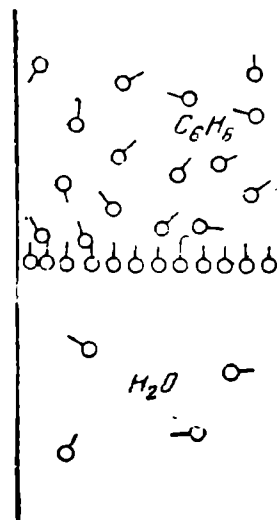


Fig. 71. Dispoziția moleculelor acidului butiric în apă, benzen și la limita între aceste 2 faze.

## 6. ISOTERMA LUI LANGMUIR

Pentru adsorbția la suprafața lichidului, noi am aplicat isoterma lui Gibbs (formula 87).

Langmuir a dat pentru această isotermă o altă expresie, pornind dela faptul că  $Q \infty$  este o valoare limită, legată de orientarea moleculelor în stratul saturat. Isoterma lui Langmuir a fost dedusă de el teoretic, complet independent, pornind dela reprezentarea moleculară-cinetică a fenomenului de adsorbție.

Această expresie nu este greu de dedus din ecuația lui Gibbs și ecuația lui Săscovschi. Am dat mai sus formula (92):

$$Q = \frac{B\sigma_0}{RT} \cdot \frac{c}{c+A}$$

iar și mai sus — formula (91):

$$Q \infty = \frac{B\sigma_0}{RT}$$

Egalând aceste două formule, găsim

$$Q = Q_\infty \cdot \frac{c}{c+A} \quad (96)$$

Expresia (96) poartă numele de **ecuația lui Langmuir sau de isoterma lui Langmuir**.

După cum s'a spus mai sus, ecuația (96) poate fi dedusă teoretic, fără a se folosi ecuația empirică a lui Șișcovschi. Tot teoretic se poate deduce și ecuația (87). Egalând  $Q$  din ambele ecuații și rezolvând această expresie, obținem ecuația lui Șișcovschi; astfel veracitatea acesteia se confirmă și teoretic.

Ecuația lui Langmuir conține două constante:  $Q_\infty$  și  $A$ , care se determină ușor știind că

$$Q_\infty = \frac{B\sigma_0}{RT} \cdot *$$

$A$  și  $B$  se pot determina din formula lui Șișcovschi, cercetând variația mărimii  $\sigma$  cu concentrația.

## 7. PROPRIETĂȚILE PELICULEI SUPERFICIALE

Peliculele superficiale au uneori o influență foarte mare asupra vitezei de evaporare a lichidelor. Aceasta a fost stabilită prin lucrările lui Rideal<sup>1)</sup> și Langmuir<sup>2)</sup> pentru cazul evaporării apei, pe suprafață căreia se găsea un strat de acid laurinic, stearic sau oleic. Un fapt analog se observă și la evaporarea mercurului<sup>3)</sup>. Conform experiențelor lui Langmuir, viteza de evaporare a eterului din soluția apoasă sub o peliculă monomoleculară se micșorează până la de 10 ori.

Un fenomen analog se observă și la evaporarea gazelor, de ex. a CO<sub>2</sub> din soluțiile apoase<sup>4)</sup>. Viteza de evaporare s'a micșorat de două ori.

Orientarea moleculelor dipolice, situate la limita între două faze, creează pe pelicula superficială un câmp electric de forțe neomogen, lucru care se confirmă prin sarcina electrică ce există pe suprafață. O asemenea sarcină superficială<sup>5)</sup> și saltul po-

1) E. Rideal, J. Phys. Ch. 29, 1585 (1925).

2) I. Langmuir și D. Langmuir, J. Phys. Ch. 31, 1719 (1927).

3) I. L. Pupco și M. A. Proseurin, J. F. H. 4 523 (1933).

4) N. A. Geld și A. D. Teacev, Raport AN (1933); N. I. Glazov, J. F. H. 11, 484 (1938).

5) Aceste încărcări ale suprafeței au fost studiate de Frumchin, începând din anul 1924.

tențialului suprafeței, corespunzător ei, trebuie să se manifeste întotdeauna atât la limita între două faze pure de polaritate diferită, cât și la fenomenele de adsorbție.

La adsorbția anionului organic s'a observat, de exemplu, că suprafața la limita cu aerul se încarcă negativ. Sarcina se poate obține și la adsorbția moleculelor dipolice ale neelectrolițiilor. Din acest motiv, stratul superficial poate avea o sarcină diferită, în funcție de concentrația soluțiilor de acizi organici și a sărurilor lor. De exemplu, soluțiile diluate de benzoat de Na au suprafața de separație cu aerul încărcată negativ; la concentrații mari, când nu există aproape deloc molecule disociate, ci numai dipoli (săruri), suprafața este încărcată pozitiv. Un fenomen analog a fost observat de Talmud<sup>1)</sup> la pelicule de absorție ale săpunului.

La adsorbția electrolițiilor trebuie luat în considerație un factor suplimentar — acțiunea reciprocă a ionilor încărcați. Ionii adsorbiți încărcați în acelaș fel trebuie să se respingă la suprafața de separație.

Fenomenul de adsorbție la limita lichid-lichid are o mare importanță pentru tămarirea formării și stabilității emulsiilor.

Emulsiile au o mare importanță practică, căci în unele cazuri suntem interesați, ca emulzia să fie stabilă (industria de margarină), iar în alte cazuri emulsiile sunt nedorite (emulsiile de țăței) și trebuie să știm cum să le distrugem.

## XIII. EMULSII

### 1. NOTIUNI DESPRE EMULSII

Emulsiiile fac parte din sistemele disperse, care se compun dintr-un lichid dispersat (uneori un gaz) într'un mediu lichid. Asemenea sisteme se întâlnesc de obicei în natură, de ex., laptele, latexul plantelor de cauciuc. În aceste exemple, în primul caz, lichidul dispersat în apă este o substanță grasă, iar în al doilea caz, o hidrocarbură din cauciuc. Amândouă aceste substanțe sunt aproape complet incapabile de a se dissolve în mediul de disperziune.

Știința a început să se intereseze relativ de mult timp, de aceste sisteme; încă în anul 1845 Selmy și-a făcut o imagine justă despre natura acestor emulsii, dar în practică ele se cunoșteau cu mult înainte. Un studiu strict științific al emulsiei a devenit posibil după ce au devenit clare procesele ce decurg la limita de separație lichid-lichid și lichid-gaz.

În aceste procese am făcut cunoștință în capitoalele precedente.

În anul 1899 au apărut lucrările lui Donnan<sup>1)</sup>, care a făcut legătura între procesul de emulsionare și stabilitatea emulsiei cu variația tensiunii superficiale la limita picăturilor substanțelor emulsionate. Un studiu ulterior al emulsiei din punct de vedere al fenomenelor de suprafață a fost făcut de Harkins<sup>2)</sup>, Langmuir, Bankroft și alții.

Pickering<sup>3)</sup> și alții<sup>4)</sup> au preparat multe emulsii importante, au elaborat metode de obținere și au studiat proprietățile lor.

După ce am cercetat în capitolul precedent problema peliculei superficiale, vom cunoaște în capitolul despre emulsii aplicarea notiunilor despre pelicula superficială la studiul sistemului dispers lichid în lichid.

1) F. G. Donnan, Z. Phys. Ch. 31, 42 (1899).

2) W. Harkins, Davis A. Clark J. Am. Ch. Soc. 39, 581 (1917); W. Harkins, Coll. Symp. Monogr. 2, 141 (1925).

3) S. Pickering, J. Ch. Soc. L. 91, 2001 (1907).

4) W. Clayton, The Theory of Emulsions and their technical treatment, 4 ed. 1943.

Acest sistem este, deobicei, mai puțin dispersat decât sistemele coloidale adevărate. Astfel, există de ex., emulsii de grăsimi în lapte de vacă cu particule egale cu  $5\text{-}6 \mu$ ; este ușor de obținut pe cale artificială emulsii de unt cu picături de  $50 \mu$ .

Lewis<sup>1)</sup> a obținut emulsii foarte disperse de unt cu particule, având diametrul egal cu zeci de microni. Sisteme și mai disperse dau soluțiile de gaze (oxigen, aer, hidrogen, CO, CH<sub>4</sub>, C<sub>2</sub>H<sub>6</sub>) în soluții alcaline apoase; dimensiunile particulelor lor atingând, conform datelor cercetărilor lui Krause și Kapitanczyk<sup>2)</sup>  $3\text{-}5 \text{ }\mu$ , deci aparținând după mărimea particulelor soluțiilor foarte disperse. Aceleași grade de disperziune se pot atinge și cu emulsiiile mercurului. Aceste emulsii se apropie prin însușirile lor de soluții.

## 2. EMULSIONAREA

Pentru obținerea unei emulsii, două lichide nemiscibile se supun emulsionării, care constă în aceea că lichidele se fărâmătează unul în celălalt prin scaturare mecanică, prin fărâmătare cu agitatoare speciale sau prin presare prin orificii înguste; în definitiv, se obține o dispersare mai mare a unui lichid (faza dispersă) în celălalt (mediu de disperziune). O asemenea fărâmătare se poate efectua în condiții de laborator scuturând, de ex., untul cu un exces de apă în cilindri sau eprubete. Se întrebunează agitatoare speciale, unde lichidele sunt fărâmătate de paletele în mișcare. O metodă comodă, introdusă relativ de mult timp, este emulsionarea într'un cilindru cu piston<sup>3)</sup>. Amestecul de unt și apă se toarnă într'un cilindru mic (eprubetă), în care se găsește un piston cu un diametru ceva mai mic decât diametrul cilindrului. Punând pistonul în mișcare, se produce emulsionarea amestecului. În tehnică există un mare număr de mecanisme, bazate pe aceleași principii, unde dispersarea se face, fie prin simpla rușcere a picăturilor, relativ mari, în picături mai mici, fie prin formarea unei pelicule de lichid care distrugându-se singură, se desface într'o sumedenie de picături mărunte.

1) M. Lewis, K. Z. 4, 211 (1919); O. Lange, Technik der Emulsionen, Berlin, 1929.

2) A. Krause și K. Kapitanczyk, K. Z. 57, 50 (1931); 66, 288 (1934); 71, 56 (1935); 80, 273 (1937).

3) A. Cniga și G. S. Vișnevscăia, Tr. ţ. i. i. b. Chim. Inst. Ind. pisc. 3, 392 (1933).

Nordlund<sup>1)</sup> a arătat pe exemplul emulsionării mercurului în apă, că al doilea proces dă într-un timp mai scurt emulsii mai disperse. De aceea, simpla scuturare a lichidului dă un efect mai slab, decât eprubeta cu piston mobil (A. Dumanschi).

Ușurința obținerii și stabilitatea emulsiei este foarte mult influențată de structura moleculară a lichidelor ce se emulsionează<sup>2)</sup>.

Se poate spune că compușii heteropolari nu dau, deobicei, emulsii câtuși de puțin stabilă. Introducerea în moleculă a grupelor polare (OH, COOH, dubla legătură) dau compuși care se emulsionează bine. Pe suprafața particulei sferice de emulsie se produce orientarea moleculelor dipolare, care se situează cu radicalii lor dipolari în direcția apei, iar radicalii hidrocarbozați nepolare se cufundă (se disolvă) în particula sferică de emulsie (fig. 72). Radicalii polari, care se găsesc în apă, se hidratează, creând o legătură între suprafață și mediu și comunică prin aceasta stabilitate sistemului.

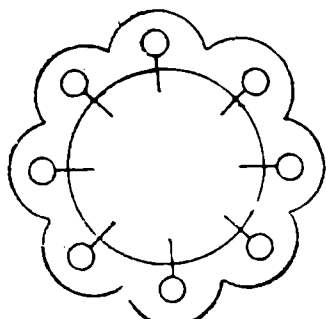


Fig. 72. Schema unei sfere cu molecule orientate ; radicalii hidrofilii sunt înconjurati cu un învelis hidratat.

rezultat va fi o emulsionare energetică, cu formare de emulsii concentrate<sup>3)</sup>.

Dacă o vână de apă în unt se încarcă electrostatic până la un potențial înalt de ordinul cătorva zeci de mii de volți, vâna se desface, formând o emulsie de apă în unt, ale cărei particule poartă o sarcină electrică liberă. Aici, emulsionarea este legată de micșorarea tensiunii superficiale, datorită încărcării electrice care se obține pe suprafața apei.

La emulsionare se produce o creștere a energiei superficiale; de aceea, emulsionarea se face cu atât mai bine, cu cât este mai mică tensiunea superficială σ la limita de separație.

1) I. Nordlund, K. Z. 26, 121 (1920).

2) N. N. Andreev, J. O. H. 9, 228 (1939).

3) G. Schmidt, Usp. Chim. 5, 520 (1936) ; S. S. Tumanski, K—J 5, 105 (1939).

Micșorarea valorii  $\sigma$  se poate atinge fie prin ridicarea temperaturii, fie prin introducerea de substanțe care se adsorb. Experiențele lui Klaus au arătat foarte sugestiv pentru uleiul de măslină și pentru parafină influența valorii  $\sigma$  asupra emulsionării. Aceasta se confirmă prin următoarea experiență. Uleiul de măslină a fost scurs dintr'un tub în apă curată, sub formă de picături, formându-se astfel o emulsie stabilă. Când însă picăturile se formau într'o soluție apoasă, care conținea o substanță ce putea fi adsorbită de ulei, atunci se formau particule sferice de emulsie, al căror diametru era cu atât mai mic, cu cât era mai mică tensiunea superficială  $\sigma$ . În apă se obțineau dintr'un  $\text{cm}^3$  de ulei de măslină 44 particule sferice de emulsie, în timp ce în apă în care era prezentă o substanță tensioactivă, se obțineau 300 particule.

Actualmente se cunosc o serie de rețete pentru obținerea emulsiilor fără acțiune mecanică, prin simpla introducere a unui amestec emulsionant în mediu (de ex. în apă); prin aceasta se creează tensiuni superficiale ale mediului aproape egale cu cele ale substanței de emulsionat. De ex.<sup>1)</sup>, dacă se introduce în apă, prinț'un capilar, o soluție compusă din 3  $\text{cm}^3$  ulei de ricin, 25  $\text{cm}^3$  alcool de 95%, 0,10 gr. săpun și 0,10 gr. camfor, picăturile de ulei se dispersează brusc singure. Se obține o emulsie stabilă. În acest fel se pot obține emulsiile de shellack, de nitrobenzen, de uleiuri minerale, ulei de in și.a. Asemenea emulsiile, care se „disolvă” singure, încep să aibă aplicare practică.

Datorită gradului mic de dispersiune, obișnuită la emulsiile, razele particulelor sferice se determină la microscop, folosindu-se micrometrul ocular. Analiza polidispersă a acestor sisteme se efectuează și prin metodele obișnuite descrise în cap. III. Trebuie numai reținut că sferele de ulei sub acțiunea forței gravitației nu se lasă la fund, ci plutesc. Kramer, Stamm și Figurovschi<sup>2)</sup> au construit un sedimentometru, care ia în considerație acest fapt.

### 3. EMULGATORII ȘI IMPORTANȚA LOR

Emulsiile obținute din lichiide pure sunt deobicei foarte instabile, particulele la atingerea lor unele cu altele, se contopesc — se coalescează — și sistemul dispers se împarte treptat în două lichiide nemiscibile. Numai emulsiile foarte diluate pot exista un timp mai mult sau mai puțin îndeungat, dispersate puternic.

1) Caldwell, J. Ch. Educ. 12, 444 (1935).

2) E. O. Kramer și A. J. Stamm, J. Am. Ch. Soc. 46, 2709 (1924); W. Clayton, Teoria emulsiilor și tehnica obținerii lor, 122 (1933); N. A. Figurovschi, Metoda actuală de analiză sedimentometrică a suspensiilor și emulsiilor, 154 (1939).

Procesul distrugerii emulsiei se petrece dela sine, căci prin aceasta sistemul cu un grad mai mare de dispersiune și cu energie superficială mai mare trece într'un sistem mai puțin dispers, micșorându-și energia superficială liberă. Nu este greu de micșorat energia superficială a emulsiei prin introducerea unei substanțe oarecare, care să scadă tensiunea superficială a substanței de emulsionat și să facă emulzia mai stabilă.

Substanțele care duc la formarea emulsilor stabile se numesc **emulgatori**.

La limita lichid-gaz coborîrea tensiunii superficiale se supune regulii lui Traube-Duclaux; acelaș lucru se observă la limita lichid-lichid. Aceasta a fost cercetat la exemplul ulei de parafină-apă<sup>1)</sup> în prezența unei cantități variabile de săruri de sodiu ale acizilor grași din seria homologă. S'a văzut că o cantitate însemnată de săruri de sodiu ale acizilor cu un număr mare de atomi de carbon provoacă o micșorare foarte mare a tensiunii superficiale; pe de altă parte, experiența a arătat că emulsiile obținute în prezența sărurilor de sodiu ale acidului laurinic și a altor acizi din seria grăsă cu o mare greutate moleculară posedă o mare stabilitate.

Aceasta arată că emulgatorii nu contribuie numai la emulsionare, dar fac ca emulsiile să fie stabile.

Următoarea experiență ilustrează foarte bine importanța emulgatorilor. Într'un cilindru cu dop, cu o capacitate de 250—500 cmc. se introduce apă până la 2/3 din volum și un strat de ulei de floarea soarelui sau benzen. În alt cilindru cu acelaș amestec se mai adaugă și puțină soluție de săpun. Ambii cilindri se scutură tare simultan și se pun pe masă. În cilindrul în care a fost ulei pur se obține o emulsie puțin dispersă, care se distrugе repede; în cilindrul în care s'a adăugat emulgator se obține o emulsie stabilă înalt dispersă. Emulgatorul, orientând moleculele sale pe particulele sferice ale emulsiei scade tensiunea superficială și apoi, creând pelicule solide rezistente contribuie la stabilitatea emulsiei. Moleculele orientate ale acidului (sării), pe baza celor expuse în capitolul precedent se dispun cu grupa polară spre fază gazoasă, iar cu grupa hidrocarbonată (nepolară) — spre ulei.

#### 4. TIPURILE DE EMULSII

Emulsiile reprezintă un sistem dispers a două lichide nemisibile, lipofobe unul față de celălalt. Aceasta este în legătură cu

1) F. G. Donnan u. H. E. Potts. K. Z. 7, 208 (1910).

săptul că unul din lichide constă din molecule polare (apa), iar celălalt din molecule nepolare, sau slab polare (uleiul).

Acțiunea emulgatorului constă în comunicarea însușirilor liofile unui sistem liosob. Emulgatorul, disponându-se sub formă de strat la limita de separare a două lichide, trebuie să aibă o parte hidrofilă (polară), care se unește cu fază apoasă, și o parte hidrofobă (nepolară) care se leagă cu uleiul (fig. 73). Din acest

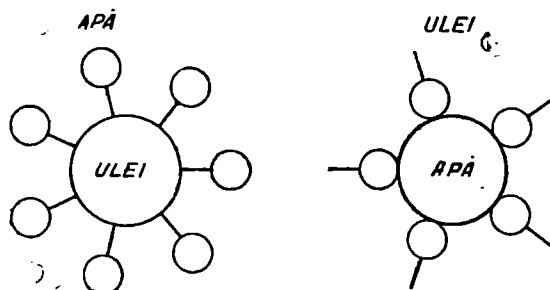


Fig. 73. Orientarea moleculelor emulgatorului pe particulele emulsiei

motiv scade tensiunea superficială la limita între două faze, formându-se o peliculă rezistentă de emulgator, iar picăturile de substanță emulsiomată se leagă solid de moleculele mediului de dispersiune. În funcție de preponderență la emulgator a părții hidrofile sau hidrofobe se obțin emulsiile de două tipuri<sup>1)</sup>.

În prezența unui emulgator cu însușiri vădit hidrofile se obține emulzia uleiului în apă; în prezența unui emulgator cu însușiri vădit hidrofobe se obține emulzia apei în ulei. La o dispersare mecanică a lichidelor se pot forma simultan ambele tipuri de emulsiile, dar de stabilități diferite; va rămâne numai acea emulzie, ale cărei particule vor fi mai solid legate de mediu, adică prevăzute cu un emulgator mai liosil.

Din acest motiv, emulsiile de ulei în apă se obțin în prezența săpunurilor alcaline, solubile în apă. Săpunurile metalelor alcalino-pământoase sau grele nu sunt solubile în apă, dar sunt solubile în hidrocarburi, adică sunt hidrofobe; de aceea, asemenea săpunuri dau emulsiile de tipul apă în ulei<sup>2)</sup>.

Bankfort a exprimat această regularitate sub forma următoarei legi: Faza lichidă, care disolvă mai bine emulgatorul, devine mediu de dispersiune.

1) W. D. Harkins, Coll. Symp. Monogr. 2, 141 (1925).

2) G. H. A. Clowes, J. Phys. Ch. 20, 704 (1916); G. S. Bhatnagar, J. Ch. Soc. L. 117, 542 (1920); 119, 1760 (1921).

La inceput se presupunea<sup>1)</sup>, că tipul emulsiei depinde de raportul cantitativ între faze: substanța mediului de dispersiune trebuie să fie în exces. Actualmente se știe că numai la un mare exces al uneia din faze există o asemenea relație. Atât tipul emulsiei, cât și stabilitatea ei se determină de emulgator (Clowes); schimbarea emulgatorului poate duce la reversibilitatea emulsiei, adică la trecerea în alt tip. De ex.<sup>2)</sup> dacă unei emulsiilor de ulei de măslin în apă, stabilizată cu sodă caustică (mai bine zis cu săpunul de Na, obținut prin acțiunea NaOH asupra săpunului) i se adaugă o soluție de CaCl<sub>2</sub>, atunci, la o oarecare cantitate de CaCl<sub>2</sub> se va obține aşa numita stare critică a sistemului; sistemul este acum cel mai puțin stabil, căci există o probabilitate aproape identică a existenței ambelor tipuri de emulsii, iar apoi, la mărirea cantității de CaCl<sub>2</sub>, se obține o emulsie de tipul apă în ulei și are loc o reversibilitate completă a ei. În experiența dată, clorura de calciu adăugată intră într-o reacție de înlocuire cu săpunul de Na, formând săpunul de Ca, care fiind un emulgator hidrofob, efectuează reversibilitatea. Dacă s-ar adăuga acum un exces de sodă caustică, emulsia se poate transforma din nou în cea de tipul inițial — ulei în apă.

Pot servi drept emulgatori și pulberile fine<sup>3)</sup>, care, dispunându-se la limita între două faze, învelește particulele de lichid, conferind astfel emulsiei stabilitatea. În acest caz se observă aceeași regularitate la formarea unui tip sau a celuilalt de emulsie. Pulberile care au însușiri vădit hidrofile (Al<sub>2</sub>O<sub>3</sub>, MgCO<sub>3</sub>, argilele) dau emulsiile de tipul ulei în apă; pulberile care posedă însușiri hidrofobe (negrul de fum, HgI, suspensile de parafină) dau emulsiile de tipul apă în ulei.

Săpunurile solubile de Na și Ca erau antagoniste; tot astfel pot fi și pulberile. Astfel Briggs<sup>4)</sup> a arătat că 0,8 gr. negru de fum dispersează 25 cm<sup>3</sup> apă în 15 cm<sup>3</sup> petrol; dacă, însă, se adaugă aici 0,1 gr. praf de SiO<sub>2</sub>, nu se mai obține emulsia.

La emulsionarea cu săruri sau acizi organici, radicalii emulgatorului ca COOH și COOMe pot să se disociază electrolitic și particulele superficiale pot căpăta o anumită încărcare — în cazul nostru, negativă.

1) Wo. Ostwald, K. Z. 15, 103 (1910).

2) G. H. A. Clowes, K. Z. 15, 123 (1914).

3) S. Pickering, J. Ch. Soc. L., 91, 2001 (1907); J. Bancroft, J. Phys. Ch. 17, 514 (1913); 19, 275 (1915).

4) T. R. Briggs, J. Ind. Eng. Ch. 13, 1098 (1921).

## 5. EMULGATORII COLOIDALI

Emulgatori deosebit de buni sunt substanțele coloidele — solurile stabile — care posedă proprietatea de a micșora tensiunea superficială (Clayton, 1919). Din ele fac parte atât solurile hidrofile, ca : albuminele (gelatinele), cleiul (gumă arabică) și substanțe ca: saponina și săpunurile<sup>1</sup>), care, după gradul lor de disperziune, se găsesc la limita cu soluțiile macromolecularare.

Emulgatorii coloidali, concentrându-se prin adsorbție la suprafața de separație, trec din starea de soluri în geluri (bidimensionale), care dau pelicule elastice și rezistente (Bankroft, Clowes<sup>2</sup>), care protejează bine particulele emulsiei. În general, aici s-au observat aceleași fenomene ca acele de care s'a vorbit mai sus. Și aici liofilia provoacă nașterea unuia sau celuilalt tip de emulsie. Solurile hidrofile, ca de ex. gelatina, dau emulsii de ulei în apă. Solurile substanțelor solubile în solventi organici dau emulsii de apă în ulei, ceeace se și observă la obținerea mărgăișei, unde, în calitate de emulgator, se întrebuintează lecitina.

Insemnatatea peliculei rezistente pentru emulsionare o explică bine următoarea experiență<sup>3</sup>). Pe o sticlă mare de ceas (cât mai plană) se pune o picătură de mercur pur și deasupra se toarnă apă. Dacă mercurul se taie sub apă, nu se obține niciun efect, căci suprafețe'le tăieturii mercurului se vor contopi instantaneu. Dacă, însă, în loc de apă se toarnă o soluție de saponină și apoi se taie mercurul, atunci se obține un alt efect: suprafața care se formează prin tăiere se va acoperi cu o peliculă rezistență de saponină și picătura tăiată va rămâne separată. Printr'o asemenea tăiere repetată se poate împărți picătura mare de mercur în particule sferice mici, care nu se contopesc, adică se poate prepara o emulsie stabilă.

În cazul emulgatorilor coloidali, învelișul nu se obține sub forma unei pelicule monomoleculare, ci are cel puțin o dimensiune monomicelară<sup>4</sup>), care întrece de multe ori dimensiunea moleculei.

1) M. Fischer, K. Z. 18, 129 (1916); M. Fischer, Săpunuri și albume, 75, M. 1932.

2) G. H. A. Clowes, J. Phys. Ch. 20, 407 (1916).

3) E. K. Venstrem și P. A. Rebinder, J. F. H. 2, 754 (1931).

4) C. Späurer, K. Z. 54, 17 (1931); 55, 36 (1931) vezi și F. Hercik, K. Z. 56, I (1931).

Din cele expuse se vede că învelișul din jurul particulei sferice a emulsiei poate avea o grosime considerabilă<sup>1)</sup> (până la 10—40  $\mu$ ).<sup>2)</sup> El poate avea pe cele două suprafete ale sale două tensiuni superficiale  $\sigma_1$  și  $\sigma_2$ , neegale între ele (fig. 74). Dacă

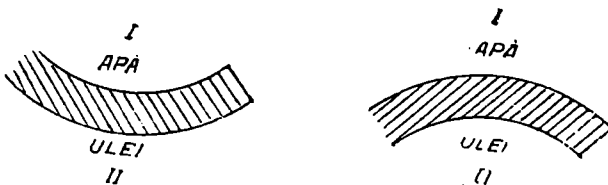


Fig. 74. Schema lui Bankroft care explică structura emulsiilor.

$\sigma_1 < \sigma_2$ , învelișul trebuie să se curbeze înspre faza II (ulei) și se va obține emulzia uleiului (II) în apă (I); dacă însă  $\sigma_1 > \sigma_2$  atunci pelicula se curbează înspre partea opusă și se produce reversibilitatea emulsiei (apă în ulei). O asemenea prezentare a procesului de emulsionare a fost introdusă de Bankroft<sup>3)</sup> (1913) și controlată experimental de Clowes<sup>4)</sup>.

Însușirea peliculei de adsorbție determină stabilitatea emulsiei. Totuși există încă un factor — acesta este încărcarea electrică a particulelor emulsiei — care, fiind de același semn, împiedecă deasemenea contopirea particulelor emulsiei. Acest factor, care la emulzii trece pe planul al doilea, este foarte pronunțat la alte sisteme, ca suspensiile.

## 6. CÂTEVA INSUȘIRI ALE EMULSIILOR

Însușirile emulsiilor depind de tipul lor. Astfel, emulsiile de ulei în apă sunt bune conducătoare de electricitate. Cunoscând conductibilitatea electrică  $k$  a emulsiei și conductibilitatea electrică  $k_o$  a mediului se poate determina volumul fazei disperse lichide, folosind ecuația Maxwell-Rayleigh<sup>5)</sup>.

1) Ramsden, Proc. Roy. Soc. L. (A) 72, 156 (1903).

2) R. Wilson și E. D. Ries, Coll. Symp. Monogr. 1, 145 (1923).

3) S. Bankroft, J. Phys. Ch. 17, 514 (1913); 19, 275 (1915).

4) G. Clowes, J. Phys. Ch. 20, 407 (1916).

5) J. Maxwell, Traité d'électricité et magnét., 1, 495 (1885); Rayleigh Phil. Mag. 34, 481 (1892).

$$C = 2 \cdot \frac{k_0 - k}{2k_0 + k} \quad (97)$$

Asemenea măsurători au fost efectuate de Fricke<sup>1)</sup> cu smântână și untul de vacă; ele au arătat că rezultatele se obțin cu o precizie până la 0,5%.

Emulsiile de apă în ulei sunt reale conducătoare de electricitate și folosind acest indiciu este ușor de determinat tipul emulsiei. În afară de aceasta, din cauza slabiei conductibilități electrice, aici se poate folosi măsurarea constantei dielectrice pentru determinarea volumului fazei disperse, datorită marelui diferență a constantelor apei (81) și uleiurilor (2—3).

Din cauza gradului redus de dispersiune și a diferenței considerabile a indicilor de refracție, emulsiile sunt deobicei opace și au o colorație albă. Emulsiile foarte diluate și înalt disperse au în lumină reflectată o nuanță albăstră și sunt transparente sau puțin turburi.

Și emulsiile puțin disperse pot fi transparente, în cazul egalității indicilor de refracție și a difuziunii egale a luminii de către mediul de dispersiune și faza dispersă; de pildă, emulzia de glicerină în tetraclorură de carbon, în amestec cu oleatul de calciu, este transparentă.

În cazul când indicii de refracție ai fazelor sunt aproape egali, însă valoarea difuziunii luminii este diferită, se obțin emulsii colorate, cu irizații, care arată toate culorile spectrului. Aici are loc fenomenul demult cunoscut (1884) al lui Christiansen<sup>2)</sup>.

Asemenea emulsii au fost obținute pentru prima dată de Holmes<sup>3)</sup>, iar apoi de mulți alții. Fenomenul de cromatism a fost studiat amănunțit de Zogani<sup>4)</sup>.

Substanțele introduse în emulzia se împart între două lichide nemiscibile, schimbând prin aceasta compozitia ambelor faze. Adăugând coloanți se poate colora, de ex., numai faza homeopolară (uleiul). Aceasta se folosește pentru recunoașterea tipului de emulzia. Adăugând colorantul „Sudan III“ solubil în ulei, dar insolubil în apă, se observă emulzia la microscop; în

1) H. Fricke, Phys. Rev. 24, 575 (1924); 25, 361 (1925).

2) Christiansen, Wied, Ann. 23, 298 (1884).

3) H. Holmes a. Cameron, J. Am. Ch. Soc. 44, 71 (1922); Holmes.

Lucrări de laborator de chimie coloidală O.N.T.I., 105. (1936); C. S. Narwani, K. Z. 80, 297 (1935).

4) Zogani, Phil. Mag. I, 321 (1926)

cazul colorării particulelor avem o emulsie de ulei în apă, iar la colorarea mediului, particulele fiind incolore, avem o emulsie de apă în ulei.

## 7. EMULSII CONCENTRATE

Se pot obține emulsii de concentrații foarte diferite — dela cele mai mici până la cele mai mari. Astfel, se cunosc pe de o parte emulsii care conțin numai 0,001% substanță emulsionată (ulei), deosebindu-se foarte puțin prin insușirile lor de lichidul în care s'a făcut emulsionarea iar pe de altă parte, emulsii care conțin 99% fază dispersă din greutatea totală a emulsiei<sup>1)</sup>. O asemenea emulsie de parafină într-o soluție de 1% săpun de potasiu, obținută de Pickering, avea insușirile unui corp solid și se putea tăia cu cuțitul în plăci.

Emulsii analoage au fost obținute de Newman<sup>2)</sup> și Jucov, împreună cu Bușmachin<sup>3)</sup> din benzen, emulsionat cu gelatină. Această emulsie a fost atât de stabilă, încât probe din ea au putut fi conservate aproape un an fără să se constate semne de stratificare.

Este lemn de înțeles de ce particulele unei emulsii trebuie să fie sferice. Dacă se presupune că emulsia este monodispersă, făcându-se calculul geometric, nu este greu să ne convingem că aranjarea cât mai compactă a sferelor de orice diametru, dar unul și același la toate sferele, se poate obține în cazul când fiecare sferă va veni în atingere cu alte 12 sfere<sup>4)</sup>. În acest caz, 74,08% din întreg spațiul trebuie să fie ocupat de sfere.

Totuși, experiența a arătat că se pot obține emulsii mai concentrate (Pickering).

Obținerea unor asemenea emulsii este posibilă când spațiile între sferele mari sunt umplute cu sfere mici, sau când sferele se deformază.

Astfel, particulele emulsiilor de concentrații mai mici (< 74,08%) sunt sferice; emulsiile foarte concentrate constau însă adesea din particule deformate.

1) S. Pickering, K. Z. 7, 11 (1910); J. Ch. Soc. L. 91, 2002 (1907).

2) F. Newman, J. Phys. Ch. 18, 34 (1914).

3) I. I. Jucov și N. N. Bușmachin, J. R. F. H. O. 1061 (1927).

4) E. Manegold, R. H. Hoffmann u. K. Soff, K. Z. 56, 142 (1931); 62, 285 (1933) dau cercetarea matematică a cazurilor posibile de umplere a unui spațiu cu sfere; H. Bechhold, L. Dede u. L. Reiner, K. Z. 28, 18 (1921).

In fig. 75 se arată microfotografia unei emulsii concentrate — apă în cauciuc, din care se văd bine sferele deformate de apă în cauciuc<sup>1)</sup>.

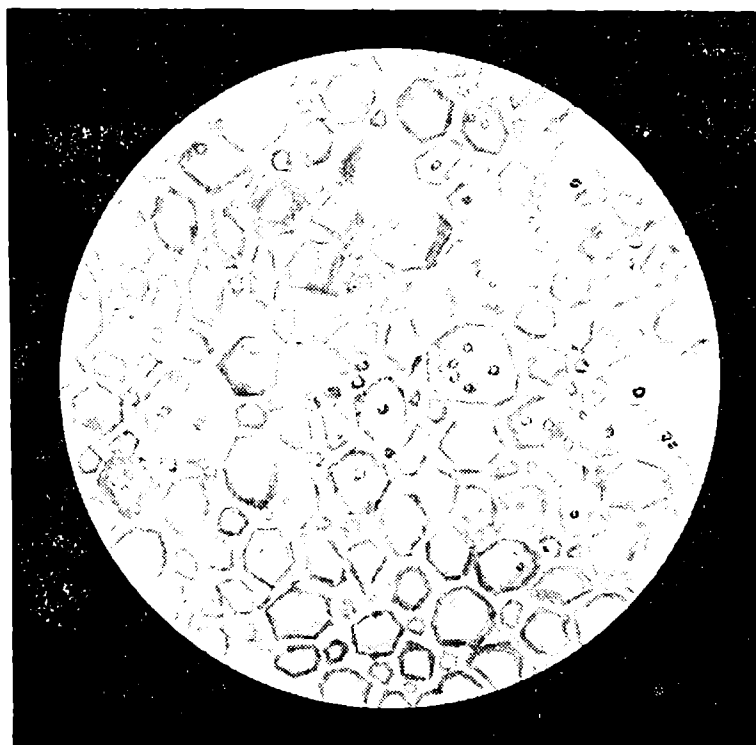


Fig. 75. — Structura în formă de spumă a unei emulsii de apă în cauciuc.

Ca formă exterioară, sistemul are caracterul unei spume, cu celule din pelicule de cauciuc umplute cu apă.

### 8. LEGILE EMULSIONĂRII

Noi știm că emulsionarea constă în primul rând în divizarea mecanică a lichidului și în al doilea rând, în conferirea stabilității emulsiei prin formarea în jurul fiecărei particule a emulsiei a unei pelicule destul de rezistente de emulgator. Deoarece o cantitate determinată de emulgator poate satura numai o anumită suprafață, conform expresiei pentru  $Q_{\infty}$  atunci la o cantitate mică de emulgator se poate obține o emulsie cu o suprafață spe-

1) B. Dogadchin, Col. J. I. 447 (1935).

cifică mică, adică cu un grad mic de dispersiune. La o cantitate insuficientă de emulgator, gradul de dispersiune va fi atât de mic, și sferele obținute de lichid emulsionat vor fi atât de mari, încât rezistența peliculei emulgatorului nu va fi în stare să suporte greutatea particulei, se va rupe ușor și se va produce distrugerea emulsiei; de aceea, este necesară o cantitate minimă de emulgator, capabilă să satureze suprafața fazei disperse și să o stabilizeze. La o mărire ulterioară a cantității de emulgator poate fi stabilizată o emulsie cu particule mai mici, adică cu un grad de dispersiune mai mare. Dacă, însă, cantitatea de emulgator este constantă, iar cantitatea lichidului de emulsionat crește, se observă următoarea relație: la cantități mici de substanță de emulsionat, întreaga substanță dă o emulsie stabilă, puternic dispersă, a cărei cantitate va crește cu mărirea cantității de substanță.

La o mărire ulterioară a cantității de substanță de emulsionat, gradul de dispersiune va începe să scadă și particulele mai mari, ce se obțin, se vor distrugă ușor, din care cauză excedentul emulsiei se va micșora întrucâtva. La o și mai mare creștere a cantității de substanță de emulsionat se va obține un număr tot mai mare de particule mari, care se vor contopi ușor și se va obține mai puțină emulsie stabilă.

In sfârșit, când se va lua foarte multă substanță de emulsionat, emulgatorul va ajunge să satureze numai suprafața unei emulsii foarte puțin disperse ale cărei particule, din cauza masei lor mari, vor distrugă ușor pelicula de emulgator și nu se va putea forma o emulsie mai mult sau mai puțin stabilă. O asemenea relație între cantitatea de substanță luată și cantitatea de emulsie obținută a fost observată de Wo. Ostwald și A. Buszag<sup>1)</sup>.

Imperfectia acestor cercetări constă în aceea că Wo. Ostwald și colaboratorii săi au studiat influența variației raportului a doi compoziți asupra înșurilor emulsiei, în timp ce pentru o înțelegere completă este necesar de a se cerceta simultan acțiunea cantităților variabile ale tuturor celor trei compozitori: mediul, substanța și emulgatorul.

De aceea, autorul cărții<sup>2)</sup> a propus să se aplice la studiul influenței raportului cantităților celor trei compozitori, o diagramă triunghiulară, analoga triunghiului lui Gibbs. Diagrama obținută va fi completă; ea poate fi construită pentru determinarea atât a cantității de substanță emulsionată, cât și a gradului de dispersiune a emulsiei ce se obțin.

1) Wo. Ostwald, W. Steinbach u. R. Köhker, K. Z. 43, 227 (1927); Wo. Ostwald, K. Z. 43, 255 (1927).

2) A. Dumanschi, J. R. F. H. O. 62, 1649 (1930); Usp. Chim. I, 290 (1932).

## 9. DISTRUGEREA EMULSIIOR

Emulsiile se distrug cu timpul. La aceasta contribue două fenomene: în primul rând, particulele sferice ale lichidului celui mai ușor se ridică la suprafață și se produce separarea părții disperse, fără o schimbare a gradului ei de dispersiune, iar în al doilea rând, particulele se contopește într'o masă continuă de lichid.

Primul fenomen se produce deobicei la sisteme insuficient de concentrate, ca de ex. la lapte, când se separă frișca. Dacă învelișul superficial de protecție al particulelor nu este îndeajuns de rezistent el se distrug și lichidul se contopește într'o fază continuă — se produce stratificarea. Prima încercare de a da o metodă cantitativă pentru cercetarea distrugerii emulsiilor a fost făcută de Lederer<sup>1)</sup> în anul 1935; el a găsit relația între viteza de formare a uleiului separat  $\frac{dv}{d\tau}$  și cantitatea de ulei separat în emulsie în timpul  $\tau$  sub forma ecuației:

$$\frac{dv}{d\tau} = k(1-v)^{0.5} \text{ sau } k\tau = \frac{1 - \sqrt{v}}{1 + \sqrt{v}}$$

unde  $(1-v)$  este volumul uleiului, care a rămas încă nestratificat, iar  $k$ -constanta de viteză a fenomenului, care caracterizează stabilitatea emulsiei. Un control ulterior al ecuației<sup>2)</sup> a arătat că ea se poate aplica la emulsiile de stabilitate medie.

Noi știm cum se poate obține o emulsie de stabilitate dorită. Să ne opriim asupra metodelor de distrugere a emulsiilor. Se poate accelera procesul de distrugere, adică provoca stratificarea prin toate modalitățile care duc la micșorarea rezistenței peliculei de protecție a emulgatorului și la mărire posibilității de atingere a particulelor una cu alta, ceea ce duce la ruperea peliculei din cauza presiunii.

Pe baza celor spuse se pot indica următoarele metode de distrugere a emulsiilor:

1. Adăugarea de substanțe, care se adsorb la suprafața de separație a particulelor emulsiilor și care distrug prin aceasta rezistența peliculei. De ex., având o emulsie de ulei în apă, emulsionată cu săpun de Na, ea se poate distruge prin înlocuirea parțială a săpunului de natriu cu cel de calciu. La un anumit raport,

1) E. L. Lederer K. Z. 71, 61 (1935).

2) D. F. Cheesman u. A. King. K. Z. 83, 33 (1938).

între aceste săpunuri se obține o emulsie foarte nestabilă. Cu alte cuvinte, pentru distrugere trebuie ales și folosit un proces care duce la reversiunea emulsiei.

2. Distrugerea peliculei cu agenți chimici (de ex. cu acizi tari).
3. Ridicarea temperaturii.
4. Filtrarea prin filtre care se umectează cu mediul de disperziune, dar nu se umectează cu substanța fazei disperse a emulsiei (Hatschek).
5. Acțiunea mecanică, de ex. centrifugare (separatori).
- 6) Trecerea unui curent continuu sau alternativ (Cotrell)

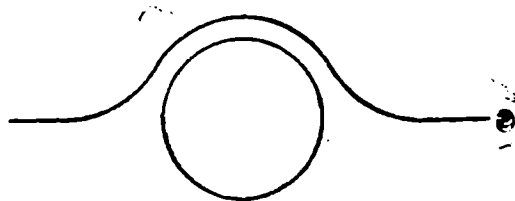
## XIV. SPUMELE

### 1. FORMAREA SPUMELOR

In capitolul precedent s'a indicat că în emulsiile concentrate, când particulele lichidului emulsionat se atingeau unele de altele, se obțineau sisteme analoge spumelor. Aceste sisteme se deosebeau de spumele obișnuite numai prin aceea că în locul unui gaz a fost luat un lichid. Am cercetat însă de la emulsiile de lichide, și emulsiile de gaze. S'a convenit a se denumi spume, emulsiile concentrate de gaze. Am indicat deja că din punct de vedere al dispersiunii este mai just să privim spumele ca lichide, disperse lameară în gaze, iar nu ca un gaz puțin dispersat într'o cantitate mică de lichid.

Să cercetăm schema formării spumelor. Bula de gaz care s'a format în interiorul lichidului are pe suprafață să de separeție gaz-lichid un strat de adsorbție, care se găsește în echilibru cu soluția înconjurătoare. În afară de aceasta, gazul din interiorul bulei, nu suportă numai presiunea exterioară, dar și presiunea forțelor superficiale, egale cu  $\frac{2\sigma}{r}$ . În decursul întregii durate de existență în interiorul lichidului, bula se găsește în echilibru cu mediul înconjurător, analog particulei de emulsie. Când sub acțiunea diferenței densităților bula se ridică la suprafața lichidului, ea antrenează o parte din lichid sub formă de peliculă și pe partea bulei

Fig. 76. – Schema formării unei bule de spumă.



careiese deasupra lichidului apare o nouă peliculă superficială, separată de cea interioară, deja existentă, printr'un strat de lichid (fig. 76). Bula ce s'a ridicat la suprafața lichidului nimerește în alte condiții: în primul rând, presiunea gazului închis în ea, pe baza ecuației cunoscute a lui Laplace, este egală cu  $\frac{4\sigma}{r}$  iar în al doilea rând, bula trece din starea de echilibru cu

mediul înconjurător, într'o stare de desechilibru, și proprietățile ei se schimbă. Lichidul cuprins între două straturi superficiale (înterior și exterior) începe să se scurgă atât sub acțiunea forței gravitației, cât și a presiunii straturilor superficiale. Ca rezultat, perejii bulei se pot subția într'atât, încât, nefiind în stare să susțină presiunea interioară, bula va crăpa. Durata existenței bulei se numește viață ei.

O asemenea bulă se poate denumi **spumă elementară**<sup>1)</sup>. Studiind stabilitatea ei, ne putem face o imagine despre stabilitatea întregii spume, construită din astfel de elemente.

Prin contopire, bulele spumei pierd caracterul lor sferic, și formează spume celulare ai căror pereți se dispun, urmând legea găsită de Plateau: 1) pe o muchie lichidă nu se pot întâlni mai mult de trei pelicule, care formează între ele unghiuri egale de  $120^{\circ}$ ; 2) într'un punct din interiorul sistemului se pot întâlni numai patru muchii, care formează între ele unghiuri egale. După dispersiunea ei, spuma se poate caracteriza ca fiind puțin dispersă sau puternic dispersă, în funcție de mărimea celulelor, deși dimensiunile lor nu sunt întotdeauna egale.

Întreaga masă a spumei, ca și fiecare bulă în parte, nu se găsește în echilibru. În spumă se produc schimbări care duc la distrugerea celulelor, la creșterea lor și dispariția spumei.

În funcție de viteza de formare (viteze de suflare a aerului) spuma cuprinde între pelicule, cantități variabile de soluție. La o formare rapidă se obține o spumă mai „umedă”, iar la o formare lentă — o spumă mai „uscată”<sup>2)</sup>. Cu timpul spuma pierde dela sine o parte de lichid. Adăușul de electroliti poate varia viteza acestui fenomen<sup>3)</sup>.

Pentru a înțelege ce reprezintă o spumă este indispensabil de a ști: 1) cauza formării bulei, 2) structura peliculei și 3) cauzele care contribuie la stabilitatea spumei.

În capitolul despre emulsii, am făcut cunoștință cu emulsiile foarte concentrate, la care, uneori, cantitatea de fază dispersă atingea 99%. La o compoziție cu un procent atât de ridicat, particulele sferice ale emulsiei se aranjau atât de aproape unele de altele, încât ele erau separate numai prin straturi subțiri de mediu de dispersiune (prin aceasta, particulele se deformați puter-

1) W. Hardy, J. Ch. Soc. L. 127, I (1925); P. A. Rebinder și E. K. Venstrem, K. Z. 53, 145, 155, 157 (1930); J. F. H. 2, 754 (1931).

2) A. Siehr K. Z. 77, 27 (1936).

3) C. A. Arbuzov, studiind acest fenomen a propus ca el să fie numit sinereză spumelor, analog cu fenomenul asemănător delor geluri. J. F. H. 10, 32, (1937); Kołl, J. 5, 867 (1939).

nic). În acest caz, sistemul căpăta însușirile unui corp solid. Un asemenea sistem este analog, ca structură, unei spume — el are celule formate din mediul de disperziune, din care au rămas aproape numai peliculele de adsorbție, celulele însăși fiind umplute cu lichid emulsionat.

## 2. STABILIZATORII DE SPUME

Spumele se formează în soluții. Lichidele pure nu formează spume, lucru care a fost dovedit încă din anul 1888 de Quincké. Folosind acest indiciu se poate aprecia puritatea unui lichid.

Substanța care se adaugă lichidului (apa) și care contribue la formarea spumei se numește spumant.

Pe suprafața de separație a soluției cu gazul se produce fenomenul de adsorbție și se formează un strat de adsorbție. De aceea structura peliculei superficiale, care înconjoară bula de aer va fi următoarea: pelicula superficială interioară (primul strat de adsorbție), stratul interior de lichid și pelicula superficială exterioară (al doilea strat de adsorbție).

Pentru formarea peliculei de adsorbție este necesară prezența unei substanțe tensioactive, de aceea alcoolii, acizii organici și sărurile lor și deasemenea și substanțele tensioactive coloidale (săpunuri, albumine, pectine) contribue la spumegarea apei.

Aceasta se poate arăta prin următoarea experiență: în cilindri cu dopuri etanșe se toarnă până la jumătatea lor — într'unul — apă curată, în al doilea — benzen curat, în al treilea — soluția unui alcool oarecare (amilic, propilic) sau a unui acid gras, în al patrulea o soluție de săpun și, în sfârșit, în al cincilea — o soluție de albumină (gelatină). Se agită uniform conținutul tuturor cilindrilor și cilindrul se așează pe masă. În primul și al doilea cilindru nu există spumă, deși tensiunile superficiale ale ambelor lichide diferă mult (la apă — 72, la benzen — 29). În cilindrii cu soluții de substanțe tensioactive (cristaloizi) se formează spumă, care însă se distrug relativ ușor, iar în cilindrii cu generatori de spume coloidali se obține o spumă foarte stabilă.

Din această experiență se vede că spuma este formată de soluțiile substanțelor tensioactive. Totuși, stabilitatea spumei depinde nu numai de activitatea superficială a generatorului de spumă, ci și de rezistența peliculei de adsorbție, pe care o formează generatorul dat. De aceea se poate observa că substanțe cu activitate superficială mai mică, dar care dau pelicule mai rezistente, sunt spumanți mai buni.

### 3. REZistență SPUMEI

Rezistența spumei depinde de structura peiculei: cu cât aceasta amintește mai mult prin structura să un corp solid, cu atât spuma formată de dânsa este mai stabilă<sup>1)</sup>. S'a observat, că concentrația generatorului de spumă determină rezistența spumei. Astfel, la mărirea concentrației substanței tensioactive în soluție, stabilitatea spumei la început crește, atinge un maximum, iar la o mărire ulterioară — scade; maximul stabilității spumei corespunde unui strat de adsorbție nesaturat. Rebinder și Talmud<sup>2)</sup>, cu colaboratorii lor, au efectuat (prin răsucirea unui plutitor cu un unghi anumit) determinarea rezistenței peiculelor de adsorbție formate de substanțe tensioactive pe apă, și au arătat că rezistența peiculei crește pe măsură ce se saturază suprafața, iar apoi scade (aceea coincidă cu variația stabilității spumei). Maximul de rezistență și de stabilitate a spumei corespunde aceluia caz, când moleculele de pe suprafață nu sunt încă complet orientate (fig. 64 A) și dau prin radicalii lor lungi (grupele nepolare), îndreptăți în toate direcțiile, impletituri care contribue la rezistența stratului. În afară de aceasta, poziția nu prea apropiată, în acest caz, a grupelor polare, le dă posibilitatea să se hidrateze mai mult și astfel să se lege mai strâns cu apa, decât la o aranjare mai compactă (fig. 62).

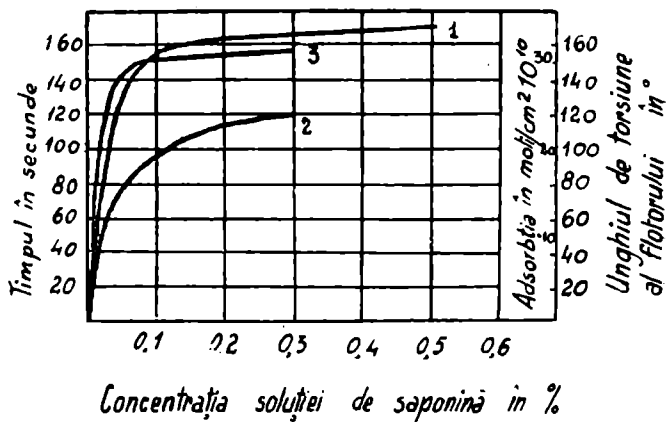


Fig. 77. — Relația între rezistența (stabilitatea) spumei și mărirea concentrației generatorului de spumă coloidal

In cazul spumantilor coloidali, un asemenea maxim nu există. La mărirea concentrației spumantului rezistența spumei

1) O. Bartsch, K. Z. 38, 177 (1926); K. Beih 20, 1 (1925).

2) D. L. Talmud, S. Suhovolscaia și N. Lubman, J. F. H. 2, 31, 54 (1931); N. Lubman, J. F. H. I, 721 (1930); Tzvet, met. 6, 854 (1931).

crește întâi repede, iar apoi din ce în ce mai încet<sup>1)</sup>). În fig. 77 s'au luat pe axa absciselor concentrațiile soluției de saponină. Curba 1 arată relația între stabilitatea spumei și concentrația, curba 2 — rezistența peliculei în funcție de concentrație, și 3 — isoterma de adsorbție.

Evaporarea are o influență asupra rezistenței spumei; de aceea, stabilitatea spumei formate în vase inchise este diferită de stabilitatea celei formate în vase deschise. Dacă spumantul se evaporă mai încet, atunci stabilitatea spumei dintr'un vas deschis este mai mică decât dintr'un vas închis. Dacă însă spumantul nu se evaporă, ci se evaporă mediul, se observă fenomenul invers.

Spuma constă din celule, legate una de alta și amintește prin insușirile ei mecanice un sistem solid<sup>2)</sup> posedând un modul de deplasare. Pe de altă parte, din cauza preponderenței fazei gazoase (aprox. 98% din volumul spumei uscate și 87% în spuma umedă) spuma posedă insușirile unui gaz, volumul său variind invers proporțional cu presiunea exterioară.

Spuma este stabilă grație presiunii existente a gazului, iar cât sunt mai mici celulele spumei, cu atât este mai mare presiunea gazului care se găsește în ele. Deoarece prin adsorbția dipolilor pe suprafață se produce o încărcare, peliculele capătă o sarcină, care deobicei este negativă.

Când vrem să obținem o spumă stabilă trebuie mărită rezistența ei mecanică. Aceasta se poate obține prin prepararea unei spume cu celule mici, cu straturi superficiale rezistente. Asemenea straturi se formează deosebit de ușor din spumant coloidal. Spumele se pot distruge pe două căi: pe cale mecanică — spărând spuma cum s-ar sparge un sistem solid, și pe cale chimică coloidală, înlocuind în peliculă substanța care dă un strat superficial rezistent, printr-o substanță care se adsoarbe ușor, dar care dă pelicule lichide, puțin rezistente. Această metodă se poate folosi deosebit de bine, când se stinge spuma prin adăugare de ulei sau de acizi organici cu moleculă mare (de ex. acid butiric). Atunci are loc înlocuirea spumantului din stratul superficial al peliculei printr-un acid care se adsoarbe ușor, dar care este un spumant mai slab. În cazul spumelor cu spumanti coloidali, spargerea spumei prin adsorbție, dă rezultate satisfăcătoare numai în cazurile când pelicula coloidală rămâne solubilă sau lichidă și nu trece

1) P. A. Rebinder și E. K. Venstreim, J. F. H. 2, 754 (1931); K. Z. 53, 145 (1930).

2) B. V. Dereaghin, J. F. H. 2, 745 (1931); 7, 296 (1936); K. Z. 68, 243 (1934).

într'o substanță solidă, insolubilă, ceeace se observă foarte des la coloizi (de ex. la saponină).

Să indicăm o serie de generatori de spumă coloidali, citându-i în ordinea descrescândă a capacității de formare a spumei (după datele laboratorului nostru<sup>1)</sup>) saponina, peptona, gelatina, pectina, caseina.

Această ordine nu se menține întotdeauna; ea poate varia în funcție de pH-ul mediului, care are o mare influență asupra substanțelor albuminoase. Când coexistă mai mulți spumanți, deobicei ei influențează unul asupra celuilalt, mărind posibilitatea de formare a spumei sau micșorând-o.

Spumele au o mare însemnatate în tehnică. Astfel, spumele stabile servesc în tehnica stingerii incendiilor. Spumele sunt necesare în procesele de flotație<sup>2)</sup>. Industria alimentară are nevoie de aceste procese la fabricarea berei, a vinurilor, în fermentație. În industria drojdiei, a săpunului, a zahărului, ele sunt periculoase. Apa pentru cazanele cu aburi nu trebuie să conțină spumanți. La formarea spumei, odată cu spuma se îndepărtează și spumanțul. Dumanschi<sup>3)</sup> a arătat că prin spumegare se pot elimina impuritățile nedorite din soluții. Wo. Ostwald a arătat (1936), că cu ajutorul spumegării se pot produce separările multor substanțe din soluții și că aceasta poate folosi ca o metodă analitică<sup>4)</sup>. Capacitatea de formare a spumelor extractelor apoase de diverse produse tehnice se poate folosi pentru caracterizarea atât a produselor cât și a proceselor lor de obținere. Astfel, Kulman<sup>5)</sup> a arătat că extractele apoase de făină, coca și pâine se deosebesc net după capacitatea de formare a spumei (cea mai mare cantitate de spumă se obține la extractele din coca, apoi din făină și cea mai mică din pâine).

Spuma se formează prin suflarea de aer (gaz) în lichid printr'un orificiu, sau prin agitarea lichidului cu aerul într'un vas închis, sau, în sfârșit, prin agitarea aerului cu lichidul cu ajutorul unui dispozitiv mecanic. În afară de aceste metode, mai pot exista și metode combinate.

1) A. Dumanschi, T. A. Granscaia și N. V. Novicov. Lucrările Inst. central de cercetări biochimice al industriei alimentare, 3, ed. 10, I (1933); A. Dumanschi, T. A. Granscaia și G. R. Visnevscaia (Voronej) No. 2, 96 (1934).

2) P. Rehinder, Fizico-chimia proceselor de flotație M. (1933).

3) A. Dumanschi, J. sah. prom. 4, 427, 440 (1930).

4) Wo. Ostwald u. A. Sieher, K. Z. 76, 33 (1936); 79, II (1937); A. Sieher K. Z. 77, 27 (1936); 78: 156 (1937).

5) A. G. Kulman, Culozii din industria alimentară (sub red. lui A. Dumanschi) Culegere I. pag. 58 M. Piscepromizdat (1945).

Studiul spumei se face mai ales cu ajutorul aşa zisei metode pneumatice, care a fost aplicată de Dumanschi, Aleinicov<sup>1</sup>), Tiutiunicov<sup>2</sup>) și alții, sau prin metoda de agitare care a fost aplicată de Barch, Lubman și a.

#### 4. COLORAȚIA SPUMELOR

Invelișul care înconjoară celulele spumei are, după cum știm, două pelicule superficiale, separate prin lichid. O asemenea peliculă poate avea diferite grosimi. Când această grosime este cu mult mai mare decât lungimea undei de lumină, pelicula este colorată în alb; când însă dimensiunile se apropiu de lungimea undei de lumină, fenomenele de interferență dau un aspect colorat și peliculele spumei capătă colorații foarte vii în toate culorile, în funcție de grosimea lor: aceasta este ușor de observat la bulele de săpun<sup>3</sup>). La o grosime a peliculei de aprox.  $210 \text{ m}\mu$  se observă o colorație violetă. Când pelicula devine foarte subțire, pe ea apar pete negre. Conform cercetărilor lui Perrin<sup>2</sup>), grosimea peliculei de săpun este în acest caz de numai  $4,4 \text{ m}\mu$ . Pentru clarificarea caracterului variației culorilor, se poate sufla o bulă mare de săpun și observa variația colorației ei. Pe măsură ce lichidul se scurge de pe peliculă, pelicula bulei se subțiază de sus, culorile ei se schimbă și, în sfârșit, apar pete negre și bula se sparge.

1) N. A. Aleinicov, Metale neferoase 6, 15-16 (1931).

2) B. Tiutiunicov și N. Casanova, Industria grăsimilor și uleiurilor Nr. 2, 22 (1933).

3) C. B. Boys, Bule de săpun (1919).

4) J. Perrin, K. Z. 51, 2 (1930).

## XV. FENOMENE DE ADSORBTIE LA LIMITA SOLID-LICHID SI SOLID-GAZ

### 1. ISOTERMA LUI FREUNDLICH

Am studiat formarea stratului de adsorbție la limitele lichid-gaz și lichid-lichid și legătura acestui fenomen cu variația tensiunii superioare la limitele acestor faze.

Formulele fundamentale au fost ecuația lui Gibbs (87) și ecuația lui Langmuir (96).

Dar ecuația lui Gibbs necesită cunoașterea variației tensiunii superioare în funcție de concentrație  $\frac{d\sigma}{dc}$ , ceea ce la un corp solid este foarte greu de determinat. Ecuația lui Langmuir a apărut abia în timpul din urmă. Fenomenul de adsorbție la limita solid-lichid și solid-gaz a fost observat în anul 1785 de academicianul rus Loviș, care a observat că substanțele colorante din soluții sunt extrase de către cărbune. Această însușire a fost în curând utilizată pentru purificarea soluțiilor.

Este foarte natural, că atât cercetările teoretice, cât și problemele practice să fi necesitat o formulă comodă, care să lege cantitatea de substanță adsorbită de concentrația soluției. Trebuia dată o relație empirică, chiar dacă aceasta n'ar fi fost bazată pe teorie. O asemenea formulă empirică a fost dată în anul 1894<sup>1)</sup> și a fost cercetată detaliat și aplicată de Freundlich<sup>2)</sup> (1907), (cunoscută sub numele de **isoterma de adsorbție a lui Freundlich**). Ea se aplică des sub forma următoarei relații:

$$\frac{x}{m} = \alpha \cdot c^{1/n}, \quad (98)$$

1) G. C. Schrödiger, Z. phys. Ch. 15, 56 (1894); Georgievitsch Monatsh. Ch. 15, 70 (1894). Appleyard și Walker, J. Ch. Soc. London 59, 1334 (1896).

2) H. Freundlich, Z. phys. Ch. 57, 385 (1907); 73, 385 (1910).

unde  $x$  este cantitatea de substanță adsorbită, care se determină direct din diferența între cantitatea de substanță disolvată în soluția dată și cantitatea rămasă după ce sistemul a intrat în echilibru;  $m$  — cantitatea de substanță adsorbantă în gr. (să denumim această substanță **adsorbant**, iar substanța adsorbită — **adsorbit**);  $c$  — concentrația de echilibru a substanței adsorbite;  $\alpha$  și  $\frac{1}{n}$  — constante, care se determină pe cale experimentală.

Ecuția (98) s-a dovedit a fi foarte comodă și dă rezultate bune la cercetarea adsorbției soluțiilor diluate de substanțe nedisociate, sau foarte puțin disociate în diferiți solvenți (apă, alcoolii, eter, benzen și. a.) pe diferiți adsorbenți: cărbune, lână, mătase, kieselgur și. a.

Prin introducerea în coordonate rectangulare a mărimilor  $\frac{x}{m}$  și  $c$  obținem o curbă (fig. 78), foarte asemănătoare curbei de adsorbție la suprafața de separație lichid-lichid și lichid-gaz (vezi fig. 59) care satisfac parțial, la concentrații mici, ecuațiile lui Gibbs și Langmuir, dar care diferă de ele prin aceea că la concentrații mari, curbele lui Gibbs și Langmuir devin paralele cu axa absciselor, în timp ce curba lui Freundlich trece la concentrații mari într-o dreaptă înclinată, care se ridică în sus.

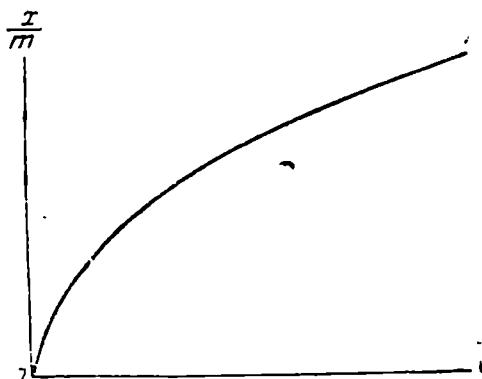


Fig. 78. — Isoterma lui Freundlich.

Constantele  $\alpha$  și  $\frac{1}{n}$  se pot determina, fie prin calculul valo-  
rii medii dintr'un număr mare de experiențe, fie grafic. Ultima  
metodă este în primul rând mai ușoară și în al doilea rând ea  
servește în același timp drept control prin care se determină dacă  
fenomenul cercetat este un fenomen de adsorbție sau nu.

Logaritmând ecuația (98) obținem :

$$\lg \frac{x}{m} = \lg \alpha + \frac{1}{n} \lg c \quad (99)$$

Ecuția obținută este ecuația unei drepte (fig. 79). Constantele se determină grafic, căci

$$\lg \alpha = OA \text{ și } \frac{1}{n} = \operatorname{tg} \varphi.$$

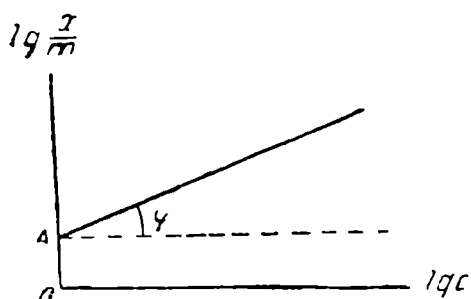


Fig. 79. – Isoterma lui Freundlich în coordonate logaritmice.

să agităm puternic și să filtrăm printr'un filtru de hârtie. Lichidul filtrat se obține, fie complect incolor, fie mult mai puțin colorat. S'a produs refinarea colorantului de către suprafața cărbunelui, deci fenomenul de adsorbție. Cu cât cărbunele va avea o suprafață specifică mai mare, cu atât fenomenul de adsorbție va fi mai vizibil.

Isoferma care reprezintă relația (98) a fost cercetată foarte amănunțit de Freundlich între anii 1907-1910; ea se aplică și actualmente, extrem de des, din cauza simplicității sale.

Unii autori, de ex. Schmidt<sup>1)</sup> au dat formule empirice mai perfecte, dar după cercetările lui Boutaric<sup>2)</sup>, ele nu prezintă avantaje prea mari, fiind în acelaș timp mai complicate.

Să cercetăm mai îndeaproape aplicabilitatea isotermei lui Freundlich.

Constanta  $\frac{1}{n}$  variază relativ puțin pentru diferenții adsorbați și substanțe adsorbite, oscilând deobicei între limitele de la 0,1 până la 0,5 și atinge numai rareori valori mari. Tab. 29 dă unele valori ale acestei constante. Constanta  $\alpha$  variază însă foarte mult în funcție de substanță respectivă.

O variație relativ mică a constantei  $\frac{1}{n}$  schimbă foarte mult caracterul isotermei.

Cercetând isoterma lui Freundlich, o serie de autori au arătat că există o imperfecție fundamentală, care constă în aceea că orice teorie care explică fenomenul adsorbției trebuie să ia în

1) Schmidt, Z. Phys. Ch., 74, 689 (1910); 83, 674 (1913).

2) A. Boutaric, C. r., 188, 450 (1926); J. chim. phys., 26, 492 (1926).

Să ne oprim asupra adsorbției de către un corp solid a unei substanțe disolvate în lichid, care fenomen este foarte important în chimia coloidală și, pentru o înțelegere mai bună, să efectuăm mai întâi următoarea experiență. Să pregătim soluții de coloranți — de ex. de fuxină, verde brillant, metilviolet, cristal violet, și să adăugăm în fiecare balon 1 gr. de cărbune animal,

Tabelă 29

**Valorile constantei  $\frac{1}{n}$**   
**(după Freundlich<sup>1)</sup>**

Adsorbentul	Solventul	Substanță adsorbită	$1/n$
cărbune	apa	acid formic . . . . .	0,451
		acid acetic . . . . .	0,425
		acid propionic . . . . .	0,394
		acid butiric . . . . .	0,301
		acid picric . . . . .	0,240
		alcool isobutilic . . . . .	0,555
cărbune	benzen	acid acetic . . . . .	4,419
mătase	apa	acid picric . . . . .	0,347
mătase	alcool	acid picric . . . . .	0,363

considerație stratul superficial saturat; formula dată nu-l ia în considerație.

În ecuația (98), cantitatea de substanță adsorbită este raportată la 1 g de adsorbent; în realitate, însă, există numai o dependență indirectă de masa  $m$  și o dependență directă de suprafața adsorbantului; de aceea, în această formulă de adsorbție ar trebui să existe o mărime care să caracterizeze dimensiunile suprafeței. În formula lui Freundlich o asemenea valoare este constantă. S'a observat că structura adsorbantului are o foarte mare importanță; de ex., conform cercetărilor lui Oden<sup>2)</sup> sulful amorf și cel cristalin au capacități diferite de adsorbție. Dumanschi și Iacovlev<sup>3)</sup> au observat creșterea coeficientului  $\alpha$  la adsorbția tartratului de Na din soluții apoase pe un precipitat de  $\text{Al(OH)}_3$ , atât puternic dispersat cât și slab dispersat; în primul caz,  $\alpha$  era egal cu 959, iar în al doilea, cu 94.

1) H. Freundlich, *Kapillarchemie*, 263, 3 Aufl. (1923).

2) Sv. Oden, *Kolloidschwefel*, Nova Acta Reg. Soc. Upsalensis, 1913.

3) A. Dumanschi și A. G. Iacovlev, J. R. F. H. O. 61, 151 (1929).

Constanta  $\frac{1}{n}$  caracterizează relația între adsorbant și substanța adsorbită și are deci o oarecare legătură cu chimismul procesului. (Chakravarti și Dhar<sup>1</sup>).

Un număr imens de experiențe a fost efectuat cu cărbunii<sup>2</sup>), întrebuiență ca adsorbanți, căci capacitatea de adsorbție a cărbunilor este extrem de mare în comparație cu alte substanțe. Multe experiențe au fost efectuate cu diferite fibre (pentru studiul procesului de colorare). A fost deosemenea cercetată și anhidrida acidului silicic, aşa numitul silicagel, kiselgurul și argilele.

Studiind curba de adsorbție nu este greu de observat că îndepărarea cea mai complexă a substanței disolvate se produce la concentrațiile mici ale soluției (ascendența rapidă a curbei dela zero); aceasta și trebuie folosit în practică. La concentrații mari, rentabilitatea aplicării adsorbției scade mult.

Conform regulii lui Traube-Duclaux, capacitatea de adsorbție a acizilor, alcooliilor și altor compuși organici cu radicali polari crește în serie omoloagă. Freundlich<sup>3</sup>) a arătat că regula lui Traube-Duclaux se poate aplica la adsorbția acizilor organici din soluții apoase pe suprafețele nepolare ale cărbunelui. În cazurile cercetate lichid-gaz (nepolar) și lichid-cărbune (nepolar) orientarea moleculelor pe suprafață este complet identică: grupa polară este îndreptată spre lichidul polar (apa), iar catena hidrocarbonată nepolară — către fază nepolară. Dacă însă se ia un solvent nepolar și un adsorbent polar (silicea), atunci la adsorbția acizilor grași se obține o orientare inversă: grupa polară este îndreptată înspre fază solidă, iar catena hidrocarbonată nepolară înspre lichid. Ca o urmare a acestui fapt, rezultă că, cu cât este mai lungă catena hidrocarbonată reținută de lichid, cu atât adsorbția se va produce mai greu, adică în acest caz are loc regula inversată a lui Traube-Duclaux: capacitatea de adsorbție scade în seria omoloagă, ceea ce a fost confirmat și experimental<sup>4</sup>).

În soluții concentrate, fenomenul este mult mai complex: curba de adsorbție are un maxim, după care coboară foarte des până la axa absciselor trecând în domeniul adsorbției negative. În afară de aceasta, aici trebuie luată în considerație nu concentrația obișnuită a adsorbantului, ci activitatea moleculelor lui în soluție. Aceste două valori devin egale numai în soluții diluate.

1) N. Chakravarti și N. D. Dhar, J. Phys. Ch. 31, 997.

2) M. M. Dubinin, Prinzipii fizico-chimice la tehnica adsorbției. M. 1932.

3) H. Freundlich, Kapillarchemie, 259, 4 Ausf. 1930.

4) H. Holmes și J. B. Mc Kelvey, J. Phys. Ch. 32, 1522 (1928).

La concentrații mari valorile concentrației și activității se pot deosebi foarte mult una de alta<sup>1)</sup>.

## 2. ISOTERMA LUI LANGMUIR

O formulă rațională de adsorbție va fi în cazul de față și formula lui Langmuir (96), discutată mai sus.

În ecuația lui Langmuir  $Q$  este raportat la 1 cm<sup>2</sup>. Dacă un gram de adsorbant are o suprafață  $S$ , atunci

$$QS = Q_\infty S \frac{c}{A + c}$$

sau

$$Q' = Q'_\infty \cdot \frac{c}{A + c} \quad (100)$$

Atunci ecuația poate servi pentru cazurile când nu se poate cunoaște direct valoarea  $S$  și cantitatea de substanță adsorbită trebuie determinată pentru întreaga suprafață, pe care o are 1 gr. de adsorbant.

Concentrația de echilibru se găsește din experiență prin determinarea cantității inițiale și finale de substanță adsorbită în soluție. Constantele  $Q'_\infty$  și  $A$  se determină pe baza curbei de adsorbție, găsită experimental.

Este foarte ușor de determinat valoarea constantelor prin metoda grafică, propusă de P. Rebinder. Să aducem pentru aceasta membrii ecuației (100) la același numitor; atunci

$$Q'c + Q'A = Q'_\infty c.$$

Împărțind ambii membri ai ecuației la produsul  $Q'$ ,  $Q'_\infty$  vom obține:

$$c \frac{1}{Q'_\infty} + \frac{A}{Q'_\infty} = \frac{c}{Q'}, \quad (101)$$

unde  $\frac{1}{Q'_\infty}$  și  $\frac{A}{Q'_\infty}$  sunt constante, iar  $c$  și  $\frac{c}{Q'}$  — variabile.

Ecuația (101) este ecuația unei drepte. Reprezentând-o grafic (fig. 79) (luăm ca ordonată  $\frac{c}{Q'}$ , iar ca abscisă concentrația  $c$ ) vom avea:

$$\operatorname{tg} \varphi = \frac{1}{Q'_\infty} \text{ și } AO = \frac{A}{Q'_\infty}.$$

1) S. Broese, K. Z. 91, 20 (1940).

Concentrația de echilibru  $c$  se cunoaște din experiență, cantitatea de substanță adsorbabilă de întreaga cantitate de adsorbant sau de 1 g de adsorbant se determină și ea din experiență, fiind astfel ușor de determinat valoarea  $\frac{c}{Q'}$ . Mărimea  $AO$  și unghiul  $\varphi$  se măsoară pe diagrama obținută; apoi se calculează  $Q' \infty$  și  $A$ .

Conform teoriei lui Langmuir, stratul de adsorbție este monomolecular. Fiecare molecule ocupă în stratul saturat o suprafață strict delimitată, independent de suprafața de separație<sup>1)</sup>. Pe această bază nu este greu de rezolvat problema privitoare la mărimea suprafeței adsorbantului. Să cercetăm un exemplu luat din lucrările lui L. A. Lagutchina<sup>2)</sup>.

La adsorbția alcoolului amilic pe 1 g negru de fier s-au obținut:

$$Q' \infty = 85,4 \cdot 10^{-5} \text{ g. mol.}$$

Pe baza studiului adsorbției alcoolului amilic la limita apăsară s'a găsit:

$$Q \infty = 6,4 \cdot 10^{-10} \text{ g. mol/cm}^2.$$

De unde suprafața unui gram de negru de fier este egală cu:

$$S = \frac{Q' \infty}{Q \infty} = \frac{85,4 \cdot 10^{-5}}{6,4 \cdot 10^{-10}} = 1,3 \cdot 10^6 \text{ cm}^2 = 130 \text{ m}^2.$$

În acest fel se poate calcula că suprafața unui gram de cărbune animal  $S = 6,2 \cdot 10^6 \text{ cm}^2 = 620 \text{ m}^2$ . Cărbunele pentru maștile de gaze<sup>3)</sup> are  $S = 720 \text{ m}^2$ .

Un alt adsorbant tehnic — gelul de silice — posedă deosebitene o suprafață foarte mare:

$$S = 100 \cdot 10^4 \text{ cm}^2 = 100 \text{ m}^2.$$

Pe suprafața unui corp solid, ca și pe suprafața lichidelor, se produce orientarea moleculelor, radicalii lor dispunându-se diferit, în funcție de caracterul fazelor solide sau lichide.

### 3. ADSORBȚIA ȘI FORȚELE REȚELEI CRISTALINE

Pentru adsorbție are o foarte mare importanță caracterul structurii tazei solide.

Moleculele (atomii sau ionii) se rețin în cristal grație forțelor

1) A. B. Taubman, J. O. H. 1, 1039 (1931).

2) L. A. Lagutchina, Lucrările inst. de pedagogie, Nr. 9 (1930), Moscova.

3) Z. Volkov, J. F. H. 2, 702 (1931).

dor rețelei cristaline, adică prin forțele fundamentale sau reziduale ale afinității chimice. La atomii care se găsesc la suprafața cristalului, o parte din forțele de coeziune (situate în faza intermedieră) sunt nesaturate; din această cauză moleculele substanței disolvate se pot atrage și orienta pe suprafață.

Cercetând astfel adsorbția, înci o asemănătură întrucâtva cu cristalizarea. Paneth, iar ceva mai târziu Fajans<sup>1)</sup> au presupus că cel mai ușor se vor dispune la suprafață acei atomi (grupe) care există fie în rețea cristalină, fie că îi pot înlocui (atomii izomorfii).

De exemplu, pe cărbune se vor dispune cel mai ușor radicalii în a căror compoziție intră carbonul, iar pe suprafața oxiziilor sau hidroxizilor metalici ( $\text{Al}_2\text{O}_3$  și  $\text{Fe}_2\text{O}_3$ ), se vor dispune radicalii care conțin oxigen.

Inafară de molecule mai pot fi adsorbiți și ionii; în acest caz ionul adsorbit va comunica suprafeței sarcina sa electrică. Lottermoser<sup>2)</sup> a arătat că suprafața  $\text{AgCl}$ , introdusă într-o soluție de clorură, de ex.  $\text{KCl}$ , grație forțelor rețelei cristaline va adsorbi la suprafață  $\text{Cl}^-$  (în nodurile rețelei cristaline se găsesc ioni de  $\text{Cl}^-$ ), lăsând  $\text{K}^+$  în soluție, din care cauză suprafața clorurii de argint se va încărca negativ. Dacă însă se introduce  $\text{AgCl}$  într-o soluție de  $\text{AgNO}_3$ , atunci, către suprafață, vor fi atrași ionii  $\text{Ag}^+$ , fiindcă în nodurile rețelei cristaline există ioni de  $\text{Ag}^+$ , în timp ce  $\text{NO}_3^-$  rămâne în soluție și suprafața este încărcată pozitiv. Adsorbția pare să complecteze în acest fel cristalele de pe suprafață cu ioni, caracteristici compusului dat (fig. 80).

Forțele care efectuează acest travaliu sunt forțe chimice.

Puncte de vedere analoage au fost exprimate și de alții autori<sup>3)</sup>.

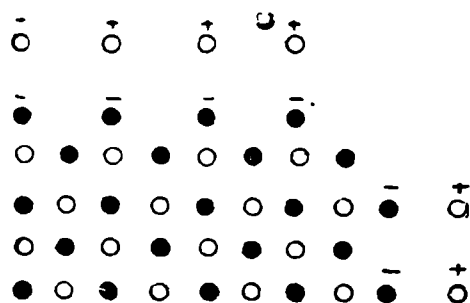


Fig. 80. — Adsorbția pe cristal; după Fajans: ● ionul clor; + ionul argint.

1) K. Fajans u. K. von Beckerath, Z. phys. Ch. 97, 478 (1921).

2) A. Lottermoser, J. prakt. Ch. (2), 72, 39 (1908); Z. phys. Ch. 62, 359 (1918).

3) J. Mukherjee, Trans. Farad. Soc. (A), 16, 103 (1920/21); Paneth u. W. Vorwerk, Z. phys. Ch. 101, 445 (1922); H. R. Krantz u. P. van der Wiiligen, Z. phys. Ch. 139, 53 (1928); 167, 137, 149, 312 (1933).

Exemplui citat arată că procesul de adsorbție amintește o reacție chimică. Această asemănare poate fi în unele cazuri și mai mare. Așa, de pildă, silicea ( $\text{SiO}_2$ ), introdusă în apă o adsorbă cu ajutorul forțelor afinității chimice<sup>1)</sup> și suprafața silicei în apă este acoperită cu un strat de apă de hidratare sub formă de hidroxizi, care, disociindu-se, dă ionii de  $\text{H}^+$ , din care cauză suprafața adsorbantului se încarcă pozitiv. În icea, sub forma aşa numitului „gel de silice”, este un adsorbant tehnic. Utilizându-l într-un mediu apos, trebuie reținut că suprafața lui este hidratată. În mediile neapoase  $\text{SiO}_2$  este, din motivele indicate, un foarte bun deshidratant.

Michaelis și Rona<sup>2)</sup> au observat adsorbția ionilor la adsorbirea lor din soluțiile apoase de coloranți. Cationul fiind un derivat al hidrocarburilor se orientă pe suprafața cărbunelui, în timp ce anionul (de ex. ionul  $\text{Cl}^-$ ) rămâne în soluție. În acest fel se adsorbă clorura albastrului de metilen. Dacă se face legătura între fenomenul de adsorbție și cristalizarea primară pe suprafață, atunci la diferite limite cristaline fenomenul adsorbției va decurge diferit, ceea ce și observă în realitate. Moleculele corpului străin, adsorbându-se, ocupă poziții determinate în rețeaua cristalină, deslocuind moleculele substanței, care cristalizează, din care cauză se produce o întârziere a cristalizării, iar muchia cristalului crește mai mult<sup>3)</sup>.

Experiența confirmă această presupunere. Întârzierea cristalizării este provocată de acele materii colorante care colorează cristalul. De ex., cristalele de  $\text{Na}_2\text{SO}_4$  se colorează cu brunul lui Bismarck, cu roșul de purpur, cu galbenul de chinolină; aceiași coloranți au o acțiune inhibitoare asupra cristalizării. Coloranți ca albastrul de metilen și extractul de campêche nu colorează cristalul și nu influențează asupra vitezei de cristalizare. Din cauză că adsorbția decurge diferit pe diferențele suprafețe ale cristalului, creșterea cristalului în prezența unor corpuri străine, decurge câteodată complet diferit. De exemplu, la cristalele care se separă din soluții ce conțin asemenea substanțe tensioactive cum sunt coloranții, se desvoltă acele suprafețe care adsorb mai puțin din care cauză forma cristalului ce se separă poate varia mult.

Prezența în solvent a substanțelor care se adsorb pe cristal

1) P. C. Carman, Usp. Chim. 11, 53 (1942).

2) L. Michaelis u. P. Rona, Bioch. Z. 102, 258 (1920).

3) R. Mark, Z. phys. Ch. 58, 101 (1910); 73, 685 (1910); V. C. Semenec, usp. chim. 3, 741 (1934).

poate schimba nu numai forma cristălului, dar poate împiedica cristalizarea<sup>1</sup>).

Toate acestea sunt îoarte importante la cristalizarea tehnică și preparativă. De aceea, pentru buna conducere a procesului trebuie îndepărtațe cu grijă substanțele străine, în special cele tensioactive — de exemplu la cristalizarea zahărului. În alte cazuri, care se întâlnesc în industria alimentară este, din contrarivă, necesară o încetinire a cristalizării zahărului prin adăugarea substanțelor respective, care se adsorb ușor.

#### 4. ACTIVAREA

Cercetând fenomenul de adsorbție noi am presupus că suprafața corpului solid adsoarbe la fel în toate punctele ei; totuși, studiul detaliat al adsorbției (Taylor<sup>2</sup>) a arătat că pe suprafață există locuri deosebit de active, unde fenomenul decurge deosebit de intens. Asemenea locuri sunt proeminențele brûște pe suprafața muchiilor microcristalelor. Însușirea acestor proeminențe se poate explica prin aceea că pe ele se plasează foarte izolat, complect independent, atomi separați cu valențe libere, care provoacă o atracție puternică a substanței ce se adsoarbe.

Inafara de aceasta, noi am amintit în treacăt că substanțele cu structură amorfă trec dela sine în cristale. Conform principiilor termodinamicei, un asemenea proces este legat de pierderea energiei libere. De aici se poate trage concluzia, că suprafața materiei amorse posedă o energie superficială mai mare și adsoarbe mai energetic, decât suprafața cristalină. Intrucât pentru adsorbție este importantă structura stratului superficial și întrucât în partea interioară a corpului solid, este suficient ca prelucrând suprafața, să facem sgrunțuroasă, în locul unei suprafețe netede vom obține o suprafață neregulată, cu un mare număr de proeminențe microscopice și ultramicroscopice, care va avea o mare capacitate de adsorbție.

Interesându-se de chestiunea adsorbanților energici, tehnică a pus problema activării. Activarea constă în conserirea unei capacități de adsorbție mai energice, ceea ce se realizează în primul rând prin eliberarea suprafeței de substanțe străine, iar în al doilea rând, prin desvoltarea suprafeței. Multe feluri de cărbune activat se prepară supunând cărbunele de lemn unui tra-

1) M. L. Cepelevičchi și B. B. Evzina, Chim. ref. j. 2, 47 (1938).

2) H. S. Taylor, J. Phys. Ch. 30, 145 (1926).

tament cu abur supraîncălzit sau cu bioxid de carbon la temperatură ridicată.

Temperatura de activare influențează puțernic însușirile cărbunelui. La temperatură joasă se obține o structură amorfă, iar la temperatură ridicată — o structură microcristalină (grafitul). Ruff și Mautner<sup>1)</sup>, studiind influența temperaturii de activare, au efectuat cercetarea roentgenografică a cărbunilor și au găsit că la temperaturi înalte și la activare îndelungată, cărbunii dau pe roentgenogramele lor linii care corespund rețelei cristaline a grafitului. Capacitatea de adsorbție scade prin aceasta foarte mult.

Activitatea cărbunilor este diferită în funcție de substanță ce se adsoarbe. Aceasta indică existența unei oarecare dificultăți la caracterizarea lor generală<sup>2)</sup>.

## 5. INFLUENȚA SOLVENTULUI

Până acum am cercetat cazurile de adsorbție din soluții apoase; totuși, acest proces poate decurge și în alți solvenți, de ex. în solvenți organici. În cazul cărbunelui adsorbția va fi probabil mai slabă, din cauză că substanța organică este foarte puternic reținută de suprafața cărbunelui.

Experiența următoare a adsorbției acidului picric pe cărbune ilustrează bine influența solventului asupra procesului de adsorbție. Acidul picric se adsoarbe foarte bine pe cărbune din apă. După aceasta, cărbunele cu acidul adsorbit poate fi spălat cu o mare cantitate de apă, aproape fără îndepărțarea acidului adsorbit. Dacă însă se spală cărbunele cu alcool, care are în comparație cu apa o tensiune superficială mică, sau cu eter, are loc o îndepărțare masivă a acidului picric. Un alt adsorbant, care este astăzi foarte răspândit — gelul de silice, adsoarbe mult mai slab din soluții apoase, căci pe suprafața lui se rețin ușor moleculele de apă, care conțin oxigen și hidroxil, ceeaace are ca urmare o îngreunare a adsorbției substanțelor organice tensio-active. Din acest motiv, gelul de silice poate fi întrebuită cu succes la adsorbția moleculelor polare din soluții neapoase.

Se poate stabili următoarea regulă :

Adsorbanții polari adsorb bine moleculele polare ale substanței ce se adsoarbe din solvenți nepolari. Adsorbanții nepolari,

1) O. Ruff u. P. Mautner, K. Beih 26, 312 (1928).

2) M. M. Dubinin, J. R. F. H. O. 62, 1627 (1930).

adsorb bine din solvenți polari moleculele nepolare, sau moleculele cu radicali mari, nepolari (substanțe tensioactive).

Echilibrul de adsorbție se stabilește pe suprafață extrem de repede<sup>1)</sup>. La adsorbanți poroși, viteza scade repede din cauza greutății pătrunderii substanței adsorbite prin pori și se măsoară nu în secunde, ca în primul caz, ci în ore și chiar și în zile<sup>2)</sup>.

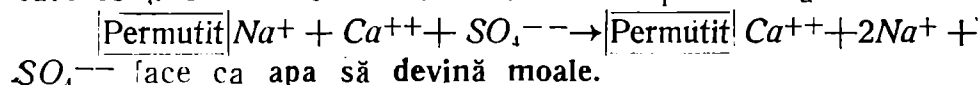
Viteza de adsorbție depinde în mare măsură de viteza de difuziune a substanței disolvate. De aceea viteza de adsorbție depinde de concentrația substanței ce se adsoarbe și se micșorează cu mărirea viscozității mediului și cu scăderea temperaturii.

## 6. ADSORBȚIA ELECTROLITILOR

La adsorbția electrolitilor tari pe cărbune, se observă, fie o adsorbție echivalentă a ambilor ioni, fie o adsorbție selectivă a unuia din ioni, când se produce hidroliza și suprafața adsorbanțului se încarcă.

În sfârșit, din cauză că adsorbantul are ioni pe suprafața lui, și adsorbția electrolitilor (ionilor) se observă o **adsorbție de schimb**. În acest caz cantitatea de ioni adsorbită corespunde cantității echivalente de ioni de același semn deplasări de pe suprafața adsorbantului. Adsorbția de schimb este foarte răspândită în sistemele coloidale. Ea are o foarte mare importanță în studiul rocelor (K. Gedreuz); ea este folosită pentru înlocuirea ionicilor nedoriți din apă, întrebunțiată pentru scopuri industriale, de ex. pentru micșorarea densității apei de alimentare a cazanelor cu aburi, cu scopul de a se evita crustele.

Din asemenea substanțe fac parte permutații. Acesteia sunt siliceați, obținuți pe cale artificială, care trimit în soluțiile apoase anumiți ioni. De ex. permutitul de Na, plasat într-o apă dură care conține  $\text{Ca}^{++}$  este înlocuit cu  $\text{Na}^+$  după schema



Cărbunii activați, care se găsesc într-o atmosferă de aer, adsorb oxigen. Dacă după aceasta ei sunt cufundați în apă, ei se comportă conform cercetărilor lui Bruns și Frumchin<sup>3)</sup> asemenea unui electrod de gaz, dând  $\text{OH}^-$  solventului și încărcându-se pozitiv. Dacă un astfel de cărbune este încălzit până la 1000°

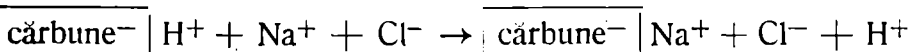
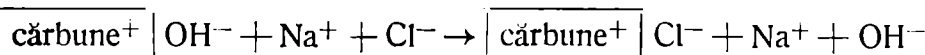
1) R. Mark. Z. Electroch. 20, 515 (1914).

2) M. M. Dubinin, Z. phys. ch. 155, 116 (1931).

3) B. Bruns și A. N. Frumchin, Z. phys. Ch. 141, 141 (1929). I

într'o atmosferă de hidrogen, și apoi cu suflare în apă, el cedează  $H^+$  și se încarcă **negativ**. Sarcina electrică a cărbunelui influențează mult asupra proprietăților lui de adsorbție: cărbunele încărcat pozitiv (care a adsorbit oxigen) adsoarbe acizii, iar cărbunele încărcat negativ (care a adsorbit hidrogen) adsoarbe baze.

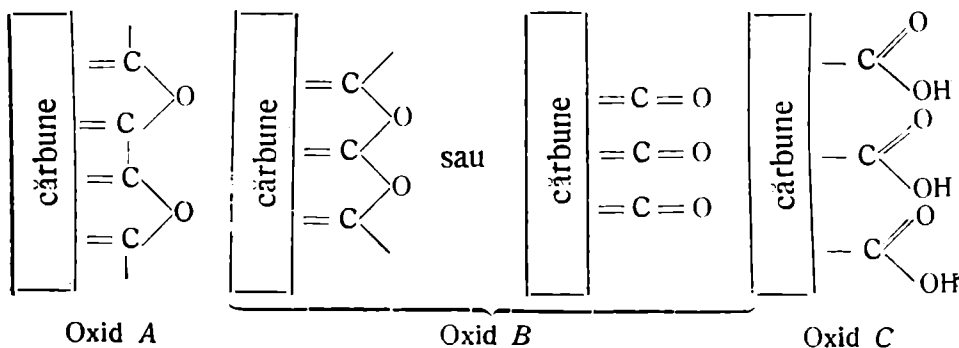
In cazul adsorbției unei sări, se produce hidroliza după schema



și soluția capătă după adsorbție o reacție acidă sau alcalină.

Cercetările lui A. N. Frumchin<sup>1)</sup> și ale colaboratorilor săi au clarificat influența micilor cantități de platină asupra capacitatei de adsorbție a cărbunelui. S'a constatat că acest cărbune încărcat pozitiv, care adsoarbe anionii ( $Cl^-$  din  $NaCl$ , soluția devenind alcalină) începe să-și piardă însușirile lui pozitive, când i se adaugă mici cantități de platină și devine încărcat negativ. Schimbarea sarcinii electrice a cărbunelui face să varieze însușirile lui de adsorbție și din soluțiile sărurilor neutre cărbunele începe să adsoarbă cationii, din care cauză soluția devine acidă.

Şilov<sup>2)</sup> explică altfel particularitățile de adsorbție ale cărbunelui. Se știe<sup>3)</sup> despre cărbunii activați, obținuți la o temperatură moderată (500—600°) că adsorb substanțele alcaline din soluție; această proprietate dispare la o încălzire până la 1100°. Silov explică particularitățile de adsorbție ale cărbunilor prin formarea pe suprafață a următorilor oxizi:



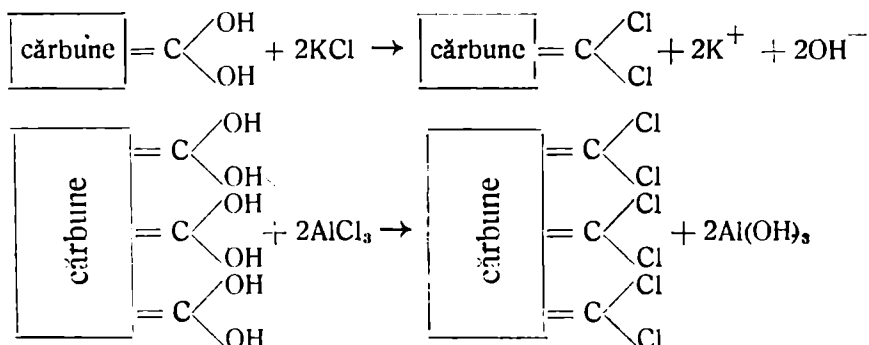
1) A. N. Frumchin, O. Zarubina și S. Levina, J. F. H. 2, 545 (1931).

2) N. A. Silov și C. Cimutov, Z. phys. Ch. 13, 188 (1928); N. A. Silov, K. Z. 52, 107 (1930); J. F. H. 2, 213 (1931); N. A. Silov, E. řatunovskaya și K. Cimutov Z. phys. Ch. 149, 211, 150 (1930). )

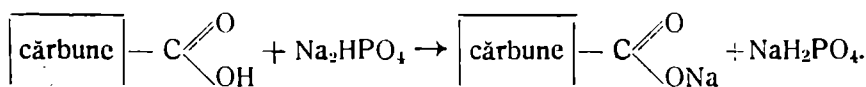
3) J. Ogava, Bioch. Z. 161, 275 (1925); 102, 249 (1926).

La temperaturi mari (până la 1000°) se formează oxiziile A și B.

Primul oxid se obține numai la presiuni mici de oxigen, posedă insușiri bazice și adsoarbe acizii, dar nu produce hidroliza sărurilor. Al doilea oxid se formează la presiuni mari de oxigen și se găsește pe cărbuni activați, obținuți la temperaturi înalte. El posedă insușiri bazice, adsoarbe acizii și produce hidroliza sărurilor, hidratându-se întâi după schema:



Oxidul C se formează la încălzirea cărbunelui la temperatură joasă (până la 500°), are caracter acid și produce o adsorbție hidrolitică a sărurilor.



Existența unei suprafețe oxidata se confirmă printr'o serie de experiențe. În chimia coloidală trebuie intotdeauna avut în vedere la studiul insușirilor soluțiilor că suprafața particulei coloidale poate fi foarte des acoperită cu compuși superficiali analogi.

În ultimul timp au început să fie întrebuițați în tehnică, pentru adsorbția de schimb, aşa numiți „permutiți ionici”<sup>1)</sup> de tipul rășinilor sintetice, care servesc la prepararea maselor plastice. Astfel, rășinile de tipul bacheitei au caracter acid, în timp ce aminoplastele au caracter bazic. Primele adsorb prin permutare cationii, celelalte — anionii. Adsorbția de schimb are o mare importanță pentru o întreagă serie de procese tehnologice, care necesită îndepărțarea ionilor și sărurilor nedorite din soluțiile apoase.

1) R. Griessbach, Beih. zur angew. Ch. 1939, Nr. 16; F. W. Weitz-Sugar Nr. 1, 26 (1943); Piscev Prom. U. R. S. S. 5—6, 70 (1944).

## 7. ADSORBȚIA MAI MULTOR SUBSTANȚE

Am cercetat până acum cazul adsorbției unei substanțe oarecare. În cazul adsorbției din amestecuri, fenomenul se complică<sup>1)</sup>. În general, se poate spune, că la adsorbția a două sau a câtorva substanțe tensioactive se observă o deplasare reciprocă, din care cauză substanțele în amestec se adsorb mai prost decât dacă s-ar găsi în aceeași concentrație singure în soluție. Substanța a două o deplaza cu atât mai puternic pe prima, cu cât concentrația ei în soluție era mai mare și cu cât capacitatea ei de adsorbție este mai mare.

Aceasta decurge din punctul de vedere al lui Langmuir și se observă atât la limita solid-lichid, cât și la limita lichid-gaz. Există totuși cazuri când se observă un fenomen invers. Unele substanțe se adsorb mai puternic din amestec decât atunci când se găsesc singure în soluție. Astfel, la limita apă-aer fenoul se adsorbe dintr-o soluție apoasă de fenol și anilină mai puternic, decât soluția de fenol fără adausuri.

## 8. ADSORBȚIA ACTIVATĂ

Am cercetat cazul cel mai simplu al raportului între suprafața unui corp solid și a unui lichid, pe care l-am numit adsorbție. Dar la suprafață se mai poate produce și o disolvare obișnuită (absorbție) sau acțiune chimică (chemosorbție).

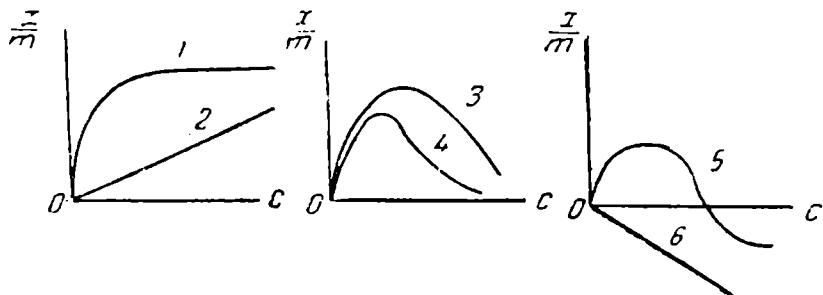


Fig. 81. — Diferitele forme ale isotermelor de adsorbție complexă.

Procesele enumerate decurg adesea paralel și se produc fenomene mai complexe, denumite adsorbție activată.

Isotermele reprezentate în fig. 81 ilustrează cât de variat

1) H. Freundlich, Kapillarchemie I, 276, 4 Aufl. 1930; L. Michaelis u. P. Rona, Bioch. Z. 15, 196 (1908); H. Freundlich u. M. Masius, van Bemmelen Festschrift 88, 1910; P. Rona u. K. Toth, Bioch. Z. 64, 293 (1914).

poate decurge fenomenul de adsorbție activată<sup>1)</sup> curba 1 reprezintă o isotermă ideală, care se supune ecuației lui Langmuir, curba 2 corespunde cazului când predomină fenomenul formării unei soluții solide (aplicabilitatea legii lui Henry), curbele 3 și 4 reprezintă aşa numita anomalie a isotermelor; curba 5 reprezintă cazul trecerii unei adsorbții pozitive într-o negativă. De ex. la concentrațiile mici ale acidului acetic în toluen, cărbunele adsoarbe acidul pozitiv, iar la concentrații mari (0,40 g la 1 g de soluție) îl adsoarbe negativ. Curba 6 corespunde adsorbției negative. De ex. pielea<sup>2)</sup> și amidonul<sup>3)</sup> adsorb negativ zaharoza, dextroza, albumina din soluții apoase.

## 9. INFLUENȚA TEMPERATURII

Procesul de adsorbție decurge cu degajare de căldură. Căldura de adsorbție este egală cu variația energiei totale a sistemului la o adsorbție isotermă a unui gram mol/cm<sup>2</sup> de suprafață. În practică, căldura de adsorbție se raportează foarte des nu la un cm<sup>2</sup> de suprafață ci la 1 g de fază dispersă, iar în loc de un gram-mol se ia un gram.

Echilibrul de adsorbție depinde de temperatură și, ca la orice proces exotermic, se deplasează cu creșterea temperaturii înspre micșorarea adsorbției.

Considerațiile cinetice ale lui Langmuir duc la aceeași concluzie — scăderea adsorbției la urcarea temperaturii, ceea ce s-a confirmat experimental. Există totuși date experimentale, care pledează pentru o mărire a adsorbției la o oarecare urcăre a temperaturii. În soluții, o astfel de mărire a adsorbției cu creșterea temperaturii se poate explica prin mărirea activității moleculelor sau prin variația altor însușiri ale substanței disolvate cu temperatura<sup>4)</sup>.

Deoarece procesul de disolvare și unele reacții chimice au un coeficient de temperatură negativ, însuși procesul adsorbției active poate crește cu temperatura.

Este indispensabil de a menționa, că în strânsă legătură cu fenomenul de adsorbție sunt unele fenomene ale catalizei hetero-

1) Wo. Ostwald u. R. Izaguirre, K. Z. 30, 279 (1922).

2) R. O. Herzog, Z. physiol. Ch., 57, 315 (1908); R. O. Herzog u. K. Adler, K. Z., 2, II. Supplh. (1908).

3) Berzeller, Bioch. Z. 90, 290 (1918).

4) L. K. Lepin și E. E. Połocinskaia, Koll. J. 1, 239 (1935); V. P. Mișin și G. V. Strahova, Koll. J. 2, 317 (1936).

gene. După cum a arătat Taylor, și în cazul catalizelor nu ia parte întreaga suprafață a catalizatorului, ci numai unele regiuni active. La un catalizator de nichel metalic, utilizat la hidrogenarea uleiurilor, suprafața activă reprezintă numai 1% din suprafața totală.

## 10. TENSIUNEA SUPERFICIALĂ A CORPURILOR SOLIDE

În capitolul consacrat adsorbției la limita fază solidă-gaz, am întâmpinat dela început dificultatea de a determina pe cale experimentală legătura fenomenelor de adsorbție cu variația tensiunii superficiale a corpului solid. Totuși, există metode indirecte de determinare a acestei tensiuni, ca de ex.: determinarea solubilității, a tensiunii de vaporii [ecuația lui Thomson (76), (78) și tab. 20].

Drept asemenea însușire poate servi măsurarea durității suprafeței, căci duritatea se determină prin travaliul care trebuie cheltuit pentru ca, prin sgâriere, să se distrugă stratul superficial al solidului (duritate sclerometrică).

Din cercetările noștri au indreptat atenția asupra acestui fapt Weinberg (1903) și Cuznetov (1927<sup>1</sup>); Rebinder<sup>2</sup>) a întreprins cercetarea fenomenelor de adsorbție pe corpurile solide din punctul de vedere al variației durității sclerometrice.

Adsorbția este legată de orientarea particulelor, iar suprafețele formate din molecule polare adsorb bine moleculele polare și mult mai slab pe cele nepolare. De aceea suprafețele unor asemenea substanțe ca sticla, gipsul, calcitul (suprafețe polare) adsorb mai bine din lichidele nepolare substanțe capilar-active, ca de ex. acizii heptilic, butiric, valerianic și alcoolii, decât hidrocarburile (ulei de vaselină) și adsorb mult mai rău din lichide polare (apa), căci moleculele polare ale apei, orientându-se pe suprafața polară solidă, o ocupă și nu lasă loc pentru moleculele substanțelor tensioactive. Fenomenul invers se observă în cazul când corpul solid este compus din molecule nepolare (grafitul); atunci adsorbția substanțelor capilar-active decurge mai bine din lichidele polare (soluțiile apoase).

Cercetarea variației durității confirmă starea de fapt ex-

1) V. D. Cuznetov, J. P. F. 5, I, 33 (1930); Z. Phys. 42, 302 (1927); 44, 226 (1927); 52, 420 (1929).

2) P. A. Rebinder, Cercetarea fizico-chimică a suspensiilor tehnice, M. 144, 1933; P. A. Rebinder, Cercetări în domeniul fenomenelor superficiale, M. 251 (1936).

primătă mai sus. Gipsul și calcitul se mărunțesc mai bine la imbibarea cu soluții hidrocarbonate de substanțe tensioactive, iar grafitul — la imbibarea cu soluții apoase.

Considerațiile expuse asupra durității și variației ei au, în afară de un interes teoretic, și o mare importanță practică. În tehnică e foarte des nevoie de a mărunți o substanță prin frecare, măcinare, pilire. În unele cazuri avem interes ca procesul să decurgă cât se poate de repede, în alte cazuri, dimpotrivă, acest proces ne stânjenescă. Punctul de vedere exprimat mai sus ne permite să conducem aceste procese după dorința noastră, folosind cunoașterea dependenței durității de adsorbția substanțelor tensioactive.

## 11. ADSORBTIA GAZELOR

După cum a arătat Fontano încă din anul 1777, suprafața corpului solid, venind în atingere cu fază gazoasă, adsoarbe gazul. Mai târziu, a fost observat un paralelism între adsorbția gazului și ușurința cu care se lichefiază. Există o serie de excepții dela această regulă; de ex., Claude (1914) a arătat că hidrogenul se adsoarbe incomparabil mai puternic decât neonul, deși primul se lichefiază la o temperatură mai joasă. Până în anul 1916, adsorbția era privită ca o comprimare a gazului la suprafață și se presupunea că densitatea la suprafață este maximă și scade treptat până la cea normală. În anul 1916 Langmuir a dat o interpretare nouă a fenomenului de adsorbție, care a jucat un mare rol în elaborarea teoriei acestui fenomen. Suprafața adsorbantului este compusă, după părerea lui Langmuir, din regiuni elementare, care includ un număr mic de atomi. Asemenea domenii elementare au valențe reziduale, care, fiind forțe chimice, acționează la o distanță foarte mică, egală cu dimensiunile moleculare ( $10^{-8}$  cm). Aceste forțe atrag și rețin la suprafață moleculele substanței adsorbite. O asemenea interpretare a forțelor de adsorbție duce, în primul rând, la formarea imaginii despre stratul de adsorbție monomolecular și, în al doilea rând, la aceea că adsorbția nu se produce pe toată suprafața, ci numai în locuri determinate, active, unde există valențele reziduale, de care s'a vorbit mai sus. Presupunându-se că moleculele adsorbite nu se influențează una pe celalătă a fost dedusă ecuația, care ne este cunoscută

$$Q = Q_{\infty} \frac{c}{A + c}$$

Adsorbția decurge cu un efect termic pozitiv, după cum se vede din datele indicate în tabelă 30 pentru adsorbția vaporilor și gazelor pe cărbunele de lemn<sup>1)</sup>.

Echilibrul de adsorbție trebuie să atingă, conform legii lui Le Chatelier, valori mai mari la temperaturi scăzute, decât la temperaturi ridicate.

In fig. 82 sunt date o serie de isoterme de adsorbție a CO de către cărbunele de cocs la diferite temperaturi. Din figură

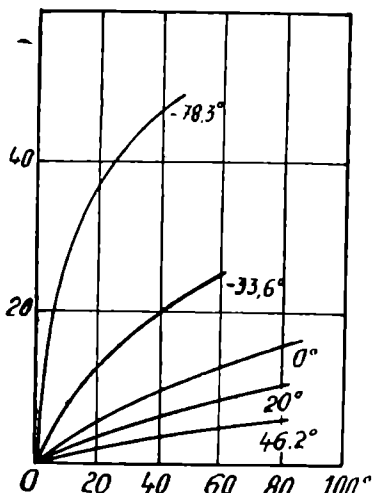


Fig. 82. — Isoterma adsorbției CO pe cărbunele de cocs la diferite temperaturi.

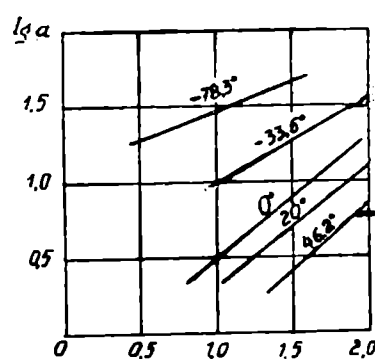


Fig. 83. — Isoterme adsorbției CO pe cărbune la diferite temperaturi în coordinate logaritmice.

se vede că la creșterea temperaturii, cantitatea de substanță adsorbită scade într'adevăr și ascendența curbei de adsorbție devine mai puțin bruscă.

Din dreptele din fig. 83, în care aceleași isoterme de adsorbție ale CO de către cărbune de cocs sunt reprezentate în coordinate logaritmice, se vede cât de bine satisfac curbele, reprezentate în fig. 82, formula lui Freundlich.

La adsorbția gazelor, înașara scăderii obișnuite a adsorbției cu mărirea temperaturii, există și cazuri de mărire a adsorbției cu temperatura<sup>2)</sup>. Acst fenomen denotă două procese: adsorbția obișnuită, care scade la urcarea temperaturii și adsorbția

1) F. G. Keyes și M. J. Marschall, J. Am. Ch. Soc. 49, 156 (1927).

2) P. A. Rebinder, Cercetarea fizico-chimică a suspensiilor tehnice, M. Frumchin, J. F. H. 3, 106 (1932); M. Dubinin, Principiile fizico-chimiei în tehnica adsorbției 179 (1935).

activată, care crește cu temperatura. Pentru activarea moleculelor este necesară o cheltuire de căldură (creștere de temperatură) pentru ruperea moleculelor. De ex.  $O_2$  și  $H_2$  se desfac în atomi; în mod analog, moleculele mai complexe se desfac în radicali (Pollany). După o asemenea desfacere se produce adsorbția. Atunci procesul de adsorbție decurge, apropiindu-se de echilibru și viteza lui este mai mare, la temperaturi înalte, decât la cele joase.

Tabelă 30

**Cantitatea de calorii calculată la  
1 mol de substanță adsorbită**

Substanță adsorbită	Calorii
eter sulfuric . . . . .	7250
amoniac . . . . .	6456
bioxid de carbon . . . .	5450
metan . . . . .	4600

La adsorbție, energia se cheltuește pentru atracția moleculelor ce se adsorb; au fost făcute încercări de a se calcula, cunoscând căldura de adsorbție, presiunea care se poate produce, cheltuind această energie. Nuttig<sup>1)</sup> a efectuat un astfel de calcul pentru apă, adsorbită la suprafața anhidridului silicioase și a găsit o presiune egală cu 17.410 atm.

Nu toată cantitatea de gaz adsorbit este la fel de solid legată de suprafață. Astfel, Neuhausen și Patrik<sup>2)</sup> au arătat că ultimele cantități de apă adsorbită (4,8%) pe  $SiO_2$  nu sunt cedate nici în vid la o încălzire până la 300° timp de 6 ore. Adsorbția gazelor nu se limitează numai la un strat monomolecular, ci la presiuni mari poate merge și mai departe, formând un înveliș din câteva straturi<sup>3)</sup>.

Dintre substanțele care se întrebunează pentru adsorbția în fază gazoasă, trebuie indicat cărbunele, în special cărbunele

1) P. G. Nuttig, J. Phys. Ch. 31, 531 (1927).

2) W. A. Patrik și F. V. Grimm, J. Am. Ch. Soc. 43, 2144 (1921); B. Neuhausen, J. Am. Ch. Soc. 43, 1844 (1921).

3) F. G. Keyes și M. J. Marschall, J. Am. Ch. Soc. 49, 156 (1927).

activ, și gelul de silice. Dintre aplicările cărbunelui ca adsorbent vom indica aplicarea lui la măștile contra gazelor și în tehnică, pentru captarea fracțiunilor ușor volatile de țălei, la separarea lor odată cu gazele din sonde.

Silicea având o mare afinitate pentru apă, servește pentru adsorbirea vaporilor de apă, adică pentru uscarea gazelor<sup>1)</sup>. Însușirile  $\text{SiO}_2$ , formarea și activarea lui pentru obținerea unui adsorbant cât mai bun, au fost cercetate detaliat de A. P. Ocatov<sup>2)</sup>. Din motivul indicat mai sus, un deshidratant foarte bun este oxidul de aluminiu. În afară de adsorbanții simpli, pe care i-am amintit mai sus, se pot întrebuința și amestecuri, de ex. cărbunele cu  $\text{SiO}_2$ <sup>3)</sup>, cărbune cu oxid de aluminiu<sup>4)</sup>.

Actualmente, teoria adsorbției este supusă unei prelucrări foarte detaliate: locul de frunte il ocupă problema naturii forțelor de adsorbție, care, după cum s'a reușit a se stabili, au un caracter electric<sup>5)</sup>.

Lucrări ample pentru cercetarea adsorbției în fază gazoasă au fost efectuate de N. Šilov și elevii săi.

## 12. CONDENSAREA CAPILARĂ

La adsorbția vaporilor și gazelor de către pulberi sau corpuri poroase la o temperatură mai joasă decât cea critică, se observă, însărcă de adsorbție, și condensarea capilară. Se numește condensarea capilară condensarea vaporilor în capilare. Procesul care duce la condensarea capilară se poate închipui sub forma următoare (fig. 84). La presiuni mici de vapori se stabilăște un

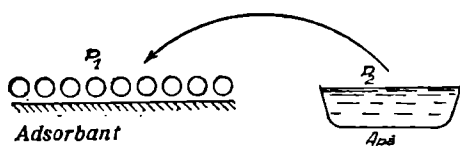


Fig. 84. — Distilarea isotermică.

echilibru de adsorbție cu stratul monomolecular al lui Langmuir la presiunea  $P_1$ . Dacă vom plasa acum suprafața cu stratul de adsorbție într'un spațiu cu o presiune de vapori mai mare

$P_2$ , de ex., a vaporilor de apă, va începe o distilare isotermică

1) Williams, J. Soc. Ch. Ind. 49, 97 (1924); E. L. Capelevici și N. I. Troițcaia, J. P. H. 9, 673 (1936).

2) A. P. Ocatov, J. P. H. 2, 21 (1921).

3) N. Šilov, M. M. Dubinin și S. Tronov, J. R. F. H. O. 61.1755 (1929).

4) E. V. Alexeevschi și G. Moscovin, J. O. H. 6, 839 (1936).

5) B. V. Ilin, Forțele moleculare și natura lor electrică M. 1935; Mac Benn, Adsorbția gazelor și a vaporilor de către corpuri solide M. 1934.

ză apele la suprafața adsorbantului, până când presiunea vaporilor deasupra adsorbantului și deasupra soluției apoase (presiunea de echilibru  $P_2$ ) vor deveni egale, ceea ce va duce la formarea pe suprafață a unui strat polimolecular, ale cărui molecule exterioare se vor găsi în echilibru cu presiunea de vaporii  $P_2$ . În prezența spațiilor capilare, pe suprafața lor se formează straturi polimoleculare, care împreunându-se cu cele învecinate, formează meniscuri concave cu raze mici (fig. 85). Pe aceste meniscuri continuă să decurgă condensarea vaporilor la o mărire treptată a presiunii de vapori, după cum urmează din ecuația lui W. Thomson,

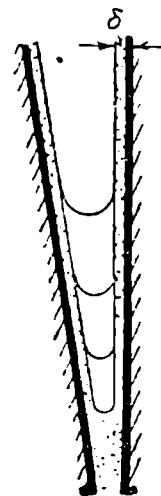


Fig. 85. Condensarea capilară.

## XVI. UMECTAREA

### 1. SUPRAFETE LIOFILE ȘI LIOFOBE

La atingerea unui corp solid cu un lichid se observă fenomenul de umectare (Quinke, 1877), care constă în aceea că o picătură de lichid situată pe suprafața corpului solid se întinde pe această suprafață (fig. 86). Unghiul  $\theta$  format de suprafața

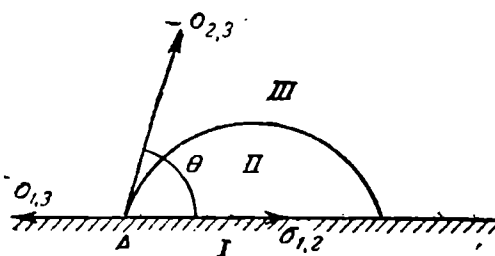


Fig. 86. — O picătură de lichid situată pe suprafața unui corp solid pe care-l umă.

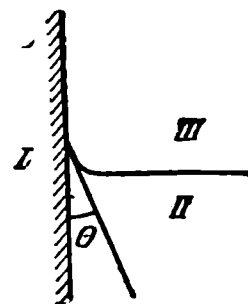


Fig. 87. — Umectarea unei plăci cufundată într'un lichid.

picăturii cu suprafața corpului solid se numește **unghi de margine**. Un fenomen analog se produce și la cufundarea unei plăci solide în lichid (fig. 87).

Acest fenomen se poate pune ușor în legătură cu energia superficială (tensiunea superficială) la limita a trei faze.

In fig. 86 se dă secțiunea transversală a picăturii de lichid (II), situată la suprafața corpului solid (I) într'o atmosferă de gaz sau de lichid (III), nemiscabil cu lichidul (II). De ex., corpul solid (I) este sticlă, lichidul (II) — apă și lichidul sau gazul (III) — o hidrocarbură sau aerul. La limita acestor trei faze vor avea loc următoarele tensiuni superficiale: între fazele I și II —  $\sigma_{1,2}$ , între fazele I și III —  $\sigma_{1,3}$ ; între fazele II și III —  $\sigma_{2,3}$ . Atunci, aceste trei forțe fiind aplicate fiecărui punct al perimetrului picăturii vor produce deplasarea lichidului pe suprafața corpului

solid și când se va stabili echilibrul, adică atunci când lichidul va înceța de a curge, valorile lor se vor găsi în următoarea relație (Thomas Jung, 1805):

$$\sigma_{1,3} = \sigma_{1,2} + \sigma_{2,3} \cdot \cos \theta \quad (102)$$

Din ecuația (102) se vede că se poate compara capacitatea de umectare a două lichide (II și III) sau a unui lichid și a unui gaz (dacă III este un gaz) și considera  $\cos \theta$  ca o măsură pentru umectarea selectivă.

Studiul umectării dă posibilitatea de a aborda studiul insușirilor corpurilor solide și interdependența suprafetei solidului și a lichidului înconjurător.

Moleculele lichidului pot să puternic atrase de moleculele solidului (adeziune), din care cauză lichidul se întinde pe suprafață (fenomenul umectării); în acest caz se poate spune că există o mare afinitate între lichid și corpul solid. Dimpotrivă, dacă forțele de atracție între moleculele lichidului și solidului sunt mici, mult mai mici decât între moleculele lichidului (coeziunea), atunci lichidul nu udă suprafață.

În primul caz vom denumi corpul solid — liofil, iar în al doilea — liosob.

În cazul unui solid liofil avem

$$\cos \theta > 0 ; \theta < 90^\circ \text{ și } \sigma_{1,2} < \sigma_{1,3}.$$

În cazul unui solid liosob:

$$\cos \theta < 0 ; \theta > 90^\circ \text{ și } \sigma_{1,2} > \sigma_{1,3}.$$

În fig. 86 se arată situația când picătura de lichid se găsește pe un solid liofil față de picătură, întreg sistemul găsindu-se în mediul III (gaz sau lichid), față de care solidul este liosob. O situație inversă, când solidul este liofil față de lichidul III și liosob față de lichidul II, este reprezentată în fig. 88.

Din punct de vedere al structurii polare a moleculelor, situațiile citate se pot reprezenta în felul următor:

Situația dată în fig. 86: solidul I — un dipol (sticlă), lichidul II (apa) — un dipol, lichidul III (gazul) — nepolar. Ca o urmare a acestora se produce orientarea moleculelor lichidului II pe suprafața solidului I și lichidul udă suprafață.

Situația din fig. 88: solidul I — un dipol, lichidul II — nepolar; lichidul III — un dipol. De aceea, moleculele lichidului III,

orientându-se, se întind pe suprafața solidului, iar moleculele lichidului nepolar sunt inerte, din care cauză se produce un flux sub picătura II și marginile picăturii se întorc înspre interior. Dacă însă solidul I nu este polar (parafina), lichidul II — un dipol, iar lichidul III — nepolar, atunci se observă același tablou ca și în fig. 88.

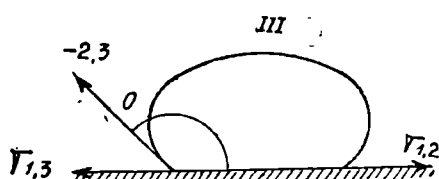


Fig. 88. — O picătură de lichid situată pe suprafața unui corp solid pe care nu-l udă.

acest caz, lichidul care o udă nu poate pătrunde îndată la suprafața liofilă și se obține o imagine greșită asupra liofiliei corpului solid. De exemplu, turba este hidrofilă, dar turba uscată nu se umectează instantaneu cu apa; același fenomen se observă și la roce.

In tabl. 31 sunt date caracteristicile gradului de umectare a corpurilor solide cu apă la limita cu aerul, mărimea caracteristică fiind unghiul  $\theta$ .

Trebue menționat că suprafața solidelor polare poate fi foarte des acoperită cu un strat de adsorbție de aer. În

*Tabela 31*  
**Umectarea corpurilor solide cu apa la limita cu aerul  
(după Rebinder)**

Solidele	$\theta$	Solidele	$\theta$
cuarțul . . . . .	$0^\circ$	grafit de Ceylon . . .	$55\text{--}60^\circ$
malachitul . . . . .	$17^\circ$	talcul . . . . .	$69^\circ$
ceritul . . . . .	$33^\circ$	sulful . . . . .	$78^\circ$
galena . . . . .	$47^\circ$	parafina . . . . .	$106^\circ$

Fenomenele de adsorbție schimbă mult capacitatea de umectare a suprafeței solidului. De ex., dacă pe suprafața malachitului, calcitului ( $\text{CaCO}_3$ ), în petrol, se plasează o picătură de apă, atunci, din cauza hidrofiliei acestor materiale, apa se întinde. Dacă însă se disolvă în prealabil în petrol acid oleic, iar apoi se introduce picătura de apă, nu se va observa nicio umectare. Acidul oleic, adsorbindu-se din petrol pe calcit se dispune cu grupa polară  $\text{COOH}$  pe suprafața polară a calcitului și radia-

calii hidrocarbozați dispuși la exterior fac ca suprafața să fie hidrofobă. Un fenomen analog, dar în ordine inversă, se observă dacă se introduce o picătură de petrol pe o placă de calcit în apă.

Din ecuația (102) urmează că toate lichidele cu tensiune superficială mică udă bine suprafața unui solid.

Fenomenele de umectare au fost studiate amănunțit de Rebinder<sup>1)</sup>, Harkins și alții.

Cercetarea proprietăților mecanice ale lichidelor, care umectează solidele lângă suprafața corpului solid, a arătat că stratul de lichid suferă schimbări la o distanță considerabilă de suprafața de separație. Hardy și Nottage<sup>2)</sup> (1928) au arătat că un cilindru de oțel cu baza foarte bine șlefuită nu poate fi adus în atingere perfectă cu o placă șlefuită — între ele va rămâne intotdeauna un spațiu de  $40.000 \text{ } \text{\AA}$ , la care se oprește cilindrul. Dacă se adaugă greutăți pe cilindru, acesta se lasă întrucâtva în jos, dar după îndepărțarea încărcăturii el se ridică din nou până la poziția anterioară.

O serie de lucrări în aceeași direcție, dar mult mai complete, au fost efectuate de Dereaghin<sup>3)</sup>, care a arătat că lângă placa șlefuită de sticlă se găsește un strat de apă cu o grosime de  $0,075 \mu$ , care posedă întocmai ca un corp solid, un modul de deplasare. Studiind proprietățile acestor straturi lichide, s'a arătat acțiunea lor de spintecare<sup>4)</sup>. De ex. dacă se face o incizie într'o placă de mică cu un ascuțis de briciu și se introduce în fanta obținută o picătură de apă, aceasta, pătrunzând în interior, lărgescă și adâncește fanta, (B. Dereaghin) asemănător unui corp solid.

Pe baza celor spuse se poate trage o concluzie importantă. Dacă se transformă corpul solid într'un praf și se introduce într'un lichid care-l umectează, atunci particulele separate vor fi despărțite una de alta prin straturi de lichid, legate solid de ele. Din această cauză sistemele disperse liofile — suspensiile — vor fi stabile. Ele vor fi menținute în stare de suspensiune de sferă apoasă înconjurătoare.

1) P. Rebinder, K. Z. 65, 268 (1933); P. Rebinder, M. Lipeț și M. Rimsciaia, K. Z. 66, 40, 212 (1934). P. Rebinder, Cercetări în domeniul fenomenelor superficiale. O. N. T. I., 1936.

2) W. Hardy și M. Nottage, Proc. Roy. Soc. London (A), 118, 209 (1928).

3) B. V. Dereaghin, J. F. H. 3, 29 (1932); 5, 379 (1934); B. V. Dereaghin și M. M. Cusacov, Izv. A.N. U.R.S.S. OMEN, 743 (1936).

4) B. V. Dereaghin și E. Obuhov Koll. J. I. 385 (1935); Izv. A.N. U.R.S.S. OMEN 743, (1936); B. V. Dereaghin și M. M. Cusacov Izv. A.N. U.R.S.S. OMEN, 746 (1936).

In sistemele liofobe, aceasta nu se va observa. Inafara de aceasta, rezerva de energie superficială a sistemelor liofile  $A_1 = S_0\sigma_{1,2}$  va fi mai mică decât la sistemele liofobe  $A_2 = S_0\sigma_{1,3}$ , ceeace indică deasemenea marea stabilitate a sistemelor liofile. Particulele disperse ale sistemelor liofobe se imprenuează ușor — **coagulând** sub formă de **aggregate**. Particulele liofile, sunt înconjurate de o sferă lichidă și se imprenuează greu prin suprafetele lor. Soliditatea invelișului lichid scade treptat dela suprafața solidului spre interiorul lichidului. Față de apă, corporile solide pot fi împărțite în **hidrofobe** și **hidrofile**. Din cele hidrofobe fac parte metalele, parafina, cărbunele, iar din cele hidrofile — hidrații metalelor, oxizii, silicații, celuloza. Față de hidrocarburi (uleiuri) sunt liosile: metalele, combinațiile sulfuroase, cărbunele; și liosobe: hidrații, oxizii, silicații și a.

Moleculele sau radicalii se pot orienta pe suprafața unui lichid în funcție de limita fazei cu care s'a format această suprafață. Această orientare se menține și la trecerea lichidului în stare solidă (răcire). Experiențele lui Devaux <sup>1)</sup> au confirmat aceasta pentru ceară și naftalină, care fiind topite și răcite în aer dădeau o suprafață hidrofobă, pe când suprafața obținută la limita cu apa era hidrofilă. Pcelin <sup>2)</sup> a arătat că suprafața părului este hidrofobă atunci când însăși substanța este hidrofilă. Suprafața gelatinei obținută la limita cu aerul este hidrofobă. În mod analog, suprafața acidului stearic, obținută la limita cu aerul, este hidrofobă, iar la limita cu sticla — hidrofilă <sup>3)</sup>.

## 2. CĂLDURA DE UMECTARE

Udarea suprafetei corpului solid este însoțită de eliminarea de căldură, ceeace a observat Pouplier la pulberi, încă în anul 1822; ulterior, au mai fost efectuate foarte multe cercetări în această direcție (Chapuis, 1833), dar nu s'a obținut c imagine clară asupra cauzei acestui fenomen. Actualmente să stabili legătura între căldura de umectare și micșorarea energiei superficiale totale a sistemului <sup>4)</sup>.

1) A. Marcellin, Soluțiile superficiale 124 ONTI, 1936.

2) V. Pcelin, Koll. J. 2, 247 (1936); 4, 241 (1938); 5, 721 (1939).

3) N. S. Balaliev, A. V. Dumanschi și T. F. Ilinschi, Koll. J. 7, 407 (1941).

4) W. Patrik e. F. V. Grimm, J. Am. Ch. Soc. 43, 2144 (1921); L. F. Browne a. I. H. Mathews I. Alexander, Colloid Chemistry, 1 450 (1926); A. V. Kiselev, usp. chim. 9, I (1940); A. V. Dumanschi, Ja F. Mejenin și Ef. Necreaci, Koll. J. 9, 355 (1947).

La umectare, energiile superficiale la suprafețele de separație solid — gaz și lichid — gaz dispar și sunt înlocuite cu energia superficială solid — lichid, al cărei rezultat este căldura eliminată. Deoarece energia superficială se raportează la unitatea de suprafață, se numește căldură de umectare, căldura care se elimină la umectarea unui  $\text{cm}^2$ . Căldura de umectare a unui  $\text{cm}^2$  oscilează între  $10^{-3}$  și  $10^5$  calorii. Deoarece căldura de umectare determină variația tensiunii superficiale la limita între două faze, prin această căldură se poate determina însuși procesul: cu cât corpul se umectează mai bine, cu atât efectul termic este mai mare; cu cât căldura de umectare este mai mare, cu atât suprafața este mai liposilă. La suprafețele netede este ușor de a caracteriza umectarea, studiind unghiul de margine. Pentru pulberi, determinarea unghiului de margine este mult mai grea; în acest caz se determină căldura de umectare a unui gram de praf.

In tab. 32 sunt date valorile căldurii de umectare a diferitelor pulberi cu apă (lichid polar) și cu benzen (lichid nepolar).

Tablou 32

Valorile căldurilor de umectare a diferitelor pulberi cu apă și benzen<sup>1)</sup>

Substanță	Căldura de umectare în calorii		
	apă $Q_1$	benzen $Q_2$	$\frac{Q_1}{Q_2} = \frac{q_1}{q_2} = \beta$
cărbune . . . . .	11,2	30,0	0,37
cărbune din zahăr . . .	5,9	16,0	0,37
cărbune animal . . . .	9,3	30,7	0,30
norit . . . . .	7,6	22,3	0,34
grafit . . . . .	1,7	1,72	0,98
$\text{Si O}_2$ . . . . .	11,1	6,1	1,82
$\text{Si O}_2$ cu un alt grad de dispersiune . . . . .	9,1	4,4	2,00

Din datele acestei tabele se vede că:

1) pulberile hidrofobe dau o căldură de umectare mai mare cu benzenul, iar cele hidrofile cu apa;

1) M. E. Lipeț și M. M. Rimscaia, J. F. H. 1, 703 (1930).

2) căldura de umectare depinde de gradul de dispersiune, de ex. cărbunele — 11,2, iar cărbunele din zahăr — 5,9;

3) este foarte practic de a caracteriza însușirea suprafeței, care se umectează prin raportul  $\frac{Q_1}{Q_2} = \beta$  (pentru pulberi hidrofobe  $\beta < 1$ , pentru cele hidrofile  $\beta > 1$ ) (Rebinder);

4) mărimea  $\beta$  depinde foarte puțin de gradul de dispersiune și din acest motiv este practică pentru caracterizarea suprafeței.

Din cele ce urmează se vede clar că  $\beta$  nu depinde de dispersiune: să presupunem că sistemul dispers are o suprafață totală  $S$ ; căldura de umectare a unui  $\text{cm}^2$  de suprafață cu apă este egală cu  $q_1$ , iar cu benzen cu  $q_2$  cal. Atunci  $Q_1 = S \cdot q_1$  și  $Q_2 = S \cdot q_2$ ; împărțind expresiile una la alta, vom avea:

$$\frac{Q_1}{Q_2} = \frac{q_1}{q_2} = \beta$$

adică raportul căldurilor de umectare a unui  $\text{cm}^2$  de suprafață a prafului.

Unghiul de umectare se schimbă prin adăugarea la lichid a unor substanțe tensioactive, care, adsorbându-se la suprafață și orientând radicalii lor, schimbă lipofilia suprafeței. Prin adăugarea substanțelor tensioactive se schimbă căldura de umectare deoarece aici va participa și căldura de adsorbție a substanței adăugate<sup>1)</sup>. De ex., căldura de umectare a unui gram de praf de cărbune<sup>2)</sup> cu apă este egală cu 3,0 cal.; cu o soluție de 0,1 moli alcool isopropilic — 5,4 cal; hidrofilia cărbunelui crește la adsorbție; determinările analoage, făcute cu amidonul, dau rezultate inverse — hidrofilia amidonului scade la adsorbția alcoolului.

Introducând în mercur pulberi fine, pe care Hg nu le udă deloc, Parkes a observat o adsorbție de căldură corespunzătoare energiei de formare a suprafeței mercurului lângă suprafața pulberii [vezi ecuațiile (71) și (73)].

### 3. FLOTATIA

Să introducem în apă o substanță hidrofobă măcinată, de ex. cărbune și să turnăm pe suprafața apei un strat de hidro-

1) P. A. Rebinder, Izv. Voron. SHI Colloquium de chimie coloidală, Ianuarie, 1929, pag. 28; Z. phys. Ch. 142, 282 (1929); 111, 444 (1924).

2) B. V. Ilin, V. Semencenco și V. Ivanov, Z. phys. Ch. 165, 382 (1938).

carbură lichidă; de ex. benzen și să agităm bine. În acest caz particulele de cărbune hidrofobe dar benzofile, ajungând la suprafața de separație a picăturilor de benzen cu apă, vor fi umectate de benzen și deplasate din faza apoasă în faza benzenică, așa cum este reprezentat în fig. 89. Când vom opri agitarea, ele se vor deplasa împreună cu picăturile de benzen, la stratul superior al lichidului. Dacă vom lua în această experiență, în locul pulberii hidrofobe, de cărbune, un praf hidrofil de argilă, nu se va observa fenomenul de trecere a prafului în benzen, căci particula de argilă, care a nimerit la limita între cele două faze, fiind umectată de apă va fi atrasă spre faza apoasă, așa cum se vede în fig. 90.

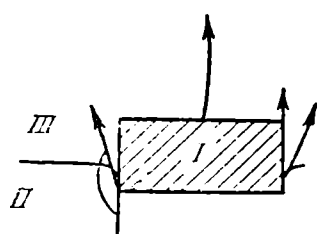


Fig. 89. — O particulă care nu este udată de lichidul II.

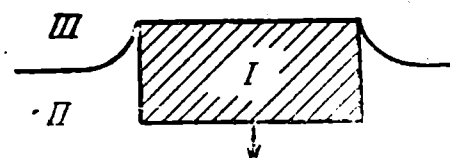


Fig. 90. — O particulă care este udată de lichidul II.

Pentru o mai clară înțelegere să facem următoarea experiență: amestecăm praf de cărbune cu praf de argilă și introducem amestecul într-o eprubetă, în care turnăm mai întâi un strat subțire de benzen, iar apoi un strat mai mare de apă; scuturăm bine eprubeta și lăsăm să se depună. Când lichidul se va decanta și se vor forma două straturi, cel de sus va conține tot praful de cărbune, iar cel de jos — stratul apos — o suspensie de argilă. Această experiență se explică destul de simplu, pe baza celor expuse mai sus.

Pentru ca să arătăm că în experiență de față greutatea specifică a prafului nu are importanță, să luăm în locul benzenu lui, care este ușor, cloroformul care este greu. După scuturare se va face separarea, praful de cărbune trecând în stratul de jos cu cloroform, praful de argilă în stratul superior — apos.

Fenomenul descris se folosește în tehnică pentru separarea prafurilor hidrofobe de cele hidrofile și se numește flotație. Folosindu-se flotația, se pot îmbogăți minereurile sulfuroase, care conțin o mare cantitate de gangă (silicați). Pentru aceasta, minereul se macină; se obține un praf, care constă dintr'un a-

mestec de granule de sulfuri și silicati. Prin agitarea energetică a prafului cu apa, căreia i se adaugă o cantitate mică de substanță uleioasă, insolubilă în apă, se produce acelaș fenomen ca și în experiența noastră cu carbunele și argila: praful hidrofil de silicat se adună în apă, iar praful hidrofob de sulfură se ridică la suprafață, odată cu uleiul. Pentru o mai bună plutire și separare a minereului flotat toată masa se înspumează. Atunci buile hidrofobe de gaz, lipindu-se de minereul hidrofob, umectat de un lichid hidrofob, fac ca praful de minereu să spârnege ușor și astfel el se și culege odată cu spuma, care se poate leșna îndepărta<sup>1)</sup>.

---

1) P. A. Rebinder și alii. Fizico-chimia proceselor de flotație. M. 1933.

## XVII. SARCINĂ ELECTRICĂ LA LIMITA ÎNTRE DOUĂ FAZE

### 1. POTENȚIALUL ELECTROTERMODINAMIC

Prin introducerea unui metal în soluția unei sări a acestui metal, odată cu presiunea osmotică  $p$  se formează, la limita metalului cu lichidul, o diferență a potențialului. Valoarea acestui **potențial electrotermodinamic**  $\epsilon$ , se supune legii lui Nernst, dedusă pe baza principiilor termodinamice:

$$\epsilon = -\frac{RT}{nF} \ln \frac{P}{p} \text{ volți,} \quad (103)$$

unde  $P$  este presiunea electrolitică de disolvare a metalului,  $R$  — constanta gazelor, egală cu 8,313 wați — secunde,  $T$  — temperatura absolută,  $n$  — valența ionului și  $F=96.490$  coulombi. Potențialul  $\epsilon$ , calculat în volți, după cum se vede din ecuația (103), depinde de concentrația ionilor metalului din care e făcut electrodul (dacă electrozii sunt de zinc, atunci el depinde de ionii  $Zn^{++}$ ) deoarece presiunea osmotică  $P$  este direct proporțională cu concentrația. În cazurile când  $P > p$ , potențialul metalului este negativ; când însă  $P < p$  — potențialul este pozitiv. Pentru hidrogen  $P=24$ ; de aceea, la concentrații mici de ioni de  $H^+$ , electrodul de hidrogen are semnul negativ. La argint,  $P=10^{-12}$ , la aur  $P=10^{-24}$ , adică de fapt la concentrațiile cele mai mici de ioni de  $\text{Ag}^+$  și  $\text{Au}^{++}$ , care se găsesc întotdeauna în soluție, potențialul metalului este încărcat pozitiv, ceea ce coincide perfect cu observațiile.

### 2. STRATUL DUBLU AL LUI HELMHOLZ

În soluția electrolitică a metalului, atomii lui trecând în stare de ioni, capătă o sarcină pozitivă și se dispun sub formă de strat lângă suprafața metalului, încărcat negativ, fiind atrași de forțe electrostatice. Se obține un dublu strat electric de echilibr

libru, de tipul unui condensator, care se numește stratul dublu al lui Helmholtz (fig. 91).

Suprafața incărcată a metalului micșorează tensiunea sa superficială în funcție de mărimea sarcinii electrice a unei unități de suprafață  $\rho$  și de diferența de potențial  $\epsilon$  la limita între metal și stratul de ioni. Această relație se exprimă prin ecuația lui Lippmann și Helmholtz:

$$-\frac{\delta \sigma}{\delta \epsilon} = \rho. \quad (104)$$

Variația tensiunii superficiale în funcție de sarcina metalului se observă ușor la mercurul care se găsește într'un capilar. Meniscul mercurului, care nu are sarcină electrică, se găsește în capilar mai jos decât meniscul mercurului încărcat electric. Construcția electrometrului capilar este bazată tocmai pe acest fenomen.

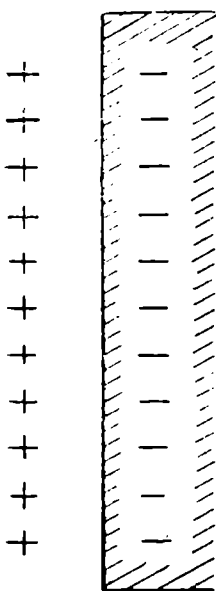


Fig. 91. — Dublul strat al lui Helmholtz.

Foarte sugestivă este experiența cu picătura mobilă de mercur. Pentru aceasta se toarnă pe o sticlă mare de ceas, atâta mercur, cât este necesar pentru formarea unei picături plane, cu un diametru de aproximativ 5 cm.; apoi se adaugă aici o soluție de acid sulfuric (destul de concentrată) cu câteva picături de so-



Fig. 92. — Picătura mobilă de mercur.

lui de  $K_2Cr_2O_7$ , aşa încât picătura de mercur să fie complet acoperită cu stratul de soluție. Dacă acum picătura se atinge cu un vârf metalic, ea se va descărca, tensiunea superficială se va mări, picătura se va strânge și se va îndepărta de conductor. Prin aceasta ea se va încărca din nou în lichid, ca rezultat al

acestui fapt se va produce scăderea tensiunii superficiale, picătura se va întinde și se va apropiă de vârful conductorului unde, descărcându-se, se va strânge din nou.

O astfel de contracțare și dilatare a picăturii va continua ritmic foarte mult timp. Pentru ușurința experienței, conductorul (o sărmă groasă), al cărui capăt este ascuțit, se fixează de un stativ, aşa cum este indicat în fig. 92. Variind poziția vârfului conductorului și mărimea picăturii de mercur se poate obține o mișcare foarte frumoasă a mercurului.

### 3. POTENȚIALUL ELECTROCINETIC

Imaginea expusă mai sus referitor la stratul dublu este numai o primă aproximare. Ionii situați în acest strat nu sunt complet imobili; din cauza mișcării lor cinetice poate avea loc, fie un mic deficit sau, în cazul adsorbției specifice, un exces de ioni.

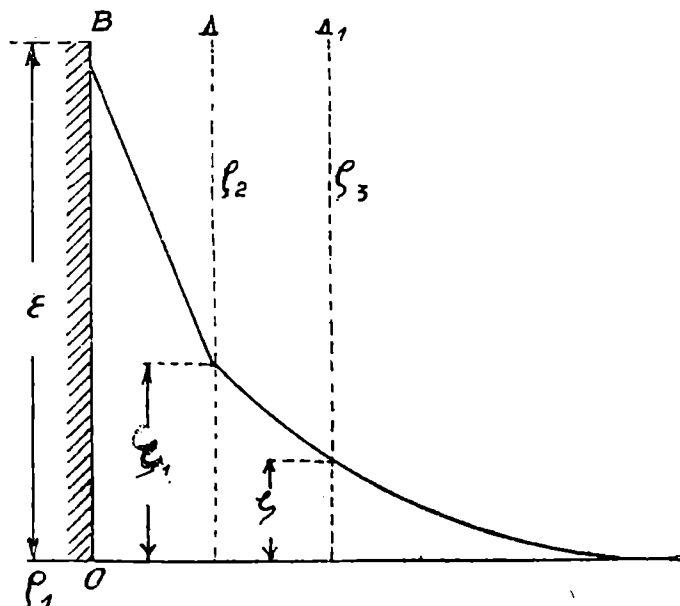


Fig. 93. — Dispoziția potențialelor  $\epsilon$  și  $\zeta$ . Semnele potențialelor  $\epsilon$  și  $\zeta$  rămân identice.

În primul caz, sarcina stratului de ioni va fi mai mică decât sarcina de semn opus a metalului. Din acest motiv vor fi atrași din exterior ioni de același semn dispuși mai rar lângă stratul dublu. Ca rezultat se obține următoarea dispoziție a ionilor: lângă suprafață încărcată, la o distanță egală cu raza ionului, se află un strat puțin mobil  $A$  (fig. 93) de ioni, încărcați cu electricitate de

semn contrar, de densitate  $\rho_2$ . După stratul  $A$  se află un strat difuz (care se răstrește înspre periferie) al acelorași ioni, de densitate  $\rho_3$  existând următoarea relație:

$$\rho_1 = \rho_2 + \rho_3;$$

unde  $\rho_1$  este densitatea sarcinii electrice pe suprafața  $B$ . În fig. 93 este reprezentată schema căderii potențialului de la  $B$  înspre interiorul lichidului pentru cazul când în stratul  $A$   $\rho_2 < \rho_1$ .

Diferența totală de potențial dintre metal și lichid  $\epsilon$  este egală cu diferența de potențial  $\epsilon_1$  în stratul dublu al lui Helmholtz plus diferența de potențial  $\zeta$  în stratul de disuziune adică:

$$\epsilon = \epsilon_1 + \zeta.$$

În al doilea caz, când în stratul  $A$  sarcina electrică a stratului ionic va fi mai mare decât sarcina suprafaței  $B$  (fig. 94),

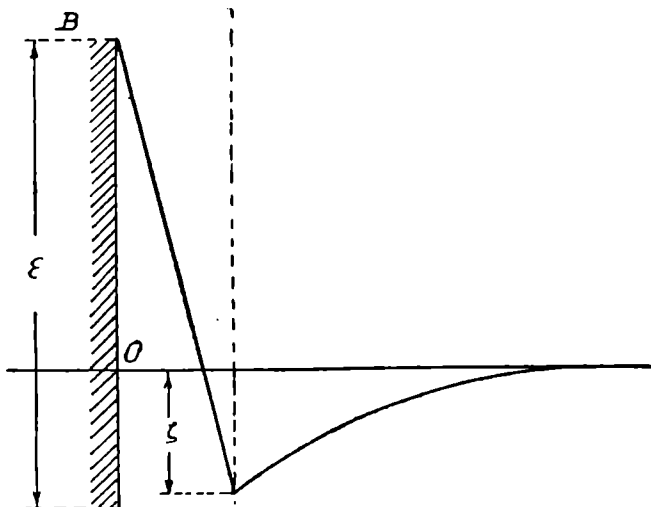


Fig. 94. — Dispoziția potențialelor  $\epsilon$  și  $\zeta$ . Semnele potențialelor  $\epsilon$  și  $\zeta$  sunt opuse.

aceea ce este în legătură cu adsorbția specifică a ionilor, din exterior vor fi atrași și dispuși în mod difuz ionii de sarcină contrară față de ionii stratului  $A$  și va avea loc următoarea condiție:

$$\rho_1 = \rho_2 - \rho_3; \rho_2 > \rho_1; \epsilon = \epsilon_1 - \zeta.$$

O asemenea dispunere a straturilor ionice la suprafață și distribuirea sarcinilor de ioni, care este în legătură cu aceasta,

cât și diferența de potențial în straturi, se observă nu numai la suprafețele metalice în lichide, dar, în general, la limita între două faze: solid-lichid, lichid-lichid, lichid-gaz, care trimit în sau adsorb ioni din soluție. De ex., suprafața precipitatului de  $\text{Fe(OH)}_3$  se încarcă în apă pozitiv, căci ionii foarte mobili  $\text{OH}^-$ , disolvându-se, formează un strat de ioni încărcat negativ.

Stratul de ioni al lui Helmholtz și stratul de difuziune diferă destul de mult unul de celălalt. Primul este legat puternic, este puțin mobil și este dispus la o distanță foarte mică de suprafață (egală cu raza ionului); al doilea este legat mult mai slab, este mult mai mobil și se întinde la o distanță destul de mare în interiorul fazei lichide. La mișcarea fazelor, care sunt în atingere, una cu cealaltă, primul strat rămâne legat solidar de una din faze (de ex., de cea solidă) și se mișcă odată cu dânsa, pe când cel de al doilea poate rămâne în urmă la mișcarea lichidului.

Intreg sistemul, compus din faza  $B$  și din ambele straturi de ioni, are un număr egal de sarcini pozitive și negative și va fi neutru din punct de vedere electric. Dacă însă sistemul va fi pus în mișcare, adică dacă faza  $B$  se va deplasa în lichid, sau lichidul se va deplasa de-a lungul fazei imobile  $B$ , atunci ionii stratului  $A$ , vor rămâne legați de suprafața  $B$ , în timp ce lichidul cu stratul difuz care se găsește în el se va deplasa antrenând cu sine o parte mai mare sau mai mică din sferă difuză de ioni. În acest caz sistemul nostru nu va mai fi electric neutru, ci încărcat până la un potențial  $\zeta_1$ . Dacă odată cu lichidul se va deplasa și stratul cu sferă difuză de ioni până la stratul  $A_1$ , atunci se observă potențialul  $\zeta_2$  (vezi fig. 93) și. a. m. d. Potențialul  $\zeta$  care se observă la mișcarea sistemului poartă numele potențial electrocinetic și se poate observa la deplasarea relativă a două faze, la limita căroră s'a format.

Particulele coloidale, găsindu-se în mișcare browniană, deplasează ionii stratului de difuziune, din care cauză ele se comportă ca niște particule încărcate, având un potențial  $\zeta$  care determină însușirile electrocapilare ale solului.

O astfel de reprezentare a dublului strat electric nu s'a format deodată, ci a apărut treptat. La început a apărut studiul despre stratul dublu al lui Helmholtz, iar apoi Gouy<sup>1)</sup> a observat în anul 1910, că ionii din stratul dublu nu se găsesc numai sub acțiunea forțelor electrostatice ale suprafeței încărcate, ci că asupra lor acționează forțele de difuziune, îndreptate în sens invers, care disperseză ionii și care formează stratul de difuziune.

1) Gouy, J. phys. 9, 457 (1910); C. r. 149, 654 (1929); Ann. phys. (9), 7, 129 (1917); vezi Usp. chim. K. V. Astahov, 3, 882 (1934).

Totuși o dezicere complectă de stratul lui Helmholtz și accep-tarea numai a stratului de difuziune, nu putea explica unele fe-nomene, ca de ex. variația semințui stratului de difuziune. Din această cauză, în anul 1924 Stern<sup>1)</sup>, iar mai târziu Müller<sup>2)</sup> au combinat aceste două teorii, arătând că în realitate se obține atât stratul de ioni, presupus de Helmholtz, cât și stratul de difu-zione. Stratul de ioni al lui Helmholtz este analog unui strat ad-sorbit și se supune ecuației de adsorbție a lui Langmuir. Stratul adsorbit nu neutralizează sarcina liberă a suprafeței și sarcina re-menantă se neutralizează prin stratul difuz al lui Gouy.

Potențialul electrocinetic este mult mai mic decât potențialul total  $\epsilon$  de pe suprafață. De ex., pentru stratul dublu de mercur în soluții de acid clorhidric de diferite concentrații avem urmă-toarele relații.

la 0,1 N	$\epsilon = 0,7$	volti	$\zeta = 0,070$	volti
0,01 N	$\epsilon = 0,7$	"	$\zeta = 0,124$	"
0,001 N	$\epsilon = 0,7$	"	$\zeta = 0,18$	"

Dimensiunea (grosimea) stratului de difuziune nu este o valoare constantă. Creșterea concentrației electrolitului în care se găsește sistemul micșorează grosimea stratului de difuziune, care se apropiă la concentrații mari de grosimea stratului Helmholtz.

Stratul de difuziune se formează nu numai la limita apă-solid, ci și în alte lichide, de ex. piridina, alcoolii. În cazul lichidelor învecinate nemiscibile se formează un strat de difuziune, ceeace influențează asupra stabilității emulsiei. Sarcina la suprafața fazei solide se produce nu numai din cauza ionilor prezenți, ci și din cauza orientării moleculelor nedisociate, adsorbite<sup>3)</sup>.

#### 4. POTENȚIALELE $\epsilon$ și $\zeta$

Aceste potențiale<sup>4)</sup> coexistă simultan și unul dintre ele (potențialul  $\zeta$ ) poate fi observat la deplasarea unei faze față de celalaltă, iar celălalt (potențialul  $\epsilon$ ) prin măsurare directă, conform ecuației lui Nernst.

Asemenea cercetări au fost efectuate în anul 1920 de Freundlich și Rona<sup>5)</sup> la limita sticlă-lichid. S'a determinat potențialul  $\epsilon$

1) O. Stern, Z. Electroch. 30, 508 (1924).

2) H. Müller, K. Beih. 26, 274 (1928); A. N. Frumchin usp. chim. 4, 987 (1935).

3) Strickler a. Mathews, J. Am. Ch. Soc. 44, 1644 (1922).

4) Pentru amănunte, vezi art. lui M. Gouy, O. Stern și G. Müller în cartea „Coagularea coloiziilor” în red. lui A. Rabinovici, M. 1936.

5) H. Freundlich u. P. Rona, Sitzung der Preuss. Akad. Wiss, 397 (1920).

al electrodului de sticlă; paralel, s'a determinat și potențialul  $\zeta$  pentru suprafața aceleiași sticle (în timpul mișcării lichidului).

Tabelă 33

Comparația între semnul potențialelor  $\varepsilon$  și  $\zeta$  pe metale în apă distilată<sup>1)</sup>

Metalul	$\varepsilon$	$\zeta$	Metalul	$\varepsilon$	$\zeta$
argint . . . . .	+	—	wolfram . . . . .	+	—
aur . . . . .	+	—	zinc . . . . .	—	—
platină . . . . .	+	—	plumb . . . . .	—	—
molibden . . . . .	+	—			

Mai târziu, măsurările exacte ale potențialului electrocINETIC la limita sticlă-lichid și cuarț-lichid au fost efectuate de Kruyt și Willigen<sup>2)</sup>. Cele două potențiale studiate diferă nu numai prin mărimea lor, dar pot avea și semne contrare (tab. 33).

Pe baza celor spuse, potențialul  $\zeta$  se poate observa la mișcarea reciprocă a două faze: solid-lichid, lichid-lichid și lichid-gaz.

Fenomenele care se studiază la această mișcare<sup>3)</sup> au diferite numiri:

1) electroosmoza — mișcarea lichidului într'un capilar, sub acțiunea unui potențial electric exterior;

2) potențialul de curgere — apariția potențialului la presarea mecanică a lichidului în capilar;

3) electroforeza — mișcarea particulelor disperse într'un mediu sub acțiunea unui potențial electric exterior;

4) potențialul particulelor în mișcare — observarea potențialului la mișcarea particulelor în medii diferite.

## 5. ELECTROOSMOZA

La limita fazelor solid-lichid, există o diferență bruscă de potențial, suprafața unei faze fiind încărcată pozitiv, iar a celei-lalte — negativ, adică are loc un dublu strat electric (vezi fig. 91)

1) A. Cohen u. G. Schofmeister, Z. phys. Ch. 125, 401 (1927).

2) H. R. Kruyt u. P. van der Willigen, K. Z. 45, 307 (1928).

3) P. H. Prausnitz u. J. Reitslötter, Elektrophorese, Elektroosmose, Electrodialyse în Flüssigkeiten, 1931.

sarcina stratului interior fiind legată solidar de faza solidă, iar sarcina stratului de difuziune putând să se deplaseze odată cu lichidul.

Din cauza unei asemenea mobilități a stratului încărcat, putem forța stratul de lichid să se deplaseze, dacă se pun într'insul electrozi, legați de o sursă de curent. În fig. 95 se arată mișcarea unui strat de lichid, încărcat negativ în direcția anodului. Trebuie menționat că în timpul mișcării stratul se înnoiește mereu. O astfel de mișcare a unui lichid încărcat electric se poate observa ușor în tuburi capilare sau în corpuși poroase, pe care ni le putem închipui ca fiind compuse dintr'o masă de asemenea capilare.

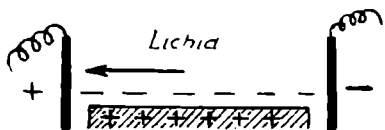


Fig. 95. — Deplasarea stratului de lichid la electroosmoză.

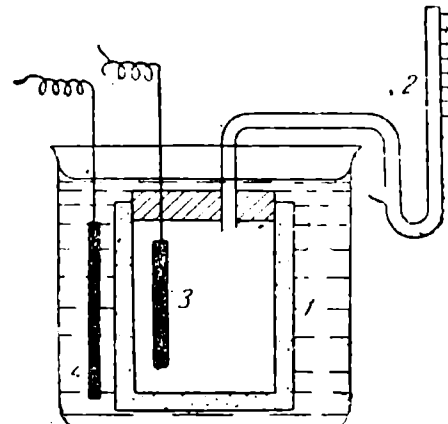


Fig. 96. — Aparat pentru demostrarea fenomenului de electroosmoză.  
1. cilindru poros; 2. tub manometric; 3, 4. electrozi.

Acest fenomen se observă ușor (fig. 96) dacă se astupă un cilindru de argilă sau de gips (cilindri poroși de porcelan pentru elemente, filtru de porcelan) umplut cu apă, care conține foarte puțin electrolit, cu un dop, prevăzut cu un tub manometric de sticlă 2 și cu un electrod 3, se introduce într'un pahar, care conține aceeași apă, cu electrodul 4 și se trece curentul. Atunci, lângă suprafața încărcată negativ a capilarelor vasului de argilă se va dispune stratul de apă, încărcat pozitiv, care se va deplasa către polul negativ, situat în interiorul vasului, ridicându-se astfel lichidul în tubul 2. Acest fenomen de producere a presiunii prin treierea curentului în prezența unei despărțituri din material poros (diafragmă) poartă denumirea de **electroosmoză**; el a fost observat pentru prima dată în anul 1807 de Reiss la Moscova.

Fenomenul a fost cercetat mai amănuntit de Wiedeman în 1852, iar apoi de Quincke (1861) și de Helmholz (1879); dublul strat electric la limita între faze, observat de el, a fost denumit după numele lui. Legile cantitative au fost date de Lamb, Smoluchovschi, Perrin<sup>1)</sup> și alții.

1) Lamb, Phil. Mag. (5) 25, 52 (1888); M. Smoluchovschi, Bull. Acad. Sci. Cracovie 182 (1903); J. Perrin, J. Chim. phys. 2, 601 (1904).

Teoretic, acest fenomen poate fi explicat în felul următor:

Ne putem imagina un corp poros sub forma unui fascicol de capilare.. Dacă  $E$  este diferența de potențial între electrozi, aplicată din exterior,  $\eta$  — viscozitatea lichidului în dyne,  $D$  — constanta dielectrică a mediului, atunci volumul de lichid (apă), de plasat într'o unitate de timp prin  $n$  capilare de rază  $r$ , va fi egal cu:

$$V = \frac{r^2 \zeta E D n}{4\eta l}, \quad (105)$$

unde  $l$  este distanța între electrozi. Deoarece corpul poros constă din  $n$  capilare cu secțiunea totală  $q = n \pi r^2$ , ecuația (105) va căpăta forma următoare:

$$V = \frac{q \zeta ED}{4\pi \eta l} \text{ sau } \zeta = \frac{4\pi \eta l}{Eq D} V. \quad (106)$$

Dacă tubul 2 (vezi fig. 96) se construiește nu orizontal, ci în formă unui manometru închis sau deschis, atunci, din cauza unei asemenea mișcări, lichidul se ridică în tubul manometric, apărând astfel forță presiunii hidrostatice, care trebuie să impingă lichidul din vas prin porii acestuia. În cele din urmă se stabilește un echilibru și potențialul  $E$  îi corespunde o presiune determinată a lichidului în vasul poros. Ecuația (105) se poate transforma, introducând presiunea  $P$  din ecuația lui Poiseuille, în condiția  $\tau = 1$  (formula 40). Atunci obținem:

$$P = \frac{2 \zeta ED}{\pi r^2} \quad (107)$$

Pe baza celor două ecuații (106) și (107) se pot trage următoarele concluzii:

1) Viteza volumetrică a lichidului care curge prin peretele poros (diafragmă) este la electroosmoză direct proporțională cu potențialul  $\zeta$  și cu diferența de potențial (pe unitatea de lungime) dintre electrozi.

2) Valoarea presiunii electroosmotice este direct proporțională cu potențialul  $\zeta$  cu potențialul  $E$  între electrozi și invers proporțională cu pătratul razei capilarilor.

Ecuația (106) nu este practică, căci în ea intră mărimea  $q$  — secțiunea transversală a capilarilor — greu de măsurat. Pentru o mai mare ușurință ea poate fi reprezentată într'o formă întrucâtva diferită.

Legea lui Ohm dă relația:

$$i = \frac{E}{\Omega},$$

unde  $\Omega$  este rezistența. Dacă conductibilitatea specifică a soluției este  $\chi$  atunci

$$\Omega = \frac{l}{q \chi};$$

de aici rezultă:

$$i = \frac{Eq \chi}{l} \text{ sau } \frac{E}{l} = \frac{i}{q \chi} \quad (108)$$

Inlocuind expresia (108) în (106) vom avea:

$$V = \frac{\zeta Di}{4 \pi \eta \chi}$$

La folosirea formulelor deduse trebuie avut în vedere, că toate valorile, afară de  $E$  sunt măsurate în unități c. g. s. În practică potențialul se măsoară deobicei în volți, 1 cgs (unit.-abs.) = 300 volți. Exprimând valorile potențialelor  $\zeta$  și  $E$  în volți, obținem valoarea mărimii  $\zeta$  în următoarea formă definitivă:

$$\zeta = 90000 \cdot \frac{4 \pi \eta \chi}{Di} \cdot V. \quad (109)$$

În ecuația (109) lipsesc mărimile greu de determinat.

Pe baza celor expuse se vede că determinând valorile  $V$  sau  $P$  se poate rezolva problema valorii potențialului  $\zeta$ .

Tabelă 34:

**Valorile potențialului  $\zeta$  la limita sticlă-apă**

Raza capilarului $r$ în cm	$E$ în volți	$\zeta$ în volți
0,0944	148	0,050 <sup>1</sup>
0,0369	5120	0,041 <sup>2</sup>
0,0369	8860	0,048 <sup>2</sup>
0,0369	10200	0,046 <sup>2</sup>
0,0368	11500	0,046 <sup>2</sup>

1) G. Quincke; Pogg. Ann. 113, 513 (1861).

2) Tereșin, Wied. Ann. 32, 333 (1887).

Pentru ilustrarea valorii potențialului  $\zeta$  la limita sticlă-apă dăm tab. 34. Din această tabelă se vede că potențialul electrocinetic este aproximativ egal cu 0,05 V la limita între sticlă și apă curată.

Nu numai apa se supune electroosmozei, ci și alte lichide, ca de ex. piridina, alcoolii, acetona, nitrobenzenul, toluenul, și. a.

Viteza lichidului în mișcare crește cu temperatura, creșterea vitezei fiind întrucâtva mai mică decât creșterea fluidității  $\frac{1}{\eta}$ .

La operațiile cu electroosmoză se pot face observații asupra mișcării lichidului într-un capilar<sup>1)</sup>.

Deobicei, însă, aparatura este astfel construită, încât substanța de cercetat se ia sub formă de placă, peliculă, praf sau fibră, din care se prepară diafragma. Diafragma se plasează în aparatul care permite determinarea cantității de lichid scurs. Aparatele au fost construite de diferiți cercetători. Primul aparat pentru determinări cantitative a fost construit de Perrin<sup>2)</sup>. Apoi au mai fost propuse și alte aparate de Michaelis<sup>3)</sup>, Gyemant<sup>4)</sup>, Jucov și Rabinerson<sup>5)</sup>, Stamm<sup>6)</sup>, Gorticov și alții<sup>7)</sup>.

Tabelă 35

**Valorile potențialului  $\zeta$  la limita sticlă-apă<sup>8)</sup>  
(electroosmoza soluțiilor la  $t = 14 - 15^\circ$  la limita cu sticla)**

Concentrația în milimoli la litru	Potențialul $\zeta$ la suprafața sticlei în milivolți	
	soluție NaCl	soluție HCl
0	$-71,5 \pm 8,7$	$-71,5 \pm 8,7$
0,25	—	$-18,0 \pm 2,4$
5	$-42,4 \pm 2,0$	$-0,8 \pm 0,4$
10	$-33,9 \pm 2,4$	$+0,8 \pm 0,3$
20	$-29,6 \pm 1,0$	$+0,5 \pm 0,3$
40	—	0,0
67,3	$-11,5 \pm 0,8$	—

1) G. Elissafoff, J. chim. phys. 79, 385 (1912).

2) J. Perrin, J. chim. phys. 2, 601 (1904); 3, 50 (1905).

3) L. Michaelis, Lucrări practice de chimie fizică, 137, L. 1925; K. Z. 37, 69 (1925).

4) A. Gyemant, K. Z. 28, 103 (1921).

5) A. Antipov-Carataev și A. I. Rabinerson, Coloiizii rocelor și metode pentru studiul lor, VASHNIL 13, 1930.

6) A. Stamm, Coll. Symp. Monogr. 4, 246 (1926).

7) V. M. Gorticov, Kołl J. 1, 233 (1935).

8) P. Tuorila, K. Beih 27, 44 (1928).

Au fost cercetate multe diafragme. S'a cercetat atât semnul potențialului, cât și valoarea lui.

De exemplu în apa obișnuită (puțin acidă) mătasea, lâna, părul, pielea sunt încărcate pozitiv; hârtia de pergament, colodiu, lemnul, sticla sunt încărcate negativ; gelatina cromată este încărcată pozitiv.

Filtrele de silicați — Berkefeld, fabricate din pământ de infuzorii au o sarcină negativă, cele de gips sunt electric neutre, iar cele din carbonat de calciu sunt încărcate pozitiv. Amestecurile de  $\text{SiO}_2$  și  $\text{CaCO}_3$  dau filtre neutre.

In general, valorile potențialului  $\zeta$  nu sunt mari (de ex. pentru lemn în apă  $\zeta = 0,0136 \text{ V}$ ), și depind în mare măsură de electrolișii disoluviți în apă.

In tab. 35 se arată cum variază potențialul  $\zeta$  la limita sticlă-apă la adăugarea electrolișilor.

Din datele tăbelei 35 se vede că valoarea potențialului  $\zeta$  variază mult în funcție de concentrația electrolitului.

Creșterea concentrației ionilor de hidrogen schimbă mult valoarea potențialului  $\zeta$  și se observă schimbarea sarcinii electrice a suprafeței. O concentrație mare de electrolit micșorează, în general, valoarea potențialului.

Potențialul  $\zeta$  al suprafeței variază în funcție de electrolișii adăugați, care adsorbându-se, îi schimbă nu numai valoarea, dar și semnul. De aici rezultă clar că valoarea potențialului  $\zeta$  al pulberilor trebuie să depindă de metoda lor de preparare<sup>1</sup>). Starea la care suprafața nu este încărcată se numește **stare isolectrică (punct isoelectric)**.

La electroosmoză, într'o masă poroasă, presată între electrozi, se produce o mișcare a lichidului către unul din electrozi. Aceasta se folosește în tehnica pentru deshidratarea maselor poroase, de ex. a argilei, a turbei (Schwerin, 1900). Astfel s'au construit aşa numitele mașini electroosmotice<sup>2</sup>) pentru caolină. S'au construit deasemenea și filtre-prese osmotice speciale, care funcționează ca filtrele-presă obișnuite, dar care au plăci ce servesc când drept anod, când drept catod, din care cauză masa de filtrat elimină lichidul cu ajutorul electroosmozei și devine mai uscată.

Pe de altă parte, cu ajutorul electroosmozei se poate efectua mult mai repede impregnarea materialelor poroase, ca de ex. impregnarea țesăturilor, a lemnului, tăbăcirea pieilor.

1) V. M. Gortcov și colab., Kol. J. 1, 303 (1935); 2, 427 (1936).

2) R. Liesegang, Kolloidchemische Technologie, 107 (1927).

O aplicare interesantă a electroosmozei în industrie a fost făcută de Dokins (1913<sup>1</sup>). El a propus folosirea electroosmozei la fasonarea cărămizilor. La fasonarea mecanică a cărămizilor, argila umedă se lipește de suprafața metalică netedă și la tăierea cu sărma se folosește un chit care să impiedice lipirea argilei de sărmă. Dacă sărma se unește cu polul negativ, iar bucata de argilă cu polul pozitiv, atunci suprafața sărmăiei, din cauza mișcării apei la electroosmoză, se acoperă cu un strat de apă și argila nu se mai lipește de ea; sărma taie curat și cu un consum mai mic de forță. Crowther și Haines<sup>2</sup>) au arătat că electroosmoza poate ajuta la arat. În cazul de față, plugul se unește cu polul negativ, iar anodul se cufundă în sol. Lucrările de laborator au arătat că atât în cazul aratului, cât și în cazul tăierii argilei forța de frecare se micșorează până la 20%.

La electroosmoză se observă un câștig de energie numai în acel caz când în sol (argilă) se găsește o cantitate suficientă de apă ușor deplasabilă, ceeace are loc la o umiditate nu mai mică de 25%.

Electroosmoza se poate folosi pentru epurarea apei de electroliți<sup>3</sup>).

## 6. POTENȚIALUL DE CURGERE

La curgerea unui lichid în capilare se observă prezența potențialului  $\zeta$ , care trebuie să oprească curgerea. De aceea, la curgerea unui lichid prin membrane încărcate electric, când porii membranei sunt într'atât de mici, încât devin de ordinul de mărimi al parametrului transversal al stratului dublu, viteza de curgere devine vizibil mai mică<sup>4</sup>).

Dacă schimbăm condițiile experienței precedente (electroosmoza) și în loc să punem în mișcare lichidul în capilare cu ajutorul curentului, presăm lichidul prin capilare cu ajutorul presiunii, se poate observa o diferență de potențial  $E$  între electrozi situati la capetele capilarului.

Diferența de potențial datorită curgerii lichidului se numește **potențial de curgere**. Apariția acestui potențial se explică la fel ca și fenomenul de electroosmoză, adică prin prezența stratului dublu. Dacă  $P$  este presiunea aplicată, în dyne, atunci:

1) R. Horchner, *Bazele biologiei*, partea I-a, Colozii, 101 (1933).

2) E. M. Crowther și W. B. Haines, *J. Agr. Sci.* 14, 221 (1924).

3) I. I. Jucov, *Usp. chim.* 12, 265 (1943).

4) H. Reichardt, *Z. phys. Ch.* 166, 433 (1933).

$$\zeta = 4\pi\eta\chi \frac{E}{PDi} \quad (110)$$

sau măsurând  $\zeta$  în volți, iar  $P$  în atmosfere :

$$\zeta = 4\pi\eta\chi \frac{E}{PDi} \cdot 9 \cdot 10^{11}, \quad (111)$$

unde  $\chi$  este conductibilitatea electrică specifică a lichidului. Potențialul  $\zeta$  se determină ușor pe baza ecuației (111). Prin această metodă el a fost determinat de Kruyt<sup>1)</sup>, iar mai târziu de Freundlich și Rona<sup>2)</sup>. Ideea experienței constă în aceea că între două vase de sticlă 1 și 2 (fig. 97) se găsește un tub capilar 3 din materialul de cercetat. Sufărând aerul, se obligă lichidul din vas 2 să curgă sub presiunea  $P$  prin capilarul 3 în vasul 2 și se măsoară diferența de potențial între electrozii 4 și 5. Să presupunem că potențialul între electrozi este egal cu  $E$ ; atunci, folosind formula (111) se calculează potențialul  $\zeta$ , cunoscând celelalte valori.

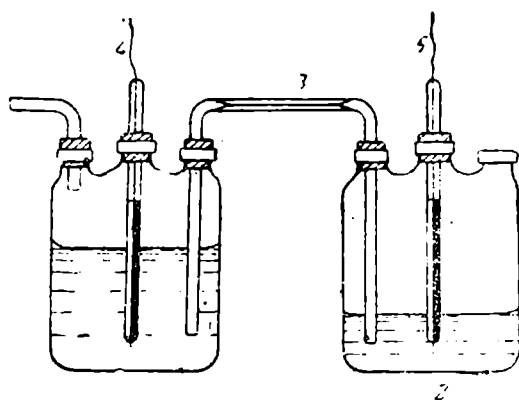


Fig. 97. — Aparatul lui Krut pentru cercetarea potențialului de curgere. Determinările valorii  $\zeta$ , prin măsurarea electroosmozei și curentului de curgere coincid destul de bine<sup>3)</sup>.

In toate formulele de electroosmoză și potențial de curgere intră valoarea constantei dielectrice, care se consideră egală cu constanta dielectrică a mediului. Totuși, în stratul dublu, structura lichidului este alta; acolo moleculele polare sunt orientate, ceeace trebuie să schimbe valoarea constantei dielectrice. E posibil ca în stratul dublu valoarea constantei dielectrice să fie mult mai mică.

După cum s'a mai spus, la curgerea lichidului prin capilare (pori), care au la suprafața lor potențialul  $\zeta$ , viteza de curgere a lichidului scade semnificativ, ceeace influențează asupra vitezei de filtrare.

1) H. R. Kruyt, K. Z. 22, 81 (1918); H. R. Kruyt u. P. van Willigen, K. Z. 45, 307 (1928).

2) H. Freundlich u. P. Rona, Sitzungsber. Preuss. Akad. Wiss. 20 397 (1920); H. Freundlich, Fortschritte der Kolloidchemie, 12, Dresden, 1926.

3) H. Freundlich, Kapillarchemie, 3. Auf., 336 (1923).

## 7. ELECTROFOREZA

Fenomenul de electroosmoză este în legătură cu prezența unei faze imobile, solide (poroase). Currentul electric aplicat din exterior produce deplasarea fazei lichide. Fenomenul decurge invers, dacă într'o masă mare de fază lichidă este dispersată o substanță oarecare; adică dacă există un sistem dispers.

În acest caz, în volumul mare de lichid se găsesc particule, încărcate electric, care sunt capabile să se deplaseze sub acțiunea curentului electric. Sarcina particulei depinde de stratul dublu, care s'a format la suprafața ei. O astfel de mișcare a particulelor încărcate electric către electrozi se numește electroforeză.

Denumirea veche de „cataforeză” este mai puțin justă căci ea evidențiază numai mișcarea către catod.

Să presupunem că într'un sistem lichid dispers cu particule  $a$  se cufundă doi electrozi (fig. 98 A). La trecerea curentului, ionii din lichid, încărcați pozitiv se vor îndrepta către electrodul negativ, în timp ce particulele disperse libere, încărcate negativ se vor deplasa către electrodul pozitiv. Astfel, în timpul acțiunii curentului, particulele  $a$  se apropiu treptat de polul de sens contrar; stratul mobil de lichid cu ionii încărcați cu electricitate de semn contrar se îndepărtează de ei în direcția celuilalt pol (fig. 98 B), suma sarcinilor particulelor lichidului, cuprins între electrozi fiind întotdeauna egală cu suma sarcinilor stratului lichid.

Dacă solurile se compun, nu din particule sferice, ci din particule în formă de bastonașe, atunci la electroforeză se produce nu numai deplasarea particulelor, ci și orientarea lor<sup>1)</sup> între electrozi (fig. 99).

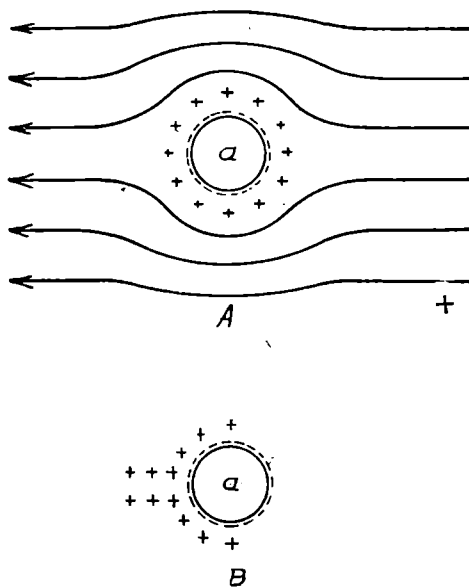


Fig. 98. — Mișcarea particulei  $a$  în lichid la electroforeză.

1) A. Zsegvari u. G. Wigner, K. Z. 33, 218 (1923).

Figura I arată particula cu stratul ei dublu înaintea trecerii curentului; figura II arată deplasarea stratului ionic de pe particulă, din care cauză aceasta devine dipol, cât și orientarea ei în câmpul de forțe; figura III arată mișcarea particulei negative, orientate.

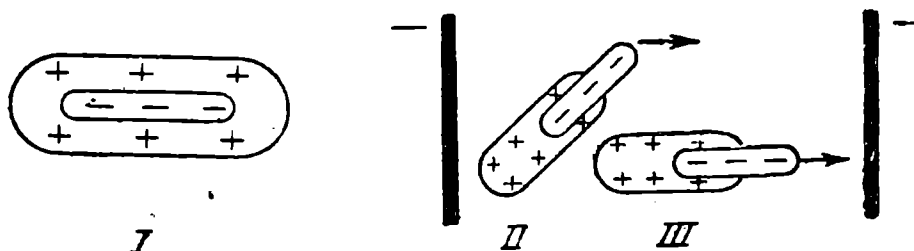


Fig. 99. — Mișcarea particulei nesferice la electroforeză.

Mișcarea particulelor se observă foarte ușor, dacă se toarnă o suspensie sau un sol colorat de ex. solul de hidroxid de fier,  $\text{As}_2\text{S}_3$  sau o suspensie de argilă într'un tub în formă de U (fig. 100) până la nivelul AB, iar deasupra se adaugă un strat de mediu de dispersiune, până la nivelul CD. La cufundarea electrozilor se poate observa mișcarea stratului de suspensie sau de sol spre unul sau celălalt dintre electrozi, în funcție de încărcarea particulelor. Fig. 100 arată deplasarea în direcția electrodului negativ, până la nivelul A<sub>1</sub>B<sub>1</sub>, ceeace denotă că micelii sunt încărcați pozitiv. Măsurând deplasarea  $h$  și timpul  $\tau$  în care s'a produs deplasarea, se poate determina ușor viteza:

$$u = \frac{h}{\tau}.$$

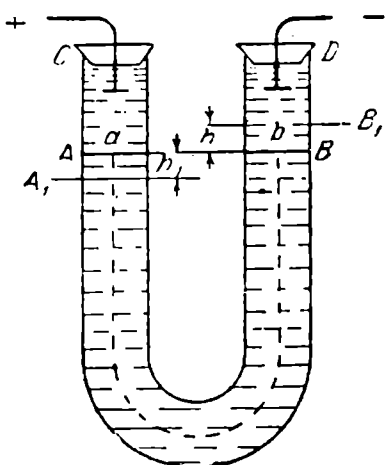


Fig. 100. — Aparat pentru studiul electroforezei.

Dacă diferența de potențial între electrozi este egală cu  $E$  și distanța între ei cu  $l$  atunci viteza va fi direct proporțională cu mărimea  $H$  — cădereea de potențial la distanță de 1 cm între electrozi:

$$H = \frac{E}{l}$$

Datorită prezenței dublului strat din jurul particulelor se poate scrie următoarea ecuație pentru viteza de deplasare a particulelor:

$$u = \frac{\zeta E D}{4\pi\eta l} = \frac{\zeta H D}{4\pi\eta},$$

unde  $u$  este viteza în cm/sec.

Exprimând valoarea potențialului  $\zeta$  în volți, vom avea:

$$u = \frac{\zeta H D}{4\pi\eta} \cdot \frac{1}{300^2} \quad (112)$$

Determinând viteza și cunoscând toate celelalte valori se poate calcula potențialul  $\zeta$ . Particularitatea ecuației vitezei electroforezei, îl constituie faptul că ecuația (112) nu cuprinde valoarea dimensiunii particulei, adică viteza particulelor la elec-trod nu depinde de mărimea lor (tab. 36).

T a b e l a 36

Relația intre  $u$ ,  $\zeta$  și mărimea particulelor

S u b s t a n ᄀ a	Dimensiunea particulei	$u \cdot 10^5$	$\zeta$ în mili-volti	Cercetătorul
licopodiu . . . . .	35 $\mu$	25	-37	Quincke
emulsie de ulei . . .	2 $\mu$	32	-46	Powis
emulsie de parafină .	724 m $\mu$	2,4	-57,4	Tuorila
cuarț (suspsenie) . .	1 $\mu$	30	-44	Whitney a. Blake
argilă (suspsenie) . .	< 1 $\mu$	19,9	-48,8	Tuorila
Au sol . . . . .		4	-58	
Pt sol . . . . .		30	-44	
Fe(OH) <sub>3</sub> sol . . . . .		3	+44	Whitney a. Blake
Au sol . . . . .	mai mic de	32	-32	
Pt sol . . . . .	100 m $\mu$	20	-30	Burton
Pb sol . . . . .		12	+18	
FeO.OH sol . . . . .		37,4	+52	
As <sub>2</sub> S <sub>3</sub> sol . . . . .		42,3	-89,5	Freundlich u. Zeh

Dacă vom compara vitezele electroforezei suspensiilor și particulelor coloidale cu viteza deplasării ionilor, vom observa că aceste valori sunt de aceeași ordine de mărime. Prezintă excepții numai ionii de hidrogen și de hidroxil.

$$u_K = 66,9 \cdot 10^{-5}; \quad u_{Ag} = 55,9 \cdot 10^{-5}$$

$$u_{Cl} = 67,7 \cdot 10^{-5}; \quad u_H = 329,4 \cdot 10^{-5}; \quad u_{OH} = 180,2 \cdot 10^{-5}.$$

După părerea lui Helmholtz, forma particulelor nu influențează asupra vitezei de electroforeză. Totuși, Debye și Hückel au arătat că în ecuația (112) coeficientul numeric se schimbă în funcție de forma particulelor. Ecuația (112) se referă la particule cilindrice. Pentru cazul particulelor sferice, formula capătă forma:

$$u = \frac{\zeta HD}{6\pi\eta} \cdot \frac{1}{300^2}$$

Un aparat pentru electroforeză a fost propus încă în anul 1906. Astăzi există o serie de aparate, care permit măsurarea vitezei de electroforeză la microscop (Cohen<sup>1</sup>), Michaelis<sup>2</sup>, Svedberg<sup>3</sup>) sau la ultramicroscop (Kruyt<sup>4</sup>).

Tiselius, construind un aparat special, a avut posibilitatea de a separa prin electroforeză amestecurile naturale de albume în fracțiuni și de a efectua astfel analiza acestor amestecuri, lucru care are o mare importanță la studiul preparaților biologice<sup>6</sup>). Analiza se efectuează pe baza sarcinilor diferite ale particulelor.

Puteam să ne facem o imaginea despre valoarea sarcinii particulelor, considerând particula ca fiind un condensator sferic, atunci

$$\zeta = \frac{e(r-r_1)}{Dr r_1}, \quad (113)$$

unde  $r$  este raza particulei, împreună cu suprafața exterioară a dublului strat electric și  $r_1$  — raza particulei.

1) A. Cohen, Z. electrochem. 15, 653 (1909).

2) Michaelis, Bioch. Z. 16, 81 (1908).

3) Th. Svedberg u. H. Anderson, K. Z. 24, 156 (1919).

4) H. Kruyt u. A. E. van Arkel, K. Z. 32, 91 (1923).

5) A. Tiselius, Nova Acta Reg. Soc. Sci. Upsalensis (4), 7 Nr. 4 (1930); A. Tiselius, Trans. Farad. Soc. 33, 524 (1937); K. Z. 85, 129 (1938).

De electroforeză ține și devierea perilor suspendați între electrozi. Cohen<sup>1)</sup> a observat acest fenomen la sârme metalice subțiri, suspendate pe un fîr încărcat de mătase într-o cuvetă cu apă sau cu soluție (fig. 101).

La trecerea curentului electric prin electrozi 1 și 2 se produce o deviere a fîrului metalic spre dreapta sau spre stînga, în funcție de încărcarea lui. A. și O. Dumanschi<sup>2)</sup> au aplicat, independent de Cohen, o metodă analoagă pentru determinarea semnului potențialului  $\zeta$  al firelor și a punctului isoellectric al perilor din gelatină, mătase și a. și le-au folosit ca indicatori la titrare (Linnic).

Fenomenul prin care potențialul  $\zeta$  influențează viteza de deplasare a particulelor a fost cercetat de Dorn<sup>3)</sup> și de aceea se numește efectul Dorn. Totuși, folosirea acestei metode pentru determinarea valorii potențialului este mult mai complicată<sup>4)</sup>.

Analog faptului prin care potențialul  $\zeta$  de pe pereții capilarului micșorează viteza lichidului care curge, tot așa și pe suprafața particulelor în sedimentare, potențialul  $\zeta$  micșorează viteza de sedimentare. Particulele încărcate sedimentează mai incet decât ar trebui să sedimenteze după mărimea și gradul lor de dispersiune ).

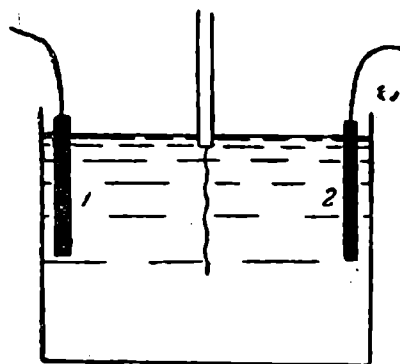


Fig. 101. – Schema aparatului pentru studiul potențialului unei fibre.  
1–2 electrozi.

## 8. SARCINA ELECTRICĂ A SOLURILOR

Sarcina electrică a particulelor coloidale are o foarte mare importanță; de aceea se dă întotdeauna atenție semnului lor. Solurile pot fi împărțite în soluri încărcate pozitiv și negativ. Par-

1) A. Cohen u. P. Schofmeister, Z. phys. Ch. 125, 401 (1927).

2) A. V. Dumanschi și O. A. Dumanschi, J. F. H. 5, 673 (1934); Iu. A. Linnic, Koll. J. 4, 689 (1938).

3) Dorn, Wied Ann. 10, 70, 188.

4) J. Stock, Anzeiger Akad. Wiss. Krakau (A) 131 (1913); 95 (1914); E. F. Burton a. J. C. Curie, Phil. Mag. (6), 9, 194 (1925); J. D. Quist a. E. R. Washburn, J. Am. Chem. Soc. 62, 3169 (1940).

5) A. Tiselius, K. Z. 59, 306 (1932).

ticulele primelor se deplasează în câmpul electric către catod, iar particulele celorlalte — către anod (tab. 37).

Tabelă 37

**Hidrosoluri încărcate pozitiv și negativ**

Soluri încărcate pozitiv (mișcarea particulei spre catod).	Soluri încărcate negativ (mișcarea particulei spre anod)
Hidroxizii de: fier, cadmu, aluminiu, crom, toriu, zircon, ceriu Acidul titanic Coloranți bazici, de ex: bleunuit, albastru de metilen	Aur, argint, platină Sulfuri de: arsen, stibiu, cupru, plumb, cadmu. Sulf Acizi: silicic, stanic Albastru de molibden și de wolfram Pentaoxid de vanadiu Mastic, cauciucul, emulsiile de cauciuc Gumă arabică, amidonul, pectina Coloranți acizi, de ex. roșu de Congo, benzopururina

La folosirea tab. 37 trebuie să se aibă în vedere, că solurile uneia și aceleiași substanțe pot avea atât sarcini pozitive, cât și sarcini negative. De ex. hidroxizii metalelor grele, obținuți în prezența zaharurilor au sarcină negativă.

După semnul sarcinii, solurile pot fi împărțite în două grupe:

- 1) Soluri cu particule încărcate pozitiv — **soluri pozitive**.
- 2) Soluri cu particule încărcate negativ — **soluri negative**.

La trecerea curentului, primele soluri se deplasează către catod, iar celealte către anod. Este foarte important de a cunoaște starea isoelectrică a particulei ( $\zeta = 0$ ).

Fenomenul de electroforeză se observă nu numai la particulele solide, dispersate în lichid, ci și la particulele lichide (emulsiile) sau la bulele de gaz, căci în toate aceste cazuri există un salt de potențial la limita de separație între faze.

## 9. INSUȘIRILE POTENȚIALULUI $\zeta$

La toate cele trei fenomene — electroosmoza, curgerea lichidului și electroforeza — „potențialul  $\zeta$  este analog. Valoarea potențialului  $\zeta$  variază mult la adăugarea chiar a unor mici cantități de electrolit (tab. 38).

Tabelă 38

**Electroforeza suspensiei de parafină**  
(la  $t = 14,5^\circ$  după Tuorila<sup>1)</sup>

Concentrația electrolitului în milimoli la litru	Potențialul $\zeta$ la suprafața particulei în milivolți	
	soluție de NaCl	soluție de HCl
0	— 54,4 ± 4,7	— 54,4 ± 4,2
0,25	—	— 7,1 ± 0,2
2,5	—	+ 1,7 ± 0,2
5,0	— 38,3 ± 2,0	+ 1,6 ± 0,2
5,0	— 30,7 ± 1,5	+ 2,0 ± 0,2
20,0	— 22,3 ± 0,7	+ 1,3 ± 0,2
40,0	—	0,0
67,3	— 9,6 ± 0,8	—

Comparând acțiunea sării unui metal (ioni monovalenți) și a unui acid, observăm că variația concentrației ionilor de  $H^+$  influențează mult mai puternic asupra variației sarcinii particulei încărcate electronegativ, decât variația concentrației altor cationi. La rândul său, asupra sarcinii particulelor electropozitive are o influență mai mare variația concentrației ionilor  $OH^-$ , a căror acțiune amintește acțiunea ionilor bivalenți. Trebuie menționat că ionii bivalenți acționează mult mai puternic decât ionii mo-

Tabelă 39

**Influența cationilor mono- și bivalenti asupra variației valorii potențialului  $\zeta$ .**

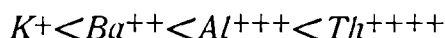
Potențialul  $\zeta$  s'a determinat după viteza  $u$  (după Tuorila)

Concentrația în miliechivalenți	Potențialul $\zeta$ în milivolți	
	soluție NaCl	soluție BaCl <sub>2</sub>
0	— 48,8	— 48,8
0,0005	—	— 45,2
0,007	—	— 17,2
2,0	— 48,4	—
4	— 47,0	—
8	— 45,3	—
20	— 37,4	—

1) P. Tuorila, K. Beih. 27, 44 (1928).

novalenți. În tabela 39 se compară influența cationilor mono și bivalenți asupra variației valorii potențialului și al particulelor unei suspensii de argilă, încărcate negativ.

ACTIONEA principală o are ionul de semn contrar. De exemplu, particulele de argilă, încărcate negativ se descarcă prin cationi încărcăți cu electricitate de semn contrar, valența cationilor având o mare importanță<sup>1)</sup>. Cu cât este mai mare valența cationului, cu atât e necesară o concentrație mai mică de electrolit pentru micșorarea valorii potențialului și (Freundlich<sup>2)</sup>). După acțiunea lor crescândă cationii se pot aranja în modul următor:



În tabela 40 sunt date ca exemple valorile concentrației cationilor, la care se produce o schimbare egală a potențialului la limita sticlă-apă.

Tabela 40

**Concentrațiile cationilor, la care se produc variații identice ale potențialului la limita sticlă-apă**

(după datele lui Powis<sup>3)</sup>)

Electrolitul	Concentrația electrolitului în milimoli
KCl . . . . .	25
BaCl <sub>2</sub> . . . . .	0,87
AlCl <sub>3</sub> . . . . .	0,02
ThCl <sub>4</sub> . . . . .	0,015

Acțiunea crescândă a cationilor nu variază proporțional cu valența lor, ci mult mai puternic — regula lui Schulze-Hardy. Pe baza datelor tab. 40, raportul concentrațiilor cu acțiune identică, va fi:

$$K^+ : Ba^{++} : Al^{+++} : Th^{++++} = 1670 : 58 : 1,3 : 1.$$

1) Vez: lucrarea lui I. I. Jucova și M. Socolova, J.R.F.H., O. 51, 1081 (1939).

2) H. Fréundlich, Kapillärchemie I, 367, 4 Aufl., 1930.

3) F. Powis, Z. Phys. Ch. 89, 91 (1915).

O influență analoagă a valenței ionului asupra potențialului se poate observa la cercetarea fenomenului de electroforeză. Astfel, aceiași autori au studiat influența anionilor și cationilor complecși asupra particulelor coloidale ale solului electro-negativ de  $\text{As}_2\text{S}_3$  și asupra solului electropozitiv ( $\text{FeO.OH}$ ). Primului sol îl se adaugă electrolitul sub forma sărurilor complexe de cobalt și se determină concentrația, care avea aceeași influență asupra mășorarii potențialului. La al doilea sol s'au adăugat săruri complexe cu anioni de diferite valențe (tab. 41). Din datele acestei tabele se vede că asupra particulelor încărcate negativ de  $\text{As}_2\text{S}_3$  au influență în special cationii polivalenți, iar asupra particulelor încărcate pozitiv de  $\text{FeO.OH}$  au influență anionii polivalenți și că sarcina fazelor solide se descarcă cu ajutorul ionilor de semn contrar.

Tabela 41

**Influența sărurilor complexe asupra coagulării solurilor de  $\text{A}_2\text{S}_3$  și  $\text{FeO.OH}$  (După Freundlich și Zeh<sup>1)</sup>**

Denumirea solului	Electrolitul	Concentrația electrolitului în milimoli
$\text{As}_2\text{S}_3$	$[\text{Co}(\text{NH}_3)_4(\text{NO}_2)_2]^+ \text{Cl}^- . . . . .$	56
	$[\text{Co}(\text{NH}_3)_5 \text{Cl}]^{++} \text{Cl}_2^- . . . . .$	9
	$[\text{Co}(\text{NH}_3)_6]^{+++} \text{Cl}_3^- . . . . .$	2,1
	$[(\text{NH}_3)_4 \text{Co} \begin{cases} \text{NH}_2 \\ \text{OH} \end{cases} \text{Co}(\text{NH}_3)_4]^{++++} \text{Cl}_4 \text{H}_2\text{O}$	1,2
	$[\text{Co}[(\text{OH}_2)_2 \text{Co}(\text{NH}_3)_4]_3] \text{Cl}_6^{+++++} . . .$	1,0
$\text{FeO.OH}$	$\text{K}^+ [\text{Au}(\text{CN})_2]^- . . . . .$	320
	$\text{K}_2^+ [\text{Pt}(\text{CN})_4]^{--} . . . . .$	17
	$\text{K}_3^+ [\text{Cu}(\text{CN})_4]^{---} . . . . .$	9
	$\text{K}_4^+ [\text{Fe}(\text{CN})_6]^{----} . . . . .$	3,1

În tab. 40 au fost indicate datele obținute cu soluțiile sărurilor simple. Aceste săruri se descompun ușor prin hidroliză, ceea ce complică fenomenul; de aceea s'au luat săruri complexe,

1) H. Freundlich u. H. Zeh, Z. phys. Ch., 114, 65 (1925).

care nu se supun hidrolizei (tab. 41). În acest fel se excludea posibilitatea apariției ionilor  $H^+$  sau  $OH^-$  care stârnjeneau determinarea.

O asemenea relație între valența ionului, care și desarcă suprafața, și între concentrația acestui ion, la care acțiunea de desarcare decurge mult mai repede decât creșterea valenței, se numește **regula valenței**. Această regulă se poate formula în modul următor: capacitatea de desarcare a ionilor, încărcată cu electricitate de semn contrar cu sarcina suprafeței, este cu atât mai mare, cu cât este mai mare valența lor. Concentrația necesară pentru atingerea unei micșorări egale de potențial nu variază proporțional cu valența, ci mult mai repede.

După Freundlich, variația potențialului în funcție de valența ionului se numește **adsorbția ionilor**. Freundlich explică acest fenomen în modul următor:

Să presupunem că avem o suprafață a unui corp solid, încărcată negativ, care servește drept adsorbant pentru sarea noastră. La adsorbția cationilor de diferite valențe (de ex.  $K^+$ ,  $Ba^{++}$ ,  $Al^{+++}$ ) se va produce desarcarea suprafeței, cantitatea de cationi adsorbiți pentru atingerea punctului isoelectric, trebuind să fie invers proporțională cu valența lor, adică:

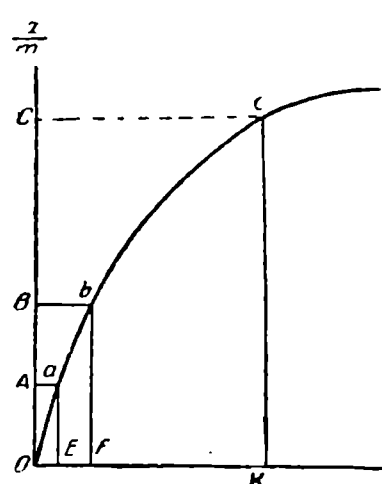


Fig. 102. — Adsorbția și variația potențialului.

În soluție; obținem segmentele  $OE$ ,  $OF$  și  $OK$ . Este ușor de observat că raportul  $OE : OF : OK$  este mult mai mare decât raportul  $1:2:3$ , ceea ce coincide cu influența discutată mai sus a valenței ionului de semn contrar.

$$\frac{x}{1} : \frac{x}{2} : \frac{x}{3} .$$

Raportându-ne acum la fig. 102 în care este reprezentată isoferma de adsorbție (pe axa ordonatelor s-au luat cantitățile de substanță adsorbită, iar pe axa absciselor — concentrația electrolitului) să luăm aceste cantități pe ordonată

$$OA : OB : OC = \frac{x}{3} : \frac{x}{2} : \frac{x}{1} .$$

și să notăm punctele respective cu **a**, **b**, **c**, pe curba de adsorbție. Să determinăm acum pe axa abschiselor concentrația cationilor

Teoria de adsorbție a lui Freundlich, care a jucat un mare rol în chimia coloidală, nu poate fi considerată complect justă, căci aici a fost admisă fără dovezi situația că adsorbția ionilor de diferite valențe se exprimă printr'una și aceeași curbă. Un sir de autori, iar mai târziu chiar însuși Freundlich<sup>1)</sup> au indicat cazuri în care această teorie nu se poate aplica. A. I. Rabinovici<sup>2)</sup> și colaboratorii lui au cercetat detaliat relația între scădereea potențialului și concentrația electrolitilor adăugați și au făcut critica teoriei lui Freundlich. Toate acestea nu permit încă să ne dezicem de această teorie, ci denotă numai că ea nu prezintă o valabilitate atât de generală cum s'a părtut la început.

Fenomenul variației potențialului  $\zeta$  nu decurge atât de simplu. Adăugarea electrolitului nu trebuie să producă neapărat o micșorare a potențialului; se întâmplă des ca la concentrații mici să se producă o creștere, care atinge un maxim, iar la creșterea ulterioară a concentrației, potențialul începe să scadă, ajungând la zero. La ionii polivalenți, încărcați cu electricitate de sens contrar, se produce instantaneu o scădere bruscă de potențial până la zero, după care are loc încărcarea suprafetei cu electricitate de sens contrar. O creștere ulterioară a concentrației electrolitului mărește potențialul care și-a schimbat semnul, îl aduce la un maxim, și la concentrații mari îl schimbă din nou. Cele spuse sunt ilustrate prin curbele (fig. 103), obținute de Freundlich și Ettisch<sup>3)</sup> la cercetarea potențialului de curgere

într'un capilar de sticlă, folosind formula (111). Pe axa ordonatelor sunt luate valorile  $\zeta$ , iar pe axa absciselor — valorile logaritmului concentrației în moli ( $\lg c$ ). Pe figură se vede ascensiunea curbelor până la maxim la adăugarea KCl și BaCl<sub>2</sub>, coborirea bruscă a curbelor la adăugarea La(NO<sub>3</sub>)<sub>3</sub> și Th(NO<sub>3</sub>)<sub>4</sub> și schimbarea semnului potențialului la adăugarea Th(NO<sub>3</sub>)<sub>4</sub>.

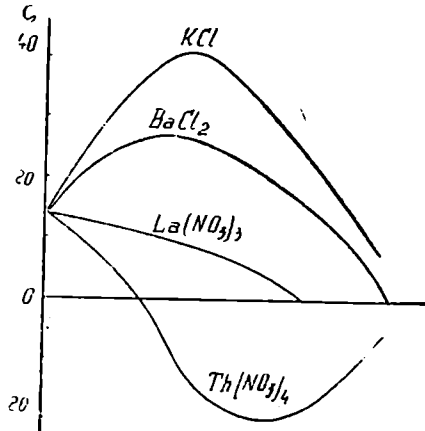


Fig. 103. — Variația potențialului  $\zeta$  la adăugarea electrolitilor.

1) H. Freundlich, K. Joachims u. G. Ettisch, Z. phys. Ch. 141, 129 (1929); H. Freundlich, Fortschritte der Kolloidchemie, 39, 1926.

2) A. I. Rabinovici, J. F. H. 5, 220 (1934).

3) H. Freundlich, u. Ettisch, Z. phys. Ch. 116, 401 (1925).

## XVIII. SUSPENSIILE

Pentru obținerea suspensiilor sunt necesare următoarele condiții:

- 1) un mare grad de dispersiune, pentru ca particulele să se depună destul de încet;
- 2) legătura particulelor cu lichidul, pentru ca particulele să fie impiedicate să se contopească în timpul mișcării lor;
- 3) prezența sarcinii electrice la particule, pentru a se impiedica ciocnirea și coagularea particulelor în mișcare.

Pentru obținerea unei suspensiile substanța se sărâmișează mecanic, sistemul cu energie superficială mică și cu un mic grad de dispersiune trecând astfel într-un sistem cu un mare grad de dispersiune și cu energie liberă mai mare.

La sfârșitul procesului prin malaxare, șlefuire, măcinare, trebuie cheltuită energie pentru învingerea duritatei corpului, care se dispersează.

### 1. STRATUL DE ADSORBȚIE

In anul 1913, Dumanschi<sup>1)</sup> a observat că la suprafața particulelor disperse există întotdeauna învelișuri lichide stabile. Aceste învelișuri îngreunează contopirea particulelor una cu alta. Legile umectării arată diferența între particulele liofile și liofobe. Astfel, sunt hidrofilele prafurile de  $ZnO$ ,  $Fe_2O_3$ ,  $MgCO_3$  și altele, iar hidrofobe: cărbunele, din care s'a extras cenușa<sup>2)</sup>, suspensiile de parafină, negrul de fum, cauciucul. Mai târziu, același autor a desvoltat ipoteza lui și bazându-se pe un sir de lucrări ale altor autori a exprimat părerea despre „lichidul legat”, la suprafața particulelor liofile.

Dereaghin<sup>3)</sup>, studiind umectarea, a indicat existența unui

---

1) A. Dumanschi, Despre soluțiile coloidale, Chișinău 1913.

2) A. Dumanschi, K. Z. 65, 178 (1933). Liofilia sistemelor disperse. editura V. G. U. 1940.

3) B. Dereaghin. Izv. AN. U.R.S.S. OMEN 1936, 741; 1937, 1119. Kcl. J. 5, 257, 605 (1939).

strat rezistent și variabil de lichid pe suprafața solidului, a emis teoria acestui fenomen și a determinat grosimea acestui strat care atinge valori foarte mari — până la  $0,075 \mu$ .

Astfel, particulele suspensiei, liofile sătă de mediul de disperziune, sunt solid legate de lichid și fiind imbibate, nu se pot lipi ușor una de alta — nu se pot coagula — ci formează o turbureală destul de stabilă la un grad destul de mare de disperziune. Invelișul lichid joacă rolul de stabilizator.

Particulele liofobe nu posedă un astfel de inveliș; ele se împreunează ușor, se autocoagulează. De ex., prafurile de  $ZnO$ ,  $MgO$ ,  $Fe_2O_3$  și a. nu pot da suspensiile cătuși de puțin stabile în hidrocarburi. Cercetând problema stabilității emulsiorilor, am menționat rolul emulgatorilor, care schimbă suprafața particulelor liofobe ale emulsiei în particule liofile. Procedând în mod analog, se pot stabiliza și particulele suspensiilor. Pentru aceasta se introduce un stabilizator tensioactiv, care se adsoarbe cu grupa lui polară pe  $ZnO$ ,  $MgO$  și a. „disolvându-se“, prin radicalul lui hidrocarbonat, în mediul de hidrocarbură. Astfel de stabilizatori pot fi, în exemplul nostru, acizii oleic, stearic și alcoolii cu catenă hidrocarbonată lungă (octilic, propilic). Stabilizatori deosebit de buni sunt substanțele ale căror grupe polare se fixează chimic pe suprafață, de ex.  $COOH$  pe  $ZnO$  sau  $MgCO_3$ .

Deoarece fenomenele de adsorbție sunt deosebit de clare la concentrații mici, iar după atingerea stratului superficial saturat o mărire ulterioară a concentrației nu mai are importanță, stabilizarea suspensiei atinge și ea limita ei la concentrațiile mici de substanță tensioactivă și de aceea un mare exces al acesteia este inutil.

Inafara de aceasta, la adsorbția substanțelor tensioactive din soluții, la limita solid-lichid (cap. XV) regula lui Traub-Duclaux e valabilă și în acel caz, când polaritatea fazelor este diferită: un dipol și o fază nepolară.

Regula nu se evidențiază clar, când nu există o asemenea diferență între insușirile de polaritate ale fazei disperse și ale mediului de disperziune<sup>1)</sup>.

Această regulă se aplică la explicarea fenomenului de stabilizare.

P. A. Rebinder<sup>2)</sup> și școala lui au efectuat multe lucrări referitoare la problema suspensiilor, la stabilitatea lor și la importanța lor în industrie.

1) P. A. Rebinder, Cercetări asupra fizico-chimiei suspensiilor tehnice. M. 1933: L. P. Selovieva, Kol. J. 5, 886 (1939).

2) P. A. Rebinder, Izv. AN. U.R.S.S. OMEN, 1936, 639, 707.

Pe baza celor spuse, putem să ne reprezentăm structura particulei în felul următor (fig. 104): Particula solidă A este înconjurată de o peliculă moleculară, rezistentă, de adsorbție B, din molecule orientate, în jurul căreia se dispune sfera moleculelor mediului C formată din straturi de molecule, parțial orientate. Această orientare dispare treptat la îndepărțarea de suprafața particulei și se contopește treptat cu mediul de dispersiune în care se găsesc particulele. Prezența unei astfel de sfere nu numai că întârzie sedimentarea, dar împiedică particulele să se apropiie una de alta la o astfel de distanță, care ar permite atracția lor reciprocă și coagularea.

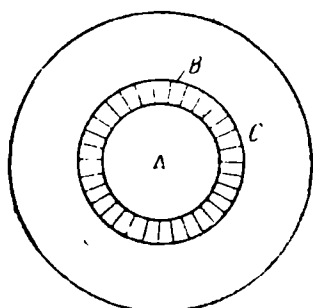


Fig. 104. — Structura liosteriei unei particule de suspensie.

## 2. SARCINA ELECTRICĂ ȘI STABILITATEA

O altă cauză care contribue la stabilitatea suspensiilor este sarcina electrică a particulelor, care se poate forma grație adsorbției dipolilor, a adsorbției ionice și a altor fenomene electrice la suprafața particulei (a potențialului).

Sarcina se arată a fi un factor stabilizator, din cauza că particulele încărcate electric nu se pot ciocni în mișcarea lor, din cauza respingerii electrostatice. Starea electrică a particulei coloidale se compune din sarcina electrică pozitivă sau negativă, legată solid de particula și care determină încărcarea particulei însăși și dintr-o sferă ionică difuză, care se compune lângă suprafață numai în ioni de semn contrar semnului particulei, căreia, pe măsura îndepărțării de suprafața particulei, încep să se adauge ioni de alt semn, trecându-se treptat la starea normală a ionilor de electrolit în soluție.

Astfel, întreaga particulă dispersă este un sistem destul de complicat, compus: 1) dintr'un nucleu cristalin sau lichid (emulsie), 2) un strat de adsorbție monomolecular, 3) un înveliș lichid, mai dens la suprafața particulei, care trece treptat în mediul de dispersiune, 4) un strat ionic, legat solidar și 5) un strat ionic difuz, cu sarcină electrică contrară încărcării particulei, care se deplasează liber în timpul fenomenelor de electroforeză și electroosmoză.

Intreg acest sistem se numește **micel**, sarcina micelului poate fi variată, introducându-se electrolili ai căror ioni, adsorbându-se, pot, fie să mărească sarcina și potențialul să, stabilizând astfel sistemul, fie să micșoreze potențialul să, micșorând totodată stabilitatea sistemului sau, cu alte cuvinte — sensibilizându-l.

Regula valenței, găsită pentru variația potențialului este pe deplin aplicabilă variațiilor stabilității sistemului. Astfel, ionii cu sarcina opusă sarcinii particulei, micșorează sarcina și stratul disuz, din care motiv dispare unul din factori stabilizařii și sistemul devine mai puțin stabil. In fig. 105 este dată schema lui Kruyt<sup>1)</sup> care arată aspectul pe care-l au miceli la pierderea sau dobârdirea factorilor de stabilizare. Figura I reprezintă un micel apărăt de sarcină electrică și de sferă lichidă în stare de stabilitate maximă — o particulă **liofilă** încărcată electric. Figura III reprezintă un micel, lipsit de sarcină electrică, dar având o sferă lichidă, o particulă **liofilă** în stare **isoelectrică**. Figura II reprezintă un micel, lipsit de sferă lichidă și având sarcină electrică — o particulă **liofoabă**, încărcată electric. Figura IV reprezintă un micel lipsit și de sarcină și de sferă lichidă, care este sistemul cel mai puțin stabil. Fig. V și VI reprezintă miceli care au schimbat semnul sarcinii electrice. Având un astfel de sistem și știind cum se schimbă sarcina pe suprafață și cum se poate varia liofobia particulei, suprapunându-i un strat de adsorbție de substanță tensioactivă, se poate, după dorință, regla stabilitatea suspensiilor. După cum vom vedea mai târziu, o particulă se poate face hidrofilă, prin adsorbția substanțelor capilar-active coloidale, aşa cum s'a vorbit mai sus, în capitolul despre emulsiile. Astfel, stabilizatori buni pentru suspensiile de argilă sunt gelatina, hurna și a. Adăugând suspensiilor soluții de electrolit se poate mări potențialul, contribuind astfel la stabilitatea suspensiei, sau se poate

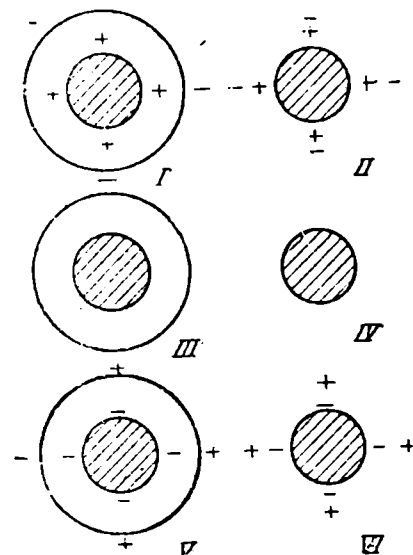


Fig. 105. — Schema lui Kruyt.

1) H. R. Kruyt, K. Z. 31, 338 (1922); Z. phys. ch. 100, 250 (1922).

micșora acest potențial făcând ca sistemul să fie puțin stabil, sau în slărșit, se poate schimba semnul potențialului.

Drept exemplu reprezentativ de sistem hidrofil poate servi suspensia de caolină<sup>1</sup>). În apă, sarcina particulelor este negativă, la adăugarea soluțiilor diluate de  $\text{FeCl}_3$  stabilitatea scade. Stabilitatea minimă coincide cu punctul isoelectric. Mai departe, odată cu mărirea concentrației de  $\text{FeCl}_3$  particulele de caolină își schimbă semnul, devin încărcate pozitiv și stabilitatea crește.

Trebue menționat, că sarcina suprafeței și hidrosilia ei, adică posibilitatea de a forma o sferă lichidă se influențează reciproc (Dumanschi 1913).

Drept exemplu pentru relația între capacitatea de a lega apă prin adsorbție și variația potențialului, obținută prin a-

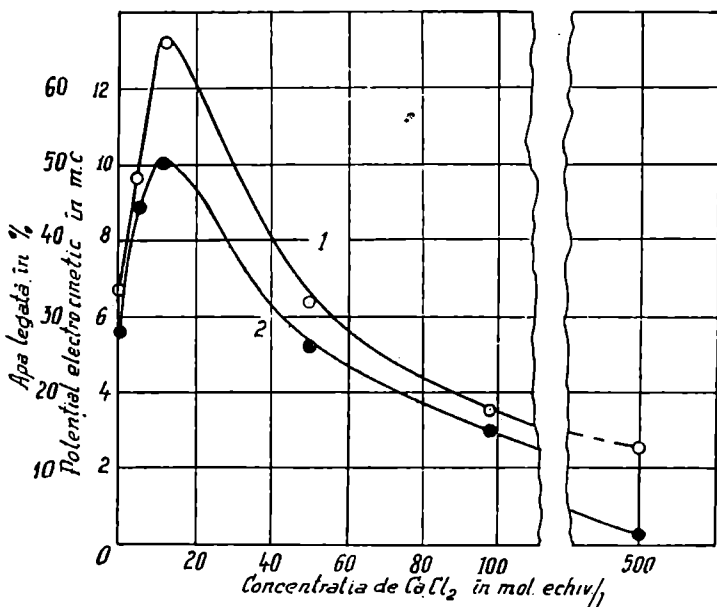


Fig. 106. — Hidrosilia și potențialul: 1. Cantitatea de apă legată; 2. Valoarea potențialului electrokinetic.

dăugare de electrolit, poate servi c. masă fărămițată de turbă.<sup>2</sup>). În fig. 106 s'a luat pe axa absciselor concentrația  $\text{CaCl}_2$ , iar pe ordonată — cantitatea de apă legată prin adsorbție și poten-

1) I. I. Jucov și M. I. Socolova, J. R. F. H. O. 61, 1081 (1929).

2) A. Dumanschi, M. Ciapc, T. Buraveev și E. Surâghina, Koll. J. 3, 99 (1930).

țialul respectiv. Curba 1 dă cantitatea de apă legată, curba 2 — valoarea potențialului electrocinetic. Amândouă aceste curbe variază.

### 3. DISPERSIUNEA

Dispersiunea unei suspensii, în cazul unui grad mic de dispersiune, se determină cel mai comod prin metoda sedimentării (Cap. II), ceeace se vede clar din formula (3) și tabelele 2 și 3. La un grad mare de dispersiune (coloidal) trebuie să se recurgă la centrifugă și ultracentrifugă (formula 9) sau la ultramicroscop [formula (38)].

Inafără de aceasta, formula lui Rayleigh (34) permite deosemenea determinarea dispersiunii particulelor coloidale. Această metodă a fost folosită de Mie <sup>1)</sup> (1908) care a rezolvat problema formei particulelor coloidale ale metalelor. Experiențele lui au arătat că aceste particule aveau formă unei sfere, sau una apropiată de aceasta.

La un mare grad de dispersiune, frecarea internă a soluțiilor particulelor hidrofobe, încărcate electric, nu se supune legii lui Einstein (49), fiindcă particulele încărcate se influențează reciproc la o distanță mai mare decât cele neîncărcate. Această influență mărește viscozitatea solului, ceeace a fost indicat de Smoluchovschi <sup>2)</sup>; el a dat o formulă care leagă valoarea frecării interne de potențialul  $\zeta$  al particulei:

$$\frac{\eta}{\eta_0} = 1 + 2,5 \gamma \left[ 1 + \frac{1}{\chi \eta_0 r^2} \left( \frac{D\zeta}{2\pi} \right)^2 \right] \quad (114)$$

unde  $\chi$  este conductibilitatea electrică. Semnificația celorlalte valori este cunoscută.

Cercetând structura micelului, am presupus că suprafața lui este peste tot identică. În realitate, nu este aşa. Suprafața particulei poate fi foarte nehomogenă. De ex. pe una și aceeași particulă pot exista atât sectoare hidrofile, cât și hidrofobe; de aceea stabilizatorul și învelișul apos se pot dispune foarte nehomogen pe suprafața ei. Folosind fenomenele de adsorbție se poate determina suprafața specifică a suspensiei — o valoare foarte importantă pentru caracteristica acestor sisteme. Considerând că stratul de adsorbție are o structură monomoleculară,

1) G. Mie, Ann. phys. 25, 377 (1908).

2) M. Smoluchovschi, K. Z. 18, 190 (1916).

Panet<sup>1)</sup> a propus, iar Kolthoff<sup>2)</sup> a elaborat o metodă pentru determinarea suprafeței particulelor unei suspensii după cantitatea coloranților adsorbiți (albastrul de metilen, cristalviolet și. a.). Metode mai perfecționate sunt metodele adsorbției substanțelor radioactive, propuse de același autor<sup>3)</sup>. Aceste metode dă posibilitatea de a se determina suprafața absolută a particulelor cu o mare precizie.

Pentru lămurirea însușirilor sistemelor coloidale s'a acordat o mare atenție fenomenelor superficiale, care au loc pe suprafețele microscopice de separație. Regulile găsite au fost trecute direct asupra sistemului de tipul emulsilor, suspensiilor, iar mai departe -- asupra soluțiilor foarte disperse. Aici nu trebuie uitat, că o asemenea trecere pur mecanică a însușirilor macrosuprafețelor asupra ultrasuprafețelor particulelor coloide, nu este întotdeauna posibilă. Despre aceasta s'a vorbit la începutul cărții, când s'a tratat problema atât de importantă a energiei superficiale a sistemelor coloidale, care nu creștea monoton odată cu creșterea valorii suprafeței particulelor, ci trecea printr'un maxim. La același lucru ne putem aștepta și la fenomenele de adsorbție la formarea liosferelor în jurul particulelor coloidale. Vorbind despre potențialul  $\zeta$  și despre straturile ionice difuze, deobicei se aplică în mod tacit regulile suprafețelor mari asupra particulelor coloidale. Kruyt<sup>4)</sup> arată foarte just că nu se poate considera un fenomen care se produce pe macroelectrozi pe particulele coloidale metalice, care sunt microscopice.

Apoi, trebuie avut în vedere că odată cu variația gradului de disperșiune, diferențele însușiri ale particulelor coloidale și de aici și ale sistemului, variază diferit<sup>5)</sup>. De aceea însușirile sistemelor disperse pot differi calitativ foarte mult unele de altele, pe măsura variației gradului de disperșiune. De ex., dacă particula posedă unele însușiri, exprimate cantitativ prin  $a$ ,  $b$ ,  $c$  la o rază  $r$ , atunci la o altă rază  $r'$  valorile  $a$ ,  $b$ ,  $c$ , nu se vor schimba numai devenind  $a:b:c$ , — ci va varia și raportul între ele și anume  $a_1:b_1:c_1$  nu vor fi egale cu  $a:b:c$ , adică sistemul capătă alte însușiri. Una din problemele chimiei coloidale este

1) F. Panet u. Radu, Ber. 57, 1221 (1924).

2) J. M. Kolthoff u. Ch. Rosenblum, J. Am. Ch. Soc. 55, 851, 2655 (1933).

3) F. Panet u. Vorwerk, Z. Phys. Ch. 101, 445 (1922); V. T. Hiopin și M. Mercuriova, J. F. H. 13, 1282 (1939).

4) H. R. Kruyt u. H. L. van Nouhuys, K. Z. 92, 325 (1940).

5) H. C. Hamaker, Trans. Farad. Soc. 36, 186 (1940).

lămurirea dependenței insușirilor sistemelor de gradul lor de dispersiune, considerând această dependență într'un sens nu îngust, ci larg.

#### 4. ADSORBȚIA DE SCHIMB

S'a arătat mai sus, că din cauza disociației electrolitice a moleculelor stratului superficial sau datorită adsorbției selective a ionilor soluției, pe suprafață se formează un dublu strat electric, compus dintr'un strat interior, solid legat, și dintr'un strat exterior de ionii, difuz și mobil. Ioniile prezente în soluție nu influențează aproape deloc asupra ionilor stratului interior, care par să fie o parte componentă a suprafeței particulei coloidului. Stratul exterior de ionii denumit în literatură „strat adsorbit” este mai dinamic și poate să înlocuiască ușor cu ionii de același semn din soluție. Fenomenul de înlocuire a ionilor micelului cu ionii soluției se numește **permutare adsorbtivă**. Această permutare amintește reacțiile chimice obișnuite de schimb; diferența între ele constă în aceea că în primul caz ea are un caracter de suprafață, iar în al doilea caz, permutarea se produce în volum.

O adsorbție pur selectivă a unuia din ionii soluției se numește **adsorbție polară**, spre deosebire de **adsorbția apolară**, când se adsoarbe întreaga moleculă. Adsorbția selectivă este întotdeauna însoțită de deplasarea ionului adsorbit, de aceea ea trebuie considerată ca o adsorbție de schimb.

Suspensiile (solurile) posedă o suprafață specifică mare și de aceea este clar că trebuie dată o mare atenție adsorbției de schimb, care influențează asupra insușirilor electrice ale suprafeței.

Adsorbția de schimb (permutarea) are o mare însemnatate practică, atunci când e vorba de sisteme disperse coloidale (roce, argilă, cărbune, diferitele precipitate disperse, organisme animale și vegetale, etc.). La sistemele disperse solide, adsorbția de schimb a fost constatată pentru prima dată de agrochimiști, ceea ce se explică prin marea ei importanță practică în agricultură.

La soluri, adsorbția de schimb în legătură cu coagularea a fost cercetată de Freundlich<sup>1)</sup>, Kruyt<sup>2)</sup>, Rabinovici<sup>3)</sup> și alții. La roce, adsorbția de schimb a fost constatată pentru prima

1) H. Freundlich, Z. phys. Ch. 141, 249 (1924).

2) H. Kruyt și Vewey, Z. phys. Ch. 167, 312 (1934).

3) A. Rabinovici și colab. J. F. H. 5, 534, 724, 969 (1934); 6, 1132 (1936) și alții.

oară de Way în anul 1850; cercetări mai amănunțite, cât și stabilirea echivalenței schimbului aparțin lui van Bemmelen<sup>1)</sup>, Kellner<sup>2)</sup>. Mai târziu, adsorbția de schimb la roce, argile și permutațiile a fost studiată de Gedroitz<sup>3)</sup>, Wiegner și colaboratorii lui<sup>4)</sup>.

G. Wiegner distinge următoarele momente ale adsorbției de schimb: intrarea ionului, împinsarea ionului și starea de echilibru a acestor două procese opuse de schimb. După capacitatea lor de a fi adsorbiți, ionii se dispun într-o serie, care coincide aproape complet cu seria lui Hofmeister.

După Wiegner, capacitatea ionilor de a fi adsorbiți, depinde de sarcina electrică, de hidratarea ionilor și de solubilitatea „compusului”, pe care-l formează ionul cu adsorbantul.

Fersman<sup>5)</sup> consideră adsorbabilitatea ionilor în legătură cu raza lor de valență, înțelegând prin aceasta raportul între raza ionului și numărul electronilor lui de valență.

Au fost propuse multe ecuații pentru adsorbția de schimb; dintre acestea, cele mai rationale sunt ecuațiile lui Gans<sup>6)</sup> și Gapon<sup>7)</sup>, care iau în considerație valența ionilor care se permute. Ecuația adsorbției de schimb după E. Gapon, poate fi reprezentată în forma ei generală în modul următor:

$$x [M_1] \frac{1}{m} + \frac{1}{n} [M_2] \rightleftharpoons x [M_2] \frac{1}{n} + \frac{1}{m} [M_1],$$

unde  $x$  este suprafața adsorbantului,  $M_1$  — ionul adsorbit;  $m$ ,  $n$  — valențele acestor ioni;  $M_2$  — ionul soluției, care deplasează ionul  $M_1$ .

Aplicând legea acțiunii maselor, se poate obține pentru cazul cel mai simplu, când  $m=n=1$ , următoarea ecuație:

$$(Q_{\infty} - Q_{M_2}) C_{M_2} = K Q_{M_2} C_{M_1}, \quad (115)$$

1) Van Bemmelen, Landw. Versuchst., 35 (1888).

2) O. Kellner, Landw. Versuchst. 33 (1887).

3) K. Gedroitz, Studiu despre capacitatea de adsorbție a rocelor, 1935.

4) G. Wiegner și colab., K. Z. 36, 341 (1925); 42, 268 (1927). Z. Phil. Bod. 11, 185 (1928), 14, 321 (1929); K. Reich. 38, 99 (1933); G. Wiegner. Lucrări alese 1941.

5) E. Fersman, J. soł. zeml. 9, 10 (1938).

6) R. Gans, Centr. Mineral. Geolog. Paleont. 2023 (1913).

7) E. N. Gapon, J. O. H. 3, 144, 153, 159 (1933).

unde  $Q_\infty$  este adsorbția maximă,  $Q_{M_2}$  — cantitatea cationilor adsorbiți,  $Q_{M_1}$  — concentrația de echilibru a ionului  $M_2$ ,  $C_{M_1}$  — concentrația de echilibru a ionului  $M_1$ .

Ecuația (115) se poate reprezenta sub forma următoare:

$$\frac{Q_{M_2}}{Q_\infty} = \frac{K\gamma}{1 + K\gamma} \quad (116)$$

unde  $\gamma$  este raportul între concentrațiile ionilor din soluție care se permute.

O ecuație analoagă (116), în care însă nu s'a luat în considerație valența, a fost obținută de Nicolschi <sup>1)</sup>.

Ecuația (115) poate și reprezentată și sub forma ecuației unei drepte, comodă pentru rezolvarea grafică:

$$\frac{1}{Q_{M_1}} = \frac{KC_{M_1}}{Q_\infty C_{M_2}} + \frac{1}{Q_\infty}$$

Pe suprafețele homeopolare, ca de exemplu, la cărbune, capacitatea de adsorbție de schimb poate fi conserată prin prelucrarea lui (călirea în atingere cu apă într'o atmosferă de gaz). În funcție de prelucrarea lui, cărbunele poate avea o sarcină diferită, iar pe suprafața lui poate avea un strat electric diferit, ai cărui ioni vor fi capabili să se permute echivalent cu ionii monovalenți ai soluției.

---

1) Nicolschi, J. F. H. 5, 266 (1934).

## XIX. FUMURI, PRAFURI ȘI CEȚURI

### I. AEROSOLURILE

Am cercetat cazurile a două sisteme disperse în care mediul de dispersiune era lichid — suspensiile și emulsiile. Am făcut cunoștință în aceste exemple cu aplicarea fenomenelor superficiale la studiul sistemelor cu un grad relativ mic de dispersiune. Acum vom trece la studiul sistemelor în care mediul de dispersiune este un gaz. În acest caz substanța dispersată poate fi în stare solidă — asemenea sisteme le vom denumi **prafuri** (prafuri, fumuri); sau în stare lichidă — **cețuri**.

Se cunosc deasemenea și sisteme mixte. De exemplu, în fumuri, fază dispersă poate fi atât solidă (particule de praf, de cărbune nears) cât și lichidă (picături de apă, ceată).

Dispersiunea acestor sisteme este deobicei relativ mică (vezi tab. 42).

Asemenea sisteme disperse gazoase, cu tot gradul lor mic de dispersiune se numesc **aerosoluri**, deși în realitate se pot denumi soluri sistemele al căror grad de dispersiune nu este mai mic de  $10^5$ . Sistemele cu un grad de dispersiune mai mic ar fi trebuit să fie denumite mai corect **aerosuspensii**, când particulele sunt solide și aeroemulsii (cețuri), când par-

Tabela 42

Dimensiunile particulelor aerosolurilor  
(după Gibbs<sup>1)</sup>)

Aerosolul	Diametrul particulei în cm.	Gradul de dispersiune
prafuri . . .	$> 10^{-3}$	$< 10^3$
cețuri . . .	$10^{-3} - 10^{-5}$	$10^3 - 10^5$
fumuri . . .	$10^{-5} - 10^{-7}$	$10^5 - 10^7$

ticulele sunt lichide: numai pentru fumurile înalt disperse este pe deplin aplicabilă denumirea de aerosoluri. Pentru a nu introduce termeni noi, vom denumi primele sisteme prafuri și fumuri, iar celealte, cețuri.

1) W. H. Möl, K. Z. 81, 225 (1937); W. Gibbs, Aerosolurile (trad.) L. 1929.

Aerosistemele au o mare asemănare cu suspensiile și emulsiile. Particulele lor se găsesc în mișcare browniană și se supun aceleiași legi despre care s'a discutat în cap. IX. Sub acțiunea forței de gravitație se produce o sedimentare analoagă a prafurilor și cețurilor. Pe suprafața particulelor se produc fenomene de adsorbție și particulele pot avea o sarcină electrică. Analog liosolurilor aerosolii dispersează lumina; dispersiunea luminii depinde de mărimea particulelor și de lungimea undei de lumină<sup>1)</sup>.

Obținerea și formarea aerosolurilor se produce, fie prin condensare, fie prin dispersiune. Există câteva cazuri de formare a aerosolurilor:

a) **La răcirea vaporilor saturati la o dilatare adiabatică.** Prezența prafurilor pe care se produce condensarea vaporilor influențează asupra dispersiunii ceții obținute. Lipsa prafului dă sisteme mai disperse, căci astfel se formează un număr maxim de centre de condensare. În afară de aceasta, există o relație între gradul de suprasaturare a vaporilor și tensiunea superficială a lichidului evaporat<sup>2)</sup>.

b) **La reacții fotochimice.** De ex. la iradierea vaporilor pentacarbonilului de Fe<sup>3)</sup> se obține un sol de  $Fe_2O_3$ ; la iradierea vaporilor dimetilatului de Mg se obține un sol monodispers<sup>4)</sup>; la iradierea clorului umed se obține o ceată de acid clorhidric.

c) **Prin răcirea produșilor de evaporare.** Pentru aceasta produsii de evaporare obținuți la încălzire se amestecă cu o mare cantitate de aer și se răcesc într'un volum mare. Astfel se obțin, de ex., cețurile de uleiuri minerale<sup>5)</sup>, solul de  $As_2O_3$ .

d) **La reacții chimice în fază gazoasă,** de ex. la reacția amoniacului cu HCl gazos. La arderea metalelor în aer s'au obținut aerosolii hidroxidului de fier, de cadmiu, de magneziu.

e) **La dispersarea substanțelor solide sau lichide în gaze.** aerosolurile se formează cù ajutorul acțiunii mecanice, de ex. prin prăfuire sau explozie. Când vâna este încărcată până la un potențial electric înalt (de câteva mii de volți) se produce o dispersare puternică a lichidului în gaz<sup>6)</sup>.

Diferența între aerosoluri și sistemele lichide este deter-

1) H. P. Walsley, Proc. Phys. Soc. 40, 54 (1928); N. O. Gurevici și G. P. Lucinschi, J. F. H. 3, 151 (1932).

2) M. Volmer u. H. Food, Z. phys. Ch. 170, 273 (1934).

3) G. Jander u. A. Winkler, K. Z. 63, 5 (1933).

4) J. Harms u. G. Jander, K. Z. 77, 267 (1936).

5) N. Fuchs, I. Petranov și B. Rotzeig, Act. 5, 893 (1936).

6) Auerbach, K. Z. 43, 114 (1927).

minată de particularitatea mediului gazos. De ex., gazul nu este un mediu în care să se producă fenomenul de disociație electrolitică. Valoarea mică a frecării interioare a gazelor condiționează o mișcare browniană mai energetică, ceea ce se observă foarte ușor la ultramicroscop, comparând un hidrosol și un fum cu același grad de dispersiune. Particulele fumului au o mișcare mult mai vie decât particulele hidrosolului. De Broglie <sup>1)</sup> a fost primul care a cercetat posibilitatea de aplicare a formulei lui Smoluchovschi-Einstein (55) la sistemele gazoase.

Sedimentarea particulelor sub influența forței gravitației se produce după formula lui Stockes (4). Deoarece însă, frecarea internă este mult mai mică la gaze decât la lichide, viteza de cădere este mult mai mare, ceea ce face ca sistemele să fie foarte nestabile.

Prin compararea valorilor de sedimentare a particulelor prafului de argint, date în tab. 43, cu valorile din tab. 2, în care este dată viteza de sedimentare a acestor particule în apă, se poate vedea cu cât mai repede se produce sedimentarea particulelor în aer. În tab. 43 sunt date razele echivalente ale firicelelor de praf; trebuie reținut însă că, dacă la sistemele disperse lichide (liosisteme) particulele nu sunt întotdeauna sferice, la suspensiile gazoase forma particulelor este foarte îndepărtață de cea sferică. Structura cristalină a particulelor fumurilor se observă ușor pe fotografiile obținute cu ajutorul supermicroscopului electronic <sup>2)</sup>.

Tabelă 43

## Viteza de sedimentare a particulelor prafului de argint

Raza particulelor $r$	În aer		În apă
	viteza $u$ în cm/sec	$\frac{1}{u} = \tau$	$\frac{1}{u} = \tau$
1 $\mu$ . . . . .	$12 \cdot 10^{-2}$	8,33 sec.	9,2 min.
10 $m\mu$ . . . . .	$12 \cdot 10^{-4}$	1,4 min.	16 ore
10 $m\mu$ . . . . .	$12 \cdot 10^{-6}$	2,3 ore	68 zile
1 $m\mu$ . . . . .	$12 \cdot 10^{-8}$	9,6 zile	19 ani

1) De Broglie, C. 2. 148, 1163, 13515 (1909).

2) H. Mahl, K. Z. 91, 114 (1940).

Pentru aerosoluri formula lui Stockes nu se poate aplica fără o corecție, căci moleculele se găsesc în gaze la o distanță relativ mare una de alta (drumul liber al moleculelor aerului la presiune normală este egal cu aprox.  $10^{-5}$  cm.), întrecând de 300 ori dimensiunea moleculelor; în schimb, în lichid, moleculele sunt foarte apropiate una de alta. În consecință, particulele mici ( $<10^{-5}$  cm.) vor sări din timp în timp în spațiile intermoleculare, fără să fie supuse frecării și vor cădea mai repede decât o cere formula lui Stockes.

Acest lucru a fost observat de Cunningham<sup>1)</sup> și Millikan<sup>2)</sup>, care au propus următoarea formulă, ce leagă viteza  $u$  a firice-lului de praf în sedimentare de valoarea parcursului liber  $\lambda$  al moleculei mediului gazos și cu raza  $r$  a firice-lului de praf:

$$u = \frac{2}{9} r^2 g \frac{\delta_1 - \delta}{\eta} \left( 1 + \frac{A\lambda}{r} \right)$$

unde  $\delta$  este densitatea particulei disperse, care este egală cu densitatea substanței numai în cazul picăturilor lichide (cețurilor) (pentru particulele solide, care sunt deobicei agregate de particule mai mici, densitatea este de vreo 10 ori mai mică decât cea reală<sup>3)</sup>)  $\delta$  — densitatea gazului,  $\eta$  — frecarea internă a gazului,  $A=1,63$  și  $g$  — accelerația gravitației.

În afară de această metodă se mai cunosc multe altele, bazate pe fotometrie, pe numărătoarea directă a particulelor sedimentante, pe cercetarea roentgenogramelor și electronogramelor<sup>4)</sup>.

## 2. STRUCTURA ȘI INSUȘIRILE SISTEMELOR AERODISPERSE

Pe suprafața particulelor aerodisperse, ca și pe particulele ilio-sistemelor (sisteme lichide) se găsește un strat de molecule adsorbite ale mediului. Un astfel de strat de adsorbție contribue la stabilitatea sistemului, căci la atingerea particulelor el împiedică atracția și contopirea lor în fulgi.

Conform teoriei lui Langmuir, la presiuni mici de gaz pelicula de adsorbție este monomoleculară. La presiuni mari este, însă, posibilă formarea unei sfere cu mai multe straturi. Atunci,

1) E. Cunningham, Proc. Roy. Soc. (A), 83, 357 (1910).

2) R. Millikan, Phys. Z. 11, 1097 (1910).

3) G. J. Romașev, Schema teoretică a sedimentării și coagulării prafulurilor industriale L. 1935.

4) În articolul lui Ouang-Te-Tchao, C.r. 204, 852 (1937) se dă comparația metodelor de determinare a dimensiunilor particulelor în cețuri.

în jurul particulelor prafurilor, fumurilor și cețurilor există un fel de șeră de adsorbție gazoasă, din gaz comprimat a cărui presiune este mare la suprafața particulelor și, scăzând destul de repede, ajunge la presiunea gazului înconjurător. Prezența sferei gazoase explică dece prafurile fine nu se contopesc, putând fi foarte des transvazate, la fel cu lichidele. Învelișul de aer apără particulele de udare, de aceea fumul poate să treacă prin apă, fără ca particulele să rămână în ea. Volumul gazului adsorbit întrece adesea volumul particulelor disperse care îl-au adsorbit. De exemplu,<sup>1)</sup> la un litru de funingine revin numai 50 cm<sup>3</sup> funingine propriu zisă solidă, pe când volumul de aer, adsorbit de ea, raportat la presiunea și temperatura normală ar ocupa 2,5 l. Acest exemplu denotă că lângă particule aerul este comprimat.

Trebue totuși menționat că există o serie de date experimentale, care neagă prezența pe particule a unei mari cantități de gaz adsorbit<sup>2)</sup>.

Adesea, particulele solide ale fumului servesc drept centru de condensare a vaporilor de apă, explicându-se astfel formarea cețurilor mari în centrele industriale. O asemenea condensare a apei s'a observat pe particulele de cărbune de fum.

Fumul (funinginea) obținut la arderea incompletă a țigăierului are pe suprafața sa un înveliș de jîtei<sup>3)</sup>. Asupra stabilizării fumurilor are influență adsorbția substanțelor tensioactive, care, formând un strat orientat de molecule, împiedică contopirea particulelor<sup>4)</sup>.

Făcând o analogie între stabilizarea aero- și liosistemelor, trebuie menționată diferența esențială, care există între ele și care constă în aceea că în lichide este mai ușor de a se ajunge la sisteme stabile prin crearea de pelicule rezistente, care să împiedice contopirea particulelor. De aceea, în general, aerosistemele sunt mult mai puțin stabile decât sistemele disperse lichide.

Particulele de praf și ceată sunt numai la începutul formării lor, neutre din punct de vedere electric; deobicei, însă, ele

1) W. Gibbs, Praful și pericolul pe care-l prezintă în industrie (trad.) 28, L. 1930.

2) O. Brandt, K. Z. 85, 24 (1938).

3) R. Irvine, J. Ch. Soc. 8, 377, 378 (1889); 9, 110 (1890); W. Gibbs, Aerosolurile (trad.) L. 1929.

4) E. Rumeanțeva, J. H. 2, 283 (1931).

au o sarcină electrică, formată fie prin adsorbția directă a ionilor gazului <sup>1</sup>), fie datorită contactului între două faze, fie din cauza acțiunii unui factor ionizant — lumina ultravioletă sau substanțe radioactive. Semnul sarcinii particulelor de praf depinde și de compoziția chimică a prafului; astfel, substanțele puternic bazice (varul) dau prafuri încărcate negativ, iar cele acide — prafuri încărcate pozitiv (tab. 44).

Tabela 44

## Sarcina electrică a prafurilor

Substanță	Sarcina electrică	Substanță	Sarcina electrică
cărbune . . . . .	+	făină . . . . .	—
nisip . . . . .	+	oxid de fier . . . .	—
clorura de natriu . .	+	oxid de magneziu .	—
dextrina . . . . .	→	zinc . . . . .	—
amidonul . . . . .	+	oxid de zinc . . . .	—

La suspensii și soluri o mărime electrică caracteristică este potențialul  $\zeta$ , iar la aerosisteme — valoarea sarcinii particulei. Determinarea acestei valori se face după o metodă specială <sup>2</sup>).

Sistemele disperse gazoase, în care particulele izolate una de alta și potențialele particulelor pot fi foarte diferite, se deosebesc fundamental de sistemele lichide. Câteodată sistemul se compune din particule, încărcate cu electricitate de sens contrar <sup>3</sup>), iar printre ele se găsesc și particule electric neutre. La aceste sisteme nu există o relație între gradul de dispersiune și mărimea sarcinei electrice. Sistemele cele mai stabile sunt sistemele cu particule încărcate cu electricitate de acelaș fel.

In timpul de față se dă o mare importanță cercetării sistemelor aerodisperse în meteorologie <sup>4</sup>). Într'un număr de cazuri, formarea aerosistemelor este nedorită, întrucât: 1) ele contribue

1) P. Ahrend u. H. Kallman, Z. phys. Ch. 35, 421 (1926); G. Jander u. A. Winkel, K. Z. 62, 10 (1933).

2) N. Fux și I. Petranov, J. F. H. 4.567 (1933), 7, 372 (1936).

3) De Broglie, Ann. chim. phys. [8] 16, 5 (1909); C. r., 148, 1457, 149, 923, 924, (1909).

4) A. Wigand, Naturwiss., 18, 31, 265 (1930); Phys. Z. 31, 204 (1930); H. Grimm, K. Z., 54, 1 (1934); E. Känschmidt, Handbuch der meteorologischen Instrumentenkunde und ihre Auswertung, 1935.

la antrenarea elementelor prețioase (praful în metalurgie); 2) impurifică produsele; 3) au o acțiune dăunătoare asupra sănătății (fumul); 4) dau cu aerul amestecuri explozive periculoase, (praful de cărbune, de zahăr, de făină); 5) adsorb puternic lumina.

Stabilitatea fumurilor este în funcție de un grad mare de disperșiune, de o energie superficială mică a particulelor, de formarea în jurul particulelor a unei sfere gazoase, și de sarcină. Metodele de luptă cu stabilitatea aerosistemelor trebuie să fie bazate pe înălțurarea acțiunii factorilor care le stabilizează. Aceste metode de luptă sunt următoarele: 1) depunerea prafului cu ajutorul aspiratoarelor de praf, a centrifugelor, etc.; 2) filtrarea<sup>1)</sup>; 3) îndepărțarea prafului prin udare; și 4) prin electroforeză.

Să ne oprim asupra purificării gazelor de fum și praf cu ajutorul curentului de înaltă tensiune. Particulele fumurilor și prafurilor sunt încărcate diferit și la tensiuni mici — viteza lor de deplasare pe electrozi este mică; de aceea se lucrează cu tensiuni foarte mari — nu mai mari de 50.000 volți. Tensiunea se transmite deobicei catodului. Catodul servește drept izvor pentru un puternic flux de electroni, care ionizează gazul, din care cauză se obține o încărcare mai mare (și o schimbare a sarcinii) a particulelor și particulele se transportă mai repede prin electroforeză. Se produce deasemenea și un ciclon electronic, care contribue la transportul particulelor spre anod, unde praful se depune, pierzând sarcina sa. Ideea precipitării fumului a fost experimentată în anul 1824 de Holfield, experiența de îndepărțare a fumului: pe cale electrică, făcută de Hilard a părut curioasă contemporanilor săi (1886), iar însăși aparatul, magică. În acelaș an (1886) Lodge a făcut o încercare nereușită de a aplica metoda electrică pentru îndepărțarea particulelor disperse din fumul de plumb. Abia în anul 1905, Cotrell, în America, a abordat rezolvarea practică a precipitării fumului prin electroforeză.

În timpul din urmă, experiențele au arătat că fumurile pot fi precipitate cu ajutorul sunetului de înaltă frecvență.<sup>2)</sup>. Această metodă de precipitare este bazată pe aceea că particulele fumului vibrează sub acțiunea undelor sonore, devinind astfel

1) H. Witzmann, K. Z. 95, 102 (1941).

2) E. N. la C. Andrade, Trans. Farad. Soc. 32, 1111 (1936); R. C. Parker, Trans. Farad. Soc., 32, 1115 (1936).

mai dese ciocnirile care duc la coagularea particulelor, după care are loc sedimentarea.

Există o valoare optimă a frecvenței. Ultrasunetul de frecvențe foarte înalte, nu produce o acțiune coagulantă atât de puternică, căci undele foarte scurte nu permit formarea agregatelor mari.

La aerosoluri se observă un caz interesant de coagulare sub acțiunea temperaturii. Dacă se introduce un corp fierbinte ( $200^{\circ}$ ) în jurul lui, aerosolul se distrugе și se obține un spațiu lipsit de fază dispersă <sup>1)</sup>.

---

1) W. Cawood, Trans. Farad. Soc. 32, 1059 (1936); H. H. Watson, Trans. Farad. Soc. 32, 1073 (1936).

## XX. COAGULAREA

### I. COAGULAREA ȘI SEDIMENTAREA

Stabilitatea unui sistem dispers în stare de sol este determinată în esență de doi factori: 1) de învelișul lichid și 2) de sarcina electrică a particulei.

Invelișul lichid din jurul particulei și sarcina electrică împiedică particulele să se apropie una de alta în aşa măsură, încât, din cauza forțelor de atracție, ele să se conotopească în aggregate mai mari și să formeze particule secundare.

Să ne oprim mai întâi asupra cazului celui mai simplu al particulelor liofobe, adică atunci când ele nu au un mare înveliș lichid și stabilitatea lor depinde în exclusivitate de sarcina electrică. În acest caz adăugarea electrolitilor poate descărca particula și particula lipsită de sarcină electrică, poate, în deplasarea ei în lichid sau gaz, să se apropie atât de mult de alte particule, încât să se producă atracția, al cărui rezultat va fi formarea de particule mai complexe.

Procesul contopirii particulelor în aggregate se numește coagulare.

Ne este deja cunoscut că în mediile disperse lichide, sub acțiunea forței gravitației, particulele se depun mai repede sau mai incet și se adună la fund. O astfel de depunere, care se produce în sisteme cu orice grad de dispersiune (tab. 2), o vom denumi sedimentare.

În cazul coagulării, particulele formează aggregate, care sedimentează deobicei mult mai repede decât particulele primare care le-au dat naștere. Astfel, una din consecințele coagulării este o sedimentare mai rapidă<sup>1)</sup>. În afară de acest fenomen, se observă variația unui sir de însușiri ale sistemului. Se schimbă, de exemplu proprietățile lui optice: sistemul înalt dispers, care era aproape complet transparent, devine turbure (particulele cresc, mărindu-se astfel intensitatea fenomenului Tyndall, se

---

1) Wo. Ostwald u. F. Hahn, K. Z. 30, 62 (1922).

schimbă colorația<sup>1</sup>). Apoi, la o mărire ulterioară a agregatelor, când acestea devin mai mari decât lungimea de undă, efectul Tyndall trece în dispersiunea luminii prin reflecție; gradul de opalescență trece, datorită acestui fapt, adesea, printr'un maxim. Astfel, întâi se produce creșterea particulelor ultramicroscopice, care trec în fulgi macroscopici ce se observă ușor cu ochiul liber.

La studiul coagulării trebuie să știm să determinăm începutul și viteza ei. Teoretic, trebuie considerat ca început al coagulării momentul împreunării a două particule primare cu formarea unei particule secundare, după care are loc o mărire consecutivă a tuturor particulelor existente.

Este destul de greu de a observa direct începutul acestui fenomen; aceasta este posibil numai la ultramicroscop<sup>2</sup>). Prin toate celelalte metode este foarte greu de determinat momentul real al începerii procesului de coagulare. De aceea, începutul coagulării se determină începând dela un moment oarecare, când sistemul s'a schimbat într'atât încât devine ușor de observat una din însușirile lui variabile, de ex: colorația, turbu-reală vizibilă, viscozitatea<sup>3</sup>), etc.

## 2. PROCESUL COAGULĂRII. TEORIA LUI SMOLUCHOVSKI

Procesul coagulării nu se produce instantaneu, ci necesită un oarecare interval de timp. De aici derivă noțiunea de **viteză de coagulare**.

Deoarece drept început al coagulării se consideră atingerea a două particule și contopirea lor într'un agregat cu formarea unei particule secundare, procesul ulterior se poate închipui ca o mărire a agregatelor datorită întâlnirii și împreunării particulelor primare rămase cu cele secundare, etc. până la formarea fulgilor mari.

O asemenea interpretare a coagulării a fost expusă în anul

1) Wo. Ostwald K. Beih. 10, 179 (1919); 30, 416 (1930); F. Hahn, K. Z. 27, 172 (1920); J. H. Mukherjee și B. Papa-Constantionou, J. ch. Soc. L. 117, 1563 (1920).

2) R. Zsigmondy, Z. Elektroch. 23, 148 (1917); Z. phys. Ch. 92, 610 (1918); P. Tuorila, K. Beih. 22, 191 (1926); H. R. Kruyt și A. van Arkel, Z. Elektroch. 32, 29 (1923).

3) O. Scarpa, Gaz. chim. ital. 40, 271 (1910); S. S. Jeshia și K. S. Viswanath, J. Indian ch. Soc. 10, 329 (1933).

1916 de Smoluchovschi<sup>1)</sup>. Mecanismul coagulării, dat de Smoluchovschi este identic cu mecanismul reacțiilor chimice de ordinul II, căci și la aceste reacții este indispensabilă întâlnirea a două particule (molecule). Diferența constă numai în aceea că moleculele ce au reacționat pot să nu mai participe la reacție, pe când aggregatele de particule continuă să participe la procesul de coagulare, formând complexe din ce în ce mai complicate.

Pe baza celor spuse, vom considera viteza de coagulare numărul de particule ce s-au unit într-o unitate de timp. Astfel, dacă într-o unitate de volum se găseau la începutul procesului  $n$  particule, atunci viteza de coagulare va fi egală cu:

$$u = -\frac{dn}{d\tau}$$

Cum însă procesul decurge după tipul reacțiilor de ordinul II (probabilitatea ciocnirii a două particule întrece cu mult probabilitatea ciocnirii a trei, patru, etc. particule) atunci:

$$u = -\frac{dn}{d\tau} = kn^2, \quad (116)$$

unde cifra  $n$  este suma numărului de particule diferite, de diferite ordine. Notând cu  $v$  cu indicii 1, 2, 3, etc. numărul particulelor (în unitatea de volum) de ordinul I, II, etc. putem scrie pentru starea sistemului în fiecare moment de timp expresia:

$$n = \Sigma v = v_1 + v_2 + v_3 + \dots$$

Inlocuind  $n = \Sigma v$  în ecuația (116) vom avea:

$$-\frac{d\Sigma v}{d\tau} = k(\Sigma v)^2$$

După integrare, obținem:

$$k = \frac{1}{\tau} \left( \frac{1}{\Sigma v} - \frac{1}{v_0} \right) \text{ sau } \Sigma v = \frac{v_0}{1 + k v_0 \tau} \quad (117)$$

---

1) M. Smoluchovschi, Phys. Z. 17, 557, 585 (1916); Z. phys. Ch. 92, 129 (1917) trad. în culegerea Coagularea coloiziilor 7, 1936; K. Z. 21, 98 (1917).

unde  $v_0$  este numărul inițial de particule, care se găseau în unitatea de volum la începutul coagulării,  $\Sigma v$  — numărul de particule de diverse complexități, obținute după intervalul de timp  $\tau$ ,  $k$  — o constantă proporțională cu probabilitatea ciocnirii unei particule cu altă.

Cum pentru un sistem dat, numărul inițial de particule primare este constant, pentru fiecare sistem cercetat procesul  $k v_0$  este constant. Notând  $k v_0$  cu  $\beta$  și înlocuind în (117) găsim:

$$\Sigma v = \frac{v_0}{1 + \beta \tau} = v_1 + v_2 + v_3 + \dots \quad (118)$$

Ecuația (118) permite să se determine câte particule de diferite ordine mai există în sistemul nostru după un interval de timp  $\tau$  dela începutul coagulării.

Evident, că pe măsură ce decurge procesul coagulării, numărul total de particule trebuie să se micșoreze; ecuația (117) nu contrazice acest fapt, căci odată cu mărirea lui  $\tau$  valoarea fracției se micșorează. Pentru o înțelegere mai bună, să figurăm grafic variația numărului de particule în diferite momente ale coagulării. Pentru aceasta luăm pe axa absciselor (fig. 107) timpul, iar pe axa ordonatelor numărul de particule exprimat prin raportul  $\frac{\Sigma v}{v_0}$ . Conform acestei notății, numărul de particule

la începutul experienței  $\frac{\Sigma v}{v_0} = 1$ ; pe măsură ce decurge experiența, mărimea  $\frac{\Sigma v}{v_0}$  va scădea. Curba 1 arată micșorarea generală a particulelor conform ecuației (118). Se poate da o expresie pentru determinarea numărului de particule primare, rămasă după timpul  $\tau$  dela începutul coagulării; această ecuație are următoarea formă:

$$v_1 = \frac{v_0}{(1 + \beta \tau)^2} \quad (119)$$

Curba 2, corespunzătoare acestei ecuații, arată dispariția treptată a particulelor primare.

In momentul începerii experienței nu existau particule secundare ( $v_2 = 0$ ). Ele s-au format în timpul coagulării, datorită contopirii particulelor primare. Particulele secundare formate au dat la rândul lor prin ciocnire particule de ordin superioare.

La început, când au fost puține particule secundare și multe particule primare, viteza de formare a particulelor secundare a fost mare, iar viteza dispariției lor, datorită trecerii lor în particule de ordin superioare, a fost mică; în consecință, la începutul procesului, în sistemul care se coagula se producea o acumulare de particule secundare. După ce însă s'a acumulat o cantitate considerabilă, viteza dispariției lor, legată de trecerea lor în particule de ordin superioare, va deveni într'un moment dat egală cu viteza de acumulare. În acest moment numărul de particule secundare va fi maxim. Ulterior, odată cu micșorarea numărului particulelor primare va scădea și viteza de formare a particulelor secundare, și odată cu aceasta va scădea și numărul lor în sistemul nostru. În același fel se produce acumularea și dispariția la coagulare a particulelor terțiare și de ordin superioare.

Variatia numărului particulelor secundare se figurează grafic prin curba 3 (fig. 107), care are un maxim. Variatia numărului particulelor terțiare se reprezintă analog prin curba 4, al cărei maxim va fi mai mic, iar poziția lui va fi deplasată spre intervalele mai mari de timp.

Pentru calcularea numărului de diferite ordine rămase după intervalul de timp  $\tau$  se poate folosi următoarea formulă:

$$\nu_p = \frac{(\beta\tau)^{p-1}}{(1+\beta\tau)^{p+1}} \nu_0 \quad (120)$$

Constanta  $k$  din ecuația (116) depinde de viteza de deplasare a particulelor, adică de constanta de difuziune  $D$  și de distanța  $A$ , la care trebuie să se apropie particulele cu centrele lor, pentru ca să ajungă în sferă de atracție mutuală, să se unească și să formeze o particulă secundară (fig. 108).

După calculul lui Smoluchovschi

$$k = 4\pi DA \quad (121)$$

de unde

$$\beta = k\nu_0 = 4\pi DA \nu_0$$

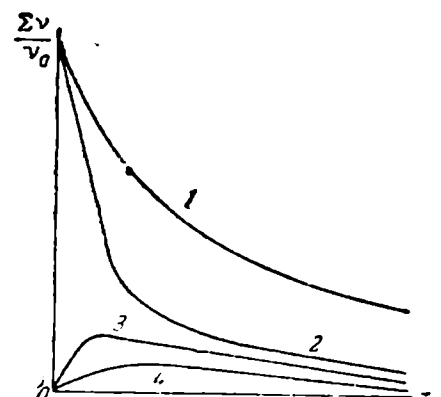


Fig. 107. Reprezentarea grafică a procesului de coagulare.

Apoi, Smoluchovschi mai introduce un termen special — **timpul specific de coagulare**  $\theta = \frac{1}{\beta}$

Este ușor de arătat că timpul specific de coagulare corespunde unui asemenea moment al coagularii sistemului, când numărul particulelor s'a micșorat la jumătate.

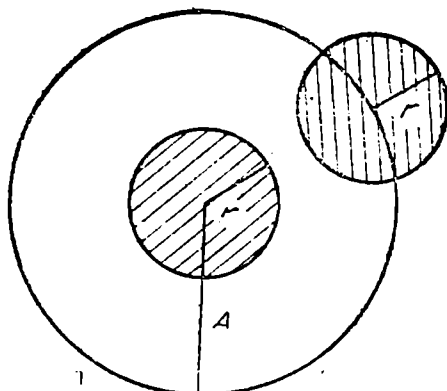


Fig. 108. — Ciocnirea particulelor la coagulare.

$$\Sigma v = \frac{1}{2} v_0$$

Pentru aceasta să înlocuim în ecuația (117) valoarea timpului specific de coagulare  $\theta$  egală cu

$$\tau = \theta = \frac{1}{\beta} = \frac{1}{kv_0}$$

Expresia completă pentru timpul specific de coagulare,

$$\theta = \frac{1}{\beta} = \frac{1}{4\pi DA v_0} \quad (122)$$

va fi caracteristică pentru sistemul care coagulează. Expresia pentru viteza de coagulare va fi următoarea:

$$u = k(\Sigma v)^2 = 4\pi D A (\Sigma v)^2 \quad (123)$$

Primul control al teoriei l-a efectuat însuși Smoluchovschi, pe baza datelor experimentale ale lui Zsigmondy.

Mai târziu, Westgren și Reitstötter<sup>1)</sup> au făcut cercetări ample asupra posibilității de aplicare a teoriei lui Smoluchovschi și au obținut o concordanță bună între teorie și datele experimentale. În tab. 45 sunt indicate datele obținute la coagularea solului de aur, care arată în mod sugestiv coincidența între valorile  $\Sigma v$ , obținute experimental și cele calculate după formula (118).

Raportul între raza sferei de acțiune și raza particulei,  $\frac{A}{r}$ , egal, după unele determinări cu aprox 3—2,6, iar după altele cu

1) A. Westgren u. J. Reitstötter, Z. phys. Ch. 92, 750 (1918); H. Lachs u. S. Goldberg, K. Z. 31, 116 (1922).

Tabelă 45

**Coagularea solului de aur**  
(după Smoluchovschi)

$\tau$ în sec.	$\Sigma v$ găsit		$\Sigma v$ , calculat
0	1,97	—	1,97
2	1,35	—	1,65
5	1,19	—	1,31
10	0,89	0,049	0,93
20	0,52	0,0475	0,54
40	0,29	0,0403	0,25

aprox. 2,3 arată că atracția între particule se manifestă la o distanță foarte mică<sup>1)</sup>.

Asupra vitezei de coagulare influențează temperatura, ceea ce reiese din formula pentru timpul specific de coagulare (122), în care intră constanta de difuziune  $D$ , ce se găsește în următoarea relație cu  $T$  și  $\eta$  (formula 54):

$$D = a \frac{T}{\eta}$$

unde  $a$  este o constantă,  $T$  — temperatura absolută și  $\eta$  — viscozitatea care depinde de temperatură.

Inlocuind valoarea  $D$  din ecuația (54) în ecuațiile (122) și (123) obținem următoarea expresie, pentru valoarea timpului specific de coagulare:

$$\theta = \frac{3Nr}{2RAv_0} \cdot \frac{\eta}{T} \quad (124)$$

și pentru viteză de coagulare:

$$u = \frac{2RTA}{3Nr\eta} \cdot (\Sigma v)^2 \quad (125)$$

Dat fiind că la creșterea temperaturii viscozitatea scade, timpul specific de coagulare trebuie să scadă la creșterea tem-

1) R. Zsigmondy, Z. phys. ch. 92, 600 (1918).

peraturii, iar viteza de coagulare trebuie să crească. Dacă însă la creșterea temperaturii solul suferă transformări, ceea ce se observă, de ex., la solul de  $\text{As}_2\text{S}_3$ , este posibilă și o variație inversă a vitezei de coagulare<sup>1)</sup>.

Ecuatiile (124) și (125) arată influența valorii  $A=2r$  asupra vitezei și timpului de coagulare. Experiențele cu coagularea hidrosolurilor de Au au arătat că în realitate solurile puternic disperse coagulează cu o viteză mai mică decât solurile cu un grad mic de dispersiune.

La expunerea teoriei coagulării s'a cercetat un caz ideal; în realitate, procesul poate fi însă mult mai complex.

### 3. COAGULAREA LENTĂ

Teoria lui Smoluchovschi este adevărată pentru cazul când fiecare ciocnire a particulelor duce la o contopire a lor. O astfel de coagulare se numește **coagulare rapidă**.

Odată începută, coagularea rapidă continuă până la dispariția completă a solului și formarea agregațiilor mari.

Să ne oprim asupra fenomenelor care preced coagularea solurilor hidrofobe. Ne este cunoscut că particulele solului sunt încărcate cu electricitate de același fel; prezența sarcinii electrice impiedică particulele în mișcare să se ciocnească una de alta, să se apropie la o distanță egală cu  $A$  și să formeze, datorită forțelor de coeziune, agregate mari. Toate fenomenele care măsorescă valoarea potențialului  $\zeta$  vor duce la măsurarea forțelor electrice de respingere care impiedică contopirea particulelor, adică vor mări posibilitatea de coagulare<sup>2)</sup>.

În punctul isoelectric ( $\zeta=0$ ) sarcina particulei este egală cu zero și în acest caz fiecare ciocnire va duce la contopirea particulelor, adică la coagulare.

De aici se vede că la soluri coagularea rapidă se produce în punctul lor isoelectric. Dacă acest punct a fost atins, adăugarea ulterioară a electrolitului coagulant nu mai are importanță, în afară de acele cazuri când se observă o încărcare a particulelor (suprafeței) cu electricitate de semn contrar.

În realitate, coagularea rapidă este posibilă nu numai în punctul isoelectric ci și atunci când  $\zeta$  e ceva mai mare de zero.

1) A. Boutaric et C. Samelet, J. chim. phys. 26, 195 (1929); A. Davies, J. phys. Ch., 33, 274 (1929).

2) W. Hardy, Proc. Roy. Soc. L. 68, 110 (1900).

Cum particulele, găsindu-se în mișcare browniană, posedă o viteză care poate învinge forțele mici de respingere, particulele încărcate au și ele posibilitatea să se ciocnească și, atrăgându-se, să formeze particule secundare. Acest potențial a fost denumit de Powis<sup>1)</sup> potențial critic și s'a observat la coagularea emulsiilor de ulei cu electrolizi ( $\zeta_{cr} = 0,30$  V) și a hidrosolurilor de  $As_2S_3$  ( $\zeta_{cr} = 0,026$  V). Existența potențialului critic a fost stabilită definitiv ceva mai târziu<sup>2)</sup>.

Dacă particulele n'au pierdut întreaga lor sarcină sau n'au atins potențialul lor critic, atunci numai unele din ele, care și-au micșorat întâmplător potențialul până la  $\zeta_{cr}$  sau care au o viteză foarte mare, se pot ciocni unele cu altele și să ajungă în sfera de atracție mutuală. Această posibilitate va fi cu atât mai mare, cu cât particula va avea o sarcină electrică mai mică, adică cu cât va fi mai mare cantitatea de electrolit adăugat. Acest tip de coagulare posedă, evident, o viteză mai mică și mai diferită de coagularea rapidă prin aceea că vîzea ei variază în funcție de concentrația ionului coagulant. O asemenea coagulare se numește lentă și se supune teoriei lui Smoluchovschi numai după o complectare neînsemnată a acesteia — introducerea coeficientului  $\xi$  (mai mic decât unitatea) care arată ce parte din ciocniri duce la contopirea particulelor.

Pe baza aceasta mărimea  $k$  va avea la coagularea lentă, forma:

$$k = 4\pi DA \xi$$

sau introducând timpul specific:

$$k = \frac{1}{\theta v_0} \cdot \xi .$$

Mărimea  $\xi$ , care exprimă probabilitatea contopirilor, crește pe măsura scăderii potențialului  $\zeta$ , adică odată cu concentrația<sup>3)</sup> ionului de descărcare, iar  $\zeta = 0$  sau  $\zeta_{cr}$  coeficientul este egal cu unitatea.

La coagularea lentă valoarea timpului specific de coagulare trebuie să fie constantă pentru un sistem dat, aşa cum aceasta are loc la coagularea rapidă<sup>4)</sup>. Totuși  $\theta$  crește des odată cu

1) F. Powis, J. Ch. Soc. London, 109, 734 (1916); Z. phys. Ch. 89, 186 (1915).

2) N. Gosh, J. Ch. Soc. London 2693 (1929).

3) H. Freundlich, K. Z. 23, 163 (1918).

4) H. R. Kruyt u. S. Haan, K. Z. 51, 61 (1930).

tempul. Aceasta se explică prin faptul că la adăugarea electrolitului nu toate particulele se descarcă egal; unele se descarcă mai mult, iar altele mai puțin. Datorită acestui fapt, coagularea se produce la inceput între particule puternic descărcate, iar apoi coagulează particulele mai puțin descărcate, cu o valoare mai mare a potențialului  $\zeta$ .

Din cele expuse rezultă clar că la coagulare contribuță toate fenomenele care duc la micșorarea valorii potențialului și a ionicerei. Scăderea potențialului se produce la adsorbția electrolitilor și la variația constantei dielectrice a mediului. Micșorarea ionicerei se produce odată cu micșorarea potențialului  $\zeta$  și cu introducerea în sol a neelectrolitilor, care formează hidrați și se solvatează în mediul de disperziune.

Reacțiile chimice de suprafață influențează și ele acest fenomen.

#### 4. REGULA LUI SCHULZE-HARDY

Un sir de autori, începând cu Hardy, au atras atenția asupra legăturii care există între stabilitatea solului și sarcina particulei. Ne este deja cunoscut că la limita între două faze există întotdeauna o diferență de potențial și că ea depinde de fenomenele superficiale. Una din particularitățile caracteristice ale potențialului  $\zeta$  este dependența lui de valența ionului de descărcare, pe care Freundlich o explică destul de bine prin adsorbția ionului (vezi fig. 102). Pe baza celor spuse se poate presupune că fenomenul coagulării depinde de aceleași cauze de care depinde descărcarea suprafeței.

Pentru a descărca o suprafață este necesar de a adăuga o cantitate determinată de electrolit. Această cantitate de electrolit produce la sol (suspensie) fenomenul de coagulare rapidă. Astfel, există o concentrație minimă de electrolit, care produce o coagulare rapidă. O astfel de concentrație denumită concentrație de coagulare  $\gamma$  permite o caracterizare a capacitatei coagulante a electrolitului.

Datele tabelei 46 arată legătura între concentrația de coagulare a electrolitilor  $\gamma$  (milimoli la litru) și concentrația electrolitilor la care se produce o variație egală a potențialului  $\zeta$ . În calitate de sol s'a luat solul pozitiv de  $\text{FeO} \cdot \text{OH}$ . Electrolitii au fost astfel aleși, încât ionul încărcat cu electricitatea de semn contrar (anionul) să-și schimbe valența sa dela 1 la 4. Ionul, încărcat cu electricitate de acelaș fel a suprafeței, nu arată o influență prea mare.

Tabela 46

**Relația intre concentrația de coagulare și  
concentrația electrolitului  
(după Freundlich)**

Electrolitul	Concentrația la care se produce o micșorare egală a potențialului	$\gamma$ în milimoli/litru
K[Au(CN) <sub>2</sub> ]	320	13.200
K [Pt(CN) <sub>4</sub> ]	17	390
K <sub>3</sub> [Cu(CN) <sub>4</sub> ]	9	61
K <sub>4</sub> [Fe(CN) <sub>6</sub> ]	3,1	31,5

Tabela 47

**Coagularea solului electronegativ de As<sub>2</sub>S<sub>3</sub>.  
(experiența lui Linder și Pikton)**

Electrolitul	$\gamma$ în mili-moli/litru	Electrolitul	$\gamma$ în mili-moli/litru
CH <sub>3</sub> COOK . . . . .	110,0	MgSO <sub>4</sub> . . . . .	0,810
0,5N K <sub>2</sub> SO <sub>4</sub> . . . . .	65,6	MgCl <sub>2</sub> . . . . .	0,717
Li Cl . . . . .	58,4	BaCl <sub>2</sub> . . . . .	0,691
NaCl . . . . .	51,0	CaCl <sub>2</sub> . . . . .	0,649
KNO <sub>3</sub> . . . . .	50,0	SrCl <sub>2</sub> . . . . .	0,635
NH <sub>4</sub> Cl . . . . .	42,3	AlCl <sub>3</sub> . . . . .	0,093
HCl . . . . .	30,8	Al(NO <sub>3</sub> ) <sub>3</sub> . . . . .	0,002

In tabela 47 sunt indicate datele care caracterizează coagularea solului electronegativ de As<sub>2</sub>S<sub>3</sub>. In acest caz influența cea mai mare asupra coagulării o au cationii. Concentrația de coagulare a cationilor îndeplinește în mare măsură de valența lor. Anionii nu influențează aproape deloc asupra coagulării. De exemplu, concentrația de coagulare a clorurilor, nitratilor și sulfatilor este aproape aceeași (acțiunea acetatului este întrucâtva diferită).

Din această tabelă se mai vede că diferenții cationi care au aceeași valență au și aceeași acțiune. De exemplu:

Li<sup>+</sup>, K<sup>+</sup>, NH<sub>2</sub><sup>+</sup> au în medie  $\gamma = 53,5$

Mg<sup>++</sup>, Sr<sup>++</sup>, Ca<sup>++</sup>, Ba<sup>++</sup> au  $\gamma = 0,673$ .

Influența excepțională a valenței ionului coagulant a fost

în anul 1882 de Schulze<sup>1)</sup>. Ceva mai târziu, această regularitate a fost confirmată de Linder și Pikton (1895).

Regula valenței a lui Schuize nu este o lege riguroasă; valorile obținute de diferiți cercetători variază, dar în general regularitatea rămâne justă. Aceasta o confirmă șirul de valori ale capacității de coagulare egală cu  $\frac{1}{\gamma}$ , date în tabela 48.

Tabela 48

**Valorile capacității de coagulare a unui sol electronegativ**

K <sup>+</sup>	Ba <sup>++</sup>	Al <sup>+++</sup>	Cercetătorii
1	18,6	1087	Schulze
1	19,1	1590	Linder și Pikton
1	7,4	531	Freundlich

Toate valorile date în tab. 48 au fost calculate socotind capacitatea de coagulare a ionului monovalent egală cu unitatea. Deși aceste valori obținute de diferiți cercetători diverg, totuși regularitatea influenței valenței este clară.

Abaterea dela regula valenței se explică foarte des prin fenomenele chimice care iau naștere la adsorbție.

Sistemele macrodisperse, ca suspensiile și emulsiile, se supun și ele regulii lui Schuize, ceeace a fost studiat de Powis la emulsia de ulei, la coagularea ei cu cloruri de K, Ba și Al.

Coagularea se folosește la epurarea apelor de băut și industriale. Apa râurilor, pârâurilor, lacurilor, este deobicei impură și conține coloizi încărcați negativ și suspensii; pentru îndepărtarea lor se adaugă o cantitate mică de ioni Al<sup>+++</sup> sau Fe<sup>+++</sup> sub formă de sulfati. După coagularea și depunerea parțială a suspensiei, apa trece printr'un filtru și intră în rețeaua hidraulică.

Regula lui Schulze permite rezolvarea problemei cu privire la valența ionilor coagulanți. Se cunoaște disputa destul de îndelungată asupra valenței berilului<sup>2)</sup>. Datorită afinității berilului

1) Lucările lui H. Schulze, S. Linder și H. Pikton sunt cuprinse în Nn. 217 din Ostwalds Klassiker der exakten Wissenschaften, Leipzig 1925.

2) Vezi D. I. Mendeleev, Bazele chimiei, II, 271 (1928).

pentru aluminiu acesta a fost mult timp considerat trivalent (Nilson și Peterson). La studiul proprietăților coagulante ale ionului beriliu s'a clarificat pe deplin că el este bivalent (Freundlich, Galecki<sup>1)</sup>.

Aceeași dificultate a fost și la determinarea valenței metalelor rare. Cercetarea lui Freundlich<sup>2)</sup> asupra acțiunii lor de coagulare a arătat că sunt trivalente: Er, In, Sm, Eu, Gd, Dy. În mod analog s'a putut verifica valența ionilor complecși cu cobalt.

Cercetarea acțiunii coagulante a sărurilor solubile de fluor a arătat că anionul  $F_2$  — este bivalent.

### 5. SISTEMELE POLIDISPERSE

Formula lui Smoluchovschi (118) se referă la cazul coagularii solurilor monodisperse. În practică însă avem de a face cu prezența în soluri a particulelor de diferite dimensiuni; de aceea este indispensabil de a lămuri chestiunea dacă polidispersiunea influențează asupra vitezei de coagulare și în ce constă influența reciprocă a particulelor mari și mici.

În anul 1911 Wiegner<sup>3)</sup>, iar în anul următor Galecki<sup>4)</sup> au observat încă înainte de apariția cercetării teoretice a lui Smoluchovschi, că particulele mari ale solului polidispers contribuie la coagularea particulelor mici, particulele mici având tendința să se unească cu cele mari, iar nu între ele, ceea ce înseamnă că particulele mari par să fie centre de coagulare pentru particulele mici.

Mult mai târziu (1926), în urma propunerii lui Wiegner, au fost efectuate de Müller<sup>5)</sup> cercetări teoretice și dată formula pentru viteză de coagulare a sistemelor polidisperse.

Ne este cunoscută valoarea constantei lui Smoluchovschi  $k$ , în care intră mărimea  $A$ , foarte apropiată ca valoare de suma razelor a două particule, care se ciocnesc. Ca sens, această constantă reprezintă probabilitatea ciocnirii a două particule

1) H. Freundlich, Z. phys. Ch. 44, 135 (1903); A. Galecki, Z. Elektroch. 14, 767 (1908).

2) H. Freundlich u. H. Schucht, Z. phys. Ch. 80, 564 (1912).

3) G. Wiegner, K. Z. 8, 227 (1911).

4) A. Galecki, Z. anorg. ch. 74, 174 (1912).

5) H. Müller, K. Z. 38, 1 (1926); K. Beih 26, 257 (1928); trad. în rusă în colecția apărută sub redacția lui A. J. Rabinovici „Coagularea coloizilor” 61 (1936).

care coagulează. Să presupunem că solul este polidispers și constă din două feluri de particule de raze  $r_1$  și  $r_2$ ; atunci  $A=r_1+r_2$  și probabilitatea de ciocnire  $k_1$  va fi conform ecuației (121) egală cu

$$k_1 = 2\pi A(D_1 + D_2),$$

unde  $D_1$  și  $D_2$  sunt constantele de difuziune pentru solurile cu particule de raze  $r_1$  și  $r_2$ . Înlocuind constantele de difuziune cu valorile din formula

$$D = \frac{RT}{N} \cdot \frac{1}{6\pi\eta},$$

obținem

$$k_1 = 2\pi A \frac{RT}{6\pi\eta N r_1} + \frac{RT}{6\pi\eta N r_2}$$

Luând în considerație că  $A=r_1+r_2$ , vom avea:

$$k_1 = \frac{RT}{3\eta N} \cdot \frac{(r_1+r_2)^2}{r_1 \cdot r_2}, \quad (126)$$

adică constanta vitezei de coagulare la sistemele polidisperse depinde de gradul de dispersiune.

In cazul sistemelor monodisperse  $r_1=r_2$  și expresia (126) ia forma:

$$k = \frac{4RT}{3\eta N}. \quad (127)$$

adică în cazul coagulării sistemelor monodisperse constanta  $k$  nu depinde de dispersiunea particulelor. Comparând expresiile (126) și (127) găsim că:

$$k_1 = k \frac{(r_1+r_2)^2}{4r_1 r_2}$$

Nu este greu de arătat, că în cazul neegalității razelor  $k_1 > k$ . De exemplu, dacă la razele  $r_1$  și  $r_2$  una este de 10 ori mai mare decât cealaltă, atunci

$$k_1 = 3k$$

Formula lui Müller<sup>1)</sup> a fost verificată experimental în laboratorul lui Wiegner, observându-se că abaterea dela formula lui Smoluchovschi devine vizibilă când raportul intre raze nu este mai mic de 10.

La coagularea aerosolurilor, care constau deobicei din particule de diferite mărimi și de formă neregulată, procesul de coagulare este mai complicat și în acest caz trebuie neapărat luată în considerare polidispersiunea și ținut seama de influența formei particulelor (G. M. Romașev).

Teoria lui Smoluchovschi se referă numai la coagularea particulelor sferice, când ciocnirea particulelor depinde exclusiv de mișcarea lor de translație; rotația particulelor sferice, care are loc la mișcarea browniană nu este un motiv pentru coagulare, căci ea nu provoacă ciocniri noi.

Altfel decurge fenomenul, dacă sistemul dispers care coagulează constă din particule de formă neregulată; atunci, la rotația unei particule puternic alungite, în formă de bastonaș, particulele vecine pot fi lovite, aceste lovitură contribuind la coagulare, a cărei cauză va fi nu numai mișcarea de translație, ci și cea de rotație. Experiențele efectuate în laboratorul lui Wiegner<sup>2)</sup> au arătat că în realitate, la coagularea sclului de  $V_2O_5$ , care are particule în formă de bastonașe, viteza de coagulare este mult mai mare, în special la începutul procesului, iar cât lungimea particulelor este mai mare decât lățimea lor, cum atât este mai considerabilă mărirea vitezei de coagulare. Cele spuse se referă atât la coagularea rapidă cât și la cea lentă. G. Müller<sup>3)</sup> a dat teoria coagulării solurilor cu particule de forma bastonașelor și peliculelor.

## 6. GELATINAREA LA COAGULARE

La studiul fenomenului de coagulare în funcție de adăugarea electrolitului s'a îndreptat atenția asupra faptului că procesul de coagulare odată început duce mai repede sau mai incet-

1) Nu dăm formula completă a lui Müller, căci pentru noi este important să lămurim numai cum variază procesul de coagulare în solurile polidisperse. Formula completă este mai complicată și greu de aplicat. Ea este dată în lucrările lui Müller, K. Z. 38, I (1926) G. Wiegner u. P. Tuorile,

2) H. Müller, K. Beih. 27, 223 (1928).

3) G. Wiegner u. Marschall Z. phys. ch. 140, I, 39 (1929). K. Z. 38, 3 (1926).

la separarea unui precipitat. N. P. Pescov<sup>1)</sup> a arătat că în stadiul inițial, înainte de separarea precipitatului, începe agregarea particulelor, care poate să nu ducă la separarea precipitatului. O asemenea transformare a sistemului a fost denumită „coagulare latentă“. Starea de coagulare latentă se observă după mărirea frecării interne a solului și trecerea frecării laminare într’una de structură. E clar că coagularea latentă precede foarte des separarea precipitatului. În unele cazuri, adăugarea electrolitului la soluri produce nu separarea unui precipitat, ci gelatinarea întregii soluții. Acest fenomen decurge treptat, amintind procesul de coagulare lentă. Astfel, de ex., se gelatinează solurile acidului silicic, ale hidroxidului de aluminiu și ceriu sub acțiunea electrolitilor. La fel ca și coagularea obișnuită, acest proces este și el ireversibil și se supune regulii lui Schulze-Hardy.

Szegvary și Schalek (1923) au observat și cazuri de gelatinare reversibilă. Dacă unui sol concentrat de hidroxid de aluminiu i se adaugă o soluție de NaCl, atunci solul începe să se gelatinizeze, transformându-se într’un gel transparent, care la agitare dă din nou un sol. Acest proces poate fi repetat de mai multe ori. Fenomenul a fost studiat amănuntit de Freundlich<sup>2)</sup> și denumit tixotropie. Experiențe recente au arătat că fenomenul se observă și la alte sisteme coloidale și deasemenea și la sisteme mai puțin disperse de tipul suspensiilor concentrate. De ex., suspensiile de bentonită<sup>3)</sup> se gelatinizează fără să-și schimbe volumul. În acest caz de coagulare-gelatinare, particulele de formă neregulată vin în atingere numai prin colțurile lor și agregă sub forma unei rețele foarte subrede. La agitare, acest contact slab se distrugе. În perioada de repaus se produce din nou o asemenea coagulare. Solurile de Fe(OH)<sub>3</sub>, Al(OH)<sub>3</sub>, care se gelatinizează ușor, posedă în realitate particule în formă de plăci și nu sferice. E probabil că în acest fenomen să aibă o mare influență învelișul aproape din jurul particulelor, care nu le permite să se atingă de aproape și care lasă libere numai unghiurile ascuțite ale particulelor<sup>4)</sup>.

1) N. P. Pescov, Bazele fizico-chimice ale științei despre coloizi ONTI, 292 (1934).

2) H. Freundlich, Z. phys. ch. 121, 463 (1926); K. Beih, 25, 231 (1927); K. Z. 46, 289 (1928).

3) A. Buzagh, K. Z. 47, 228 (1929), E. A. Hauser, K. Z. 48, 57 (1929).

4) Ref. la tixotropie vezi G. Freundlich „Tixotropia“ (trad.) ONTI (1929).

## 7. COAGULAREA HIDROSOLURILOR CU NEELECTROLITI

In toate capitolele precedente, la cercetarea stabilității soluțiilor, atenția cea mai mare a fost îndreptată asupra influenței electrolitilor; influența neelectrolitilor n'a fost cercetată aproape deloc. Totuși, nu este posibil ca aceste substanțe să nu aibă nicio influență asupra stării solurilor. De aceea, noi vom cerceta atât influența neelectrolitilor singuri, cât și influența lor în prezența electrolitilor. Să convenim a denumi **sensibilizare** solului acele cazuri când solul devine mai puțin stabil, coagulează mai ușor, și **stabilizare** — cazul invers, când solul devine mai stabil și coagulează mai greu. Cercetătorii au început să se intereseze de influența neelectrolitilor asupra stabilității solurilor încă din anul 1903, dar la început acest fenomen a fost foarte puțin studiat și existau date foarte contradictorii. Totuși, s'a constatat că compușii organici neelectroliți arată o influență asupra stabilității particulelor coloidale, încărcate electric prin însuși faptul că ei micșorează constanta dielectrică a mediului. Wo. Ostwald<sup>1)</sup> a propus ca particula coloidă să fie considerată ca fiind un condensator sferic, cu distanța între foi egală cu grosimea  $\delta$  a dublului strat electric ( $r$  — raza particulei,  $R$  — raza împreună cu dublul strat exterior) (fig. 109). Pe baza acestei propunerii, sarcina particulei este egală cu

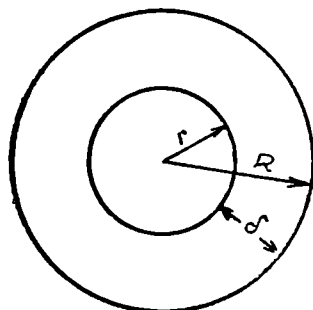


Fig. 109. — Particula în calitate de condensator sferic.

$$e = \frac{\zeta D r (r + \delta)}{\delta} \quad (128)$$

unde  $D$  este constanta dielectrică, iar  $\zeta$  — potențialul.

Din ecuația (128) rezultă că sarcina particulei scade odată cu scăderea valoarei  $D$ . Dacă aceasta este adevărat, atunci pentru coagularea unui hidrosol, căruia i se adaugă o substanță organică cu o constantă dielectrică mică, va fi necesară o cantitate mai mică de elec-

trolit pentru descărcarea particulei, adică solul va deveni mai sensibil față de substanța coagulată — se va produce sensibilizarea.

Sensibilizarea se observă chiar la adăugarea de mici cantități de compus organic, când variația constantei dielectrice a mediului nu este încă observabilă. Acest fapt a provocat indoială

1) Wo. Ostwald, Grundniss der Kolloidchemie, 441 (1909).

dacă o cantitate atât de mică de n电解质 organic adăugat (de ex. alcool) poate influența mult valoarea sarcinii particulei, aşa cum o cere ecuația (128). Dar aici trebuie avut în vedere, că în jurul particulei co-oidale, în dublul strat (spațiu de grosime  $\delta$ ) există, din cauza adsorbției, o concentrație mult mai mare de substanță organică (Wo. Ostwald), care poate schimba vizibil constanta dielectrică a apei. Dificultatea la rezolvarea cantitativă a acestei probleme rezidă în aceea că concentrația substanței în volumul dublului strat nu se poate cunoaște exact.

Inafara variației valorii sarcinii, variază și valoarea potențialului  $\zeta$  al particulei, ceeace se poate dovedi cercetând fenomenul de electroforeză<sup>1)</sup>.

Experiența a arătat că adăugarea n电解质elor organice la hidrosoluri nu schimbă, în general, stabilitatea lor într-o anumită direcție față de toți coagulanții: față de unii se poate produce sensibilizarea, iar față de alții stabilizarea. Aceasta a fost observat de Kruyt și Duin<sup>2)</sup> la cercetarea variației stabilității hidrosolului  $As_2S_3$  la adăugarea alcoolilor și fenolului.

Folosind analiza fizico-chimică, Dumanschi<sup>3)</sup> a studiat sistemele cu trei componente: sol-electrolit-n电解质. Aceste cercetări au arătat că fenomenele de sensibilizare și stabilizare depind de cantitățile relative ale soluției, electrolitului și n电解质ului.

## 8. COAGULAREA ORTOCINETICĂ

Fenomenul de coagulare a fost pus de Smoluchovschi în legătură cu ciocnirea particulelor la mișcarea browniană. Totuși, o asemenea ciocnire poate fi și rezultatul altor forme de mișcare a particulei. La agitare, de exemplu, particulele capătă o altfel de mișcare de translație, din care cauză ele se pot ciocni și aceste ciocniri sunt motivul contopirii particulelor. Apoi, la sedimentarea solurilor polidisperse, sub acțiunea forței centrifuge sau a gravitației, particulele, mișcându-se sau sedimentând cu viteze diferite și ajungându-se una pe alta, se ciocnesc, ceea ce poate duce deasemenea la coagulare.

1) J. N. Mukherjie, S. G. Chaudhury, a. S. P. Chaudhury, ref. C. I. 662 (1928); K. C. Sen. K. Z. 38, 310 (1926); 36, 193 (1925); J. J. Bickerman, K. Z. 42, 293 (1927).

2) H. R. Kruyt u. C. F. Duin, K. Beih, 5, 269 (1914); H. Luch u. S. Chwalinschi, Z. phys. ch., 159, 177 (1922).

3) A. Dumanschi, J. F. H. I, 481 (1930); A. Dumanschi și N. Bondarenco J. O. N. I, 933 (1931).

Coagularea care se produce la mișcarea browniană desordonată a fost denumită de Wiegner **pericinetică**, iar coagularea care se obține prin mișcarea artificială, dirijată a particulelor s'a denumit **ortocinetică**.

Coagularea ortocinetică are o mare importanță practică pentru purificarea lichidelor de suspensiile fine sau emulsiei cu ajutorul introducerii unor particule macrodisperse care sedimentează ușor. Sedimentând, aceste particule antrenează particulele puternic disperse, purificând lichidul. Această metodă a fost folosită, de ex., de Spring și Lobry de Bruyn<sup>1)</sup> la epurarea apei de praf (obținerea unei ape optic curate) cu ajutorul suspensiei de  $\text{Al}(\text{OH})_3$ .

In laboratorul autorului s'a observat că la coagularea sucului de difuziune (din industria zahărului), la procesele de defecare are o mare importanță prezența unei suspensiile de hidroxid de calciu în lapte de var. Turbureala care se depune repede produce coagularea ortocinetică a particulelor înalt disperse ale solului de suc de difuziune. Acelaș lucru are loc și la saturare, unde coagularea este produsă de particulele de  $\text{CaCO}_3$ , care sedimentează.

Principiile coagulării ortocinetice au fost stabilite de Tuorila<sup>2)</sup>.

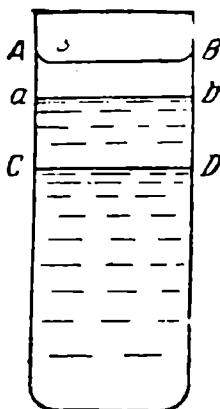


Fig. 110—Formarea straturilor la sedimentare.

Să cercetăm unele fenomene, care sunt în legătură cu existența coagulării ortocinetice. Să vedem cum deurge sedimentarea suspensiilor polidisperse. Fenomenul de sedimentare este însotit de formarea unor straturi nete, caracteristice; s'a încercat mereu să se determine motivul apariției lor<sup>3)</sup>.

Explicarea acestui fenomen din punct de vedere al coagulării ortocinetice este destul de simplă. Să presupunem că avem un sistem format din particule cu două grade de dispersiune diferite. Atunci particulele mari, care sedimentează repede vor produce o coagulare ortocinetică pe toată înălțimea cilindrului. Totuși, prin stratul superior va trece un număr mai mic de particule mari, decât prin straturile inferioare și de aceea în straturile superioare se va observa o coagulare mai mică decât în cele inferioare, adică, în timpul sedimentării, concentrația particulelor mici nu rămâne constantă pe toată

1) C. Lobry de Bruyn et L. Wolff, Rec. trav. ch. Pays-Bas, 23 (1904); W. Spring, Rec. trav. ch. Pays-Bas 18, 153 (1899).

2) P. Tuorila, K. Beih, 24, I (1927).

3) P. Ehrenberg, E. Hahn u. O. Nolte, K. Z. 211 (1917); E. Unger, K. Beih. 14, 63 (1921); R. Gal'ay, K. Beih. 21, 431 (1925).

înălțimea cilindru lui, ci va scădea în direcția de sus în jos. În consecință, vom obține următoarea imagine, reprezentată în fig. 110.

Până la nivelul AB în cilindru se găsea o suspensie. După un timp, particulele mici s'au depus până la nivelul a b în timp ce particulele mari au coborât până la nivelul CD; din cauza coagulației ortocinetice, concentrația particulelor mici în stratul superior a b D C nu este egală: sus în apropierea nivelului a b ea este mai mare, decât mai jos, în apropierea nivelului C D. În consecință, se obțin straturi distințe: cel superior — înceler (mediul de dispersiune); al doilea strat, din particule mărunte, care sedimentează este sus mai turbure (are o coagulație mai închisă) decât jos; apoi urmează o limită distinctă a stratului de particule mari în sedimentare. În cazul suspensiilor polidisperse se va produce coagulația particulelor mărunte de dispersiune diferită; fiecare fracțiune de particulă cu o dispersiune anumită sedimentează cu viteza respectivă și se obțin câteva straturi cu limite superioare nete de particule care se adună în direcția de sus în jos (fig. 111).

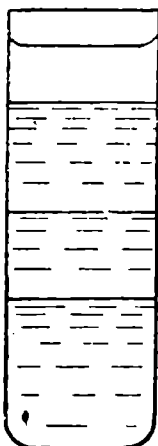


Fig. 111. — Formarea stratelor în sedimentarea sistemelor polidisperse.

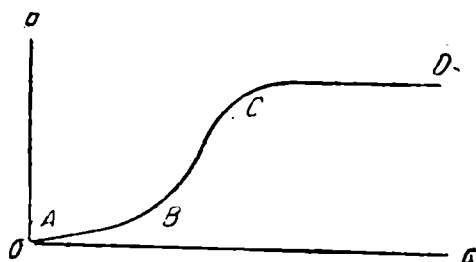


Fig. 112. — Curba de sedimentare.

Al doilea fenomen care poate fi explicat prin coagulația ortocinetică, se observă la cercetarea vitezei de coagulație lentă. Lucrul constă în aceea că, dacă se determină cu ajutorul sedimentometrului cantitatea de substanță ce sedimentează la coagulație lentă, atunci la începutul procesului se observă o sedimentare foarte lentă, care se acceleră considerabil după un timp oarecare, iar apoi scade din nou, în timp ce, conform teoriei lui Smoluchovschi, fenomenul trebuie să se micșoreze treptat, pe măsura coagulației particulelor. Curba (fig. 112) luată din lucrările lui Oden<sup>1)</sup> ilustrează bine acest fenomen. Aici s'a luat pe axa ordonatelor cantitatea de substanță sedimentată  $p$ , iar pe axa absciselor timpul  $\tau$ . Curba de sedimentare nu are caracterul unei curbe obișnuite, ci este în formă de S, amintind curba de autocataliză. Partea AB a curbei indică începutul coagulației pericinetice a suspensiiei cu formarea particulelor secundare, încă prea mici pentru că sedimentarea să fie vizibilă; apoi se produce formarea agregatelor mari, care sedimentează repede și care antrenează particulele mici rămase, din care cauză procesul de sedimentare (partea BC) se produce foarte repede și, în sfârșit, la o concentrație mică a particulelor rămase se produce din nou o sedimentare lentă (partea CD a curbei).

1) S. Oden, K. Z. 26, 114 (1920).

## 9. FACTORII CARE INFLUENȚEAZĂ COAGULAREA<sup>1)</sup>

Inafară de factorii care influențează coagularea, menționaiți mai sus, mai există și următorii: 1) agitarea mecanică; 2) concentrarea și diluarea solului; 3) congelearea; 4) încălzirea; 5) influența luminii; 6) influența razelor Roentgen, a razelor radiului; 7) influența descărcării electrice; 8) influența undelor electromagnetice; 9) influența gazelor; 10) influența ultrasunetului.

Viteza coagulării lente variază vizibil datorită agitării mecanice<sup>1)</sup>, mai ales în momentul inițial. În acest caz dispare câteodată caracterul în formă de S observat la curba de coagulare. Procesul decurge la început mult mai repede. La agitare are importanță coagularea ortocinetică în cazul sistemelor polidisperse. În unele cazuri, când capacitatea coagulantă a electrolitului este slabă, sau dacă s'a adăugat foarte puțin electrolit, agitarea mecanică întârzie coagularea (Freundlich).

Un caz interesant de coagulare a unui hidrosol s'a observat la agitarea lui cu un lichid organic oarecare, insolubil (benzen, toluen). În acest caz, la suprafața de separație a acestor două faze lichide se formează fulgi de coloid coagulat. Agitând hidrosolul de hemoglobină, albumină de ou, peptonă, gelatină cu benzen, toluen, cloroform, etc., se poate ajunge la coagularea coloizilor<sup>2)</sup>. Această metodă de coagulare este probabil bazată pe aceea că la agitare se formează o emulsie din lichidul adăugat, iar coloidul, care este emulgator, formează o peliculă solidă în jurul particulelor emulsiei. Particulele de emulsie distrugându-se, lasă pe suprafața de separație coloidul care s'a coagulat. În unele cazuri, aici are loc și fenomenul de flotație, ceeace a fost observat la coagularea aurului la agitarea solului de Au cu eter (Kistekowski). Freundlich<sup>3)</sup> a denumit acest fel de coagulare la suprafața de separație a două faze „coagulare mecanică”.

Concentrația solului că coagulează, influențează viteza de coagulare, în primul rând chiar din motivul că viteza de coagulare depinde de numărul inițial de particule din sol. Este bine cunoscut că hidrosolurile anorganice sunt în general foarte nestabile în concentrații mari și în repaus îndelungat coagulează

1) H. Freundlich u. R. Recklinghausen, Z. phys. ch. 154, 325 (1931).  
ski, Bull. Soc. ch. de France, 35, 1277, 1286 (1924); 45, 206 (1930).

2) L. Aston a. A. Mirsky, J. gén. Physiol. 13, 121, 133 (1929); R. Zsigmondy, Chimia coloidală (trad.) 124, 1931.

3) H. Freundlich u. R. Recklinghausen, Z. phys. ch. 154, 325, (1931).

dela sine; de ex., hidrosclurile de aur sunt stabile numai la o concentrație de câteva miligrame în  $100\text{ cm}^3$ ; la o concentrație mai mare începe coagularea. Dar constanta  $k$  nu s-ar schimba prin aceasta, dacă proprietățile particulelor în coagulare ar rămâne aceleași. Trebuie totuși menționat că particulele solului se găsesc în echilibru cu soluția care le înconjoară și dacă această soluție se înlocuște cu solvent pur (diluând hidrosolul cu apă) atunci, bineînțeles, se va schimba starea solului (potențialul  $\zeta$ ). Prin aceasta se pot produce și transformări chimice, de ex. hidroliza, ceeace are drept consecință distrugerea stabilității solului. Ca urmare poate varia și constanta de coagulare: să crească sau să scadă. În primul caz, la diluare solul se sensibilizează, iar în al doilea, se stabilizează. Acest lucru a fost observat de Gherasimov<sup>1)</sup>, Dhar<sup>2)</sup>, Kruyt<sup>3)</sup> și un sir de alți cercetători.

Concentrarea solului schimbă și ea stabilitatea lui. Nu este greu de explicat coagularea la concentrarea solului prin evaporare. La evaporare se produce nu numai concentrarea solului, dar și a electrolitilor, care se găsesc întrânsul, iar de concentrația electrolitilor depinde valoarea sarcinii particulei. Astfel, la evaporare (odată cu mărirea concentrației electrolitului) este posibil ca particula să-și piardă sarcina electrică, ceeace duce la coagulare. Ceva mai greu se explică coagularea la concentrarea prin ultrafiltrare; în acest caz compozitia mediului de dispersiune nu se schimbă, căci el trece în întregime prin ultrafilteru (de ex. printr'o peliculă colcidală); se schimbă numai concentrația solului.

Făcând cunoștință cu teoria coagulării, am aflat că viteza de coagulare crește cu mărirea temperaturii; hidrosolurile anorganice suportă ușor o fierbere îndelungată. Organosolurile metalelor în hidrocarburi, eter și a. coagulează foarte ușor la creșterea temperaturii.

La încălzirea unor soluri anorganice în autoclave la temperaturi mai înalte (pr.  $1.200^\circ$ ) se observă însăracă de coagulare și o transformare chimică<sup>4)</sup>. De ex., hidrosolurile de  $\text{AgCl}$ ,  $\text{AgBr}$ ,  $\text{Agl}$  și  $\text{As}_2\text{S}_3$  coagulează fără să se transforme. Solul de  $\text{As}_2\text{S}_3$ , din care nu s'a îndepărtat  $\text{H}_2\text{S}$  reacționează fără să coaguleze, trecând la  $180^\circ$  într'un lichid transparent. Hidrosolurile de ferocianură de  $\text{Zn-K}$ , ferocianura de  $\text{Cu}$ , albastrul de Berlin și

1) A. F. Gherasimov și A. S. Urjemschi, J.P.F.H.O. 61, 393 (1929).

2) N. Dhar, K. Z. 34, 262 (1924); 36, 129 (1925); 38, 141 (1926); 39, 346 (1926).

3) H. R. Kruyt și colab., K. Z. 25, I (1919).

4) T. Katsurai, K. Z. 71, 169 (1935).

de Turnbull coagulează. Totuși, aici fenomenul este mult mai complex decât coagularea obișnuită. Prezența electrolitilor arată la încălzire o influență asupra coagulării <sup>1)</sup>.

Importanța cea mai mare o are coagularea unor albumine la încălzire. Se produce un proces ireversibil, denumit **denaturare**, când albumina se separă într-o formă insolubilă. Denaturarea la încălzire nu este o simplă coagulare, ci este legată de mari transformări ale albuminei. Deși procesul denaturării a început să fie studiat de mult (Duclaux, 1893) până acum nu există încă o teorie clară și completă a denaturării. Se știe că ea nu se produce momentan, ci necesită un timp oarecare pentru a avea loc. Se cunoaște dependența denaturării de prezența electrolitilor și neelectrolitilor <sup>2)</sup>.

Coagularea cu ajutorul temperaturii are o mare importanță pentru efectuarea proceselor tehnologice în industria alimentară.

Ljubavin <sup>3)</sup> (1889) a fost primul care a studiat fenomenul de coagulare a solurilor prin congelare. Mai târziu, de această chestiune s-au ocupat Lottermoser <sup>4)</sup> și Gutbier <sup>5)</sup>. În ultimul timp, Diacicovschi <sup>6)</sup> a făcut cercetări asupra congelării unui mare număr de hidrosoluri, întrebând o răcire foarte avansată (dela—20° până la temperatura aerului lichid).

Înghețarea hidrosolurilor substanțelor hidrofobe se produce o congelare treptată a apei; în apa rămasă neînghețată se produce atât congelarea solului, cât și a electrolitilor ce i s-au adăugat. Datorită acestui fapt se poate produce o concentrație atât de mare de electrolit, încât se va produce descărcarea particulei și coagularea. În unele cazuri este posibilă la decongelare o redisolvare a solului coagulat (peptizare). La cantități mici de electrolit coagularea prin congelare poate să nu aibă loc. După părerea lui Zsigmondy se poate afirma, în general, că la congelare coloidul este cu atât mai constant, cu cât el este mai stabil la acțiunea electrolitilor sau la eliminarea apei la uscare.

Foarte des solurile hidrofile nu coagulează la congelare, căci unele din ele posedă un înveliș apos, a cărui apă, găsindu-se la o presiune mare, îngheță mai greu.

1) Wo. Ostwald, N. Kokoros u. K. Hoffmann, K. Z. 79, 287 (1937).

2) H. Chiek u. C. Martin, K. Beih. 5, 49 (1913); V. Pauli și E. Volko, Chimia coloidală a substanțelor albuminoide (trad.) 149, 1936.

3) N. N. Ljubavin, J.R.F.H.O. 21, 397 (1889).

4) A. Lottermoser Ber. 16, 3976 (1908); K. Z. 30, 133 (1922); 58, 336 (1932).

5) A. Gutbier, K. Z. 29, 161, 287 (1821); 30, 97 (1922).

6) S. J. Diacicovschi, K. Z. 54, 278 (1931); 59, 76 (1932).

Congelarea completă a solurilor schimbă starea lor în alt mod. În solul congelat micelii se dispun printre cristalele gheței care le presează, din care cauză apar între ei forțe de atracție și se produce coagularea; la decongelare, sistemul nu mai poate trece în starea de sol<sup>1)</sup>. La distrugerea micelilor prin congelare loc cedarea de către colloidul coagulat a unei cantități considerabile de electrolit adsorbit, care condiționează stabilitatea solului.

Când se produce o coagulare incompletă, cantitatea de sol rămas necoagulat este cu atât mai mică cu cât este mai lung timpul de rămânere a solului în starea de congelare (tab. 49). Cantitatea de sol coagulat este cu atât mai mare, cu cât este mai joasă temperatura de congelare a solului.

Tabelă 49

**Congelarea solului de turbă**  
(Determinările lui A. P. Dumanschi<sup>2)</sup>)

Timpul de congelare în ore	0	5	12	18	48	72	96
Cantitatea de turbă necoagulată în %	100	31	14	11	11	9	9

La coagularea solurilor polidisperse coagulează întâi partea mai puțin dispersă, iar apoi cea mai dispersă.

Există o serie de cercetări<sup>3)</sup>, prin care s'a stabilit influența iradierii cu lumină vizibilă asupra coagulării solurilor.

Astfel, hidrosolurile  $\text{Sn}(\text{OH})_4$ ,  $\text{Al}(\text{OH})_3$ ,  $\text{Th}(\text{OH})_4$  și  $\text{HgS}$  coagulează mai ușor cu ionii mono- sau bivalenți la iluminarea cu lumină solară sau cu o lampă electrică de wolfram de 1000 wăți, decât solurile neiluminate. Hidrosolurile  $\text{Sb}_2\text{S}_3$ ,  $\text{As}_2\text{S}_3$ , ferocianura de Cu și de uranil nu-și schimbă stabilitatea la o iluminare scurtă și coagulează în urma unei iluminări mai îndelungate.

Lumina ultravioletă<sup>4)</sup>, acționând asupra particulelor coloidale ar trebui, contribuind la liberarea de electroni să încarce

1) A. Lottermoser Z. phys. ch. 60, 462 (1907).

2) A. Dumanschi Bull. soc. ch. de France 41, 166 (1927) Notele Institutului agricol din Veronej 1927.

3) N. P. Pescov, K. Z. 32, 238 (1923); Sh. Roy. J. Indian ch. soc. 6, 431 (1929).

4) P. Lața a P. B. Ganguly, J. Indian Ch. Soc. 5, 547 (1929).

particula pozitiv și să producă coagularea solurilor electronegative; totuși coagulează și solurile electropozitive, ceea ce este în legătură cu reacțiile chimice care se produc la iradiere. Acest fenomen a fost menționat<sup>1)</sup> la cercetarea coagulării unui șir de hidrosoli sub acțiunea luminii solare. Pe exemplul emulsiilor<sup>2)</sup> s-a reușit să se arate că sub acțiunea luminii ultraviolete se distrugă acele emulsiile al căror emulgator (oleatul de Na) se oxida. Datele experiențelor lui Galecki și Spichalski<sup>3)</sup> confirmă că la iradierea cu lumină ultravioletă se produc procese chimice. S-a observat deasemenea că la iradierea hidrosolului de Ag se produce **decolorarea** cu formarea ionilor  $\text{Ag}^+$ . La o iradiere ulterioră, argintul se reduce din nou în Ag metalic și se obține un sol colorat.

Acțiunea razelor Roentgen a fost cercetată de către autori (Galecki<sup>4)</sup>, Svedberg<sup>5)</sup> și colaboratorii lui, Bhatnagar<sup>6)</sup> și alții; ei au observat că coagulează atât solurile electronegative, cât și cele electropozitive. O cercetare mai amănunțită a arătat că și în acest caz în soluri se produc transformări chimice, datorită cărora variază stabilitatea sistemului. Se observă nu numai coagularea, ci și stabilizarea solurilor.

Razele radiului au și ele o acțiune coagulantă. Totuși, și aici, fenomenul este mult mai complex decât se credea la început. Nordenson<sup>7)</sup> Crowther<sup>8)</sup>, au constatat, ca regulă generală, că hidrosolurile electropozitive coagulează la iradierea cu raze Roentgen și raze  $\beta$ . Cauza acestui fenomen este descărcarea treptată a micelilor în urma ionizării soluției iradiate. Solurile încărcate negativ, nu se schimbă.

Există indicații asupra coagulării solurilor sub acțiunea unui gaz, ceea ce este în legătură cu fenomenul de coagulare a unui coloid în stratul de adsorbție al bulelor de gaz care străbat soluția. În afară de exemplul citat, al coagulării albuminelor, la spume se pot menționa coagularea solului de hidroxid de fer<sup>9)</sup>, la suflarea aerului, oxigenului, azotului, hidrogenului. Aici coagularea are loc din cauza concentrației mari a coloidului în

1) P. Ganguly și N. Dhar, K. Z. 31, 16 (1922).

2) P. C. Sinha și P. B. Ganguly, K. Z. 54, 147 (1931).

3) A. Galecki și R. Spichalski, Z. anorg. Ch. 177, 337 (1920).

4) A. Galecki, K. Z. 10, 149 (1912).

5) Th. Svedberg, Kolloidchemie 217, (1925).

6) S. S. Bhatnagar, R. S. Gupta, K. G. Mathur și K. N. Mathur, Z. phys. 56, 684 (1919).

7) Th. Svedberg, Kolloidchemie (trad.) (1930).

8) J. Crowther, Phil. Mag. (7), 7, 86 (1929).

9) H. M. Storn, J. Ann. Ch. Soc. 52, 2730 (1933).

peliculă. În afară de acesta, coagularea cu ajutorul gazelor este în legătură cu reacțiile chimice<sup>1)</sup>. S'a observat influența gazului ionizat asupra coagulării<sup>2)</sup>.

Se poate efectua coagularea descărcând particulele pe electrozi la trecerea curentului. Solurile coagulează pe electrodul încărcat cu electricitate de semn contrar, formând un precipitat puiverulent, sau în formă de gel. Coagularea s'a observat și la acțiunea undelor electromagnetice de înaltă frecvență (lungimea de undă 180 m.); astfel a coagulat hidrosolul de  $As_2S_3$ <sup>3)</sup>.

Undele sonore, în special undele ultrasonore, produc coagularea hidro- și aerosolurilor<sup>4)</sup>. Fenomenul de coagulare desurge în mod deosebit de eficace la aerosoluri, unde aplicarea iradierei cu unde ultrasonore poate servi pentru scopuri practice.

---

1) L. Auer K. Z. 49, 328 (1929); H. Schindfuss u. H. Werner, K. Z. 49, 323 (1929).

2) E. I. Soloviev, Koll. J. 2, 149 (1936).

3) E. Wilke, R. Müller, K. Z. 65, 257 (1933).

4) O. Brandt, H. Freund u. E. Hiedemann, K. Z. 77, 103 (1936).

## **XXI. FENOMENELE OBSERVATE LA COAGULAREA SOLURILOR LIOFOBE CU ELECTROLITI**

La procesul de coagulare se observă o serie de fenomene de mare importanță. Din ele fac parte: 1) acomodarea solurilor; 2) adsorbția substanței coagulante; 3) antagonismul ionilor; 4) efectul termic; și 5) schimbarea sarcinii electrice a particulelor.

### **1. ACOMODAREA SOLURILOR**

Prin acomodare se înțelege deobicei mărirea stabilității solului, care coagulează în funcție de adăugarea electrolitului la coagulare. S'a stabilit că proporția de substanță necesară pentru coagulare diferă în funcție de faptul dacă electrolitul se adaugă deodată sau treptat în porțiuni mici; în ultimul caz este deobicei necesar de a se adăuga mult mai mult electrolit pentru a se obține aceeași coagulare.

Fenomenul de acomodare a fost observat cu mai mult de patruzeci de ani în urmă de Spring<sup>1)</sup> și Freundlich<sup>2)</sup> la coagularea hidrosolurilor de sulfuri. S'a observat că dacă pentru coagularea solului  $\text{As}_2\text{S}_3$  este necesară o anumită cantitate de  $\text{BaCl}_2$ , care se întârnă deodată, această cantitate nu mai este suficientă pentru coagularea aceluiăș sol, dacă soluția de  $\text{BaCl}_2$  se adaugă treptat, în porțiuni mici (temp de câteva ore, sau chiar câteva zile), în ultimul caz, pentru producerea coagulării este necesar un exces de electrolit. Un exemplu foarte bun de acomodare a hidrosolului  $\text{As}_2\text{S}_3$  la  $\text{BaCl}_2$  este redat în lucrarea lui Crestinscaia și Iacovleva<sup>3)</sup>.

Uneori, la adăugarea treptată a electrolitului, se observă, în locul acomodării, fenomenul invers — solul coagulează mai ușor. Acest fenomen a căpătat denumirea de **acomodare negativă**.

---

1) W. Spring, Bul. Acad. Belg. (3), 38, 483 (1900).

2) H. Freundlich, Z. phys. ch. 44, 1 (1903).

3) V. N. Crestinscaia și V. S. Iacovleva, J.R.F.H.O. 60, 295 (1928).

Mecanismul fenomenului de acomodare n'a fost încă bine explicat. Este posibil ca acomodarea să fie condiționată de adsorbția ionului, încărcat cu electricitate de acelaș fel a particulelor (Gosh și Dhar<sup>1</sup>), din care cauză particula își recapătă sarcina pierdută la coagulare. Este deosemenea posibil ca acomodarea să fie condiționată de reacția între sol și electrolit, formându-se peptizatori care conseră solului stabilitate. E clar că la o adăugare treptată se produce o asemenea protecție; la adăugarea rapidă, însă, nu are timp să se producă reacția cu formarea peptizatorului și coagularea decurge normal (Cres-tinscaia).

Coagularea hidrosolului  $\text{Fe(OH)}_3$  cu o soluție de  $\text{HCl}$  este un exemplu net de acomodare, explicat prin producerea unei reacții chimice cu formare de peptizator. La adăugarea rapidă a acidului clorhidric concentrat se produce coagularea, iar la adăugarea lentă nu se produce coagulare, datorită formării  $\text{FeCl}_3$ , care peptizează hidroxidul de fier.

Un alt caz de acomodare: soluri obținute în prezența electroliților nu coagulează la adăugarea unei cantități considerabile de electrolit; un sol purificat coagulează însă foarte ușor cu aceeași cantitate de electrolit. În afară de acomodări pozitive, aici se observă și una negativă. Fenomenul de acomodare a solurilor la electroliți care sunt prezenti în momentul formării solului, prezintă un mare interes practic, căci, în realitate, avem de a face nu cu soluri pure ci cu soluri impurificate cu electroliți (Dumanschi).

## 2. SARCINA ELECTRICĂ A PARTICULEI

Fenomenul coagulării este legat de micșorarea potențialului  $\zeta$  al particulei. Freundlich<sup>2</sup>) leagă acest din urmă fenomen cu adsorbția unui ion încărcat cu electricitate de semn contrar; el a stabilit încă în anul 1903 faptul că coagularea este legată de adsorbția ionului coagulant și a emis teoria coagulării de adsorbție. Nenumărate experiențe confirmă acest fapt. Astfel, solul electro-negativ de  $\text{As}_2\text{S}_3$  adsorbe în coagulare un cation, iar după coagulare soluția rămâne slab acidă, datorită acidului format. Acest fenomen se produce după schema următoare:

1) S. Gosh N. R. Dhar, J. phys. Ch. 39, 435, 659 (1925).

2) H. Freundlich, K. Z. 1, 321 (1907); Kapillarchemie, II, 125 Ed. IV-a 1932.

Micelul solului de  $\text{As}_2\text{S}_3$  se compune din particula electro-negativă de  $\text{As}_2\text{S}_3$ , înconjurată de ioni electropozitivi de  $\text{H}^+$ , care formează un dublu strat electric. Sub acțiunea coagulantului, de ex. a  $\text{BaCl}_2$ , ionul  $\text{Ba}^{++}$  adsorbindu-se, descarcă particula, punându-se astfel în libertate ionii  $\text{H}^+$  și  $\text{Cl}^-$ , care rămân în soluție după coagulare și care dau reacție acidă<sup>1)</sup>.

Deobicei pentru coagulare trebuie să se producă descărcarea particulei, adică, la coagulare, unul și același sol va adsorbi un număr egal de ioni echivalenți care produc coagularea; descărcarea particulei trebuie să se producă datorită uneia și a celeiși cantități de ioni adsorbiți, exprimată în echivalenți-gram. De aici rezultă ca o consecință **regula valenței a lui Schulze-Hardy**. Totuși trebuie menționat că regula valenței nu este o lege riguroasă, ci foarte aproximativă, căci există o serie întreagă de excepții.

Se știe, de exemplu, că unii ioni monovalenți coagulează mai bine (au o putere coagulantă mai mare) decât cei polivalenți.

Tabelă 50

Coagularea solului  $\text{As}_2\text{S}_3$ 

Coagulantul	$\frac{x}{m}$ în milimoli	$\gamma$ în milimoli
KCl . . . . .	0,01	49,50
azotat de guanidină . . . . .	0,27	10,40
clorhidrat de anilină . . . . .	0,42	2,50
paraclor anilină . . . . .	1,33	1,08
neofuxina . . . . .	3,16	0,11

S'a stabilit că pentru coagulare trebuie adăugată o cantitate cu atât mai mică de electrolit, cu cât este mai mare capacitatea de adsorbție a ionului coagulant, ceea ce se vede bine din datele tabelei 50, unde  $\frac{x}{m}$  este cantitatea de substanță adsorbabilă de 1 g. adsorbant, conform formulei lui Freundlich (98), iar  $\gamma$  — concentrația de coagulare. Legătura între  $\frac{x}{m}$  și  $\gamma$  se vede bine la cercetarea isotermelor de adsorbție. În fig. 113

1) S. Linder a. H. Picton, Trans. ch. Soc. 64, (1895).

curba 1 reprezintă isoterma unei substanțe, care se adsoarbe greu (KCl). Pentru a descărca particula, trebuie adsorbiți  $\frac{x}{m}$  echivalenți-gram, corespunzători unei concentrații  $c$  a soluției, egală cu  $\gamma_1 - \frac{x}{m}$ . Curba 2 reprezintă isoterma unei substanțe, care se adsoarbe ușor (clorhidratul de anilină). Pentru a produce coagularea cu această substanță, trebuie să se adsoarbă aceeași cantitate  $\frac{x}{m}$ , care conform diagramei din fig. 113 corespunde concentrației  $c_2$ , egală cu  $\gamma_2 - \frac{x}{m}$ .

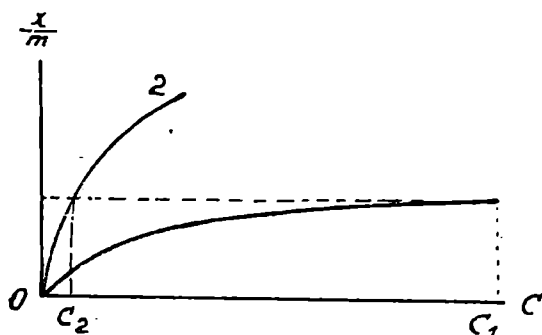


Fig. 113. — Relația dintre concentrația de coagulare și capacitatea de adsorbție: 1) Isoterma KCl; 2) Isoterma clorhidratului de anilină.

După cum se vede din diagramă, aceasta din urmă este de multe ori mai mică, decât prima concentrație.

Dacă substanțe tensioactive se disociază formând ionii tensioactivi, atunci adsorbindu-se după regula lui Traube-Duclaux, ele descarcă suprafața. Aici se aplică și pentru cazul coagulării, regula bine cunoscută nouă a lui Traube-Duclaux. Astfel, Freundlich<sup>1)</sup> a arătat că la coagulare capacitatea coagulantă a anionilor unei serii omoloage crește cu mărirea radicalului hidrocarbonat.

S'a cercetat mai sus un caz relativ simplu; adeseori însă, enomenul este mai complex: se poate adsorbi nu numai ionul coagulant, ci și toată molecula de electrolit. Faptul că întreaga moleculă a sării poate fi adsorbită de particulele coloidului (în acest caz este aplicabilă formula lui Freundlich) a fost arătat de

1) H. Freundlich, Kapillarchemie, 127 Ed. IV-a 1932.

Wo. Ostwald <sup>1)</sup> pe baza experiențelor lui A. Dumanschi <sup>2)</sup> efectuate cu solul de hidroxid de fier.

Aceasta este în deplină concordanță cu lucrările ulterioare ale lui Šilov, care a emis ipoteza că în fenomenul adsorbției electrolitilor moleculele nedisociate ale substanței care se adsoarbe joacă un rol important.

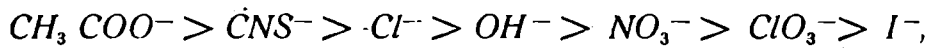
Coagularea este legată de adsorbție. De aceea, o parte de electrolit se adsoarbe și concentrația lui scade. La coagulare, precipitatul diferă prin însușirile lui de particulele inițiale ale soluției. O asemenea variație se produce cu timpul — se produce îmbătrânirea substanței coagulate, scăzând astfel capacitatea de adsorbție. Aceasta este în legătură cu cedarea unei părți de substanță adsorbbită. Concentrația electrolitului deasupra precipitatului se mărește. Fenomenul de cedare a substanței adsorbite la îmbătrânirea precipitatului se numește desorbție <sup>3)</sup>.

### 3. HIDRATAREA IONILOR COAGULANȚI

Asupra coagulării solurilor influențează deosemnenea și gradul de hidratare a ionilor coagulanți. La adsorbția ionilor hidratati trebuie invinsă o parte din energia de hidratare; de aceea, la coagulare, toate celelalte condiții fiind identice, este necesară o concentrație mai mare a ionilor <sup>4)</sup>. Aceasta se vede la cationii monovalenți ai metalelor alcaline la coagularea solurilor electro-negative, a căror concentrație de coagulare  $\gamma$  se dispune în serie liotropă (după capacitatea de hidratare):



La coagularea solului electropozitiv  $Fe(OH)_3$  capacitatea coagulanță a ionilor monovalenți nu este nici ea identică, ci variază după seria liotropă:



adică puterea coagulanță cea mai mare o are ionul  $CH_3COO^-$  și cea mai mică  $I^-$ .

1) Wo. Ostwald, Gedenkboek J. M. van Bemmelen, 1910.

2) A. Dumanschi, J. R. F. H. O. 37, 502 (1905).

3) S. A. Voznesenschi, V. A. Lazarev și G. V. Pereverzeva, J. 61, 1411 (1929).

4) Vezi van Arkel, Legătura chimică d. p. d. v. electrostatic (trad.) 211 (1935).

Pentru a evidenția și mai bine relația dintre hidratarea ionului coagulant și capacitatea lui de coagulare, exprimată în concentrație de coagulare, să cercetăm datele din tabela 51.

Tabelă 51

**Hidratarea cationilor metalelor alcaline și influența ei  
asupra coagulării**  
(după Freundlich și Leonard<sup>1)</sup>)

Ionii	Hidratarea (după Remy <sup>2)</sup>	$\gamma$ în milimoli la litru			
		MoO <sub>2</sub> · H <sub>2</sub> O	S	SiO <sub>2</sub>	As <sub>2</sub> S <sub>3</sub>
Li <sup>+</sup> . . . .	< 120	> 500	0,910	216	81,5
Na <sup>+</sup> . . . .	< 60	60	0,160	166	71,2
NH <sub>4</sub> <sup>+</sup> . . . .	17	26	0,430	120	59,1
K <sup>+</sup> . . . .	16	12	0,001	122	—
Rb <sup>+</sup> . . . .	14	5	0,016	72	—
Cs <sup>+</sup> . . . .	13	2,6	0,009	39	—

Asupra capacității de coagulare influențează nu numai însușirile ionului, încărcat cu electricitate de semn contrar cu cea a particulei, dar și ionii de același semn. De exemplu, la coagularea solului electropozitiv Al(OH)<sub>3</sub> concentrația de coagulare a clorurilor metalelor alcaline se dispune în ordine crescândă după seria liotropă a cationilor:



unde mărimea  $\gamma$  va fi respectiv egală cu 77, 80, 100. Teoria expusă a coagulării, care leagă fenomenul coagulării de adsorbția unui număr echivalent de ioni, nu este, după cum vedem, pe deplin justă, și relația nu este aşa de simplă<sup>3</sup>).

1) H. Freundlich u., W. Leonard, K. Beih, 7, 182 (1915).

2) H. Remy, Z. phys. ch. 89, 467 (1915).

3) H. B. Weiser u. Sherrick, J. phys. ch. 23, 205 (1919); H. B. Weiser u. Middleton, J. phys. Ch. 24, 30 (1920); S. Gosh u. N. K. Dhar, K. Z. 25, 129 (1925); 38, 141 (1926); J. phys. Ch. 28, 457 (1924); 29, 435, 659 (1925); A. Rabinovici, J. F. H. 1, 469 (1930).

Lucrul constă în aceea că coagularea nu este în directă legătură cu variația cantității de electricitate (a sarcinii) particulei, ci cu micșorarea potențialului  $\zeta$ , ceea ce nu este în legătură cu adsorbția unei cantități echivalente de ioni de semn contrar, ci depinde de repartizarea ionilor în stratul difuz al micelului.

#### 4. ANTAGONISMUL

Vorbind despre coagulare am avut în permanență de a face cu o singură substanță care coagulează. Să studiem acum cum urmărește coagularea, când unui sol i se adaugă o soluție compusă dintr-un amestec de electroliți. Să presupunem că solul coagulează datorită sării I de concentrație  $c_1$  și datorită sării II de concentrație  $c_2$ . Dacă solului i se adaugă, nu întreaga cantitate de ioni ai sării I, necesară pentru coagulare, ci, de ex. jumătate, adică  $\frac{c_1}{2}$ , atunci s-ar părea că se poate ajunge la coagulare, adăugând cantitatea corespunzătoare micșorată de sare II, adică  $\frac{c_2}{2}$ . Totuși, experiența arată că numai rareori se observă o acțiune aditivă a ionilor coagulanți; deobicei trebuie adăugată o cantitate mai mare de sare II.

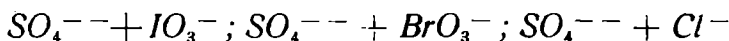
O asemenea abatere de la acțiunea aditivă a sărurilor coagulante în amestec poartă denumirea de **antagonismul sărurilor**. În alte cazuri trebuie adăugată o cantitate mai mică de electrolit. Acest fenomen se numește **sinergism**. Amândouă fenomenele au o mare importanță în procesele biologice.

Deoarece la coagulare importanța primordială o are ionul de semn contrar cu micelul, se produce fenomenul **antagonismului ionilor**. Proprietatea aditivă<sup>1)</sup> se observă deobicei atunci când ambii ioni coagulanți ai amestecului au aceeași valență. Dacă însă ionii coagulanți din amestec au valențe diferite, atunci nu există proprietate aditivă și se observă antagonismul. Sinergismul<sup>2)</sup> se observă la coagularea solului  $As_2S_3$  cu amestecul  $LiCl + KCl$ . Putem să ne explicăm în parte abaterea de la proprietatea aditivă a amestecului de ioni coagulanți pe baza relației cercetate mai sus între adsorbția ionului și capacitatea lui coagulantă. Am văzut că acțiunea coagulantă a ionilor depinde numai în primă aproximație de cantitatea de ioni echivalenți adsorbiți.

1) S. Linder a. H. Picton, J. Ch. Soc. 67, 63 (1895).

2) A. Dumanschi și E. I. Vinicova, J. F. H. 5, 133 (1934).

În afară de aceasta, la adsorbția ionilor din amestec se produce o deplasare a ionului mai puțin adsorbit de către ionul, care se adsoarbe mai puternic. De ex., la adsorbția de către hidratul fieric a ionilor din următoarele perechi de amestecuri <sup>1)</sup>:



ionul  $SO_4^{2-}$ , adsorbindu-se puternic, deplasează ceilalți ioni; cel mai ușor se deplasează ionul  $Cl^-$  apoi ionul  $BrO_3^-$  și cel mai greu ionul  $IO_3^-$ .

Apoi, asupra sarcinii particulei și deci asupra coagulării soluțiilor, influențează nu numai ionul coagulant, ci și ionul de aceeași sarcină cu particula. Ioni de același semn se pot adsorbi din amestecul de electroliți, fie aditiv, fie într'un număr mai mare sau mai mic; prin aceasta ei influențează asupra sarcinii particulei, schimbând stabilitatea ei la coagulare.

V. Crestinscaia și O. Molcianova <sup>2)</sup> au arătat că aici au o mare importanță reacțiile chimice care se pot produce între electroliți și micel.

La amestecarea electroliților se pot forma complexe care duc la imobilizarea ionului coagulant. În acest caz se observă un fenomen deosebit de pronunțat de antagonism, ca de ex. la coagularea hidrosolurilor  $AgI$  cu un amestec de  $K_2SO_4 + Th(NO_3)_4$ , care dă complexul  $K_2[Th(SO_4)_3]$ . În afară de aceasta, în amestec, activitatea ionilor se schimbă, ceea ce indică și teoria lui Debye-Hückel <sup>3)</sup>.

Antagonismul ionilor depinde în mare măsură de cantitățile respective de ioni coagulanți. Deobicei, la o cantitate redusă a uneia din săruri, antagonismul este mic, el crește odată cu creșterea cantității celeilalte sări, atinge un maxim, iar apoi, la o mărire ulterioră, cantitatea de sare îl scade. Nu există încă o teorie precisă <sup>4)</sup>, care să explice acest fenomen; deosemenea nu există nici suficiente date experimentale.

1) S. Gosh și N. R. Dhar, K. Z. 41, 223 (1927).

2) V. Crestinscaia și O. Molcianova, K. J. 59, 68 (1939).

3) L. K. Lepin și A. V. Bromberg, J. F. H. 8, 71, 82 (1939); 9, 87 (1940).

4) L. M. Utchin, Vestnic. Lomonosov, 2, ed. 2, I (1921); V. Dorfman, K. Z. 46, 198 (1928).

### 5. EFECTUL TERMIC

Coagularea trebuie să fie însoțită de un oarecare efect termic datorită: 1) încetării mișcării browniene; 2) micșorării suprafeței particulelor, din cauza contopirii lor; 3) adsorbției ionilor coagulanți; și 4) efectuării reacției între corpuși care dă soluții în adevăratul sens al cuvântului.

Cercetarea efectuată pentru determinarea căldurii de coagulare a solului  $As_2S_3$  a arătat că aceasta are o valoare foarte mică, practic egală cu zero<sup>1)</sup>.

În experiențele în care s'a observat un efect incontestabil termic se produceau reacții între substanțele coagulante și soluția intermicelară<sup>2)</sup>.

Judecând teoretic, efectul termic datorat încetării mișcării browniene, nici nu poate fi observat din cauza micii concentrații a solurilor. Nu poate fi observat nici efectul datorat agregării particulelor, căci atingerea, iar de aici și micșorarea suprafeței, se produce numai în punctele de contact ale particulelor, iar nu pe toată suprafața. Suprafața unor asemenea puncte de contact este foarte mică.

### 6. SCHIMBAREA SEMNULUI SARCINII SOLURILOR

Analoga schimbării sarcinii suprafeței cu ajutorul ionilor polivalenți se observă variația potențialului  $\zeta$  al solurilor la mărire treptată a concentrației electrolitului cu un ion polivalent, de exemplu:

potențialul  $\zeta$  inițial  $\rightarrow$  scăderea potențialului  $\zeta^+ \rightarrow \zeta = 0$  (punct isoelectric)  $\rightarrow$  schimbarea semnului suprafeței  $\rightarrow$  potențial  $\zeta^-$

Fenomenul schimbării semnului sarcinii particulelor solului cu ajutorul unui ion polivalent este bine ilustrat prin curbele reprezentate în fig. 103. Datele talei 52 confirmă (în afară schimbării semnului sarcinii) faptul că de această schimbare sunt legate procesele consecutive de coagulare și stabilizare a solului. La cantități mici de electrolit se produce deschiderea particulei solului hidrofob și de aici și coagularea ei; la concentrații mari nu se va observa coagularea, căci se obține un sol cu particule

1) H. R. Kruyt și J. van der Spek, K. Z. 24, 145 (1919).

2) H. R. Kruyt, Colozzi (trad) 71 (1936); L. Brown, Coll. Symp. Monogr. 1, 7 (1923).

încărcate cu altfel de electricitate. Friedmann, Neisser și Bechhold (1903<sup>1</sup>) au cercetat acest fenomen.

Tabela 52

**Coagularea solului electronegativ de platină  
După experiențele lui Buxton și Teague<sup>2</sup>)**

Concentrația soluției de $\text{FeCl}_3$ în milimoli	Starea sistemului	Electroforeza	Sarcina
0,0208 0,0557	nu există fulgi	deplasare spre anod	—
0,0833 0,1633 0,2222	coagulare totală	nicio mișcare	0
0,3333 1,6360 6,6670	nu există fulgi	deplasare spre catod	+
16,33 83,33 666,70	coagulare totală	nicio mișcare	0

Din tabela 52 se vede clar cum decurge procesul la coagularea hidrosoțului electronegativ de Pt cu o soluție de  $\text{FeCl}_3$ . La mărirea cantității de  $\text{FeCl}_3$  adăugată, solul suferă următoarele schimbări:

sol încărcat negativ, nu se produce coagularea → sarcină egală cu 0, coagularea → sol încărcat pozitiv, nu se produce coagularea → sarcina egală cu 0, coagulare.

Un astfel de fenomen cu alternanță periodică a stabilității solului cu zone de coagulare poartă numele de serii neregulate de coagulare sau **zone de coagulare**.

## 7. DISCORDANȚA INTRE DATELE EXPERIMENTALE ȘI TEORIA ADSORBȚIEI A LUI FREUNDLICH

Datorită faptului că datele experimentale erau într-o serie de cazuri în discordanță cu teoria lui Freundlich, un sir de cercetători au criticat această teorie<sup>3</sup>).

1) H. Bechhold, Z. phys. ch. 48, 385 (1904).

2) Buxton și O. Teague, Z. phys. ch. 57, 72 (1904).

3) Wo. Ostwald, K. Z. 26, 69 (1920).

In cap. XVII s'a menționat deja, că teoria adsorbției nu explică pe deplin variația potențialului. Lucrări mari pentru studiul fenomenelor de coagulare au fost efectuate de Rabinovici<sup>1)</sup> și elevii săi, care au arătat impreciziunea teoriei lui Freundlich. Însuși Freundlich a observat imperfecția teoriei sale și sub influența lui directă a apărut lucrarea lui Müller<sup>2)</sup>, care a dat teoria electrostatică a coagulării, bazată pe punctele de vedere cele mai noi asupra structurii stratului dublu din jurul particulelor coloidale.

Conform teoriei electrostatische, sistemul coloidal reprezintă următoarele: în jurul particulei există un dublu strat electric, din care o parte este legată solidar de particula. După acest strat, datorită forțelor electrostatice ale particulei încărcate care resping ionii de acelaș semn și atrag ionii de semn contrar, urmează un strat de ioni în care vor predomină, ionii cu semn contrar cu cel al particulei. O ascimenea dispunere a ionilor cu sarcină opusă este impiedicată de mișcarea ionilor datorită temperaturii a cărei energie este aproxiimativ de acelaș ordin de mărime ca și energia forțelor coulombice (forțe de atracție electrostatică). Sub acțiunea acestor două forțe se formează un fel de „atmosferăionică” în jurul particulei, în care vor predomină ionii cu sarcini opuse sarcinilor particulelor. De ex., în cazul particulelor încărcate negativ de  $\text{As}_2\text{S}_3$ , în imediata apropiere a particulei se va găsi un strat rezistență de ioni  $\text{H}^+$ , care însă nu echilibrează complet sarcina ei. După acest strat urmează un strat difuz de ioni  $\text{H}^+$ , căruia i se vor adăuga din ce în ce mai mulți ioni de alt semn, până când va dispărea diferența între sfera ionică a particulei și soluția de electrolit în mediul de disperziune. Grosimea stratului difuz (care nu poate fi determinat exact) scade cu mărirea cantității de electrolit, adăugată solului. Din acest motiv se micșorează și potențialul și particula devine mai puțin stabilă.

Pe baza teoriei electrolitilor puternici a lui Debye și Hückel, care ia în considerare fenomenul de atracție electrică între ioni, Müller a efectuat calculuri teoretice care arată că, pornind dela presupunerile ce le-a emis și neintroducând presupunerea despre necesitatea adsorbției ionului coagulant, se poate explica fenomenul coagulării prin variația grosimii stratului difuz. Se poate, de ex., deduce regula semnului a lui Schulze-Hardy; raportul con-

1) A. Rabinovici și V. Carghin, J. F. H. I, 65 (1930), vezi articolul lui A. Rabinovici în cartea „Coagularea coloizilor”, 167, M. 1936.

2) H. Müller, K. Beih. 26, 274 (1928).

centrației ionilor cu valențe crescânde (1, 2, 3 și 4) variază astfel:  $c_1 : c_2 : c_3 : c_4 = 540:57:7,4:1$ , ceea ce amintește foarte îndeaproape cifrele observate la coagulare.

Totuși, această teorie este departe de a fi perfectă și, după cum indică Rabinovici<sup>1)</sup>, importanța acestei teorii devine și mai mică prin faptul că Müller a făcut calculul asupra solului  $\text{As}_2\text{S}_3$ , care a fost perfect studiat de mulți cercetători, care au arătat că la coagulare se produce fără îndacială adsorbția. Totuși, în această teorie se pun probleme foarte importante și e posibil ca o teorie perfectă să se nască pe baza ipotezelor ambelor teorii. După părerea lui Rabinovici, noua teorie cantitativă a coagulării coloizilor cu electroliți va fi foarte apropiată de teoria propusă de Stern<sup>2)</sup> în anul 1924 și care constă din următoarele: micelul coloidal purtător de sarcini, este înconjurat de o atmosferă de ioni încărcăți contrar, dintre care cei mai apropiati sunt legați solidar (adsorbiți) de micel și se deplasează odată cu el, iar cei mai îndepărtați formează o atmosferă difuză.

La introducerea electrolitului în sistem se produce nu numai o distrugere a atmosferei ionice de către forțele electrostatice, ci și înlocuirea ionilor din stratul adsorbit, ceea ce influențează deosebit de puternic asupra variației potențialului electric și a stabilității coloidului.

## 8. REACȚIILE CHIMICE ALE PARTICULELOR COLOIDALE

În afară de coagulare, adăugarea unor substanțe la sol poate, fără să producă coagulare, face ca ele să intre în reacții chimice. De ex., solul de  $\text{As}_2\text{S}_3$  reacționează cu  $\text{Na}_2\text{CO}_3$ ; solul de argint reacționează decolorându-se cu  $\text{KCN}$ , formând  $\text{KAg}(\text{CN})_2$ ; în mod analog reacționează solul de paladiu, dând  $\text{K}_2\text{Pd}(\text{CN})_4$  și solul de aur formând  $\text{KAu}(\text{CN})_2$ ; tot așa reacționează și solul de  $\text{CuS}$ . Rebier<sup>3)</sup> a titrat solurile de Au, Ag, Pd cu o soluție de cianură de potasiu, pentru a determina în ele metalul dispersat.

Schneider<sup>4)</sup>, iar mai târziu Dumanschi<sup>5)</sup>, au arătat că solul de Ag reduce sărurile mercurice și ferice, trecându-le în săruri

1) A. I. Rabinovici, J. F. H. 1, 469 (1930).

2) O. Stern, Z. Elektroch. 30, 508 (1924).

3) G. Rebier, C. r. Soc. Biol. 63, 675, 766 (1907); 64, 72 (1908).

4) E. A. Schneider, Ber. 24, 2242 (1891), 25, 1441 (1892).

5) A. Dumanschi, Comun. Inst. Politehnic din Chișinău 1903, 1913.

mercuioase și feroase, iar argintul trece în sărurile respective, de ex.  $\text{AgCl}$ ,  $\text{Ag}_2\text{SO}_4$ ,  $\text{AgNO}_3$  etc. Se cunosc multe exemple de asemenea reacții. Cinetica acestor reacții depinde de suprafață specifică (gradul de dispersiune) a sistemului coloidal<sup>1)</sup>.

Atunci când se poate neglija concentrația soluției ce reacționează, adică atunci când cantitatea ei este mult mai mare decât cantitatea de substanță dispersă, se poate scrie:

$$-\frac{da}{d\tau} = ks,$$

unde  $a$  este cantitatea de substanță din fază dispersă, care intră în reacție și  $s$  — suprafața particulei.

Pentru un sol monodispers, care conține într'un  $\text{cm}^3$   $a$  grame de substanță

$$a = \frac{4}{3} \pi \delta v \cdot r^3 \text{ sau } r = \alpha \cdot a^{1/3},$$

unde  $v$  este numărul de particule sferice (constant pentru un sol dat) și  $\delta$  — densitatea.

Suprafața tuturor particulelor este egală cu

$$s = 4\pi v r^2$$

Înlocuind valoarea  $r$  vom avea

$$s = 4\pi v \alpha^2 a^{2/3} = \beta \cdot a^{2/3}$$

Înlocuind această valoare a lui  $s$  în ecuația vitezei, vom avea:

$$-\frac{da}{d\tau} = k \cdot a^{1/3} \text{ sau } -a^{-2/3} \cdot da = k\beta d\tau$$

Integrând, obținem:

$$-3a^{1/3} = k\beta\tau + c$$

La  $\tau=0$ ,  $a=a_0$  (cantitatea inițială), de unde:  $c=-3a_0^{1/3}$  adică expresia pentru cantitatea de substanță care reacționează cu timpul are forma:

$$3a_0^{1/3} - 3a^{1/3} = k\beta\tau$$

sau

$$r_0 - r = A\tau$$

unde  $A$  este o constantă.

---

1) N. P. Pescov, K. Z. 32, 24, 232 (1923); S. Voznesenschi și V. Scvorțov, K. Z. 54, 205 (1933); V. Scvorțov, K. Z. 72, 203 (1935); 76, 322 (1936); Kol. Jurn. 8, 239 (1946); 9, 76 (1947).

Această ecuație ne arată că la reacțiile chimice se observă o relație liniară între variația dispersiunii particulelor și timp.

În cazul sistemelor polidisperse, această regularitate este aplicabilă fiecărei fracțiuni. Reacționând, fracțiunile vor dispărea cu timpul, începând cu cea mai dispersă.

## 9. IMPORTANȚA COEFICIENTULUI DE ACTIVITATE A SOLUȚIEI

Cercetând condițiile de stabilitate a solurilor liofobe, (de ex.  $\text{As}_2\text{S}_3$ ) în prezența electrolitilor, trebuie menționat că fenomenul coagulației poate fi explicat mai mult sau mai puțin mulțumitor prin variația potențialului electrocinetic și a comprimării dublului strat ionic. Totuși, cercetarea variației acestor doi factori nu este suficientă pentru explicarea tuturor cazurilor. E probabil ca să nu se fi luat în considerație încă o condiție importantă. Toți cercetătorii iau ca bază însușirile micelului și atribue o foarte mică importanță însușirilor mediului de dispersiune; acesta este considerat numai ca purtător de miceli și de ioni stabilizați sau coagulați. Totuși, din punct de vedere a teoriei moderne a electrolitilor puternici, între ioni există anumite forțe de acțiune reciprocă, caracterizate prin mărimea **coeficientului de activitate**  $f$ , introdus de Lewis și care se determină termodinamic din teoria lui Debye-Hückel. Aceste forțe interionice în soluție pot fi comparate cu cele ale rețelelor cristaline ionice, de ex. a  $\text{NaCl}$ , creând în cazul de față, nu cristale rezistente, ci unele static posibile. Într-o asemenea rețea cristalină sunt incluși micelii.

Dacă aceste forțe sunt suficiente, ele rețin, stabilizează micelii, dând un sol stabil. Dacă aceste forțe sunt insuficiente (rețea este slabă), atunci se produce coagularea. La concentrații mari de electrolit forțele rețelei cristaline cresc ( $f$  scade) și deplasează micelii din cristal, contribuind astfel la împreunarea lor în agregate, adică se produce coagularea datorită adăugării electrolitului.

Relația între coeficientul de activitate  $f$ , valența ionului  $z$  și forța ionică  $u$  se exprimă prin următoarea ecuație (apa la  $18^\circ$ ):

$$-\lg f^+ = 0,5z^2 + \sqrt{u},$$

unde  $u = \frac{1}{2}(m_+ z_+^2 + m_- z_-^2)$ ;  $m_+$  este molecularitatea;  $z_+$  — valența cationului, iar  $m$  și  $z$  mărimile corespunzătoare pentru anioni.

Dacă se calculează molaritatea soluțiilor de electroliți cu cationi mono, di, tri, tetra și hexavalenți și anioni monovalenți, se obțin valorile date în tab. 53.

De aici se vede că pentru obținerea unei soluții cu un coeficient egal de activitate este necesară o concentrație cu atât mai mică de ioni, cu cât este mai mare valența lor. Pe baza valorilor concentrației de coagulare, existente în literatură, Ostwald<sup>1)</sup> a calculat coeficientul de activitate și a găsit că în toate cazurile el este aproximativ egal, adică coagularea cu electroliți de diferite valențe se produce la fel egali, sau cu alte cuvinte, la intensități egale ale câmpului interionic.

Pe baza celor spuse se dă o bună interpretare cantitativă regulii valenței lui Schulze-Hardy. Se obține o exprimare cantitativă a influenței concentrației soluțiilor asupra cifrei de coagulare, a fenomenului zonelor de coagulare, a antagonismului ionilor și a altor cazuri de coagulare.

Elaborarea acestei teorii a fost incepută de curând. Lucările ulterioare în această direcție vor arăta universalitatea ei.

Tabelă 53

## Relația între molaritatea și valența cationilor

Valența cationului	<i>m</i>
1	0,096
2	0,0022
3	0,00022
4	0,000040
6	0,000004

1) Wo. Ostwald, Usp. chim. 9, 559 (1940) (trad.) articol în K. Z. 1935—1940.

## **XXII. OBȚINEREA SISTEMELOR DISPERSE IN MEDII LICHIDE PRIN METODA PEPTIZĂRII**

### **I. NOTIUNI DESPRE METODELE DE OBȚINERE A LIOSOLURILOR**

Sistemele coloidale se găsesc, după gradul lor de dispersiune între sistemele dispersate molecular și microscopic, cu limitele de dispersiune cuprinse între  $10^5$  până la  $10^7$ . De aceea, obținerea liosolurilor se poate efectua prin: 1) metoda dispersiunii (gradul de dispersiune se mărește); 2) metoda condensării (gradul de dispersiune se micșorează); 3) metoda peptizării (gradul de dispersiune rămâne aproape invariabil).

Vom începe cu metoda peptizării, căci metodele de condensare și dispersiune sunt indestructibil legate de peptizare la formarea solurilor stabile. Aducerea sistemului până la un grad de dispersiune coloidal nu dă soluri stabile. Este necesar de a obține din particula dispersă un micel, care să conțină înălțarea de nucleul interior (particula dispersă) și un înveliș format din stratul ionic dinuz (potențialul  $\zeta$ ) și liosferă.

În prezența emulgatorilor și stabilizatorilor dispersiunea sistemului rămâne mult timp neschimbătă, căci particulele nu coagulează și nu se contopesc în mase mari, puțin disperse (de ex. stratifierea emulsiei).

La metoda peptizării substanța este deja dispersată până la gradul necesar. Trebuie găsită numai o substanță — peptizatorul — care să treacă sistemul dispers obținut în starea de sol.

Să cercetăm forme de peptizări care se întâlnesc mai des<sup>1)</sup> și anume: 1) peptizarea precipitatelor cu electrolitii; 2) peptizarea la spălarea precipitatelor; 3) peptizarea cu substanțe tensioactive; și 4) peptizarea complexă.

### **2. FORMELE PEPTIZĂRII**

Peptizarea precipitatelor cu electrolitii constă din următoarele: precipitatele substanțelor insolubile obținute prin reacții

1) Wo. Ostwald, K. Z. 43, 249 (1927).

chimice se tratează cu o soluție de electroliț — **peptizator**; prin aceasta precipitatul trece într'un sol. De ex., dacă vom lua un precipitat proaspăt și spălat de  $\text{Fe(OH)}_3$  și îi vom adăuga puțină soluție de  $\text{FeCl}_3$  sau de alte cloruri analoage, sau de  $\text{HCl}$ , atunci, după agitare, se observă trecerea precipitatului într'o soluție de culoare roșie-brună, caracteristică solului de hidroxid de fier.

Particulele disperse ale precipitatului, care au deobicei o slabă sarcină electrică, capătă sub acțiunea peptizatorului o sarcină electrică atât de mare și un nveliș lichid, încât forțele de atracție între moleculele precipitate se distrug și acestea, despărțindu-se una de alta, capătă mișcarea browniană; aceasta se poate observa cercetând fenomenul la ultramicroscop (Zsigmondy). E clar, că o asemenea despărțire a particulelor e posibilă numai în acel caz, când ele nu s-au contopit încă puternic în precipitat și cât nu s'a produs cristalizarea, care duce la contopirea lor în aggregate solide. Precipitatele proaspăt obținute satisfac toate aceste condiții și deobicei se peptizează ușor. Din motivele expuse, precipitatele vechi se supun cu greu peptizării. Îmbătrânirea precipitatelor duce la micșorarea capacitatei lor de peptizare.

Astfel, procesul de peptizare este inversul coagulării; în timp ce, în cazul coagulării, trebuie micșorat potențialul și până la un minim amumit, după care coagularea devine vizibilă, în cazul peptizării trebuie mărit potențialul și până la o oarecare valoare limită, pentru ca peptizarea să înceapă. Vom denumi acest potențial — **potențial critic**. Totuși, trebuie reținut că potențialul critic al coagulării și cel al peptizării nu coincid; pentru peptizare e necesară o valoare mai mare a potențialului și. În cazul coagulării, particulele mobile, încărcate electric, pierd, datorită coagulantului (electrolițului) prin adsorbția ionilor, sarcina lor, se atrag ușor în timpul cuciunirii și, adunându-se în fulgi, formează un precipitat. La peptizare, tot din cauza fenomenului de adsorbție a peptizatorului, particulele precipitatului capătă din nou sarcină electrică și trec în soluție. Acest punct de vedere asupra peptizării a fost emis de Zsigmondy<sup>1)</sup> și Svedberg<sup>2)</sup>.

În cazurile citate peptizatorul este un electrolit, care cădeodată este capabil să reacționeze cu substanța precipitată. Astfel, în exemplul nostru de peptizare a precipitatului de hidroxid de fier cu clorură ferică sau  $\text{HCl}$ , primul peptizator poate da

1) R. Zsigmondy, *Kolloidchemie*, 175, 177, 227, Leipzig 1925.

2) T. Svedberg, *Chimia coloiziilor* (trad.) 13 M. 1930.

prin reacție săruri bazice, solubile în apă, iar celălalt — clorură ferică. Trebuie reținut însă că această cantitate de peptizator necesară procesului de peptizare este mult mai mică decât cea necesară pentru reacția chimică respectivă. Astfel, în exemplul citat, pentru peptizarea  $\text{Fe(OH)}_3$  cu acid clorhidric trebuie numai 1/100 sau 1/1000 din cantitatea necesară pentru disolvarea precipitatului sub formă de  $\text{FeCl}_3$ .

La peptizare nu se observă raporturi stoichiometrice între cantitatea de peptizator și cantitatea de sol peptizat.

Asupra peptizării are influență nu numai ionul, care comunică sarcina sa particulei, ci și ionul opus, ceeace a fost observat de Wo. Ostwald<sup>1)</sup> la peptizarea hidroxidului de aluminiu cu diferiți acizi. Tabela 54 arată că procentul de precipitat de  $\text{Al(OH)}_3$  luat, se peptizează cu acizi anorganici, care au o concentrație aproape identică de ioni de hidrogen.

Tabelă 54

**Peptizarea hidroxidului de aluminiu cu acizi**  
(Concentrația acizilor 0,004N)

Acidul	pH	Cantitatea de $\text{Al(OH)}_3$ peptizat	
		în procente	în milimoli
HCl . . . . .	2,77	17,99	1,80
HBr . . . . .	2,71	4,65	0,47
HI . . . . .	2,70	4,16	0,42
HNO <sub>3</sub> . . . . .	2,74	4,40	0,34

Acizi ca acidul fosforic și sulfuric nu au acțiune peptizantă; mai mult decât atât, este suficient de a adăuga soluțiilor de hidroxizi o cantitate foarte mică din acești acizi, pentru a produce coagularea. Aceasta denotă că la acest fenomen au loc și reacții chimice.

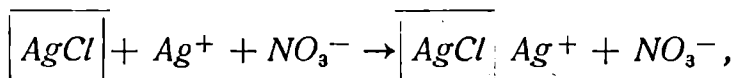
Lucrările lui Dumanschi și Simonova<sup>2)</sup> au arătat că la peptizarea precipitatului de  $\text{Fe(OH)}_3$  cu ajutorul  $\text{FeCl}_3$ , adăugarea unor mari cantități de sulfat alcalin nu numai că nu impiedica peptizarea, ci dimpotrivă, o ușura, în timp ce cantitățile mici de sulfat adăugat, opresc complet peptizarea.

1) Wo. Ostwald, K. Z. 43, 276 (1927).

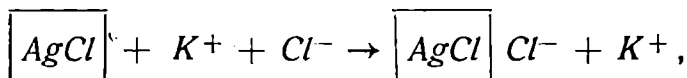
2) A. Dumanschi și V. M. Simonova. J. O. H. 1 1229 (1936).

De cantitatea peptizatorului adăugat depinde dispersiunea particulelor și anume: la cantități mici se formează particule de ordin superior, iar la cantități mari — particule primare; când cantitatea de peptizator devine considerabilă, pot începe reacții chimice.

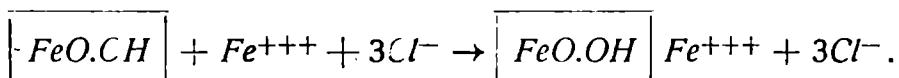
Procesul peptizării particulelor de structură cristalină cu electrolizi se explică foarte bine pe baza considerațiilor lui Fajans asupra adsorbției. De ex. peptizarea precipitatelor halogenurilor insolubile de argint se efectuează ușor cu concentrații mici de sare solubilă de argint ( $\text{AgNO}_3$ ) sau de halogenură alcalină ( $\text{KCl}$ ,  $\text{KBr}$ ). Aici, în cazul unui exces de ion  $\text{Ag}^+$  în soluție, se obține un sol electropozitiv, iar în cazul unui exces de ion de halogen, se obține un sol electronegativ. Reprezentând particula coloidală prin formula inscrisă în dreptunghi, se poate exprima peptizarea sării halogenate de  $\text{Ag}$  prin schema următoare:



din care se vede că din particulele electric neutre ale precipitatului de clorură de argint se obțin miceli încărcați pozitiv. În cazul unui exces de ioni de  $\text{Cl}^-$  se obține un sol electronegativ și anume :

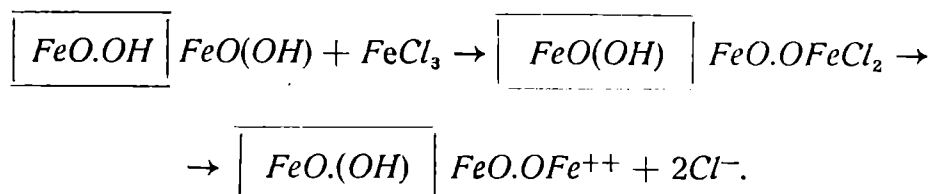


In acest din urmă caz s-au obținut miceli electronegativi de clorură de argint. În mod analog se pot prepara hidrosoluri pozitive și negative de  $\text{AgBr}$  și  $\text{AgI}$ . Peptizarea precipitatului de hidroxid de fier cu clorură ferică poate fi explicată prin aceeași schemă. Particulele de hidrat ferică constă din cristale foarte mărunte, în a căror rețea cristalină se găsesc atomi de fier. Din soluția peptizatorului pot pleca, pentru complectarea cristalelor, numai ioni pozitivi  $\text{Fe}^{+++}$  care, adsorbându-se (la cristalizare), dau un micel electropozitiv:



Acest caz de peptizare este în legătură cu o reacție chimică. Moleculele superficiale ale hidroxidului de fier reacționează cu

$\text{FeCl}_3$ , formând la suprafață săruri bazice, care, disociindu-se electrolitic, transmit micelului o sarcină electrică:



In mod analog poate fi explicată și peptizarea altor hidrați ai metalelor grele. Solul de hidroxid a fost cercetat foarte amânat înă încă de pe timpul lui Graham și acestui sol îi este consacrată o vastă literatură.

Din această literatură fac parte lucrările lui Duclaux<sup>1)</sup>, Malfitano<sup>2)</sup>, Pauli<sup>3)</sup> și alții. Din exemplele citate se vede că stratul superficial de molecule trimite ioni, conferind astfel o sarcină electrică micelului. Un astfel de strat, care se deosebește din punct de vedere chimic de nucleul interior al micelilor diferitelor săruri, poartă numele de **complex ionogen** (Pauli) și poate fi reprezentat sub formă de ion complex, legat solidar de suprafața particulei. De ex., pentru cazul solurilor de  $\text{AgCl}$  avem un ion complex  $(\text{AgClAg})^+$  legat de suprafață, și anionul lui, în echilibru cu el, care trece în stratul ionic difuz și în mediul intermicellar. Complexul ionogen  $[\text{AgClAg}]^+$ .  $\text{Cl}^-$  determină sarcina electrică pozitivă a hidrosolului de  $\text{AgCl}$ . În mod analog, complexul ionogen  $[\text{AgCl.Cl}]^- \text{K}^+$  determină sarcina negativă a hidrosolului de  $\text{AgCl}$ , obținut în prezența unui exces de  $\text{KCl}$ . În locul ionilor  $\text{Cl}^-$  și  $\text{Ag}^+$  pot fi ioni isomorfi. Aceleași complexe ionogene se formează și pe particulele altor halogenuri de argint. Solul electronegativ de  $\text{As}_2\text{S}_3$  are un complex de compozиția  $[\text{As}_2\text{S}_3 \cdot \text{HAs}_2\text{S}_4]^- \text{H}^+$ . Pentru peptizarea și obținerea hidrosolului nu este necesar ca toate punctele suprafeței să adsoarbă ioni respectivi ai peptizatorului. Fajans și Frankenberger<sup>4)</sup> au găsit că pentru prepararea solului de  $\text{AgBr}$  este suficient ca  $1/4$  până la  $1/10$  parte din suprafață să adsoarbă ionii  $\text{Br}^-$ .

Argila puternic dispersă, peptizându-se cu soluții slabe alcătuite, dă o turbureală stabilă. În acest caz, ionul hidroxil, ad-

1) J. Duclaux, C. r. 140, 1468, 1544 (1905); K. Z. 3, 126 (1908); J. chim. phys. 5, 29 (1907).

2) G. Malfitano, C. r. 139, 1221 (1904).

3) W. Pauli, E. Valko, Elektrochemie der Kolloide, Wien, 1929.

4) K. Fajans u. W. Frankenberger, Z. phys. ch. 105, 255, (1923).

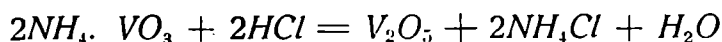
sorbindu-se, comunică particulelor argilei o sarcină negativă. Globulinele insolubile în apă se peptizează cu soluții de săruri alcaline. Aici sunt date numai câteva exemple de peptizare la adsorbția electrolitilor; în practică se întâlnesc multe asemenea exemple. Toate explică formarea potențialului și la adsorbția ionilor pe particulă.

Peptizarea, la spălarea precipitatelor este foarte asemănătoare cu cea precedentă și se explică prin aceleași fenomene.

In chimia analitică se cunoaște un sir de exemple, când, la spălare, precipitatul trece prin filtru. Deobicei, precipitatul se obține în prezența unui mare exces de electrolit, și în consecință este imposibilă formarea unui important strat ionic difuz și potențialul să fie mic. La spălare se produce o diluare puternică a soluției de electrolit, iar când concentrația va deveni într'atât de mică încât să se poată forma o considerabilă sferă ionică difuză, se va produce peptizarea cu formarea hidrosolu-lui. Acest fenomen de peptizare se observă bine la spălarea precipitatului de  $\text{AgCl}$  obținut prin reacția  $\text{AgNO}_3 + \text{NaCl}$ .

Următoarea experiență ilustrează o asemenea peptizare: un precipitat proaspăt obținut și spălat de sulfură de cadmiu se suspendă în apă și prin suspensia obținută se trece hidrogen sulfurat. Treptat, se produce peptizarea și se obțin soluri galbene de  $\text{CdS}$ .

Un alt tip de peptizare la spălare este prepararea hidrosolu-lui de pentaoxid de vanadiu, conform reacției:



și la spălarea ulterioară pe filtru a precipitatului roșu format. După ce se spală cea mai mare parte de  $\text{NH}_4\text{Cl}$ ,  $\text{V}_2\text{O}_5$  va începe să se disolve. În acest caz, particulele de  $\text{V}_2\text{O}_5$  reacționează la suprafață cu apa, dând acid vanadic, care rămâne adsorbit la suprafață, și formează un strat ionogen, compus din acidul  $(\text{V}_2\text{O}_5)_n \cdot \text{HVO}_3$ . Disociația acestui acid conferă micelului o sarcină negativă<sup>1)</sup>.

Ca exemplu de peptizare cu substanțe tensio-active, bazată pe fenomenul de adsorbție pură, se poate cita cazul peptizării cărbunelui animal cu acizi organici (acidul picric) sau cu săruurile acizilor, de ex. oleatul sau stearatul de natriu.

---

1) A. Dumanschi, J. R.F.H.O. 54, 803 (1923).

Caolina se peplizează cu acizi humici, oxidul de fier cu oleal de sodiu și oxidul de aluminiu cu alizarină<sup>1</sup>).

Aceste cazuri de peptizare au fost cercetate în capitolele despre emulsiile și suspensiile.

Mulți coloizi liofili sunt peptizatori buni, acțiunea lor peptizantă explicându-se prin formarea unui înveliș liofil în jurul particulei disperse.

Înălță de cazurile de disolvări coloidale cercetate, se cunoaște și cazul peptizării prin **autodisolvarea** substanței coloidale. Această formă de peptizare se observă la disolvarea sistemelor polidisperse, care au fracțiuni cu grade de dispersiune moleculare și coloidale. Fracțiunea moleculară, ușor solubilă, adsorbindu-se la suprafața celei dispersate coloidal, o peptizează și o trece în soluție. Avem un asemenea caz de peptizare la disolvarea agarului, a gelatinei (Lipatov) în apă, a cauciucului și a derivațiilor celulozei în solvenți organici.

În exemplele arătate, peptizatorul era o oarecare substanță chimică definită. Se cunosc însă cazuri, când, pentru peptizare, sunt necesare două substanțe, fiecare în parte nefiind peptizatori; în acest caz, peptizarea se numește **complexă**. De ex., hidroxidul de fier nu se peptizează, sau se peptizează foarte puțin numai cu zahăr sau numai cu alcaline, în timp ce amestecul de zahăr cu o substanță alcalină este un peptizator foarte bun, iar soluțiile obținute se încarcă negativ.

După cum au arătat numeroasele experiențe făcute de autor și elevii lui<sup>2</sup>), un fenomen analog de peptizare se observă și la alți hidroxizi ai metalelor grele.

Înălță de zahăr se pot lua și alți compuși oxigenați: alcooli poliatomici, diverse zaharuri, oxiacizi. Este foarte leșne să studia toate aceste cazuri de peptizare, folosind diagrama triunghiulară (pag. 318).

### 3. REGULA PRECIPITATULUI

Hardy<sup>3</sup>) și Mellanby<sup>4</sup> (1905) au arătat că solubilitatea globulinelor la peptizarea cu electrolizi, la o concentrație și cantitate constantă de peptizator, depinde de cantitatea de precipitat luat

1) A. Buzagh, K. Z. 43, 220 (1923).

2) A. Dumanschi și V. M. Simonova, J.R.F.H.O. 52, 769 (1930); J. O. H. I, 209 (1931); A. Dumanschi și L. Crapivina, J.R.F.H.O. 62, 1713 (1931); A. Dumanschi și B. Pucicovschi, J.R.F.H.O. 62, 2249 (1930) și a.

3) W. B. Hardy Britt. J. Physiol. 33, 251 (1905).

4) J. Mellanby, Britt. J. Physiol. 33, 358, (1905).

(o oarecare cantitate de precipitat nu se disolvă), ceea ce nu se observă la o solubilizare obișnuită: concentrația unei soluții saturate depinde de temperatură, iar nu de cantitatea de substanță care se disolvă. Actualmente se atribue o mare importanță acestei dependențe<sup>1)</sup>. Wo. Ostwald<sup>2)</sup> și Buzagh<sup>3)</sup> au stabilit o relație între cantitatea de precipitat luat pentru peptizare și cantitatea de substanță ce a trecut sub formă de sol (la o cantitate constantă de peptizator) și au denumit această relație **regula precipitatului**. Această regulă constă din următoarele: 1) solubilizarea coloidală la peptizare depinde de cantitatea de precipitat ce se solubilizează, 2) la mărirea cantității de precipitat, solubilitatea întâi crește, atingând un maxim, iar apoi scade la zero.

Compoziția și proprietățile solurilor obținute la diverse raporturi între precipitatul luat și peptizator nu sunt aceleași; cu cât este mai mult precipitat, cu atât solul e mai puțin dispers.

O consecință a regulei precipitatului este coagularea solului din cauza adăugării unui exces de precipitat, din care, prin peptizare, s'a obținut solul. Astfel, solul de hidroxid de aluminiu poate fi coagulat printr'un exces de hidroxid de aluminiu sau alt hidrat analog.

Dacă vom lua cantități egale de precipitat și le vom peptiza cu diferite cantități de peptizator, păstrând tot timpul constant volumul soluției, adică variind concentrația  $c$ , atunci, la cantități mici de peptizator, se va produce numai o adsorbție a acesteia fără ca precipitatul să se dissolve (nu se formează sol); la o mă-

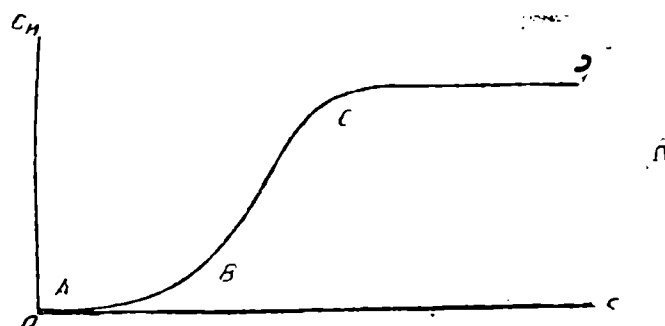


Fig. 114.

1) S. P. L. Sörensen, J. Ann Ch. Soc. 47, 457 (1925).

2) W. Ostwald, K. Z. 41, 163 (1927); 43, 227, 249 (1927)

3) A. Buzagh, K. Z. 43, 215 (1927).

rire ulterioară a cantității de peptizator, se observă o mărire treptată a solubilității. La o cantitate și mai mare, solubilitatea crește repede, atinge limita și mai departe nu mai depinde de concentrația peptizatorului. Această relație se ilustrează bine prin curba OD (fig. 114). Partea inițială a curbei OA corespunde stadiului adsorbției peptizatorului; aici nu are loc solubilizarea,  $c_k = 0$ . Partea AB a curbei corespunde începutului peptizării — se obține un sol turbură cu particule puțin disperse (s'a atins potențialul critic). Partea BC a curbei corespunde peptizării cu obținerea solurilor, în special cu particule primare, din care a fost compus precipitatul luat. În sfârșit, partea CD a curbei corespunde situației în care procesul de peptizare s'a terminat, iar structura particulelor nu mai depinde de cantitatea de peptizator (particule primare). La cantități mari de peptizator se poate produce o reacție chimică între peptizator și substanța coloidală, iar corpul astfel obținut formează o soluție moleculară obișnuită. De aceea schema stadiilor prin care trece substanța ce se peptizează are următorul aspect:

Precipitat cu particule aproape complet lipsite de sarcină electrică; potențialul  $\zeta$  se apropie de zero.

Precipitatul adsoarbe peptizatorul; potențialul  $\zeta$  a crescut.

Precipitatul inițial a adsorbit peptizatorul; potențialul a atins valoarea critică;

începutul peptizării.

Sol polidispers

Sol cu particule primare.

Reacție chimică cu formarea unei soluții.

Soluție obișnuită a produselor de reacție.

În această schemă se arată că starea finală a sistemului este o soluție adevărată, dar nu trebuie să se credă că orice peptizator poate da o reacție chimică cu precipitatul și să formeze coruri într'adevăr solubile.

#### 4. VITEZA DE PEPTIZARE

Peptizarea se produce cu o viteză anumită, care însă nu este constantă în tot timpul procesului.

Începutul studierii cantitative a kineticii reacției de peptizare datează din anii 1920-1923<sup>1)</sup>. Să cităm exemplul peptizării

---

1) Wo. Ostwald u. U. Schmidt, K. Z. 43, 276 (1927).

$\text{Al}_2\text{O}_3$  în soluții de acid clorhidric de diferite concentrații (fig. 115) 0,01N HCl — curba 1; 0,05N HCl — curba 2; 0,04N HCl — curba 3. Relația între cantitatea de substanță peptizată (în %)

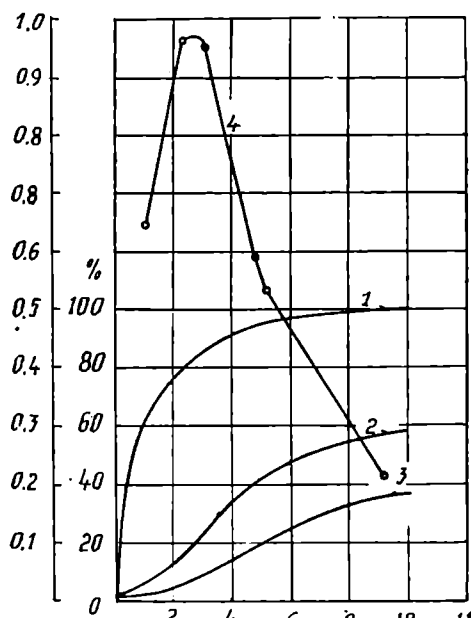


Fig. 115.

și timpul de peptizare  $\tau$  la cantități mari de peptizator are caracterul unei curbe care crește repede, amintind curba care exprimă cinetica reacțiilor de ordinul I. La concentrații mici de peptizator curbele 2 și 3 au o formă de S, amintind curbele care reprezintă mersul unei reacții autocatalitice de ordinul I. Punctul de inflexiune a curbei se deplasează cu atât mai departe de originea coordonatelor, cu cât mai mică este cantitatea de peptizator. Cercetările au fost efectuate asupra precipitatelor proaspăt obținute de hidrați ai metalelor grele.

Buzagh<sup>1)</sup> dă o expresie matematică a vitezei.

$$\frac{dx}{d\tau} = (k + k'x)(x_{\infty} - x), \quad (129)$$

unde  $x$  este cantitatea de substanță peptizată după timpul  $\tau$ ;  $x_{\infty}$  cantitatea limită de substanță, care se poate peptiza, corespunzătoare timpului  $\tau \rightarrow \infty$ ;  $k$ ,  $k'$  — constante care depind de cantitatea de precipitat și de concentrația peptizatorului.

Ecuația (129) corespunde curbelor 2 și 3 în formă de S, (fig. 115). Variația vitezei de peptizare trece cu timpul printr'un maxim, după cum se vede pe curba 4, corespunzătoare curbei 3. Curbele 2 și 3 și ecuația (129) arată că în acest caz procesul decurge analog unei reacții chimice autocatalitice de ordinul I. Experiența arată că aceasta are loc în acele cazuri când peptizarea este legată de o îmbibare prealabilă a precipitatului. Când

1) A. Buzagh, K. Z. 44, 156 (1928); 78, 284 (1937).

îmbibarea este mică, sau când concentrația peptizatorului este mare, adică  $k > k' x$ , atunci ecuația (129) ia forma:

$$\frac{dx}{d\tau} = k(x_\infty - x);$$

integrând-o, obținem:

$$k = \frac{1}{\tau} \ln \frac{x_\infty}{x_\infty - x}$$

În acest caz, viteza  $\frac{dx}{d\tau}$  scade repede cu timpul.

Inafară de concentrația peptizatorului, asupra peptizării mai influențează și proprietățile chimice ale precipitatului și peptizatorului, cât și starea precipitatului — dispersiunea și un grad de cristalizare mai mare sau mai mic. De aceea, metoda de obținere a precipitatului influențează asupra capacitatei lui de peptizare.

Asupra peptizării are o mare importanță și amestecarea minuțioasă a precipitatului cu peptizatorul, ceea ce contribue în primul rând la o mai bună pătrundere a peptizatorului spre micii precipitatului, iar, în al doilea rând, contribue la desprinderea micelilor din ghemuri și trecerea lor în stare de soluție.

Înțuirea ultrasunetului<sup>1)</sup> accelerează simțitor peptizarea.

Temperatura arată o influență variabilă asupra vitezei de peptizare, fără deobicei, viteza de peptizare crește cu temperatură<sup>2)</sup>.

## 5. ANALIZA FIZICO-CHIMICĂ A PEPTIZĂRII

După cum s-a mai menționat, particularitatea caracteristică a solurilor constă în aceea că ele sunt sisteme cu trei componente. Ele se compun din trei elemente: fază dispersă, mediu de dispersiune și stabilizator (peptizator sau emulgator). De aceea, studiul complet al sistemelor coloidale trebuie să se facă după regulile analizei fizico-chimice a unui sistem cu trei componente. Folosind această metodă și aplicând diagramele respective este ușor de studiat fenomenul peptizării. Prin studiul echilibrului

1) N. Sato u. S. Watanabe, K. Z. 50 (1935); 78, 277 (1937).

2) J. Lisiecki, Roczn. chm., 12, 815 (1932); Wo. Ostwald u. W. Gramm, K. Z. 62, 180, 324; 63, 93 (1933).

sistemelor chimice complexe s'a creat aşa numita analiză fizico-chimică, care se aplică actualmente pe scară mare în chimia teoretică și practică. Dăm expunerea acestei metode după academicianul Curnakov<sup>1)</sup>.

Problema fundamentală a analizei fizico-chimice este cercetarea cantitativă a însușirilor la variația consecutivă a compoziției unui sistem în echilibru al cărei rezultat este construirea grafică a diagramei „compoziție-însușire”.

Astfel apare o metodă geometrică de cercetare a transformărilor chimice. Obținem un model geometric exact al acelei funcțiuni, care trebuie să reprezinte relația între factorii fizici și chimici, care determină starea sistemului.

La studiul sistemelor coloidale, analiza fizico-chimică nu se aplică aproape deloc în acel sens larg care se observă în alte domenii ale chimiei. Existau numai unele slabe încercări de aplicare în anumite cazuri particulare. De exemplu, Wo. Ostwald<sup>2)</sup> a studiat fenomenul de stratificare în sistemele coloidale, folosindu-se de metoda triunghiului lui Gibbs; apoi, de aceeași metodă s'a folosit McBain<sup>3)</sup> la cercetarea săpunurilor și, în sfârșit, în ultimul timp, Mardles<sup>4)</sup> a aplicat triunghiul lui Gibbs la studiul solubilității derivațiilor celulozei în solvenți miciști.

În laboratorul autorului<sup>5)</sup>, analiza fizico-chimică a fost aplicată în mod sistematic la studiul a numeroase probleme din chimia coloidală.

Ca sistem de coordonate pentru construcția diagramei, s'a luat un triunghi echilateral. Vârfurile triunghiului reprezintă compoziții puri, oricare din punctele dăre laturile triunghiului reprezintă un sistem de două componente, iar punctele din interiorul triunghiului — un sistem de trei componente A, B și C (fig. 116).

Să luăm un punct oarecare O din interiorul triunghiului și să ducem din el perpendicularele  $h_a$ ,  $h_b$  și  $h_c$  pe laturi. Pe baza proprietății geometrice a triunghiului echilateral, suma perpendicularelor duse din orice punct este o valoare constantă, egală cu înălțimea triunghiului, adică:

1) N. Curnakov, Introducere în analiza fizico-chimică, L. 1925.

2) Wo. Ostwald, K. Z. 43, 131 (1927).

3) J. W. McBain, Colloid Chemistry J. Alexander, 1, 137 (1926).

4) E. W. Mardles, K. Z. 49, 11 (1929).

5) A. Dumanschi, J. R. F. H. O. 62, 1643 (1930); Usp. chim. 1290 (1932); Comunicări la institutul național de cercetări pt. chimia coloizilor, Voronej, Nr. 1, 5 (1934).

$$h_a + h_b + h_c = H.$$

Pe baza aceasta, compozitia cantitativă a sistemului, reprezentat prin punctul O, va fi egală cu suma înălțimilor  $h_a + h_b + h_c$  adică compozitia sistemului va consta din cantitatea  $h_a$  de substanță A,  $h_b$  de substanță B și  $h_c$  de substanță C. Diagrama se construiește în modul următor: din vârful B se duce o perpendiculară care se împarte în câteva părți egale (10 sau 100). Prin punctele obținute se duc drepte paralele cu laturile.

Se obține o serie de puncte de intersecție a acestor drepte, corespunzătoare compoziției sistemului reprezentat de acest punct.

Acum se cercetează din punct de vedere cantitativ o proprietate oarecare a sistemului a cărui compoziție este reprezentată prin punctele triunghiului; de exemplu, se determină solubilitatea substanței obținute și această valoare se înseamnă în punctul respectiv. Punctele de egală solubilitate se unesc prin drepte și se obține diagrama solubilității sistemului de trei componente. Proprietatea exprimată cantitativ se poate lua și pe perpendicularele duse din puncte și duce prin vârfurile perpendicularelor un plan — se va obține o diagramă spațială: solubilitate — compoziție. Experiența se conduce în modul următor: se iau trei componente și se amestecă întotdeauna în aşa fel încât suma în greutate, socotită în grame, moli sau volum să fie întotdeauna o mărime constantă, iar raportul A: B: C să corespundă compoziției punctelor triunghiului.

Această metodă ne dă, pentru sistemele coloidale, într'un mod foarte sugestiv, un tablou complet al înșuirilor sistemului pentru toate raporturile cantitative ale substanțelor. Prin această metodă se poate studia, de exemplu, fenomenul emulsiorii, peptizării și a.

Trebue însă avut în vedere, că în timp ce în sistemele cristaline se studiază prin această metodă sisteme care sunt deja în echilibru, în sistemele coloidale, unde există fenomenul de

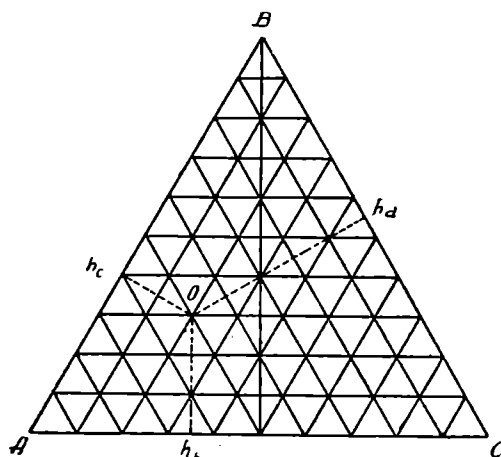


Fig. 116.

îmbătrânire, diagramele obținute caracterizează un moment determinat din viața sistemului.

Studiind variația proprietăților cu timpul și introducând-o în triunghi vom obține o imagine complextă a transformărilor care se produc în sistemul coloidal pe întată durată vieții lui. Trebuie reținut că aplicarea legii fazelor la sistemele coloidale întâmpină dificultăți. Soluțiile coloidale, spre deosebire de cele adevărate, sunt sisteme polifazice.

La cercetarea fenomenului de **peptizare** trebuie studiată influența a trei componente: a peptizatorului, a substanței și a mediului. Pentru aceasta se pregătește din timp o suspensie a substanței în apă (de concentrație pe cât posibil de mare) și soluția de peptizator. Apoi se desenează sistemul de coordinate. Alegând pentru amestec un volum cât mai comod — 10 sau 10<sup>3</sup> cm.<sup>3</sup> — se fac amestecuri pentru toate punctele diagramei, înținând seama mereu că volumele amestecurilor trebuie să satisfacă întotdeauna condiția:

$$V = V_{\text{peptizator}} + V_{\text{suspensie}} + V_{\text{mediu}}$$

Astfel, vârful A va reprezenta substanța, vârful B, mediu și C, peptizatorul. Pe dreptele paralele cu AC se vor afla punctele amestecului cu o cantitate constantă de mediu, de ex. de apă. Pe dreptele paralele cu BC se vor găsi punctele amestecurilor cu o cantitate constantă de substanță, iar pe paralele la AB — punctele amestecurilor cu o cantitate constantă de peptizator.

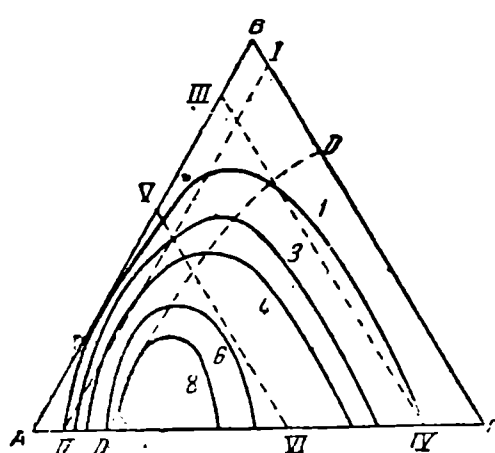


Fig. 117.

In fig. 117 este reprezentată diagrama peptizării hidroxidului de fier<sup>1)</sup> cu  $\text{FeCl}_3$ . Pe diagramă s'a luat cantitatea de  $\text{Fe}_2\text{O}_3$  peptizat (grame în 100 cm<sup>3</sup>). Liniile continue prezintă linii de egală concentrație a solului, isopepte, corespunzătoare solubilității 1,0; 3,0; 4,0; 6,0; 8,0; grame substanță în 100 ml. Aceste isopepte sunt notate în fig. 117 cu cifre corespunzătoare indicilor de

1) A. Dumanschi și V. Simonova, J. O. H. 1 2,09 (1931); K. Z. 6), 39 (1932).

solubilitate (1, 3, 4, 6, 8). Linia punctată DD delimită domeniul peptizării totale. Suprafața DABD reprezintă domeniul de precipitare în prezența precipitatului. Din partea inferioară a diagramei se vede că, în acest caz, la o cantitate mare de precipitat, peptizarea scade în apropierea lui A și scade deasemenea și la diluarea peptizatorului în apropierea vârfului B.

Regula precipitatului (a lui Buzagh-Ostwald) se deduce ușor din diagramă dacă se cercetează solubilitatea în lungul dreptelor paralele cu BA, de ex. după dreapta I-II, adică o cantitate variabilă de precipitat și o cantitate constantă de peptizator; din diagramă se vede că pornind de la punctul I spre punctul II (cantitatea de precipitat de  $\text{Fe}_2\text{O}_3$  crește) trece printr-o peptizare crescândă, intersectăm isopeptele 1, 3, 4, ajungem în domeniul

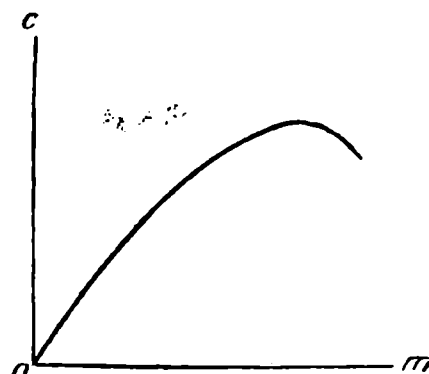


Fig. 118.

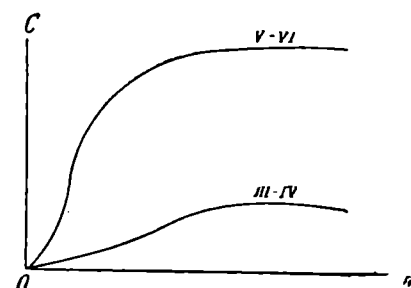


Fig. 119.

solubilității maxime și apoi, la creșterea ulterioară a cantității de precipitat, solubilitatea scade în direcția punctului II. Aceasta se vede bine pe fig. 118, unde pe axa absciselor s'a luat cantitatea  $m$  de precipitat de  $\text{Fe}_2\text{O}_3$ , iar pe axa ordonată  $c$ , solubilitatea lui  $c$ .

Pentru a studia solubilizarea la peptizare în funcție de variația cantității de peptizator, să luăm intersecțiile triunghiului după dreptele cantităților constante de  $\text{Fe}_2\text{O}_3$ , adică după dreptele paralele cu latura BC, de ex. III-IV sau V-VI (fig. 117). Solubilitatea crește la început încet, apoi repede și ajunge la o valoare constantă la peptizarea totală. Curvele III-IV și V-VI, arătate în fig. 119, dă o imagine a acestei variații (pe axa abscliselor s'a luat cantitatea  $n$  de peptizator).

Pentru a studia influența prezenței unui electrolit străin, ca mediu, se ia în locul apei pure o soluție de sare. Fig. 120 repre-

zintă diagrama pentru cazul peptizării aceleiași cantități de  $\text{Fe}_2\text{O}_3$  în prezența  $\text{LiCl}$ , ca și în experiența de peptizare numai cu clorură ferică. În acest caz peptizarea decurge mai greu — isopeptele coboară înspre baza AC a triunghiului, iar în apropierea vârfului, unde cantitatea de sare este maximă, nu se observă deloc peptizare, ci se produce numai adsorbția  $\text{FeCl}_3$  — isopeptele sunt negative; aceasta se vede bine pe fig. 121, dacă ne deplasăm pe dreptele paralele cu BC de cantitate constantă de precipitat (vezi fig. 120). În acest caz, la cantități mici de peptizator, curba de absorbție trece sub axa absciselor;  $\text{LiCl}$  este un anti-

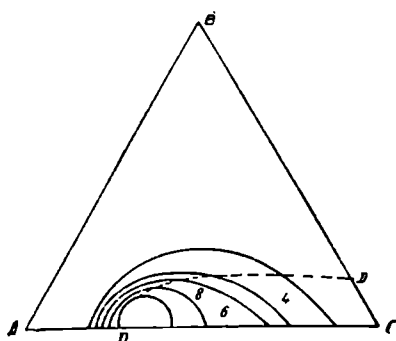


Fig. 120.

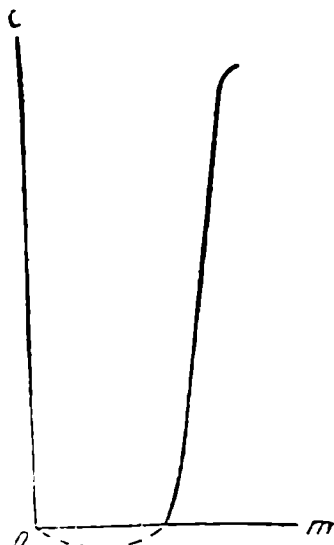


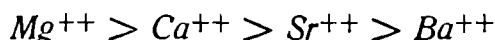
Fig. 121.

peptizator.

Dacă luăm în locul clorurii de litiu,  $\text{KCl}$  și  $\text{NaCl}$  atunci, după acțiunea peptizantă, primul loc îl ocupă  $\text{LiCl}$ , mult mai slab acționează  $\text{KCl}$ , iar  $\text{NaCl}$  nu arată aproape nicio acțiune, adică se obține seria:



Comparând acțiunea ionilor bivalenți ai metalelor alcaline pământoase sub formă de cloruri, obținem seria:



Acțiunea anionilor monovalenți ( $\text{Cl}^-$  și  $\text{Br}^-$ ) este aproape imperceptibilă. Acțiunea ionului  $\text{SO}_4^{--}$  este foarte energetică; cantitatea mică de ion  $\text{SO}_4^{--}$  oprește complet peptizarea precipitatului  $\text{Fe}_2\text{O}_3$ .

Diagramele de peptizare obținute dau o imagine complectă

ă fenomenului cercetat. În diagramă se exprimă acest proces la toate combinațiile posibile ale componentelor. Având o astfel de diagramă, se poate rezolva o parte din probleme, de ex., după cum am văzut, regula lui Buzagh-Ostwald se deduce ușor din diagramea lui Dumanschi.

Rezultatele cantitative obținute prin studiul diagramei triunghiulare de peptizare, au făcut să se pună problema anti-peptizatorului — o substanță care inhibează peptizarea. Problema reglării peptizării are o mare importanță în tehnică atunci când, la alcălinizarea unui cristaloid într-un sistem complex, are loc simultan procesul de peptizare care trebuie opri. De exemplu, în procesul fierberii sucului de zahăr, la extragerea zahărului prin difuziune trebuie impiedicată peptizarea pectinei și a altor substanțe.

În afară de peptizarea hidroxidului de fier, au fost studiate peptizarea albuminelor<sup>1)</sup> și amidonului<sup>2)</sup>.

O diagramă analoagă se aplică deasemenea și la studiul procesului formării emulsiilor. În acest caz, vârful A al triunghiului reprezintă substanța ce se emulsionează, B — mediul și C — emulgătorul. Se obține o diagramă cu isopepte dispuse în aceeași ordine.

## 6. SOLURILE CA ELECTROLIȚI

Punctele de vedere expuse asupra structurii micelului, permit să se considere solurile ca fiind asemănătoare unor soluții de electrolizi. Diferența (foarte mare) între aceste două sisteme constă în aceea că electrolitul este un compus chimic definit, pe când micelii sunt sisteme complexe, ale căror compozиie și însușiri depind de compoziția lichidului intermicelar; în acesta se găsesc întotdeauna niște electrolizi, care pot fi foarte greu îndepărtați din sol fără a î se distrugă slabilitatea.

Întrebuințarea membranelor coloidale (Duclaux, Dumanschi, 1905—1907), iar mai târziu a ultrafiltrelor (Bechhold, 1907) a permis o separare a mediului intermicelar, măsurarea conductibilității lui electrice  $K_1$  și, cunoșcându-se conductibilitatea electrică —  $K$  a solului înainte de filtrare, s'a putut determina conductibilitatea  $K_2$  a solului însuși:

$$K = K_1 + K_2.$$

1) A. Dumanschi, E. Antonovici și M. Silaeva, J. H. O. 2, 297 (1932); A. Dumanschi și T. Tiajelova, J. O. H. 4, 951 (1934); O. Golosova, Koll. J. 2, 507 (1936).

2) A. G. Cuțman și O. Golosova, Koll. J. 2, 501 (1936).

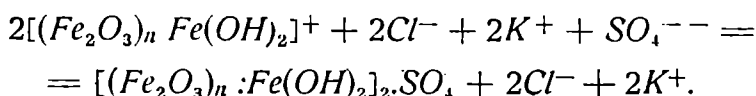
Comparând datele conforme conductibilității electrice cu determinările crioscopice ale solului și ale spațiului lui intermicellar<sup>1)</sup> s'a obținut imaginea noștunii de „greutate echivalentă“ a micelului, adică s'a arătat că în echilibru cu micelul se află un mare număr de ioni (ioni contrari).

Aplicarea determinării concentrației ionilor în soluri și a titrării electrometrice, au permis determinarea destul de precisă a caracterului complexului ionogen și a numărului de ioni care se găsesc, atât liberi în mediul de dispersiune, cât și în echilibru cu micelul (Pauli<sup>2)</sup> Rabinovici, Carghin, Pasanschi, Kruyt). Pe această bază s'au construit formulele micelilor, indicate de noi mai sus.

Acste formule arată că particula coloidală poate avea caracterul unui anion sau catiōn; miceli pot fi considerați ca o sare, un acid sau o bază, care, în soluție, se disociază în ioni.

Miceli electroliți pot reacționa analog ionilor, care reacționând între ei, pot da compuși insolubili.

Fenomenul coagulării va corespunde astfel obținerii unor compuși insolubili, iar înlocuirea ionilor prin adsorbție va corespunde unei reacții de schimb de ioni, de ex.:



Vedem că aici se obține un micel insolubil de hidroxid de fer cu un complex ionogen nedisociat de sulfat de fer și schimbul de ioni  $Cl^-$  și  $SO_4^{--}$  prin adsorbție.

---

1) J. Dulong, J. chim. phys. 7, 403 (1909); K. Z. 7, 73 (1910).

2) Wo. Pauli u. E. Valko, Elektrochemie der Kolloide, Wien, 1929.

## **XXIII. OBȚINEREA SISTEMELOR DISPERSE PRIN METODE CARE SUNT ÎN LEGĂTURĂ CU VARIATIA GRADULUI DE DISPERSIUNE**

### **1. METODA DISPERSĂRII**

Metoda dispersării presupune o mărunțire a substanței, ceea ce se efectuează prin cheltuirea unei energii oarecare. Este necesar de a cheltui energie, pentru a învinge forțele de atracție între moleculele corpului solid sau lichid ( vom denumi forțele de atracție între moleculele din interiorul corpului — **coeziune**) și pentru a rupe stratul superficial. Când avem de a face cu o bucată mare dintr'un corp, trebuie învinse în primul rând forțele de coeziune și numai o foarte mică parte din energie se cheltuște pentru distrugerea stratului superficial, adică pentru învingerea energiei superficiale. Când însă mărunțirea atinge un mare grad de dispersiune, atunci travaliul cheltuit pentru învingerea forțelor tensiunii superficiale devine considerabil și procesul de mărunțire trebuie condus într'un mod întrucâtva diferit, luându-se în considerație că trebuie micșorată influența forțelor superficiale. Aceasta se poate efectua prin introducerea de substanțe tensioactive care micșorează rezistența stratului superficial. Teoria acestei probleme a fost expusă mai sus.

După ce s'a obținut un sistem mărunțit, acesta trebuie stabilizat. Aceasta se poate realiza prin introducerea unei serii de substanțe care împiedică contopirea particulelor disperse obținute. Pelicula rezistentă de adsorbție care s'a format în jurul particulelor, cât și potențialul pe care l-a căpătat particula, împiedică contopirea.

S-ar părea că cea mai simplă metodă de dispersare ar trebui să fie simpla sfărâmare mecanică; totuși, numeroase experiențe au arătat că prin măcinarea uscată nu se poate obține un prăj ale cărui particule să fie mai mici decât  $50-5 \mu$ . Adăugarea unui lichid sau a unei substanțe oarecare, care nu reacționează chimic cu substanța ce se dispersează, contribușe în mare măsură

la procesul de dispersare, făcând posibilă obținerea particulelor de  $0\text{--}0,1 \mu$ .

De aceea, tehnica măcinării folosește câteva metode: 1) măcinare pur mecanică, 2) măcinare mecanică cu adăugarea unei substanțe neutre (care să nu aibă acțiune chimică) și 3) măcinare mecanică cu adăugare de substanțe care au acțiune chimică evidentă.

Corpul măcinat capătă multe proprietăți noi și prețioase și de aceea măcinarea se aplică pentru cele mai variate scopuri practice. Din acest motiv sunt necesare metode de măcinare comode și ieftine. Capacitatea de acoperire a coloranților și plenitudinea nuanțelor lor depind, de exemplu, de gradul de măcinare. În industria textilă, este indispensabilă o măcinare fină a coloranților insolubili (indigoul).

Măcinarea fină este necesară în industria alimentară (cacao, ciocolată), la prepararea grafitului pentru unsori, la îmbogățirea minereurilor, etc.

Măcinarea mecanică se poate efectua în mojare și mori obișnuite și deasemenea în mori coloidale, special construite.

Prima moară coloidală a fost construită în anul 1920 de Plausson. Materialul de măcinat se introduce într-o asemenea moară împreună cu un lichid. Pentru a se evita o încălzire prea puternică se întrebunează răcirea, căci experiența a arătat că temperatura nu trebuie să treacă de  $60^\circ$ .

P. Weimarn<sup>1)</sup> a fost unul dintre primii care au cercetat condițiile de dispersare ale unui corp solid prin frecarea în mojar a unor oxizi insolubili, a unor sulfuri și cloruri în prezența zahărului și a altor compuși organici și a arătat că adăugarea de substanțe, care nu reacționează chimic, ușurează măcinarea în mare măsură.

Actualmente, este clară cauza datorită căreia măcinarea în prezența lichidelor și a soluțiilor de substanțe tensio-active, care udă corpul măcinat, decurge cu succes. Se produce o micșorare a durității, ceeace contribue la măcinare. În afară de aceasta, conform cercetărilor lui Dereaghin<sup>2)</sup>, lichidele menționate pătrund în microfisiurile care se produc la măcinare, largindu-le și contribuind astfel la desfacerea particulelor mari, obținute prin măcinare, în particule mai mici.

Experiențe analoge de măcinare au fost efectuate în laboratorul lui Svedberg<sup>3)</sup> (prin frecarea sulsului cu ureea și disol-

1) P. Weimarn și Stein, Bul. S. P. B. Institutului de mină 4, 153 (1913).

2) B. Dereaghin și M. Cusacov, Isv. AN. U.R.S.S. OMEN 746 (1935).

3) N. Pihlblad, Z. phys. Ch. 81, 420 (1912).

varea ulterioară a amestecului în apă se obține o suspensie (leșul de stabilă de sulf). Printr-o metodă analoagă, s'a făcut măcinarea colorantului de anilină 2B, insolubil în apă. Măcinând îndigoul și sepia cu lactoză, Neuberger<sup>1)</sup> a obținut suspensii stabile în apă, iar la măcinarea prafurilor de Ag, Au, Cu a obținut suspensii nestabile.

O măcinare foarte bună se produce la agitarea mecanică a prafurilor metalice în diserite lichide. Se obțin suspensii foarte concentrate. De exemplu, solul de plumb în alcool ajungea până la concentrații de 10% și avea o viscozitate mare<sup>2)</sup>.

Calcitul în soluții apoase și tolue-nice de substanțe tensioactive (oleat de Na, roșu de alizarină în apă și acid oleic în toluen) se macină până la un grad mai înalt de dispersiune decât în solvent pur (N.Lubman). Cuarțul se obține mult mai ușor în formă de pulbere în soluții de zahăr și de  $MgCl_2$  decât în apă pură.

Ca exemplu de aplicare a acțiunii chimice a lichidului la măcinare pot fi citate metodele de obținere a suspensiilor de  $SiO_2$ ,  $WO_3$ ,  $V_2O_5$  și  $TiO_2$  în apă, elaborate de Wegelin<sup>3)</sup>. Acești oxizi reacționează într-o oarecare măsură cu apa, dând mici cantități de acid, care conferă stabilitate particulelor suspensiei, dându-le sarcină electrică. Nu s'a reușit să se obțină în aceleasi condiții suspensiile de  $CuO$ ,  $PbO_2$ ,  $ZnO$ ,  $Fe_2O_3$  și  $CaF_2$ .

Wedekind<sup>4)</sup> și Kuzel<sup>5)</sup> au întrebuințat substanțe care au o acțiune chimică netă asupra corpului ce se macină. Prin metoda lui Kuzel s'a preparat o masă plastică de metale, dispersată coloidal, din care s'au obținut prin presare prin orificii inguste fire subțiri pentru becuri electrice.

Procedeul obținerii preparatelor după Kuzel constă din următoarele. Metalul (W, Mg, Si, Zn, Ti) se pulverizează prin frecare, apoi se tratează consecutiv cu un acid și cu alcalii, spălându-se în apă între aceste două operații. Prin aceasta se produce, fără îndoială, o reacție chimică. Aceasta contribue la mărunțirea particulelor.

Din aceste metode fac parte și metodele de emulsionare în prezența unor emulgatori. Cercetările lui Nordlund<sup>6)</sup>, referitoare la obținerea unei emulsii de mercur, au arătat că emulsionarea poate fi efectuată prin două procedee: 1) pulverizarea picăturilor

1) H. Neuberger, K. Z. 43, 65 (1927).

2) E. Andronikasvili și I. Tzabadze, Koll. J. A. 323 (1941).

3) G. Wegelin, K. Z. 14, 65 (1914).

4) E. Wedekind, Z. Electroch. 9, 630 (1903).

5) H. Kuzel, Ost. Pat. Kl. 125 No. A, 2573 (1906).

6) J. Nordlund, K. Z. 26, 121 (1920).

și 2) formarea mai întâi a unor pelicule, care apoi prin rupere, dau naștere la picături.

Pentru a obține o emulsie după primul procedeu, mercurul se lasă să iasă cu presiune dintr'un capilar subțire pe un perete lateral de sticlă, spărgeându-se astfel picăturile.

Pentru a obține o emulsie după al doilea procedeu, Nordlund trecea o soluție apoasă de citrat de poftasiu printr'un tub de sticlă, cusudat în mercur. Se formau bule, care aveau un înveliș de mercur. Bulele de mercur se spărgeau, dispersând puternic mercurul.

In primul caz, emulsionarea se producea mai greu decât în al doilea. Se formează întâi o bulă de mercur, adică se obține o peliculă de mercur — un sistem cu grad de dispersiune unidimensional, care trăce într-un sistem cu particule disperseate tridimensional. In practică avem adesea de a face cu acest caz de dispersare, când există o spumă care se distrug, cum se întâmplă de pildă, la fermentare. Plesnind, spuma produce în clădiri un aer foarte saturat cu umedeală, căci în acest caz are loc nu numai evaporarea, ci și formarea de ceată prin ruperea învelișului aproapei spumei.

Dispersarea la distrugerea spumei se poate observa bine la ruperea bulelor de săpun într'o cameră obscură. La iluminarea laterală a bulei cu lumină puternică, se vede bine formarea ceii în momentul distrugerii. Picăturile rezultate se mișcă cu o viteza foarte mare — de la 14 până la 91 m pe secundă — iar viteza este cu atât mai mare cu cât pereții bulei sunt mai subțiri și raza ei mai mică<sup>1)</sup>.

Z. P. Cisova a reușit să obțină în laboratorul autorului, într'un mod foarte simplu, un praf de mercur, agitând mercurul cu o soluție de  $FeCl_3$ . Emulsia obținută se separă de lichid, se spală cu apă și se usucă. Mercurul uscat se păstrează un timp îndelungat sub formă de praf cenușiu. Praful de mercur conține și fier (stabilizator).

Trebue menționate cazurile interesante de dispersare sub influența sarcinii electrice a suprafeței. In acest caz, sarcina electrică, disponându-se pe suprafață și producând o întindere a acesteia, micșorează tensiunea superficială. Această sarcină a suprafeței unei vâne de lichid contribue în mare măsură la dispersare. Auerbach<sup>2)</sup> a arătat că în acest moment se produce o dispersare

1) Ch. Boys, Bulele de săpun (trad.) 101, Petrograd, 1919.

2) R. Auerbach, K. Z. 38, 343 (1927).

puternică a lichidului — se formează aerosoli. Pe această bază, Auerbach a elaborat o metodă de dispersare a combustibilului lichid (1926).

O asemenea dispersare se observă și la deplasarea unei vâne încărcate electric într'un lichid rău conducător. Se obține astfel o emulsie puternică dispersată. O vână de apă încărcată electric, în ulei de parafină dă naștere la o emulsie puternică dispersată de apă în ulei.

In ultimul timp, pentru dispersarea corpurilor solide și lichide se folosește ultrasunetul (vezi pag.). De ex., dacă se iau două lichide nemiscibile (mercur-apă, ulei-apă), în câmpul puternic al ultrasunetului se obțin emulsii concentrate. În afară de corpurile lichide, în apă se pot dispersa și corperi solide, ca de ex. Sn, Pb, Bi, Cu, Ag și obține solurile lor și particule de ordinul  $10^{-6}$  cm. (Rjevchin și Ostrovski). Socolov a obținut soluri de Pb, Al, Zn, Cu, Fe, nu numai în apă, ci și în alte medii. Klaus a obținut soluri puternic disperse de Al, Cr, Ni, Cu, Zn, Hg, Ag, Pb, Bi, Pt, Au.

Din această enumerație se vede marea importanță pe care a dobândit-o ultrasunetul în domeniul chimiei coloidale<sup>1)</sup>.

## 2. METODA DE CONDENSARE

Faptul că sistemele coloidale se situează după gradul lor de dispersiune, între sistemele omogene și cele polifazice (bifazice) ne dă o indicație directă asupra formării acestor sisteme în punctele de trecere. Astfel, la temperaturile critice de fierbere a lichidelor, trecerea lor în starea de vaporii este precedată de starea de dispersiune coloidală. Același lucru se observă și la temperatura critică de disolvare a două lichide nemiscibile. În jurul temperaturii critice se obțin, în primul caz, sisteme de tipul aerosolurilor, iar în al doilea caz, emulsii.

Cercetând sistemele coloidale din acest punct de vedere, observăm că ambele cazuri de formare au loc în jurul temperaturii critice (mai sus sau mai jos); aici se observă formarea unui sistem coloidal la procesul de dispersare sau condensare. Din aceeași metodă face parte și modul de obținere a solurilor, suspensiilor și emulsiei, prin care vaporii sau soluția se supun unei răciri

1) G. Schmidt Usp. Chim. 5, 520 (1936); B. Bull u. K. Söllner K. Z. 60, 253 (1932); N. Sata, K. Z. 71, (1935); Rjevchin și Ostrovski, J. F. H. 6, 73 (1935); S. S. Urazovski și I. G. Polotchi, Koł. J. 5, 77 (1940).

puternice, sau se schimbă solventul cu un altul în care substanța să treacă din starea de soluție într-o stare de insolubilitate aproape completă.

Cercetând din acest punct de vedere general momentele de formare a solurilor, nu va fi greu de dat pentru cazurile ce ne interesează metodele de obținere a sistemelor coloidale prin dispersare și condensare.

A două condiție, care nu trebuie uitată, este menținerea gradului de dispersiune obținut, ceeace este posibil prin introducerea unor stabilizatori corespunzători, care conseră particulei o sarcină, un înveliș de adsorbție și o sferă lichidă, formată din mediul de dispersiune. Drept exemplu de condensare a moleculelor într-o particulă cu dispersiune coloidală, vom cerceta condensarea vaporilor de metale în gaze sau lichide.

Nordlund a trecut vaporii de mercur prin apă și a obținut, cătorăț condensării vaporilor de Hg în vaporii de apă, o emulsie de mercur în apă, cu un grad de dispersiune destul de mare. Prin metoda trecerii vaporilor prin apă se pot obține<sup>1)</sup> soluri de S, Se și Te. Fürth<sup>2)</sup> a condensat pe suprafața apei sau a unui lichid organic, vaporii de metal, formatați într-un arc voltaic, între electrozi metalici care se găseau în aer deasupra suprafeței lichidului și a obținut hidrosoluri de Ag, Pt, Au și Cu.

În mod analag s-au obținut soluri în alcool, benzen și glicerină.

Roghinschi și Șalnicov<sup>3)</sup> au dat o metodă mai perfecționată, bazată pe condensarea vaporilor metalici și nemetalici în vid pe suprafața unui lichid puternic răcit (cu aer lichid). Se obțin soluri cu un grad înalt de dispersiune, cu particule care conțin numai 27 atomi. S-au obținut hidrosoluri de Hg, Cd, S, P și organosoluri de Hg, Cd, Na, K, Rb, Cs în benzen, hexan, xilen, toluen, eter și alcool. Solurile obținute au fost stabile, foarte pure, dar polidisperse. Solurile metalelor alcaline au fost electronegative. Tot de aici fac parte și metodele clasice ale lui Bredig<sup>4)</sup> și Svedberg<sup>5)</sup> de pulverizare a metalelor în arcul voltaic sub lichid. În acest proces, vaporii de metal obținuți în arcul voltaic sub lichid, s-au condensat atât în vaporii lichidului, cât și pe suprafața lui în formă de bule, care înconjurau electrozii și dădeau soluri.

1) A. Guibier, Z. anorg. Ch. 152, 163; 155, 199 (1925); 158, 99 (1926).

2) R. Fürth, K. Z. 34, 224 (1924).

3) S. Roghinschi și A. Șalnicov, K. Z. 43, 67 (1927); J. F. H. 4, 367 (1933); A. Rabinovici și A. Carguin, J. F. H. 2, 63 (1931).

4) G. Bredig, Z. anorg. ch. 951 (1898); Z. Elektroch. 4, 514 (1898).

5) Th. Svedberg, K. Z. 1, 229, 257 (1906).

Pentru pulverizarea electrică Bredig lua două sârme metalice 1 și 2 (Fig. 122), ale căror capete erau cufundate în apă (sau în alt lichid), pe care le lega printr'un resort cu o sursă de curent electric. Trecând un curent continuu de 5—10 A și 80—110 V, el obținea sub lichid un arc voltaic, datorită căruia se produceau în lichid vâne de sol metalic. Cum lichidul se încălzea, vasul se plasa într'un alt vas, umplut cu ghiață. Prin această metodă s'a putut obține ușor hidrosoluri de Ag, Au, Pt; adăugarea la apă a unei mici cantități de NaOH permite să se obțină soluri mai disperse, bine colorate. Solul rezultat este impurificat cu particule mai mari, iar în cazul lichidelor organice, el este impurificat cu produsele descompunerii lor prin încălzire.

Svedberg<sup>1)</sup> (1907) a studiat sistematic procesul obținerii solurilor cu ajutorul arcului voltaic, împărțind procesul în două: 1) obținerea arcului și evaporarea în el a materialului din care sunt făcuși electrozii, cât și fenomenul de pulverizare a particulelor de metal topit care însoltește fenomenul și 2) condensarea vaporilor obținuți în vaporii mediului lichid din jurul electrozilor și la limita de separație între două faze: lichid și vapor. O atenție deosebită a fost îndreptată spre aducerea la minimum a procesului descompunerii lichidului. S'a stabilit că arcul produs de un curent de înaltă frecvență ( $10^{-7}$  până la  $10^{-5}$  perioade pe secundă) produce intotdeauna în lichide soluri mai disperse și mai pure decât un arc de curent continuu sau de joasă frecvență. Cantitatea de metal care trece în sol, dispersiunea lui, calitatea metalului cu un grad mic de dispersiune și descompunerea lichidului depind de condițiile electricice din circuit: intensitatea curentului, capacitatea, selfinducția, rezistența, lungimea arcului și a. și apoi de natura electrozilor și a lichidului, cât și de temperatură.

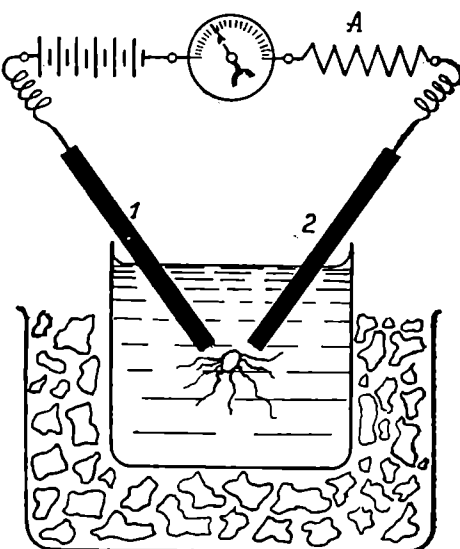


Fig. 122. Aparatul lui Bredig pentru pulverizarea electrică.  
1, 2 = sârme metalice; R = reostat.

1) Th. Svedberg, Nova Acta Reg. Soc. sci. upsalensis (IV), 2, Nr. 1 (1907); K. Z. I, 229, 257 (1906).

Mărimea capacității la o selfinducție și rezistență mică în conturul oscilant, contribue la micșorarea descompunerii mediului. Temperatura joasă nu arată o influență vizibilă asupra gradului de pulverizare a electrozilor, dar coboară simțitor descompunerea lichidului. Păstrarea condițiilor indicate dă un sol foarte pur.

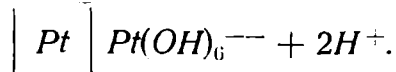
Se obțin soluri puternic dispersate cu particule de următoarele raze în (milimicroni):

$Au = 2,8$ ;  $Zn = 2,9$ ;  $Pt = 3,8$ ;  $Cd = 5,0$ ;  $Sn = 12,6$ ;  $Bi = 17$ .

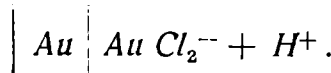
La temperatură joasă ( $-70^{\circ}$ ) s'au obținut soluri de metale alcălaine (Na, K) în hidrocarburi și eter sub formă de soluri roșii și albastre. În afară de aceasta s'au obținut soluri în gaze lichefiate — de ex. în metan. Solurile metalice obținute erau deobicei electronegative.

Metalul reacționează întotdeauna la suprafață, formând compuși superficiali. Am cunoscut un exemplu de astfel de compuși, studiind proprietățile cărbunilor. Compușii superficiali obținuți sunt capabili să se disocieze electrolitic, formând un complex ionogen care determină sarcina micelului.

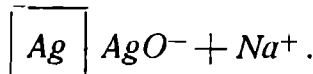
Astfel, la obținerea solului de Pt în apă se formează următorul compus superficial<sup>1)</sup>:



La obținerea solului<sup>2)</sup> de Au într'o soluție slabă de HCl se formează compusul:



La obținerea solului<sup>3)</sup> de Ag într'o soluție slabă de sodă caustică se formează:



Compușii superficiali indicați pot exista numai la suprafață de separație, legându-se prin forțe de afinitate chimică cu atomii

1) S. W. Pennywick, J. Ch. Soc. L. 121, 2108 (1928); 132, 618 (1929); K. Z. 49, 407 (1929); 54, 21 (1930).

Wo. Pauli u. E. Russer, K. Z. 58, 22 (1922).

Wo. Pauli u. F. Perlak, K. Z. 39, 195 (1925).

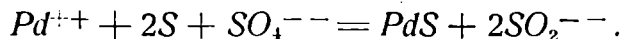
care se găsesc pe suprafața particulelor. Formulele citate arată că micelii au o sarcină negativă.

Vorbind despre proprietățile suprafetei cărbunelui, s-au descris experiențele de obținere a cărbunelui activ într-o atmosferă de hidrogen și de oxigen (A.N. Frumchin). În primul caz, suprafața cărbunelui a fost încărcată electronegativ, analog electrocului de hidrogen, iar în al doilea caz, au fost încărcate electropozitiv, analog electrodului de oxigen. S'a ajuns la rezultate analoage la obținerea solurilor de platină<sup>1)</sup> (încărcate pozitiv și negativ) prin metoda pulverizării. Acest fenomen s'a explicat prin aceea că și în cazul de față sarcina particulelor coloidale poate fi considerată, prin asimilarea particulelor, cu un electrod de hidrogen sau de oxigen. Singurul lucru care n'a fost pe deplin clarificat este ipoteza dacă se pot transfera proprietățile electricilor mari asupra particulelor ultramicroscopice.

Introducerea în chimia coloidală a noțiunilor de compuși superficiali și de complex ionogen, are o foarte mare importanță pentru explicarea proprietăților micelilor.

Prin metoda electrică se prepară și hidrosolul de plumb. E delă sine înțeles că acest sol nu reprezintă plumb pur, ci impurificat cu compuși oxigenați.

Supunând electrouzei acidul sulfuric concentrat la o mare densitate de curent și la un potențial înalt, cu electrozi de aur, platină și paladiu se pot obține soluri de sulfuri metalice. Metalul trece întâi în soluție în stare de ioni, iar apoi intră în reacție:



Particulele solurilor obținute n'ayeau sarcină electrică<sup>2)</sup>. O scimare analoagă a solurilor s'a observat și în acidul fosforic.

In locul condensării în stare de vaporii se poate face condensarea și din soluții: 1) prin concentrare și 2) prin înlocuirea solventului. Posibilitatea aplicării primei metode a fost indicată de Weimarn<sup>3)</sup>. Răcind o soluție alcoolică de sulf cu aer lichid, el a obținut un sol de sulf. În mod analog s'a obținut solurile de Se și Te. Tot de aici face parte și metoda de obținere a hidrosolului de  $(MoO_3)$  din soluțiile apoase de acid molibdenic. La evaporarea treptată a apei se obține un sol puternic dispersat.

Metoda condensării, bazată pe înlocuirea solventului, se cunoaște demult. Perrin<sup>4)</sup> a preparat prin această metodă emul-

1) N. A. Bach și N. A. Balașeva, J. F. H. 7, 43 (1936).

2) A. Voet, Rec. trav. ch. Pays-Bas, 53, 818 (1934).

3) P. Weimarn, K. Z. 2, 231 (1908); 11, 315 (1912).

4) J. Perrin, K. Beih 1, 221 (1910).

siile clasice de cauciuc și ceară. Pentru aceasta se prepară o soluție alcoolică dintr-o substanță oarecare și se amestecă cu un exces de apă, se obține o soluție suprasaturată de ceară (cauciuc) din care se condensează particulele coloidale. Proprietățile soluțiilor<sup>1)</sup> sunt diferite, în funcție de faptul dacă apa se toarnă în soluția alcoolică de ceară (sol *a*) sau invers (sol *b*).

Din aceleași metode face parte și metoda patentată de Svedberg a obținerii hidrosolului de acid palmitic.

Trecerea din starea de dispersiune moleculară în cea coloidală la înlocuirea treptată a solventului nu se produce instantaneu, ci printr-o serie de stadii cu formare de sisteme cu un grad de dispersiune tot mai mic. Wo. Ostwald<sup>2)</sup> a cercetat această trecere asupra soluțiilor alcoolice de coloranți, înlocuind treptat solventul — alcoolul — cu apă, în care colorantul nu se disolva.

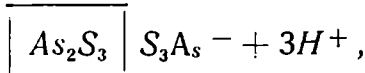
### 3. METODELE CHIMICE

Pentru prepararea soluțiilor prin metode chimice trebuie respectate următoarele condiții: în primul rând, trebuie să se formeze o substanță insolubilă în sensul obișnuit, în al doilea rând, particulele trebuie să crească treptat; în al treilea rând, particulele disperse formate, care adsorb sau se combină chimic cu excesul de substanță, luată pentru reacție, sau cu produsele secundare de reacție, trebuie să formeze pe suprafața lor compuși liofili (hidrofili), care să se disocieze electrolitic în mediu. Astfel, pentru obținerea soluțiilor stabile, o condiție esențială este formarea pe suprafața particulelor a unui compus solubil în apă care să dea un strat rezistent, legat de particula. Experiența arată că, soluri deosebit de stabile se obțin în majoritatea cazurilor atunci când este posibilă formarea de compuși chimici între precipitatul separat și unul din reactivi (A. Dumanschi). De exemplu sunt foarte stabile solurile hidrașilor metalelor grele, obținute în prezența unui exces de sare a metalului greu. În acest caz, formarea sărurilor bazice din ce în ce mai complexe duce la apariția unui micel cu un nucleu format, mai mult sau mai puțin, dintr-o anhidridă, și cu suprafața formată din săruri bazice, capabile să se disocieze electrolitic, trimițând anioni ( $\text{Cl}^-$ ,  $\text{NO}_3^-$  sau  $\text{OH}^-$ ) în stratul difuz și conferind particulei o sarcină pozitivă. În primele momente ale formării particulei nu există încă un nucleu format din

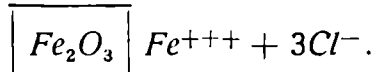
1) A. Rabinovici și R. Burstein, Bioch. Z. 182, 110 (1927).

2) Wo. Ostwald u. A. Quast, K. Z. 48, 156 (1929).

anhidridă și numai cu timpul (din cauza ușurinței cu care hidrații pierd apa) se produce o asemenea regrupare. Aceasta o indică și analiza roentgenografică, arătându-ne întâi o structură amorfă a substanței, care trece apoi într'una cristalină, roentgenograma arătând și structura de anhidridă a cristalelor. Astfel, nu se obțin roentgenogramele hidraților metalelor grele, ci ale oxizilor lor sau ale unor hidrați necomplecți (vezi cap. IV). Un asemenea strat ionogen a micelului, care este căteodată legat chimic sau adsorbit, conferă soluției stabilitate și determină însușirile lui caracteristice, ceeace au arătat Duclaux și Malfitano încă în anii 1904—1913. Disociindu-se, stratul ionogen formează un înveliș ionic în jurul micelului și, în funcție de caracterul acestuia (dacă constă din anion sau cation), se obțin soluri încărcate pozitiv sau negativ. Ionii stratului difuz pot fi înlocuiți cu alți ioni, adică se produce o adsorbție de schimb, asemănătoare, după cum vedem, cu reacțiile ionice. Pe baza celor spuse, moleculele stratului ionogen pot fi, fie acizi, fie baze, care dă săruri prin reacție de schimb. În primul caz, solurile (negative) se numesc **acidoizi**, de ex. solul de sulfură de arsen.



În al doilea caz solurile se numesc bazoizi, de ex. solul hidroaciziilor de metale grele



Am văzut la solurile halogenurilor de argint, că una și aceeași substanță ( $AgCl$ ) poate da soluri atât de tip bazic, cât și acid.

Pe baza celor expuse, se vede că explicația formării micelilor nu se poate baza pe schemele simplificate de adsorbție; acest fenomen este mai complex. Schemele de adsorbție îl pot explica adesea, din cauză că însăși adsorbția este în foarte strânsă legată cu chimismul și reprezintă una din căile pentru explicarea fenomenelor chimice.

Trecând la metodele chimice de obținere a solurilor, să ne oprim mai întâi asupra metodei obținerii solurilor metalelor prin reducere. Un sol metalic bine studiat și care se cunoaște demult, este hidrosolul de aur obținut încă în anul 1685 (Andreas Cassius) și cunoscut sub numele de „purpura lui Cassius”. Faraday (1857) a obținut preparate aproape pure reducând o soluție de clorură

aurică cu fosfor disolvat în eter. Se obțineau soluții roșii purpuriu, iar cădeodată albastre și violete.

Cercetări asemănătoare asupra metodei de obținere a hidrosoluției de aur au fost făcute de R. Zsigmondy<sup>1)</sup> și colaboratorii lui (V. A. Naumov). Ca materie primă s'a luat clorura aurică și reductori: soluția de formalină în apă sau de fosfor în eter. Apă și ceilalți reactivi luate erau absolut puși, iar vasele din sticlă de Jena, căci sticla obișnuită, disolvându-se în apă, influența asupra dispersiunii solului.

Rețeta de preparare este următoarea: 120 cm<sup>3</sup> de apă absolută se introduce într-un pahar cu o capacitate de 300-500 cm<sup>3</sup> și se încălzesc pană la fierbere. În timpul încălzirii se adaugă 2,5 cm<sup>3</sup> soluție de HAuCl<sub>4</sub> (6g HAuCl<sub>4</sub>, 4H<sub>2</sub>O cristalin, dissolvat într-un litru) și 3 cm<sup>3</sup> soluție de K<sub>2</sub>CO<sub>3</sub> (0,18 N). Indată după fierbere, se adaugă, agitând energetic paharul, 3-5 cm<sup>3</sup> soluție diluată de formalină (0,3 cm<sup>3</sup> formalină comercială în 100 cm<sup>3</sup> apă). Prin amestecare, după câteva secunde (cel mult după un minut) se produce reacția, însățită de apariția unei colorații mai întâi deschisă care trece apoi într-o roșie intensă. Se obține un sol, având particule cu dimensiuni între 10 și 40 m<sup>μ</sup>. Soluția conține în jurul a 0,005-0,006% aur. Dacă se lucrează cu apă care n'a fost atât de bine purificată, se obțin soluri mai puțin fine de culoare albastră și violetă.

După părerea lui Zsigmondy, la începutul reducerii se formează o soluție puternic suprasaturată de aur în apă; în ea se formează centre de cristalizare pe care are loc separarea aurului sub formă de cristale foarte fine. Dacă se formează un mare număr de centre de cristalizare, dispersiunea solului este mare (soluri de culoare roșie intensă); dacă însă se formează un număr mic de centre, atunci dispersiunea este mică (soluri albastre turburi).

Se poate obține un sol de Au cu o dispersiune și mai mare, dacă se reduce o soluție de clorură aurică (cu un adaus de soluție slabă de K<sub>2</sub>CO<sub>3</sub>) cu câteva picături de soluție eterică de fosfor. Dacă acest amestec se lasă să stea câteva ore, apare treptat o colorație, care devine încetul cu încetul roșie. Se obține un sol puternic dispers, cu particule de aproximativ 2-3 m<sup>μ</sup> care nu pot fi decelate la un microscop cu lantă.

Inafară de aceste două metode, Zsigmondy a mai propus o a treia, numită metoda germinativă. Ea constă din următoarele: se prepară un sol de aur prin reducerea clorurii aurice cu fosfor; solul constă din particule extrem de fine de aur cristalin. Această soluție se numește soluție germinativă. Acestui sol i se adaugă un amestec pentru obținerea aurului după metoda cu formă înă.

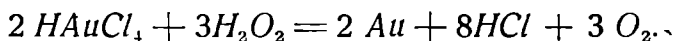
1) R. Zsigmondy, *Kolloidchemie*, 4 Aufl., 149 (1922).

Pe cristalele extrem de fine ale soluției germinative, care sunt centre de cristalizare, incepe cristalizarea aurului obținut sub formă de soluție saturată la reducerea  $\text{HAuCl}_4$  cu formalină. Prin aceasta se produce o mărire a dimensiunii particulelor, fără ca numărul lor să crească. Această metodă dovedește că particulele coloidale de aur sunt cristaline.

In ultimul timp, Voigt<sup>1)</sup> a elaborat o metodă pentru prepararea soluției germinative de argint și, cu ajutorul ei, a solurilor de argint.

Metoda germinativă este foarte importantă, căci ea dă soluri monodisperse cu particule de mărime dorită.

Dintre ceilalți reductori se întrebunează apa oxigenată. Acest reductor este interesant prin aceea că  $\text{H}_2\text{O}_2$ , descompunându-se în apă și oxigen, nu impurifică deloc solul cu produsele descompunerii sale. Nordensen<sup>2)</sup> a cercetat detaliat această metodă și a observat că și în acest caz se formează germeni pe care cresc particule, din cauza formării prin reducere a unei soluții suprasaturate de aur. Reacția decurge după ecuația :



Inafara de reductoarele cități se mai întrebunează și hidrazina, CO, zahărul. Pentru o demonstrare în fața unui auditoriu este foarte ușor a reduce soluțiile de clorură aurică, slab concentrate, cu o cantitate mică de soluție foarte diluată de clorhidrat de fenilhidrazină ; se obțin soluri de diferite nuanțe, în funcție de concentrația și temperatura soluțiilor ce reacționează.

Weimarn<sup>3)</sup> a obținut soluri roșii de aur, analoage solurilor lui Zsigmondy, reducând clorura aurică cu formalină în mediu alcalin fără să păstreze acea curățenie minuțioasă, necesară în metoda lui Zsigmondy. Pentru obținerea acestui hidrosol, Domanîchi<sup>4)</sup> întrebunează hidrocarburi nesaturate, Hamardarian<sup>5)</sup> întrebunează drept reductori alcalozii.

Inafara de aceștia, mulți autori întrebunează diversi reductori pentru obținerea acestui sol.

Asupra procesului reducerii aurului, are o foarte mare influență iluminarea<sup>6)</sup>. Iluminarea amestecului de  $\text{HAuCl}_4 + \text{H}_2\text{O}_2$

1) J. Voigt, Z. ges. exp. Medizin, 54, 219 (1927).

2) Th. Svedberg, Formarea coloiziilor (trad.) M. 1927.

3) P. Weimarn, K. Z. 48, 346 (1929).

4) N. J. Domanîchi, Usp. chim. J. 4, 1 (1919).

5) M. Hamardarian, K. Z. 49, 133 (1929).

6) H. Nordenson, K. Beih. 7, 110 (1915); J. Beaver u. R. H. Müller, J. Ann. Ch. Soc. 50, 394 (1908).

cu o lampă de mercur contribue la formarea unui mare număr de germani pe căre se produce cristalizarea aurului; din această cauză, soluțiile iluminate dau soluri de aur cu un grad mare de disperșiune (fără iluminare se obțin particule de 90 m $\mu$ , iar cu iluminare se obțin particule de 10 m $\mu$ .)

Un alt sol bine studiat este hidrosolul de argint<sup>1)</sup>, obținut analog aurului, tot prin reducere. Soluția apoasă de oxid de argint și deasemenea unele săruri ale lui cu acizi organici, se reduc foarte ușor. Procesul reducerii Ag<sub>2</sub>O în apă, a fost studiat de Kohlschütter<sup>2)</sup>. Prin trecerea unui curent de hidrogen printr-o soluție de oxid de argint în apă (mai precis AgOH) reducerea se produce ușor și apare o colorație cărămizie.

Materialul din care sunt făcuți pereții vasului are o foarte mare importanță. Astfel, când reducerea are loc în vase de cuart sau din sticlă obișnuită, se formează soluri mai disperse decât în vase din sticlă de Jena. În vase de platină, gradul de disperșiune este cel mai mic. Și aici se poate aplica metoda germinativă, drept soluție germinativă putând servi solul de aur sau de argint<sup>3)</sup>. Folosind soluția germinativă de argint se pot prepara soluri, reducând soluția de Ag OH cu ajutorul hidratului de hidrazină; se obțin soluri gălbui, galbene, verzi, albastre.

Pentru demonstrare în fața auditorului, se pot prepara soluri de argint foarte bune după Carry-Lie, prin reducerea AgNO<sub>3</sub> cu dextrină sau tanin. În acest scop se disolvă 24 g sodă în 1200 cm<sup>3</sup> apă și acestei soluții i se adaugă 72 cm<sup>3</sup> de soluție filtrată de tanin 4%. Apoi se disolvă 24 g AgNO<sub>3</sub> într-o cantitate mică de apă și această soluție se toarnă în porțiuni mici sub agitare în soluția preparată de tanin și sodă. Se produce o reducere rapidă, obținându-se un lichid de culoare închisă, care la diluare dă un sol roșu de Ag. În afară de reductorii citați, foarte multe alte substanțe dau hidrosoluri de Ag.

Analog aurului, la reducerea argintului are o mare însemnatate iluminarea. Voigt<sup>4)</sup> accelera reducerea unei soluții slabe de AgNO<sub>3</sub> cu gumă arabică, iluminând amestecul cu o lampă de cuart.

Sarcina solurilor metalice este deobicei negativă, ceea ce a fost explicat mai sus prin formarea unui strat ionogen pe suprafață

1) J. Voigt, *Argintul Coloidal*, Leipzig, 1929.

2) V. Kohlschütter, *Z. Electroch.* 14, 49 (1908); *K. Z.* 12, 286 (1913).

3) J. Voigt u. J. Neumann, *Z. anorg. ch.* 164, 409 (1927); 159, 140 (1928).

4) J. Voigt, *K. Z.* 48, 26 (1927).

particulei. De ex., particulele de aur au pe suprafața lor complexul  $[AuX_4]$  — unde  $X=Cl$ ,  $Br$ ,  $I$  sau  $OH$ ; particulele de platină —  $[HPt(OH)_6]$  — particulele de argint —  $[AgX_2]$  — unde  $X=OH$ ,  $HS$ .

Prin metoda reducerii se pot prepara și solurile altor metale. Totuși, foarte multe soluri se obțin foarte nestabile și pentru a îi se conferi stabilitate, ele se prepară în prezența coloidilor (liofili) de protecție, cum sunt pentru hidrosoluri gelatina, proteinele și produșii lor de degradare, dextrina și a.

Un mare număr de hidrosoluri dau în apă hidrați insolubili ai metalelor grele. Am cunoscut una din metodele de obținere a solului  $Fe(OH)_3$ , prin reacția între alcalii și o soluție de clorură ferică. Hidrosolurilor obținute după această metodă trebuie să îi se adauge alcalii sau carbonat<sup>1)</sup> ( $NaOH$ ,  $Na_2CO_3$ ,  $(NH_4)_2CO_3$ ,  $CaCO_3$ ) foarte încet, pentru ca aggregarea moleculelor să se producă treptat formând întâi săruri bazice, care dau cu moleculele de  $Fe(OH)_3$  sau  $FeOOH$  ce se separă, aggregate complexe, ce trec apoi în miceli<sup>2)</sup>. De aceea cantitatea de alcalii adăugată trebuie să fie mai mică decât este necesar conform ecuației. Trebuie să existe întotdeauna un exces de sare a metalului greu. Nu este indiferent de la care sare se pornește; cele mai bune rezultate le dau nitrati și clorurile. Hidrosolurile obținute conțin întotdeauna ca impurități clorura sau azotatul metalului alcalin ( $NaCl$ ); această impuritate poate fi eliminată prin dializă sau ultrafiltrare. Particulele soluțiilor poartă sarcini pozitive. Prin această metodă se obțin ușor hidrosolurile  $Fe(OH)_3$ ,  $Al(OH)_3$ ,  $(Cr(OH)_3$ ,  $Zn(OH)_2$  și a. Rămâne deschisă problema compoziției chimice a particulelor coloidale. Există indicii, că din cauza nestabilității acestor hidrați, substanța din care este compusă particula este, fie un oxid obișnuit, fără apă de hidratare, fie un hidrat incomplet. Astfel, s'a stabilit în multe cazuri, că hidroxidul coloidal de fier este un hidrat incomplet (hetit)  $FeO \cdot OH$ .

Cum multe săruri ale metalelor grele se hidrolizează ușor, existând în acest caz condiții favorabile cresterii treptate a moleculii până la un complex și apoi până la micel, hidroliza duce la formarea unui sol al hidratului. De ex., la turnarea soluției de  $FeCl_3$  într-un mare volum de apă, la o încălzire ulterioară se obțin soluri cărămizii. La încălzire energetică și îndelungată hidratul pierde apă și se obțin soluri de culoare galbenă. Purificarea soluțiilor se face prin dializă. Se pot obține soluri foarte pure, care conțin o cantitate neglijabilă de impurități.

1) A. Dumanschi, A. Buntin și A. Cniga, K. Z. 41, 108 (1927).

2) A. Dumanschi, A. Buntin, S. Dlacicovschi și A. Cniga, J. R. F. H. O. 58, 326 (1926).

Sunt interesante metodele de obținere a hidrosolurilor prin acțiunea apei asupra unui metal în atingere cu mercurul. Când metalul cercetat se disolvă mai ușor decât mercurul, atunci, sub influența cuplului galvanic ce se obține, se produce oxidarea metalului, dacă acest cuplu se plasează într-o soluție a unei sări a acestui metal sau în acid diluat (HCl). Ruegg<sup>1)</sup> a obținut prin această metodă un precipitat de  $\text{Al(OH)}_3$  în formă de gel, care peptizându-se în prezența  $\text{AlCl}_3$ , trecea într'un sol. Pauli și Schmidt<sup>2)</sup>, introducând aluminiu amalgamat în soluții de  $\text{AlCl}_3$ ,  $\text{CuCl}_2$ ,  $\text{NiCl}_2$ , au obținut însăra hidrosolurilor obisnuite de  $\text{Al(OH)}_3$ , și soluri mixte din hidrați a două metale. Scheidt<sup>3)</sup> a obținut printr-o metodă analoagă un sol de  $\text{Al(OH)}_3$ , utilizând apă pură. Prin aceeași metodă, Iacovlev<sup>4)</sup> a reușit să obțină un gel de  $\text{Mg(OH)}_2$ . Dacă în locul aluminiului se ia fierul<sup>5)</sup>, se obține un sol  $\text{FeO} \cdot \text{OH}$ .

În afară de săruri se pot lua și compuși organo-metalici. Trătând, de ex., etilatul de fier cu apă, Grimaux<sup>6)</sup> și Thiessen<sup>7)</sup> au obținut soluri de hidrați (oxizi), care amintesc hidrosolurile metalice foarte sensibile la electrolizi. Sarcina acestor soluri se schimbă ușor; în mediu acid particulele au sarcini pozitive, iar în mediu alcă in-negative. Freundlich și Voznesenschi<sup>8)</sup> au propus o altă metodă foarte ușoară care constă în acțiunea unei soluții de apă oxigenată asupra carboniului de fier:



Toate aceste metode dă soluri electropozitive de hidroxizi.

Există o metodă foarte leșne de pus în aplicare pentru obținerea solurilor electronegative ale metalelor grele. Această metodă a fost găsită încă în anul 1864 de Graham, și anume: unei soluții de sare a metalului greu i se adaugă întâi un compus organic oxigenat oarecare (un oxiacid, zahăr, alcool polivalent), iar apoi amestecul obținut se tratează cu un exces de alcalii; se obțin soluri electronegative stabile.

Folosind metoda peptizării complexe (pag. 311) Pickering<sup>9)</sup>

1) K. Ruegg, K. Z. 41, 275 (1927).

2) Wo. Pauli u. E. Schmidt, Z. phys. Ch. 129, 199 (1927).

3) K. I. Scheidt, J. R. F. H. O. 60, 617 (1928).

4) A. G. Iacovlev, J. R. F. H. O. 60, 1551 (1928).

5) A. Dumanschi și Z. P. Ciseva, J. R. F. H. O. 62, 1132 (1930).

6) E. Grimaux, C. r. 98, 1485 (1884).

7) P. Thiessen u. O. Koerner, Z. anorg. ch., 180, 115 (1929).

8) H. Freundlich, K. Z. 33, 222 (1923).

9) J. Pickering, J. Ch. Soc. 107, 942 § 109, 235.

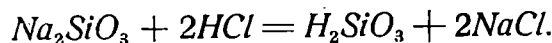
a obținut geluri și soluri din tartrați de cadmiu, cobalt, nichel, malați de nichel, zinc. Această metodă a fost aplicată și de alți savanți <sup>1)</sup>. În lucrarea lui Bachman <sup>2)</sup> se arată că gradul de dispersiune al solurilor obținute variază în funcție de cantitatea de alcalii adăugată. În laboratorul autorului <sup>3)</sup> s'a elaborat metoda de obținere a solurilor electronegative, pornind de la tartrați. S'au obținut hidrosolurile :



Soluția Fehling <sup>4)</sup> conține în compoziția ei hidroxidul de Cu în stare coloidală. Studiul acestor soluri a arătat că nu numai hidrații se găsesc în stare coloidală, ci și unii compuși ai acidului tartric cu acești hidrați. Variația considerabilă a multor proprietăți, de ex. variația rotației planului de polarizare și trecerea ei din dextrogiră în levogiră, colorația, etc., arată că formarea complexului care reprezintă particula coloidală este precedată de formarea de compuși, care devin din ce în ce mai complecși. Studiul fenomenului Tyndall arată că în acest caz variață puternic și gradul de dispersiune, trecând din cel molecular într'unul complex-molecular și coloidal. Această metodă a fost verificată mai târziu în laboratorul autorului pentru multe zaharuri și polizaharide, pentru alcoolii (manita și glicerina) și pentru mulți oxiacizi (malic, citric și glicolic).

Hidrosolurile acizilor insolubili și ale hidraților lor se obțin printr-o metodă analoagă cu cea descrisă pentru hidroxizi. Pentru aceasta i se adaugă treptat sării acidului, un acid mai tare, sau se folosește hidroliza sărurilor sau a combinațiilor organice complexe.

Astfel se obține soiul acidului silicic din soluția sării de sodiu, după ecuația:



NaCl obținută se îndepărtează prin dializă. Este foarte practică metoda propusă de Halizev <sup>5)</sup> care permite obținerea de soluri

1) N. R. Dhar și K. C. Sen, J. Phys. ch. 27, 376 (1923); K. Sen, K.Z. 43, 17 (1927); K. Sen și M. Mehrotra, K. Z. 42, 35 (1927) §. a.

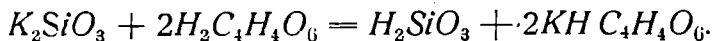
2) W. Bachman, K. Z. 47, 49 (1929).

3) A. Dumanschi și col. K. Z. 41, 108 (1927); J. R. F. H. O. 60, 299, 933, 1053 (1928) §. a.

4) A. Dumanschi și A. Halizev, K. Z. 47, 121 (1929).

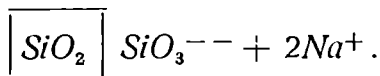
5) A. Halizev, J. R. F. H. O. 61, 1233 (1929).

foarte concentrate și foarte pure, tratând o soluție de  $K_2SiO_3$  cu o soluție de acid tartric după ecuația:



Tartratul acid, greu solubil, cristalizează și se obține instantaneu, fără purificare ulterioară, un sol destul de pur și stabil, care conține până la 5%  $SiO_2$ .

Thiessen<sup>1)</sup> a obținut și a cercetat solurile acizilor orto și pirosilicic la hidroliza eterului etilic al acidului silicic. Aceste soluri pot fi obținute în mod analog prin hidroliza  $SiCl_4$ . Solurile acidului silicic sunt stabile și în mediul acid și în cel alcalin. În mediul alcalin solurile sunt încărcate negativ, ceea ce se poate explica prin schema:



În prezența  $HCl$  (ca peptizator) solurile se încarcă pozitiv într-un mediu puternic acid, iar într-un mediu slab acid ele se încarcă negativ<sup>2)</sup>. Aceasta poate fi explicat prin adsorbția ionilor  $Cl^-$  într-un mediu slab și a ionilor  $H^+$  într-un mediu puternic acid (sol încărcat pozitiv). La solul electropozitiv ionii stratului difuz vor fi ionii  $Cl^-$  iar la cel electronegativ, ionii  $H^+$ .

Solurile alcaline și acide diferă unele de altele. Astfel, solurile acide nu dă reacții de permutare<sup>3)</sup>. Nu s'a observat de exemplu adsorbția ionilor de  $Ba^{++}$  din soluții de  $BaCl_2$ . Adsorbția se observă numai la solurile alcaline ( $pH=8-9$ ). Aceasta ne arată că solurile acide posedă un potențial și foarte mic.

Baibaev și Carghin<sup>4)</sup> au obținut prin reducerea  $SiH_4$  cu ozon în apă un sol foarte pur, cu reacție neutră ( $pH$  oscila în jurul lui 7), cu un potențial și foarte mic. Acidulând solul obținut cu acid clorhidric se poate observa formarea de soluri pozitive și negative cu potențiale și foarte mici. Marea stabilitate a solurilor acidului silicic, care au un potențial și mic, poate fi explicață, probabil, prin faptul că aceste soluri sunt foarte hidrofile.

Trebue menționat că, conform presupunerilor unor cercetători, la obținerea solurilor acidului silicic prin diferite metode,

1) P. A. Thiessen și U. Koerner, Z. anorg. ch. 182, 343, (1929).

2) O. Lösenbeck, K. Beih, 16, 27 (1922).

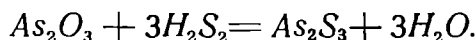
3) A. I. Rabinovici și I. Laschin, Z. phys. ch. 134, 390 (1928); I. Laschin, K. Z. 45, 129 (1928).

4) A. I. Baibaev și V. A. Carghin, J. F. H. 7, 13 (1936).

primul stadiu este formarea unei soluții adevărate de acid silicic care trece, datorită polimerizării, într'un sol<sup>1)</sup>.

Prinț'o metodă analoagă obținerii acidului silicic se pot prepara hidrosolurile acidului wolframic, molibdenic, stibic și a.

Dintre hidrosolurile de sulfuri metalice cel mai bine studiate au fost trisulfura de arsen și de stibiu. Solul de trisulfură de arsen se obține foarte ușor prin trecerea hidrogenului sulfurat prinț'o soluție de acid arsenios :



Astfel se obține un sol galben, turbură și stabil cu particule de cățiva zeci de milimicroni, care poartă o sarcină negativă. Solul poate exista, fie într'un exces de acid arsenios, fie de hidrogen sulfurat disolvat. Excesul de hidrogen sulfurat poate fi ușor îndepărtat prin suflarea unui curent de aer curat. Acest sol a fost obținut și cercetat de Schulze (1882) Linder și Piktón (1892-1895).

Hidrosolul sulfurii de stibiu se obține prin acțiunea hidrogenului sulfurat asupra unei soluții de  $\text{K}(\text{SbO})_2 \cdot \text{C}_4\text{H}_4\text{O}_6$  sub forma unei soluții galbene-roșiaticice. A. Lottermoser, pornind dela o soluție apoasă de cianură mercurică  $\text{Hg}(\text{CN})_2$ , a preparat prin trecerea hidrogenului sulfurat sau prin adăugarea unei soluții de hidrogen sulfurat în apă un sol de sulfură de mercur de culoare brună.

In general, hidrosolurile purificate de sulfuri metalice, în afară de  $\text{As}_2\text{S}_3$  și  $\text{Sb}_2\text{S}_3$ , sunt foarte nestabile, în special în soluții mai concentrate.

Stabilitatea solului de  $\text{As}_2\text{S}_3$  poate fi explicată prin stabilitatea particulelor de  $\text{As}_2\text{S}_3$  de către substanțele care participă la reacție. În prezența unui exces de hidrogen sulfurat se obțin pe suprafață molecule de acid sulfurat. Acidul format se leagă prin anionul său  $\text{H}_2\text{AsS}_3^-$  de suprafața sulfurii arsenioase, încarcând negativ micelul. Ionii de  $\text{H}^+$  obținuți prin disociație, formează stratul disuz. În cazul unui exces de acid arsenios și a unei lipse de  $\text{H}_2\text{S}$ , stabilizatorul este acidul arsenios  $\text{H}_3\text{AsO}_3$ , al cărui anion, adsorbându-se pe suprafața  $\text{As}_2\text{S}_3$ , comunică micelului o sarcină negativă. De aici se vede că solurile de  $\text{As}_2\text{S}_3$  sunt soluri cu caracter acid (acidoide).

Pe suprafața particulelor hidrosolului de  $\text{Sb}_2\text{S}_3$  este adsorbit un anion complex de compozitie  $[\text{SbS}_2(4\text{C}_4\text{H}_6\text{O}_6)]$  — care încarcă micelul negativ.

Solurile sulfurilor metalice se pot obține și în solvenți orga-

---

1) H. B. Brintzinger u. B. Troemer Z. anorg. ch. 181, 234 (1929).

nici; de ex., alcocsolul sulfurii de mercur se obține ușor, când hidrogen sulfurat printr'o soluție alcoolică de cianură de mercur (Lottermoser).

Folosind reacțiile de schimb, se pot obține multe hidrosoluri ale unor compuși insolubili, în toate acele cazuri când particulele de substanță insolubilă care se separă capătă în prezența electrolizilor existență o sarcină care stabilizează solul.

#### 4. TEORIA LUI WEIMARN

In toate cazurile de formare a sistemelor cooidale, când se formează corpi greu solubili, prin reacții chimice, are o importanță mare concentrația soluțiilor care reacționează. Deobicei, în cazul soluțiilor de concentrație mică se obțin soluri, în cazul soluțiilor mai concentrate se obțin precipitate, iar când soluțiile sunt foarte concentrate, se formează geluri. Aceasta se poate observa la reacția de formare a albastrului de Berlin dintr'un amestec de clorură ferică și arsenit de sodiu după reacția  $\text{FeCl}_3 + \text{Na}_3\text{AsO}_3$ , sau din clorură ferică și fosfat disodic după reacția  $\text{FeCl}_3 + \text{Na}_2\text{HPO}_4$ .

La o amestecare rapidă a soluțiilor concentrate isomoleculare de clorură ferică și arsenit de sodiu se formează albastrul de Berlin, care formează un gel dens. Dacă se ia o cantitate mică din acest gel și se agită într'un volum mare de apă, se obține un sol stabil. Diluând soluțiile inițiale de 10 ori și amestecându-le, se formează un precipitat care nu trece în sol. Dacă însă soluțiile inițiale se diluează foarte mult și se amestecă, nu se formează nici gel, nici precipitat, ci un sol stabil de albastru de Berlin.

P. Weimarn (1910), admitând structura cristalină a particulelor, a arătat că formarea soluțiilor trece prin două stadii. În primul stadiu se produce condensarea moleculelor și se obțin centre de cristalizare, iar în al doilea, cristalele se dezvoltă mai departe. Primul stadiu depinde de viteza de formare a nucleelor de condensare (cristalizarea) și de viteza creșterii cristalelor (centrelor de condensare). Viteza  $w$  depinde la rândul său de presiunea de condensare, care contribue la formarea cristalelor și de rezistența sistemului față de acest proces, adică:

$$w = K \frac{\text{presiunea de condensare}}{\text{rezistența de condensare}} \quad (130)$$

unde  $K$  este o constantă.

Dacă  $c$  este concentrația (soluție suprasaturată) și  $L$ —solubilitatea corpului obținut prin reacție, atunci mărimea  $c - L$ —egală cu suprasaturarea, contribue, după părerea lui Weimarn la condensare și este proporțională cu presiunea de condensare.

Rezistența de condensare, Weimarn o consideră proporțională cu solubilitatea  $L$ ; astfel:

$$w = K \frac{c - L}{L} \quad (131)$$

Pentru efectuarea celui de al doilea stadiu de condensare, este necesar ca acest corp obținut să poată difuza din soluția suprasaturată spre centrele de condensare formate: cu cât este mai mare viteza de difuziune, adică cu cât frecarea interioară a soluției este mai mică și suprasaturarea mai mare, cu atât va fi mai mare viteza creșterii centrelor de condensare. De exemplu, sarea de bucătărie se separă din soluțiile apoase suprasaturate sub formă de cristale mari, cu un grad de dispersiune necoloidal. În acest caz  $L$  este mare, iar  $c - L$  mic, din cauza marii solubilități a NaCl; în consecință, formarea centrelor de condensare decurge foarte încet, numărul lor este mic și se formează deodată cristale mari. Dacă se formează un compus greu solubil, de ex. clorura de argint, atunci  $w$  este mare și astfel se formează multe centre de cristalizare; pentru ca cristalizarea pe acești germenii să decurgă încet, în stadiul al doilea este necesară o suprasaturare mică, adică dacă se ia pentru reacție o mică concentrație de NaCl și AgNO<sub>3</sub>, se obține un sol de AgCl. La concentrații mari stadiul al doilea decurge repede, particulele vor crește repede și dispersiunea sistemului va fi mult mai mică decât cea coloidală — se va forma un precipitat<sup>1)</sup>.

Teoria expusă, a lui Weimarn, e departe de a fi cantitativă, dar ea dă posibilitatea de a diri jă într-o serie de cazuri formarea sistemelor coloidale<sup>2)</sup>. Dumanschi<sup>3)</sup> a arătat că formarea sistemelor coloidale se produce deobicei atunci când o substanță greu solubilă obținută poate da o serie de compuși intermediari, în special de tip complex.

1) I. B. Hariton și A. I. Salnicov, Mecanismul condensării și formarea coloizilor.

2) P. P. Weimarn, J.R.F.H.O. 42, 214 (1910); K. Beih. 4, 65 (1912). A. Janeck, Manual scurt de dispersiologie, 164, Petrograd, 1915.

3) A. V. Dumanschi, A. P. Buntin, S. I. Diacicovschi, J.R.F.H.O. 58, 323 (1926).

## 5. INFLUENȚA POLARIZĂRII DIELECTRICE A MEDIULUI ASUPRA STABILITĂȚII SOLURILOR

La obținerea solurilor în diferite medii, s'a observat că solurile cele mai stabile se formează în apă și în alte lichide polare, iar cele mai puțin stabile, în lichide homeopolare de tipul hidrocarburilor. Wo. Ostwald<sup>1)</sup> a încercat să explice teoretic influența stabilizantă a compușilor organici asupra particulelor coloidale.

Să cercetăm stabilitatea organosolurilor. În urma cercetărilor lui Perrin asupra stabilității organosolurilor, s'a ajuns la concluzia că stabilitatea acestor soluri depinde în întregime de valoarea constantei dielectrice: stabilitatea este cu atât mai mare, cu cât este mai mare constanta dielectrică. Svedberg a obținut, prin metoda de pulverizare în arcul voltaic, un foarte mare număr de soluri în diferite lichide, cu constante dielectrice mai mari și mai mici, însă pe baza proprietăților solurilor obținute de el nu s'a putut trage concluzia asupra existenței unei relații simple între stabilitatea solului și constanta dielectrică a mediului.

In tab. 55 sunt date stabilitățile solurilor de Pt în diferite medii: din această tabelă se vede că acetatii de amil și de etil, cu toate că au o constantă dielectrică mică, dau sisteme stabile, în timp ce alcoolul metilic sau etilic, cu o valoare mare a constantei dielectrice, formează sisteme nestabile.

**Stabilitatea solurilor de Pt în diferite medii**

*Tabela 55*

Soluri stabile	D	Soluri nestabile	D
acetatul de amil	4,81	eter	4,37
acetatul de etil	6,11	cloroform	5,20
alcoolul amilic	15,90	alcool metilic	35,40
alcoolul butilic	18,90	alcool etilic	28,8
alcoolul propilic	22,50		
apa	81.70		

Din datele talelei 55 se vede că numai valoarea constantei dielectrice nu poate caracteriza stabilitatea sistemului. S'au făcut încercări de a corela și alte însușiri ale sistemelor coloidale cu constanta dielectrică. Wo. Ostwald<sup>2)</sup> a găsit că imbibarea cau-

1) Wo. Ostwald K. Z. 29, 100 (1921).

2) Wo. Ostwald, K. Z. 45, 331 (1928).

cicului în solvenți organici este cu atât mai mare, cu cât este mai mică constanta dielectrică a solvenților. Totuși și aici s-au găsit multe excepții. Cercetând influența constantei dielectrice nu s-a putut constata o corespondență perfectă între constanta dielectrică a mediului și proprietățile sistemului coloidal la toți compușii organici în general, aşa cum s-a putut face la compușii organici în serii omoloage.

Lipsa unei relații generale cu constanta dielectrică și găsirea acestei relații în serile omoloage este pe deplin explicabilă. Aceasta pentru că constanta dielectrică este o mărime care depinde de insușirile materiei care formează atomii, radicalii și de ordinea distribuției lor în moleculă; în cazul serilor omoloage se produce o simplă mărire a moleculei cu un radical anumit, de ex.  $\text{CH}_2$ , care complică treptat molecula și schimbă proprietățile ei fizice într-o direcție anumită. În acest caz se observă o relație netă între stabilitatea solului și valoarea constantei dielectrice.

Polaritatea moleculelor comunică întregului corp (dielectric) insușiri speciale și se poate vorbi despre polarizarea lui electrică căci moleculele asymetrice, din cauza câmpurilor de forțe asymetrice din jurul lor și deasemenea sub acțiunea câmpului exterior, se orientează într-un mod determinat. O asemenea orientare se observă și în jurul particulelor coloidale. De aceea valoarea polarizației dielectrice a mediului poate fi un indiciu pentru stabilitatea sistemului coloidal.

Așa cum, polarizarea totală  $P$  a dielectricului se compune din două părți: 1)  $P'$  — polarizarea, determinată de deplasările din moleculă însăși, provocate din exterior prin aplicarea unui câmp (de ex. electric); ea se numește **polarizare de deplasare sau polarizare electronică** și nu depinde de temperatură; 2)  $P''$  — efectul acțiunii câmpului exterior sau al câmpurilor interioare asupra dipolilor constanți — **polarizarea de orientare** a moleculelor. Această polarizare depinde de temperatură, căci mișcările dipolilor sub influența temperaturii distrug această polarizare a dielectricului.

Așa cum, valoarea totală a polarizației:

$$P = P' + P'' \quad (132)$$

unde

$$P = \frac{D-1}{D+2} \cdot \frac{M}{\delta}; \quad P' = \frac{n_0^2 - 1}{n_0^2 + 2} \cdot \frac{M}{\delta};$$

$$P'' = \frac{4\pi}{9} \cdot \frac{N}{k} \cdot \frac{\mu^2}{T} \quad (133)$$

unde  $n_0$  este indicele de refacție, extrapolat pentru o undă infinit de lungă,  $N=6,06 \cdot 10^{23}$  (cișnă lui Lohschmidt),  $k=1,37 \cdot 10^{-16}$  (constantă lui Belzman).

Folosind ecuația (133) se poate determina mărimea dipolmomentului în masa de lichid, care va fi diferită de dipolmomentul moleculei izolate. În acest caz, fenomenul este mult mai complex. Datorită apropierea moleculelor învecinate se produce o variație în câmpul electric al moleculei; în afară de aceasta, din cauza polimerizării și asociației, moleculele dipolare se pot mări sau micșora. Vom denumi un asemenea dipolmoment, **dipolmomentul de masă**, și l vom nota cu  $[\mu]$ :

$$(\mu)^2 = \frac{9 k}{4 \pi N} \cdot T \left[ \frac{D-1}{D+2} \cdot \frac{M}{\delta} - \frac{n_0^2 - 1}{n_0^2 + 2} \cdot \frac{M}{\delta} \right] . \quad (134)$$

Particula coloidală, găsindu-se printre moleculele lichidului polar, le orientează în jurul ei, creând un înveliș care determină stabilitatea solului; stabilitatea învelișului trebuie să depindă la rândul său de mărimea dipolmomentului  $[\mu]$ .

Pe baza cercetărilor lui Svedberg<sup>1)</sup> și a Wo. Ostwald<sup>2)</sup> a găsit următoarea relație: toate mediile de dispersiune stabilizante au un moment mare (dela 1,53 până la  $2,70 \cdot 10^{-18}$ ), iar cele nestabilizante au un moment mic (dela 1,10 până la  $1,43 \cdot 10^{-18}$ ), iar constanta dielectrică poate fi și mare și mică.

Astfel, de ex., eterii cu o constantă dielectrică mică, dar cu un moment mare (dela 1,74 până la  $1,8 \cdot 10^{-18}$ ) sunt stabilizatori, în timp ce alcoolii, care au o constantă dielectrică mare, dar un moment mic, nu sunt stabilizatori. Svedberg obținea organosoluri stable la temperaturi joase; la ridicarea temperaturii stabilitatea se micșora și se produce coagularea, ceea ce arată că importanța cea mai mare o are în acest caz polarizarea orientării

$$P'' = \frac{4 \pi}{9} \cdot \frac{N}{k} \cdot \frac{\mu^2}{T} , \quad (135)$$

a cărei valoare variază invers proporțional cu temperatura absolută.

Dacă distanța între dipoli este înălțată de mare încât câmpurile lor de forțe nu se influențează reciproc (ceeace se observă la gaze rarefiate sau la soluții diluate în solvenți cu polaritate

1) Th. Svedberg, K. Z. I, 161, 229, 259 (1906); 2, 142 (1907).

2) Wo. Ostwald, K. Z. 45, 114 (1928).

redusă, de ex. hidrocarburi) atunci avem de a face cu dipolmomentul  $\mu$  al moleculelor separate. Valoarea acestui moment capătă o mare importanță dacă organosolului i se adaugă o cantitate mică de substanță ale cărei molecule au un  $\mu$  mare; atunci dipolii puternici adăugați se adsorb pe particula coloidală, se orientează în jurul ei și formând un înveliș, o stabilizează. Ostwald dă exemple de asemenea stabilizări din lucrările citate ale lui Svedberg.

Trebue menționat că prin adăugarea la organosol a unei substanțe stabilizante (acid benzoic) se observă un optim de concentrație a substanței adăugate, care dă o stabilitate maximă.

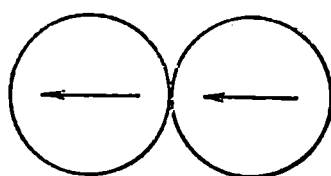


Fig. 123. — Asociația dipolilor cu creșterea dipolmomentului.

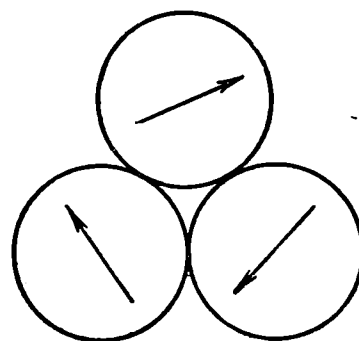


Fig. 124. — Asociația dipolilor cu scăderea dipolmomentului.

Acest fenomen poate fi explicat, după Debye, prin asociația moleculelor, care la început mărește momentul (fig. 123), iar apoi la creșterea ulterioră a concentrației, asociația merge mai departe, formându-se molecule triple și mai mari (fig. 124), care au momente mult mai mici, așa cum s'a spus mai sus.

Un bun exemplu pentru acțiunea stabilizantă a dipolilor puternici îl găsim în lucrarea lui Errera<sup>1)</sup> la platina pulverizată electric. Solul cibinut poseda, spre deosebire de solurile lui Svedberg, o stabilitate mare, ceea ce se explică prin prezența dipolilor puternici de  $H_2O$  și aldehidă. La adăugarea unui mare exces (în jurul a 75% din volum) de substanță cu molecule care au dipolmomente foarte mici sau nu le au deloc, se produce coagularea, iar acțiunea coagulantă este cu atât mai mare, cu cât este mai mică constanta dielectrică și  $\mu$ . Adăugarea de lichide cu  $D$  și  $\mu$  mare (de ex. apa, nitrobenzenul, acetona) nu produce coagularea. Wo. Ostwald<sup>2)</sup> dădea multă atenție lucrării citate a

1) J. Errera K. Z. 32, 240 (1923).

2) Wo. Ostwald, K. Z. 45, 331 (1928).

lui Errera, oprindu-se, în special, asupra proprietăților alcoosolurilor obținute, de  $\text{HgS}$  și  $\text{CuS}$ . Aceste soluri se obțin ca rezultat al reacției chimice care are loc la acțiunea hidrogenului sulfurat asupra unei soluții alcoolice de cianură mercurică, care conține, bineînțeles, ca impurități, electroliti. Solurile posedau o mare stabilitate, se deosebeau mult de solurile de platină prin capacitatea de a coagula la adăugarea unei mari cantități de neselectolit cu  $\mu$  mic (și constantă dielectrică mică). În timp ce solurile de Pt coagulează cu atât mai bine, cu cât se adaugă mai mult coagulant (de ex.  $\text{CeH}_6$ , solurile de sulfuri au o concentrație optimă (aprox. 70% din volum), care provoacă coagularea. Acest fenomen nu concordă cu supozitia generală că adăugarea de substanțe cu o constantă dielectrică mai mică decât a solventului ( $\text{C}_2\text{H}_5\text{OH}$ ) contribue la coagulare. Explicația inflexiunii curbei de coagulare trebuie căutată în variația proprietăților mediului de dispersiune. Aceasta nu poate fi explicat numai prin variația constantei dielectrice a mediului, căci valoarea constantei dielectrice a amestecului nu are un minim.

Dacă se observă variația polarizării la amestecarea alcoolului cu benzenu, atunci, aplicând metoda amestecurilor a lui Debye se poate calcula valoarea polarizației dielectrice  $P_2$ , care revine componentei cu un dipolmoment mare după ecuația:

$$P_{1,2} = \frac{D-1}{D+2} \cdot \frac{C_1 M_1 + C_2 M_2}{\delta_{1,2}} = C_1 P_1 + C_2 P_2 \quad (136)$$

Aici  $P_{1,2}$  este valoarea polarizației dielectrice a amestecului, calculată din datele experimentale pentru  $D$  — constanta dielectrică a amestecului,  $M_1$  și  $M_2$  greutățile moleculare ale componentelor,  $\delta_{1,2}$  densitățile amestecului și  $C_1, C_2$  — numărul de molecule ale componentelor din amestec,  $C_1 + C_2$  fiind egal cu 1. Mărimea  $P_1$ , în cazul unui lichid nepolar (cazul nostru) este o mărime constantă; deci, pentru a doua componentă, vom avea:

$$P_2 = \frac{P_{1,2} - C_1 P_1}{C_2}.$$

Pe baza măsurătorilor lui Philip<sup>1)</sup> se obțin valori pentru  $P_2$  și  $P_{1,2}$ . Reprezentându-le grafic se vede clar maximul pentru polarizația alcoolului între 33 și 35% (compoziția molară) și a amestecului  $P_{1,2}$  între 60-70% (compoziție molară)  $\text{C}_2\text{H}_5\text{OH}$ , în timp ce pentru coagularea alcoosolului de  $\text{HgS}$  concentrația

<sup>1)</sup> P. Debye, Handbuch der Radiologie 6, 631 (1925).

căptimă se găsește între 33-35% (compoziție molară) (pentru adausul de hexan  $C_6H_6$ ). De aici se vede clar că dipolii puternici ai alcoolului au produs coagularea sulfurii. Wo. Ostwald explică acest fenomen prin aceea că în prezență dipolilor puternici se observă un antagonism între dipoli și electrolitii soluției, a căror adsorbție pe suprafața particulei ii conferea stabilitate. Din lucrările lui Angelescu și Comănescu<sup>1)</sup> asupra adsorbției acidului picric dintr-un amestec de  $C_2H_5OH-C_6H_6$  pe cărbune se vede că, într'adevăr, în acest caz adsorbția scade. Si aici se observă un optim de adsorbție la 36% (compoziție molară). Mecanismul fenomenului se reprezintă în modul următor: avem o particulă coloidală de sulfură, care are o sarcină, datorită peliculei de adsorbție formate, ce nu trebuie privită ca un dublu strat solid, ci ca nori ionici difuzi după concepția lui Gouy și în sensul norilor polari ai lui Debye-Hückel, care se formează în jurul ionului. Astfel, în jurul norului ionic al micelului se concentrează, orientându-se și menținându-se, un nor din dipoli  $C_2H_5OH$ , dipolii putând pătrunde în învelișul ionic. Astfel se obține o particulă solvatată, înconjurate de un înveliș ionic-polar, care se găsește în echilibru cu toată soluția înconjurătoare. Adăugarea unui solvent nepolar, creând dipoli puternici ai alcoolului, distrug echilibrul format, distrugă învelișul ionic-polar, având ca rezultat coagularea particulei.

Adăugarea de neelectroliți cu dipoli puternici produce deasemenea coagularea; la anumite concentrații medii există un optim de coagulare, care corespunde minimului de adsorbție. În afară de aceasta, se observă și un alt doilea optim de coagulare. Este clar că aici fenomenul e mai complex, dar deasemenea explicabil prin acțiunea reciprocă între dipoli și ionii electrolitului, prin mărirea sau micșorarea lui la diluare și prin crearea în jurul particulei a unui înveliș ionic-polar rigid, care o stabilizează.

## 6. COLOIZII DE PROTECȚIE

Solurile anorganice ce se obțin, au deobicei un caracter mai mult sau mai puțin hidrofob, adică stabilitatea lor depinde în primul rând de sarcina electrică; totuși trebuie menționat că aceste soluri pot și la rândul lor clasificate după hidrofilia lor, care deși slabă, este totuși vizibilă în ordinea următoare: metale:

---

1) E. Angelescu, N. V. Comănescu K. Z. 44, 288 (1928).

Iui Errera, oprindu-se, în special, asupra proprietăților alcoosolurilor obținute, de  $\text{HgS}$  și  $\text{CuS}$ . Aceste soluri se obțin ca rezultat al reacției chimice care are loc la acțiunea hidrogenului sulfurat asupra unei soluții alcoolice de cianură mercurică, care conține, bineînțeles, ca impurități, electrolizi. Solurile posedau o mare stabilitate, se deosebeau mult de solurile de platină prin capacitatea de a coagula la adăugarea unei mari cantități de neselectolit cu  $\mu$  mic (și constantă dielectrică mică). În timp ce solurile de Pt coagulează cu atât mai bine, cu cât se adaugă mai mult coagulant (de ex.  $\text{C}_6\text{H}_6$ , sclurile de sulfuri au o concentrație optimă (aprox. 70% din volum), care provoacă coagularea. Acest fenomen nu concordă cu supozitia generală că adăugarea de substanțe cu o constantă dielectrică mai mică decât a solventului ( $\text{C}_2\text{H}_5\text{OH}$ ) contribue la coagulare. Explicația inflexiunii curbei de coagulare trebuie căutată în variația proprietăților mediului de dispersiune. Aceasta nu poate fi explicat numai prin variația constantei dielectrice a mediului, căci valoarea constantei dielectrice a amestecului nu are un minim.

Dacă se observă variația polarizării la amestecarea alcoolului cu benzenu, atunci, aplicând metoda amestecurilor a lui Debye se poate calcula valoarea polarizației dielectrice  $P_2$ , care revine componentei cu un dipolmoment mare după ecuația:

$$P_{1,2} = \frac{D-1}{D+2} \cdot \frac{C_1 M_1 + C_2 M_2}{\delta_{1,2}} = C_1 P_1 + C_2 P_2 \quad (136)$$

Aici  $P_{1,2}$  este valoarea polarizației dielectrice a amestecului, calculată din datele experimentale pentru  $D$  — constanta dielectrică a amestecului,  $M_1$  și  $M_2$  greutățile moleculare ale componentelor,  $\delta_{1,2}$  densitățile amestecului și  $C_1, C_2$  — numărul de molecule ale componentelor din amestec,  $C_1 + C_2$  fiind egal cu 1. Mărimea  $P_1$ , în cazul unui lichid nepolar (cazul nostru) este o mărime constantă; deci, pentru a doua componentă, vom avea:

$$P_2 = \frac{P_{1,2} - C_1 P_1}{C_2}.$$

Pe baza măsurătorilor lui Philip<sup>1)</sup> se obțin valori pentru  $P_2$  și  $P_{1,2}$ . Reprezentându-le grafic se vede clar maximul pentru polarizația alcoolului între 33 și 35% (compoziția molară) și a amestecului  $P_{1,2}$  între 60-70% (compoziție molară)  $\text{C}_2\text{H}_5\text{OH}$ , în timp ce pentru coagularea alcoosolului de  $\text{HgS}$  concentrația

<sup>1)</sup> P. Debye, Handbuch der Radiologie 6, 631 (1925).

căpușimă se găsește între 33-35% (compoziție molară) (pentru adausul de hexan  $C_6H_6$ ). De aici se vede clar că dipolii puternici ai alcoolului au produs coagularea sulfurii. Wo. Ostwald explică acest fenomen prin aceea că în prezență dipolilor puternici se observă un antagonism între dipoli și electroliții soluției, a căror adsorbție pe suprafața particulei ii conferea stabilitate. Din lucrările lui Angelescu și Comănescu<sup>1)</sup> asupra adsorbției acidului picric dintr-un amestec de  $C_2H_5OH-C_6H_6$  pe cărbune se vede că, într'adevăr, în acest caz adsorbția scade. Si aici se observă un optim de adsorbție la 36% (compoziție molară). Mecanismul fenomenului se reprezintă în modul următor: avem o particulă coloidală de sulfură, care are o sarcină, datorită peliculei de adsorbție formate, ce nu trebuie privită ca un dublu strat solid, ci ca nori ionici difuzi după concepția lui Gouy și în sensul norilor polari ai lui Debye-Hückel, care se formează în jurul ionului. Astfel, în jurul norului ionic al micelului se concentrează, orientându-se și menținându-se, un nor din dipoli  $C_2H_5OH$ , dipolii putând pătrunde în învelișul ionic. Astfel se obține o particulă solvatată, înconjurate de un înveliș icnic-polar, care se găsește în echilibru cu toată soluția înconjurătoare. Adăugarea unui solvent nepolar, creând dipoli puternici ai alcoolului, distrug echilibrul format, distrugă învelișul ionic-polar, având ca rezultat coagularea particulei.

Adăugarea de neelectroliți cu dipoli puternici produce deasemenea coagularea; la anumite concentrații medii există un optim de coagulare, care corespunde minimului de adsorbție. În afară de aceasta, se observă și un alt doilea optim de coagulare. Este clar că aici fenomenul e mai complex, dar deasemenea explicable prin acțiunea reciprocă între dipoli și ionii electrolitului, prin mărirea sau micșorarea lui la diluare și prin crearea în jurul particulei a unui înveliș icnic-polar rigid, care o stabilizează.

## 6. COLOIZII DE PROTECȚIE

Solurile anorganice ce se obțin, au deobicei un caracter mai mult sau mai puțin hidrofob, adică stabilitatea lor depinde în primul rând de sarcina electrică; totuși trebuie menționat că aceste soluri pot fi la rândul lor clasificate după hidrofilia lor, care deși slabă, este totuși vizibilă în ordinea următoare: metale:

---

1) E. Angelescu, N. V. Comănescu K. Z. 44, 288 (1928).

< sulfuri < soluri electropozitive ale hidraților metalici < soluri electronegative ale hidraților metalici obținute în prezență compușilor oxigenați.

Această serie poate suferi unele modificări, în funcție de metoda de preparare și purificare a solurilor. De ex., hidrosolurile foarte bine purificate de oxid de fier au, după Thiessen, un caracter de soluri puternic hidrofobe și sunt asemănătoare după proprietățile lor cu hidrosolurile metalelor.

Solurilor hidrofobe li se pot conferi proprietățile celor hidrofile, modificând suprafața particulelor prin formarea pe aceasta a unui strat (de adsorbție) de sol hidrofil, pulernic dispersat. Din aceste soluri fac parte, în special, mulți coloizi organici reversibili.

Astfel de coloizi care conseră stabilitate solurilor hidrofobe (sau, în general, liofobe) poartă denumirea de coloizi de protecție și se aplică actualmente pe scară foarte mare la obținerea solurilor stable, care sunt adesea necesare pentru scopuri practice, de ex. la prepararea multor hidrosoluri întrebunțate în medicină (argint, plumb, etc.). Întrebunțarea coloizilor de protecție în practica chimiei coloidale a fost introdusă de Meyer și Lottermoser<sup>1)</sup> și studiată de Zsigmondy<sup>2)</sup>. După concepția lui Zsigmondy particula solului protejat are următorul aspect: pe suprafața particulei liofobe, care reprezintă nucleul micelului, se formează prin adsorbție un strat de coloid de protecție. Acest strat este liofil și face ca tot micelul să fie liosil, adică să fie capabil de a forma în jurul său un strat lichid. În afară de aceasta, particula apărătoare posede un potențial care este un factor suplimentar de stabilitate. Conform schemei indicate pentru particula protejată rezultă că volumul ei trebuie să fie mai mare decât al particulelor neprotejate. Experiențele efectuate au arătat o mărire de volum, ceea ce confirmă schema de protecție descrisă mai sus<sup>3)</sup>.

Stratul de coloid de protecție pe suprafața particulei liofobe este deobicei mult mai mic decât particula protejată. De ex. la protecția hidrosolului de aur<sup>4)</sup> cu particule cu diametrul de  $25 \text{ m} \mu$ , stratul protector de gelatină avea o grosime de aprox.  $0,8 \text{ m} \mu$ .

Stabilitatea solurilor se manifestă, după cum știm, prin capacitatea lor mai mare sau mai mică de a rezista la coagulare

1) E. Meyer u. A. Lottermoser, J. prakt. ch. (2) 56, 242 (1897).

2) R. Zsigmondy, Z. analyt. ch. 40, 697 (1901).

3) S. Menon, D. Shivastava u. M. Prasad, K. Z. 38, 242 (1926).

4) R. Zsigmondy u. P. Thiessen, Das Kolloide Gold (1926) pag. 175.

în prezență a electrolițiilor; de aceea gradul de protecție poate fi determinat, cercetându-se capacitatea de coagulare a solului protejat sub acțiunea diseritelor substanțe.

Pentru determinarea gradului de protecție, Zsigmondy a folosit sensibilitatea solui roșu de aur, obținut prin reducere cu formalină. Începutul coagulării se observă ușor după schimbarea colorației din roșie în violetă. Pentru aceasta se iau 10 cmc. de sol roșu de aur și se determină ce cantitate minimă (în miligrame) de coloid de protecție trebuie adăugată, pentru a împiedica trecerea colorației roșii a solului de Au în cea violetă, la adăugarea unui  $\text{cm}^3$  de soluție NaCl de 10%. Această valoare a fost denumită de Zsigmondy „cifra de aur“.

Tabelă 56

**Cifrele de aur**  
(după Zsigmondy)

Colloidul de protecție	Cifra de aur	Mărimea inversă
gelatina și alte feluri de cleiuri . . .	0,005—0,001	200—100
clei de pește . . . . .	0,01—0,02	100—50
caseina . . . . .	0,01	100
gumă arabică . . . . .	0,15—0,25	6,7—4
oleinat de Na . . . . .	0,4—1	2,5—1
tragant . . . . .	cca 2	cca 0,5
dextrina . . . . .	6,20	0,17—0,05
amidon din cartofii . . . . .	cca 25	cca 0,04
acid silicic (coloidal) . . . . .	∞	0

In tab. 56 sunt date valorile cifrelor de aur pentru o serie de coloizi de protecție; din acest tabel se vede că o protecție foarte bună dă gelatina și una mult mai proastă — amidonul. Acțiunea de protecție poate fi exprimată în locul cifrelor de aur și prin valori inverse. In acest caz, cifra de aur inversă este cu atât mai mare, cu cât este mai mare acțiunea de protecție.

Cifrele de aur determină bine proprietățile de protecție ale hidrosolurilor; totuși, trebuie reținut că nu există un paralelism complet în protecția diseritelor soluri hidrofile cu unii și aceiași coloizi.

Inafară de cifra de aur, în practică au fost introduse cifrele de argint, de fier ( $\text{Fe}_2\text{O}_3$ )<sup>1)</sup> etc.<sup>2)</sup>.

Un coloid de protecție poate și caracterizat prin cifra de aur. Windisch și Bermann, folosind cifra de fier, au efectuat cercetări asupra coloizilor din bere și au arătat care coloizi contribue la spumegarea ei.

În practică, acțiunea protectoare a fost introdusă de Paal<sup>3)</sup> care a găsit că produsele de degradare a albuminei din ou sub acțiunea alcaliilor asupra acesteia (sărurile de sodiu ale acidului lizalbinic și protalbinic) sunt buni coloizi de protecție. Prin reducerea unui metal în prezența unui sol de protecție a fost preparată o serie de hidrosoluri metalice, dintre care un mare interes îl prezintă hidrosolul de argint, ca un medicament prețios, purtând denumirea de colargol (patentat în anul 1902).

Stabilitatea acestui coloid este atât de mare, încât el poate fi complet uscat, iar praful strălucitor astfel obținut se disolvă ușor în apă, formând din nou un sol stabil.

Numărul de preparate obținute cu ajutorul protecției este extrem de mare. A. F. Gherasimov<sup>4)</sup> și colaboratorii lui, au preparat cu ajutorul lichidului lui Paal hidrosoluri projestate stabilite de Sb, Cu, Bi, Ag.

Inafară de lichidul lui Paal se întrebunțează foarte des pentru acțiunea de protecție gelatina, hidrosolul de Pb pulverizat electric<sup>5)</sup> și o serie de alte soluri organice<sup>6)</sup>.

Coloizi de protecție sunt cleul vegetal<sup>7)</sup>, pectina<sup>8)</sup>.

Inafară de coloizii organici de protecție, există și coloizi anorganici: cunoscuta purpură a lui Cassius este un hidrosol de aur protejat cu acid stanic. Gutbier și numerosii lui colaboratori

1) W. Windisch u. V. Bermann, Wochenschr. Brauer 37, 129 (1920).

2) Wo. Ostwald, K. Beih. 10, 234 (1919).

3) C. Paal, Ber. 35, 2195, 2206 (1902); 59, 874, 877 (1925).

4) A. F. Gherasimov, Lucr. inst. chimico-farm. N.T.O. VNITO, Nr. 180 (1926).

5) H. S. Keelan, R. B. Smith u. W. Christiansen, J. Ann. Pharm. Assoc. 18, 586 (1929).

6) O descriere destul de amănunțită a metodelor de protecție se găsește în cartea lui Lottermoser: Das Arbeiten mit Schutzkolloiden, Abderhaldens Handbuch.

7) A. Gutbier, K. Z. Încep. dela 1916-1924; B. G. Zaprometov și F. Nurmuhamedov, Koll. J. 6, 705, 839 (1940).

8) E. Sauer u. K. Sanzenbacher, K. Z. 79, 55 (1937).

Tabela 57

**Acțiunea protectoare a coloizilor**  
 (după Reitstötter)

Coloidul de protecție	Protejează deosebit de bine următoarele soluri:
albumina . . . . .	Au, Pt, Ag, săruri de Hg, Cu, Pb, Sn, Al, Mo, W.
amilodextrina . . . . .	SiO <sub>2</sub>
caseina . . . . .	Ag, Cu, Hg, HgI.
dextrina . . . . .	Ag, Hg.
gelatina . . . . .	Pt, Au, Ag și halogenurile lor, HgS, Hg, HgO, S,
gumă arabică . . . . .	metale platinice, Hg, HgS, Cu, WO <sub>3</sub> , S, grafit, Cr <sub>2</sub> O <sub>3</sub> , MoO <sub>3</sub> ,
cauciucul . . . . .	organosolurile de Pb, Cu.

au studiat acțiunea de protecție a acidului tanic și titanic asupra unui mare număr de metale și au obținut soluri protejate stabilă, pe care le-au denumit **purpure**. Asemenea purpure au fost obținute cu Pb, Se, Fe, Au, Cu, Ru, Bi, Sb<sup>1)</sup>.

Nu numai hidrosoluile pot fi protejate, ci, în general, toate liosoluile. Prin pulverizarea electrică în lichide organice se pot obține, de ex., soluri stabile, protejate de soluții liofil de cauciuc. Prin această metodă s-au obținut în hexan soluri de Mg, Zn, Pb, Sn, Cu, Fe, alamă<sup>2)</sup>; coloizi de protecție sunt și eterii celulozei.

Acțiunea de protecție a coloizilor este în funcție de natura chimică a substanței din care e făcut solul (tab. 57).

1) A. Gutbier, Z. anorg. ch. 151, 153, 1920; 160, 28, 48 (1927); 162, 87, 101 (1927); 164, 274, 281, 287 (1927); 169, 264 (1928); Ber. 59, 1232 (1926).

2) E. Berl K. Barth u. k. Winnacker, Z. phys. ch. 154, 298, (1928).

## XXIV. METODE PENTRU PURIFICAREA SOLURIILOR

### 1. DIALIZA ȘI ULTRAFILTRAREA

Sistemele coloidale, atât artificiale cât și naturale, conțin în întotdeauna impurități formate din substanțe cristaline solubile.

Chiar în primele lucrări s-au făcut numeroase încercări de a elimina aceste impurități din sistemul coloidal. Actualmente s-a clarificat că o anumită cantitate din aceste adausuri este necesară pentru stabilitatea solurilor — ele sunt **stabilizatori** — dar excesul trebuie întotdeauna îndepărtat. Această îndepărtare, și în consecință purificarea coloidului, se realizează cu ajutorul **dializei** printr-o membrană semipermeabilă.

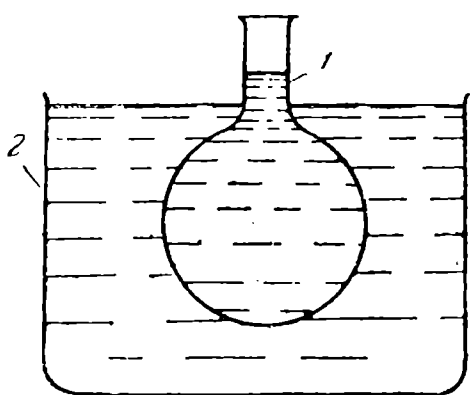


Fig. 125. — Dializor. 1. vas din membrană cu solul; 2. pahar cu solvent.

până la gradul dorit. Un astfel de aparat se numește **dializor**.

Unul dintre primii cercetători care au folosit dializorul a fost Graham; ca membrană, el utiliza o băsică animală. Actualmente, membrana cea mai întrebunțată este o peliculă de colodiu, introdusă în practica de laborator de Duclaux<sup>1)</sup> și de autor, independent unul de altul.

Dializa constă din următoarele: se prepară un sac dintr-o membrană, se umple cu solul respectiv și se plasează într'un vas cu solvent, așa cum este indicat în fig. 125, unde 1 reprezintă vasul făcut din membrană cu solul și 2 — paharul cu solvent. Cristaloizii care se găsesc în vasul 1 trec liber prin pereții membranei în solventul, care se găsește în paharul 2 și solul se eliberează de impuritățile cristaloide. Înlocuind lichidul din pahar cu unul proaspăt, se poate duce purificarea

1) J. Duclaux, K. Z. 3, 126 (1908).

Prepararea unei asemenea membrane este extrem de simplă și din acest motiv toate laboratoarele lucrează cu astfel de dializori. Pentru confectionarea unui vas din colodiu se ia, fie un balon obișnuit, dacă e nevoie de un recipient mare, fie o eprubetă; acestea se spălă bine și se usucă. Apoi se toarnă în balon (eprubetă) o soluție farmaceutică obișnuită de colodiu în astfel de cantități, încât prin învărtire să se poată ușa bine interiorul pereților și gâtelui. Apoi, învărtind balonul, acesta se întoarce cu fundul în sus, pentru ca excesul de colodiu să se scurgă într'un vas dinainte pregătit și balonul se pune pe un stâlp. După ce s'a scurs excesul de colodiu, în urma evaporării alcoolului și eterului va rămâne pe pereții balonului un strat subțire de colodiu uscat, iar la gâtelul balonului — picături întărite de colodiu. Apoi pelicula se taie foarte aproape de gâtelul balonului și linându-se picăturile uscate se desface pelicula uscată de marginea gâtelui. În orificiul format se toarnă apă dintr-o pipetă, care, trecând între pereții balonului și membrană, separă pelicula de sticlă; astfel pelicula poate fi scoasă sub formă de sac care are formă vasului în care a fost preparată. În gâtelul sacului de colodiu se introduce un tub larg de sticlă care se leagă sau se lipescă de sac. Dacă trebuie preparate plăci de colodiu, atunci soluția de colodiu se toarnă, fie pe o sticlă plană curată, fie pe suprafața mercurului și se lasă să se usuce.

În afară de colodiu se mai întrebunțează pelicule de gelatină, cauciuc, celofan și a.

•A fost propus un mare număr de dializori. Mulți dintre ei sunt cu agitare mecanică, iar în alții se creează o suprafață mare și curenți de lichide.

Membranele pot și întrebunțate în afară de dializă și la filtrare. În acest caz, particulele coloidale rămân pe filtru, iar în filtrat trece solventul cu cristaloizii. Asemenea filtre pentru coloizi se numesc **ultrafiltre**; ele au fost introduse în practică de Bechhold (1907). Pentru accelerarea filtrării se utilizează presiunea,

Ultrafiltrul cel mai simplu poate fi un săculeț de colodiu confectionat într-o eprubetă după metoda descrisă mai sus: fixându-l de un tub de sticlă se pot ultrafiltră soluri, datorită presiunii aerului comprimat în tub.

S'a spus mai sus că membranele nu lasă să treacă particulele coloidale, dar aceasta n'a fost decât o supozиie generală. În realitate, sistemele coloidale pot avea diferite grade de disperșiune și micelii coloidali pot să se apropie prin dimensiunile lor de dimensiunile moleculelor. Astfel, solurile înalt disperse vor trece prin porii diafragmei, iar cele mai puțin disperse vor fi oprite pe ultrafiltru. Folosind ultrafiltrele, se pot împărți solurile după gradul lor de disperșiune.

Variind concentrația soluției de colodiu, se pot obține filtre de diferite porozități. Soluțiile mai diluate dau ultrafiltre mai poroase; aceasta se vede bine din datele indicate în tab. 58.

Nu este greu de preparat filtre de hârtie imbibate cu colodiu<sup>2)</sup>. Pentru aceasta se introduce într-o soluție de colodiu comercial un filtru de hârtie, se lasă să se scurgă excesul de soluție, iar apoi filtrul se usucă și se spală cu apă. Pentru obținerea unor ultrafiltre mai dese procesul de preparare și uscare se repetă de trei ori.

În funcție de permeabilitatea membranelor, aceste filtre rețin sau lasă să treacă în mod diferit hidrosolurile, ceeace se vede din tab. 59, unde se arată procentul de colodiu în soluția din care este făcut filtrul.

Tabelă 58:

**Porozitatea ultrafiltrelor<sup>1)</sup>**

Concentrația coloidului în %	Dimensiunea porilor în m <sup>μ</sup>
2,5	170—200
4,0	30—36
6,0	18

Tabelă 59:

**Permeabilitatea membranelor ultrafiltrelor**

(după Bechhold)

Sistemele disperse	Caracteristica membranelor în % de colodiu în soluția inițială			Dimensiunile particulelor reținute în m <sup>μ</sup>
suspensiile și soluri fine după Bredig . . .	sunt reținute			44
soluri = Fe(OH) <sub>3</sub> și As <sub>2</sub> S <sub>3</sub> și colargoul după Heydns . . .	trec	sunt reținute		40
gelatina, hemoglobina și solul de aur de 4 m <sup>μ</sup> . . . . .	trec		sunt reținute	4—20

Permeabilitatea crește odată cu creșterea conținutului de apă în soluția de colodiu<sup>3)</sup>. În mod analog influențează adău-

1) G. Jander u. J. Zakowski, Membranfilter, Cella und Ultrafilter. Leipzig, 1929.

2) G. L. Abchin și S. N. Lipatov, Koł. J. 1, 571 (1935); 2,85 (1935).

3) G. Waipole, Bioch. J. 9,284 (1916).

garea de alcool și acetonă, în timp ce mărirea concentrației de eter și alcool amilic micșorează porozitatea<sup>1)</sup>.

Uscarea filtrului coloidal înainte de spălare îi micșorează porozitatea.

Pentru prepararea ultrafiltrelor se pot întrebuița, în afară de colodiu, filtre de hârtie imbibate cu gelatină și fixate cu o soluție de formalină de 2—4%.

Membranele și ultrafiltrele bune trebuie să aibă porii de aceeași diametru, ceeace nu se realizează întotdeauna în practică<sup>2)</sup>.

Pentru lucrul la presiuni înalte nu sunt bune filtrele obișnuite din pelicule, din cauza slabiei lor rezistențe. În acest caz membranele se precipită pe vase poroase de porțelan; filtrele astfel preparate rezistă la presiuni până la 100 atm.

Asupra ultrafiltrării și dializei influențează sarcina electrică a filtrelor<sup>3)</sup>. Apăoape toate filtrele sunt încărcate electronegativ; de aceea solurile electropozitive nu trec, sau trec greu, iar cele electronegative trec mai ușor. În porii filtrului se produce o desărcare reciprocă, o coagulare și astupare a porilor, micșorându-se astfel în mod simțitor, permeabilitatea filtrului. Membranele încărcate negativ sunt mai permeabile pentru cationi; membranele încărcate pozitiv sunt mai permeabile pentru anioni. O asemenea influență asupra ionilor o arată numai membranele dese (Michaelis).

Pe baza celor spuse este ușor de înțeles următoarea experiență: într'un dializor coloidal se toarnă apă distilată cu o picătură de metilorange și se plasează dializorul într'un vas cu o soluție 0,1N HCl. Nici după trecerea câtorva zile, nu se observă în vas vreo reacție acidă. Dacă în dializor se introduce în loc de apă o soluție 0,1N de KC1, în dializor se va observa curând o reacție acidă. Membrana de colodiu încărcată electronegativ nu lasă să treacă ionii Cl<sup>-</sup>, care rețin lângă ei electrostatic ionii H<sup>+</sup>. În cazul când de o parte a membranei se găsește HC1, iar de cealaltă parte KC1, ionii H<sup>+</sup> și K<sup>+</sup> își pot schimba locul, prin difuziune, fără să pună în mișcare ionii Cl<sup>-</sup>. Acțiunea de reținere a membranei de colodiu asupra anionilor poate fi observată și prin

1) O. Risso, Pflueger Arch. 212, 375, 685 (1926); J. Farmer, J. Biol. Ch. 32, 447 (1917); A. H. Eggert, J. Biol. Ch. 203 (1921).

2) Despre heteroporozitatea membranelor și porozitatea lor, vezi A. Dumanschi și E. Strucova, J. R. F. H. O. 61, 381 (1929); A. Dumanschi și A. P. Dumanscaia, J. R. F. H. O. 61, 1243 (1929).

3) S. P. Kramer, J. gen. physiol. 9, 811 (1926); L. Michaelis și P. Rona, Ghid de laborator pentru chimia coloidală, M., 1933.

următoarea experiență: la limita de atingere a două soluții de KC1 de diferite concentrații, nu se observă un potențial de disuziune, căci viteza de deplasare a ionilor  $K^+$  și  $Cl^-$  în apă este aceeași. Dacă soluțiile se despart printr-o membrană de colodiu, atunci se observă un potențial, care este mai mare la soluția mai diluată decât potențialul soluției mai concentrate.

La operațiunile cu organosoli, filtrele coloidale nu sunt utilizabile, căci ele se distrug în lichidele organice. În acest caz se poate lucra cu filtrele din băsică de pește și din cauciuc subțire sau cu filtre preparate prin precipitarea electrolitică a nichelului metalic pe o placă subțire de nichel<sup>1)</sup>. Filtrele de nichel permit să se lucreze cu solvenți organici și la temperatură ridicată.

În general se poate spune că ultrafiltrele, în funcție de modul lor de preparare, posedă permeabilități diferențiate, și folosindu-le, se poate: 1) separa un sol de substanțele solubile — aceasta este cea mai comună aplicație a ultrafilterelor; și 2) separa un sistem cu diferențe grade de dispersiune în fracțiuni monodisperse și determină aproximativ dispersiunea acestor fracțiuni.

Tabelă 60

**Dimensiunea particulelor (în  $\mu$ ) reținute de site, filtre și ultrafiltre**

Tipurile de filtre	Dimensiunea particulelor reținute în $\mu$
Sită metalică . . . . .	250
Sită din păr . . . . .	33
Filtre din stică Jena:	
Nr. 1 . . . . .	100—110
Nr. 2 . . . . .	50—40
Nr. 3 . . . . .	20—30
Nr. 4 . . . . .	5—10
Hârtie de filtru	
Nr. 1450 . . . . .	4,8
Nr. 598 . . . . .	3,3
Nr. 597 . . . . .	2,9
Nr. 602 . . . . .	2,2
Nr. 566 . . . . .	1,7
Nr. 602 (extra) . . . . .	1,5
Lumânarea lui Chamberlain . . .	0,4—0,2
Ultrafiltre . . . . .	0,003—0,001

1) J. Manning, J. Ch. Soc. London, 1127 (1926).

Folosind ultrafiltrarea se poate, pe de o parte, concentra un sol și avea astfel o noțiune despre mediul intermicelar, căci ionii care se găsesc în echilibru în complexul ionogen nu se ultrafiltrează, iar pe de altă parte, se poate spăla solul pe ultrafiltru, purificându-l. În acest caz structura solului se schimbă, datorită micșorării cantității de peptizator. Actualmente ultrafiltrele sunt întrebunțate în biologie. Această metodă începe să pătrundă și în tehnică, pentru purificarea sucurilor și soluțiilor de substanțe coloidale.

In concluzie, vom indica date comparative (tab. 60), referitoare la filtre și ultrafiltre, care permit să se clasifice sistemele disperse<sup>1)</sup>.

Particulele reținute indicate în tabelul 60 sunt echivalente cu particulele sferice (despre razele echivalente ale particulelor vezi Cap. II). Interspațiile capilare ale membranelor nu sunt tuburi rotunde; deschiderea lor poate fi adesea de diferite forme, foarte sinuoase, îngustându-se sau largindu-se în parcursul lor.

Diametrele porilor membranelor sau filtrului au foarte rar aceleasi dimensiuni; deobicei dimensiunile porilor oscilează, câteodată chiar în limite destul de largi.

La fel cum se face analiza polidispersă a suspensiilor se poate face și analiza porilor și da caracteristica membranelor<sup>2)</sup>.

## 2. ELECTRODIALIZA

Pentru purificarea solurilor este foarte practică electrodializa<sup>3)</sup>, propusă în ultimul timp, a cărei schemă este reprezentată în fig. 126. Solul impurificat cu electroliti se pune între membra-nele 1, 2. Între aceste membrane și peretei vasului se toarnă apă, în care se introduc electrozi. La trecerea currentului se produc două procese: electroosmoză și transport de ionii. La primul proces se transportă tot lichidul cu neelectrolii disolvați în el, iar la al doilea se transportă ionii. Sarcina membranei asupra transportului ionilor are influență: astfel în ca-

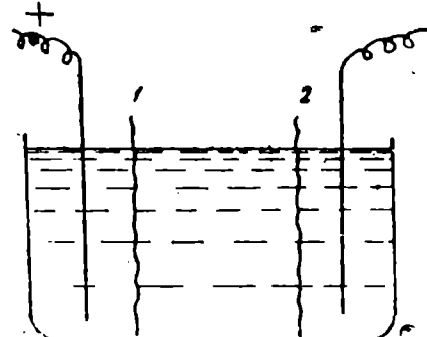


Fig. 126. Schema unui electrodializor. 1, 2. membrane.

1) R. Liesegang, Kolloidchemische Technologie 10, Leipzig, 1927. Despre teoria filtrării vezi W. Siegel (trad.) GONTI, (1939).

2) A. Dumanschi și E. P. Strucova, J. R. F. H. O. 61, 381 (1929); A. Dumanschi și A. P. Dumanscaia, J. R. F. H. O. 61, 1243 (1928).

3) Privire generală C. Dhère, K. Z. 41, 243 (1927); J. Reitslötter, Elektroforese, Elektroosmose, Elektrodialyse în Flüsigkeiten, Dresden, 1931.

zul membranelor electronegative se rețin anionii, din care cauză solul devine acid; în cazul membranelor electropozitive (din albumine) se rețin cationii și solul devine alcalin.

E dela sine înțeles că o asemenea variație a neutralității nu este întotdeauna de dorit.

Cu ajutorul electrodializei se pot obține soluri organice; gelatină, agar. Agarul astfel purificat are o reacție puternic acidă.

Electrodializa s'a răspândit foarte mult în lucrările biologice și a început să fie aplicată pe scară mare în tehnică, căci prin electrodializă purificarea se produce mult mai repede, decât prin dializa obișnuită.

## XXV. INFLUENȚA RECIPROCĂ A SOLURIILOR

La amestecarea soluriilor se produc fenomene foarte complexe, atât fizice cât și chimice, care depind de : 1) semnul sarcinii soluriilor; 2) structura complexelor ionogene; și 3) însușirile chimice ale mediului de dispersiune și ale fazei disperse.

Lucrările lui Graham conțin indicații asupra coagulării reciproce a hidrosoluriilor, la amestecarea lor. Pikton și Linder (1897) au arătat că o astfel de coagulare se observă la soluri, care se deplasează diferit la electroforeză. Mai târziu, Bieltz <sup>1)</sup>, iar apoi Billiter <sup>2)</sup> au menționat că la amestecarea soluriilor încărcate cu electricitate de semn contrar, particulele se descarcă reciproc și, în funcție de raportul cantităților ambelor soluri, se produce o coagulare parțială sau totală, iar în unele cazuri nu se observă deloc coagularea.

*Tabelă 61*

### Coagularea solului electronegativ de $\text{As}_2\text{S}_3$ cu solul electropozitiv de $\text{Fe}(\text{OH})_3$

Numărul de mg. în $10 \text{ cm}^3$		Rezultatul amestecării soluriilor	Sarcina particulelor amestecului
$\text{Fe}_2\text{O}_3$	$\text{As}_2\text{S}_3$		
0,61	20,3	Turbureală, deplasare spre anod.	—
6,08	16,6	Precipitată instantaneu. O parte rămâne. Mișcare spre anod	—
9,12	14,5	Precipitată completă.	0
15,2	10,4	Precipitată instantaneu. O parte rămâne. Mișcare spre catod.	+
24,3	4,14	Se turbură cu timpul. Mișcare spre catod.	+
27,4	2,07	Nu se observă schimbare. Mișcare spre catod.	+

1) W. Bieltz, Ber. 37, 1095 (1904).

2) J. Billiter, Z. phys. ch. 51, 142 (1905).

La anumite raporturi între solurile electropozitive și cele electronegative se produce o coagulare totală și rapidă, prin pierderea sarcinii particulelor. În cazul unui exces mare al uneia dintre soli se produce o încărcare parțială, iar particula complexă obținută posedă sarcina solului în exces (tab. 61). Fig. 127 prezintă schema fenomenului descărcării unei particule negative (centrale) prin trei particule pozitive; două sarcini pozitive în exces comunică o sarcină pozitivă particulei ionice complexe, care este formată dintr-o particulă negativă și cinci pozitive.

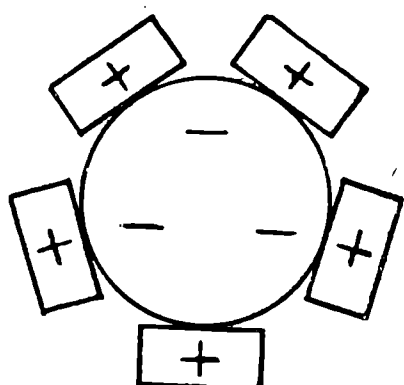
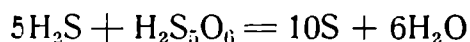


Fig. 127. — Sarcina electrică a particulelor la coagularea reciprocă a unor soluri încărcate cu electricitate de semn contrar.

cărui ion  $S^-$  adsorbit, conseră particulei de  $As_2S_3$  o sarcină negativă; al doilea sol se peptizează cu acid pentationic, al cărui ion  $S_5O_6^-$  conseră și el particulei o sarcină negativă. La amestecare, peptizatorii reacționează unul cu celălalt după ecuația:



dispărând astfel ionii peptizatori, care trec în sulf nedisociabil și apă, iar particulele soluțiilor își pierd sarcinile și coagulează.

Thomson<sup>2)</sup> a studiat cazul coagulării reciproce a solului electropozitiv de hidroxid de fier cu solul electronegativ de acid silicic. S'a găsit că precipitarea cea mai bună se producea atunci când decurgeau simultan reacțiile de neutralizare între peptizatorii solului de  $Fe(OH)_3$  cu acid clorhidric gazos și ai solului  $SiO_2$  cu sodă caustică; dispariția ionilor  $H^+$  și  $OH^-$  făcea ca solu-

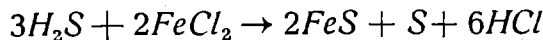
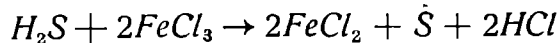
1) H. Freundlich u. A. Natanson, K. Z. 28, 258 (1921).

2) A. W. Thomson a. L. Johnson, J. Ann. ch. Soc. 45, 2582 (1929).

Fenomenul nu se produce întotdeauna în mod atât de simplu: el este adesea în legătură cu anumite reacții chimice între corporile dintre care este făcut mediul intermicelar și complexele ionogene. Chimismul poate juca aici un rol primordial, aceasta se vede din faptul că pot coagula reciproc și solurile cu aceeași sarcină electrică.

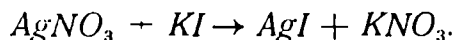
Astfel, Freundlich și Natanson<sup>1)</sup> au studiat coagularea reciprocă a solului electronegativ de  $As_2S_3$  cu solul negativ de  $S$  (după Oden). Primul sol este peptizat cu hidrogen sulfurat, al

rile să nu fie stabile, ceea ce ducea la coagulare. Coagularea reciprocă a solului electropozitiv de  $Fe_2O_3$  și a solului electronegativ de  $As_2S_2$  este în legătură cu reacția între peptizatorii lor  $FeCl_3$  și  $H_2S$ .



După cum s'a mai spus, solurile de iodură de argint se pot prepara în aşa fel încât să aibă, fie sarcini pozitive, fie negative, în funcție de excesul de  $AgNO_3$  sau  $KI$ . Solul electropozitiv are ca stabilizator  $AgNO_3$  iar cel electronegativ —  $KI$ .

La amestecare se produce coagularea însoțită de reacția între peptizatori <sup>1)</sup>:



În cazul unui exces a unuia din soluri nu se produce coagularea. Se obține un sol stabilizat prin excesul de  $AgNO_3$  sau  $KI$ , a cărui sarcină este în primul caz pozitivă, iar în al doilea, negativă. În ultimul timp s'au studiat multe cazuri de reacții chimice, ce se produc la amestecarea solurilor, putându-se chiar schimba compoziția chimică a fazei disperse. Astfel, Carghin <sup>2)</sup> a arătat că la amestecarea solurilor halogenurilor de argint cu solurile de  $As_2S_3$  și  $Sb_2S_3$  se produce o reacție care duce la formarea solului  $Ag_2S$ . O particularitate caracteristică a tuturor acestor reacții este faptul că deobicei însăși particulele coloidale (particule disperse) nu reacționează una cu alta, ci reacționează sau stabilizatorii sau particulele cu stabilizatorii. Încă Duclaux a observat inerția particulei coloidale.

Prin fenomenul de coagulare prin descărcare reciprocă, se explică adsorbția solurilor hidrofobe de către suprafața adsorbantului, încărcată electric (caolin, carbune, argilă, mătase și a.). Astfel, carbunele electronegativ adsoarbe bine hidroxidul de fier; argila încărcată pozitiv adsoarbe hidrosolul  $As_2S_3$ .

1) A. Lottermoser, K. Z. 6, 78 (1920).

2) V. A. Carghin și R. Ciarnetcaia, J. F. H. 9, 461, 481 (1937).

După cum la fenomenul de coagulare reciprocă au fost observate abateri, aşa și în cazul adsorbției există abateri. Vorbind despre adsorbția solurilor hidrofobe trebuie reținut că acest caz de adsorbție nu se supune ecuațiilor isotermelor ce ne sunt cunoscute<sup>1</sup>).

---

1) H. Freundlich, Kapillarchemie, II, 213 (1932).

## XXVI. ANALIZA CAPILARĂ

Se numește analiză capilară metoda care permite, prin folosirea proprietăților corpurilor poroase, determinarea prezenței în soluție atât a corpurilor cu caracter coloidal cât și cristalin. Această analiză este mai cu seamă calitativă, deși există încercări de a se face și determinări cantitative.

Metoda acestei analize a fost introdusă încă în anul 1906 de Goppelsroeder<sup>1)</sup>, deși Schönbaum cunoștea încă din anul 1861 unele aspecte ale acestei analize. La efectuarea analizei capilare se întrebuintează drept corp poros hârtia de filtru. Pentru caracterizarea corpului se folosește ascensiunea lichidului în capilare, viteza acestei ascensiuni, adsorbția substanței pe o suprafață și coagularea coloizilor pe pereții unui corp poros și deasemenea și evaporarea solventului.

Metoda obișnuită<sup>2)</sup> constă în aceea că se cusundă fâșii de hârtie de filtru cu lățimea de 1-3 cm. În vasul cu lichidul de cercetat la o adâncime de aproximativ 2 cm și, fixându-le vertical (ferind de evaporare) se observă atât viteza ascensiunii, cât și înălțimea la care a ajuns lichidul. Viteza ascensiunii este la început mare, se micșorează cu timpul și ajunge la zero atunci când se stabilește înălțimea limită. Înălțimea limită poate fi foarte mare; astfel, Salbom a observat că ascensiunea apei după 24 ore a ajuns la 60 cm.

La cercetarea soluțiilor apoase de acizi de egală concentrație s'a observat că în majoritatea cazurilor, acizii mari se ridică la o înălțime mai mică decât acizii mici; această regulă se aplică atât la acizii organici, cât și la cei anorganici. Soluțiile bazelor se comportă invers — bazele slabe dau o ascensiune capilară mai mică decât cele mari (Skraup).

1) F. Goppelsroeder, K. Z. 23, 94, 191, 312 (1909); 5, 52, 109, 159, 250, 305 (1906); 6, 42, 111, 174, 215, 268 (1910); Kapillaranalyse, Basel, 1906.

2) H. Schmidt, articol în R. Liesegang, Kapillarchemische Technologie, 190, Dresden, 1927.

In timpul trecerii soluției prin capilarele hârtiei se produce adsorbția și apa avansează mai repede decât soluția. Fenomene foarte caracteristice de adsorbție în timpul ascensiunii se observă la soluțiile de coloranți. Coloranții care se adsorb puternic au o ascensiune mică, iar solventul se urcă nestânjenit. Această metodă se folosește pentru determinarea cularilor în amestecuri. Cum adsorbția este în legătură cu sarcina suprafeței capilarelor, prezența electrolitilor are o mare însemnatate la analiza capilară a cularilor. Analiza capilară este foarte practică pentru determinarea sarcinii particulelor unui sol. Când suprafața hârtiei este încărcată negativ față de apă, toate particulele coagulează în capilarele hârtiei și nu permit ca solul să se ridice în sus. Acest fenomen a fost studiat de Fichter <sup>1)</sup> și colaboratorul lui, Salbom <sup>2)</sup>. Datele indicate în tab. 62 ilustrează bine acest fenomen.

Tabelă 62

**Ascensiunea apei și solului la hidrosolurile pozitive și negative**

Hidrosoluri pozitive	Inălțimea ascensiunii în cm		Hidrosoluri negative	Inălțimea ascensiunii în cm	
	apă	sol		apă	sol
oxid de cupru . . . . .	25,5	0,8	aur . . . . .	34,0	30,3
oxid de crom . . . . .	24,5	0,5	selen . . . . .	27,0	26,5
bioxid de zircon . . . .	13,2	0,4	argint . . . . .	30,7	21,5
oxid de rhuteniu . . . .	22,5	0,2	albastru de Berlin	24,5	20,5
oxid de fier . . . . .	21,0	0,2	As <sub>2</sub> S <sub>3</sub> . . . . .	30,2	10,5
oxid de ceriu . . . . .	34,5	0,2	Sb <sub>2</sub> S <sub>3</sub> . . . . .	24,8	7,0

In acelaș mod se poate determina și sarcina coloizilor organici, de ex. a coloranților, ceeace prezintă un interes practic și poate servi drept caracteristică a colorantului. Astfel, Pelet-Jolivet <sup>3)</sup> a observat legătura între înălțimea ascensiunii capilare a colorantului, sarcina lui și capacitatea de colorare.

1) F. Fichter, K. Z. 8, 1 (1911).

2) N. Salbom, K. Beih, 2 79 (1919); S. Mocrusin și O. Esin, K. Z. 41, 104 (1927).

3) L. Pelet-Jolivet, Die Theorie des Farbprocesses, Dresden, 1920.

Datele indicate în tabela 63 arată cât de mare este diferența între ascensiunea coloranților acizi și bazici pe fâșiiile de hârtie de filtru și ilustrează bine comportarea diferită a coloranților, ca și influența concentrației soluției de cercetat asupra înălțimii de ascensiune a colorantului. Cunoscând sarcina particulelor solului, se poate determina prin ascensiune sarcina corpului care se imbibă (țesătură, diafragmă poroasă), ceeace a fost menționat de Ostwald. Totuși, aplicând analiza capilară trebuie avut în vedere că acest proces nu este atât de simplu și că sunt posibile o serie de complicații<sup>1)</sup> la aplicarea lui.

*Tabelă 63*

**Ascensiunea colorantului pe fâșiiile de  
hârtie de filtru**

(după S. M. Lipatov<sup>2)</sup>).

Coloranți	Ascensiunea colorantului în cm la concentrații de		Ascensiunea apei în cm
	1%	5%	
Acizi (negativi) . . . . .			
Eozina A . . . . .	115	132	189
acidul picric . . . . .	176	167	187
bazici (pozitivi) . . . . .			
fuchsina . . . . .	14	51	181
cristalviolet . . . . .	23	67	191
rodamina . . . . .	35	88	193

1) A. Thomas a. J. Garard, J. Ann. Ch. Soc. 40, 101 (1918).

2) A. Morozov și I. Putilova, Ghid pentru lucrări practice cu coloizii, 12, 4, M. 1933.

## XXVII. SISTEME COLOIDALE LIOFILE

### I. NOȚIUNI DESPRE COLOIZII LIOFILI

Dacă vom rezuma cele spuse despre sistemele disperse, vom ajunge la următoarele concluzii: 1) orice substanță **insolubilă** într'un mediu dat (solid, lichid sau gazos) poate fi adusă în stare de sol, până la aşa numitul grad de dispersiune coloidală ( $10^5$ - $10^7$ ). Sistemul dispers obținut, care satisfacă condiția ca suprafața particulelor lui să fie liofilă (să se umecteze) dă un sol. Dacă suprafața corpului dispers nu se umectează, este liofobă, nu se poate obține un sol mai mult sau mai puțin stabil. Se produce o autocoagulare rapidă. Pentru a evita aceasta, se adaugă stabilizatori (peptizatori, emulgatori), care fac ca suprafața să devină liofilă. Aceasta se poate atinge datorită faptului că peptizatorul adsorbit orientează moleculele sale în aşa fel încât radicalii liofobi (față de lichidul dat) se dispun înspre suprafața particulei disperse, iar cei liofili — înspre lichid. Din acest motiv particula devine liofilă și sistemul dispers dă un sol stabil. La limita între două faze — a particulei disperse și a lichidului — se poate forma potențialul  $\zeta$ , fie dela sine, conferind astfel stabilitate solului sau, peptizatorul, adsorbindu-se la suprafață și va comunica un potențial  $\zeta$  și va peptiza sistemul. Sistemele cele mai stabile s-au obținut atunci când suprafața particulelor era în acelaș timp liofilă și încărcată electric. În unele cazuri se obține în loc de sol, un gel; întreg sistemul trece în stare de gel.

Materiile prime pentru obținerea unor asemenea sisteme coloidale pot fi atât cristaline, cât și amorfă. În funcție de gradul de dispersiune a corpului și de stabilizatorii utilizați, sistemele coloidale capătă însușiri diferite, care au fost descrise în capitolele precedente.

Toate aceste sisteme coloidale se numesc **dispersoizi** și pot fi obținute în stare de sol sau gel din orice fel de substanță insolubilă, în anumite condiții.

Se mai cunoaște încă un tip de sisteme coloidale denumite **coloizi liofili** propriu zisă. Din aceștia fac parte îndeosebi compuși organici cu greutate moleculară mare — **corpuri cu mare**

**grad de polimerizare.** Acești compuși fiind licili față de un anumit mediu, sau se disolvă în el (dau când sol, când soluție), sau se imbibă și dau un gel. De exemplu, cauciucul se disolvă în hidrocarburi, dar nu în apă; gelatina se disolvă în apă, dar nu se disolvă în hidrocarburi.

In mediile față de care polimerii înalți sunt liofobi se obțin soluri numai în urma unei dispersări și peptizări artificiale. De exemplu, hidrosolul de cauciuc sau solul de albumină în hidrocarburi se obțin numai în urma unei mărunțiri prealabile a acestor corpuri. La fel și albumina denaturată, insolubilă în apă, dă prin mărunțire o suspensie care se comportă ca un sol hidrofob, de tip dispersoid<sup>1)</sup>, având potențialul  $\zeta$  pozitiv sau negativ, în funcție de pH-ul mediului și care coagulează la  $\zeta = 0$ .

Substanțele macromoleculare citate sunt coloizi prin natura lor, datorită structurii moleculelor. De aici fac parte proteinele, amidonul, cauciucul, eterii celulozei și a.

Tabelă 64

### Proprietățile hidrosolurilor (soluțiilor)

Proprietăți	Dispersoizii (hidrofobi)	Hidrofilii (macromoleculari)
Solubilitatea (reală)	neglijabilă	se dizolvă dela sine
Formarea solurilor	prin dispersare în prezență de peptizatori	se formează dela sine
Structura moleculară a particulelor	în special din molecule obișnuite de corpuri cristaloide	din molecule mari (gigantice)
Presiunea osmotică	foarte mică	mare
Viscozitatea	mică; se supune formulei lui Einstein	mare; de multe ori nu se supune formulei lui Einstein
Coagularea prin electrolitii	pronunțată	
Coagularea prin ne-electrolitii	mică și numai la concentrații mari	se produce greu, sau nu se produce deloc
Fenomenele de adsorbție la suprafața particulelor	netă	mare; la concentrații mari (salifiere)
Tendința către transformări ireversibile	mare	adesea nu sunt nete mult mai mică

1) W. D. Hardy, Z. phys., ch. 33, 385 (1900).

## 2. FORMAREA ȘI OBTINEREA COMPUȘILOR MACRO-MOLECULARI COLOIDALI

La metodele cercetate până acum ale formării soluriilor ne-am oprit asupra metodelor de condensare, prin care se obțineau compuși insolubili, formați din molecule de dimensiuni obișnuite, aggregate în particule de dimensiuni coloidale și stabilizați cu ajutorul peptizatorilor. Peptizatorii erau, fie corpuri luate pentru reacție, fie produsele reacțiilor. În acest caz moleculele compusului insolubil formau o particulă coloidală a cărei suprafață purta un complex ionogen, ceea ce conferea stabilitate micelului în stare de sol. Pentru unele cazuri de obținere a unor soluri foarte stable (de ex. de hidroxid de fier) A. Dumanschi a exprimat părerea că aici nu se obțin molecule obișnuite, ci molecule mari, complexe, care se asociază în miceli. De aici făceau parte hidrații metalicelor care dau soluri pozitive și, în special, negative obținute cu ajutorul compușilor oxigenați în mediu alcalin.

La coloizii organici, G. Staudinger a arătat printr-o serie de exemple, că prin anumite reacții chimice se poate trece de la moleculele obișnuite la molecule foarte mari. Compuși formați din asemenea molecule sunt coloizi prin însăși natura lor, iar după mărimea lor moleculele corespund gradului de dispersiune coloidal.

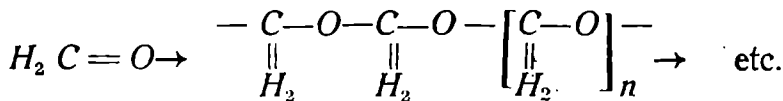
Reacția obișnuită, care duce la astfel de molecule coloide, este reacția de polimerizare. Să convenim a denumi polimerizare o asemenea reacție prin care, din două sau mai multe molecule, se obține un produs care are aceeași compoziție procentuală ca și moleculele luate. La polimerizare, Staudinger distinge două cazuri:

1) atomii polimerului obținut sunt la fel legați ca și în molecule luate pentru reacție. **Acest caz se numește polimerizare reală;**

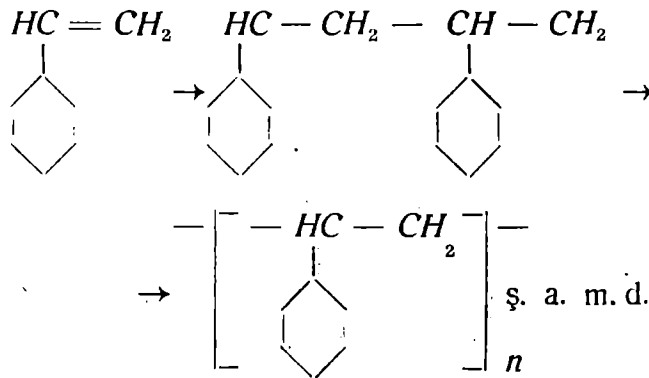
2) la polimerizare se produce transpoziția atomilor (în special a celor de hidrogen). **Acest caz se numește polimerizare de condensare.**

Ca exemple de polimerizare reală pot servi:

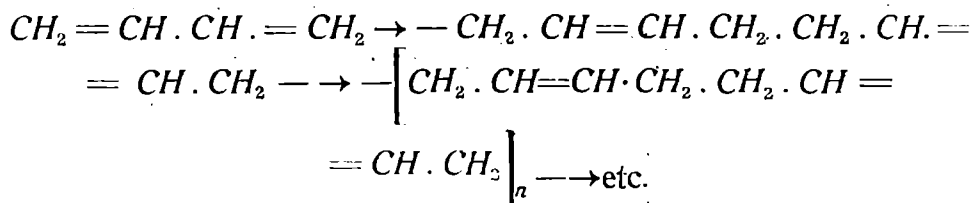
a) obținerea polioximetilenelor din formaldehidă :



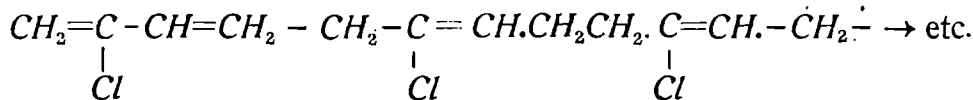
b) obținerea polistiroilor din stirol (G. Staudinger) :



c) obținerea cauciucului sintetic după S. V. Lebedev din di-vinil :

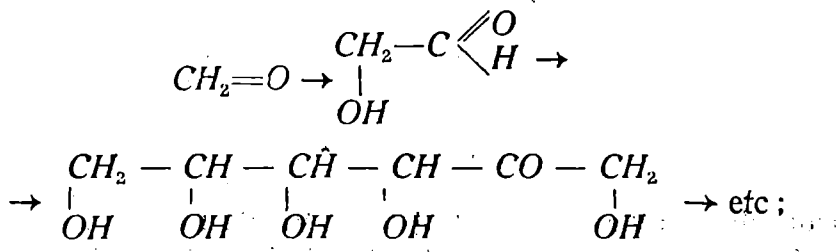


d) obținerea cauciucului cloroprenic din cloropren (H. Walles<sup>1)</sup>) :



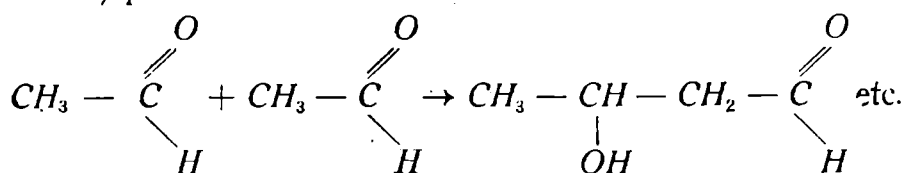
Exemple de polimerizare de condensare sunt :

a) polimerizarea formaldehydei, care duce la formarea aldehidei glicolice și a zaharurilor (acroza) :



1) H. Walles, J. Ann. Ch. Soc. Noemvrie 1931; Cauciuc sintetic. Culegere de articole, Nr. 2, 50, 1932.

b) polimerizarea aldolică :



Mecanismul procesului de polimerizare poate fi explicat în diverse moduri și e probabil ca în realitate fenomenul să decurgă pe diverse căi. După părerea lui Staudinger, polimerii cu molecule mai complexe posedând însușiri coloidale, se obțin prin activarea moleculelor. Molecula activată posedă unități libere de afinitate și, reacționând, dă din nou o moleculă activată, mai complexă, care are la capete unități de afinitate libere. Procesul unei

**Proprietățile fizice ale polistiroililor**

*Tabel 65*

Produsul	Greutatea moleculară	Gradul de polimerizare	Aspectul exterior	Comportarea față de benzen	Lungimea catenei în Å
Dimer . . . . .	208	2	lichid	nu se umflă, se disolvă	5,0
Polimer . . . . .	3 000	30	praf	idem	7,5
Polimer obținut la 150° . . . . .	23.000	230	praf	idem	575
Polimer obținut la 100° . . . . .	120.000	1 200	fibros	se umflă puțin înainte de disolvare	2 000
Polimer obținut la temperatura camerei . . . . .	200.000	2 000	idem	se umflă înainte de disolvare	5 000
Polimer obținut la temperatura camerei și în atmosferă de azot	650.000	6 000	fibros	se umflă înainte de disolvare	15.000

Astfel de polimerizări poate merge foarte departe, atâtă timp cât de capătul activat al moleculei polimerizate nu se va lega o moleculă care nu este capabilă de o asemenea activare. De aici se vede clar de ce chiar cantitățile mici de impurități pot opri polimerizarea.

Pentru obținerea moleculelor foarte lungi este necesară o creștere liniștită a catenei, pentru ca să nu se producă o altă reacție care să întrerupă polimerizarea. De aceea polimerii înalți se obțin la rece, cu utilizarea numai a unor anumiți catalizatori. La temperatură ridicată se obține un produs cu molecule scurte, care nu are caracter coloidal.

In tab. 65 se arată cum variază proprietățile unui polimer (polistirolul) cu creșterea greutății lui moleculare și a lungimii moleculei.

Vorbind despre moleculele filiforme nu trebuie să ni le închipuim neapărat sub formă de linii drepte; ele pot fi frânte sau pot avea chiar forma unei spirale (Katz).

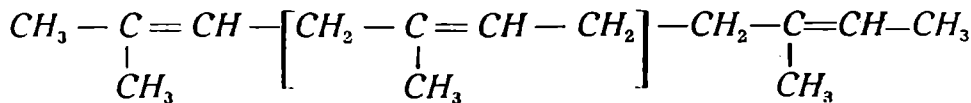
Moleculele polimerului obținut nu au deobicei aceleași dimensiuni, din care cauză se obține un amestec de polimeri cu greutate moleculară diferită.

Moleculele polimerilor pot fi nu numai filiforme, adică să aibă numai în lungime un grad de dispersiune coloidal, ci, formând catene laterale lungi, ele pot avea o dispersiune coloidală bidimensională. Se pot imagina și molecule tridimensionale cu dispersiune coloidală<sup>1)</sup>.

Asociindu-se, moleculele polimerilor se pot împreuna în micieli, care datorită complexității moleculelor pot să nu aibă o structură continuă, ca cea care a fost la particulele coloizilor anorganici. Determinarea moleculelor componente se face printr-o scindare atență într-o serie de polimeri de complexitate diferențiate.

Din coloizii macromoleculari naturali fac parte: cauciucul natural, proteinele, celuloza, amidonul, pectina și alți produși naturali.

Cauciucul natural s'a dovedit să constituie din polimerul isoprenului (Weber, Staudinger)



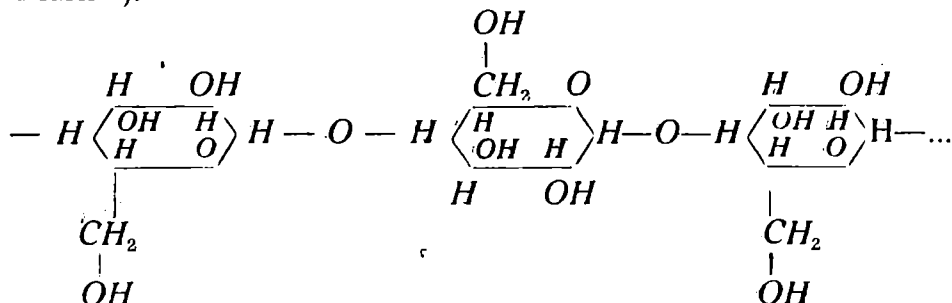
După cum s'a spus mai sus, celuloza constă din nuclee de glucoză, legate printr-o punte de oxigen într-o macromolecule de formă următoare: (vezi pag. următoare).

Sistemele din compuși macromoleculari naturali sunt construite fie direct din molecule, fie din micelii formați din aceste molecule.

Din celuloză se pot obține o serie de eteri, care posedă insușiri coloidale și care au o mare însemnatate practică.

1) A. A. Berlin, Usp. chim. 9, 642 (1940).

Lucrările referitoare la compușii cu un grad înalt de polimerizare au fost efectuate de Staudinger<sup>1)</sup>, Hess<sup>2)</sup>, Meyer<sup>3)</sup> și Márk<sup>5)</sup>.



Din compușii macromoleculari fac parte proteinele cu care vom face cunoștință puțin mai târziu.

### 3. ANALIZA ROENTGENOGRAFICA

Moleculele alungite ale compușilor soarte polimerizați nu dă cristale atât de bine formate ca și compușii cu greutăți moleculare obișnuite. În acest caz, numai compușii cu un grad de polimerizare mai mic și cu molecule liniare dă cristale bine formate. Cercetarea roentgenografică a unor asemenea cristale a arătat că moleculele sunt dispuse paralel și în formă de zig-zag (acizii grași, săpunurile). Compușii obișnuiți, cu greutate moleculară mică, au molecule de o structură, mărime și formă riguroz identică și formează cristale cu muchii nete și cu planuri de difuziune. Pe măsură ce crește lungimea catenei, identitatea moleculelor (lungimea lor) se pierde și importanța grupelor finale în structura cristalină dispare. O rețea moleculară simplă trece într'una macromoleculară (Staudinger), cu capetele moleculelor dispuse desordonat. În acest caz analiza roentgenografică dă o imagine asupra distanței între molecule și asupra mărimii grupelor elementare identice<sup>6)</sup>. De exemplu, pentru polioximetilene, lungimea grupelor elementare este 1,93 Å.

Cercetarea roentgenografică a dat anumite reflexe periodice, care arată periodicitatea disponerii la fiecare 17,37 Å, ceeaace corespunde la 9 grupe  $CH_2$  în perioada de identitate  $1,93 \times 9 = 17,37$  Å (Henstenberg).

1) G. Staudinger, Compușii macromoleculari organici, cauciucul și celuloza (trad.) 1935.

2) K. Hess, Chimia celulozei și a însușitorilor ei (trad.) 1935.

3) K. Meyer și G. Mark, Structura compușilor organici înalt polimerizați naturali (trad.) 1932.

4) H. Mark, Fizica și chimia celulozei (trad.) 1935.

5) K. Fuller, (trad.) Usp. chim. 9, 1193 (1940).

O asemenea periodicitate indică o dispunere în spirală a grupelor elementare. Pe roentgenogramă, această periodicitate este marcată prin reflexe dispuse într'un mod anumit. Moleculele dispuse paralel se dispun în fasciole — „cristalite” — care amintesc micelii, care deasemenea vor da în această direcție perioade de identitate, egale pentru compusul dat cu 4,3 și 7,69 Å.

Se formează o celulă elementară cu parametrii  $17,3 \times 4,43 \times 7,69$  Å.

In fig. 128 se arată schema unei celule elementare monoclinice a polietilenesebacitei. Frângerea moleculelor, distanța între ele și perioada de identitate sunt reprezentate prin petele respective pe roentgenogramă sau electronogramă.

In fig. 129 și 130 sunt date structurile și dimensiunile celulei elementare primare de celuloză și moleculele ei. Într-o serie de cazuri s'a putut arăta o structură în zig-zag a moleculei, de ex. în cîncna parafinică și polipeptidică a protecinei<sup>1)</sup>. Capacitatea de orientare a moleculelor lungi nu se poate manifesta întotdeauna dela sine: de exemplu, cauciucul dă roentgenograma unui corp amorf (Herzog). La întindere, moleculele se orientează (se dispun) paralel una cu alta și în aceste condiții (Katz<sup>2)</sup>, Mark și Susich<sup>3)</sup> au reușit să obțină o roentgenogramă a fiobelor de cauciuc cu linii intense și să determine structura cristalinului, compus din resturi de isopren. Moleculele lungi ale cauciucului se orientează sub acțiunea forței la care au fost supuse și dau roentgenograma fiobelor (fig. 131).

Întinderea se aplică des pentru obținerea orientării și deci a roentgenogramelor și de ex. la studiul structurii polimerilor alcoolului polivinilic<sup>4)</sup>, a polisobutylenei<sup>5)</sup> etc.

In natură, o asemenea orientare se produce la formarea țesuturilor animale și vegetale. De aceea o asemenea structură „micellar-cristalină” are întrucâtva un caracter histologic.

S'a efectuat un mare număr de lucrări pentru studiul roentgenogramelor fiobelor vegetale și sintetice<sup>6)</sup>.

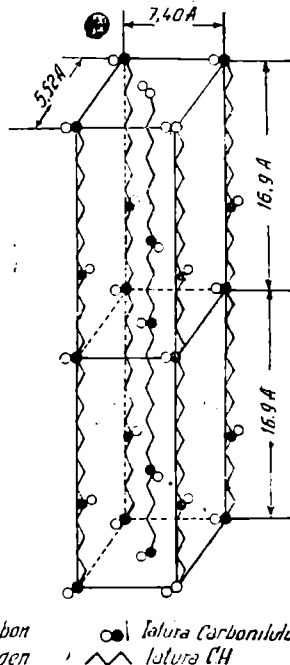


Fig. 128. — Celula monoclinică elementară de polietilenesebacată

1) W. T. Astbury, K. Z. 83, 130 (1938); F. Halle, K. Z. 81, 334 (1937).

2) J. R. Katz, Naturwiss. 13, 40 (1925).

3) H. Mark u. G. Susich, K. Z. 46, 11 (1928).

4) F. Halle u. W. Hoffmann, Naturwiss. 23, 770 (1935).

5) C. S. Marvel a. C. E. Denson, J. Ann. Ch. Soc. 60, 1043 (1938).

6) H. Bragg (trad.), Usp. fiz. nauc. 10, 325 (1930); K. Meyer și H. Mark, Structura compușilor organici macromoleculari (trad.) L. 1932; K. Hess, Chimia celulozei și a însoțitorilor ei (trad.) 1934.

Să explicăm apariția unora din reflexele cele mai simple ale roentgenogramelor.

Să presupunem că cristalele filiforme sunt dispuse în fasciole, paralele cu axa lor lungă. În acest caz, iradiind fascicolul perpendicular pe axa lui, vom observa că reflexia se va produce numai în direcția muchiilor lunghi și, din cauză că cristalele sunt

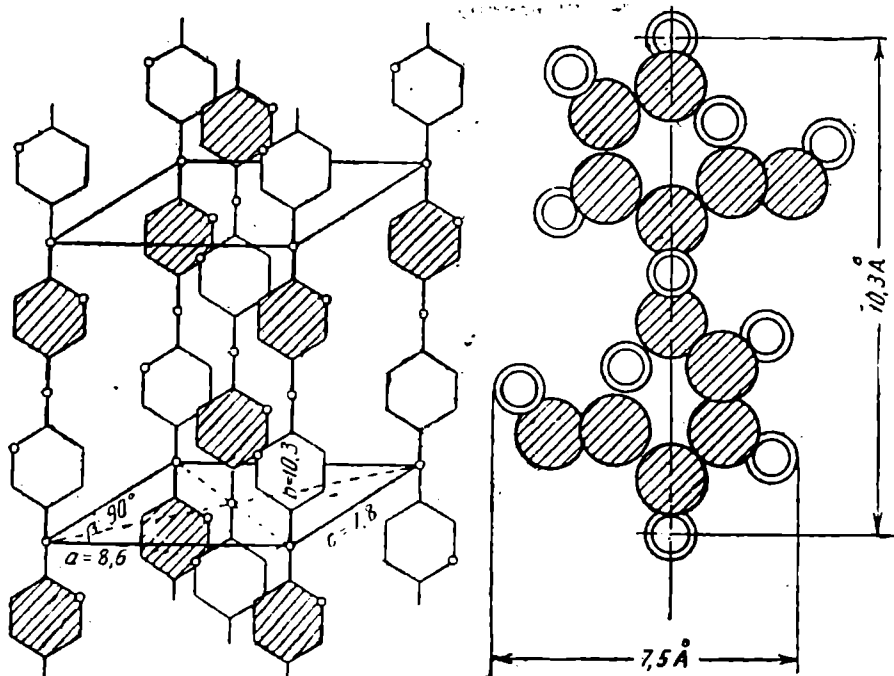


Fig. 129. — Celula cristalină primară de celuloză.

Fig. 130. — Modelul unei molecule de celuloză.

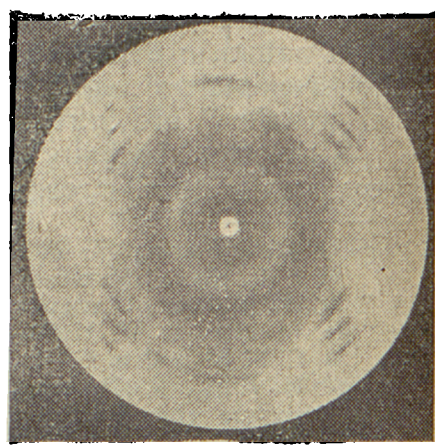
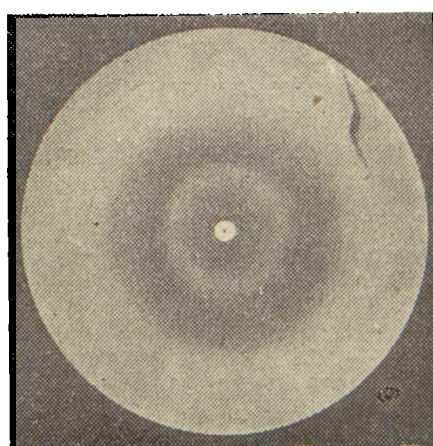


Fig. 131. — Roentgenograma cauciucului.  
A — cauciuc neîntins. B — cauciuc însin.

dispuse pe ax sub diferite unghiuri, se obțin pe diagramă, de-alungul diametrului orizontal, pete dispuse simetric de ambele părți ale centrului; în cazul cel mai simplu vor fi două pete, aşa cum este reprezentat în fig. 132. Dacă cristalele nu vor fi orientate riguros paralel, ci sub un unghi oarecare  $\varphi$  (fig. 133) —

punctele se vor transforma în segmente — pete alungite. Reflecția se face nu numai de pe planele paralele cu axele lungi, ci și pe alte plane, din care cauză pe roentgenogramă se obțin pete nu numai de pe un singur diametru ci de pe mai multe.

Dacă celuloza nu se ia în formă de fibră, ci de peliculă, unde fibrele sunt dispuse desordonat, se va obține o roentgenogramă cu

Fig. 132. — Roentgenograma unor fibre dispuse paralel.

cercuri concentrice, foarte neclare. Roentgenograma se schimbă, dacă cristalele, în loc să fie dispuse paralel, vor fi dispuse în spirală. În acest caz se observă segmente nete. Răsucind fibra, se poate vedea cum variază caracterul roentgenogramei și cum petele trec în segmente (fig. 134).

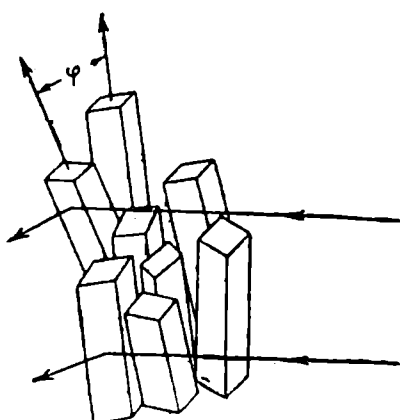


Fig. 133. — Reflecția pe un fascicol de fibre.

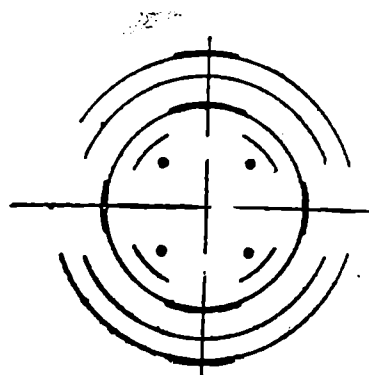


Fig. 134. Schema roentgenogramei unei fibre răsucite în spirală.

Moleculele lungi se orientează în stare de soluție prin treccerea soluției prin capilare. Nu este greu de observat, în comparație cu cercetările asupra coloizilor anorganici, cât de diferite sunt proprietățile acestor două forme de sisteme coloidale.

#### 4. STRUCTURA MOLECULEI PROTEINEI

Dintre polimerii înalți naturali, cei mai importanți și răspândiți sunt proteinele. Cantitatea de proteine uscate care se găsesc pe globul terestru a fost determinată de Sadicov<sup>1)</sup> prin cifra  $510^{12}$  tone.

În urma publicării lucrărilor lui Fischer (1906), Zelinski (1923), Abderhalden (1924), Astbury (1931) s'a putut forma o idee destul de precisă asupra moleculei proteinei.

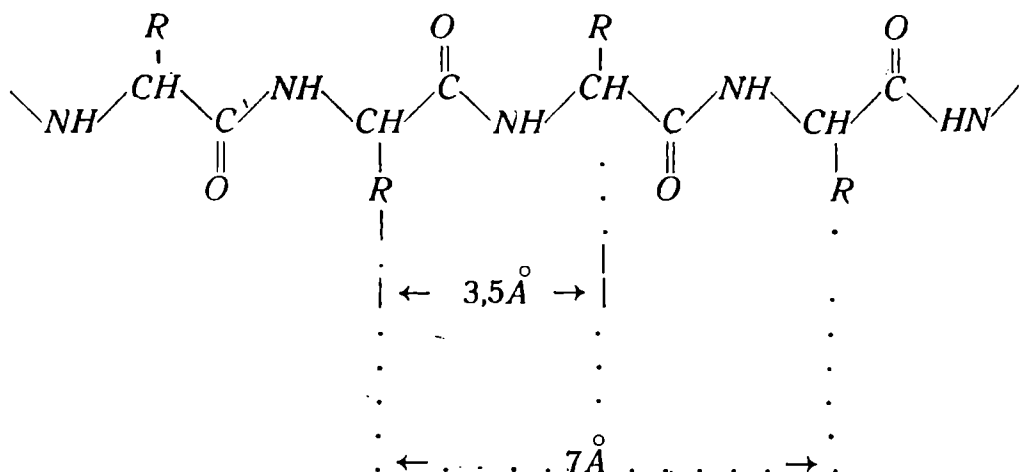
Proteinele pot fi împărțite după structura lor în două tipuri: 1) cu molecule compacte, nefiliforme și 2) cu molecule filiforme. Primul tip corespunde proteinelor cristaline, iar cel de al doilea — proteinelor necristaline (mai just — care nu sunt net cristaline).

Proteinile cristaline, care au cristale cu muchii pronunțate sunt: albumina din ou, hemoglobina, insulina. Proteine cu molecule filiforme sunt următoarele: mătasea, părul, țesutul muscular și conjunctiv.

Trebue relevat că ambele forme de proteine sunt compuse din aceiași radicali chimici.

Schema cea mai simplă a fost dată de Fischer sub forma unei catene polipeptidice lungi.

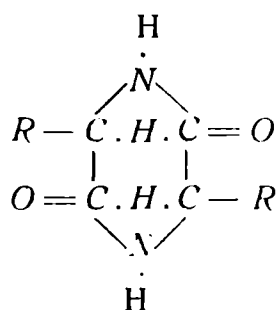
Cercetarea roentgenografică a dus la imaginea unei molecule în zig-zag, cu o grupă elementară de  $3,5 \text{ \AA}$ :



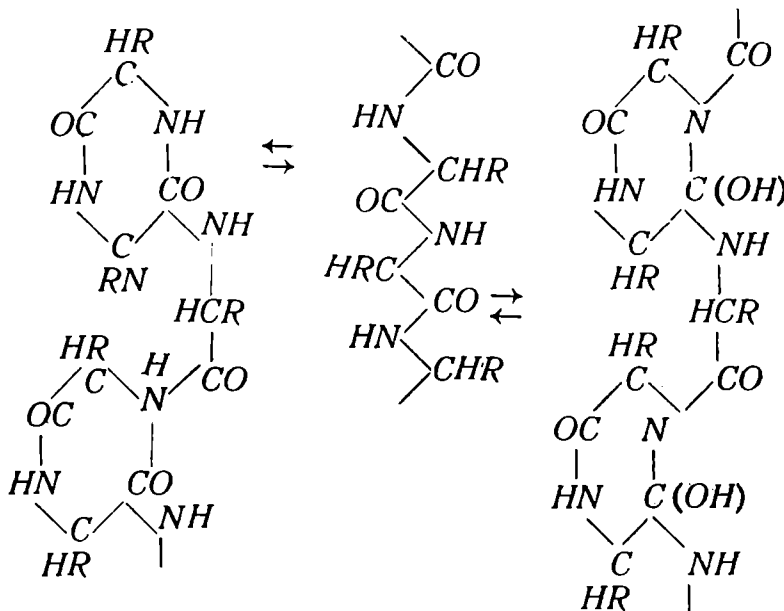
Totuși reacțiile de hidroliză a albuminelor naturale au arătat

1) V. S. Sadicov, Usp. biol. chim. 12, 83 (1936).

că în molecula albuminei se găsesc însărcă de catene polipeptidice și grupe ciclice (Zelinski) de tipul dicetopiperazinelor:



Pe baza cercetărilor roentgenografice ale lui Astbury<sup>1)</sup>, actualmente se poate avea o reprezentare destul de bună despre variațiile moleculelor filiforme de albumină și despre impreunarea catenelor polipeptidice cu inelele dicetopiperazinice. Pe baza exemplului keratinei să cercetăm variația în structura moleculei albuminei — trecerea catenelor deschise în cicluri și invers.



Formula I

Formula II

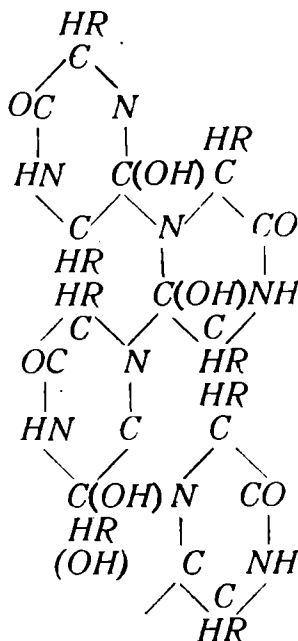
Formula III

Roentgenograma unui fir de păr normal ( $\alpha$ -keratină) dă formula I, care reprezintă o configurație multiplă în formă de S a catenei polipeptidice, care la întinderea părului îmbibat ia forma în zig-zag II a moleculei de  $\beta$ -keratină.

<sup>1)</sup> W. Astbury, K. Z. 83, 130 (1938).

La trecerea dela formula I la formula II, lungimea catenei polipeptidice crește aproximativ de două ori.

Un asemenea păr întins și tratat cu abur, lăsat liber se contractă și mai mult și ia forma III. Dacă părul continuă să fie tratat cu abur, el se strânge în mai mult și trece în forma IV.



Formula IV.

Structura proteinelor de alt tip este mai puțin cunoscută. Analiza roentgenografică a contribuit deocamdată foarte puțin la descifrarea structurilor. Roentgenogramele hemoglobinei și a albuminei de ou nu sunt clare. Se poate spune numai că moleculele lor sferice au în direcție transversală cca 40 Å, acolo unde catena polipeptidică formează prin multe intorsături o structură în rețea. În moleculele acestor proteine nu s-au observat catene lungi, deschise. Ultima reprezentare a moleculelor formate din catene polipeptidice închise în cicluri este cea a lui Wrinch<sup>1)</sup>, exprimată în teoria structurii ciclolice a moleculelor. Asemenea cicluri în formă de bandă lungă făcută ghem, sunt reprezentate în fig. 135. Deși greutatea moleculară a acestor cicloli se apropie

<sup>1)</sup> D. Wrinch, Natur, 134, 411; 138, 241 (1936); 139, 651, 972 (1937); Proc. Roy. Soc. A. 160, 59 (1937) și a.; D. L. Talmud, Structura proteinelor. AN U.R.S.S., 1940.

de valorile găsite de Svedberg prin metoda ultracentrifugării, totuși această structură nu poate fi încă acceptată pe deplin. În primul rând, dintr-o asemenea dispunere a ciclurilor peptidice, nu se mai găsește loc în cadrul lor și pentru alii radicali. În al doilea rând, această schemă nu poate fi încă comparată cu cercetările roentgenografice.

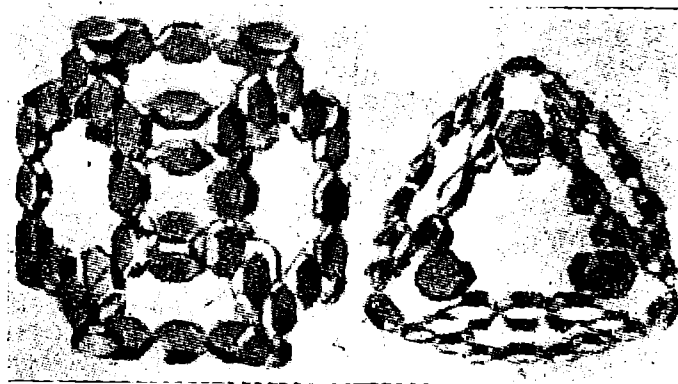


Fig. 135. — Cicloul (72 resturi de aminoacizi).

Proteinele de tipul albuminelor se denaturează ușor, adică trec din starea solubilă în starea insolubilă. De ex., la încălzirea soluțiilor apoase se produce coagularea — denaturarea proteinei — fără o variație vizibilă a compoziției. Astbury a făcut cercetări asupra albuminelor denaturate și a edestinei. El a cercetat structura moleculelor lor și a arătat că prin denaturare ea a devenit asemănătoare cu structura keratinei — o proteină care este insolubilă în apă (formula IV).

Cu toată diferența în structura moleculelor proteinelor și de aici și a cristalitelor (micelilor) lor, în toate cazurile elementele inițiale sunt catenele polipeptidice închise sau deschise avându-se posibilitatea de a dirija acest fenomen și prepara proteine cu catene moleculare deschise. Obținând solurile lor prin peptizare în soluție vom avea molecule filiforme sau fascicole formate din ele, care la presarea prin orificii capilare, la uscare sau întindere vor da fire asemănătoare firelor de mătase. Pe aceasta se bazează metoda obținerii fibrelor sintetice din caseină, care au importanță practică (lână artificială).

Datele indicate arată că deși elementele inițiale ale structurii proteinelor sunt foarte asemănătoare, foarte des structura moleculelor este ciclică, și nu liniară, ceea ce determină structura micelului (cristalitului). O complicare și mai mare în structură o dă

prezența atomilor de sulf, care se pot lega de două sau mai multe catene polipeptidice paralele, făcându-le mai puțin flexibile și mobile<sup>1</sup>).

### 5. DISOLVAREA COLOIZILOR LIOFILI

Disolvarea coloizilor liofili diferă considerabil de formarea solurilor de disperzii. Materia din care sunt făcuți coloizii liofili poate trece dela sine în soluție, fără a necesita o mărunțire prealabilă și peptizatori. De exemplu gelatina se disolvă în apă, eterii celulozei — în lichide organice. Urcarea temperaturii face ca solubilitatea să crească mult.

Înfluența temperaturii asupra solubilității este mult mai complexă decât cea care se observă la disolvarea cristaloizilor. De exemplu, la disolvarea gelatinei în apă la diferite temperaturi se obțin soluții care au proprietăți diferite: viscozitate diferită, greutate micelară (moleculară) diferită. În primul rând, la temperaturi mai joase se disolvă partea cea mai dispersă, cu frecare internă mică, iar la ridicarea temperaturii se disolvă și partea mai puțin dispersă. Astfel, gelatina a fost separată în două fracțiuni (Smith, Trunkel, 1919):  $\alpha$ -gelatina greu solubilă și  $\beta$  — gelatina ușor solubilă, prima cu greutate moleculară 150.000, iar a doua — 50.000.

Lipatov și Putilova<sup>2</sup>) au arătat că pot fi mult mai multe asemenea fracțiuni. Un fenomen analog se observă și la disolvarea altor proteine, a acvarului și a eterilor celulozei<sup>3</sup>). Fracțiunea ușor solubilă, formată probabil nu din miceli, ci din molecule foarte mari (molecule coloidale) este peptizator pentru disolvarea celorlalte fracțiuni. Nu s'a observat o peptizare reciprocă a fracțiunilor nitrocelulozei (S. Danilov, 1945). În afară de aceasta, cu urcarea temperaturii se produce desfacerea micelilor mai puțin dispersați în miceli puternic dispersați, ajungându-se până la molecule coloidale.

Toate acestea arată că de complex este procesul de disolvare și că de complex este solul care reprezintă un sistem polidispers.

În acest caz nu există o noțiune atât de precisă asupra micelului, aşa cum a fost descris în capitolul despre coloizii liofobi. Aici nucleul central al micelului nu este un corp compact, crista-

1) Vezi amănunte despre proteine în articolele lui Pasânschi, Usp. chim. 10, 519 (1941) și 14, 510 (1945).

2) S. M. Lipatov și I. N. Putilova K. Z. 68, 325 (1933); 69, 74 (1934).

3) S. M. Lipatov, Usp. chim. 4, 933 (1935).

lin, ci un fascicol de molecule lungi, care nu au o suprafață netă de separație.

Adsorbția solventului nu se produce aici la suprafață, ci pe radicali, care se găsesc pe moleculele exterioare, ca și în interiorul micelului. De asemenea la disolvarea proteinelor se hidratează radicalii OH, NH<sub>2</sub>, COO. La disolvarea eterilor celulozei, care conțin radicali polari și homeopolari (NO<sub>2</sub>, CO și CH<sub>2</sub>, CH<sub>3</sub>), se produce solvarea ambilor, respectiv cu lichide polare și homeopolare.

De aceea nitroceluloza se disolvă mai bine într'un amestec de alcool (radicali polari) și eter (în special radicali homeopolari).

Cauciucul este solubil în lichide homeopolare. Polaritatea lichidului determină constanta lui dielectrică; de aceea constanta dielectrică și polarizația dielectrică au aici o mare însemnatate.

Lipatov<sup>1)</sup> a efectuat lucrări vaste pentru stabilirea naturii soluțiilor compușilor macromoleculari, iar mai târziu au fost făcute lucrări de către Rogovin și Carghin. Actualmente s'a stabilit că compuși macromoleculari dau atât soluții moleculare adevarate, cât și soluții micelare. Si unele dintre ele sunt sisteme polidisperse.

## 6. VISCOZITATEA

În cap. VII am făcut cunoștință cu formula lui Einstein (44), care leagă volumul substanței coloidale disolvate cu mărimea  $\frac{\eta}{\eta_0}$ . Totodată știm că în timp ce în soluțiile diluate, între mărimele  $\frac{\eta}{\eta_0}$  și concentrația  $c$  a substanței coloidale, există o relație liniară, după cum o cere formula lui Einstein, la concentrații mari se observă întotdeauna o abatere. La soluțiile liofile, această abatere se observă chiar la concentrații mici. Curbele din fig. 136 ilustrează foarte bine caracterul diferit al viscozității acestor două clase de soluții.

Curba 1 — o linie dreaptă, se referă la viscozitatea soluțiilor liofobe, curba 2 — puternic ascendentă chiar la concentrații relativ mici, se referă la viscozitatea soluțiilor liofile.

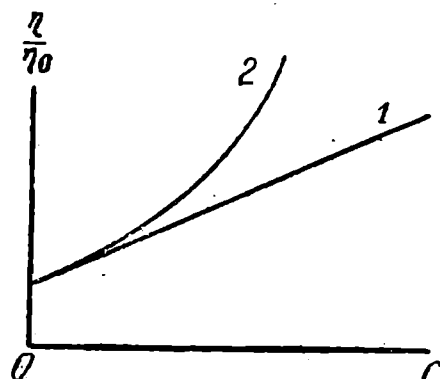


Fig. 136. — Curbele viscozității unuisol liofob (1) și liofil (2).

1) S. M. Lipatov. Problemele studiului coloizilor liofili. A. N. B.S.S.R. 163, 1941. Polimeri înălți, AN. B.S.S.R., 151, 1943.

Pe baza formulei (44) :

$$\frac{\eta^0}{\eta} = 1 + 2,5 \cdot \varphi_0 c;$$

mărimea  $\varphi_0$ , egală cu volumul unui gram de coloid dat, trebuie să fie constantă, totuși, după cum vedem din datele tabelei 66, mărimea  $\varphi_0$  depinde în mare măsură de concentrație.

*Tabelă 66*

**Valorile mărimii  $\varphi_0$**   
**(Viscozitatea hidrosolului de tanin după A. Dumanschi)**

Concentrația (g în 1 cm <sup>3</sup> sol.)	• $\varphi_0$ la temperatura de			
	20°	40°	60°	80°
0, 500	3,93	2,75	2,22	1,89
0,2000	2,75	2,11	1,77	1,57
0,1000	1,53	1,33	1,20	1,15
0,0500	1,19	1,16	—	—
0,0200	0,97	1,09	0,87	0,63
0,0100	1,02	0,97	1,07	—
0,0050	0,97	—	—	—
0,0010	1,07	—	—	—

Vedem că numai la concentrații mici valoarea  $\varphi_0$  se menține constantă. În afară de aceasta, mărimea  $\varphi_0$  depinde în mare măsură de temperatură, în special la concentrații mari.

Mărimea  $\varphi_0$ , calculată pe baza densității taninului este în toate cazurile mult mai mică și la 20° este egală cu 0,73—0,76. De aici rezultă că la un sol hidrofil (taninul), la concentrații mici, când este aplicabilă formula lui Einstein, volumul substanței coloidale în stare de soluție este mult mai mare decât al substanței uscate. De aceea se poate trage concluzia că, în stare de soluție, volumul particulei coloidale este mărit, datorită legării unei oarecare cantități de solvent și a complexității structurii nucleului micelului.

Pentru frecarea internă a soluțiilor, ale căror particule sunt solvatate, ecuația lui Einstein se poate scrie sub forma :

$$\frac{\eta}{\eta_0} = 1 + 2,5 (\varphi_0 + v) c$$

unde  $v$  este volumul lichidului legat de 1 g de substanță coloidală.

Mai bine se aplică formula lui Fickencher :

$$\frac{\eta}{\eta_0} = 1 + 2,5 \frac{\varphi}{1 - \varphi} \quad 45a$$

sau pentru soluri cu particule solvatate:

$$\frac{\gamma}{\eta_0} = 1 + 2,5 \frac{(\varphi_0 + v) c}{1 - (\varphi_0 + v) c}$$

In aceste formule  $\varphi_0$  reprezintă volumul specific al particulelor nesolvatate, iar  $(\varphi_0 + v)$  — volumul specific al particulelor solvatate.

In afară de formulele cunoscute, Hatschek<sup>1)</sup> a propus următoarea formulă pentru solurile cu particule ce se deformează elastic și care ocupă nu mai puțin de jumătate din volumul total:

$$\varphi_0 = \frac{1}{c} \left( \frac{\gamma - \eta_0}{\eta} \right)^3. \quad (137)$$

Din datele tabelei 67, în care sunt indicate valorile viscozității soluțiilor benzenice de cauciuc se poate vedea aplicabilitatea acestor formule.

*Tabelă 67*

**Frecarea internă a soluțiilor benzenice de cauciuc sintetic  
și solvatarea lui**

(după datele lui I. I. Jucov<sup>2)</sup>)

Concentrația în 100 $\text{cm}^3$ și viscozitatea $\frac{\gamma}{\eta_0}$	Volumul specific al coloidului $(\varphi_0 + v)$ în soluție după formulele:			Cantitatea de benzen în g legată de 1 g de coloid
	Einstein (44)	Fickencher (45 a)	Hatschek (137)	
$c=0,226 \text{ g}$ $\frac{\gamma}{\eta_0} = 1,12$	{ 21,3	20,3	2,1	16,9
$c=0,429 \text{ g}$ $\frac{\gamma}{\eta_0} = 1,34$	{ 31,7	28,1	3,87	23,7
$c=0,674 \text{ g}$ $\frac{\gamma}{\eta_0} = 1,72$	{ 43,30	33,3	4,08	28,3
$c=0,978 \text{ g}$ $\frac{\gamma}{\eta_0} = 2,8$	{ 44,2	30,8	14,4	26,2
$c=2,92 \text{ g}$ $\frac{\gamma}{\eta_0} = 10,8$	{ 124,5	26,9	25,5	22,7

1) E. Hatschek, K. Z. 8,34 (191).

2) I. I. Jucov, Kotll. J. 1,5 (1935).

După cum se vede din datele acestui tabel, valabilitatea formulei lui Einstein este limitată de concentrațiile mici, formula lui Hatschek — de concentrațiile mari, iar formula lui Fickencher este valabilă pentru un interval mare al concentrațiilor, ceeace se vede din constanta valorilor din ultima coloană.

Creșterea mare a viscozității odată cu creșterea concentrației, indică și prezența unei viscozități de structură, analoagă viscozității observate la geluri.

Prezența viscozității de structură se poate observa, studiind viscozitatea la curgere la diferite presiuni. Pentru cazul când nu se aplică formula lui Poiseuille (40), coeficientul constant de viscozitate  $\eta$  începe să se micșoreze la variația presiunii.

Pentru asemenea cercetări, viscozimetrul lui Ubbelode este cel mai practic.

Formula lui Einstein a fost dedusă pentru particulele sferice. Micelii și moleculele polimerilor înalți au o formă alungită, parțial filiformă, ceeace explică motivul pentru care formulele nu își pot aplica pe deplin cât și dubiul asupra valorilor calculate pentru  $\varphi$ .

Staudinger<sup>1)</sup> a dat, pentru soluțiile corpurilor cu molecule (particule) foarte alungite, o formulă care leagă greutatea moleculară  $M$  a substanței disolvate cu viscozitatea specifică  $\eta_{sp}$  a soluției :

$$\frac{\eta_{sp}}{c} = K_m \cdot M \quad (138)$$

unde  $\frac{\eta_{sp}}{c} = \frac{\eta}{\eta_0}$ ;  $K_m$  este o constantă și  $c$  — concentrația soluției, exprimată în resturi de molecule (radicali) care compun polimerul la 1 litru. De exemplu în seria polimeromologă a parafinelor,  $c$  este egal cu 14 g. la un litru sau 1,4% (radicalul de bază este  $\text{CH}_2$ ); pentru polistiroil:  $c$  este egal cu 104 g. la un litru sau 10,4% (radicalul de bază —  $\text{C}_8\text{H}_8$ ). Constanta  $K_m$  depinde de mărimea și structura moleculei de bază și se determină experimental.

Pe baza ecuației (138), cunoscând  $\eta_{sp}$  și  $K_m$ , se poate determina greutatea moleculară  $M$ . De exemplu, pentru soluțiile eterice de polistirooli cu diferite grade de polimerizare s'a găsit  $\frac{\eta_{sp}}{c}$ , pentru o probă 0,9, iar pentru alta 5. Știind că mărimea

---

1) G. Staudinger, Compușii macromoleculari, pag. 53; K. Z. 53, 19 (1930).

$K_m = 1,8 \cdot 10^{-4}$  obținem :

$$\frac{\eta_{sp}}{c} = 0,9 = K_m \cdot M_1 \text{ și } \frac{\eta_{sp}}{c} = 5 = K_m \cdot M_2$$

de unde  $M_1 = 5000$  și  $M_2 = 28.000$ , adică gradul de polimerizare este în primul caz 10, iar în al doilea 280.

Formula lui Staudinger a jucat un mare rol, deși prin cercetări ulterioare s'a elucidat că relația între  $M$  și  $\eta_{sp}$  nu este atât de simplă<sup>1)</sup>.  $K_m$  depinde de solvent și de concentrația soluției de cercetat. Această formulă se poate aplica numai la soluțiile moleculare de concentrații mici și nu se poate aplica în cazul agregării moleculelor în miceli. În afară de aceasta, formula nu ia în considerare solvatarea. Frecarea internă  $\gamma_{s.s.}$  a soluțiilor (soluțiilor) coloizilor liofili scade brusc într-un anumit interval de temperatură, ceea ce corespunde distrugerii agregatelor moleculelor micelilor și trecerii solului în soluție. Prin această proprietate solurile coloizilor liofili diferă mult de solurile disperziozilor, unde coeficientul de viscozitate, în funcție de temperatură, este aproape identic cu acel al mediului de dispersiune. O altă particularitate a acestor soluri este faptul că se supun legii lui Poiseuille numai soluțiile foarte diluate (concentrații de zecimi sau sutimi de procente). Soluții de concentrație mare au o viscozitate de structură, care este caracterizată prin prezența în soluri a unui modul de tăiere analog corpurilor solide (Şvedov, 1889).

## 7. DIFUZIUNEA ȘI PRESIUNEA OSMOTICĂ

Se știe că solurile posedă însușiri analoage însușirilor unor soluții adevărate și anume difuziune, presiune osmotică, coborârea tensiunii de vaporii a temperaturii de congelare și creșterea temperaturii de fierbere a solventului (mediului de dispersiune). Aceste însușiri le posedă și solurile liofile. Însă, din cauză că dispersiunea lor este mult mai mare, toate însușirile indicate se evidențiază mai net. De aceea constanta de difuziune a fost determinată relativ ușor pentru solurile hidrofile și deasemenea valoarea presiunii osmotice, din care s'a putut calcula greutatea moleculară.

Ecuațiile pentru difuziune, cercetate mai sus, au fost deduse pentru particulele sferice; pentru particulele de formă alungită, în formulă trebuie introdus un factor de asimetrie. Polson<sup>2)</sup> a dat o

1) K. Meyer, K. Z. 95, 7 (1941).

A. Polson, K. Z. 83, 173 (1938); 88, 51 (1939).

formulă care leagă constanta de difuziune  $D$  de greutatea moleculară  $M$ , de densitatea  $\delta$  a corpului și de factorii de simetrie a particulei  $\frac{f}{f_0}$

$$M = \frac{K \cdot \delta}{D^3 (f/f_0)^3} \quad (139)$$

Mărimea  $\frac{f}{f_0}$  depinde de raportul semiaxelor particulelor și poate fi determinată separat pe baza cercetării viscozităților<sup>1)</sup>, iar constanta  $K$  depinde de viscozitatea solventului și de temperatură. De exemplu pentru tetraclorura de carbon  $K_{25}^0 = 3,6 \cdot 10^{-14}$  pentru apă  $K_{20}^0 = 2,41 \cdot 10^{-14}$ .

Determinarea lui  $D$  se efectuează foarte lesne (Lamm<sup>2)</sup>, măsurând variația indicelui de refracție a solventului, pe măsura difuziunii substanței disolvate  $\frac{dn}{dx}$ ; astfel se determină  $\frac{dc}{dx}$  în formula lui Fick.

Pasânschi<sup>3)</sup> a cercetat după această metodă soluțiile de cauciuc și a obținut valorile date în tab. 68.

Tabelă 68  
Proprietățile soluțiilor de cauciuc

Felul cauciucului	Concentrația soluției de cauciuc în %	$D \cdot 10^7$	$\eta_{sp}$	$\frac{b}{a}$	$\frac{f}{f_0}$	$M$ după ecuația (139)
Cauciuc natural (crep deschis) . . . . .	0,116	0,71	0,95	117	4,35	831.000
Cauciuc natural precipitat . . . . .	0,130	0,66	1,25	123	4,45	975.000
Cauciuc natural destrucțurat . . . . .	0,135	1,6	0,70	88	3,85	106.000
Mostră butadienică sintetică de laborator . . .	0,187	3,5	0,293	43	2,72	28.400
Cauciuc sintetic butadienic de uzină (în fază de vaporii) . . . . .	0,112	2,1	0,336	65	3,31	72.900

Pe baza datelor acestei tabele se poate trage următoarea

1) Pasânschi, Usp. Chim. 10, 519 (1941); T. Svedberg u. K. O. Pederson, Die Ultrazentrifuge, 35, 1940.

2) O. Lamm u. H. Höglberg, K. Z. 91, 10 (1940); O. Lamm, Novo Acta Reg. Soc. Sci. Upsalensis, IV, 10, Nr. 6 (1937).

3) A. Pasânschi și T. Gatovscaia, Raport la ședința secției de colozii a Soc. chimice Mendeleev, M. 17 Mai 1945.

concluzie: greutatea moleculară de 831.000 este fără îndoială greutatea unor particule aggregate. Greutatea moleculară obținută cu ajutorul ultracentrifugei<sup>1)</sup> pentru o concentrație de 0,05% este egală cu 435.000, valoarea mai mică a lui  $M$  la micșorarea concentrației permitând să se extrapoleze pentru  $c = 0$  valoarea reală pentru  $M \approx 150.000$ .

Reprecipitarea cauciucului natural cu alcool dintr-o soluție de  $CCl_4$  nu schimbă valoarea lui  $M$ , în timp ce tratamentul termic (3 ore la 140°) produce o scădere bruscă ( $M=106.000$ ). Mostrele de cauciuc sintetic au o greutate moleculară mult mai mică.

Forma particulelor de cauciuc în soluție este foarte alungită, ceea ce se vede din mărimile  $\frac{f}{f_0}$  și  $M$ . Din mărimile  $M$  și  $\frac{b}{a}$  se pot calcula dimensiunile moleculelor. Pentru mostra inițială  $2b = 3500 \text{ \AA}$  și  $2a = 30 \text{ \AA}$ . Alți autori<sup>2)</sup> au obținut aceleași valori prin cu totul alte metode ( $2b = 3400$  și  $3600 \text{ \AA}$ ).

Calculându-se greutatea moleculară după Staudinger  $Km = 3 \cdot 10^{-4}$ ) pentru cauciucul natural în  $CCl_4$ , s'a văzut că pentru  $M$  până la 100.000 se obțin valori asemănătoare, iar pentru valori mai mari ale lui  $M$  ecuația lui Staudinger dă valori foarte scăzute.

Cercetarea difuziunii după Lamm permite o caracterizare a polidispersiunii corpului<sup>3)</sup>.

Presiunea osmotica, considerabilă la coloizii liofili, permite deosemenea determinarea greutății moleculare (micelare). Aceste determinări au devenit mult mai plauzibile după introducerea de către Sörensen<sup>4)</sup> a perfecționărilor în măsurătorile de presiune osmotica.

In laboratorul lui Svedberg au fost repetate experiențele cu osmometrul lui Sörensen și anumite greutăți moleculare au coincis cu greutățile moleculare obținute cu ajutorul ultracentrifugei. Astfel s'a determinat greutatea moleculară a albuminei de ou care este de 34.000, a hemoglobinei — 67.000.

O mare complicație în determinarea presiunii osmotice a solurilor este faptul că solurile posedă proprietățile unor soluții de electroliți. În afară de aceasta, ioni de electroliți, care sunt întotdeauna prezentați în hidrosoluri, intrând în echilibru cu acestea schimbă mult valoarea presiunii osmotice (vezi echilibrul lui Donnan).

1) David Blacke. Chemistry and Technology of Rubber.

2) Gehman a. Tield, Ind. Eng. Chem. 29, 793 (1937).

3) N. Gralen, K. Z. 95, 188 (1941).

4) I. P. L. Sörensen, Meddel. Carlsberg, Lab. Kjobenhaven, 12, 255 (1917); Z. physiol. Ch. 106, 1 (1919).

In tab. 69 sunt arătate greutățile moleculare ale diferitelor substanțe.

Tabela 69

**Greutatea moleculară a unor compuși organici**

S o l u r i l e	Greutatea moleculară	Autorul
Cauciuc natural în benzen . . . . .	129.000	Kaspary
Nitroceluloză în acetonă . . . . .	41.500	Duclaux
Hemoglobină în apă . . . . .	65.500	Eder
Gelatină în apă . . . . .	7.560	Kunitz

Trebue reținut că greutățile moleculare calculate sunt valori medii, din cauza polidispersiunii solurilor de coloizi liofili.

Presiunea osmotică se supune ecuației gazelor numai în cazul soluțiilor diluate. Odată cu mărirea concentrației se produce o mărire mult mai mare a presiunii osmotice decât prevede teoria. Ostwald a observat aceasta încă în anul 1911 și a explicat acest fenomen prin îmbinarea particulelor și prin îndepărțarea solventului în legătură cu acest proces; s-ar părea că o parte din mediul dispare, se absoarbe. Acest fenomen denotă complexitatea structurii particulelor unui coloid liofil, care pot să se mărească sau să-și micșoreze volumul, absorbind sau cedând lichid.

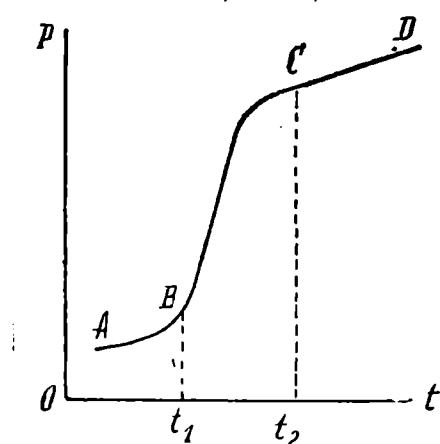


Fig. 137. — Relația între presiunea osmotică și temperatură.

Presiunea osmotică a solurilor liofile are un mare coeficient de temperatură (mai mare decât  $1/273$ ) din cauză că odată cu creșterea temperaturii, miceli se desfac în miceli cu dispersiune mai mare și apoi în molecule mari.

Pe baza experiențelor făcute de un șir de autori se poate da următoarea schemă (fig. 137) a variației presiunii osmotice cu temperatura<sup>1</sup>). În limitele de temperatură mai joase de  $t_1$  (porțiunea AB a curbei) și mai mare decât  $t_2$  (porțiunea CD a curbei) creșterea

1) S. M. Lipatov. Raport A. N. U.R.S.S., 48, 434 (1945).

lui  $P$  se supune destul de bine ecuației gazelor. Aceasta corespunde între limitele AB presiunii osmotice a micelilor, care nu se desfac încă. Începând dela punctul B și până la punctul C are loc descompunerea micelilor și din această cauză se produce o creștere anormală a presiunii  $P$ . În punctul C se termină descompunerea micelilor în molecule și între limitele CD,  $P$  crește ca în cazul soluțiilor adevărate.

O curbă asemănătoare este și curba variației viscozității cu temperatura.

## 8. SARCINA PARTICULELOR

Sarcina particulelor se poate determina prin studiul fenomenului de electroforeză și al viscozității.

Kruyt<sup>1)</sup>, comparând formula lui Einstein (44) pentru frecarea internă la solurile cu particule neîncărcate electric, cu formula lui Smoluchovski (114)

$$\eta_{so} = \frac{\eta}{\eta_0} - 1 = 2,5 \varphi \left[ 1 + \frac{1}{\chi \eta_0 r^2} \left( \frac{D\zeta}{2\pi} \right)^2 \right]$$

pentru solurile cu particule încărcate electric a ajuns la concluzia că, măsurând mărimea  $\eta$  se poate aprecia micșorarea potențialului  $\zeta$  căci expresia pentru  $\eta_{sp}$  al particulelor încărcate electric conține mărimea

$$\frac{1}{\chi \eta_0 r^2} \left( \frac{D\zeta}{2\pi} \right)^2$$

care influențează asupra variației mărimii  $\eta_{sp}$ . Kruyt a luat spre cercetare hidrosolul electronegativ de agar și a determinat viscozitatea lui specifică  $\eta_{sp}$  la începutul și după adăugarea sărurilor cu cationi de diferite valențe și a constatat scăderea valorii  $\eta_{sp}$ . O scădere egală a  $\eta_{sp}$  corespundea unui număr diferit de cationi de valențe diferite: numărul cel mai mare de cationi era necesar în cazul unui cation monovalent ( $KCl$ ), un număr mult mai mic în cazul unui cation bivalent ( $BaCl_2$ ) și numărul scădeau brusc pentru cationii tri- și tetravalenți, adică unei micșorări identice a  $\eta_{sp}$ , corespunzătoare unei micșorări identice a potențialului  $\zeta$ , se poate aplica regula valenței.

In acest fel s'a dovedit că solurile hidrofile au o sarcină care

1) H. R. Kruyt, K. Z. 31, 338 (1922); H. R. Kruyt a. H. G. Bungenberg de Jong, Z. phys. ch. 100, 250 (1922); K. Beih., 28, 1 (1928).

poate fi anihilată sau micșorată prin ioni de sarcini contrare, adică în acest caz e valabilă regula valenței (regula lui Schulze-Hardy).

Particula descărcată nu coagulează în punctul isoelectric, căci rămâne al doilea factor de stabilizare — hidratarea. Pentru a îndepărta învelișul aproape de pe particule, Kruyt adăuga hidrosoluției o substanță care se hidratează ușor — alcool, acetonă. Aceste substanțe adăugate, legând la disolvare apa de moleculele lor, oscurtă particulele coloidale și le deshydratează. Din această cauză, particulele, lipsite întâi de sarcină, iar apoi de învelișul aproape, coagulează, căci pierzând învelișul aproape ele devin analoage particulelor unui sol hidrofob, care coagulează repede la pierderea sarcinii.

Să luăm din nou solul inițial de agar și să-i adăugăm alcool. Se va produce deshidratarea particulelor, distrugându-se astfel unul din factorii stabilizației — învelișul lichid — și va rămâne celălalt factor — sarcina electrică. Solurile care au drept factor stabilizant numai sarcina electrică vor fi hidrofobe. Kruyt a dovedit hidrofobia lor prin coagulare cu electrolit: astfel, de ex., pentru coagularea agarului deshidratat s-au putut folosi electrolitii cu concentrație de coagulare, indicată în tab. 70.

Datele tabelei 70 arată că în acest caz se aplică regula valenței a lui Schulze-Hardy.

*Tabela 70*

**Concentrația de coagulare a electrolitilor  
pentru agarul deshidratat**

Electrolitul	γ în milimoli pe litru
K Cl	14
Ba Cl <sub>2</sub>	0,53
[CO(NH <sub>2</sub> ) <sub>6</sub> ] Cl <sub>3</sub>	0,33

In cazul soluțiilor adevărate nu există o asemenea relație.

Pe baza celor expuse se poate spune că substanțele deshidratante (alcoolul) fac ca solul hidrofil de agar să devină hidrofob. Kruyt presupune că se produce o deshidratare completă, totuși lucrările ulterioare<sup>1)</sup> au arătat că alcoolul elimină numai o parte

1) M. V. Ciapc. A. A. Mozgovoi și G. N. Tretiacov, Koll. J. I., 399 (1935).

din apă, legată slab de particula, care de altfel și este factorul stabilizant, iar cealaltă parte a apei este atât de puternic legată de particula coloidală, încât ea poate și foarte greu eliminată.

Pentru o explicare mai clară a procesului să ne uităm la schema (vezi figura 105), care arată trecerea treptată a unei particule hidrofile din starea I de stabilitate totală (sarcină și înveliș), prin îndepărțarea învelișului în starea II de particula hidrofobă sau prin îndepărțarea sarcinii în starea isoelectrică III a unei particule ce nu coagulează, apărătă de un înveliș hidratat. În stările III și II particula este stabilizată numai printr'un factor a cărui pierdere va produce coagularea particulei — în starea II cu ajutorul electrolitilor, iar în starea III — cu ajutorul substanțelor deshidratante (alcool), trecând în starea nestabilă IV.

Dacă particulele solului schimbă ușor semnul sarcinii, schema condițiilor de stabilitate se largeste. Să luăm un sol hidrofil electronegativ, a cărui stabilitate se determină prin poziția V. Trăsfându-l cu o substanță deshidratantă îl vom trece în starea de sol hidrofob VI, când, pierzând sarcina lui sub acțiunea unui electrolit, el va coagula în poziția IV. Prin adăugare de electrolit la solul inițial V, îl trecem în starea isoelectrică III, în care solul este stabil datorită învelișului lichid. Adăugarea ulterioară de electrolit schimbă semnul sarcinii solului, trecându-l în starea I. Trăsfând solul cu substanțe deshidratante, îl trecem în starea II de sol hidrofob, care coagulează datorită electrolitilor.

Un asemenea caz de schimbare a semnului sarcinii solurilor este destul de comun pentru proteine, ceeace a fost remarcat de Hardy<sup>1)</sup> (1899) la acțiunea acizilor și alcaliilor. Schimbarea semnului sarcinii micelilor de proteină se observă prin metoda electroforezei. Hardy a arătat că există o stare a solului în care nu are loc deplasarea micelilor, nici spre anod, nici spre catod, adică există un punct isoelectric.

La aplicarea schemei cercetate pentru suspensii (vezi fig. 105) la coloizii liofili, trebuie reținut că analogia într'o suspensie cu particule hidrofile și micelii coloizilor liofili este departe de a fi completă. Diferența constă din aceea că la suspensii particula are un nucleu solid cu o suprafață hidrofilă, care adesea este aplicată în mod artificial. În cazul micelului unui sol hidrosil nu există nucleu solid și o suprafață simplă, iar particula este un sistem complex, cu o suprafață foarte neregulată. De aceea apa vine în atingere mult mai directă cu particula să și suprafața hidrofilă ocupă cea mai mare parte din volumul particulei. Cu alte cuvinte, particula unui sol hidrosil pare să fie complet îmbibată cu apă, în-

1) W. B. Hardy, Proc. Roy. Soc. L. 66, 110 (1900).

împotriva particulelor solide ale suspensiei sunt legate de lichid nu mai la suprafață. Kruyt presupunea (în schema lui) că, capacitatea de a forma o sferă apoasă, adică de a lega apa, nu depinde de sarcină. Aceasta nu corespunde realității<sup>1)</sup>. În punctul isoelectric hidratarea este mai mică<sup>2)</sup>.

O serie de lucrări executate în laboratorul autorului, au arătat relația necondiționată între potențialul  $\zeta$  al micelului și cantitatea de apă legată de el<sup>3)</sup>.

## 9. SALIFIEREA

Prin introducerea în sol a unor substanțe care se dissolvă bine în acest lichid, se poate îndepărta învelișul lichid de pe particulă, făcând-o să fie mai puțin stabilă. Hidrosolurile care nu coagulează cu cantități mici de electroliți separă substanța coloidală la adâugarea unei mari cantități de săruri neutre care nu acționează chimic asupra coloidului. În acest fel se pot salifica proteinele din soluțiile apoase. Această metodă de separare a materiei coloide se aplică cu mult înainte de dezvoltarea noțiunilor asupra proceselor chimico-coloidale. Salifierea se face cu mari cantități de săruri de metale alcătuite (cățiva moli) obținându-se astfel fulgi de coloid separat. Procesul este reversibil, și la diluarea soluției, precipitatul trece din nou în soluție<sup>4)</sup>.

Fenomenul salifierei se asemănă cu disoluția de echilibru a unor substanțe în unul și același solvent, ceea ce indică Sörensen în lucrările lui (1918). Procesul de salifiere se aplică pentru separarea diseriștilor compuși din soluțiile apoase (de ex. a alcoolilor și a multor compuși organici).

Capacitatea de salifiere a electrolițiilor depinde, după cum a arătat Hofmeister în anul 1888, de anionul sării. După activitatea lor anionii pot fi clasati în următoarea serie:

citrat	$> SO_4^{2-}$	$>$ acetat	$> Cl^-$	$> NO_3^-$	$> CNS^-$
0,56	0,80	1,89	3,62	5,42	$\infty$

Cifrele date sub denumirile anionilor arată concentrația în moli a sării de sodiu a anionului respectiv, care produce salifierea albuminei neutre de ou. Rodanura și iodura nu produc practic sa-

1) N. Marinescu, J. chim. phys. 28, 51 (1931).

2) V. I. Utochkin, Koll. J. 2, 399 (1936).

3) A. Dumanschi, M. Ciapec, T. Buravlev și E. Surâghina. Koll. J. 3, 99 (1937).

4) Despre stabilitatea coloizilor liofili vezi N. P. Pescov, J. F. H. I. 605 (1930).

salisiere, chiar la concentrații foarte mari. O astfel de serie se numește **liotropă**.

Acțiunea liotropă este în legătură cu hidratarea ionilor: cu cât este necesară mai multă apă pentru hidratarea ionului, cu atât rămâne mai puțină apă pentru solubilizarea substanței și salificarea se produce mai ușor. Într-o serie analoagă se dispun și cationii.



La proteine, ale căror proprietăți depind în mare măsură de pH-ul mediului, seria ionilor care produc salificarea se poate inversa, adică ordinea este inversă și semnul neegalității trebuie mutat. Pentru o proteină în mediu alcalin proprietățile de salisiere ale ionilor, corespund șirurilor citate. Pentru un mediu slab acid se produce inversarea,  $CNS^-$  și  $NO_3^-$  salifiază mai puternic decât  $Cl^-$   $SO_4^{--}$ , ceeace a fost observat de Posternak (1901) și Pauli (1904). În prezența unei mari cantități de acid (aprox. 0,3 moli) proteină își schimbă proprietățile și fenomenul de salisiere devine ireversibil. Este important de menționat că șirul de ioni indicat mai sus influențează în aceeași ordine și asupra altor fenomene, de ex. asupra solubilității cristaloizilor în apă, asupra tensiunii superficiale, asupra vitezei unor reacții (saponificarea). O asemenea influență poartă numele de acțiune **liotropă** a ionilor.

In cazul solurilor de metale grele, fenomenul se complică. Se produc reacții chimice vizibile între cationii metalelor grele și proteine și precipitatul format posedă alte însușiri chimice: metalul se combină cu molecula proteinei. În acest caz procesul devine ireversibil (Pauli, Bechhold, Sörensen, Nortrop și al.).

Hidratarea se poate micșora nu numai prin introducerea unei mari cantități de sare, care necesită pentru disolvarea ei o mare cantitate de apă, ci și cu alte substanțe puternic deshidratante, de ex. prin adăugarea de alcool, acetona și a. Precipitarea sub influența compușilor organici este câteodată ireversibilă.

Cazul salifierii cantitative (coagularea) hidrosolurilor a fost cercetat de autorul cărții. Hidrosolurile coagulează sub influența unui amestec a doi neelectroliți: unul — ușor solubil în apă (de ex. alcoolul) și altul — greu solubil în apă, dar ușor solubil în primul neelectrolit (de ex. eterul, hidrocarburile). Pentru un număr imens de hidrosoli se poate găsi un raport între hidrosol, alcool și eter, la care să se producă coagularea totală<sup>1)</sup>. Dacă

1) A. Dumanschi și A. P. Dumanscaia. Lucrările institut. central de bio-chimie și industrie alimentară, 3,406 (1933); A. Dumanschi, Publicația institut. de cercetări pentru chimia coloidală fasc. I. 10 (1934).

corpul coagulat obținut se filtrează pe un filtru cāntărit, se spălă cu amestec coagulant (apă, alcool, eter) se usucă și se cāntărește, se poate determina cantitatea de coloid care a existat în soluția apoașă. Pe aceasta se bazează metoda lui A. Dumanschi — determinarea gravimetrică a unui coloid în soluții apoașe.

Această metodă de analiză cantitativă a unui coloid solubil în apă a fost folosită la controlul unei serii de fabricații când era necesar să se urmărească variația cantității de coloizi în soluțiile apoașe. Prin această metodă s'a făcut controlul purificării soluțiilor (sucurilor) din industria zahărului; apoi în industria berei a fost determinată cantitatea de coloizi solubili în bere, în funcție de felul berei. În mod analog au fost cercetate și alte fabricații<sup>1)</sup>.

Asupra salifierii (coagulării) cu neelectroliți influențează prezența electroliților. La anumite raporturi a acestor doi compoziții se produce fenomenul de stabilizare și sensibilizare observat de Jirgensons<sup>2)</sup> și studiat prin metoda analizei fizico-chimice de către Dumanschi<sup>3)</sup>.

Atât la salifierea cu săruri, cât și la salifierea cu neelectroliți are importanță pH-ul mediului, în special la separarea proteinelor amfotere.

La acțiunea electroliților se observă cîteodată un fenomen original. Solul separat se adună întâi în picături lichide, care formează o a două fază lichidă. Picăturile se măresc și se obțin două lichide nemiscibile: unul din ele este solul concentrat, iar celălalt solul diluat. Acest fenomen de stratificare a hidrosolului în două faze lichide a fost denumit coacervare<sup>4)</sup>. Procesul coacervării, ca și salifierea este în legătură cu hidrofilia sistemului, cu îndepărțarea apei libere a solventului cu sare sau cu altă substanță introdusă și cu greutatea de cedare a apei legate de particule, care se adună într'un ghem, împreună cu apa rămasă.

Fenomenul de coacervare se observă la amestecarea a două soluri liosile cu sarcini contrare.

In timp ce la amestecarea a două soluri hidrofile se observă coagularea, cu formarea unui precipitat obișnuit, la amestecarea a două soluri hidrofile cu sarcini contrare se observă o mărire a viscozității sistemului, o turburare și după o sedere de câteva ore amestecul se desface în două straturi lichide — se produce aşa numita coacervare complexă. Aici are loc simultan și pierderea sarcinii și deshidratarea solurilor (Bungenberg de Jong).

1) A. Dumanschi, Coloizii solubili în apă în produsele industriei alimentare și importanța lor în procesele tehnologice. Piscepronizdat (1943).

2) B. Jirgensons, K. Z. 41, 331, 42, 59 (1927); 44, 285 (1936).

3) A. Dumanschi și N. C. Bondarenco, J. O. H. I. 933 (1931).

4) H. Bungenberg de Jong u. H. Kruyt, K. Z. 50, 39 (1930); H. Bungenberg de Jong, K. Z. 79, 223 (1937); 80, 221, 350 (1937).

## 10. PEPTIZAREA

In timp ce solurile luate in concentrații mari au o acțiune salifiantă asupra solurilor de proteine, solurile în concentrații mici au dimpotrivă o acțiune peptizantă. Globulinele, de pildă, se pot găsi in soluție numai in prezența de electroliți. Dacă electroliții se îndepărtează prin dializă din soluția de globulină, se produce separarea ei sub formă de precipitat, care se peptizează din nou la adăugarea electroliților.

Observăm aici un nou caz de coagulare, care este în legătură cu îndepărarea peptizatorului din sol; acest caz se produce destul de des la purificarea hidrosolurilor prin dializă îndelungată.

*Tabela 71*

### Peptizarea globulinei

Concentrația electro-litului in moli	Gradul de peptizare
0,0005	Electrolitul citrat de Na coagulare parțială
0,001	" "
0,002	peptizare aproape totală
0,003	peptizare totală
0,001	Electrolitul La (NO <sub>3</sub> ) <sub>3</sub> , coagulare parțială
0,005	" "
0,006	peptizare aproape totală
0,01	" " "
0,02	peptizare totală

Chick<sup>1)</sup> a cercetat peptizarea globulinei serului din sânge de cal cu electroliți și anume cu citrat de Na și La (NO<sub>3</sub>)<sub>3</sub>, luate în diferite concentrații (tab. 71). S'a constatat că la peptizarea cu citratul de sodiu micelii globulinei se încarcă negativ, iar la peptizarea cu La (NO<sub>3</sub>)<sub>3</sub> ei se încarcă pozitiv.

In unele cazuri, de ex. la folosirea ca electrolit a BaCl<sub>2</sub> peptizarea nu dă particule cu sarcini determinate. Pentru fenomenul

1) H. Chick, Bioch. J. 7, 318 (1913).

peptizării globulinei există două explicații: 1) obținerea unor săruri anumite ale proteinelor, solubile în apă; și 2) adsorbția sărurilor peptizatorilor.

## 11. SOLURILE LIOFILE CA ELECTROLIȚI

Din cauză că particula coloidală posedă o suprafață de separație cu mediul, la disociația electroliitică joacă rol numai suprafața și moleculele care se găsesc pe ea și sunt capabile să se disociază. De aici provine studiul lui Pauli despre complexul ionogen pe suprafața particulei coloidale.

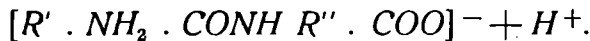
Solurile liofile nu au o suprafață netă de separație, pe care să se poată forma un complex ionogen decelabil. La aceste soluri conductibilitatea electrică se determină prin disociația grupelor ionogene care există ca atare la moleculele polimerilor. Electroliții mai importanți sunt solurile de proteine (soluțiile).

Structura polipeptidică a proteinelor explică proprietățile proteinelor ca electroliți.

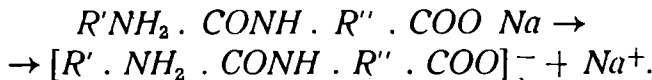
Radicalii moleculei de proteină au următorul caracter: radicalii hidrocarbonați neutri, grupe amino  $\text{NH}_2$  cu caracter bazic și grupa peptidică  $\text{CO NH}$ , care mărește aciditatea carboxilului. Prezența simultană a radicalului acid și bazic face ca molecula de proteină să fie amfoteră (amfolit), având un caracter bazic, când predomină influența grupei amino:



și caracter acid, când predomină influența grupei carboxil



Caracterul acid al proteinei se observă în prezența bazelor prin formare de săruri



Caracterul bazic se observă în prezența acizilor:



Astfel, concentrația ionilor de hidrogen sau  $pH$ -ul mediului determină sarcina particulei (ionului) de proteină, care poate fi anion sau cation<sup>1)</sup>.

1) Amănunte asupra proprietăților hidrosolurilor de proteină vezi V. Pauli și E. Valko, *Chimia coloidală a proteinelor* (trad.) 1936.

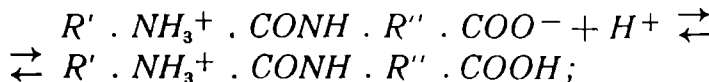
Inafără de aceasta, proteinele pot forma un strat dublu care se obține prin disociația electrolitică simultană a grupelor carboxil și amino :



Existența unor astfel de ioni la aminoacizi a fost arătată de G. Bredig și F. Kister, care i-au denumit ioni amfoteri sau amfioni. Apoi E. Adamis și mai târziu N. Bjerrum<sup>1)</sup> (1923) au ajuns la concluzia că aminoacizii există în soluții apoase în formă neutră, nu sub formă de molecule nedisociate, ci mai ales sub formă de amfioni. O reprezentare analoagă poate fi transferată și asupra moleculei de proteină. În acest caz în moleculea de proteină vor alterna grupele  $NH_3^+$ , încărcate pozitiv, cu grupele  $COO^-$ , încărcate negativ. În consecință, moleculea filiformă, alungită, de proteină, în stare de anion sau cation, care în punctul isolectric constă în special din amfioni, se va încolăci în spirală<sup>2)</sup> sub influența radicalilor pozitivi și negativi, aşa cum se arată în fig. 138.

Nu este greu, pornind dela ionul neutră amfoter, de dat o schemă de formare a cationilor și anionilor de proteină, în funcție de  $pH$ -ul mediului, ceeace se vede din următoarele:

1) în mediu acid excesul de ioni  $H^+$  dă un cation



2) în mediu alcalin excesul de ioni  $OH^-$  dă un anion :

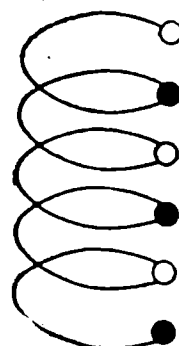
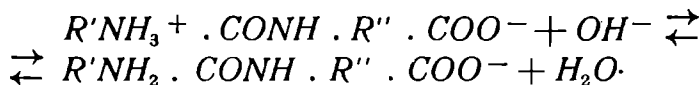


Fig. 138.— O molecuă în spirală de proteină în punctul isolectric.

## 12. STAREA ISOELECTRICĂ

Pozitia punctului isolectric este determinată de  $pH$ -ul mediului, la care moleculele de proteină se găsesc în stare nedisociată, sau sub formă de amfioni.

1) N. Bjerrum, Z. phys. Ch. 104, 147 (1932).

2) H. Zocher u. F. Stiebel, Z. phys. ch. 147, 432 (1930); E. Gorter u. F. Grendel, Bioch. Z. 201, 391 (1930); K. H. Meyer și H. Mark, Structura polimerilor organici înălți (trad.) 156 (1932).

In tab. 72 sunt date valorile ( $H^+$ ) pentru punctele isoelectrice ale unor proteine, obtinute ca rezultat al experientelor lui Michaelis<sup>1)</sup> si Sörensen<sup>2)</sup>. Știind că în punctul neutru ( $H^+ = 0,93 \cdot 10^{-7}$ ), vedem că proteinele au punctul isoelectric în mediul acid, căci ( $H^+ > 0,93 \cdot 10^{-7}$ ).

Tabela 72

### Valorile $[H^+]$ pentru punctele isoelectrice ale unor proteine

Proteinele	$[H^+]_{norm}$	pH	Proteinele	$[H^+]_{norm}$	pH
glutina	$2,5 \cdot 10^{-5}$	4,6	gliadina	$6,0 \cdot 10^{-6}$	5,2
cascina	$2,4 \cdot 10^{-5}$	4,6	globulina	$3,6 \cdot 10^{-6}$	5,4
gelatina	$2,0 \cdot 10^{-5}$	4,7	edestina	$1,4 \cdot 10^{-7}$	6,8
serum albumina	$2,0 \cdot 10^{-5}$	4,7	hemoglobina	$1,8 \cdot 10^{-7}$	6,7
albumina din ou	$1,53 \cdot 10^{-5}$	4,79	gliadina	$1,74 \cdot 10^{-6}$	5,76

Pentru a transforma valorile ( $H^+$ ) în valorile indicelui de hidrogen pH, trebuie luat logaritmul cu semn schimbat al acestui număr. De ex., pentru apă

$$[H^+] = 9,3 \cdot 10^{-8};$$

atunci :

$$\lg [H^+] = -8 + \log 9,3 = \lg [H^+] = pH = 8 - \log 9,3 = 7,03.$$

Dacă ( $H^+$ ) se recalculează în pH-urile corespunzătoare, atunci pentru proteinele citate pH-ul punctului isoelectric este mai mic decât 7,03.

Pentru unele proteine insolubile în apă (lâna, mătasea, fibrina) valorile pH-ului, în punctul isoelectric sunt următoarele (după Pauli și Valko<sup>3)</sup>):

lână	4,9
mătase	5,1
fibrină	6,4

Mătasea, lâna, fibrina, albumina și proteinele sunt în general încărcate pozitiv în mediul acid și negativ în cel alcalin.

Datorită caracterului amfoter al moleculelor de proteine, miș-

1) L. Michaelis, Bioch. Z. 28, 193 (1910); 33, 456 (1911).

2) S. Sörensen, Z. physiol. Ch. 103, 197 (1919).

3) W. Pauli u. E. Valko, Elektrochimie der Kolloide, 443, Wien, 1929.

carea proteinei la electroforeză va varia mult în funcție de concentrația ionilor  $H^+$  al mediului.

Aștel, la electroforeza solului de serum-albumină în punctul isoelectric  $pH = 4,7$  și  $(H^+) = 2,0 \cdot 10^{-5}$ ; electroforeza nu se produce (lipsește sarcina electrică), la  $(H^+) > 2,0 \cdot 10^{-5}$  se observă electroforeza spre catod, adică micelii sunt încărcați pozitiv; la  $(H^+) < 2,0 \cdot 10^{-5}$  mișcarea este îndreptată spre anod, adică micelii sunt încărcați negativ<sup>1)</sup>.

Exemplul cercetat arată importanța mărimilor  $(H^+)$  și  $pH$  în studiul sistemelor coloidale.<sup>2)</sup>

Din datele tab. 73 se vede cât de mult se schimbă proprietățile solurilor de coloizi hidrofili în punctul isoelectric.

Nu este greu de găsit relația între concentrația ionilor de hidrogen ( $H^+$ ) și constantele disociației electrolitice a apei, a soluțiilor apoase de proteină bazică sau acidă în punctul isoelectric. Să notăm particula de proteină cu  $M$ ; atunci disociația proteinei, ca amfolit, se va produce după schema următoare:

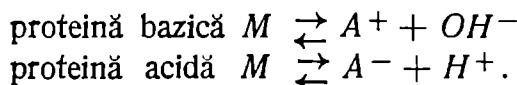


Tabela 73

**Proprietățile solurilor de proteine în punctul isoelectric  
(după Schade)<sup>3)</sup>**

Indicii	Solul isoelectric de proteină	Proteina încărcată electric
sarcina electrică	n'are	+ sau -
hidratarea	mică	puternică
coagularea cu alcool	totală	mică
viscozitatea	mică	mare
conductibilitatea electrică	foarte mică	mai mare
presiunea osmotica	neglijabilă	mai mare
tendența către transformări ireversibile	mare	mai mică

1) L. Michaelis u. H. Davidson, Bioch. Z. 33, 456 (1911).

2) L. Michaelis, Die Wasserstoffionen-Konzentration, Berlin, 1922.

3) G. Schade, Chimie fizică (trad.) 52.

Pe baza echilibrului chimic, avem :

$$[A^+] \cdot [OH^-] = K_o M \text{ și } [A^-] \cdot [H^+] = K_k M \quad (140)$$

unde  $K_o$  este constanta de disociere a proteinei bazice, iar  $K_k =$  constanta de disociere a proteinei acide. Cum drept solvent s'a luat apa, între concentrațiile ionilor de hidrogen și hidroxil există relația :

$$[H^+] \cdot [OH^-] = K_w \quad (141)$$

Gradul de disociere a unui amfolit în stare acidă sau bazică este acelaș ( $A^+ = A^-$ ). În afară de aceasta, toate cele trei ecuații de echilibru trebuie să fie satisfăcute. Pentru a contopi condițiile de echilibru într-o singură ecuație vom împărți ecuațiile (140), iar din ecuația (141) vom înlocui ( $OH^-$ ); vom avea;

$$\frac{[A^+] \cdot [OH^-]}{[A^-] \cdot [H^+]} = \frac{[A^+]}{[A^-] \cdot [H^+]^2} \cdot K_w = \frac{K_o}{K_k}$$

In punctul isoelectric, datorită egalității gradelor de disociere

$$[A^+] = [A^-],$$

de unde

$$\frac{K_w}{[H^+]^2} = \frac{K_o}{K_k} \text{ sau } [H^+] = \sqrt{\frac{K_k \cdot K_w}{K_o}} \quad (142)$$

Ecuația e valabilă în absența altor electrolizi. Formula (142) determină concentrația ionilor de hidrogen în punctul isoelectric dacă se cunosc constantele  $K_k$ ,  $K_w$  și  $K_o$ .

Constanta de disociere<sup>1)</sup> a apăi are următoarele valori :

la  $18^\circ$ ,  $K_w = 0,74 \cdot 10^{-14}$ ; la  $20^\circ$   $K_w = 0,86 \cdot 10^{-14}$  și la  $25^\circ$ ,

$$K_w = 1,27 \cdot 10^{-14}$$

ceea ce corespunde următoarelor concentrații ale ionilor de hidrogen : la  $18^\circ$   $[H^+] = 0,86 \cdot 10^{-7}$ , la  $20^\circ$   $[H^+] = 0,93 \cdot 10^{-7}$  și la  $25^\circ$   $[H^+] = 1,3 \cdot 10^{-7}$ .

In prezența sărurilor neutre valoarea pH-ului care caracterizează punctul isoelectric al amfolitului se micșorează sau se mărește. Această deplasare se explică prin adsorbția inegală a anionului și cationului sării adăugate .

1) L. Michaelis. Die Wasserstoffionen-Konzentration, Berlin, 1922.

Sarcina particulei se determină în acest caz nu numai prin diferența între ionii  $H^+$  și  $OH^-$  adsorbiți de particula, ci și prin adsorbția ionilor sării.

Astfel, în prezența sărurilor neutre, punctului isoelectric nu corespunde numai o egalitate a ionilor ( $H^+$ ) și ( $OH^-$ ) adsorbiți, ci în general o egalitate între anioni și cationi.

Starea în care amfолitul absoarbe un număr egal de ioni  $H^+$  și  $OH^-$  a fost denumită de Sörensen<sup>1)</sup> stare isoionică.

### 13. ECHILIBRUL LUI DONNAN

La studiul fenomenelor de diluziune, osmoză și ultrafiltrare, s'a presupus că ionii cristaloizilor trec complet liber prin membrană, care nu reține decât micelii și solurile. Totuși, Donnan<sup>2)</sup> a arătat că la dializa solurilor-electroliti, fenomenul este mai complex. Se stabilește un așa numit echilibru de membrană, în care ionii electrolitului adăugat intră în echilibru cu ionii coloidului, din care cauză nu tot electrolitul adăugat poate trece prin membrană. De aceea presiunea osmotica a coloidului nu depinde numai de particulele și ionii solului, ci și de ionii electrolitului, care se găsesc cu aceștia într'un echilibru de membrană.

Din considerentele ce urmează se va putea înțelege cum influențează echilibrul de membrană asupra valorii presiunii osmotice.

Să presupunem că într'un osmometru, ai căruia pereți sunt impermeabili pentru particulele coloidale se găsește un sol-electro-

Tabela 74

#### Schema echilibrului de membrană

Starea inițială		Starea de echilibru	
în osmometru	în exterior	în osmometru	în exterior
$K_0^- + Na^+$ $c_1 + c_1$	$Cl^- + Na^+$ $c_2 + c_2$	$K_0^- + Na^+ + Cl^-$ $c_1 + (c_1 + x) + x$ $p'_1$	$Cl^- + Na^+$ $(c_2 - x) + (c_2 - x)$ $p'_2$

1) S. Sörensen, K. Linderström-Lang a. E. Lang, C. r. Lab. Carlberg, 16, 5 (1926); J. Gen. Physiol. 8, 543 (1927); A. Pasânschi și Z. Zolotareva, J. F. H. 8, 1, 15 (1936).

2) F. Donnan, Z. Elektroch. 17, 572 (1911); H. Freundlich, Kapillarchemie, II 322, 4 Aufl. 1930.

lit, cu concentrația  $c_1$  a ionului coloidal  $KO$  și concentrația  $c_1$  a ionului care se găsește în echilibru cu primul, de ex.  $Na^+$ .

Să presupunem că la exteriorul osmometrului nu se găsește apă pură, ci o soluție de electrolit (de ex.  $NaCl$ ), care are un ion comun ( $Na^+$ ), concentrația acestui electrolit fiind  $c_2$ . Pentru o soluție diluată și un electrolit tare, disociația poate fi considerată complectă. Să presupunem că pentru stabilirea echilibrului este necesar ca o cantitate  $x$  de electrolit să treacă în osmometru. Atunci se vor stabili concentrațiile indicate în tab. 74.

Să notăm prin  $p$  cu indicii respectivi presiunea osmotică a soluțiilor noastre.

Se vede că după stabilirea echilibrului în osmometru va fi o presiune

$$p'_1 = RT(c_1 + c_1 + x + x) = 2RT(c_1 + x)$$

și o contrapresiune

$$p'_2 = RT(c_2 - x + c_2 - x) = 2RT(c_2 - x)$$

de aici  $p'_1 - p'_2$  este egal cu presiunea osmotică  $p$ , ce se măsoară cu osmometrul:

$$p = p'_1 - p'_2 = 2RT(c_1 - c_2 + 2x) \quad (143)$$

Dacă nu am lăsat în considerație echilibrul de membrană, am socotit că presiunea osmotică a solului electrolit este egală cu presiunea osmotică a ionilor lui

$$p_s = 2RTc_1 \quad (144)$$

Impărțind expresiile (143) la (144), avem

$$\frac{p}{p_s} = \frac{c_1 - c_2 + 2x}{c_1} \quad (145)$$

Mărimea  $x$  are pentru starea de echilibru o valoare determinată, care poate fi calculată în modul următor:

Să trecem din osmometru în exterior un gram echivalent de cation  $Na^+$ , capabil să difuzeze prin membrană; atunci, pentru un ion  $n$  valent, vom avea:

$$nF = RT \cdot \ln \frac{c_1 + x}{c_2 - x} = RT \cdot \ln \frac{[cation]_{osm}}{[cation]_{ext}}$$

Să trecem din osmometru în exterior un gram echivalent de anion  $\text{Cl}^-$ , capabil să difuzeze prin membrană ; atunci

$$-nF = RT \cdot \ln \frac{x}{c_2 - x} = RT \cdot \ln \frac{[\text{anion}]_{\text{osm}}}{[\text{anion}]_{\text{ext}}}.$$

Deoarece cantitățile de electricitate  $nF$  sunt egale, atunci :

$$RT \cdot \ln \frac{[\text{cation}]_{\text{osm}}}{[\text{cation}]_{\text{ext}}} = -RT \cdot \ln \frac{[\text{anion}]_{\text{osm}}}{[\text{anion}]_{\text{ext}}}.$$

de unde

$$[\text{cation}]_{\text{osm}} \times [\text{anion}]_{\text{osm}} = [\text{anion}]_{\text{ext}} \times [\text{cation}]_{\text{ext}} \quad (146)$$

Ecuația obținută permite formularea condițiilor echilibrului lui Donnan în modul următor : echilibrul se atinge atunci când produsul concentrațiilor a doi ioni, capabili să difuzeze (anion și cation) de o parte a membranei este egal cu produsul concentrațiilor acelorași ioni de cealaltă parte a membranei, în cazul nostru al ionilor  $\text{Na}^+$  și  $\text{Cl}^-$ .

Inlocuind concentrațiile, vom avea:

$$-RT \cdot \ln \frac{x}{c_2 - x} = RT \cdot \ln \frac{c_1 + x}{c_2 - x},$$

sau

$$\frac{c_2 - x}{x} = \frac{c_1 + x}{c_2 - x}$$

de unde

$$x(c_1 + x) = (c_2 - x)^2,$$

$$x = \frac{c_2^2}{c_1 + 2c_2} \quad (147)$$

Inlocuind  $x$  în expresia (145) avem

$$\frac{p}{p_s} = \frac{c_1 + c_2}{c_1 + 2c_2}; \quad (148)$$

de aici se vede, că dacă concentrația electrolitului adăugat este mică, adică  $c_2 < c_1$  și se poate neglijă, atunci

$$p = p_s,$$

adică presiunea  $p$  este egală cu presiunea osmotică a solului. Dacă însă  $c_1 < c_2$ , aşa încât concentrația solului să se poată neglijă, atunci :

$$\frac{p}{p_s} = \frac{c_2}{2c_2} = \frac{1}{2} \text{ sau } 2p = p_s,$$

adică presiunea osmotică reală a solului este egală cu dublul presiunii măsurate. Între aceste limite se dispun valorile  $p_s$  la diferite concentrații de electrolit :

$$p_s = kp$$

sau

$$1 < k < 2.$$

Donnan a arătat că expresia (146) este aplicabilă și în cazurile când de ambele părți ale membranei nu există ioni comuni.

Nu este greu de calculat fracția de electrolit care trece în solul din dializor. Pentru aceasta să scriem expresia (147) sub forma următoare :

$$\frac{x}{c_2} = \frac{c_2}{c_1 + 2c_2},$$

unde  $\frac{x}{c_2}$  exprimă fracția de electrolit, care a trecut la coloid.

La o cantitate mare de electrolit, când  $c_2 > c_1$  mărimea se poate neglijă și atunci

$$\frac{x}{c_2} = \frac{c_2}{2c_2} = \frac{1}{2},$$

adică electrolitul se distribue egal de ambele părți ale membranei și se află astfel presiunea reală  $p$  a soluției coloidale.

În cazul când cantitatea de electrolit este mică, iar cantitatea de coloid mare, adică  $c_1 \gg c_2$ , atunci  $\frac{x}{c_2} = \frac{c_2}{c_1}$ , care este o valoare foarte mică, sau, cu alte cuvinte, aproape tot electrolitul rămâne în soluția exterioară.

Dacă  $\frac{c_2}{c_1} = 100$ , NaCl se distribue practic egal între ambele soluții  $\frac{x}{c_2} = \frac{1}{2}$ . Dacă  $\frac{c_2}{c_1} = 0,01$  atunci 99% din NaCl rămân la exterior și numai 1% trece în osmometru.

Echilibrul lui Donnan are o mare însemnatate în toate procesele de difuziune a electrolitilor în prezența coloizilor.

#### 14. SOLVATAREA (LIOFILIA)

Coloizii liofili trebuie să aibă prin natura lor afinitate pentru apă, formând anumiți hidrați și adsorbindu-i la suprafața micelilor. Cantitatea de apă astfel legată la 1 g de substanță uscată, determină proprietățile hidrofile ale substanței coloidale.

Solvatarea suprafeței este în legătură cu căldura de umectare. În mod analog, udând cu apă prafurile de amidon, gelatină și a. se poate determina cantitatea minimă de apă, după adăugarea căreia nu se mai elimină căldură la o umectare ulterioară.

Această cantitate de apă, pe care o vom denumi **apă legată adsorbțiv**, determină hidrofilia substanței coloidale. De exemplu, pentru gelatină această cantitate de apă este 40% din cantitatea de substanță uscată (Rosenbom, A. V. Dumanschi). Apa se leagă atât prin forțe superficiale de adsorbție, cât și prin forțe chimice în jurul radicalilor heteropolari ( $\text{OH}$ ,  $\text{NO}_3$ ,  $\text{NH}_2$  și a.).

Apa legată, având o rezervă mai mică de energie (legarea este un fenomen exoterm) posedă unele însușiri particulare în comparație cu apa obișnuită. Astfel, constanta ei dielectrică este foarte mică; ea este egală cu aprox. 2,2 în loc de 81. Apa legată are o densitate mare și pierde proprietățile ei de solvent.

Folosind ultima proprietate, Gortner și Newton<sup>1)</sup> (1922) au elaborat o metodă crioscopică pentru determinarea apei legate. Se lăua o probă de hidrosol, care conținea exact 10 g de apă și se determină coborîrea temperaturii de congelare și depresiunea  $\Delta t_1$ . Probele luate de hidrosol și se adăugau 0,01 moli zaharoză, care, disolvându-se în 10 g apă, trebuie să formeze o soluție normală de zaharoză dacă toată apa ar fi liberă.

Din experiență se determină coborîrea punctului de congelare  $\Delta t_2$  a hidrosolului cu zaharoza. Mărimea ( $\Delta t_2 - \Delta t_1$ ) este egală cu coborîrea punctului de congelare în raport cu solul. Constanta moleculară de depresiune se consideră  $K = 2,085$  în locul celei obișnuite = 1,86, din cauză că zaharoza formează un hexahidrat. Dacă toată apa din sistem ar fi fost liberă, atunci mărimea  $\Delta t_2 - \Delta t_1$  ar fi trebuit să fie egală cu 2,085; experiența dă:

$$\Delta t_2 - \Delta t_1 > 2,085;$$

adică o parte din apă ( $x$  g) nu participă la disolvare. De aceea ecua-

1) R. Gortner, Bazele biologiei I, Coloizii (trad.) 183, (1933). A. Dumanschi. Liofilia sistemelor disperse. 109, V G U, 1940 Kol. 1, 9, 355 (1947).

ția pentru determinarea cantității de apă<sup>1)</sup> legată va avea forma următoare :

$$\lambda = \frac{982 \Delta t_2 - 1000 \Delta t_1 - 1860}{\Delta t_2 - \Delta t_1} \quad (149)$$

Prin această metodă s-au făcut multe determinări.

Cantitatea de apă legată se poate determina și altfel. Dacă solul se congelează, atunci se va congela numai apa liberă, cea legată adsorbiv rămânând adsorbată. Introducând solul congelat într'un calorimetru se determină cantitatea de apă înghețată, adică liberă după căldura de topire. Știind cantitatea totală de apă din sistem, se calculează cantitatea de apă legată (Tones<sup>2</sup>). Prin această metodă s'a determinat că 1 g de gelatină uscată are 1,86—2,14 apă legată, iar agarul — 4,15 g. Aceste valori ale apei legate caracterizează solvatarea sistemului.

Pentru determinarea solvatării (cantitatea de apă legată, sau de alt mediu) are o mare importanță măsurarea valorii constantei dielectrice a solurilor.

Orice fixare a dipolilor îchidului la orientarea lor în jurul ionilor sau a suprafeței duce la micșorarea constantei dielectrice. Folosindu-se această proprietate a dipolilor apei legate, s'a propus o metodă pentru determinarea ei cantitativă<sup>3)</sup>.

Această metodă constă în următoarele :

Să presupunem că micelul coloidal este un dipol; atunci, polarizarea moleculară a soluției este

$$\pi_{1,2,3} = \frac{D-1}{D+2} \cdot [M(c_1 + c_2) + M_3 c_3] \frac{1}{\delta} = \pi_1 c_1 + \pi_2 c_2 + \pi_3 c_3.$$

Pentru polarizarea specifică avem :

$$\pi'_{1,2,3} = \frac{D-1}{D+2} \cdot \frac{1}{\delta} = \pi'_1 n_1 + \pi'_2 n_2 + \pi'_3 n_3. \quad (150)$$

(cantitatea totală de apă  $s=n_1+n_2$ ); unde  $D$  este constantă dielectrică a soluției;  $[M_1(c_1+c_2)+M_3 c_3]$  — compoziția moleculară a soluției;  $\delta$  — densitatea soluției;  $\pi_1$  — polarizarea moleculară a apei libere  $= \frac{D_1-1}{D_1+2} \cdot \frac{M}{\delta} = 0,9634 \cdot 18$ ;  $D_1=81$ ;  $\pi_2$  — polarizarea moleculară a apei legate  $= \frac{D_2+1}{D_2+2} \cdot \frac{M}{\delta_2}$ ;  $D_2=2,2$ ;  $\pi_3$  — polarizarea moleculară a coloidului disolbat;  $n_1$ ,  $n_2$ ,  $n_3$  — grame de apă liberă, legată și de coloid.

1) Deducerea este dată în cartea lui A. Dumanschi, Liofilia sistemelor disperse, 109 (1940).

2) R. Gortner, I. Coloizii, 190; A. Dumanschi, Liofilia sistemelor disperse 143 (1940).

3) N. Marinescu, J. Chim. phys. 28, 53 (1931).

Determinând mărimele  $\pi'_{1,2,3}$ ;  $\pi'_1$ ;  $\pi'_2$ ;  $\pi'_3$  și cunoscând  $s$  și  $n_3$ , calculăm mărimea  $n_2$ .

În câmpul electric static toți dipolii se orientează în câmpul de forțe. De aici urmează că  $D$  (vezi ecuația 150) al soluției apoase este întrucâtva mai mare,  $D \approx 80$ , datorită prezenței micelilor mari. În cazul unui pol variabil, orientarea dipolilor (în pol) urmează variația câmpului de forțe, dar dacă frecvența crește într'atât încât dipolii micelilor cu moleculele adsorbite de apă, din cauza mării lor mari și a frecvenții cu mediul nu vor putea urma variațiile câmpului electric, membrul  $\pi_3 c_3$  al acestei ecuații dispare și constanta dielectrică  $D$  a soluției se mișcă de la A la B (fig. 139).

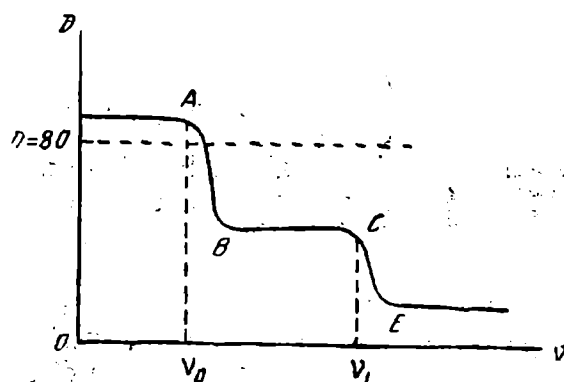


Fig. 139. — Variația constantei dielectrice a unui hidrosol cu frecvența variațiilor câmpului electric.

La o creștere a frecvenței până la  $v_1$ , moleculele apei nu vor putea nici ele să urmeze variațiile câmpului, din care cauză  $D$  va scădea din nou brusc de la C la E. Rămâne numai polarizarea de deplasare (ecuația 135) la miceli și la moleculele de apă (polarizarea electronilor).

Frecvența oscilațiilor poate fi exprimată prin  $c$  — viteza de propagare a undei (viteza luminii) și prin lungimea de undă  $\lambda$

$$\frac{c}{\lambda} = v$$

Mărimea inversă cu frecvența,  $\frac{1}{v} = \frac{\lambda}{c} = \theta$ , este egală cu timpul în decursul căruia molecula (micelul) trebuie să se orienteze în câmpul de forțe. În punctul A (momentul oprii micelului) frecvența  $v_0$  îi corespunde timpul  $\theta_0$ , care se numește timpul de relaxare a particulei. Timpul de relaxare a unei particule sferice este după Debye<sup>1)</sup>

$$\theta = \frac{4\pi}{RT} \cdot N r^3 \eta_0 \quad (151)$$

1) P. Debye, "Molécules polaires" (trad.) ONTI, 1922.

Volumul unei molecule-gram de coloid cu stratul solvatat este

$$MV = \frac{4}{3} \pi N r^3$$

Inlocuind în ecuația precedentă, vom avea :

$$\theta = \frac{3}{RT} \cdot VM\eta_0$$

de unde

$$MV = \frac{RT}{3\eta_0} \text{ sau } MV = \frac{RT}{3\eta_0} \cdot \frac{\lambda}{c}$$

Cunoscând volumul molecular al coloidului, fără apă de hidratare, se determină prin diferență volumul apei legată de un gramol sau de un gram de coloid. Astfel, prin folosirea acestei metode s'a determinat că 1 g de hemoglobină leagă 2,6 g apă, 1 g amidon — 0,50 g apă și 1 g gumă arabică 0,03 g apă.

Cercetarea soluțiilor de acetilceluloză<sup>1)</sup> într-o serie de solventi a arătat că acetilceluloza are o solvare diferită față de diversei solvenți și anume : 1 g acetilceluloză leagă

toluidină	0,4388 g.
anilină	0,4275 „
acetat de metil	0,3258 „
metilglicol acetat	0,186 „
metilglicol	0,154 „

In timpul de față determinarea constantei dielectrice și a polarizării a căpătat o largă răspândire la studiul sistemelor coloide (Kruyt, Onsley și a.) și permite clarificarea multor probleme referitoare la aceste sisteme complexe<sup>2)</sup>.

In concluzie trebuie menționat că o micșorare mai puțin bruscă a valorii constantei dielectrice arată că sistemul este polidispers<sup>3)</sup>. Cercetarea proprietăților lichidului legat adsorbtiv (a apei) arată nu numai prezența în stratul solvatat a straturilor monomoleculare de molecule orientate, ci și a celor polimoleculare și dependența mărimii acestui strat de temperatură (el se micșorează cu creșterea temperaturii), de potențialul  $\zeta$  și de prezența altor substanțe disolvate.

1) W. Haller u. U. Ortloff, K. Z. 59, 137 (1922); M. Tekei u. H. Erbring, K. Z. 94, 312 (1941).

2) H. R. Kruyt u. H. Kunst, K. Z. 91, 1 (1940).

3) A. Dumanschi și M. Barvinoc, Koll. J. 5, 639 (1939).

In literatura științifică există o explicație foarte neclară a solvatării. Singura determinare justă a acestei noțiuni se exprimă prin următoarea formulare: capacitatea suprafetei și a radicalilor de a lega solventul prin forțe moleculare se numește solvatare; ea determină liofilia (hidrofilia) sistemului față de lichidul dat. Reținerea lichidului de particule, sau de întreg sistemul prin alte metode (mecanisme) nu determină valoarea solvatării. În acest caz moleculele sunt reținute, de ex., prin forma geometrică a particulelor (analog unui lichid care se găsește într-un săculeț osmotic semipermeabil). Lichidul legat prin solvatare capătă o serie de insușiri particulare: densitate, capacitate calorică, constanta dielectrică, orientarea moleculelor și a<sup>1</sup>).

## 15. TENSIUNEA SUPERFICIALĂ

Tensiunea superficială care la solurile hidrofobe este practic egală cu tensiunea superficială a apăi, are la solurile hidrofile o valoare perfect determinată; în aceasta constă diferența esențială între aceste două forme de soluri.

Există atât substanțe tensioactive cât și inactive. Din cele tensioactive fac parte săpunurile<sup>2</sup>), care chiar la concentrații mici micșorează mult tensiunea superficială. Aici se evidențiază într-o mare măsură influența timpului la stabilirea echilibrului, din care cauză se observă o mare diferență între valorile statice și dinamice ale tensiunii superficiale σ după cum se vede din tab. 75. Pentru stabilirea echilibrului este necesar un timp destul de îndelungat, care se măsoară în secunde, sau chiar în mi-

Tabelă 75

### Tensiunea superficială statică și dinamică<sup>3</sup>)

Solurile	σ statică	σ dinamică
apă . . . . .	73	73
soluția de oleat de Na (0,0025%) . . .	53	77
solutia de oleat de Na (0,25%) . . .	25	77
soluția de oleat de Na (1,25%) . . .	25	60
soluția de saponină . . . . .	51	71

1) A. Dumanschi, Liofilia sistemelor disperse V. G. U. 6 și următoarele.

2) L. Lascaray, K. Z. 34, 73 (1924).

3) H. Freundlich, Kapillarchemie, 735, 3 Aufl. 19:3.

nute. În mod analog se comportă și solurile altor coloizi (proteinelé).

După cum la soluțiile adevarate există substanțe superficiale inactive, tot așa și printre solurile liosile există substanțe puțin active, că de ex. amidonul, dextrina<sup>1)</sup>.

Că exemplu să cercetăm câteva hidrosoluri, indicate în tabelul 76.

Tabela 76

Activitatea superficială<sup>2)</sup>

Hidrosolurile	Concen-	trăția
	in %	σ
gumă arabică . . . . .	4,3	73,4
glicol . . . . .	0,375	72,5
leucină . . . . .	0,655	66,6
albumină de ou . . . . .	0,5	63,0
albumină de ou . . . . .	1,0	50,0
peptonă (Witt) . . . . .	1,0	50,2
cascină . . . . .	1,0	49,1

Pentru comparație s-au dat valoile tensiunii superficiale a produselor cristaline de descompunere a proteinelor. Din datele acestei tabele se vede că proteinele sunt aproape tot atât de tensioactive ca și substanțele cristaloide tensioactive (leucina, glicocolul). Guma arabică aparține substanțelor inactive<sup>3)</sup>.

Pentru activitatea superficială a solurilor amfotere (proteinale) are o mare însemnatate valoarea pH-ului; valoarea tensiunii superficiale nu variază paralel cu variația pH-ului, ci are un minim în punctul isoelectric, adică în punctul de hidratare și disociatie minimă. Conform cercetărilor lui Ermolenco<sup>4)</sup> acest minim se găsește la gelatină la pH = 4,7 și, în afară de aceasta există două maxime: unul la pH = 2,85 și altul în domeniul alcalin la pH = 8,3. O asemenea influență a pH-ului asupra tensiunii superficiale a proteinelor a fost menționată de mulți autori<sup>5)</sup>; totuși nu există încă o concordanță completă între datele diferitelor cercetări<sup>6)</sup>.

1) M. Samee, Kolloidchemie der Stärke, Dresden, 294 (1927).

2) Th. Ackermann, K. Z. 69, 87 (1934).

3) H. Schleifffer, K. Z. 30, 273 (1922).

4) N. Ermolenko, K. Z. 48, 141 (1929).

5) Articolul lui Bottazzi în Colloid Chemistry, II, 121 (1928).

6) J. Johnston și G. Peard, Bioch. J. 19, 281 (1925); 20, 821 (1925).

In calitate de substanțe tensioactive, solurile liofile trebuie să dea la suprafața de separație a două faze, de ex. lichid-gaz, un strat de adsorbție în care se concentrează substanța. În concentrații atât de mari, solul trebuie să capete structura unui gel, iar fenomenul poate fi ireversibil, adică substanța care s'a separat în pelicula superficială nu va mai trece din nou în soluție; se produce, de pildă, denaturarea proteinelor. Deasemenea, un fenomen ireversibil de adsorbție se observă și la limita de separație a două lichide. Prin aceasta se explică coagularea, care ne este deja cunoscută, prin agitarea hidrosolului cu un lichid organic nemiscibil.

Astfel, în aceste cazuri pelicula se arată a fi un gel bidimensional, aceeași ireversibil, care amintește prin însușirile sale un corp solid, explicându-se astfel rezistența deosebită a unor asemenea pelicule, observată la spume. Această proprietate o folosim în practică pentru obținerea unor emulsii stabilă. De aici devine clar de ce proteinele sunt atât de buni emulgatori și generatori de spume. Jukov<sup>1)</sup>, emulsionând benzenuл cu o soluție de gelatină 1%, a obținut o emulsie care avea consistența unui solid elastic și se tăia cu cuțitul în plăci subțiri.

Din cauză că formarea stratului de adsorbție în jurul picăturii de lichid emulsionat trebuie să depindă de pH (ș de înțindere de pH), de aceeași mărime trebuie să depindă și stabilitatea emulsiei, ceeace se și adeverește pentru cazul emulsiei certătate de noi —  $C_6H_6 - H_2O$ : la  $pH = 5,25$ , corespunzător punctului isoelectric al gelatinei, unde valoarea tensiunii superficiale este minimă, se obțin emulsii cele mai stabile. Se înțelege că aici trebuie luată în considerație nu numai mărimea și ci și rezistența peliculei. De aici se poate trage concluzia posibilității distrugerii în anumite cazuri a spumelor și a emulsilor, prin mărirea sau micșorarea pH-ului.

Fenomenul adsorbției solurilor la suprafața adsorbantilor solizi amintește adsorbția din soluțiile adevărate. În timp ce solurile hidrofobe se adsorb la suprafață, în special datorită diferenței semnelor sarcinilor electrice ale suprafeței și particulei, la solurile hidrofile fenomenul de adsorbție la limita fazei solide se produce datorită activității superficiale a acestor hidrosoluri. La concentrații mici se observă o isotermă normală de adsorbție, la concentrații mari, când suprafața devine saturată, isotermă trece printr'un maxim. La adsorbția pe o suprafață solidă au deasemenea loc procese ireversibile și s-au observat cazuri de denaturare a proteinelor.

1) J. J. Jucov și I. N. Bușmachin, J. R. F. H. O. 59, 1051 (1927).

Este interesantă relația între valoarea greutății moleculare a dextrinelor și capacitatea lor de adsorbție pe hidroxidul de fier<sup>1)</sup>. Dextriile cu greutate moleculară mare (amilodextrina,  $M=20.000$ ) se adsorb cel mai puternic, cele cu greutate moleculară  $M=10.000$  (acro-dextrina) se adsorb mai slab, iar cel mai slab se adsorb dextrinele cu greutate moleculară 3000—5000. Fenomenul adsorbției solurilor hidrofile a fost cercetat pe multe substanțe: cărbune, caolin,  $\text{CaCO}_3$ ,  $\text{SrCO}_3$ ,  $\text{Fe}_2\text{O}_3$ , celuloză,  $\text{SiO}_2$ , argilă.

Există încă o particularitate a suprafețelor coloidale, spre deosebire de peliculele formate din cristaloizi; acesta este procesul de imbătrânire, care după cum știm este inherent soluțiilor.

Ca rezultat al imbătrânerii, se formează pe suprafața proteinelor un strat de proteină denaturată.

## 16. ACTIVITATEA OPTICĂ<sup>2)</sup>

In capitolele precedente am făcut cunoștință cu unele fenomene de polarizare a razei de lumină în sistemele disperse: 1) polarizarea luminii difuze la fenomenul Tyndall (s'a clarificat legătura acestui fenomen cu gradul de dispersiune și forma particulelor) și 2) dubla refracție la trecerea luminii prin soluri cu particule orientate în spațiu.

Aici vom face cunoștință cu fenomenul rotației planului de polarizare a unei raze de lumină, polarizată liniar. Se știe că soluțiile multor compuși organici, de ex. de zahăr, rotesc planul de polarizare cu un unghi oarecare  $\alpha$  proporțional cu grosimea stratului prin care trece raza polarizată și cu concentrația substanței dissolvate, optic active

$$[\alpha]_D = \pm \frac{100 \alpha}{l \cdot p \cdot \delta} \quad (152)$$

unde  $l$  este grosimea stratului de lichid,  $p$  — conținutul în procente de greutate al substanței active și  $\delta$  — densitatea lichidului la temperatura dată. Semnul „+“ arată rotația spre dreapta, iar semnul „—“ rotația spre stânga. În afară de aceasta rotația depinde de lungimea de undă a luminii polarizate; de aceea observațiile se fac în lumină monocromatică. Solurile liofobe nu

1) W. Biltz, Z. phys. Ch. 83, 706 (1913).

2) W. Ostwald, Licht und Farbe în Kolloiden. 261. Dresden, 1924.

dau, probabil, un fenomen net de rotație și, în general, el n'a fost suficient studiat. Totuși există o serie de cercetări. Astfel, pentru cazul suspensiilor grosolană, Landoldt a arătat că suspen-  
siile de bicromat, cu particule de 3-12  $\mu$  roteau planul de polarizare<sup>1)</sup>. Apoi Siedentopf arată că se observă rotație la trece-  
rea luminii prin cristalele de sare de bucătărie care conțin par-  
ticule coloidale de sodiu metalic, și prin sticla care conține par-  
ticule coloidale de aur. Date sigure se obțin atunci când însăși  
particula este construită din substanțe optic active, solubile în  
mediu. Astfel, un șir de soluri — hidroxizi de metale grele —  
obținute în prezență de compuși oxigenați, optic activi, rotesc  
planul de polarizare<sup>2)</sup>, dar aici nu este încă clar în ce măsură  
această rotație depinde în realitate de partea coloidală și de  
substanțele dispersate molecular, care sunt în echilibru cu sis-  
temul coloidal.

Solurile hidrofile ale coloizilor organici posedă o activitate  
optică pronunțată, ceeace se vede din datele indicate în tab. 77  
pentru proteine, în tab. 78 pentru polizaharide și în tab. 79 pen-  
tru alii compuși organici.

Din datele tab. 77 se vede că pentru proteine este caracteris-  
tică rotația negativă.

Solurile hidrofile organice își schimbă cu timpul capacita-  
tea lor de a roti planul de polarizare, adică posedă multirotație.  
Multirotație, prezintă solurile de gelatină, de tanin, de amidon;  
asupra acestui fenomen influențează temperatura și concentrația,  
ca și adausurile de săruri și baze. Există posibilitatea de a se

Tabelă 77  
**Rotăția specifică a proteinelor<sup>3)</sup>**

Substanță	$(\alpha)_D$
Gelatina (De Bary) . . . . .	dela — 202° până la — 303°
Caseina (F. Hoppe-Seyler): soluție neutră . . . . .	— 80,0°
slab alcalină . . . . .	— 76,0°
puternic alcalină . . . . .	— 91,0°
Fibrinogenul în soluție de Na Cl 1,3 — 1,8% (C. Cramer) . . . . .	dela — 35,2° până la — 37,7°
Albumina de ou (J. Sebelien) . . . . .	dela — 28,6° până la — 30,8°
Zeină în soluție de alcool 90% (Osborn și J. Harris) . . . . .	— 28,0°
Hemoglobina (A. Gamgee și C. Hill) . . . . .	+ 10,4°

1) I. Diacicovschi, K. Z. 51, 316 (1923).

2) A. Dumanschi și S. Diacicovschi, J. R. F. H. O. 60, 1056 (1928).

3) Wo. Ostwald, Licht und Farbe in Kolloiden, 265-267 (1924).

vorbi despre dependență mărimii rotației de variația dispersiunii sistemului; astfel, Fuard a observat că fracțiunile solului de amidon cu particule mari au o rotație mare. Pauli<sup>1)</sup> a observat influența valorii sarcinii particulei asupra valorii rotației la solurile proteinelor, iar proteina ionizată rotește planul de polarizare mai puternic decât proteina electric neutră, adică analog faptului că și viscozitatea soluțiilor apoase este mult mai mare la proteinele ionizate, decât la cele neutre.

Tabelă 78

**Rotația specifică a polizaharidelor<sup>2)</sup>**

Substanță	$(\alpha)_D$	Substanță	$(\alpha)_D$
Amilo-pectina . . .	+221°	Maltodextrina	dela +180° până la 183°
Eritrodextrina . . .	+196°		
Amidon solubil din cartoli . . .	dela +195,3° până la 200°	Triamiloza . . .	+151,4°
Acrodextrina I . . .	dela +190° până la 192°	Amiloza . . .	dela +148,8° până 198,8°
Amilodextrina . . .	dela +187,0° până la 196°	Diamiloza . . .	+136,3°

Tabelă 79

**Rotația specifică a câtorva compuși organici**

Substanță	$(\alpha)_D$	Substanță	$(\alpha)_D$
Amilo-pectina . . .	dela +183,3° până la 220,9°	Tanin în alcool	+18,43°
Tanin în apă . . .	dela +58,23° până la 70,77°	Celuloza în soluție cupro-amoniacală	-20°

Cercetările lui Bularchin<sup>3)</sup> asupra rotației specifice a planul de polarizare al soluțiilor de gelatină la diferite temperaturi și concentrații au arătat că la o temperatură mai ridicată

1) W. Pauli, K. Z. 7.241 (1910).

2) M. Samec, Kolloidchemie der Stärke, 301 (1927).

3) I. N. Bulanchin și V. Caplan, Koll. J. 3. 677 (1937); 4. 657 (1938); I. N. Bulanchin, Regularitatea în îmbătrâinirea solurilor și gelurilor de gelatină, Harcov, H. G. U., 1939.

(35°) și concentrații mici la un mare număr de tipuri de gelatină, rotația specifică micșorându-se, atingea o valoare limită constantă  $[\alpha]_D = + 141^\circ$ .

Aceasta arată că soluțiile micelare trec prin diluare și la urcarea temperaturii în soluții moleculare de compozitie constantă. Agregării în micel îi corespunde o mărire a rotației specifice.

## XXVIII. STAREA DE GEL ȘI PROPRIETĂȚILE EI

### 1. TRECEREA IN STAREA DE GEL

La cercetarea fenomenelor de frecare internă la soluri s'a dat atenție viscozității structurale, care corespunde, după cum au arătat lucrările lui Svedov<sup>1)</sup>, existenței în soluri a unui modul de tăiere caracteristic corpurilor solide. Să facem cunoștință cu unele caracteristice ale corpurilor solide. Să ne închipuim în interiorul corpului solid (fig. 140) două plane paralele AB și CD, perpendiculare pe planul desenului. Planul CD este imobil, iar pe suprafața planului AB sunt dispuse uniform forțe parallele, în direcția arătată de săgeată, unei unități de suprafață revenindu-i o forță egală cu  $p$ . Sub influența acestei forțe se va produce o deplasare a planului AB și a tuturor planelor intermediare între AB și CD, din care cauză dreapta EG va trece în poziția E'G și va forma unghiul  $\omega$  numit **unghi de deplasare**. Măsura deformării corpului solid este.

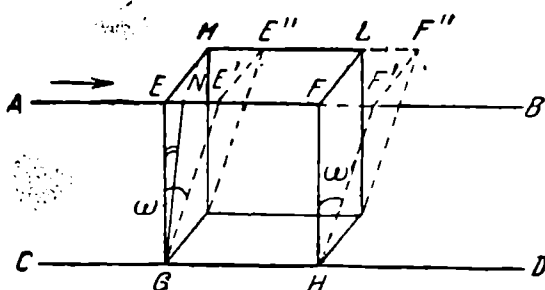


Fig. 140. — Deformația elastică a unui corp solid.

tuturor planelor intermediare între AB și CD, din care cauză dreapta EG va trece în poziția E'G și va forma unghiul  $\omega$  numit **unghi de deplasare**. Măsura deformării corpului solid este.

$$\operatorname{tg} \omega = \frac{\Delta x}{x},$$

unde

$$\Delta x = EE' = FF' \text{ și } x = GE.$$

Cum unghiul  $\omega$  este deobicei mic, putem egala tangenta cu unghiul (exprimat în radiani). Vom avea :

1) F. Svedov, J. de phys., théor. et appl. 8 (1889).

$$\omega = \frac{\Delta x}{x}$$

După legea lui Hook avem :

$$p = \omega G,$$

unde  $G$  este **modulul de tăiere**.

Să notăm prin  $f$  forța aplicată suprafeței E F L K, care se află în planul AB ; atunci

$$p = \frac{f}{s} = \omega G = \frac{\Delta x}{x} \cdot G$$

de unde

$$G = \frac{f x}{s \Delta x}$$

Modulul de deplasare determină proprietățile elastice ale solurilor. La îndepărțarea forței  $f$ , deformarea dispare.

$$\omega = 0$$

și E' F" F" E' se întoarce la locul inițial E F L K. În cazul unor forțe mari se produce o deformare, care nu mai dispare complet odată cu  $f$ , — se obține o deformare reziduală : F' G nu se întoarce în poziția EG, ci în poziția GN. La creșterea forței  $f$ , atât deformarea totală cât și cea reziduală cresc mai departe, până când se va produce distrugerea corpului la o oarecare forță limită  $f_1$ . Când apare primul semn de deformare reziduală se spune că s'a atins **limita de elasticitate**.

În prezența aşa zisei viscozități structurale, solurile capătă insușirile unui corp solid, caracterizate prin coeficienții cîtași : deformarea, modulul de deformare, deformarea reziduală, limita de elasticitate.

Pentru lichide, oricărei forțe aplicate, infinit de mici, îi corespunde deplasarea unui strat de lichid care rămâne în noua poziție și după dispariția forței (lichid real sau newtonic).

Cercetând modulul de deformare și deformarea reziduală, putem să ne facem o imagine despre trecerea sistemului din starea de lichid în starea de corp solid, în cazul nostru din sol în gel. Acest studiu se poate face în viscozimetre capilare la diferite presiuni. În acest caz (vezi fig. 37) segmentul OA de pe axa absciselor reprezintă forța la care se produce distrugerea corpu-

lui solid (*f*). Acest fenomen se observă mai comod în instalația foșosită de Svedov. Schema unei astfel de instalații constă din următoarele (fig. 141).

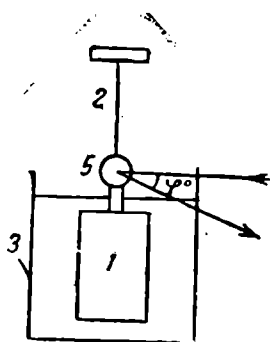


Fig. 141. — Schema aparaturii lui Svedov.

1— corp cilindric;  
2—fir; 3—vas; 4—cap gradat; 5 — oglindă.

decât unghiul  $\varphi_0$  al cilindrului. Rotind capul cu diferite unghiuri, se poate găsi un unghi care caracterizează limita de elasticitate, deformarea reziduală și rezistența structurii solide la ruperea ei<sup>1)</sup>. De ex., la o concentrație de 0,3% a solurilor de gelatină se constată un modul de tăiere care crește repede, cu mărirea concentrației<sup>2)</sup>.

Sistemele coloidale, care posedă proprietățile unui corp solid le vom denumi *geluri*. După cum se vede din exemplul citat, este greu de găsit o limită netă între starea solidă și lichidă — de fapt aceasta nici nu există. Se poate spune că sistemele cu o concentrație mică a fazelor disperse deosebit de liofobe, sunt lichide adevărate. La mărirea concentrației, în special la solurile liofile, sistemele capătă însusiri din ce în ce mai pronunțate de corpuri solide. Gradațiile durății acestor sisteme sunt foarte mari, începând dela gelurile mobile de gelatină până la duratărea cremenei și opalurilor.

Din geluri fac parte cauciucul, celuloidul, cleiul, gelatina,

1) Rohloff u. Schinijo, Phys. L. 8, 442 (1907); E. Hatschek u. R. S. Jane, K. Z. 39.300 (1926); R. Reiger, Phys. Z. 8, 537 (1907).

2) Th. Svedberg, Chimia coloidizilor (trad.) 217, M. 1920.

Un corp cilindric sau sferic 1, suspendat de un fir elastic 2, se introduce într-un mediu lichid, care se găsește în vasul 3. Firul este fixat la partea superioară de un cap gradat 4, cu ajutorul căruia se poate roti capătul de sus al firului cu un unghi oricare. Capătul de jos al firului este fixat de către un unghi 5 — oglindă 5.

La rotirea capătului superior al firului cu un unghi  $\varphi$ , datorită elasticității sale firul va roti cilindrul 1 și după un timp oarecare se stabilește un echilibru, caracterizat prin unghiul  $\varphi_1$ . În cazul lichidelor, oricărui unghi de rotație  $\varphi$ , al căpătului superior al firului 2 îi corespunde un unghi egal de rotație  $\varphi_0$  al cilindrului. Dacă mediul are proprietățile unui corp solid, atunci unghiul de rotație al capului gradat 4 este întotdeauna mai mare

multe ţesuturi de origini animale sau vegetale, pielea, fibrele textile. Tot geluri sunt majoritatea produselor industriei alimentare ca de ex. coca, pâinea, marmelada și a.

## 2. STRUCTURA GELURILOR

Pentru formarea unui gel nu este necesară o concentrație mare a substanței. Astfel, se știe că germaniatul de calciu se transformă în gel la un conținut de 99,835% apă. În laboratorul autorului s-a reușit obținerea gelurilor de hidroxid de fier (Cabanov<sup>1)</sup>) cu un conținut neglijabil de  $\text{Fe(OH)}_3$ .

Corpul animalelor este un gel: astfel, la meduză conținutul de substanță uscată reprezintă abia 1%, iar 99% procente revin apei.

Agarul capătă structura de gel la o concentrație de aproximativ 0,1%, gelatina—la 0,5%.

Se naște întrebarea: în ce fel o cantitate atât de mică de substanță coloidală poate da un sistem cu proprietățile unui corp solid?

O astfel de structură este posibilă datorită unor particule foarte asimetrice, care atingându-se prin capetele lor alungite, dau o rețea spațială ajurată, aşa cum se vede în fig. 142.

Intr'adevăr, micelii hidrațiilor de fier, de aluminiu au forma de plăci, la pentaoxidul de vanadiu micelii sunt în formă de ace iar coloizii organici cu un grad mare de polimerizare, care formează ușor geluri, constau întotdeauna din molecule sau miceli lungi, filiformi.

Unirea micelilor într'o rețea poate fi atât de puțin rezistență, încât este suficientă o scuturare pentru ca să se producă distrugerea structurii și să se obțină un sol care, rămânând în repaus, poate gelatina din nou. O astfel de operație poate fi repetată de mai multe ori. Fenomenul a fost descris de noi sub numele de tixotropie.

Ultramicroscopul a jucat un mare rol în rezolvarea problemei despre structura unei substanțe în stare de gel și a arătat

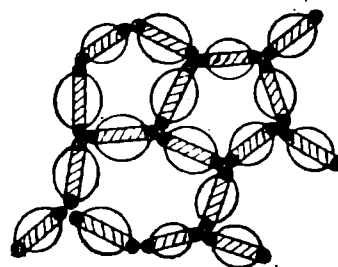


Fig. 142. — Structura gelului.

1) B. Cabanov, Comunicările Institutului Agricol Voronej, 15, 23 (1931).

că gelul are o structură extrem de fină (Zsigmondy<sup>1)</sup>) ceeace concordă cu părerea exprimată de Negeli în anul 1879.

Dacă se studiază la ultramicroscop gelificarea gelatinei<sup>2)</sup> 0,5%, se observă nenumărați submicroni care se unesc treptat în fulgi. La început, particulele care formează fulgii se găsesc încă în mișcare browniană, care însă nu este atât de pronunțată ca la soluri. Cu timpul, această mișcare se încestează și fulgii devin mai rezistenți. Un tablou analog a observat și Usher<sup>3)</sup> la gelificarea unei suspensii de cauciuc; particulele izolate de cauciuc se unesc în conglomerate în formă de lanț, care au la început o mișcare ondulatorie. Treptat, lanțurile devin mai puțin mobile, tot cîmpul vederii se umple cu particule contopite imobile. Solul gelatinat prezintă un tablou foarte diferit de cel al unui sol coagulat.

In funcție de structura micelilor (solidă sau elastică), de caracterul și rezistența legăturilor lor, se obțin sisteme neelastice (solide) cu legătura particulelor imobilă, de exemplu gelurile solide de acid silicic și sisteme elastice, asemănătoare cauciucului, cauciucului vulcanizat, gelatinei.

Astfel sistemul se compune din două faze: prima care formează scheletul gelului și îi conferă proprietățile unui corp solid, compusă din miceli legați în rețele filiforme (câteodată această structură este celulară, iar pereții celulelor nu sunt continui, ci poroși), și a doua fază este lichidă și umple toate golurile acestui schelet.

Lichidul care umple golurile este fie un mediu pur, de ex. apă sau solventii organici, dar cel mai des el este o soluție a substanței, care formează pereții scheletului gelului. Astfel, gelul de gelatină este format din pereți construiți din gelatină solidă, ale căror spații sunt ocupate de o soluție diluată de gelatină (Hardy, Freundlich).

Cât de mici sunt intervalele între partea structurală solidă a gelului, se vede din aceea că elasticitatea vaporilor lichidului, care umple aceste capilare înguste are o presiune mult mai scăzută, ceeace a făcut pe unii autori să presupună formarea anumitor combinații chimice între lichid (apă) și pereți.

Pe baza valorii tensiunii vaporilor de lichid în capilarele

1) R. Zsigmondy, Zur Erkentnis der Kolloide 180 (1905).

2) U. Bachmann, Z. Anorg. Ch. 73, 125 (1912); K. Z. 11, 145 (1912).

3) F. L. Usher, Proc. Roy. Soc. L (A) 125, 143 (1929).

gelului de acid silicic, Zsigmondy<sup>1)</sup> a găsit pentru diametrele capilarelor valori între 5 și 10 m<sup>-1</sup>. Aceste capilare ocupă aproximativ 30-60% din volumul total, ceea ce denotă că suprafața specifică este mare.

Rabinovici și Fortunatov<sup>2)</sup> au folosit ideea lui Zsigmondy și Bachmann pentru determinarea mărimei porilor după scădere tensiunii de vaporii a lichidului din capilarele corpului poros, aplicând pentru cazul apei ( $t=15^{\circ}$ ) formula lui W. Thomson (76)

$$\frac{1}{r} = \frac{\delta}{2\sigma} \cdot \frac{RT}{M} \ln \frac{p_0}{p} \text{ sau } r = \frac{4,79 \cdot 10^{-8}}{\ln \frac{p_0}{p}}$$

unde  $p$  este presiunea vaporilor de apă deasupra unui capilar de rază  $r$ ,  $p_0$  — presiunea vaporilor de apă pe suprafața plană a apei.

Ei au dat o metodă pentru calculul mărimei porilor și au determinat porozitatea lor.

In acest caz se numește porozitate (porozitatea volumetrică) procentul din volum care revine golurilor ocupate de lichid față de volumul total al corpului. Metoda dă numai valori aproximative (corpurile poroase pot fi considerate după structura lor ca scheletul „gelului“).

Cercetarea cărbunilor comuni de lemn și a cărbunelui activat a arătat că porozitatea cărbunilor comuni se datorează în special porilor mari, în timp ce porozitatea cărbunelui activat se datorează mai cu seamă microporilor (10 m<sup>-1</sup>).

Corpurile poroase nu au numai pori de aceeași secțiune transversală; deobicei porii sunt de diametre foarte diferite, începând cu diametrele care corespund mărimei unei particule coloidale, până la cele vizibile la măriri foarte mici sau chiar cu ochiul liber. Porozitatea volumetrică poate fi reprezentată ca o funcție a repartiției volumului porilor după mărimea razei lor.

Gelul are o structură foarte încâlcită, filiformă, cu un foarte mare număr de spații capilare; aceste spații au uneori gâturi în care lichidul poate pătrunde cu greu.

La construirea gelurilor participă micelii coloidali ai solu-

1) R. Zsigmondy, Kolloidchemie 50, 5 Auil. 1925.

2) M. Rabinovici și N. Fortunatov, Z. angen. Ch. 41, 1222 (1928).

lor; de aceea toate proprietățile pe care le aveau micelii solurilor vor trece și asupra părții structurale a gelului cu foarte mici variații și anume:

1) Suprafața scheletului gelului are un potențial și deși acesta poate dифeri ca valoare de potențialul și al particulelor solului. E clar că la formarea scheletului, când particulele trebuie să se atragă, potențialul și trebuie să aibă o valoare limită minimă — critică, la care este posibilă ciocnirea particulelor. De aici putem observa asemănarea între gelatinare și coagulare, și după cum în al doilea proces avea o mare însemnatate starea isolectrică a particulelor, tot așa și în procesul de gelatinare starea isolectrică își are rolul său.

2) Particulele coloidale sunt înconjurate cu un înveliș de solvent și numai în locul de atingere a particulelor e posibil ca solvatarea și potențialul și să fie mai mici.

3) Pe suprafața complexă a gelului se produc toate fenomenele superficiale care se cunosc pentru soluri. La aceste fenomene se referă și adsorbția.

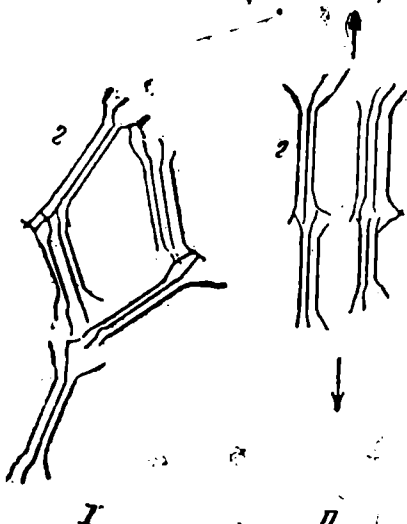


Fig. 143. — Schema construcției unui gel din miceli și molecule de polimeri înalți.

1. miceli neorientați; 2. Orientarea micelilor la întindere.

benzi clare, ci un inel foarte disuz (spectru amorf) și numai la întindere se observă spectre, analoage spectrelor fibrelor. Aceasta denotă că primă întindere, micelii aranjați desordonat se orientează în lungime în direcția forței active.

In capitolul referitor la adsorbție, am cercetat adsorbția cu cărbune. Un alt adsorbant tehnic important îl constituie fibrele industriei textile a căror capacitate de adsorbție se folosește des în vopsitorie.

Pentru explicarea marii capacități de adsorbție a gelurilor, în tab. 80 sunt date valorile suprafețelor specifice ale câtorva substanțe.

Sarcina electrică pe suprafața micelilor gelului are aceeași origină, ca și la particulele coloidale. Determinarea sarcinii în acest caz a fost cercetată mai sus.

Roentgenograma gelurilor anorganice este analoagă roentgenogramei solurilor. Adesea gelurile organice — cauciucul sau alți compuși cu un grad mare de polimerizare - nu dau

Prezența unui spectru amorf în spectrul fibrei arată că în miceli nu există o orientare complectă a moleculelor lungi în fascicole paralele, cât și prezența unei părți neorientate. În miceli, capetele moleculelor nu se orientează paralel, ci sunt îndreptate în spațiu în lungime, fără nicio ordine, aşa cum se vede din fig. 143, unde în poziția I se arată starea unui sistem neîntins, iar în poziția II orientarea micelilor la întindere. În multe cazuri, moleculele lungi ale compușilor macromoleculari formează un gel, impletindu-se unele cu altele.

Tabelă 80

## Suprafața specifică a unui gram de substanță

Substanță	$S_s \text{ cm}^2$	$S_g \text{ m}^2$
silicogel . . . . .	$0,1-0,5 \cdot 10^7$	$100-500$
cărbune animal <sup>1)</sup> . .	$0,2 \cdot 10^7$	200
cărbune activat . . .	$0,3-1,0 \cdot 10^7$	$300-1000$
siloxen <sup>1)</sup> . . . . .	$0,35 \cdot 10^7$	350
gelatina <sup>2)</sup> . . . . .	$1,1 \cdot 10^7$	1100
celuloza <sup>3)</sup> . . . . .	$1-3 \cdot 10^7$	$1000-3000$

## 3. USCAREA ȘI HIDRATAREA SISTEMELOR GELIFORME

Gelul reprezintă un sistem din două faze: 1) lichid-solid sau 2) gaz-solid. Vom denumi primele sisteme, liosisteme, iar celelalte — xerosisteme. Este indispensabil de a stabili în ce raport se găsește lichidul (gazul) față de substanță solidă din gel: dacă se formează anumiți compuși sau dacă lichidul este reținut prin forțe fizice.

Van Bemmelen<sup>4)</sup> a fost primul care a cercetat această problemă studiind variația tensiunii de vaporii a apei în procesul uscării gelurilor neelastice ( $\text{SiO}_2$ ,  $\text{Fe}_2\text{O}_3$ , și. a.) la temperatură constantă.

1) H. Freundlich, Kapillarchemie. I, 323, 4 Aufl. (1920).

2) J. J. Bikermann, Z. phys. ch. 151, 129 (1930).

3) Vezi H. Bragg, Progresele fizicei 10, 325 (1930).

4) J. M. van Bemmelen, Z. anorg. Ch. 30, 265 (1902). Die Adsorption, Dresden, 1910; A. V. Racowschi, Studiul adsorbției M. 1931.

Zsigmondy<sup>1)</sup> (1911) și Bachmann au controlat cercetările lui van Bemmelen și au dat explicația acestui fenomen.

Să cercetăm în ce constă procesul de deshidratare. Să luăm  $\text{SiO}_2$ , care conține la 1 g de gel  $m$  grame  $\text{H}_2\text{O}$  și este în echilibru cu vaporii de apă cu tensiunea  $P$ . Starea de echilibru a acestui sistem pe care o vom numi inițială, va fi reprezentată prin punctul D (fig. 144).

Să introducем acum acest preparat într'un spațiu cu o tensiune de vaporii  $P_1$ , atunci întrucât  $P_1 < P$ , gelul va pierde atâta apă, până ce se va stabili o nouă stare de echilibru între tensiunea de vaporii  $P_1$  și cantitatea de apă  $m$ . Această nouă stare a sis-

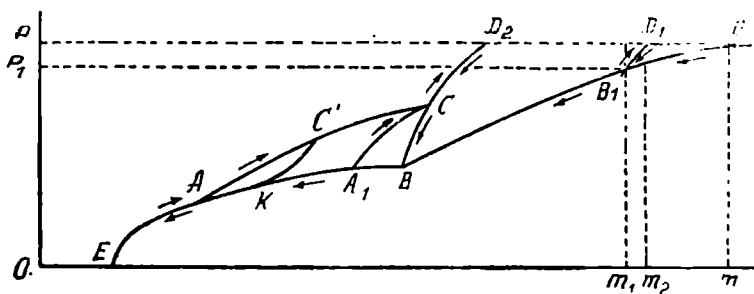


Fig. 144. — Isoferma de uscare și hidratare.

temului o vom nota prin punctul  $B_1$ . Sistemul se poate trece treptat din starea D în starea  $B_1$ , variind tensiunea de vaporii dela  $P$  la  $P_1$ . Notând toate stările de echilibru ale sistemului vom obține o serie de puncte care dau dreapta  $B_1D$ . Acum să aducem sistemul din starea  $B_1$  într'un astfel de spațiu în care el se va găsi din nou în echilibru cu vaporii de tensiune  $P$ . Pentru aceasta vom introduce treptat gelul  $B_1$  în spații cu tensiuni de vaporii tot mai mari; astfel se va produce absorbția apei. Notând toate relațiile de echilibru între  $P$  și  $m$  în limitele dela  $P$  la  $P_1$ , vom obține curba  $B_1D_1$ , la capătul căreia, în punctul  $D_1$ , gelul se va găsi din nou sub presiunea de vaporii  $P$ , dar după cum arată experiența, el va conține mult mai puțină apă ( $m_1 < m$ ). De aici rezultă că procesul cedării apei și absorbția ei din vaporii este în cazul de față ireversibil. Acest proces ireversibil este legat de următorul fenomen. Când gelul pierde apă, variind după dreapta  $DB_1$ ,

1) R. Zsigmondy, Z. anorg. Ch. 71, 356 (1911); 75, 189 (1912).

volumul lui se micșorează. La hidratarea lui după dreapta  $B_1D_1$ , volumul nu se mărește până la vechile dimensiuni, ci rămâne mai mic; de aceea sistemul nu poate absorbi din vaporii vechea cantitate de lichid.

Dacă vom usca în același ordine gelul  $D_1$ , sistemul va trece treptat prin toate punctele curbei  $B_1D_1$  și va ajunge până la punctul  $B_1$ , adică are loc un proces reversibil.

In acest fel se produce deshidratarea până la punctul  $B$ , în care se observă o inflexiune a curbei (punct de inflexiune). După acest punct pierderea apei se produce la o tensiune de vaporii aproape constantă ( $AB$  este paralelă cu axa absciselor) printr'un proces care este din nou ireversibil. Nu se mai produce aproape deloc o nouă comprimare a sistemului, capilarele rămân constante și în consecință și tensiunea de vaporii deasupra meniscurilor capilarelor va fi aproape constantă, ceea ce indică curba  $AB$ .

Dacă gelul care se usuca după curba  $AB$  din starea determinată prin punctul  $A_1$ , se introduce din nou într'o atmosferă umedă, el va începe să absoarbă vaporii după dreptele  $A_1C$  și  $CD_2$ , iar la uscare va pierde apa după dreptele  $D_2C$ ,  $CB$  și  $BA_1$ .

Pe măsură ce se usuca după curba  $BA$ , apa din capilare dispare, capilarele se umplu cu aer (proba începe să se turbure) și numai pe pereții lor rămâne apa absorbită adsorbțiv. În punctul  $A$  dispare toată apa din capilare. După punctul  $A$  are loc numai îndepărțarea apei adsorbite, după curba  $AE$ . Acest proces este reversibil și gelul uscat (punctul  $E$ ) fiind plasat într'o atmosferă umedă va adsorbi din nou apa din vaporii, după aceeași curbă  $EA$ ; după punctul  $A$  absorbția vaporilor nu se face după curba  $AB$ , așa cum s'a făcut uscarea, ci după curba tensiunilor mai mari  $AC$ .

Sistemul hidratat după curba  $AC$  va trece la uscare întâi prin punctul  $C$  al începutului dreptei, iar apoi uscarea lui se va face după punctele dreptei  $CBA$  până la starea inițială, determinată de punctul  $A$ . Astfel, cedarea apei și absorbția ei din nou se fac după un proces ciclic. Un astfel de proces se numește *hysteresis*.

La hysteresis, sistemul va trece din punctul limită  $A$  în starea finală, determinată de punctul  $C'$ , dacă el va fi plasat într'o atmosferă cu o tensiune mai mare de vaporii; uscarea se face după o altă curbă  $AKC'$  (la valori mai mici ale presiunii  $P$ ), dar sistemul se întoarce din nou în starea inițială — punctul  $A$ .

Din acest raționament se vede că la uscare se produc mai cu seamă procese fizice: 1) la început, la cantități mari de umedează avem apă, care se găsește în capilare și care le umple, supunându-se legilor capilare obișnuite (curbura meniscului); 2) la uscare mai avansată, apa capilară dispare treptat și siste-

mul construit constă din apă capilară lichidă, care umple în parte capilarele, și din apă de adsorbție în capilarele goale; 3) după uscarea întregii cantități de apă capilară rămâne numai apă rezinută adsorbabil, în echilibru cu tensiunea ei de vapor, supunându-se isotermelor obisnuite de adsorbție (procesul reversibil EA); 4) punctul E arată existența unui sistem cu un oarecare conținut de apă, dar care nu se supune echilibrului de adsorbție: ea poate să îndepărtează numai prin încălzire puternică. Sistemul pierde apă să după dreapta EO. Inflexiunea bruscă a curbei în E indică posibilitatea existenței unor compuși chimici — **apa de hidratare**.

La pierderea apei din geluri și la absorbirea ei au loc două procese: adsorbția și condensarea capilară. Aceste două fenomene sunt după natura lor profund diferite. Primul fenomen decurge conform presupunerii lui Langmuir și duce la adsorbția sub influența forțelor de adsorbție: el se termină prin formarea unui strat monomolecular saturat de adsorbție. În figură, acest proces este reprezentat prin porțiunea EA — el este un proces de echilibru perfect reversibil, corespunzând presiunilor mici ale văporilor ce se adsorb.

La o tensiune mare de vapori se formează un strat monomolecular. În micropori are loc contopirea straturilor monomoleculare și apare un menisc concav în capilarele cele mai subțiri. După apariția meniscului începe fenomenul de condensare capilară, conform teoriei lui Thomson, exprimată prin ecuația:

$$r = \frac{2\sigma}{RT} \cdot \frac{M}{\delta} \cdot \frac{1}{\ln \frac{p_0}{p_1}}$$

Această ecuație arată că cu cât porii sunt mai mici (cu cât  $r$  e mai mic) cu atât e nevoie de o tensiune de vapor mai mică pentru condensare. Pe măsură ce porii se umplu cu lichid, rămân neumpluți pori din ce în ce mai mari și pentru umplerea lor e nevoie de o presiune tot mai mare de vapori.

Umplerea porilor și formarea meniscului este în legătură cu udarea suprafeței porilor. Dacă suprafața nu este ocupată în întregime de stratul monomolecular de adsorbție, ci sunt ocupate numai centrele ei active, atunci udarea nu va fi completă, meniscul va avea o rază de curbură mare și se va produce fenomenul de întârziere; însă cedarea apăi pe baza aceleiași formule a lui Thomson va decurge normal<sup>1)</sup>. În aceasta rezidă probabil cauza hysteresisului.

Trebue menționate aici încă două fenomene care se observă,

1) M. M. Dubinin, J. F. H. 5, 155 (1934).

unul la adsorbție, iar celălalt la condensarea capilară. Primul este în legătură cu mărirea volumului (îmbibarea), care s'a constatat și la cărbuni (cărbunele se umflă la adsorbția gazelor și vaporilor<sup>1</sup>); forțele de adsorbție prezintă substanța adsorbită în porii de dimensiuni moleculare și astfel îi deplasează<sup>2</sup>). Formarea meniscului concav trebuie împotriva să strângă porii.

Am supus unui studiu mai amănuntit, procesul adsorbției vaporilor (cedării lor), pentru a arăta complexitatea lui și a explica curba lui van Bemmelen.

Și coloizii organici au fost studiați de un șir de autori; astfel, Racovschi<sup>3</sup>) a studiat fenomenul uscării amidonului, celulozei (vată, hârtie de filtru) și a arătat că la hysteresis procesul este ireversibil.

Viteza cu care se deshidratează sistemele geliforme sau invers, viteza cu care sistemele uscate absorb vaporii, este considerabilă la începutul procesului; mai departe se produce o încreținire bruscă a procesului.

La cercetarea uscării s'a indreptat atenția asupra faptului că la început cedarea apei se face destul de repede, iar apoi, când rămâne o cantitate mică de apă, uscarea se produce foarte încet. Apa, care e cedată greu, formează un strat legat solidar de micellii gelului (cu scheletul lui) și este acea apă legată de care s'a vorbit la cercetarea învelișului aproape din jurul particulelor coloidale. Acest strat de apă din jurul scheletului solid al sistemului este adesea monomolecular. Determinarea cantității de apă legată după metoda determinării tensiunii vaporilor de apă la uscare a fost făcută de un șir de autori<sup>4</sup>). Vom indica datele obținute de Briggs pentru o serie de geluri hidrofile:

agar	0,37 g
fibrina	0,33 „
gelatină	0,33 „
guma arabică	0,32 „
caseina	0,18 „

Aceste date arată că apă în grame este legată de 1 g de substanță coloidală uscată. Apa legată are unele proprietăți fizice deosebite în comparație cu apa obișnuită, de ex. ea îngheță mai greu și este un solvent rău.

1) F. Meehan, Proc. Roy. Soc. L. (A) 115, 199 (1927); D. N. Bangham și N. Fakhoury, Proc. Roy. Soc. L. (A) 130, 81 (1934). D. Mac-Bain, Adsorbția gazelor și vaporilor din corpurile solide (trad.) ONTI, 1934.

2) M. Polanvi, J. F. H. 5, 148 (1934).

3) A. V. Racovschi, Studiul adsorbției M. 1913.

4) A. Hiel, Proc. Roy. Soc. L. (B) 106, 445, 447 (1930); D. Briggs, J. Phys. Ch. 35, 2914 (1931); 36, 367 (1932).

#### 4. IMBIBAREA

Un alt fenomen caracteristic care se observă la sistemele geliforme este **îmbibarea**.

Cercetând problema despre hidratarea și deshidratarea sistemelor geliforme care se găsesc în fază gazoasă, s'a observat că la absorbția vaporilor sistemele coloidale nu cresc numai în greutate, dar și în volum. Acest fenomen se numește **îmbibare**. La îmbibare în fază gazoasă mărirea de volum este relativ neglijabilă. Fenomenul atinge valori mai mari la introducerea sistemelor coloidale uscate în lichide. La îmbibarea din fază gazoasă predomină fenomenele de adsorbție, la îmbibarea din fază lichidă predomină fenomenele care sunt în legătură cu difuziunea și osmoza.

Dacă se introduce un volum oarecare de substanță coloidală geliformă într'un lichid, nu se produce numai pătrunderea apei în pori, dar și o mărire de volum. S'a tăiat o fâșie dintr'o placă de cauciuc, i s'a făcut o incizie longitudinală și s'a suspendat pe marginea unui pahar cu benzen (sau cloroform, eter etc.) astfel, încât jumătatea stângă a fâșiei să rămână în aer, iar jumătatea dreaptă în lichid. Chiar după 15-20 de minute s'a putut observa o variație mare a volumului părții drepte îmbilate.

Gradul de îmbibare se măsoară prin cantitatea de lichid absorbită de 1 g de coloid.

La uscare, gelurile pierd lichidul, micșorându-și volumul. La o introducere repetată în lichid gelul uscat se îmbibă din nou până la limita anterioară. Această proprietate o au gelurile **elastice**, la care se poate observă cel mai bine fenomenul de îmbibare. Din ele fac parte foarte mulți coloizi organici.

Cantitatea de lichid absorbit întrece deobicei de multe ori greutatea substanței uscate; astfel, gelatina poate absorbi o cantitate de apă de 10-14 ori mai mare decât greutatea ei. Gelurile neelastice pot absorbi lichidele cele mai diferite: de ex.  $\text{SiO}_2$  solid, introdus în apă sau benzen își umple goulurile cu apă sau benzen, fără să-și schimbe volumul.

La îmbibare se observă o capacitate selectivă: gelatina se îmbibă în apă, dar nu în benzen, cauciucul — invers. Această capacitate selectivă de îmbibare este în legătură cu uflarea și în consecință și cu formarea unui învelis lichid în jurul micelului care formează gelul: de aceea substanțele care se îmbibă trebuie să fie liofile; astfel, gelatina, pielea sunt liofile față de apă, cauciucul față de un alt lichid, de ex. benzenul.

Unul și același gel se poate îmbiba diferit în diverse lichide. Cauciucul se îmbibă cel mai bine în derivații cu sulf ( $\text{CS}_2$ ) și halogenuri ai hidrocarburilor.

Procesul de îmbibare se produce până la o limită oarecare. După un timp oarecare se atinge volumul limită. Odată cu îmbibarea se poate produce și disolvarea parțială sau totală. În acest caz îmbibarea este un stadiu preliminar înainte de disolvare. În urcarea temperaturii îmbibarea crește, crescând și solubilizarea. Intensitatea fenomenelor de adsorbție și de solvatare scade cu creșterea temperaturii.

La îmbibare, lichidul nu se distribue numai între micelii care compun scheletul sistemului geliform, ci în unele cazuri pătrunde chiar în interiorul micelului. De aceea se disting două feluri de îmbibare: intermicelară și intramicelară, când lichidul pătrunde în miceli, solvatează diferitele catene ale valențelor principale, distanțând astfel fascicolele de molecule lungi. Metoda cea mai practică pentru a distinge cele două cazuri este cercetarea roentgenografică (Katz<sup>1</sup>). În cazul unei îmbibări intermicelare roentgenograma Debye-Scherer, atât a substanței uscate, cât și a celei îmbibate, este una și aceeași, aşa cum avem la fibrele vegetale de celuloză. În cazul îmbibării intramicelare, diagrama variază, ceeace se observă la îmbibarea eterilor celulozei în lichide organice, (Katz, Hess, Trogus) a inulinei și a.<sup>2</sup>

La îmbibare se observă o micșorare a volumului de lichid — fenomenul de **contractie**.

La studiul procesului de îmbibare trebuie să se distingă două mărimi: **limita de îmbibare și viteza de îmbibare**. Limita de îmbibare se caracterizează prin cantitatea limită de lichid absorbită de unitatea de greutate sau de volum de coloid. Această mărime depinde de elasticitatea gelului, de rezistența lui, de capacitatea de a se disolva (peptiza) și crește mult cu urcarea temperaturii. Viteza de îmbibare depinde de frecarea internă a lichidului absorbit, de elasticitatea gelului și relativ puțin de temperatură.

## 5. VITEZA DE IMBIBARE

Îmbibarea nu se produce instantaneu, ci cu o **viteză oarecare**. Pe baza experiențelor lui Hofmeister asupra îmbibării cleiului și agarului, Pascheles (1897) a arătat că vitezei de îmbibare î se poate aplica formula obișnuită pentru viteza unei reacții chimice de ordinul întâi:

$$\frac{dW}{d\tau} = A(W^\infty - W), \quad (153)$$

1) J. R. Katz, K. Beih. 9, 1 (1916).

2) H. Freundlich, Kapilarchemie II, 685, 1932; K. Hess, Chimia celulozei și a însoțitorilor ei (trad.) ONTI, 1934.

unde  $W$  este cantitatea de lichid absorbită la îmbibare de 1 g gel uscat,  $\tau$  — timpul,  $W_\infty$  — cantitatea limită de lichid absorbit la îmbibare, la o presiune exterioară dată. Integrând ecuația (153) obținem formula vitezei de îmbibare, analoagă formulei date de Noyes și Witte — încă în anul 1897 pentru viteza de disolvare a substanțelor dispersate molecular:

$$A = \frac{1}{\tau} \cdot \ln \frac{W_\infty}{W_\infty - W} \quad (154)$$

După cum se vede din ecuație, îmbibarea decurge după formula pentru viteza unei reacții chimice de ordinul I. Din datele tab. 81 (Pozniac) se vede cât de mult corespunde formula (154) realității.

*Tabela 81*  
**Viteza de îmbibare a cauciucului**  
( $t = 18^\circ$ , presiunea  $1120 \text{ g (cm}^2\text{)}$ )

$\tau$ în minute	$W$ experimental	$A$ calculat
145	0,0905	0,0021
215	0,1224	0,0022
275	0,1478	0,0022
1185	0,3002	0,0020
1420	0,3076	0,0018
1840	0,3194	0,0017

Ecuația îmbibării (153) se rezolvă foarte ușor prin metoda grafică. Pentru aceasta se trasează curba de îmbibare  $W$  —  $\tau$  și pentru diferite valori  $W$  se găsesc vitezele, ducându-se tangentele AB (fig. 145).

Pantele tangentelor sunt egale cu vitezele de îmbibare  $\text{tg } \varphi = \frac{dW}{d\tau}$  pentru diferite valori  $W$ . Ecuația (153) poate fi dată sub

forma

$$W = W_\infty - \frac{1}{A} \left( \frac{dW}{d\tau} \right);$$

dacă  $W$  și  $\frac{dW}{d\tau}$  sunt variabile iar  $\frac{A}{1}$  — constant, ecuația este cea a unei drepte. De aceea, punând coordonate  $W$  și  $\frac{dW}{d\tau}$  (fig. 146) obținem

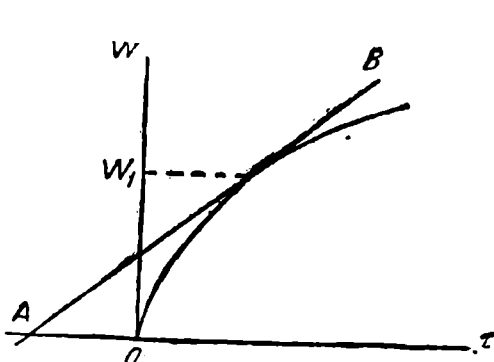


Fig. 145. Relația între  $W$  și  $\tau$

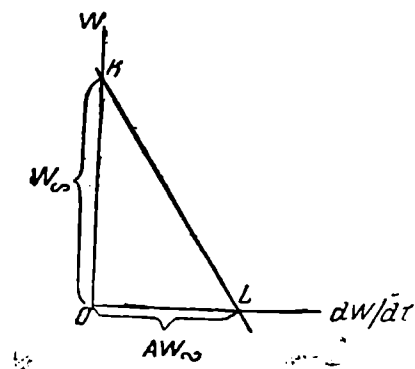


Fig. 146. Relația între  $W$  și  $\frac{dw}{d\tau}$

o dreaptă, unde  $KO = W_\infty = W$  la  $\frac{dW}{d\tau} = 0$  și  $OL = AW_\infty$ , căci la  $W = 0$ ,  $W_\infty = \frac{l}{A} \cdot \frac{dW}{d\tau}$ . De aici determinăm mărimele

constante  $W_\infty$  și  $A$ .

Inafara de aceasta, existența unei relații liniare între viteza  $\frac{dW}{d\tau}$  și cantitatea de lichid adsorbit ( $W$ ) indică direct aplicabilitatea ecuației (153). Posibilitatea de a determina  $W_\infty$  cu anticipație este foarte reală, căci valorile experimentale (finale) sunt de foarte multe ori denaturate prin fenomenul disolvării substanței ce se îmbibă. Constanța lui  $A$  nu se observă la începutul procesului.

Ecuația <sup>1)</sup> vitezei de îmbibare (154) a fost confirmată prin

1) Există o ecuație întrucâtva schimbată: A. Racovschi, Studiuul adsorbției 1913, K. Z. 11, 19 (1912).

experiențele multor cercetători. Totuși, ea nu poate fi considerată pe deplin exactă, din cauză că procesul de imbibare nu decurge simplu. În procesul de imbibare are o mare importanță cantitatea de lichid care se găsea inițial în substanța ce se imbibă. În cazul imbibării gelatinei în apă, Ariz<sup>1)</sup> a observat o mărire considerabilă a limitei de imbibare cu micșorarea concentrației sub-

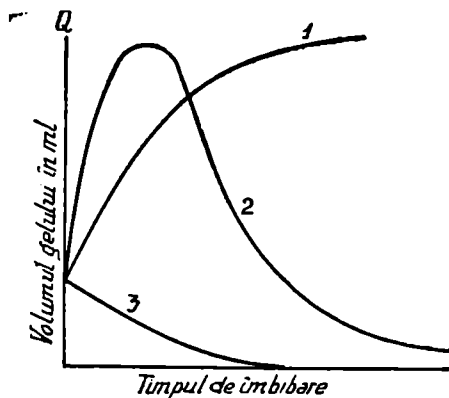


Fig. 147. — Cazuri de imbibare.  
1. imbibare fără disolvare; 2. imbibare cu disolvare simultană;  
3. simplă disolvare.

doilea — cu micșorarea lui. Din acest motiv ecuația vitezei de imbibare (153) se complică și în locul unor curbe de imbibare ascendentă, cu timpul se obțin curbe cu maxime, aşa cum se vede din fig. 147. O bună ilustrare a imbibării cu disolvare, este imbibarea cauciucului sintetic în toluen și în alte lichide organice<sup>2)</sup>.

## 6. CĂLDURA DE IMBIBARE

Imbibarea este însotită de degajare de căldură. Se numește **căldură de imbibare**, cantitatea de căldură în grame-calorii, care se degajă la absorbția unei anumite cantități de lichid de 1 g substanță uscată ce se imbibă. Căldura de imbibare tinde către o anumită limită și tot către o limită tinde și cantitatea de lichid absorbit. Primele cantități de lichid, recalculate la 1 g de lichid se absorb cu un mare efect termic, iar următoarele — cu un efect din ce în ce mai mic.

1) L. Ariz, K. Beih. 7, 51 (1915).

2) J. J. Jucov, Kol. J. I, 11 (1935); J. J. Jucov și F. N. Simhovici, op. zav. „B” 4 (1935); S. I. Talmud și V. A. Silberman, Cauciucul sintetic 6 (1935).

stanței uscate, iar la cercetarea vitezei de imbibare s'a observat clar că echilibrul se atinge mai repede în cazul gelurilor care inițial au fost mai uscate decât la cele umede. Grosimea plăcilor care se imbibă are și ea importanță; plăcile groase de gelatină absorb relativ mai puțină apă decât cele subțiri.

De foarte multe ori imbibarea este însotită de disolvare; în acest caz fenomenul constă din două procese; din imbibarea propriu zisă și din disolvare. Primul proces este în legătură cu mărirea volumului substanței luate, iar al

Se distinge căldura integrală de imbibare  $Q$  — cantitatea totală de căldură, eliminată în tot procesul îmbibării unui gram de substanță până la limita ei de îmbibare și căldura diferențială de îmbibare  $q$  — cantitatea de căldură degajată la absorbirea unui gram de lichid de către un gel uscat, sau mai mult sau mai puțin îmbibat. Căldura diferențială de îmbibare este cu atât mai mare, cu cât sistemul se găsește mai departe de limita de îmbibare (tab. 82).

Din datele tab. 82 se vede că valoarea maximă pentru  $q$  se observă atunci când se absorb cantități minime de apă; valoarea limită se poate calcula, extrapolând până la zero grame de lichid. Căldura de îmbibare ca și căldura de adsorbție are valori pozitive.

Aproape întreaga cantitate de căldură degajată revine cantităților inițiale de lichid absorbit, când nu se observă aproape deloc o îmbibare (mărire de volum<sup>2)</sup>.

Toate celelalte cantități de lichid absorbit, care de fapt determină îmbibarea, se absorb de sistem cu un efect termic neglijabil. Prima și cea mai mare parte din căldura degajată este căldura de îmbibare propriu zisă; în acest timp nu se produce încă o absorbție puternică de lichid. După ce practic procesele de udare s-au terminat, începe îmbibarea propriu zisă, fără efect termic. Efectul termic care se observă nu mai este pozitiv, ci negativ — se produce dilatarea sistemului prin forțe osmotice și disolvarea substanței coloidale.

Tabela 82

Căldurile diferențiale de îmbibare  
a gelatinei  
(după Katz<sup>1)</sup>)

Cantitatea de apă absorbită în g la un g de gelatină	$q$ cal.
0,0030	222
0,0406	186
0,1030	142
0,2420	86

## 7. PRESIUNEA DE IMBIBARE

La îmbibare se poate desvolta o presiune foarte mare, denumită **presiune de îmbibare**; ea a fost studiată de Freundlich și Pozniac<sup>3)</sup>. Între mărimea presiunii  $P$  și concentrația  $c$  a sub-

1) J. R. Katz, K. Beih. 9, 6 (1917).

2) E. Rosenbohm, K. Beih. 6, 177 (1914); Rodewald, Z. phys. Ch. 24, 193 (1897); 33, 593 (1900); S. M. Lipatov, Compușii macromoleculari (coloizi liofilii) AN B.S.S.R., 1934.

3) E. Pozniac, K. Beih. 3, 417 (1912).

stanței care se îmbibă, adică numărul de grame de substanță coloidală uscată în 100 cmc masă îmbibată există următoarea relație :

$$P = P_0 c^k \quad (156)$$

unde  $P_0$  și  $k$  sunt mărimi constante, determinate experimental, analog constantelor  $a$  și  $\frac{1}{n}$  în ecuația de adsorbție a lui Freundlich. Experiența se făcea într'un aparat special construit (fig. 148), care se compune dintr'un cilindru 1, cu un tub lateral 2, legat de manometrul 3.

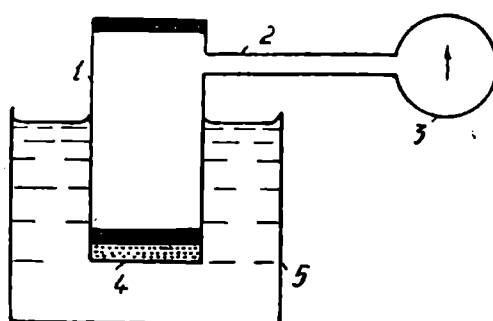


Fig. 148. – Schema aparatului lui Pozniac pentru determinarea presiunii de imbibare. 1. cilindru; 2. tub lateral; 3. manometru; 4. corp poros; 5. vas.

de Freundlich pe baza experiențelor lui Pozniac arată cât de bine coincid valorile, determinate după ecuația (156), cu cele experimentale.

Partea inferioară a cilindrului 1 are un fund poros, 4, pe care se pune o placă din substanță de cercetat. Întreg spațiul din cilindrul 1 și tubul 2 se umple cu mercur și aparatul se introduce într'un vas cu lichid 5. Lichidul din vas pătrunde prin fundul poros, atinge placă de substanță, producându-se îmbibarea, a cărei presiune se determină cu manometrul.

Datele din tab. 83, calculate

Tabela 83

**Imbibarea gelatinei în apă**  
(greutatea gelatinei = 0,0600 g;  $P_0=0,00002704$ ;  $k=2,9715$ )

$P$ în $\text{g}/\text{cm}^2$	$c$ exp.	$c$ calc.	$P$ în $\text{g}/\text{cm}^2$	$c$ exp.	$c$ calculat
520	306,3	283	3120	504,4	517
720	317,1	315	4120	555,0	567
1120	361,3	366	5120	613,3	610
2120	460,5	454			

Constanta  $P_o$  variază la diferite lichide și diferiți coloizi și reprezintă presiunea de imbibare la  $c = 1$  (nitroceluloză în acetona  $P_o = 305 \cdot 10^{-5}$  hemoglobina în apă  $P_o = 3,97 \cdot 10^{-5}$ ). Constanta  $K$  variază foarte puțin pentru diferiți coloizi și lichide și oscilează în jurul valorii 3.

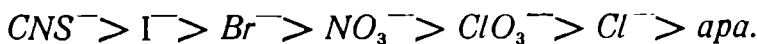
Între presiunea de imbibare și căldura de imbibare există o mare legătură.

Asemănarea între ecuația îmbibării și ecuația presiunii osmotice a atrăs atenția multor cercetători. Astfel Bikermann<sup>1)</sup>, comparând ambele ecuații, ajunge la concluzia că ecuația gazelor poate fi transformată în ecuația (154) dacă în locul moleculei punctului (pentru gaz) se consideră ca unitate activă suprafața micellului, adică dacă se introduce valoarea suprafeței specifice  $S_0$ . Pornind dela aceasta, se poate determina mărimea  $S_0$  după presiunea de imbibare.

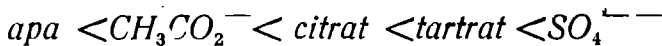
Pentru gelatină  $S_0 = 1,1 \cdot 10^{-7} \text{ cm}^2$ , ceea ce se apropie foarte mult de mărimea  $S_0$  pentru celuloză.

## 8. INFLUENȚA ELECTROLIȚILOR ȘI A pH-ULUI MEDIULUI ASUPRA IMBIBĂRII

La îmbibarea substanțelor coloidale hidrofile, are o mare însemnatate prezența de electroliți în apă, după cum au arătat Hofmeister (1891) și Pauli (1898). O importanță deosebit de mare are anionul. Dacă anioni se dispun într-o serie descrescăndă după capacitatea de a mari îmbibarea, vom obține :



Există anioni care întârzie îmbibarea; disponându-i în serie după ordinea crescăndă a întârzierii îmbibării (cea mai mare o produce  $SO_4^{2-}$ ) avem :



Seriile citate se numesc seriile lui Hofmeister. Vedem că cel mai mult contribue la îmbibare ionul rodanură, iar cel mai mult micșorează îmbibarea ionul  $SO_4^{2-}$ . Prezența ionului  $Cl^-$  mărește întrucâtva îmbibarea, iar  $CH_3CO_2^-$  o micșorează puțin în comparație cu apa pură.

La îmbibarea proteinelor are o foarte mare importanță valoarea pH-ului mediului. Astfel, gelatina isoelectrică dă minimum

1) J. Bikermann, Z. phys. ch. (A) 151, 129 (1930).

de îmbibare în apă. De ambele părți ale punctului isoelectric se produce o creștere rapidă a îmbibării. Asupra marii importanțe a concentrației ionilor de hidrogen și-a îndreptat atenția Loeb<sup>1)</sup>; determinările îmbibării, fără să se țină seama de variația pH-ului pot da valori întâmplătoare.

Din următoarea experiență se vede cât de mult influențează mărirea concentrației ionilor de H<sup>+</sup> asupra îmbibării. Se toarnă într-o capsulă Petri o soluție de gelatină 6% și se lasă să se gelatinezze. Apoi, cu un tub de sticlă cu vârful tras în capilar, umplut cu o soluție de acid acetic concentrat se înțeapă gelatina. Deasupra se toarnă apă. Peste o oră sau ceva mai mult, în locurile înțepate este ușor de observat o îmbibare puternică a gelatinei sub formă de bule mici.

Fischer<sup>2)</sup> a observat această influență a pH-ului asupra îmbibării și a pus-o în legătură cu tumorile, care se formează în organism. După părerea lui o serie întreagă de tumori depind de micșorarea valorii pH-ului. Experiența arătată mai sus explică bine umflăturile care se produc prin înțepăturile insectelor (țânțarilor), care introduc în organism un lichid acid.

După părerea lui Loeb, la un pH invariabil gelatina se îmbibă identic sub acțiunea multor anioni monovalenți. (NaCl, NaBr, NaI, NaNO<sub>3</sub>, NaCNS, acetat de Na, lactat de Na). După ce Loeb a observat influența puternică a pH-ului asupra îmbibării și după ce a apărut indoiala asupra realității seriilor lui Hofmeister, problema îmbibării în soluțiile apoase de săruri neutre a fost din nou cercetată la proteine<sup>3)</sup>, mătase, colagen<sup>4)</sup>, celuloză (Weimarn).

Kubelka<sup>5)</sup> a făcut cercetări asupra îmbibării colagenului din piele și a confirmat realitatea seriei lui Hofmeister; la concentrațiile foarte mici de săruri s'a observat o abăiere, iar la concentrații mari îmbibarea se supunea pe deplin seriei lui Hofmeister.

Toate acestea denotă complexitatea fenomenului de îmbibare cât și faptul că el nu este încă pe deplin cunoscut. Acelaș lucru îl denotă și mulțimea de teorii și lucrări existente.

La îmbibare se observă deobicei două fenomene (A. Künzel<sup>6)</sup>): îmbibarea propriu zisă și peptizarea (trecerea în sol) a substanței ce se îmbibă.

In primul caz fenomenul este în legătură cu schimbarea sarcinii electrice și cu adsorbția ionilor și poate depinde atât de

1) J. Loeb, *Die Eiweisskörper*, 118 Berlin, 1924.

2) M. Fischer, *Tumefierea; Nefrita* (trad.) 1931; Experiențele lui Fischer au fost făcute înainte de introducerea noțiunii pH-ului în știință.

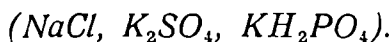
3) E. Stiasny, Coll. 35 (1923); 13 (1925).

4) K. Gustavson Coll. 477 (1927).

5) V. Kubelka K. Z. 51, 331 (1930).

6) A. Künzel, Bioch. Z. 209, 326 (1929).

anioni (în prezență de săruri ca  $NaCl$ ), cât și de cationi (în prezență de baze sau acizi). Influența cea mai mare asupra sarcinii electrice o au acizii și bazele. Valoarea îmbibării trece printr'un maxim la creșterea concentrației acidului. Se poate observa și influența valenței anionului asupra îmbibării



Maximul îmbibării în soluții de acizi se observă bine la gelatină (Kuhn<sup>1</sup>) (fig. 149) și la colagen<sup>2</sup>). În cazul acizilor slabii, maximul îmbibării gelatinei se deplasează în domeniul concentrațiilor mari.

Maximul de îmbibare a gelatinei, care se obține la introducerea ei în soluții de acid clorhidric de diferite concentrații, a fost explicat de Prokter și Wilson<sup>3</sup>) din punct de vedere al presiunii osmotice, care se produce în gel datorită disolvării clorurii de gluten. Cum în interiorul gelului se găsește clorură de gluten și HCl care a difuzat în gel, iar la exterior numai soluție de HCl, se stabilește echilibrul lui Donnan, care determină presiunea osmotică în interiorul gelului, presiune care produce mărirea volumului gelului elastic. La concentrații mici are loc disociația completă a clorurii de gluten în  $Cl^-$  și un ion coloidal, care nu este capabil să difuzeze prin pereții gelului; cu mărirea concentrației de HCl, cantitatea lui crește, iar la concentrații mari de HCl, se micșorează atât cantitatea de clorură de gluten disociată cât și îmbibarea.

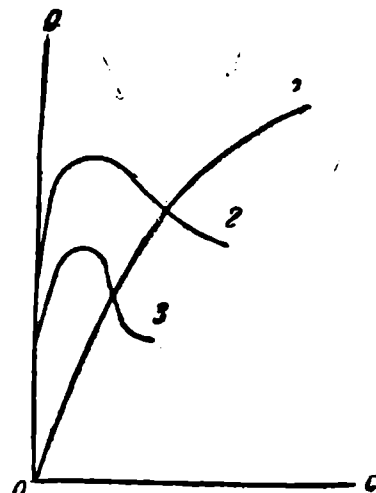


Fig. 149. — Îmbibarea gelatinei în soluții de acizi.  
1. acid acetic ; 2. acid clorhidric ;  
3. acid sulfuric.

1) A. Kuhn, K. Beih. 14, 147 (1921); E. Sauer u. E. Kleverkaus, K. Z. 50, 130 (1930).

2) V. Kubelka u. J. Wagner, K. Z. 46, 107 (1928).

3) H. Prokter a. J. A. Wilson, J. Ch. Soc. L. 109, 304 (1916) ; S. M. Lipatov, Coloizii, 133 M. 1933.

## 9. INFLUENȚA STRUCTURII POLARE

Adăugarea în apă a substanțelor organice coboară deobicei gradul de imbibare al gelurilor hidrofile, în special atunci când substanțele adăugate se hidratează puternic. Aici joacă, fără îndoială, un mare rol structura polară a moleculei și valoarea constantei dielectrice. S'a căutat să se explice multe procese fizico-chimice coloidale pe baza structurii polare a moleculelor, cercetându-se pentru aceasta polarizarea dielectrică a soluțiilor <sup>1)</sup>. A fost studiată din acest punct de vedere imbibarea câtorva geluri liofile în lichide organice. Sakurada <sup>2)</sup>, studiind imbibarea acetilcelulozei a tras concluzia că acetil-celluloza se îmbibă bine în lichide care au un dipolmoment relativ mare (tab. 84).

Tabelă 84

**Creșterea greutății acetilcelulozei la îmbibarea în solvenți organici  
(g la 100 g)**

Lichidul organic	Timpul de îmbibare în zile				Constanta dielectrică $D$	Dipolmomentul în $\mu$
	2	6	13	17		
CHCl <sub>3</sub>	780	1188	1381	1894	5,2	1,05
C <sub>2</sub> H <sub>5</sub> OH	4,8	14,0	14,5	14,7	25,8	1,35
(C <sub>2</sub> H <sub>5</sub> ) <sub>2</sub> O	1,1	2,6	5,4	5,4	4,3	1,20
C <sub>6</sub> H <sub>6</sub>	0,8	1,3	1,3	—	2,26	0,26
CCl <sub>4</sub>	0,2	0,4	—	0,6	2,23	0,40

Dacă îmbibarea unui compus polar se produce într'un amestec de două lichide care nu sunt polare, îmbibarea este neglijabilă (C<sub>6</sub>H<sub>6</sub> + CCl<sub>4</sub>). Dacă însă îmbibarea are loc în amestecuri în care unul din lichide este polar iar celălalt nepolar, se observă întotdeauna o creștere a îmbibării la creșterea concentrației lichidului polar <sup>3)</sup> și foarte des există un maxim de imbibare, care este în legătură cu polarizarea dielectrică a soluțiilor.

Vorbind despre îmbibare n'am luat în considerație cantitatea de substanță ce se îmbibă, căci am presupus că îmbibarea specifică nu depinde de volumul lichidului în care decurge acest proces, subînțelegând numai că, cantitatea de lichid este pe deplin suficientă.

1) Wo. Ostwald, K. Z. 45, 56 (1928).

2) I. Sakurada, K. Z. 48, 277 (1929).

3) A. Dumanschi, J. Mec. naț. și E. Necriaci, Koł. J. 9, 169 (1947).

cientă pentru îmbibare. Experiența a arătat că atunci când se iau cantități mari de substanțe, intensitatea îmbibării intr'unul și acelaș volum mare de lichid, scade. Acest fenomen, care are o mare importanță practică, a fost studiat de Wo. Ostwald<sup>1)</sup> asupra mai multor cazuri. În esență el constă în aceea că gelul care se îmbibă și care conține ca impurități substanțe cristaline le cedează lichidului și atunci îmbibarea nu se mai produce intr'un lichid pur, ci în soluția acestor substanțe, care s-au extras din gel<sup>2)</sup>. Cum impuritățile care se găsesc în lichid influențează asupra îmbibării, devine clară influența cantității de gel ce se îmbibă (regula precipitatului). În afară de aceasta, în timpul îmbibării se poate produce o reacție chimică, datorită căreia se formează compuși moleculari care se disolvă în lichid; și concentrația acestora depinde de cantitatea de gel luat. În cazul când gelul nu conține impurități, îmbibarea nu depinde de cantitatea lui (bineînțeles dacă solventul este în exces).

## 10. PROCESUL USCĂRII GELURILOR

În gel lichidul se găsește în stare liberă și în stare adsorbită, umplând capilarele și acoperind suprafața. În primul caz, tensiunea vaporilor lui este aceeași ca și a suprafeței libere a lichidului și numai în porii foarte fini se observă o micșorare a tensiunii de vapori.

În stare adsorbită tensiunea de vapori a lichidului care se evaporă este mult mai mică. De aceea evaporarea lichidului liber de pe suprafața gelului și din capilarele mari se face mai repede. Mai greu se face evaporarea lichidului din ultraporii fini și a celui legat adsorbтив. În toate cazurile, asupra vitezei de uscare are o mare influență viteză difuziunii lichidului prin corpul gelului, care limitează adesea procesul de uscare.

Asupra cineticei procesului influențează mecanismul transmisiei căldurii în corpul care se usucă. Diferența de temperatură, care se obține în diferite puncte ale corpului, creează condițiile pentru producerea procesului de termodifuziune care deplasează lichidul din locuri cu temperatură mai înaltă spre locuri cu temperatură mai joasă. Acest fenomen se explică prin viteză mai mare a deplasării moleculelor și prin tensiunea mai mare de vapori a lichidului la temperatură înaltă.

Pe baza celor spuse, curbele de uscare (timp — cantitatea de lichid evaporat) și vitezele de uscare sunt curbe complexe, care

1) Wo. Ostwald u. P. P. Kestenbaum; K. Beih 29, 1 (1929).

2) C. Blow et P. Stromberg, Rec. trav. chim. Pays Bas, 48, 681 (1929).

constau din curbele de evapoțare în condițiile indicate mai sus; ele nu pot fi exprimate printr'o singură ecuație.

Procesul uscării decurge la început cu o viteză mare la o umiditate relativ mare a produsului, adesea liniar, iar apoi scade treptat.

Uscarea poate fi isotermă sau isobară. Viteza de uscare depinde de umiditatea aerului înconjurător, de temperatură și de viteza curentului de aer de uscare.

Procesul uscării are o mare însemnatate practică, căci el este unul din procedeele cele mai folosite în diferite ramuri ale tehnologiei. Studiul acestui proces prezintă un mare interes teoretic, dând o imagine despre structura sistemelor coloidale și a felului cum ele leagă lichidele.

Cinetica uscării este studiată în mod sistematic începând cu lucrările lui Lewis (1921) și Lederer (1924). Cercetări mai detaliate au fost făcute de Sherwood (1931-1933), iar în URSS de A. V. Lâcov. Neajunsul tuturor acestor cercetări este legătura slabă a tuturor schemelor studiate, cu insușirile coloidale ale sistemelor.

## 11. VARIATIA FORMEI LA IMBIBARE SI USCARE

La imbibare, volumul gelului se mărește și dacă structura lui este aceeași în toate direcțiile, la sfârșitul procesului variația volumului se produce uniform în toate direcțiile și bucata de gel îmbibat își menține după imbibare formă sa geometrică. Totuși, la început, la colțuri se produce o îmbibare mai mare, căci aici

stratul de substanță este mai mic, iar plăcile subțiri se îmbibă mai repede decât cele groase. De aceea bucata dreptunghiulară de gel, îmbibându-se, își schimbă formă (fig. 150).

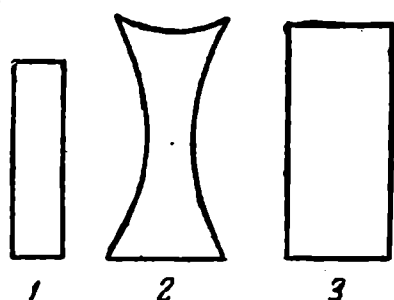


Fig. 150. — Variația formei la îmbibare. 1—bucata inițială; 2—bucata la începutul îmbibării; 3—bucata la sfârșitul îmbibării.

lungi se curbează și lungimea totală a fibrei se micșorează. O astfel de variație a lungimii e ușor de observat. Un mare interes tehnic îl prezintă variația lungimii fibrei de celuloză la îmbibarea

în acele cazuri când structura bucații are o orientare anumită (este anisotropă) (de ex. fibrele de celuloză) la îmbibarea fibrei moleculele de apă se dispun între micelii lungi, mărintind considerabil lățimea fibrei; ca rezultat al pătrunderii apei, micelii

în alcalii ( $\text{NaOH}$ ) în timpul aşa numitului proces de mercerizare. Totuși, fenomenul este aici foarte complex și probabil mult mai amplu decât o simplă imbibare. În mod analog se îmbibă fibrele din eterii celulozei în lichide organice.

Nu numai fibrele, dar orice gel anisotrop nu se îmbibă uniform în toate direcțiile, ceea ce se observă de ex. la îmbibarea coarnelor <sup>1)</sup>.

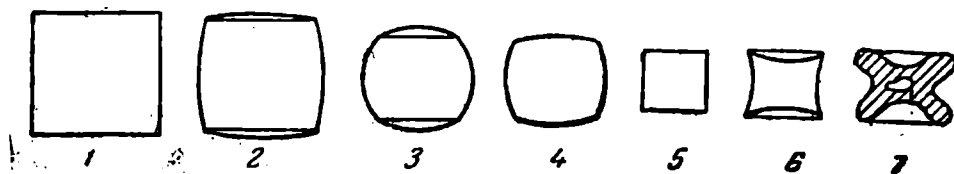


Fig. 151. — Variația formei gelului la uscare.

La uscarea gelurilor îmbibate se observă o variație mare a formei; acest fenomen, foarte important în tehnică, a fost până în prezent puțin explicat. Se poate spune numai că asupra deformării la uscare are o mare influență forma geometrică a corpului

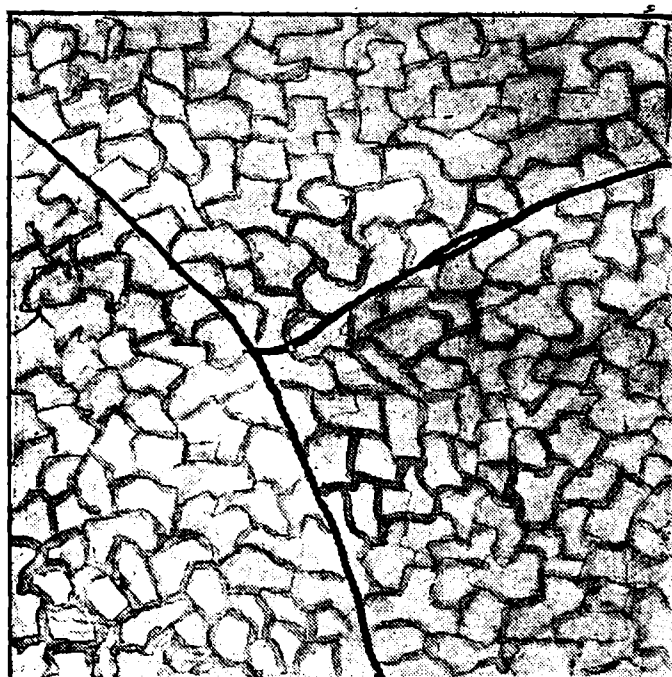


Fig. 152. Crăparea stratului de amidon udat la uscare.

1) F. Hauer, K. Z., 35, 169 (1924).

care se usucă. În fig. 151 sunt date formele obținute la uscarea treptată a unui cilindru de gelatină (15 g gelatină la 100 g apă<sup>1)</sup>.

Uscarea decurge în ordinea numerelor (1, 2, 3, 4, 5, 6, 7) dela stânga la dreapta. Figura Nr. 7 reprezintă secțiunea transversală a cilindrului uscat, cu golul format în interior. Cilindrii mai înalți dar cu diametrul mic se usucă în acelaș mod, dar nu formează un gol în interior, ci se îngustează numai.

Sunt interesante variațiile suferite de gelurile care se usucă sub formă de straturi pe o suprafață solidă. În cazul când stratul de gel sau de praf udat, care s'a lipit (rocă, amidon, argilă, lac, colorant) se lipește de baza solidă și la uscare se produce o contracție a suprafeței, se observă o crăpare a întregii mase care se usucă, crăpăturile fiind închise (fig. 152). Există o regularitate căreia i se supun figurile ce se obțin la o crăpare; această regularitate poate fi denumită **regula perimetrului constant<sup>2)</sup>**. Toate figurile au în medie acelaș diametru, a cărui mărime depinde de contracția la uscare, de rezistența gelului ce se usucă și de grosimea stratului. Fenomenul unei astfel de crăpări este foarte răspândit, de ex. la uscarea rocelor, argilelor, lacurilor, etc. și prezintă un mare interes practic.

## 12. SCHEMA PROCESULUI DE IMBIBARE

Indicile fundamentale care caracterizează procesul de imbibare sunt următoarele: 1) creșterea obligatorie a volumului; 2) presiunea de imbibare; și 3) un coeficient de temperatură pozitiv al volumului și presiunii de imbibare. Pentru ca să fie îndeplinite condițiile fundamentale ale procesului, scheletul gelului trebuie să aibă o structură elastică. O astfel de structură pot da micelii (moleculele) foarte alungite, care se împreunează într-o rețea spațială în special prin capetele lor proeminente și într'un număr mic de puncte. Fenomenul de tixotropie confirmă schema expusă a formării scheletului unui gel din molecule alungite, care poate fi ilustrată prin următoarea experiență<sup>3)</sup>. Solul de  $V_2O_5$ , fiind în repaus, se gelifică încet și tixotropic (aprox. 3 ore). Dar dacă eprubeta cu solul se rotește în jurul axei sale, micelii în formă de ace de  $V_2O_5$  se orientează cu axele lor lungi în direcția mișcării lichidului, atingându-se astfel unele cu altele și atunci gelificarea se produce în câteva secunde.

1) E. Hätschek, K. Z. 67 (1924).

2) A. Dumanschi, N. N. Criacicov și E. G. Leisle, Notele Institutului de cercetări pentru chimia coloidală. Voronej, 2, 88 (1934); Koll. J. 2, 395 (1936).

3) H. R. Krugt, Usp. chim. 9, 682 (1940).

Polimerii înalți cu miceli și molecule lungi și elastice satisfac pe deplin condiția de formare a unui schelet elastic de gel, care și schimbă ușor volumul, fără ca sistemul să se distrugă.

Sistemele care au un schelet neelastic pot fi numai pătrunse de lichid, dar nu se pot îmbiba.

Presiunea de îmbibare poate exista numai la geluri elastice, care sunt capabile să se dilate și să apeze pe pereții vasului în care se găsește sistemul (experiența lui Pozniac).

Presiunea de îmbibare nu se poate explica numai prin formarea de straturi solvatate, căci această cantitate de apă este foarte mică în comparație cu variația totală de volum. Astfel, conform experiențelor noastre, cantitatea de apă legată adsorbțiv în gelatină este mai mică decât o cincime din totă apa absorbită la îmbibare<sup>1)</sup>. Lucrurile stau altfel la îmbibarea amidonului. În acest caz nu există miceli lungi care să se îndrepte ușor și cantitatea de apă de îmbibare nu întrece cu mult cantitatea de apă legată adsorbțiv. Straturile solvatate formate dau presiune numai în perioada inițială de îmbibare (iar presiunea este aici foarte mare); în acest caz, se produce un fenomen descris de Dereaghin<sup>2)</sup> sub denumirea de acțiune de despicare.

Coeficientul pozitiv de temperatură de îmbibare denotă natura cinetică, analoagă presiunii osmotice și mișcării cinetice a particulelor.

Teoria osmotică a îmbibării a fost exprimată de un sir de autori<sup>3)</sup> (Katz, Prokter, Duclaux și alții) și explică destul de bine fenomenul din punct de vedere calitativ. Neconcordanța constă în faptul că coeficientul de temperatură al presiunii de îmbibare este cu mult mai mare decât s-ar putea presupune în conformitate cu ecuația presiunii osmotice. Wo. Ostwald, iar apoi Haller<sup>4)</sup> admit posibilitatea unei mișcări oscilatorii a micelilor și moleculelor flexibile ale gelului. Dar aceasta nu explică coeficientul mare de temperatură. Pentru explicarea lui trebuie făcută o presupunere probabilă, că odată cu creșterea temperaturii o parte tot mai mare a fracțiunii puternic dispersate trece sub formă de soluție în lichidul intermicelar. Această soluție, găsindu-se în rețeaua micelară ca și când ar fi într-o membrană semipermeabilă, datorită diferenței între concentrația din interior (în mediul intermicelar) și din afară gelului, creează o presiune osmotică — presiunea de îmbibare — care produce mărirea volumului sistemului. O astfel

1) T. P. Tiajolova, Koll. J. 3, 631 (1937).

2) B. V. Dereaghin și E. Obuhov, Izv. An. U.R.S.S. OMEN, 743 (1936).

3) F. Bartell și L. B. Seams, J. Ann. Ch. Soc. 44, 289 (1922); C. M. Lipatov, Polimerii înalți (coloizii liofili), AN, B.S.S.R., 45, 1943.

4) Wo. Ostwald, K. Z. 49, 60 (1929); W. Halter, K. Z. 49, 74 (1929).

de presupunere, foarte verosimilă, explică coeficientul mare de temperatură al îmbibării. Există o serie de experiențe care confirmă aceasta. Gelurile de gelatină, din care s'a scos în prealabil prin spălare fracțiunea solubilă se îmbibau mult mai puțin.

Marele efect termic pozitiv nu este în legătură propriu zisă cu îmbibarea, ci cu primul stadiu de adsorbție și de udare a coloidului care se îmbibă, lichidul contractându-se. Procesul de disolvare și de creștere a volumului are un mic coeficient termic negativ.

### 13. SINEREZA

Un gel care conține o cantitate mai mare sau mai mică de lichid, începe cu timpul să-și schimbe treptat proprietățile, ceeace se numește **îmbătrânirea** sistemului; aceasta este caracteristic pentru toate sistemele coloidale.

Datorită fenomenului de îmbătrânire, un sir întreg de procese decurg ireversibil, sau semireversibil, adică procesul invers se produce cu o oarecare întârziere, sau, cu alte cuvinte, se observă hysteresis.

Gelul îmbibat, sau în special acela care s'a format cu timpul dintr'un sol, începe să separe o parte din lichidul reținut, la început sub formă de picături pe suprafață, iar apoi, micșorându-și volumul, sub forma unei mase destul de mari, aşa cum se vede în fig. 1 și 2 (fig. 153), unde partea înneagră reprezintă contracția treptată a gelului care ocupa la început întreg paharul până la nivelul AB. Acest fenomen se numește **sinereză**.

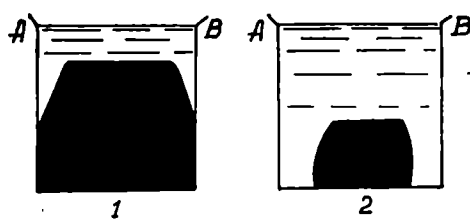


Fig. 153. Variația volumului la sinreză.

don, la clei, la coloranți solubili în ulei, la materiale izolante, gelatină, săpunuri, lapte covăsit, pâine și a.

Sinreză depinde de mai multe cauze <sup>2)</sup>. În unele cazuri mă-

nu se separă solvent pur, ci o soluție foarte diluată, care conține și substanță coloidală. Acest fenomen a fost observat de W. Ostwald <sup>1)</sup>, indicându-se apoi importanța lui atât teoretică cât și practică. Fenomenul de sinreză se observă la cleiul de amido-

1) Fenomenul de sinreză a fost descris de Graham în 1864 (Th. Graham, Ostwalds Klassiker Nr. 179), dar nu i s'a dat importanță și abia după 50 de ani Ostwald a semnalat însemnatatea lui. Lumea mărimilor (trad.) 104, 1930.

2) A. Kuhn, K. Z. 46, 299 (1928).

rirea concentrației gelului contribue la sinereză, ceeace se observă la  $\text{SiO}_2$ , cauciuc și în anumite cazuri la viscoză; în alte cazuri mărirea concentrației micșorează intensitatea procesului, ceeace s'a dovedit la amidon, agar, acetilceluloză și viscoză.

Separarea lichidului se face cu o anumită viteză, viteza de sinereză nefiind constantă: la început ea este foarte mică, apoi crește treptat și în fine se oprește brusc.

Momentul începerii sinerezei, adică separarea primelor picături de lichid, depinde, ca și viteza, de concentrația gelului.

Se observă o influență considerabilă a temperaturii asupra sinerezei, astfel sinereză geraninei la  $25^\circ$  se termină peste 5 zile, iar la  $6^\circ$ , peste 24 zile, adică odată cu scăderea temperaturii se micșorează viteza (Lipatov).

La proteine, sinereză depinde de pH. Astfel, lucrările lui Ostwald și Lloyd<sup>1)</sup> au arătat că la gelatină sinereză se observă numai în punctul isoelectric.

Caracterul lichidului arată o mare influență asupra fenomenului de sinereză. Sinereză cauciucului în benzen se produce mai repede decât în  $\text{CCl}_4$  (Leblanc<sup>2</sup>).

Impuritățile din lichide schimbă deasemenea fenomenul de sinereză. Sinereză se produce mai repede, dacă sistemul se supune unei acțiuni mecanice. Astfel, unele geluri arată acest fenomen numai la presiune sau la agitare. Forma vasului are și ea influență asupra fenomenului de sinereză<sup>3</sup>.

---

1) Wo. Ostwald a. D. Lloyd, Bioch. J. 14, 147, 587 (1927).

2) M. Leblanc u. M. Krüger, Z. Elektroch. 27, 337 (1921).

3) S. M. Lipatov, J. R. F. H. O. 62, 37 (1930); N. P. Pescov, articole în K. Z. 1926-1929.

## **XXIX. LICHIDUL LEGAT ADSORBTIV IN SISTEMELE COLOIDALE**

### **1. VARIATIA PROPRIETATILOR MEDIULUI DE DISPERSIUNE LA SUPRAFAȚA PARTICULEI DISPERSE**

In capitolul referitor la solvatarea solurilor am făcut cunoștință cu variația mediului de dispersiune, care este legat adsorbtiv de miceli. Prin capacitatea de a leagă lichid (în particular apa) se poate caracteriza afinitatea unei substanțe coloidale față de mediul ei, adică liofilie.

Să cercetăm aceste variații ale mediului de dispersiune în cazul gelurilor liofile.

Suprafața micelilor substanțelor coloidale, ca și anumiți radicali ai macromoleculelor, care există independent în solurile compușilor macromoleculari (proteine, pectine, etc.) leagă o parte din mediul de dispersiune, de ex. apa, care se găsește în directă lor apropiere, schimbând mult insușirile ei (capacitatea calorică, capacitatea de a disolva, densitatea, micșorarea tensiunii de vaporii, etc.).

Vom denumi această apă — apă legată: în majoritatea cazurilor ea va fi mediu legat adsorbtiv.

Faptul că particulele coloidale rețin în jurul lor o parte din mediul de dispersiune a fost explicat de autor încă în anul 1913<sup>1)</sup>

Mai târziu, această reprezentare a fost aplicată de Kruyt în anul 1922 pentru caracterizarea solurilor liofile.

Astfel, întreaga cantitate  $W$  de apă a sistemului geliform poate fi împărțită în două: apa legată adsorbtiv —  $X$  și apa invariabilă liberă. De aceea, umiditatea sistemului este alcătuită din umiditate liberă (UL) și din umiditate legată (ULG), care diferă mult prin insușirile lor una de alta. Expresia generală a umidității va fi: (UT) umiditatea totală = umiditatea liberă (UL) + umiditatea legată (ULG).

1) A. V. Dumanschi. Disertație despre soluțiile coloidale, Chiiev, 1913.

Inafără de apa legată, sistemul mai poate reține o oarecare cantitate de apă prin structura lui, asemănător unui burete care absoarbe un mare volum de apă prin porii săi. Această apă reținută are proprietățile apei libere și se socotește ca umiditate liberă.

La imbibarea cu apă a sistemelor disperse, se observă o degajare considerabilă de căldură, care determină procesul de imbibare adsorbtivă a suprafeței particulelor cu lichid. Valoarea acestui efect termic este de aceeași ordine de mărime ca și procesul chimic exoterm al formării hidraților.

O variație atât de mare a rezervei de energie denotă că în sistem se produc schimbări mari, în special în faza lichidă, care se orientează la limita de separație a suprafeței solide. Apa legată capătă în acest caz alte proprietăți.

Pierderea unei mari părți din energia cinetică a moleculelor adsorbite este în legătură cu variația rezervei de energie. De adsorbție este legată o anumită repartiție a lor în stratul superficial. De acest lucru va depinde micșorarea constantei dielectrice a apei legate (Marinescu) de la 80 la 2,2. La repartiția, la limita de separație solid-lichid, moleculele de apă complecăză spațiul în mod diferit. Repartizarea cea mai rară revine moleculelor sub formă de ghișă obișnuită; una mai deasă celor sub formă lichidă și cea mai densă — în cazul moleculelor legate adsorbtiv (Racovschi, Cotucov) până la 1,28 și 2,45. Micșorarea capacității calorice este în legătură cu oprirea mișcării particulelor adsorbite și cu simplificarea moleculelor polimere complexe de apă până la cele monomoleculare din stratul de adsorbție.

În stratul de adsorbție, moleculele se orientează într'un mod anumit, asemănător unei rețele cristaline, după cum a arătat cercetarea roentgenografică a lui Kolkmeirer<sup>1)</sup>. Forțele mari de atracție, care apar la limita solid-lichid, orientarea moleculelor, disponerea deasă a moleculelor în faza lichidă fac posibilă presupunerea cu privire la adsorbția apei în mai multe straturi, cu un strat de adsorbție a cărui orientare devine treptat tot mai slabă (de la centru la periferie), analog unui strat de difuziune (Polanyi, Bradley). Un astfel de strat are o structură analoagă cu cea a unei atmosfere ionice care există la suprafața miceliilor, adică primul strat este puternic legat, iar apoi urmează stratul difuz, care se întinde relativ adânc în interiorul lichidului.

Moleculele vor fi orientate. Se va observa o contracție precum și micșorarea constantei dielectricice și se vor schimba și alte proprietăți.

Acest raționament este aplicabil unei suprafețe care se poate uida și corespunde condițiilor unui sistem coloidal, ai cărui miceli au o suprafață netă de separație între faze. În cazul sistemelor hidrofilă, care se disolvă în mod real (sub formă de molecule separate) în compuși macromoleculari, fenomenul legării apei nu se va produce după suprafață de separație, ci după anumiți radicali, de fiecare radical putându-se lega un mic număr de molecule de apă. Astfel, datorită numărului mare din acești radicali ( $\text{OH}$ ,  $\text{NH}_2$ ,  $\text{CO}_2$ , etc.), un gram de substanță coloidală trebuie să lege o mare cantitate de apă.

Cu cercetarea structurii particulelor coloidale am ajuns la ideea existenței unei sfere apoase cu structură difuză, care încoloară particula hidrofilă, fără ca aceasta să aibă o limită de separație net observabilă cu mediul de dispersiune.

Măsurările adsorbției arată că raza de acțiune se limitează la câteva diametre moleculare, în timp ce proprietățile mecanice ale stratului superficial arată posibilitatea unei acțiuni la o distanță de zeci de mii de angströmi. În ultimul timp Bowden<sup>1)</sup> a încercat să explice această chestiune prin măsurarea duratății, a frecării și a lipirii peliculelor gazoase, lichide și solide pe suprafețe perfect șlefuite. El a arătat că forțele de adsorbție nu acționează la distanțe prea mari, egale cu mii de angströmi. Totuși, nu s'a putut da un răspuns definitiv în chestiunea distanței la care se manifestă această acțiune; această distanță întrece probabil dimensiunea cătorva diametre moleculare, în special la adsorbție pe suprafața moleculelor polare.

În ultimul timp, B. Dereaghin a arătat că straturile subțiri de lichid, în special la limita de separație cu soliud, au proprietăți anormale, diferite de proprietățile lichidului în masă. Chiar la o grosime de  $0,1 \mu$  acest strat arată o elasticitate și o rezistență la deplasare, caracteristice unui corp solid<sup>2)</sup>.

Astfel, se poate spune că sfera de apă legată din jurul particulei este în general polimoleculară.

## 2. STRUCTURA SFEREI APOASE

Noțiunea de lichid legat de particula coloidală se poate aborda pornind dela schema pe care am cercetat-o la studiul

1) F. P. Bowden, J. F. H. 5, 384 (1934).

2) B. Dereaghin și E. Obuhov, Koll. J. I. 385 (1935).

procesului de condensare capilară (fig. 85). În această schemă am văzut că formarea meniscurilor de lichid în capilar se producea înainte de acumularea lichidului adsorbit pe suprafață; aceasta se putea explica prin distilarea isotermă a lichidului adsorbit pe suprafața adsorbantului, unde tensiunea lui de vaporii este mai mică decât în spațiul înconjurător.

Vedem că tensiunea de echilibru a vaporilor lichidului suferă la suprafață o depresiune  $\Delta p$ , care este cu atât mai mare cu suprafața adsorbantului, unde tensiunea lui de vaporii este mai  $h$  de suprafața adsorbantului, adică

$$\Delta p = f(h).$$

La rândul său, energia liberă a straturilor de apă este funcție de mărimea  $h$ , adică

$$A = (f)h,$$

iar energia liberă (excedentară) va fi cu atât mai mică, cu cât  $h$  e mai mic. Cu alte cuvinte, se poate spune că „activitatea lichidului“ legat de suprafață va fi micșorată.

Se poate da grafic o reprezentare a variației tensiunii vaporilor straturilor de lichid, în funcție de distanța  $h$ , sub forma curbei reprezentată în fig. 154.

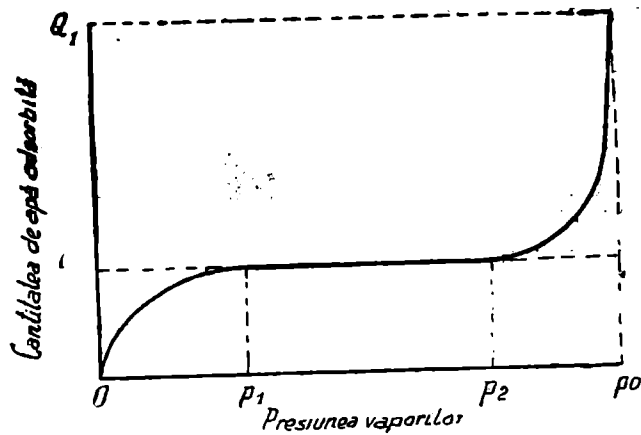


Fig. 154. — Relația între tensiunea de vaporii și cantitatea de lichid adsorbit la suprafață.

Din grafic se vede că pe măsura creșterii concentrației lichidului adsorbit, tensiunea de echilibru a vaporilor crește repede dela zero la  $p_1$ —adică până la formarea stratului mono-

molecular saturat al lui Langmuir,  $Q_\infty$ . O mică variație ulterioară a tensiunii de vapori până la  $P_2$  nu influențează aproape deloc asupra cantității  $Q_\infty$  de lichid adsorbit. La o creștere și mai mare a tensiunii de vapori începe formarea de straturi polimoleculare și tensiunea de vapori se apropie repede de  $p_0$  — tensiunea de vapori a lichidului liber. Vom denumi cantitatea de lichid  $Q_1$ , lichid legat.

Același fenomen se produce și atunci când adsorbantul este cufundat în lichid. Atunci, chiar la suprafață se va dispune stratul monomolecular rezistent al lui Langmuir, iar după el se vor dispune straturile de lichid din ce în ce mai puțin legat, pe măsura creșterii distanței  $h$ , adică se formează o sferă difuză legată subred.

Stratul exterior al sferei difuze se distrugе ușor sub acțiunea unui sir de factori, de ex. la creșterea temperaturii<sup>1)</sup> sau la introducerea unor substanțe solubile. Acestea din urmă distrug straturile cu atât mai adânci de apă legată, cu cât este mai mare concentrația lor. Legarea apei este un proces exoterm, cantitatea maximă de căldură (aprox. 2000 cal/mol apă) se degajează la formarea stratului intern, în special a celui monomolecular, și o cantitate mult mai mică la formarea stratului difuz<sup>2)</sup>. Din această cauză substanțele deshidratante ca alcoolul distrug în special stratul difuz<sup>3)</sup>.

Asupra cantității de apă legată influențează electrolitii: deobicei, cantități mici de electrolit măresc cantitatea de apă legată, o aduc la maxim, apoi, la o creștere ulterioară a concentrației, cantitatea de apă legată scade<sup>4)</sup>.

Apa legată a stratului difuz nu trece prin înghețare în ghiață obișnuită la  $0^\circ$ , ci la o temperatură mai joasă, căci și aceasta este în legătură cu distrugerea straturilor de apă, care se produce cu atât mai ușor cu cât este mai mare distanța  $h$  a stratului de suprafață.

De aici rezultă, ca o consecință, că cu cât temperatura este mai joasă, cu atât îngheță mai multă apă legată. De ex. în amidon (1 g) cantitatea de apă, care nu îngheță reprezintă 0,33 g la  $-6^\circ$ , 0,2 g la  $-8^\circ$ , 0,16 g la  $-12^\circ\text{C}$  (Ceșeva).

1) A. Dumanschi și O. Neimann, Koll. J. 2, 615 (1936); T. Granscaia și N. Sakun, Koll. J. 3, 117 (1937).

2) M. V. Ciapc și A. A. Mozgovoi și G. I. Tretiakov, Koll. J. I, 399 (1935).

3) M. V. Ciapc și A. A. Mozgovoi, Koll. J. 1, 71 (1935).

4) A. Dumanschi și M. V. Ciapc, Koll. J. 2, 95 (1936).

### 3. APA LEGATĂ ȘI HIDROFILIA

Pentru caracterizarea substanțelor după capacitatea lor de a lega apa, determinările trebuie făcute în anumite condiții precise. În acest caz capacitatea de a lega apa este o caracteristică a hidrofiliei sistemului dispers. Capacitatea substanțelor de a lega apa este diferită. Astfel, apa legată reprezintă pentru gelatină 40% (socotit la substanță uscată), pentru agar — 61%, pentru amidon — 37% și pentru  $\text{SiO}_2$  până la 30%. Variația cantității de apă legată poate servi drept indice pentru imbibarea sistemului coloidal, arătând că imbibarea este în legătură cu variația hidrofiliei. Astfel, solul de hidroxid de fier<sup>1)</sup> proaspăt preparat, are la 1 g de substanță uscată 5,37 g apă legată, iar peste un an și jumătate numai 0,29 g. Cercetarea fenomenului de sinereză la amidon și gelatină (T. Granscaia) a arătat că la aceste geluri cantitatea de apă legată nu se schimbă nici după sinereză, ceea ce înseamnă că la aceste substanțe fenomenul de sinereză, este mai mult legat de variația structurii gelului prin contracția scheletului lui, decât cu variația hidrofiliei. Acest punct de vedere a fost exprimat și de S. M. Lipatov.

Cercetarea cantității de apă legată la imbibare dă un răspuns precis la chestiunea despre natura apei de imbibare. Cantitatea cea mai mare de apă de imbibare nu este legată direct de particulele gelului.

La coagularea proteinelor datorită temperaturii, se micșorează cantitatea de apă legată, dar deshidratarea este departe de a fi completă<sup>2)</sup>.

Din cele expuse se vede că cercetarea apei legate la sistemele hidrofile, caracterizează în primul rând gradul lor de hidrofilie și în al doilea rând ne permite să ne dăm seama de variațiile proprietăților sistemului în funcție de diferite condiții.

Până acum am cunoscut multe metode care indică prezența apei legate adsorbtiv. Să cercetăm metoda refractometrică, ce se aplică la determinarea cantității de apă în sistemele geliforme insolubile în apă. Din cauza marii dificultăți de determinare și de variație a concentrației prin metoda crioscopică, A. V. Dumanschi<sup>3)</sup> a propus determinarea concentrației unei soluții de zahăr adăugate, cu ajutorul refractometrului. Metoda refractometrică constă în următoarele :

1) E. Surâghina, Koll. J. 2,55 (1936).

2) H. Weber u. H. Vermehold, Bioch. Z. 234, 62 (1931).

3) A. Dumanschi, K. Z. 65, 178 (1933).

Să presupunem că o probă de substanță este egală cu  $P$  g și conține  $a\%$  apă, adică în această probă vor fi conținute  $\frac{aP}{100}$  apă.

Să luăm acum o probă de  $B$  g soluție de zahăr, care conține  $b_1\%$  zahăr ( $b_1$  g zahăr la 100 g soluție) și să o amestecăm cu prima. Zahărul din soluție se va disolva acum și în apa liberă a probei a cărei cantitate în grame este egală cu:

$$\frac{aP}{100} + B \frac{100-b_1}{100} = x,$$

unde  $x$  este cantitatea de apă legată de substanță din proba  $P$ . Să filtrăm sau să ultrafiltrăm toată partea dispersată coloidal și să determinăm în filtrat cu refractometrul procentul de zahăr, în greutate  $b_2\%$ ; atunci cantitatea de zahăr disolvat va fi

$$(\frac{aP}{100} + B \frac{100-b_1}{100} - x) \cdot \frac{b_2}{100-b_2} = B \cdot \frac{b_1}{100}; \quad (157)$$

de aici determinăm

$$x = \frac{aP}{100} + B \frac{b_2 - b_1}{b_2}.$$

Formula (157) se poate aplica numai atunci când proba luată de coloid nu conține substanțe disolvate (nu se formează sol). Dacă există asemenea substanțe, ele vor trece în filtrat și se vor determina cu refractometrul sub formă de zahăr. Si pentru acest caz a fost dată o ecuație pentru determinarea cantității de apă legată (A. Dumanschi). În locul zahărului se pot lua și alte substanțe, care însă să nu se adsoarbă și să nu schimbe sistemul<sup>1</sup>).

În locul refractometrului este mai ușor de a folosi interferometrul<sup>2</sup>); în acest caz, precizia determinării crește mult. Bineînțeles că variația concentrației substanței adăugate poate fi determinată și analitic în prezența coloidului.

Să cercetăm acum câteva exemple de aplicare practică a apei legate.

1) G. Brigss, J. Phys. Ch. 36, 367 (1932); H. Weber u. H. Vermshoff. Bioch. Z. 234 62 (1931).

2) A. Dumanschi și O. V. Neumann, Koll. J. 2, 615 (1936).

Unii dintre priinii care au aplicat-o la rezolvarea problemelor practice ale rezisteniei plantelor la îngheț și secetă, au fost Gortner și Newton<sup>1)</sup>. În U. R. S. S. acestei probleme i-au fost dedicate lucrările lui N. Maximov. S'a văzut că plantele rezistente la secetă și la îngheț conțin în general o mare cantitate de apă legată. S'au cercetat deasemenea și țesuturile animale. S'a constatat că corpurile animalelor tinere și țesuturile tinere conțin mai multă apă legată decât cele bătrâne. Pe măsură ce îmbătrânesc, cantitatea de apă legată scade, iar apa liberă crește<sup>2)</sup>. Un fenomen analog s'a observat și la plante. Bouyoucos<sup>3)</sup>, Mac Coll și Beidemann, Trofimov, Dumanschi<sup>4)</sup>, au cercetat din acest punct de vedere apa din sol și au arătat că apa legată este o rezervă moartă care nu este aproape deloc folosită de plante.

Multe proprietăți tehnice ale unui sir de sisteme coloidale care au o mare însemnatate în industria alimentară depind de capacitatea de a lega apa. Procesul coacerii pâinii, de ex., se caracterizează foarte bine prin variația capacității produsului de a lega apa. Capacitatea de a lega apa este la făina de grâu 44,0%, la coca 53,5%, la pâinea caldă 82,7%, la pâine după două ore 82,7%, după patru ore 81,2%, după 6 ore 79,6% după 24 ore 72,0%; după 72 ore 69,4%, după 120 ore 67,4%. Astfel, sistemul coloidal este cel mai hidrosil (leagă cea mai mare cantitate de apă) în pâinea coaptă (A. Dumanschi, A. G. Culman).

Următorul exemplu lămurește sugestiv marea însemnatate a apei legate pentru explicarea umidității sistemelor coloidale. Coca și pâinea de grâu coaptă din ea, au practic aceeași umiditate (aceasta se determină prin uscare la 105°). Totuși, ca aspect exterior, la pipăit coca pare mult mai umedă. În cazul de față la creșterea hidrosiliei la coacere, cea mai mare parte din apă se leagă adsorbtiv și produsul posedă o umiditate liberă mai mică.

La păstrarea pâinii, în sistem se produce un proces invers, sistemul începe să piardă capacitatea de a lega apa. Se produce un proces de îmbătrânire, numit învechirea pâinii<sup>5)</sup>.

1) R. Gortner și W. F. Newton, J. Agr. Soc. 12, 1 (1922); 14, 178 (1924); J. Martin, J. Agr. Res. 35, 493 (1927).

2) F. Thoenes, Bioch. Z. 157, 174 (1925).

3) G. S. Bouyoucos, J. Agr. Res. 8, I95 (1917).

4) A. Dumanschi și A. P. Dumanscaia, Comun. institutului național de cercetări coloidale Nr. 2, 43 (1934); M. Ciapec, loc. cit. 2, 56 (1934).

5) A. Dumanschi, A. G. Culman și O. N. Golosova, J. P. H. 7, 585 (1934); Com. institutului de cercetări pentru industria pâinii 9 (1934); Col. J. 1, 55 (1935).

Să presupunem că o probă de substanță este egală cu  $P$  g și conține  $a\%$  apă, adică în această probă vor fi conținute  $\frac{aP}{100}$  apă.

Să luăm acum o probă de  $B$  g soluție de zahăr, care conține  $b_1\%$  zahăr ( $b_1$  g zahăr la 100 g soluție) și să o amestecăm cu prima. Zahărul din soluție se va disolva acum și în apa liberă a probei a cărei cantitate în grame este egală cu:

$$\frac{aP}{100} + B \frac{100-b_1}{100} = x,$$

unde  $x$  este cantitatea de apă legată de substanță din proba  $P$ . Să filtrăm sau să ultrafiltrăm toată partea dispersată coloidal și să determinăm în filtrat cu refractometrul procentul de zahăr, în greutate  $b_2\%$ ; atunci cantitatea de zahăr disolvat va fi

$$(\frac{aP}{100} + B \frac{100-b_1}{100} - x) \cdot \frac{b_2}{100-b_2} = B \cdot \frac{b_1}{100}; \quad (157)$$

de aici determinăm

$$x = \frac{aP}{100} + B \frac{b_2 - b_1}{b_2}.$$

Formula (157) se poate aplica numai atunci când proba luată de coloid nu conține substanțe disolvate (nu se formează sol). Dacă există asemenea substanțe, ele vor trece în filtrat și se vor determina cu refractometrul sub formă de zahăr. și pentru acest caz a fost dată o ecuație pentru determinarea cantității de apă legată (A. Dumanschi). În locul zahărului se pot lua și alte substanțe, care însă să nu se adsoarbă și să nu schimbe sistemul<sup>1</sup>).

În locul refractometrului este mai ușor de a folosi interferometrul<sup>2</sup>; în acest caz, precizia determinării crește mult. Bineînteleas că variația concentrației substanței adăugate poate fi determinată și analitic în prezența coloidului.

Să cercetăm acum câteva exemple de aplicare practică a apei legate.

1) G. Brigss, J. Phys. Ch. 36, 367 (1932); H. Weber u. H. Vermshoff, Bioch. Z. 234 62 (1931).

2) A. Dumanschi și O. V. Neumann, Koll. J. 2, 615 (1936).

Unii dintre primii care au aplicat-o la rezolvarea problemelor practice ale rezistenței plantelor la îngheț și secetă, au fost Gortner și Newton<sup>1)</sup>. În U. R. S. S. acestei probleme i-au fost dedicate lucrările lui N. Maximov. S'a văzut că plantele rezistente la secetă și la îngheț conțin în general o mare cantitate de apă legată. S'au cercetat deasemenea și țesuturile animale. S'a constatat că corpurile animalelor tinere și țesuturile tinere conțin mai multă apă legată decât cele bătrâne. Pe măsură ce îmbătrânesc, cantitatea de apă legată scade, iar apa liberă crește<sup>2)</sup>. Un fenomen analog s'a observat și la plante. Bouyoucos<sup>3)</sup>, Mac Coll și Beidemann, Trofimov, Dumanschi<sup>4)</sup>, au cercetat din acest punct de vedere apa din sol și au arătat că apa legată este o rezervă moartă care nu este aproape deloc folosită de plante.

Multe proprietăți tehnice ale unui șir de sisteme coloidale care au o mare însemnatate în industria alimentară depind de capacitatea de a lega apa. Procesul coacerii pâinii, de ex., se caracterizează foarte bine prin variația capacitatii produsului de a lega apa. Capacitatea de a lega apa este la făina de grâu 44,0%, la coca 53,5%, la pâinea caldă 82,7%, la pâine după două ore 82,7%, după patru ore 81,2%, după 6 ore 79,6% după 24 ore 72,0%, după 72 ore 69,4%, după 120 ore 67,4%. Astfel, sistemul coloidal este cel mai hidrosil (leagă cea mai mare cantitate de apă) în pâinea coaptă (A. Dumanschi, A. G. Culman).

Următorul exemplu lămurește sugestiv marea însemnatate a apei legate pentru explicarea umidității sistemelor coloidale. Coca și pâinea de grâu coaptă din ea, au practic aceeași umiditate (aceasta se determină prin uscare la 105%). Totuși, ca aspect exterior, la pipăit coca pare mult mai umedă. În cazul de față la creșterea hidrofiliei la coacere, cea mai mare parte din apă se leagă adsorbtiv și produsul posedă o umiditate liberă mai mică.

La păstrarea pâinii, în sistem se produce un proces invers, sistemul începe să piardă capacitatea de a lega apa. Se produce un proces de îmbătrânire, numit învechirea pâinii<sup>5)</sup>.

1) R. Gortner și W. F. Newton, J. Agr. Soc. 12, 1 (1922); 14, 178 (1924); J. Martin, J. Agr. Res. 35, 493 (1927).

2) F. Thoenes, Bioch. Z. 157, 174 (1925).

3) G. S. Bouyoucos, J. Agr. Res. 8, 195 (1917).

4) A. Dumanschi și A. P. Dumanscaia, Comun. institutului național de cercetări coloidale Nr. 2, 43 (1934); M. Ciapec, loc. cit. 2, 56 (1934).

5) A. Dumanschi, A. G. Culman și O. N. Golosova, J. P. H. 7, 585 (1934); Com. institutului de cercetări pentru industria pâinii 9 (1934); Col. J. 4, 55 (1935).

Sorturile de făină de grâu pot fi caracterizate prin capacitatea de a lega apa. Cercetări prealabile au arătat că această caracteristică coincide îndeaproape cu caracteristica adoptată în industria brutăriei <sup>1)</sup>.

Posibilitatea de a lega apa și de a o face incapabilă de a fi solvent are o mare importanță în toate cazurile în care se determină concentrația unei soluții care se găsește deasupra unei mari cantități de precipitat hidrofil. Calculând acum pe baza concentrației găsite cantitatea de substanță disolvată, s'ar putea obține date exagerate.

Astfel la analiza sfeclei de zahăr, concentrația zahărului se determină în soluția obținută din pulpa hidrofilă a sfeclei.

La calculul zahărului total se obțin, desigur, valori prea mari <sup>2)</sup>.

Procesul prelucrării pielei este deosemenea legat de variația capacitații obiectului prelucrat de a lega apa.

Am dat numai câteva exemple pentru a arăta importanța problemei apei în chimia coloidală atât teoretică, cât și aplicată. Referitor la această problemă există destul de multe lucrări, dar nu s'a dat încă o lămurire satisfăcătoare asupra importanței acestei probleme din chimia coloidală și însemnatatea ei în disciplinele aplicate.

Am vorbit tot timpul despre sistemele apoase. O legare analogă trebuie să se observe și cu privire la alte lichide, în special cele dipolice. Până în prezent această chestiune n'a fost aproape deloc cercetată <sup>3)</sup>.

---

1) N. A. Uspenschi, Coll. J. 1, 69 (1935).

2) S. E. Harin, Koł. J. 1,507 (1933); A. Dumanschi, Usp. chim. 4,177 (1933); A. Dumanschi, Știința solului și agronomia, 125 (1925).

3) A. Dobry, J. Chim. phys. 35, 20 (1938).

## **XXX. SISTEMELE GELIFORME CA MEDII**

### **I. GELURI ȘI SOLURI**

Gelurile sunt de multe ori medii în care se produc atât procese chimice, cât și fizice.

Dintre procesele fizice ne vom opri asupra difuziunii și conductibilității electrice, acestea observându-se cel mai des. Gelurile în care substanța coloidală se găsește în concentrații mici nu împiedică aproape deloc difuziunea cristaloizilor, ceeace a menționat pentru prima oară Graham în lucrările lui. Totuși, la o cercetare mai amănunțită a difuziunii solurilor<sup>1)</sup> s'a observat că solurile mai concentrate micșorează viteza de difuziune. Această micșorare a vitezei trebuie să depindă de trei cauze:

1) Structura gelului reprezintă o impletitură complexă, îmbibată cu lichid. Prin lichid se produce o difuziune liberă, structura reprezintă însă elemente impermeabile, care micșorează prin prezența lor drumul liber al moleculelor care difuzează, din care cauză se observă micșorarea vitezei de difuziune.

2) Structura gelului este hidratată și în jurul elementelor ei lichidul are proprietăți intrucâtva diferite, din care cauză în această parte de lichid este posibilă o altă viteză de difuziune. Din acest motiv, difuziunea substanțelor, care contribue sau împiedică îmbibarea (sulfatii, clorurile) va decurge diferit; influențează deasemenea și pH-ul mediului.

3) La suprafața elementelor de structură se poate produce adsorbția substanței ce difuzează, ceeace la rândul său micșorează mult viteza de difuziune. Experiențele au arătat că natura substanței care difuzează are o mare influență asupra fenomenului. Astfel, clorurile metalelor alcătuite difuzează ușor în generală, în timp ce sulfatii difuzează cu viteză mai mică.

Coloranții, care reprezintă soluții macromoleculare, difuzează deasemenea cu viteză mai mică<sup>2)</sup>. Difuziunea coloizilor se

---

1) P. Neßl. Ann. Phys. (4), 118, 323 (1905); A. Dumansch, K. Z. 3,210 (1908); A. E. Aleev și A. F. Gherasimov, J.R.F.H.O. 62, 349 (1930).

2) R. O. Herzog u. A. Polotzky, Z. phys. Ch. 87, 449 (1914).

produce cu atât mai greu cu cât este mai mică dispersiunea lor. Viteza de difuziune este bineînțeles în legătură cu concentrația gelului; viteza scade cu creșterea concentrației gelului.

Un șir de electrolizi ca zahărul, glicerina, alcoolul, micșorează permeabilitatea gelatinei și agarului; alții, ca de ex. ureea, o măresc.

**Fenomenul de conductibilitate electrică** este în legătură cu viteza deplasării ionilor. Structura gelurilor poate fi o piedică la fel ca și la difuziune, micșorând parametrul transversal liber după care se deplasează curentul de ioni. Experiența a arătat că această presupunere este justă — conductibilitatea electrică în geluri este cu atât mai mică cu cât este mai mare concentrația lor, deși gradul de disociere rămâne invariabil<sup>1)</sup>. Ca și în cazul difuziunii, procesul se complică prin fenomene de adsorbție, prin hidratarea elementelor de structură și prin influența pH-ului; același lucru se observă și la variația mărimii conductibilității electrice.

Conductibilitatea nu se schimbă la coagularea solului cu un electrolit. Aceasta arată că mișcarea ionilor se face în lichidul intermicelar care are viscozitatea obișnuită a soluțiilor de electrolizi. Regula lui Walden despre relația între conductibilitatea electrică și viscozitate este aplicabilă numai mediului intermicelar.

Studiind variația conductibilității electrice a solurilor și gelurilor se poate determina volumul fazelor disperse împreună cu stratul solvatat<sup>2)</sup>.

**Fenomenele de difuziune** se desvoltă în geluri aproape tot așa ca și în lichide pure și de aceea reacțiile între corpurile dissoluate decurg normal. Diferența va consta în aceea că, datorită structurii gelului, curenții de convecție și amestecarea lipsesc.

În cazul formării prin reacție a unui corp solid, centrele de cristalizare se vor forma la fel ca și în lichidele libere; dar absența amestecării va îngreuna accesul liber al substanței, din care cauză se poate aștepta o creștere lentă, liniștită a cristalelor, care în aceste condiții pot atinge dimensiuni considerabile. Formarea unor asemenea cristale foarte bine dezvoltate a fost observată de Hatschek<sup>3)</sup> în gelul de  $\text{SiO}_2$ .

1) A. Dumanschi, Z. phys. Ch. 60, 553 (1907).

2) A. Dobry, J. Chim. phys. 35, 20 (1938); Slavinschi, J. chim. phys. 23, 710 (1926) 26, 368 (1929).

3) E. Hatschek, K. Z. 10, 77, 265 (1912).

## 2. INELELE LUI LIESEGANG

La reacțiile unde se formează precipitate, se observă foarte des o separare neuniformă de precipitat în întreg volumul gelului.

Precipitatul se separă în straturi sau inele separate unele de altele prin intervale transparente. Acest fenomen a fost descris pentru prima dată în anul 1896 de Liesegang<sup>1)</sup>, iar apoi fenomenul depunerii straturilor de substanță insolubilă, obținută ca rezultat al unei reacții de schimb în geluri, cunoscut sub numele de inelele lui Liesegang, a fost cercetat amănunțit atât de însuși Liesegang, cât și de alți chimici.

Pentru a înțelege acest fenomen este necesar să facem următoarea experiență. Să căntărim 4 g de gelatină și să o disolvăm prin încălzire în 120 g apă, căreia i să adăugăm în prealabil 0,12 g bicromat de potasiu. Se va obține o soluție colorată în galben. Această soluție se toarnă în strat subțire pe o placă de sticlă cu lățimea de 10-15 cm. După întărirea gelatinei, la mijlocul stratului de gelatină se pune o picătură mare (5 picături la un loc)

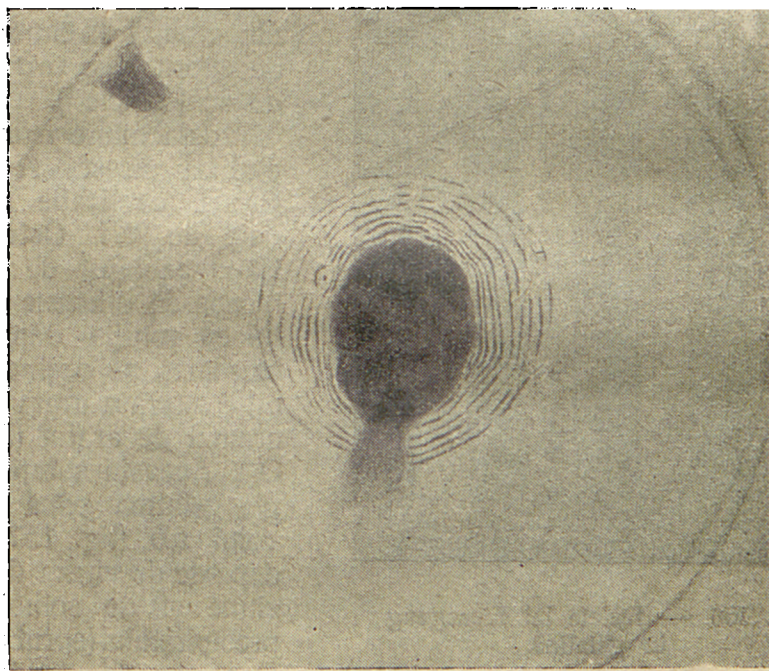


Fig. 155. — Inelele lui Liesegang pe o placă de gelatină.

1) R. Liesegang, Naturwiss. 11, 353 (1896).

de soluție de  $\text{AgNO}_3$  8,5%. După aceasta, placa se lasă în repaus. După 24 ore vom observa pe placă o serie de inele concentrice, aşa cum se vede în fig. 155. Aceste inele sunt inelele lui Liesegang.

O soluție asemănătoare de gelatină cu bicromat se toarnă într-o eprubetă și apoi, după întărirea gelatinei (peste vreo 3 ore) se toarnă deasupra un strat de 2 cm soluție de  $\text{AgNO}_3$ . În eprubetă se va observa o serie de straturi, după cum se vede în fig. 156 (eprubeta 3 și 4); inelele nu au aceeași grosime și se găsesc la distanțe diferite. O asemenea depunere periodică nu se observă numai la această reacție, dar și la multe altele. Astfel,  $\text{AgNO}_3$  poate fi înlocuit cu o sare de plumb; în acest caz se obțin inele de  $\text{PbCr}_2\text{O}_7$ ; gelatina poate fi înlocuită cu agar. Apcăi, în eprubete se obțin inele liniș conturate dacă se prepară o gelatină cu  $\text{MgCl}_2$  și dacă după răcire se toarnă în eprubetă amoniac concentrat. Aproximativ peste 24 ore se obține un strat bine format de  $\text{Mg}(\text{OH})_2$  (1-a și a 2-a eprubetă).

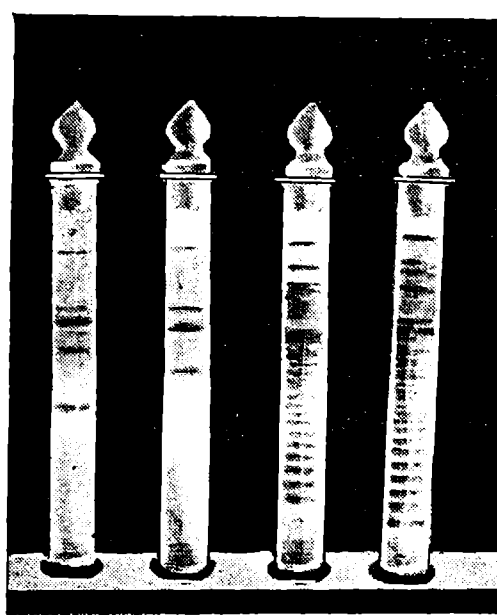


Fig. 156. — Inelele lui Liesegang în gelatină.

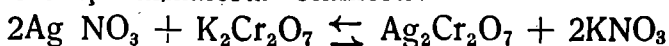
Prin reacții corespunzătoare se pot obține inele din iodură de plumb, aur, din cromat de cupru, oxid de cupru și a. într'un gel de acid silicic<sup>1)</sup>.

Există multe teorii care explică acest fenomen. Prima explicație a fost dată de Wi. Ostwald<sup>2)</sup>. Când azotatul de argint începe să difuzeze în gelul cu soluția diluată de bicromat, se obține o soluție suprasaturată de bicromat de argint ( $\text{Ag}_2\text{Cr}_2\text{O}_7$ ). Această soluție umplie gelatina până la nivelul ab (fig. 157), care depinde de viteza de difuziune și de solubilitatea precipitatului (eprubeta I-a). Dar cum difuziunea azotatului de argint durează,

1) H. Holmes, J. Ann. Ch. Soc. 40, 1187 (1918).

2) Wi. Ostwald, Z. phys. Ch. 23, 365 (1897).

cantitatea de  $\text{Ag}_2\text{Cr}_2\text{O}_7$  crește și în apropiere de limita superioară a gelului în eprubetă se separă un precipitat (eprubeta 2-a). Acest precipitat absoarbe întreaga cantitate de  $\text{Ag}_2\text{Cr}_2\text{O}_7$ , din care cauză gelatina de sub nivelul **ab** devine liberă de bicromat. Difuziunea continuând, azotatul de argint trece mai departe, trece de stratul c liber de bicromat și dă iarăși o soluție suprasaturată de  $\text{Ag}_2\text{Cr}_2\text{O}_7$  (eprubeta 3-a). La o difuziune ulterioară a azotațului de argint, concentrația  $\text{Ag}_2\text{Cr}_2\text{O}_7$  crește într'atât încât precipitatul se separă în formă de strat (eprubeta 4-a), de subiectul căruia se formează din nou un strat liber de  $\text{Ag}_2\text{Cr}_2\text{O}_7$  și de bicromat. Acest strat formează al doilea inel. În această ordine se formează toate celelalte straturi de precipitat sau inele. Totuși, studiul ulterior al inelelor lui Liesegang a arătat că fenomenul decurge mai complex. Wo. Ostwald<sup>1</sup>) a dat o explicație întrucâtva diferită a acestui fenomen, unde s'a luat în considerație următorul echilibru:



In fâșia de precipitat în care a avut loc reacția, lipsesc azotatul de argint și bicromatul de potasiu, dar în schimb există o mare cantitate de  $\text{KNO}_3$ , care difuzează mai departe, creează în stratul de după precipitat o concentrație excedentară de  $\text{KNO}_3$ , din care cauză reacția dela stânga la dreapta este imposibilă, adică este imposibilă formarea de precipitat. Pe măsură ce azotatul de argint și  $\text{KNO}_3$  difuzează mai departe, concentrația  $\text{KNO}_3$  scade într'atât, încât formarea de  $\text{Ag}_2\text{Cr}_2\text{O}_7$  devine posibilă și se separă un strat de precipitat; apoi, datorită reacției care a avut loc, se acumulează din nou  $\text{KNO}_3$ , și din nou în stratul alăturat cu precipitat devine imposibilă reacția și se formează o zonă care nu conține precipitat de  $\text{Ag}_2\text{Cr}_2\text{O}_7$ , etc.

Fenomenului lui Liesegang i-au fost dedicate aproape 100 de lucrări și s'a propus nu mai puțin de 6 teorii. Experiențe interesante în această direcție au fost făcute de Dogadchin<sup>2</sup>); tot el a atras atenția asupra proceselor secundare ale acestui fenomen.

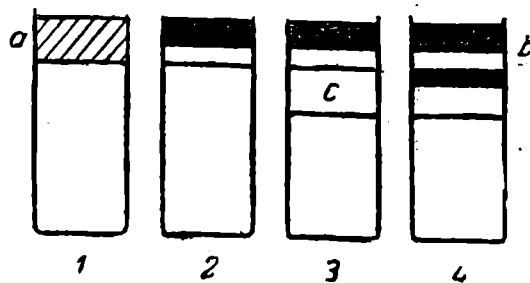


Fig. 157. — Schema formării inelelor lui Liesegang.

1) Wo. Ostwald, Zsigmondy, Festschrift K. Z. 36, 380 (1925).

2) B. Dogadchin, K. Z. 40, 33 (1926); 45, 136 (1928).

Fenomenul lui Liesegang nu se produce numai în geluri, ci și în corpuri poroase, de ex. în gips. Primul care a observat acest fenomen a fost Egunov (1912). Fenomenul acesta se produce și în tuburi capilare și în general în spații capilare.

Prin înnelele lui Liesegang se explică colorațiile ritmice și depunerile în țesuturile organismelor. Prin același fenomen se explică și colorația straturilor de agat.

În ultimul timp, Șemeachin<sup>1)</sup> a studiat fenomenul lui Lie-

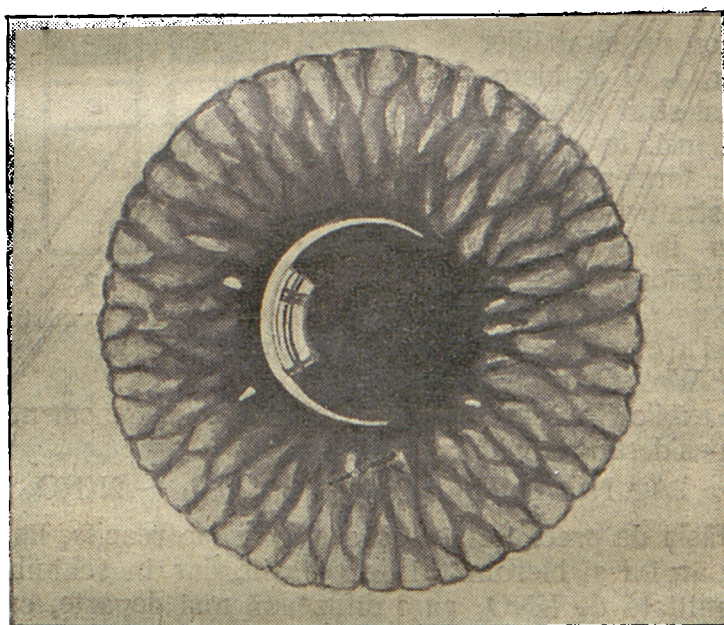


Fig. 158. — Rozetă luminoasă din ferocianură de argint pe gelatină după F. N. Șemeachin.

segang și diferențele depunerii periodice în geluri, care au câteodată forme foarte complexe<sup>2)</sup>.

În fig. 158 este reprezentată o rozetă luminoasă din ferocianură de argint; ea se obține prin reacția între o picătură de soluție de azotat de argint și un strat de gelatină îmbibat cu ferocianură de potasiu.

1) F. M. Șemeachin, K. Z. 50; 58 (1930); 58, 325 (1932); F. M. Șemeachin și P. F. Mihalev. Procese fizico-chimice periodice, A.N. U.R.S.S. (1938).

2) M. S. Dunna și F. M. Șemeachin, K. Z. 47, 335 (1929); 48, 167 (1929).